

# Rapport

NVE Region midt

**OPPDRA�**

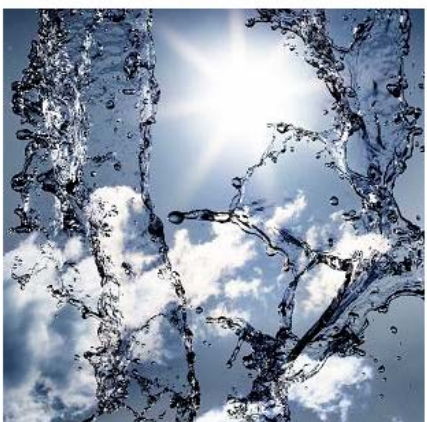
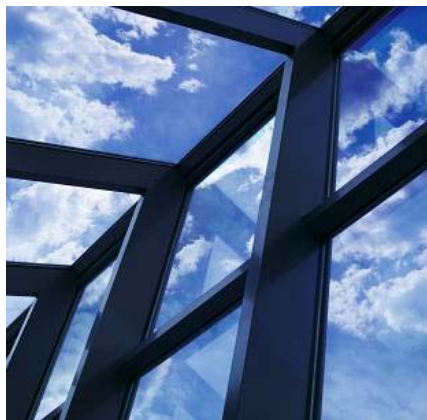
Kvikkleiresone 199 Leira

**EMNE**

Grunnundersøkelser, datarapport

**DOKUMENTKODE**

415655-RIG-RAP-001



**MULTICONSULT**

Med mindre annet er skriftlig avtalt, tilhører alle rettigheter til dette dokument Multiconsult.

Innholdet – eller deler av det – må ikke benyttes til andre formål eller av andre enn det som fremgår av avtalen. Multiconsult har intet ansvar hvis dokumentet benyttes i strid med forutsetningene. Med mindre det er avtalt at dokumentet kan kopieres, kan dokumentet ikke kopieres uten tillatelse fra Multiconsult.

## RAPPORT

OPPDRAF	<b>Kvikkleiresone 199 Leira</b>	DOKUMENTKODE	415655-RIG-RAP-001
EMNE	Grunnundersøkelser, datarapport	TILGJENGELIGHET	Åpen
OPPDRAFSGIVER	<b>NVE Region midt</b>	ANSVARLIG ENHET	3012 Trondheim Geoteknikk
KONTAKTPERSON	Mads Johnsen		

## SAMMENDRAG

Multiconsult AS er engasjert av NVE Region-midt for å utføre grunnundersøkelser i kvikkleiresonene 199 Leira og 206 Romolslia. Grunn- og laboratorieundersøkelsene er utført etter borplass og program fra NGI.

Foreliggende rapport inneholder resultater fra felt- og laboratorieundersøkelser fra kvikkleiresone 199 Leira.

Feltarbeidet ble utført mellom oktober 2012 og februar 2013.

Feltundersøkelsene omfatter:

- Totalsonderinger i 25 borpunkter.
- Dreietrykksønderinger i 5 borpunkter.
- Trykksønderinger (CPTU) i 12 borpunkter
- Opptak av 54mm / 75mm sylinderprøver i 13 punkter.
- Opptak av skovlprøver i 4 punkter.
- Installasjon av 16 elektriske poretrykksmålere på 6 forskjellige lokasjoner.

I laboratoriet er det utført rutineundersøkelser på alle opptatte prøver. I tillegg er det utført 14 kontinuerlige ødometerforsøk (CRS) og 16 treaksialforsøk, hvor 9 av forsøkene er utført som aktive forsøk (CAU<sub>A</sub>) og 7 er utført som passive forsøk (CAU<sub>P</sub>).

Dette er en ren datarapport uten noen form for tolkning og vurdering av grunnforholdene. For resultater vises til rapportens tegninger.

00	31.05.2013	Geoteknisk datarapport	Amund Growen	Arne Vik
REV.	DATO	BESKRIVELSE	UTARBEIDET AV	KONTROLLERT AV
				GODKJENT AV

## INNHOLDSFORTEGNELSE

<b>1</b>	<b>Innledning .....</b>	<b>11</b>
1.1	Bakgrunn.....	11
1.2	Myndighetskrav .....	11
<b>2</b>	<b>Grunnundersøkelser .....</b>	<b>12</b>
2.1	Feltundersøkelser .....	12
2.2	Laboratorieundersøkelser.....	12
2.2.1	Rutineundersøkelser .....	12
2.2.2	Ødometerforsøk .....	13
2.2.3	Treaksialforsøk.....	13
<b>3</b>	<b>Grunnforhold.....</b>	<b>14</b>
3.1	Løsmasser .....	14
3.2	Grunnvann og poretrykk.....	14
<b>4</b>	<b>Sluttkommentar .....</b>	<b>15</b>

## TEGNINGER

415655-RIG-TEG -000	Oversiktskart
-001	Borplan
-010	Geotekniske data Le-1
-011	Geotekniske data Le-3a
-012	Geotekniske data Le-6
-013	Geotekniske data Le-7
-014	Geotekniske data Le-9
-015	Geotekniske data Le-11
-016	Geotekniske data Le-13
-017	Geotekniske data Le-15
-018	Geotekniske data Le-17
-019	Geotekniske data Le-18
-020	Geotekniske data Le-20
-021	Geotekniske data Le-23
-022	Geotekniske data Le-25
-040.1	CPTU BP.1, rådata, $q-z$ , $u-z$ , $f-z$ , $i-z$
-040.2	CPTU BP.1, rådata, $q_n-z$ , $\Delta u-z$ , $f_s-z$
-040.3	CPTU BP.1, rådata, $N_m-z$ , $B_q-z$ , $R_f-z$
-040.4	CPTU BP.1, rådata, $q_t-B_q$
-040.5	CPTU BP.1, dokumentasjon måledata
-041.1	CPTU BP.3, rådata, $q-z$ , $u-z$ , $f-z$ , $i-z$

- 041.2 CPTU BP.3, rådata,  $q_n$ -z,  $\Delta u$ -z,  $f_s$ -z
- 041.3 CPTU BP.3, rådata,  $N_m$ -z,  $B_q$ -z,  $R_f$ -z
- 041.4 CPTU BP.3, rådata,  $q_t$ - $B_q$
- 041.5 CPTU BP.3, dokumentasjon måledata
- 042.1 CPTU BP.4, rådata, q-z, u-z, f-z, i-z
- 042.2 CPTU BP.4, rådata,  $q_n$ -z,  $\Delta u$ -z,  $f_s$ -z
- 042.3 CPTU BP.4, rådata,  $N_m$ -z,  $B_q$ -z,  $R_f$ -z
- 042.4 CPTU BP.4, rådata,  $q_t$ - $B_q$
- 042.5 CPTU BP.4, dokumentasjon måledata
- 043.1 CPTU BP.6, rådata, q-z, u-z, f-z, i-z
- 043.2 CPTU BP.6, rådata,  $q_n$ -z,  $\Delta u$ -z,  $f_s$ -z
- 043.3 CPTU BP.6, rådata,  $N_m$ -z,  $B_q$ -z,  $R_f$ -z
- 043.4 CPTU BP.6, rådata,  $q_t$ - $B_q$
- 043.5 CPTU BP.6, dokumentasjon måledata
- 044.1 CPTU BP.7, rådata, q-z, u-z, f-z, i-z
- 044.2 CPTU BP.7, rådata,  $q_n$ -z,  $\Delta u$ -z,  $f_s$ -z
- 044.3 CPTU BP.7, rådata,  $N_m$ -z,  $B_q$ -z,  $R_f$ -z
- 044.4 CPTU BP.7, rådata,  $q_t$ - $B_q$
- 044.5 CPTU BP.7, dokumentasjon måledata
- 045.1 CPTU BP.9, rådata, q-z, u-z, f-z, i-z
- 045.2 CPTU BP.9, rådata,  $q_n$ -z,  $\Delta u$ -z,  $f_s$ -z
- 045.3 CPTU BP.9, rådata,  $N_m$ -z,  $B_q$ -z,  $R_f$ -z
- 045.4 CPTU BP.9, rådata,  $q_t$ - $B_q$
- 045.5 CPTU BP.9, dokumentasjon måledata
- 046.1 CPTU BP.11, rådata, q-z, u-z, f-z, i-z
- 046.2 CPTU BP.11, rådata,  $q_n$ -z,  $\Delta u$ -z,  $f_s$ -z
- 046.3 CPTU BP.11, rådata,  $N_m$ -z,  $B_q$ -z,  $R_f$ -z
- 046.4 CPTU BP.11, rådata,  $q_t$ - $B_q$
- 046.5 CPTU BP.11, dokumentasjon måledata
- 047.1 CPTU BP.13, rådata, q-z, u-z, f-z, i-z
- 047.2 CPTU BP.13, rådata,  $q_n$ -z,  $\Delta u$ -z,  $f_s$ -z
- 047.3 CPTU BP.13, rådata,  $N_m$ -z,  $B_q$ -z,  $R_f$ -z
- 047.4 CPTU BP.13, rådata,  $q_t$ - $B_q$
- 047.5 CPTU BP.13, dokumentasjon måledata

- 048.1 CPTU BP.14, rådata,  $q_z$ ,  $u_z$ ,  $f_z$ ,  $i_z$
- 048.2 CPTU BP.14, rådata,  $q_n$ ,  $\Delta u_z$ ,  $f_s$ ,  $z$
- 048.3 CPTU BP.14, rådata,  $N_m$ ,  $B_q$ ,  $R_f$ ,  $z$
- 048.4 CPTU BP.14, rådata,  $q_t$ ,  $B_q$
- 048.5 CPTU BP.14, dokumentasjon måledata
- 049.1 CPTU BP.16, rådata,  $q_z$ ,  $u_z$ ,  $f_z$ ,  $i_z$
- 049.2 CPTU BP.16, rådata,  $q_n$ ,  $\Delta u_z$ ,  $f_s$ ,  $z$
- 049.3 CPTU BP.16, rådata,  $N_m$ ,  $B_q$ ,  $R_f$ ,  $z$
- 049.4 CPTU BP.16, rådata,  $q_t$ ,  $B_q$
- 049.5 CPTU BP.16, dokumentasjon måledata
- 050.1 CPTU BP.17, rådata,  $q_z$ ,  $u_z$ ,  $f_z$ ,  $i_z$
- 050.2 CPTU BP.17, rådata,  $q_n$ ,  $\Delta u_z$ ,  $f_s$ ,  $z$
- 050.3 CPTU BP.17, rådata,  $N_m$ ,  $B_q$ ,  $R_f$ ,  $z$
- 050.4 CPTU BP.17, rådata,  $q_t$ ,  $B_q$
- 050.5 CPTU BP.17, dokumentasjon måledata
- 051.1 CPTU BP.25, rådata,  $q_z$ ,  $u_z$ ,  $f_z$ ,  $i_z$
- 051.2 CPTU BP.25, rådata,  $q_n$ ,  $\Delta u_z$ ,  $f_s$ ,  $z$
- 051.3 CPTU BP.25, rådata,  $N_m$ ,  $B_q$ ,  $R_f$ ,  $z$
- 051.4 CPTU BP.25, rådata,  $q_t$ ,  $B_q$
- 051.5 CPTU BP.25, dokumentasjon måledata
- 075.1 Ødometerforsøk, CRS-rutine, Le-6, d=35,5. Plott A:  $\sigma_{av}' - \varepsilon_a$ , M og  $c_v$
- 075.2 Ødometerforsøk, CRS-rutine, Le-6, d=35,5. Plott B:  $\sigma_{av}' - \varepsilon_a$ , k og  $u_b/\sigma$
- 076.1 Ødometerforsøk, CRS-rutine, Le-6, d=43,4. Plott A:  $\sigma_{av}' - \varepsilon_a$ , M og  $c_v$
- 076.2 Ødometerforsøk, CRS-rutine, Le-6, d=43,4. Plott B:  $\sigma_{av}' - \varepsilon_a$ , k og  $u_b/\sigma$
- 077.1 Ødometerforsøk, CRS-rutine, Le-7, d=9,15. Plott A:  $\sigma_{av}' - \varepsilon_a$ , M og  $c_v$
- 077.2 Ødometerforsøk, CRS-rutine, Le-7, d=9,15. Plott B:  $\sigma_{av}' - \varepsilon_a$ , k og  $u_b/\sigma$
- 078.1 Ødometerforsøk, CRS-rutine, Le-13, d=5,2. Plott A:  $\sigma_{av}' - \varepsilon_a$ , M og  $c_v$
- 078.2 Ødometerforsøk, CRS-rutine, Le-13, d=5,2. Plott B:  $\sigma_{av}' - \varepsilon_a$ , k og  $u_b/\sigma$
- 079.1 Ødometerforsøk, CRS-rutine, Le-13, d=11,2. Plott A:  $\sigma_{av}' - \varepsilon_a$ , M og  $c_v$
- 079.2 Ødometerforsøk, CRS-rutine, Le-13, d=11,2. Plott B:  $\sigma_{av}' - \varepsilon_a$ , k og  $u_b/\sigma$
- 080.1 Ødometerforsøk, CRS-rutine, Le-15, d=6,4. Plott A:  $\sigma_{av}' - \varepsilon_a$ , M og  $c_v$
- 080.2 Ødometerforsøk, CRS-rutine, Le-15, d=6,4. Plott B:  $\sigma_{av}' - \varepsilon_a$ , k og  $u_b/\sigma$
- 081.1 Ødometerforsøk, CRS-rutine, Le-17, d=19,15. Plott A:  $\sigma_{av}' - \varepsilon_a$ , M og  $c_v$
- 081.2 Ødometerforsøk, CRS-rutine, Le-17, d=19,15. Plott B:  $\sigma_{av}' - \varepsilon_a$ , k og  $u_b/\sigma$

- 082.1 Ødometerforsøk, CRS-rutine, Le-17, d=27,6. Plott A:  $\sigma_{av}' - \varepsilon_a$ , M og  $c_v$
- 082.2 Ødometerforsøk, CRS-rutine, Le-17, d=27,6. Plott B:  $\sigma_{av}' - \varepsilon_a$ , k og  $u_b/\sigma$
- 083.1 Ødometerforsøk, CRS-rutine, Le-17, d=37,75. Plott A:  $\sigma_{av}' - \varepsilon_a$ , M og  $c_v$
- 083.2 Ødometerforsøk, CRS-rutine, Le-17, d=37,75. Plott B:  $\sigma_{av}' - \varepsilon_a$ , k og  $u_b/\sigma$
- 084.1 Ødometerforsøk, CRS-rutine, Le-20, d=11,5. Plott A:  $\sigma_{av}' - \varepsilon_a$ , M og  $c_v$
- 084.2 Ødometerforsøk, CRS-rutine, Le-20, d=11,5. Plott B:  $\sigma_{av}' - \varepsilon_a$ , k og  $u_b/\sigma$
- 085.1 Ødometerforsøk, CRS-rutine, Le-23, d=4,25. Plott A:  $\sigma_{av}' - \varepsilon_a$ , M og  $c_v$
- 085.2 Ødometerforsøk, CRS-rutine, Le-23, d=4,25. Plott B:  $\sigma_{av}' - \varepsilon_a$ , k og  $u_b/\sigma$
- 086.1 Ødometerforsøk, CRS-rutine, Le-23, d=8,25. Plott A:  $\sigma_{av}' - \varepsilon_a$ , M og  $c_v$
- 086.2 Ødometerforsøk, CRS-rutine, Le-23, d=8,25. Plott B:  $\sigma_{av}' - \varepsilon_a$ , k og  $u_b/\sigma$
- 087.1 Ødometerforsøk, CRS-rutine, Le-25, d=11,35. Plott A:  $\sigma_{av}' - \varepsilon_a$ , M og  $c_v$
- 087.2 Ødometerforsøk, CRS-rutine, Le-25, d=11,35. Plott B:  $\sigma_{av}' - \varepsilon_a$ , k og  $u_b/\sigma$
- 088.1 Ødometerforsøk, CRS-rutine, Le-35, d=19,5. Plott A:  $\sigma_{av}' - \varepsilon_a$ , M og  $c_v$
- 088.2 Ødometerforsøk, CRS-rutine, Le-35, d=19,5. Plott B:  $\sigma_{av}' - \varepsilon_a$ , k og  $u_b/\sigma$
- 090.1 Treaksialforsøk, CAU<sub>P</sub>, Le-6, d=35,25 m. Deviatorspenningssti. NTNU-plott.
- 090.2 Treaksialforsøk, CAU<sub>P</sub>, Le-6, d=35,25 m. NGI-plott.
- 090.3 Treaksialforsøk, CAU<sub>P</sub>, Le-6, d=35,25 m. Deviatorspenningssti. q - p'- plott.
- 090.4 Treaksialforsøk, CAU<sub>P</sub>, Le-6, d=35,25 m. Poretrykks- og mobiliseringsforløp.
- 090.5 Treaksialforsøk, CAU<sub>P</sub>, Le-6, d=35,25 m. Vannutpr. - tid, konsolideringsfase
- 091.1 Treaksialforsøk, CAU<sub>A</sub>, Le-6, d=35,4 m. Deviatorspenningssti. NTNU-plott.
- 091.2 Treaksialforsøk, CAU<sub>A</sub>, Le-6, d=35,4 m. NGI-plott.
- 091.3 Treaksialforsøk, CAU<sub>A</sub>, Le-6, d=35,4 m. Deviatorspenningssti. q - p'- plott.
- 091.4 Treaksialforsøk, CAU<sub>A</sub>, Le-6, d=35,4 m. Poretrykks- og mobiliseringsforløp.
- 091.5 Treaksialforsøk, CAU<sub>A</sub>, Le-6, d=35,4 m. Vannutpr. - tid, konsolideringsfase.
- 092.1 Treaksialforsøk, CAU<sub>A</sub>, Le-6, d=41,2 m. Deviatorspenningssti. NTNU-plott.
- 092.2 Treaksialforsøk, CAU<sub>A</sub>, Le-6, d=41,2 m. NGI-plott.
- 092.3 Treaksialforsøk, CAU<sub>A</sub>, Le-6, d=41,2 m. Deviatorspenningssti. q - p'- plott.
- 092.4 Treaksialforsøk, CAU<sub>A</sub>, Le-6, d=41,2 m. Poretrykks- og mobiliseringsforløp.
- 092.5 Treaksialforsøk, CAU<sub>A</sub>, Le-6, d=41,2 m. Vannutpr. - tid, konsolideringsfase.
- 093.1 Treaksialforsøk, CAU<sub>P</sub>, Le-6, d=43,7 m. Deviatorspenningssti. NTNU-plott.
- 093.2 Treaksialforsøk, CAU<sub>P</sub>, Le-6, d=43,7 m. NGI-plott.
- 093.3 Treaksialforsøk, CAU<sub>P</sub>, Le-6, d=43,7 m. Deviatorspenningssti. q - p'- plott.
- 093.4 Treaksialforsøk, CAU<sub>P</sub>, Le-6, d=43,7 m. Poretrykks- og mobiliseringsforløp.
- 093.5 Treaksialforsøk, CAU<sub>P</sub>, Le-6, d=43,7 m. Vannutpr. - tid, konsolideringsfase.

- 094.1 Treaksialforsøk, CAU<sub>P</sub>, Le-7, d=9,25 m. Deviatorspenningssti. NTNU-plott.
- 094.2 Treaksialforsøk, CAU<sub>P</sub>, Le-7, d=9,25 m. NGI-plott.
- 094.3 Treaksialforsøk, CAU<sub>P</sub>, Le-7, d=9,25 m. Deviatorspenningssti. q - p'- plott.
- 094.4 Treaksialforsøk, CAU<sub>P</sub>, Le-7, d=9,25 m. Poretrykks- og mobiliseringsforløp.
- 094.5 Treaksialforsøk, CAU<sub>P</sub>, Le-7, d=9,25 m. Vannutpr. - tid, konsolideringsfase.
- 095.1 Treaksialforsøk, CAU<sub>A</sub>, Le-7, d=9,4 m. Deviatorspenningssti. NTNU-plott.
- 095.2 Treaksialforsøk, CAU<sub>A</sub>, Le-7, d=9,4 m. NGI-plott.
- 095.3 Treaksialforsøk, CAU<sub>A</sub>, Le-7, d=9,4 m. Deviatorspenningssti. q - p'- plott.
- 095.4 Treaksialforsøk, CAU<sub>A</sub>, Le-7, d=9,4 m. Poretrykks- og mobiliseringsforløp.
- 095.5 Treaksialforsøk, CAU<sub>A</sub>, Le-7, d=9,4 m. Vannutpr. - tid, konsolideringsfase.
- 096.1 Treaksialforsøk, CAU<sub>A</sub>, Le-13, d=5,25 m. Deviatorspenningssti. NTNU-plott.
- 096.2 Treaksialforsøk, CAU<sub>A</sub>, Le-13, d=5,25 m. NGI-plott.
- 096.3 Treaksialforsøk, CAU<sub>A</sub>, Le-13, d=5,25 m. Deviatorspenningssti. q - p'- plott.
- 096.4 Treaksialforsøk, CAU<sub>A</sub>, Le-13, d=5,25 m. Poretrykks- og mobiliseringsforløp.
- 096.5 Treaksialforsøk, CAU<sub>A</sub>, Le-13, d=5,25 m. Vannutpr. - tid, konsolideringsfase.
- 097.1 Treaksialforsøk, CAU<sub>P</sub>, Le-13, d=6,45 m. Deviatorspenningssti. NTNU-plott.
- 097.2 Treaksialforsøk, CAU<sub>P</sub>, Le-13, d=6,45 m. NGI-plott.
- 097.3 Treaksialforsøk, CAU<sub>P</sub>, Le-13, d=6,45 m. Deviatorspenningssti. q - p'- plott.
- 097.4 Treaksialforsøk, CAU<sub>P</sub>, Le-13, d=6,45 m. Poretrykks- og mobiliseringsforløp.
- 097.5 Treaksialforsøk, CAU<sub>P</sub>, Le-13, d=6,45 m. Vannutpr. - tid, konsolideringsfase.
- 098.1 Treaksialforsøk, CAU<sub>A</sub>, Le-13, d=11,3 m. Deviatorspenningssti. NTNU-plott.
- 098.2 Treaksialforsøk, CAU<sub>A</sub>, Le-13, d=11,3 m. NGI-plott.
- 098.3 Treaksialforsøk, CAU<sub>A</sub>, Le-13, d=11,3 m. Deviatorspenningssti. q - p'- plott.
- 098.4 Treaksialforsøk, CAU<sub>A</sub>, Le-13, d=11,3 m. Poretrykks- og mobiliseringsforløp.
- 098.5 Treaksialforsøk, CAU<sub>A</sub>, Le-13, d=11,3 m. Vannutpr. - tid, konsolideringsfase.
- 099.1 Treaksialforsøk, CAU<sub>A</sub>, Le-17, d=19,2 m. Deviatorspenningssti. NTNU-plott.
- 099.2 Treaksialforsøk, CAU<sub>A</sub>, Le-17, d=19,2 m. NGI-plott.
- 099.3 Treaksialforsøk, CAU<sub>A</sub>, Le-17, d=19,2 m. Deviatorspenningssti. q - p'- plott.
- 099.4 Treaksialforsøk, CAU<sub>A</sub>, Le-17, d=19,2 m. Poretrykks- og mobiliseringsforløp.
- 099.5 Treaksialforsøk, CAU<sub>A</sub>, Le-17, d=19,2 m. Vannutpr. - tid, konsolideringsfase.
- 100.1 Treaksialforsøk, CAU<sub>A</sub>, Le-17, d=27,2 m. Deviatorspenningssti. NTNU-plott.
- 100.2 Treaksialforsøk, CAU<sub>A</sub>, Le-17, d=27,2 m. NGI-plott.
- 100.3 Treaksialforsøk, CAU<sub>A</sub>, Le-17, d=27,2 m. Deviatorspenningssti. q - p'- plott.
- 100.4 Treaksialforsøk, CAU<sub>A</sub>, Le-17, d=27,2 m. Poretrykks- og mobiliseringsforløp.

- 100.5 Treaksialforsøk, CAU<sub>A</sub>, Le-17, d=27,2 m. Vannutpr. - tid, konsolideringsfase.
- 101.1 Treaksialforsøk, CAU<sub>P</sub>, Le-17, d=27,3 m. Deviatorspenningssti. NTNU-plott.
- 101.2 Treaksialforsøk, CAU<sub>P</sub>, Le-17, d=27,3 m. NGI-plott.
- 101.3 Treaksialforsøk, CAU<sub>P</sub>, Le-17, d=27,3 m. Deviatorspenningssti. q - p'- plott.
- 101.4 Treaksialforsøk, CAU<sub>P</sub>, Le-17, d=27,3 m. Poretrykks- og mobiliseringsforløp.
- 101.5 Treaksialforsøk, CAU<sub>P</sub>, Le-17, d=27,3 m. Vannutpr. - tid, konsolideringsfase.
- 102.1 Treaksialforsøk, CAU<sub>P</sub>, Le-23, d=4,3 m. Deviatorspenningssti. NTNU-plott.
- 102.2 Treaksialforsøk, CAU<sub>P</sub>, Le-23, d=4,3 m. NGI-plott.
- 102.3 Treaksialforsøk, CAU<sub>P</sub>, Le-23, d=4,3 m. Deviatorspenningssti. q - p'- plott.
- 102.4 Treaksialforsøk, CAU<sub>P</sub>, Le-23, d=4,3 m. Poretrykks- og mobiliseringsforløp.
- 102.5 Treaksialforsøk, CAU<sub>P</sub>, Le-23, d=4,3 m. Vannutpr. - tid, konsolideringsfase.
- 103.1 Treaksialforsøk, CAU<sub>A</sub>, Le-23, d=4,4 m. Deviatorspenningssti. NTNU-plott.
- 103.2 Treaksialforsøk, CAU<sub>A</sub>, Le-23, d=4,4 m. NGI-plott.
- 103.3 Treaksialforsøk, CAU<sub>A</sub>, Le-23, d=4,4 m. Deviatorspenningssti. q - p'- plott.
- 103.4 Treaksialforsøk, CAU<sub>A</sub>, Le-23, d=4,4 m. Poretrykks- og mobiliseringsforløp.
- 103.5 Treaksialforsøk, CAU<sub>A</sub>, Le-23, d=4,4 m. Vannutpr. - tid, konsolideringsfase.
- 104.1 Treaksialforsøk, CAU<sub>P</sub>, Le-23, d=8,45 m. Deviatorspenningssti. NTNU-plott.
- 104.2 Treaksialforsøk, CAU<sub>P</sub>, Le-23, d=8,45 m. NGI-plott.
- 104.3 Treaksialforsøk, CAU<sub>P</sub>, Le-23, d=8,45 m. Deviatorspenningssti. q - p'- plott.
- 104.4 Treaksialforsøk, CAU<sub>P</sub>, Le-23, d=8,45 m. Poretrykks- og mobiliseringsforløp.
- 104.5 Treaksialforsøk, CAU<sub>P</sub>, Le-23, d=8,45 m. Vannutpr. - tid, konsolideringsfase.
- 105.1 Treaksialforsøk, CAU<sub>A</sub>, Le-23, d=8,55 m. Deviatorspenningssti. NTNU-plott.
- 105.2 Treaksialforsøk, CAU<sub>A</sub>, Le-23, d=8,55 m. NGI-plott.
- 105.3 Treaksialforsøk, CAU<sub>A</sub>, Le-23, d=8,55 m. Deviatorspenningssti. q - p'- plott.
- 105.4 Treaksialforsøk, CAU<sub>A</sub>, Le-23, d=8,55 m. Poretrykks- og mobiliseringsforløp.
- 105.5 Treaksialforsøk, CAU<sub>A</sub>, Le-23, d=8,55 m. Vannutpr. - tid, konsolideringsfase.
- 150 Borutskrift Le-1, CPTU-1, Le-2
- 151 Borutskrift Le-3, CPTU-3, Le-3a
- 152 Borutskrift DTR-4, Le-4, CPTU-4
- 153 Borutskrift Le-5, Le-6, CPTU-6
- 154 Borutskrift DTR-7, Le-7, CPTU-7, Le-8
- 155 Borutskrift Le-9, CPTU-9, Le-10
- 156 Borutskrift Le-11, CPTU-11, Le-12
- 157 Borutskrift Le-13, CPTU-13

- 158 Borutskrift DTR-14, Le-14, CPTU-14
- 159 Borutskrift Le-15, Le-16, CPTU-16
- 160 Borutskrift Le-17, CPTU-17, Le-18
- 161 Borutskrift Le-21, Le-22, DTR-19, Le-19, Le-20
- 162 Borutskrift Le-23, Le-25, CPTU-25, Le-26

## **VEDLEGG**

### A. Borpunktliste

## **BILAG**

1. Geotekniske bilag - feltundersøkelser
2. Geotekniske bilag - laboratorieundersøkelser
3. Metodestandarder og retningslinjer – feltundersøkelser
4. Metodestandarder og retningslinjer - laboratorieundersøkelser

## **1 Innledning**

### **1.1 Bakgrunn**

Multiconsult AS er engasjert av NVE Region-midt for å utføre grunnundersøkelser i kvikkleiresonen 199 Leira og 206 Romolslia. Grunn- og laboratorieundersøkelsene er utført etter borplan og program fra NGI.

Foreliggende rapport inneholder resultater fra felt- og laboratorieundersøkelsen fra kvikkleiresone 199 Leira.

### **1.2 Myndighetskrav**

Oppdraget er kvalitetssikret i henhold til Multiconsults styringssystem. Systemet er bygget opp med prosedyrer og beskrivelser som er dekkende for kvalitetsstandard NS-EN ISO 9001:2008 [1].

Oppdraget er også gjennomført i henhold til Eurokode EN-1997, del 2 Geoteknisk prosjektering – Del 2: Regler basert på grunnundersøkelser og laboratorieprøver [3] og tilhørende tilgjengelige metodestandarder. I tillegg er NS 8000-serien benyttet ved utførelse av laboratorieundersøkelsene, mens feltundersøkelsene er utført i henhold til Norsk Geoteknisk Forenings meldinger. Se for øvrig bilag nr. 3 og 4 for samlet oversikt over utvalgte metodestandarder.

## 2 Grunnundersøkelser

### 2.1 Feltundersøkelser

Feltarbeidet ble utført mellom oktober 2012 og februar 2013. Sonderboringene er utført med beltegående borerigg av typen Geotech 607D under ledelse av borleder Lars Hvitsten. Prøvetaking, trykksonderinger og poretrykksinstallasjoner er utført med borerigg av typen Geotech 607 H under ledelse av borleder Vidar Tøndervik.

Feltundersøkelsene omfattet:

- Totalsonderinger i 25 borpunkter.
- Dreietrykksonderinger i 5 borpunkter.
- Trykksonderinger (CPTU) i 12 borpunkter
- Opptak av 54mm / 75mm sylinderprøver i 13 punkter.
- Opptak av skovlprøver i 4 punkter.
- Installasjon av 16 elektriske poretrykksmålere på 6 forskjellige lokasjoner.

Vedlegg A gir en oversikt over borpunkt med koordinater og undersøkelsestype .

Totalsonderinger gir informasjon om løsmassenes beskaffenhet og lagringsforhold samtidig som metoden har god nedtrengningsevne og kan benyttes til bergpåvisning.

Dreietrykksondring gir informasjon om løsmassenes beskaffenhet og lagringsforhold samt dybde til fast grunn. Utstyret har begrenset nedtrengningsevne i steinholdig grunn og kan ikke benyttes til påvisning av berg.

Trykksondring (CPTU) gir informasjon om løsmassenes beskaffenhet, lagringsforhold, lagdeling og jordartstype samt en indikasjon på poretrykk og materialparametere.

Borpunktene er satt ut, og senere innmålt, av feltkoordinator med DGPS. Systemet opplyses å ha en nøyaktighet i horisontalplanet på 1-2 cm og 2-4 cm i vertikalplanetyde. Plassering av borpunkt er vist på borplanen, tegning nr. 415655-RIG-TEG-001.

Sonderingsresultatene er opptegnet på tegning nr. -150 t.o.m.-162. Rådata fra trykksondringene (CPTU) er presentert på tegning -040.1 t.o.m. -051.5.

Boringenes utførelse og tilhørende resultater er generelt beskrevet i geoteknisk bilag 1.

### 2.2 Laboratorieundersøkelser

#### 2.2.1 Rutineundersøkelser

De opptatte prøvene er undersøkt i vårt geotekniske laboratorium i Trondheim med tanke på klassifisering og identifisering av jordartene, samt bestemmelse av prøvenes mekaniske egenskaper. Ved denne undersøkelsen er prøvene geoteknisk klassifisert og beskrevet med måling av vanninnhold og tyngdetetthet. Der det lar seg gjøre er det også målt udrenert og omrørt skjærfasthet i massene.

Resultat fra rutineundersøkelsen er presentert som geotekniske data i tegning nr. -010 t.o.m. -022.

Utførelsen av laboratorieundersøkelsene er generelt beskrevet i geoteknisk bilag 2.

### **2.2.2 Ødometerforsøk**

Det er utført 14 kontinuerlige ødometerforsøk (CRS). Resultatene fra ødometerforsøkene er presentert på tegning nr. -075.1 t.o.m. -088.2.

### **2.2.3 Treaksialforsøk**

Det er utført 16 treaksialforsøk, hvor 9 av forsøkene er utført som aktive forsøk (CAU<sub>A</sub>) og 7 er utført som passive forsøk (CAU<sub>P</sub>). Resultatene fra treaksialforsøkene er presentert på tegning nr. -090.1 t.o.m. -105.5.

### 3 Grunnforhold

#### 3.1 Løsmasser

Total- og dreietrykksonderingene er avsluttet i faste masser, etter ønsket kontrolldybde i berg, eller etter maks dybder gitt av NGI. Boret dybde i løsmasser varierer fra ca. 15 – 80 m under terreng. Trykksonderingene (CPTU) er avsluttet i dybder inntil 60 m.

#### 3.2 Grunnvann og poretrykk

Det er satt ned total 16 elektriske poretrykksmålere. Målerne er satt ned på ulike dybder fordelt på 6 lokasjoner. Alle målerne er avlest 1-2 ganger ca. 3 uker eller mer etter installasjon. For resultater vises til tabell 3.1.

Piezometer	Kote terren	Kote piezometer spiss	Høyeste avleste poretrykk [kPa]	Grunnvannsnivå fra poretrykk [kote]*
6A	+113,5	+103,5	42,6	+107,76
6B	+113,5	+93,5	20,0	+95,5
6C	+113,5	+83,5	59,5	+89,5
6D	+113,5	+68,5	35,7	+72,1
7A	+75,2	+65,2	97,6	+75,0
7B	+75,2	+45,2	23,8	+47,6
11A	+111,2	+101,2	77,6	+109,0
11B	+111,2	+91,2	5,8	+91,8
13A	+45,2	+40,2	42,3	+44,4
13B	+45,2	+30,2	5,85	+36,1
17A	+81,5	+71,5	64,7	+78,0
17B	+81,5	+61,5	66,0	+68,1
17C	+81,5	+51,5	100,6	+61,56
17D	+81,5	+41,5	123,3	+53,8
24A	+74,0	+69,0	10,0	+70,0
24B	+74,0	+59,0	32,1	+62,2

\* Hydrostatisk poretrykksfordeling

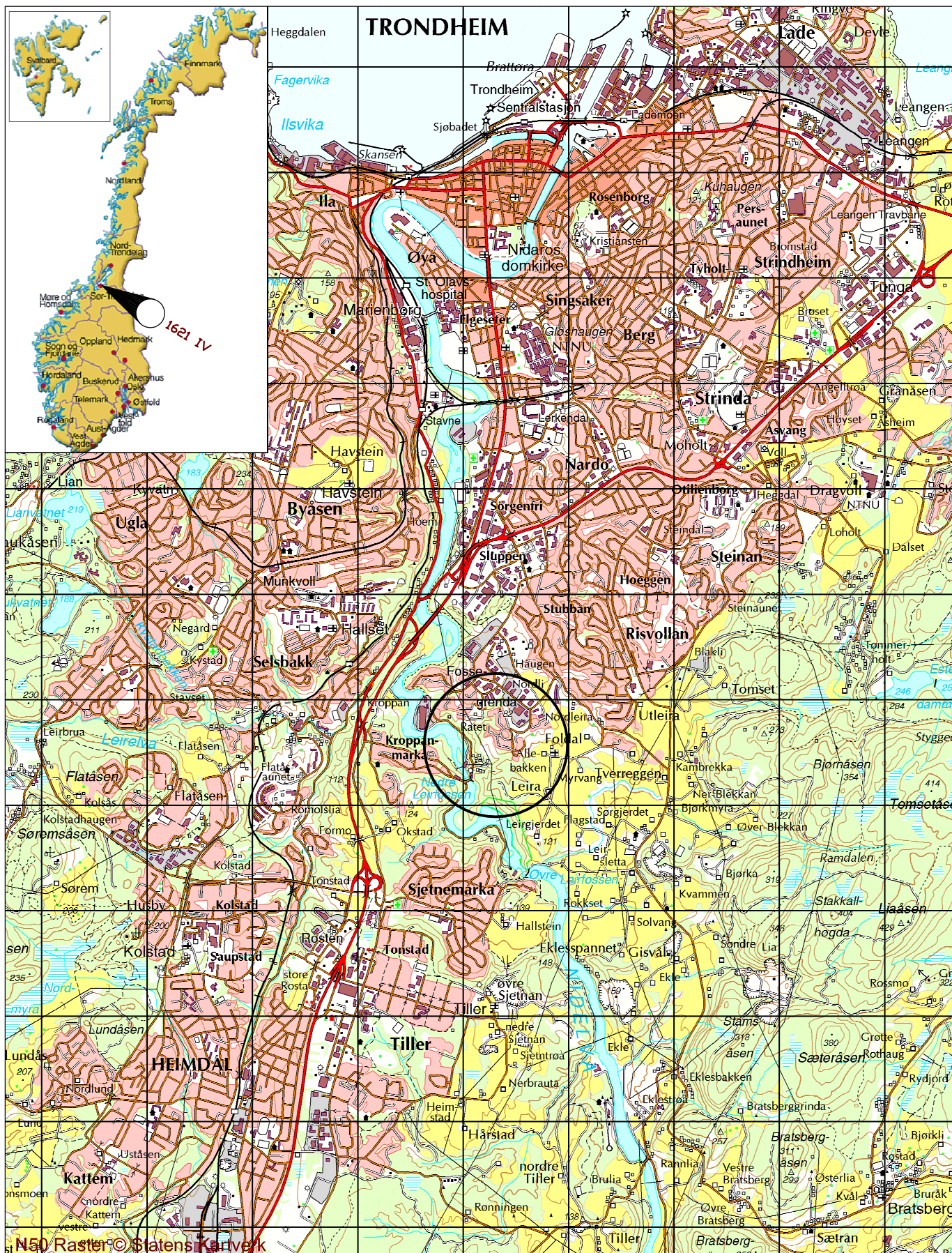
Tabell 3.1 Installerte poretrykksmålere med avleste verdier

## **4 Sluttkommentar**

Rådatafiler fra totalsonderinger, dreietrykksonderinger og trykksonderinger er oversendt NGI. Kalibreringsdata for benyttede CPTU-sonder er også oversendt NGI som grunnlag for tolkning av resultatene. For øvrig vises til kalibreringsdata og oppnådd kvalitetsklasse for cptu-sonderingene angitt på tegningene 415655-RIG-TEG-040.5 t.o.m. 051.5.

Det bemerkes at det er brudd i enkelte av trykksonderingene i dybden, noe som skyldes forboring gjennom faste/grove lag.

Dette er en ren datarapport uten noen form for tolkning og vurdering av grunnforholdene. For resultater vises til rapportens tegninger.



## OVERSIKTSKART

NVE Region midt  
Kvikkleiresone Leira

Målestokk  
1:50 000



MULTICONsULT AS  
7486 Trondheim  
Tlf: 73 10 62 00 - Faks: 73 10 62 30/70

Dato Oppdragsnr.	15.05.2013	Tegnet Tegningsnr.	JMP	Kontrollert Tegningsnr.	ARV	Godkjent Rev.
			RIG-TEG-000.1			OAA

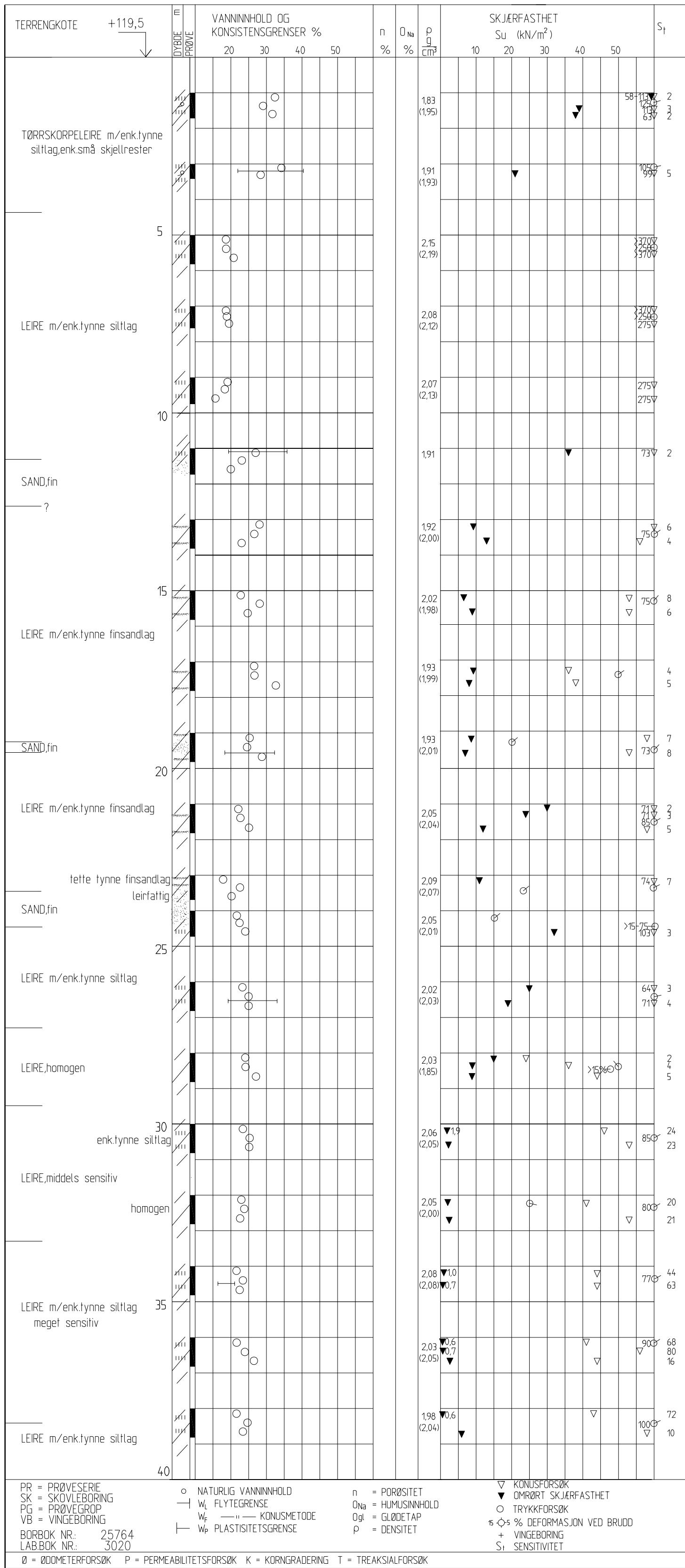


Tegningstittel:	BORPLAN	Tegningsnr.:	RIG-TEG-001	Rev.:
-----------------	---------	--------------	-------------	-------

TEGNFORKLARING:	
● DREIESONDERING	◊ FJELLKONTROLLBORING
○ ENKEL SONDERING	○ KJERNEBORING
▼ RAMSONDERING	□ PROVEGRIP
○ TOTALSONDERING	▽ DREIETRYKKSONDERING
○ TERRENGKOTE/SJØBUNNKNUTE	▽ TRYKKSONDERING
ANTATT FJELLKOTE	
BOR.BOK NR:22097, 25764, 25765, 25766, 25773, 25788, 26143, 26145, 26146, 26148, 26149, 26215, 26220, 26235 26334, 26335, 26336 LAB.BOK NR:2193, 3020 KARTGRUNNLAG: DIGITALT KART FRA ING HØYDREFERANSE: NN2000 KOORDINATSISTEM: EUREF 89 SONE 32V UTGANGSPUNKT FOR NIVELLEMENT: Børpunkt innmøtt med Trimble GeoExplorer 6000	+ VINGEBORING ○ PIRETRYKKMALING △ BERG I DAGEN

BOR.BOK NR:22097, 25764, 25765, 25766, 25773, 25788, 26143, 26145, 26146, 26148, 26149, 26215, 26220, 26235  
26334, 26335, 26336  
LAB.BOK NR:2193, 3020  
KARTGRUNNLAG: DIGITALT KART FRA ING  
HØYDREFERANSE: NN2000  
KOORDINATSISTEM: EUREF 89 SONE 32V  
UTGANGSPUNKT FOR NIVELLEMENT: Børpunkt innmøtt med Trimble GeoExplorer 6000

Rev.	Beskrivelse	Dato	Tegn.	Kontr.	Godkj.
A1	NVE Region midt Kvikkleiresone Leira Grunnundersøkelser	Original format Tegningslinjer finnes 415655-RIG-TEG-001_BORPLAN-LEIRA.dwg Underliggende filmer Trondheim.dwg	Fag Geoteknikk		
	BORPLAN	Møtestakk			
		1:2000	MULTICON		
	MULTICONSULT AS	Dato 02.05.2013	Konstr./Tegnet IMP	Kontrollert ARV	Godkjent OAA
	Oppdragsnr. 7486 TRONDHEIM	Tegningsnr. RIG-TEG-001			
	Oppdragsnr. 7486 TRONDHEIM	Oppdragsnr. Tegningsnr.			
	415655	415655			
		Rev.			



PR = PRØVESERIE  
SK = SKOVLEBORING  
PG = PRØVEGROP  
VB = VINGEBORING  
BORBOK NR.: 25764  
LAB.BOK NR.: 3020

○ NATURLIG VANNINNHOLD  
W<sub>L</sub> FLYTEGRENSE  
W<sub>F</sub> —— KONUSMETODE  
W<sub>P</sub> PLASTISITETSGRENSE

n = POROSITET  
 $\text{O}_{\text{Na}}$  = HUMUSINNHOLD  
Ogl = GLØDETAP  
 $\rho$  = DENSITET

▽ KONUSFORSØK  
▼ OMRØRT SKJÆRFASTHET  
○ TRYKKFORSØK  
15-5 % DEFORMASJON VED BRUDD  
+ VINGEBORING  
 $S_t$  SENSITIVITET

Ø = ØDOMETERFORSØK P = PERMEABILITETSFORSØK K = KORNGRADERING T = TREAKSIALFORSØK

## GEOTEKNISKE DATA

NVE Region midt  
Kvikkleiresone Leira  
Grunnundersøkelse

MULTICONSULT AS

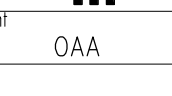
7486 TRONDHEIM  
Tlf.: 73 10 62 00 - Fax: 73 10 62 30/70

Dato 06.03.2013 Tegnet  
Oppdragsnr. 415655 Tegningsnr.

truk 415655 RIG-TEG-010

Kontrollert ARV Godkjent OAA

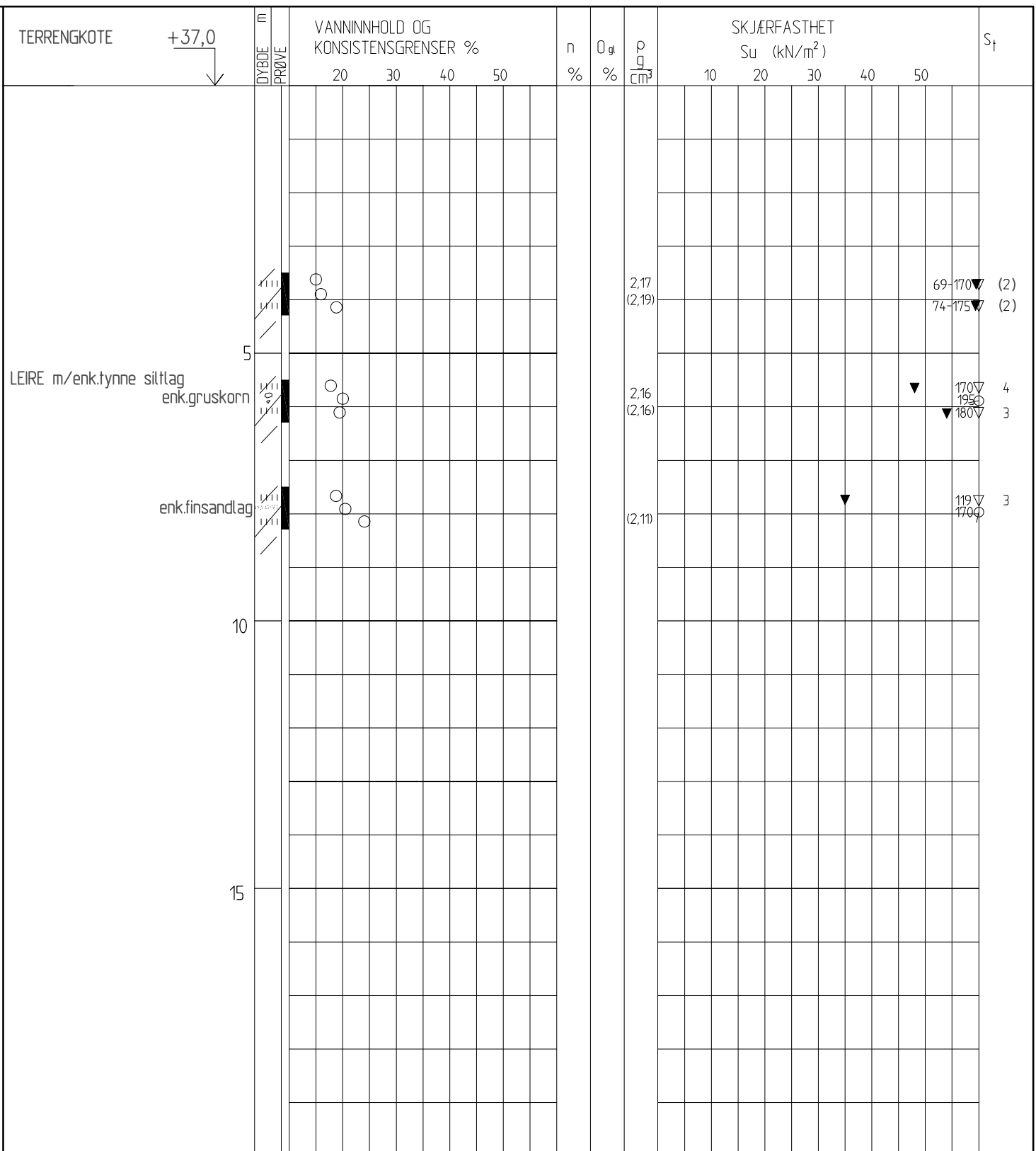
Rev.



Boring nr. Le-1 Tegningens filnavn  
415655-RIG-TEG-010\_hLe1.dwg

Borplan nr.  
-001

Boret dato:  
20.11.2012



PR = PRØVESERIE  
 SK = SKOVLEBORING  
 PG = PRØVEGROP  
 VB = VINGEBORING  
 BORBOK NR.: 25766  
 LAB.BOK NR.: 3020

○ NATURLIG VANNINNHOLD  
 — W<sub>L</sub> FLYTEGRENSE  
 — W<sub>F</sub> — KONUSMETODE  
 — W<sub>P</sub> PLASTISITETSGRENSE

n = POROSITET  
 Ø<sub>Na</sub> = HUMUSINNHOLD  
 Ø<sub>gl</sub> = GLØDETAP  
 ρ = DENSITET

▽ KONUSFORSØK  
 ▼ OMRØRT SKJÆRFASTHET  
 ○ TRYKKFORSØK  
 15 Ø 5 % DEFORMASJON VED BRUDD  
 + VINGEBORING  
 S<sub>t</sub> SENSITIVITET

Ø = ØDOMETERFORSØK P = PERMEABILITETSFORSØK K = KORNGRADERING T = TREAKSIALFORSØK

## GEOTEKNIKKE DATA

NVE Region midt  
Kvikkleiresone Leira  
Grunnundersøkelser

Boring nr.  
Le-3a  
Tegningens filnavn  
415655-RIG-TEG-011\_hLe3a.dwg

Borplan nr.  
-001  
Boret dato:  
08.02.2013



MULTICONULT AS

7486 TRONDHEIM  
Tlf.: 73 10 62 00 – Fax: 73 10 62 30/70

Dato 19.03.2013

Oppdragsnr.

415655

Tegnet  
truk

Tegningsnr.

RIG-TEG-011

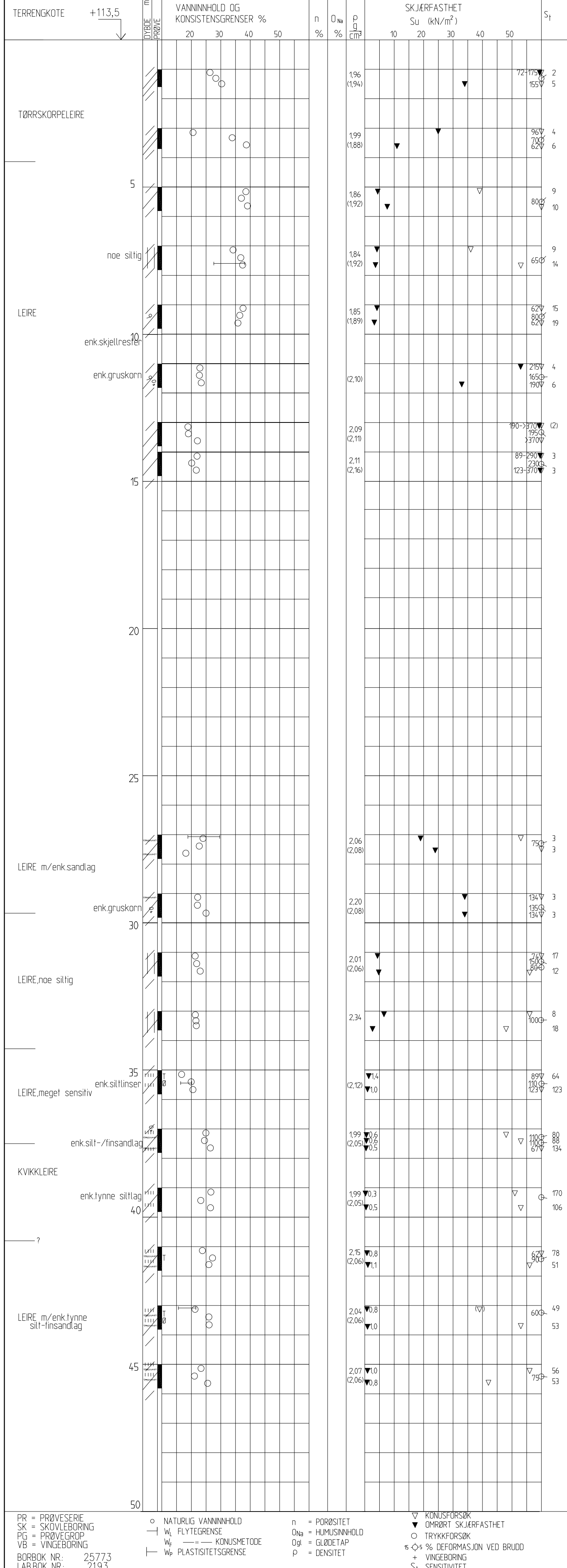
Kontrollert  
ARV

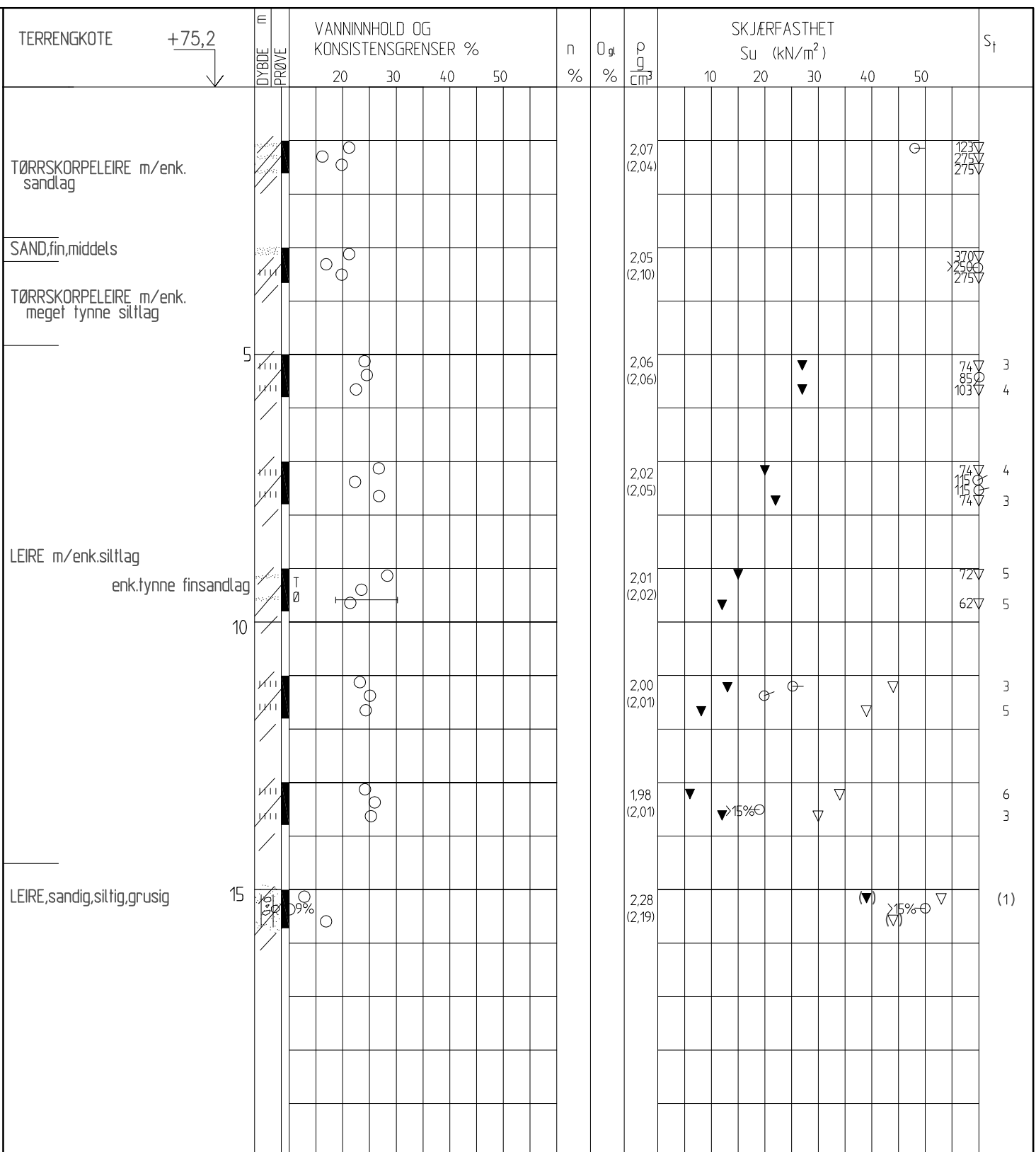
Godkjent

OAA

Rev.

00





PR = PRØVESERIE

SK = SKOVLEBORING

PG = PRØVEGROP

VB = VINGEBORING

BORBOK NR.: 26143

LAB.BOK NR.: 2193

○ NATURLIG VANNINNHOLD

— W<sub>L</sub> FLYTEGRENSEW<sub>F</sub> —— KONUSMETODE— W<sub>P</sub> PLASTISITETSGRENSE

n = POROSITET

O<sub>Na</sub> = HUMUSINNHOLDO<sub>gl</sub> = GLØDETAP

ρ = DENSITET

▽ KONUSFORSØK

▼ OMØRØRT SKJÆRFASHTET

○ TRYKKFORSØK

15 ○ 5 % DEFORMASJON VED BRUDD

+ VINGEBORING

S<sub>f</sub> SENSITIVITET

Ø = ØDOMETERFORSØK P = PERMEABILITETSFORSØK K = KORNGRADERING T = TREAKSIALFORSØK

## GEOTEKNIKKE DATA

NVE Region midt  
Kvikkleiresone Leira  
Grunnundersøkelser

Boring nr. Le-7 Tegningens filnavn  
415655-RIG-TEG-013\_hLe7.dwg

Borplan nr.  
-001

Boret dato:  
09-10.01.2013



**MULTICONSULT AS**

7486 TRONDHEIM  
Tlf.: 73 10 62 00 – Fax: 73 10 62 30/70

Dato 01.03.2013

Oppdragsnr.

415655

Tegnet  
truk

Tegningsnr.

RIG-TEG-013

Kontrollert

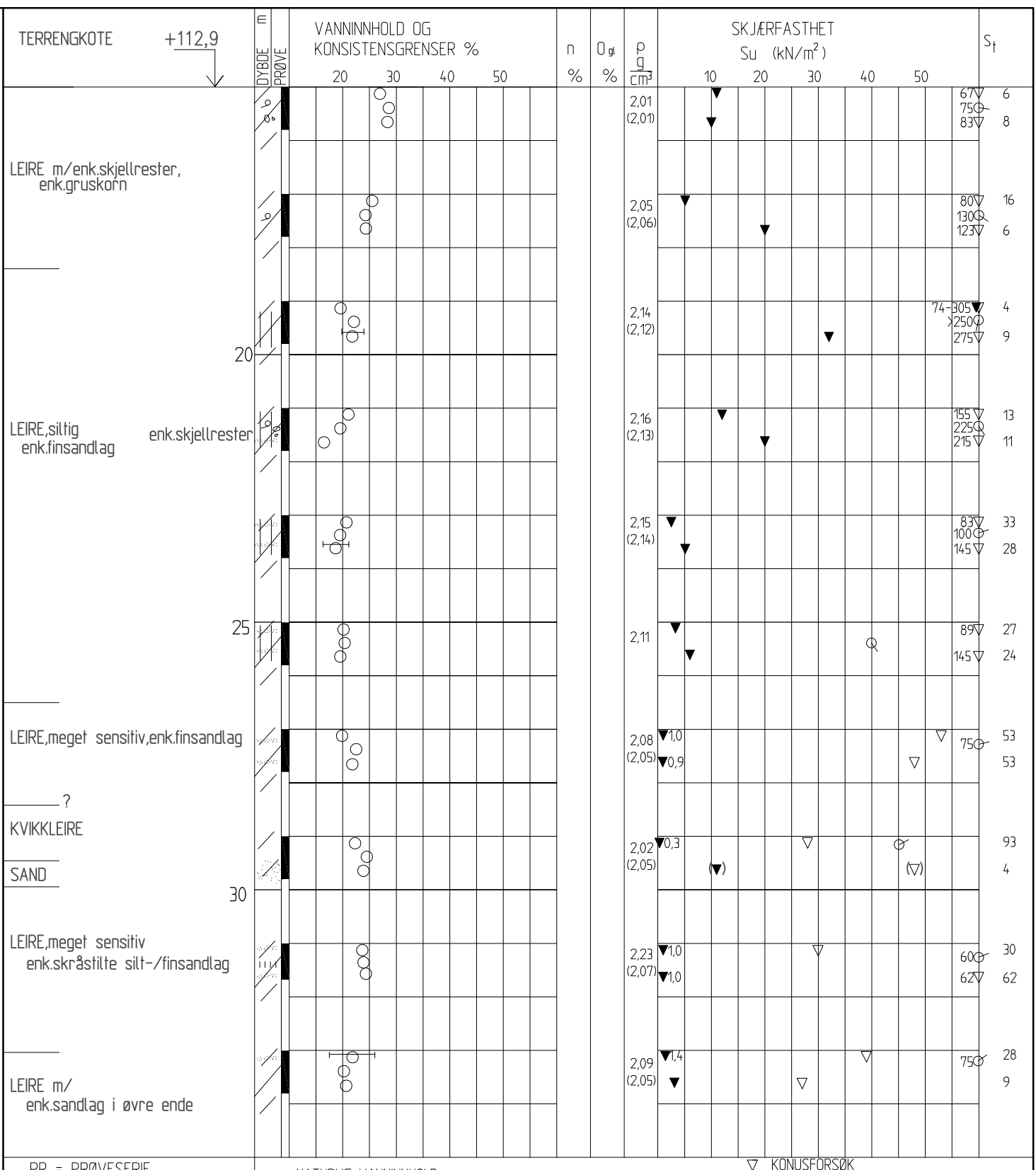
ARV

Godkjent

OAA

Rev.

00



PR = PRØVESERIE  
SK = SKOVLEBORING  
PG = PRØVEGROP  
VB = VINGEBORING  
BORBOK NR.: 26235  
LAB.BOK NR.: 2193

○ NATURLIG VANNINNHOLD  
— W<sub>L</sub> FLYTEGRENSE  
— W<sub>F</sub> — KONUSMETODE  
— W<sub>P</sub> PLASTISITETSGRENSE

n = POROSITET  
O<sub>Na</sub> = HUMUSINNHOLD  
O<sub>gl</sub> = GLØDETAP  
ρ = DENSITET

▽ KONUSFORSØK  
▼ OMRØRT SKJÆRFASHTET  
○ TRYKKFORSØK  
15 ○ 5 % DEFORMASJON VED BRUDD  
+ VINGEBORING  
S<sub>t</sub> SENSITIVITET

Ø = ØDOMETERFORSØK P = PERMEABILITETSFORSØK K = KORNGRADERING T = TREAKSIALFORSØK

## GEOTEKNIKKE DATA

NVE Region midt  
Kvikkleiresone Leira  
Grunnundersøkelser

Boring nr.  
Le-9  
Tegningens filnavn  
415655-RIG-TEG-014\_hLe9.dwg

Borplan nr.  
-001  
Boret dato:  
06-11.12.2012



MULTICONULT AS

7486 TRONDHEIM  
Tlf.: 73 10 62 00 - Fax: 73 10 62 30/70

Dato 01.03.2013

Oppdragsnr.

415655

Tegnet  
truk

Tegningsnr.

RIG-TEG-014

Kontrollert

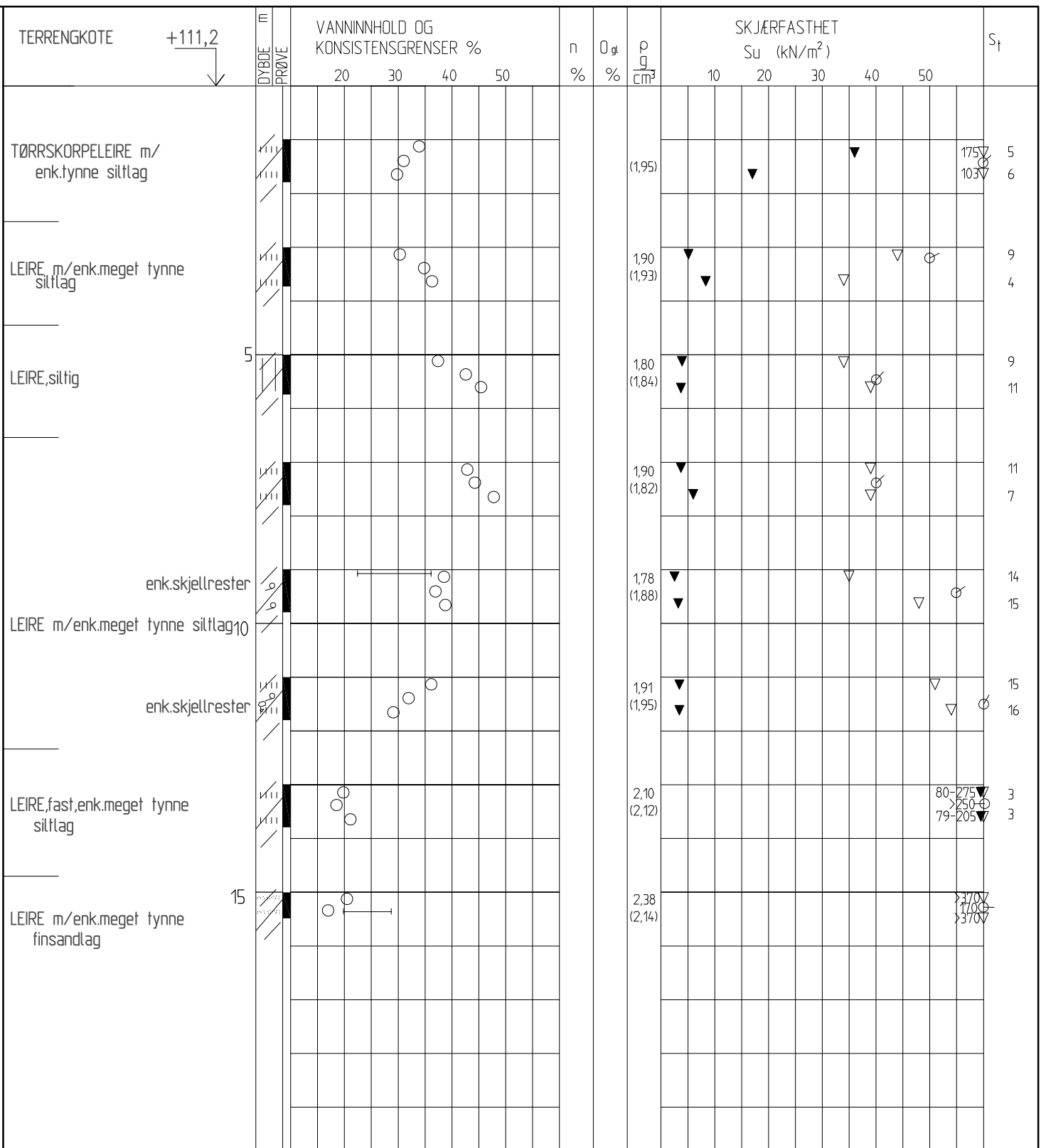
ARV

Godkjent

OAA

Rev.

00



PR = PRØVESERIE  
 SK = SKOVLEBORING  
 PG = PRØVEGROP  
 VB = VINGEBORING  
 BORBOK NR.: 25765  
 LAB.BOK NR.: 2193

○ NATURLIG VANNINNHOLD  
 └ W<sub>L</sub> FLYTEGRENSE  
 └ W<sub>F</sub> --- KONUSMETODE  
 └ W<sub>P</sub> PLASTISITETSGRENSE

n = POROSITET  
 Ø<sub>Na</sub> = HUMUSINNHOLD  
 Ø<sub>gl</sub> = GLØDETAP  
 ρ = DENSITET

▽ KONUSFORSØK  
 ▼ OMRØRT SKJÆRFASTHET  
 ○ TRYKKFORSØK  
 15 Ø 5 % DEFORMASJON VED BRUDD  
 + VINGEBORING  
 S<sub>f</sub> SENSITIVITET

Ø = ØDOMETERFORSØK P = PERMEABILITETSFORSØK K = KORNGRADERING T = TREAKSIALFORSØK

## GEOTEKNIKKE DATA

NVE Region midt  
Kvikkleiresone Leira  
Grunnundersøkelser

Boring nr.  
Le-11  
Tegningens filnavn  
415655-RIG-TEG-015\_hLe11.dwg

Borplan nr.  
-001  
Boret dato:  
03-04.12.2013



**MULTICONSULT AS**

7486 TRONDHEIM  
Tlf.: 73 10 62 00 – Fax: 73 10 62 30/70

Dato 01.03.2013

Tegnet  
truk

Kontrollert  
ARV

Godkjent  
OAA

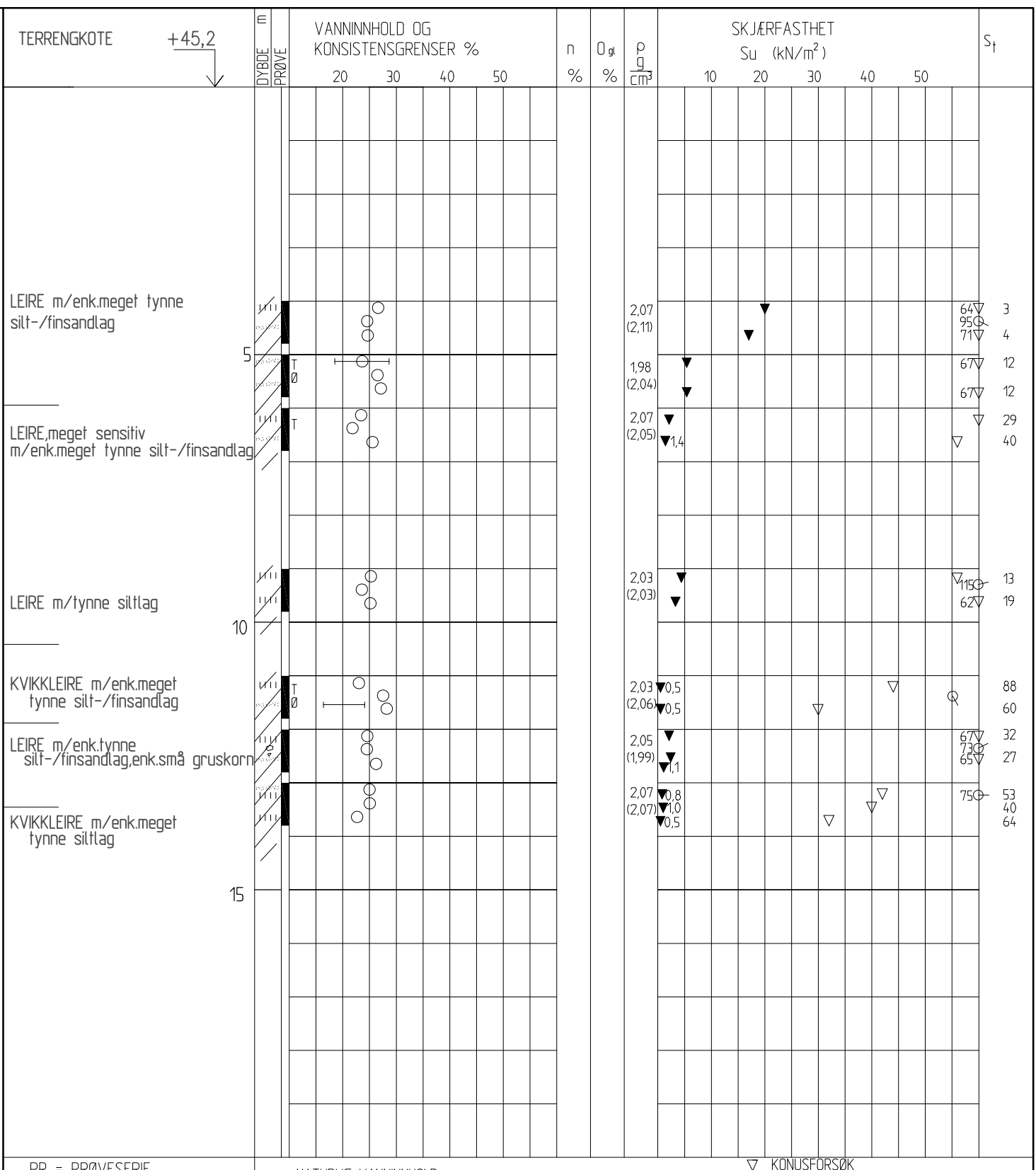
Oppdragsnr. 415655

Tegningsnr.

RIG-TEG-015

Rev.

00



PR = PRØVESERIE  
 SK = SKOVLEBORING  
 PG = PRØVEGROP  
 VB = VINGEBORING  
 BORBOK NR.: 25788  
 LAB.BOK NR.: 2193

○ NATURLIG VANNINNHOLD  
 └─ W<sub>L</sub> FLYTEGRENSE  
 └─ W<sub>F</sub> --- KONUSMETODE  
 └─ W<sub>P</sub> PLASTISITETSGRENSE

n = POROSITET  
 O<sub>Na</sub> = HUMUSINNHOLD  
 O<sub>gl</sub> = GLØDETAP  
 ρ = DENSITET

▽ KONUSFORSØK  
 ▼ OMRØRT SKJÆRFASHTET  
 ○ TRYKKFORSØK  
 15 ± 5 % DEFORMASJON VED BRUDD  
 + VINGEBORING  
 S<sub>t</sub> SENSITIVITET

Ø = ØDOMETERFORSØK P = PERMEABILITETSFORSØK K = KORNGRADERING T = TREAKSIALFORSØK

## GEOTEKNIKKE DATA

NVE Region midt  
Kvikkleiresone Leira  
Grunnundersøkelser

Boring nr.  
Le-13 Tegningens filnavn  
415655-RIG-TEG-016\_hLe13.dwg

Borplan nr.  
-001  
Boret dato:  
21-22.01.2013



MULTICONSPORT AS

7486 TRONDHEIM  
Tlf.: 73 10 62 00 - Fax: 73 10 62 30/70

Dato 01.03.2013

Oppdragsnr.

415655

Tegnet  
truk

Tegningsnr.

RIG-TEG-016

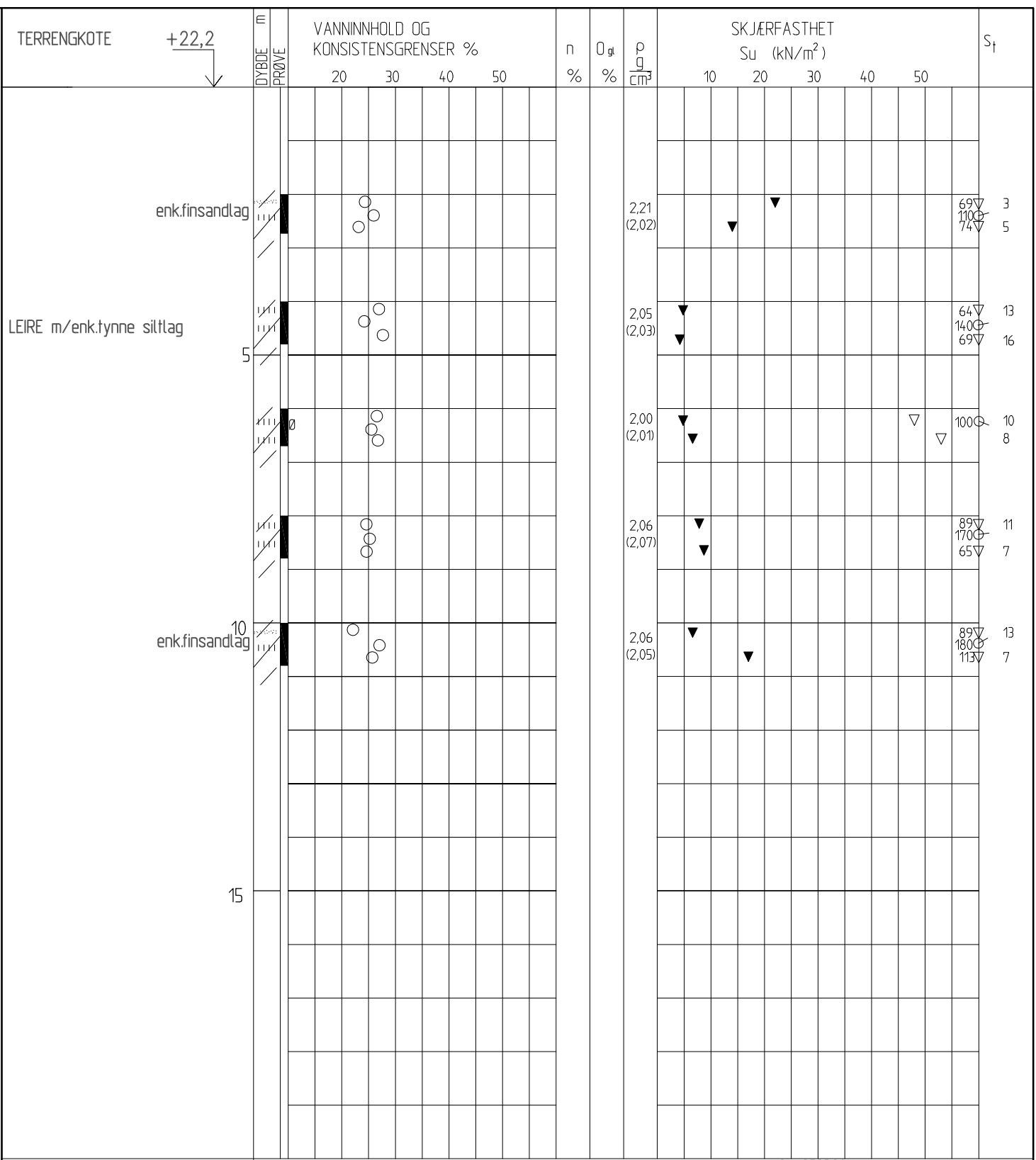
Kontrollert  
ARV

Godkjent

OAA

Rev.

00



## GEOTEKNIKSKE DATA

NVE Region midt  
 Kvikkleiresone Leira  
 Grunnundersøkelser

**MULTICONSULT AS**

Tlf.: 73 10 62 00 – Fax: 73 10 62 30/70

Dato 22.03.2013

Oppdragsnr.

415655

Tegnet  
truk

Tegningsnr.

RIG-TEG-017

Boring nr.  
Le-15

Borplan nr.  
-001

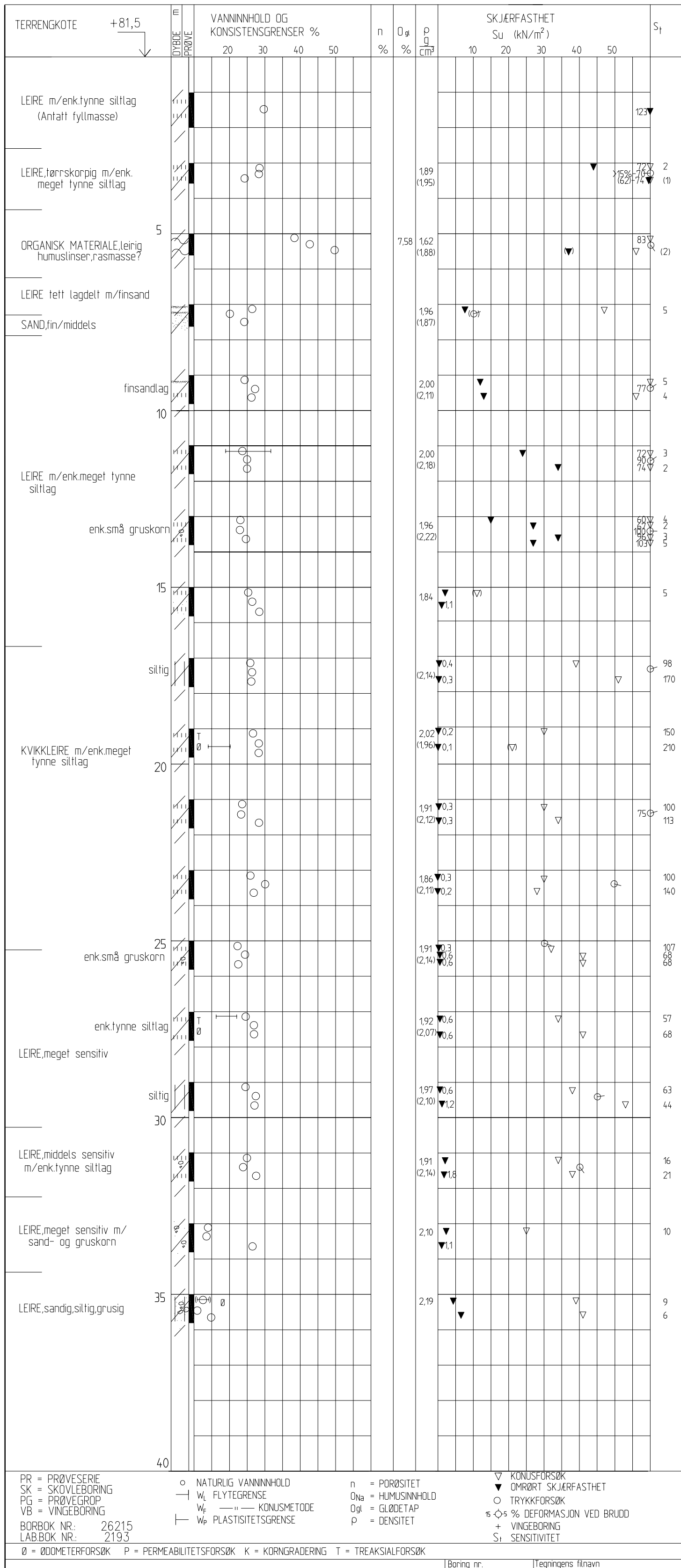
Boret dato:  
19.02.2013

Tegningens filnavn  
415655-RIG-TEG-017\_h Le15.dwg

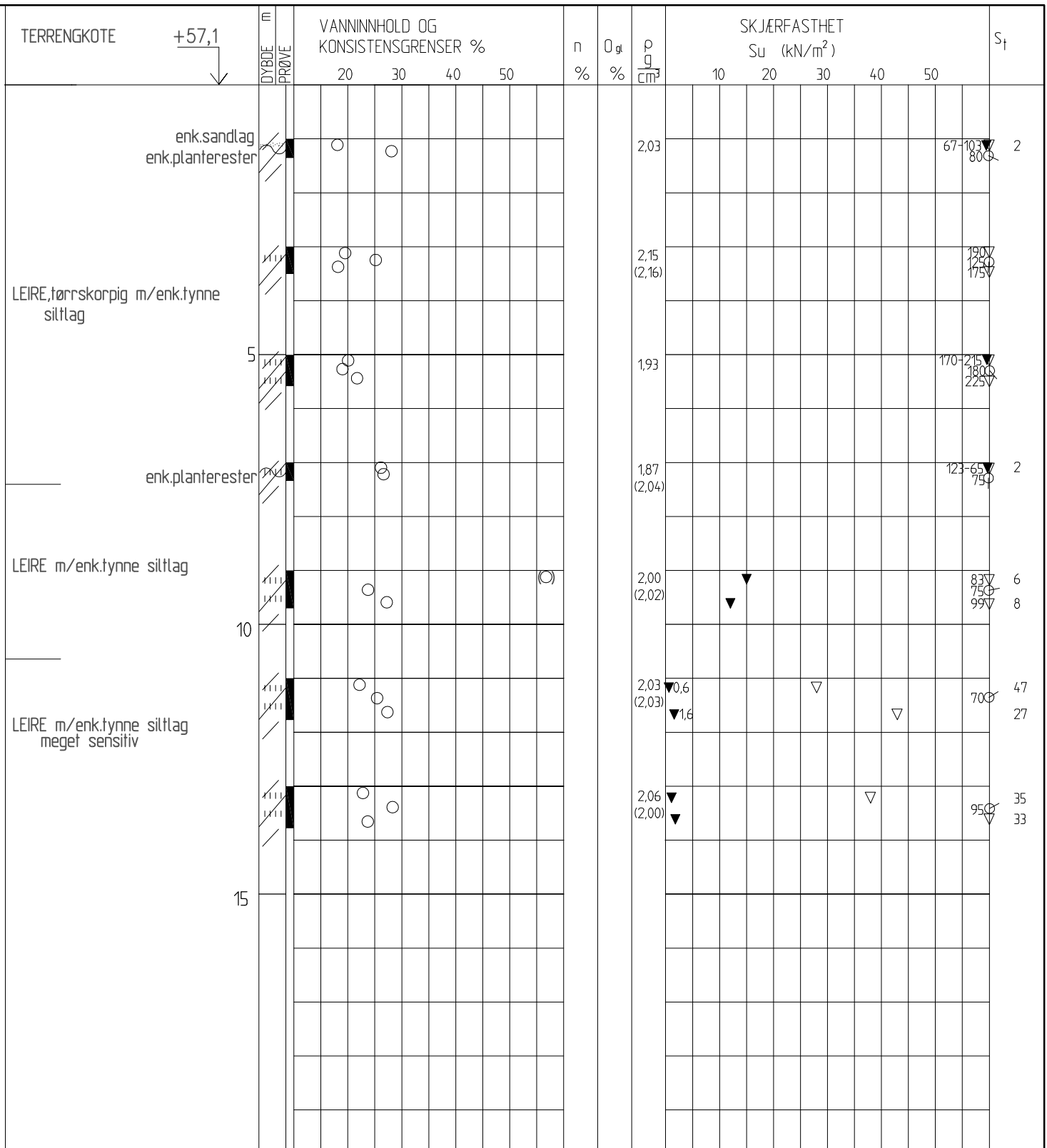
MULTICONSULT

Godkjent  
OAA

Rev.  
00



MULTICONSULT AS	Dato 22.02.2013	Tegnet truk	Kontrollert ARV	Godkjent OAA
	Oppdragsnr. 415655	Tegningsnr. 415655	RIG-TEG-018	Rev.



PR = PRØVESERIE  
SK = SKOVLEBORING  
PG = PRØVEGROP  
VB = VINGEBORING  
BORBOK NR.: 26148  
LAB.BOK NR.: 2193

○ NATURLIG VANNINNHOLD  
— W<sub>L</sub> FLYTEGRENSE  
— W<sub>F</sub> — KONUSMETODE  
— W<sub>P</sub> PLASTISITETSGRENSE

n = POROSITET  
O<sub>Na</sub> = HUMUSINNHOLD  
O<sub>gl</sub> = GLØDETAP  
ρ = DENSITET

▽ KONUSFORSØK  
▼ OMRØRT SKJÆRFASHTET  
○ TRYKKFORSØK  
15 Ø5 % DEFORMASJON VED BRUDD  
+ VINGEBORING  
S<sub>t</sub> SENSITIVITET

Ø = ØDOMETERFORSØK P = PERMEABILITETSFORSØK K = KORNGRADERING T = TREAKSIALFORSØK

## GEOTEKNIKKE DATA

NVE Region midt  
Kvikkleiresone Leira  
Grunnundersøkelser

Boring nr.  
Le-18 Tegningens filnavn  
415655-RIG-TEG-019\_hLe18.dwg

Borplan nr.  
-001  
Boret dato:  
19.02.2013



MULTICONULT AS

7486 TRONDHEIM  
Tlf.: 73 10 62 00 - Fax: 73 10 62 30/70

Dato 02.04.2013

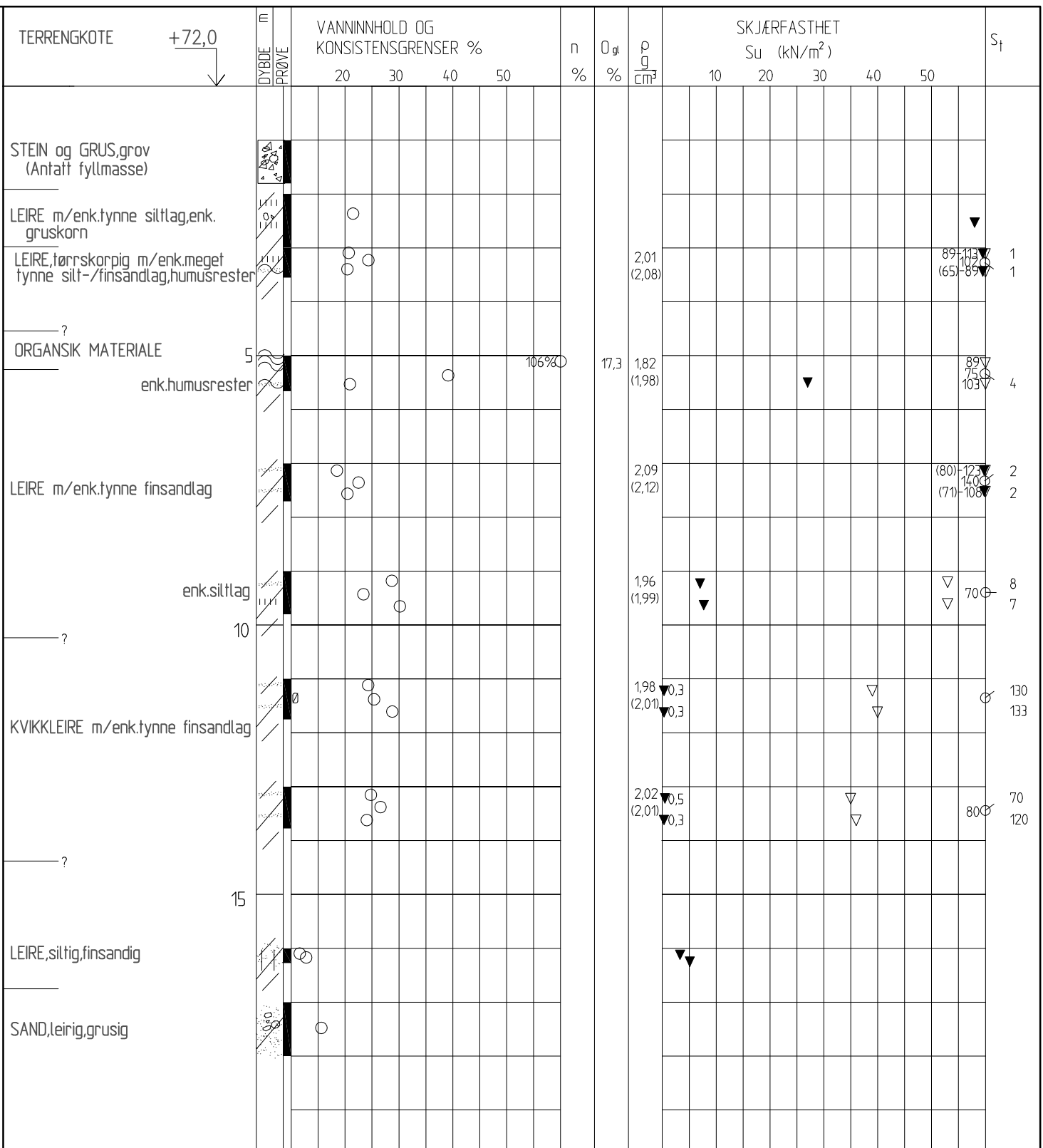
Oppdragsnr. 415655

Tegnet  
truk

Tegningsnr.

Kontrollert ARV RIG-TEG-019

Godkjent OAA Rev. 00



PR = PRØVESERIE

SK = SKOVLEBORING

PG = PRØVEGROP

VB = VINGEBORING

BORBOK NR.: 26151

LAB.BOK NR.: 2030

○ NATURLIG VANNINNHOLD

— W<sub>L</sub> FLYTEGRENSEW<sub>F</sub> —— KONUSMETODE— W<sub>P</sub> PLASTISITETSGRENSE

n = POROSITET

O<sub>Na</sub> = HUMUSINNHOLD

Øgl = GLØDETAP

ρ = DENSITET

▽ KONUSFORSØK

▼ OMØRØRT SKJÆRFASHTET

○ TRYKKFORSØK

15 ○ 5 % DEFORMASJON VED BRUDD

+ VINGEBORING

S<sub>f</sub> SENSITIVITET

Ø = ØDOMETERFORSØK P = PERMEABILITETSFORSØK K = KORNGRADERING T = TREAKSIALFORSØK

## GEOTEKNIKKE DATA

NVE Region midt  
Kvikkleiresone Leira  
Grunnundersøkelser

Boring nr. Le-20 Tegningens filnavn  
415655-RIG-TEG-020\_hLe20.dwg

Borplan nr. -001  
Boret dato: 23.01.2013  


MULTICONULT AS

7486 TRONDHEIM  
Tlf.: 73 10 62 00 – Fax: 73 10 62 30/70

Dato 09.05.2013

Oppdragsnr. 415655

Tegningsnr. RIG-TEG-020

Tegnet  
truk

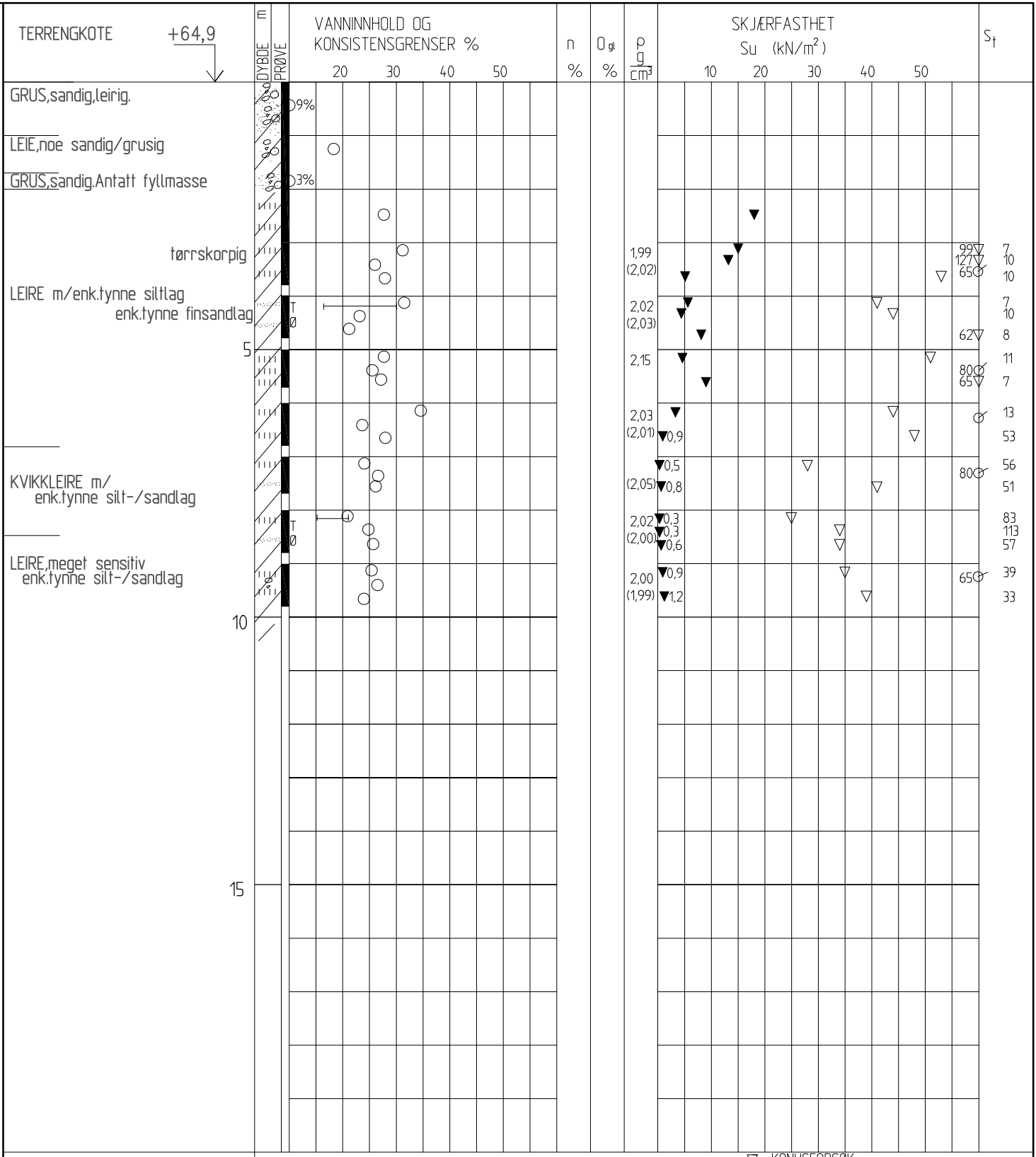
Tegningsnr.

RIG-TEG-020

Kontrollert ARV

Godkjent OAA

Rev. 00



PR = PRØVESERIE  
 SK = SKOVLEBORING  
 PG = PRØVEGROP  
 VB = VINGEBORING  
 BORBOK NR.: 26146  
 LAB.BOK NR.: 3020

○ NATURLIG VANNINNHOLD  
 └ W<sub>L</sub> FLYTEGRENSE  
 └ W<sub>F</sub> --- KONUSMETODE  
 └ W<sub>P</sub> PLASTISITETSGRENSE

n = POROSITET  
 O<sub>Na</sub> = HUMUSINNHOLD  
 Øgl = GLØDETAP  
 ρ = DENSITET

▽ KONUSFORSØK  
 ▼ OMØRØRT SKJÆRFASHTET  
 ○ TRYKKFORSØK  
 15 ⚡ 5 % DEFORMASJON VED BRUDD  
 + VINGEBORING  
 S<sub>f</sub> SENSITIVITET

Ø = ØDOMETERFORSØK P = PERMEABILITETSFORSØK K = KORNGRADERING T = TREAKSIALFORSØK

## GEOTEKNIKKE DATA

NVE Region midt  
Kvikkleiresone Leira  
Grunnundersøkelser

Boring nr. Le-23 Tegningens filnavn  
415655-RIG-TEG-021\_hLe23.dwg

Borplan nr.  
-001

Boret dato:  
30.01.2013



MULTICONSULT AS

7486 TRONDHEIM  
Tlf.: 73 10 62 00 – Fax: 73 10 62 30/70

Dato 02.04.2013

Oppdragsnr. 415655

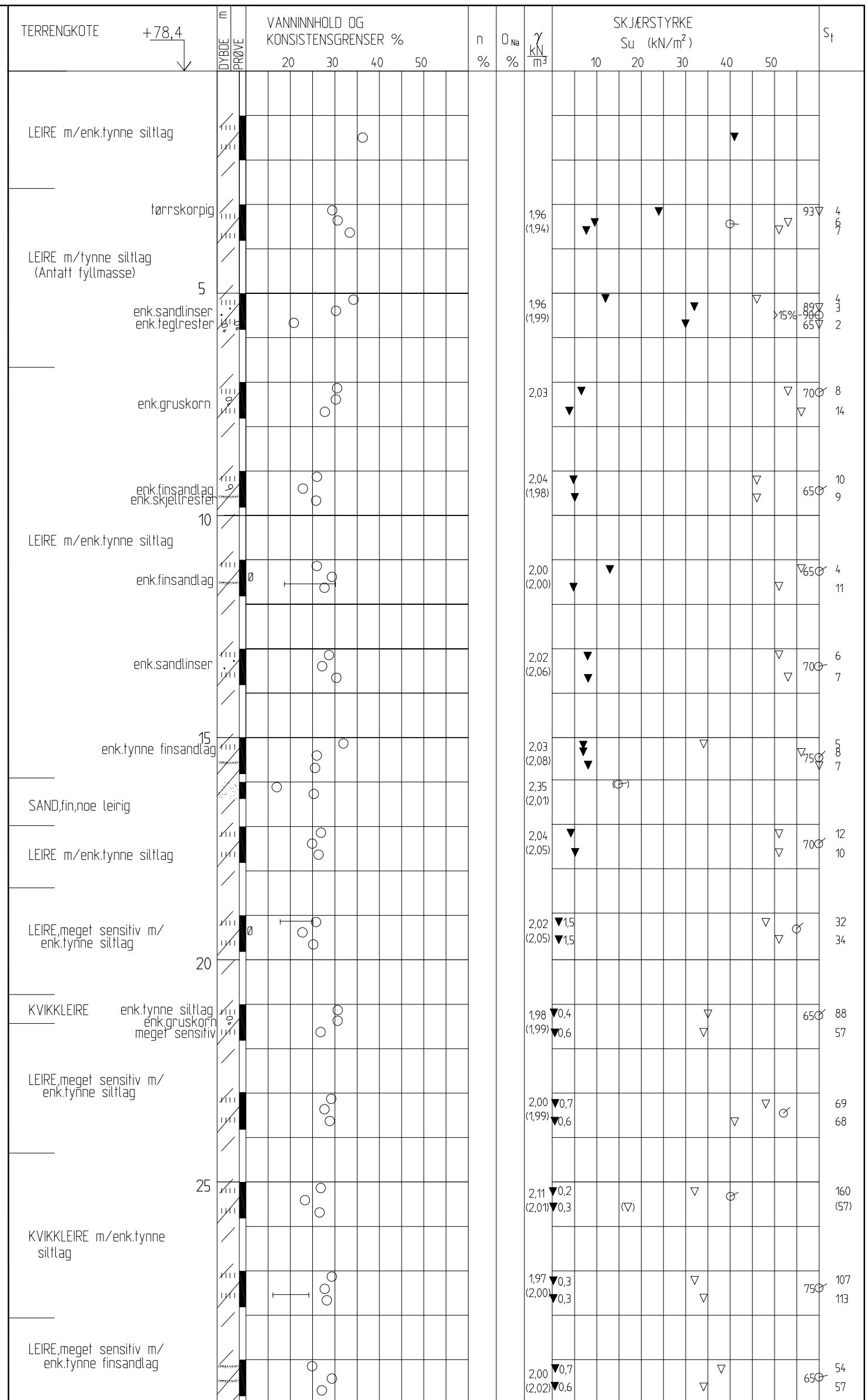
Tegnet truk Tegningsnr. RIG-TEG-021

Kontrollert ARV

Godkjent OAA

Rev.

00



## GEOTEKNIKKE DATA

NVE Region midt  
Kvikkleiresone Leira  
Grunnundersøkelse

Boring nr. Le-25 Tegningens filnavn 415655-RIG-TEG-022\_hLe25.dwg

Borplan nr. -001  
Boret dato: 30.01.2013  
Tegningsnr. 415655  
Rev.



MULTICONULT AS

Tlf.: 73 10 62 00 – Fax: 73 10 62 30/70

Dato 02.04.2013

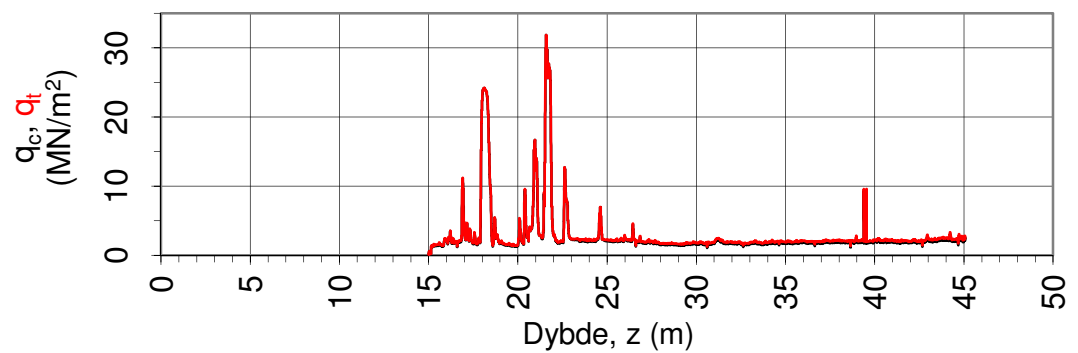
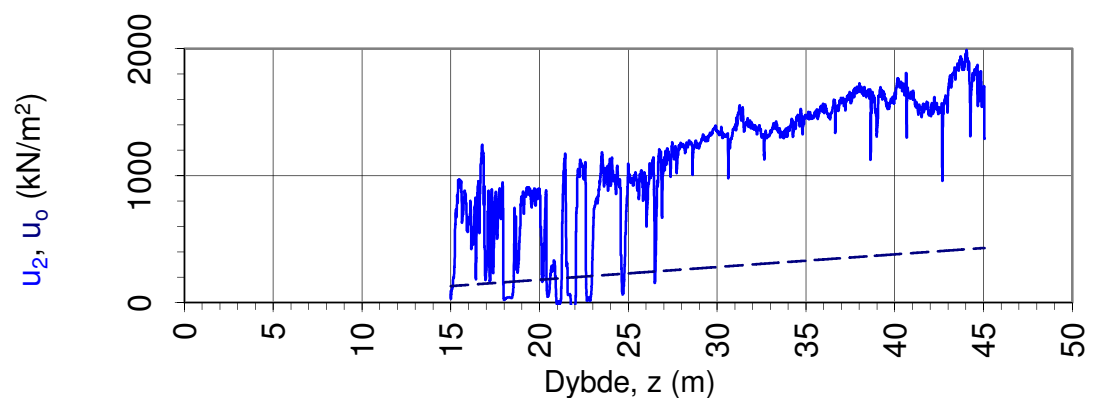
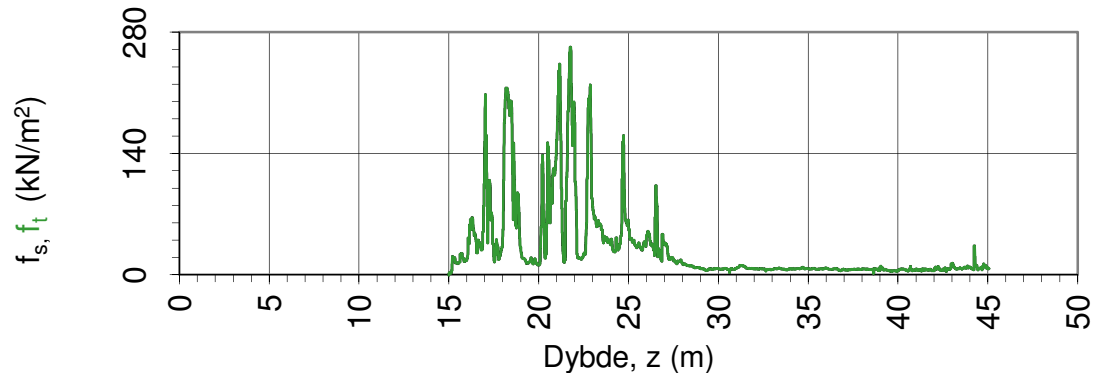
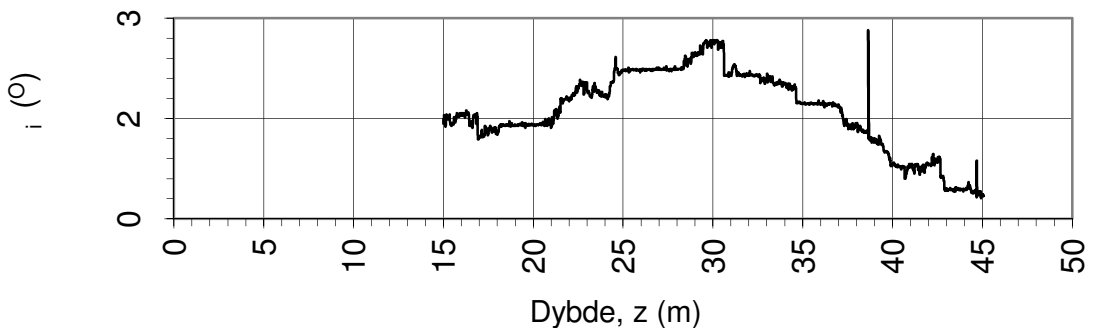
Oppdragsnr. 415655

Tegnet truk

Tegningsnr. RIG-TEG-022

Kontrollert ARV

Godkjent OAA



Oppdragsgiver:

**NVE Region midt**

Oppdrag:

**Kvikkleiresone Leira**

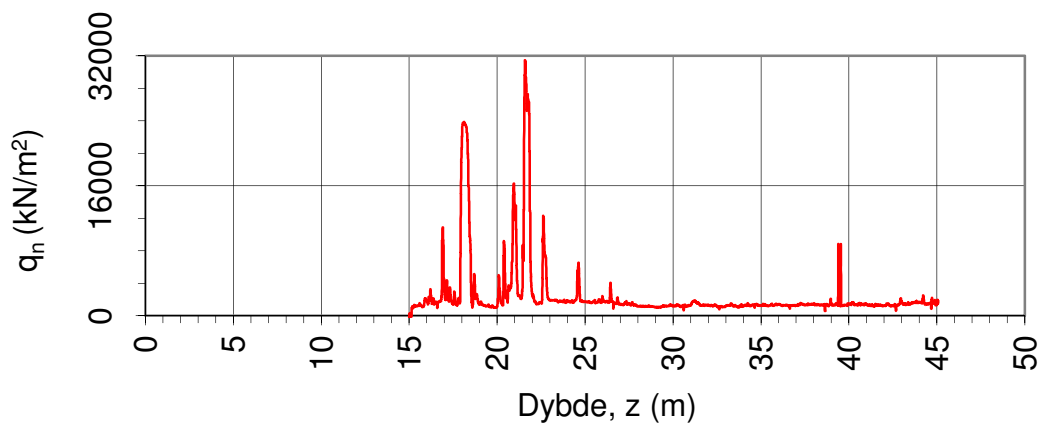
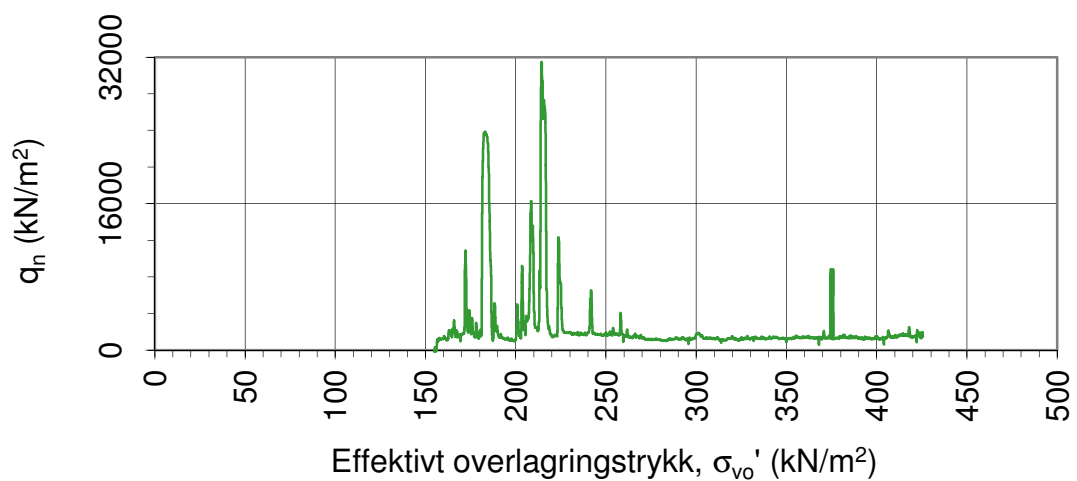
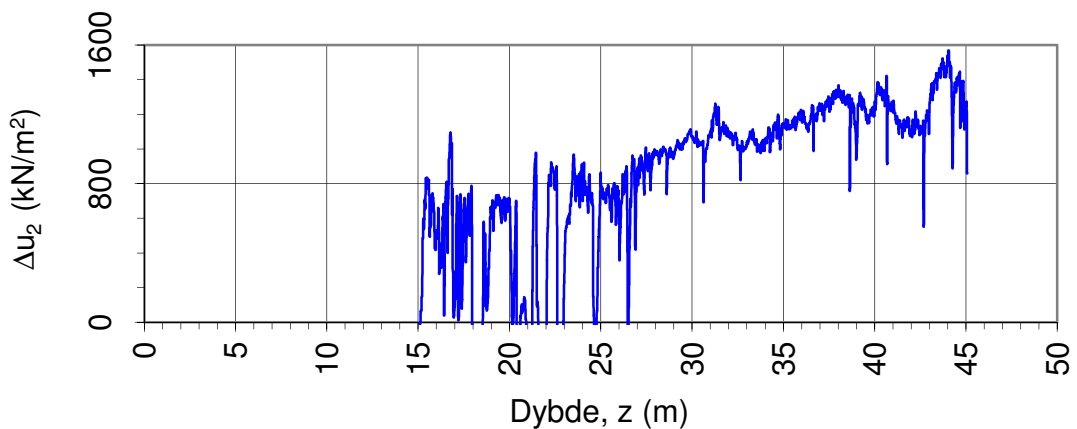
Tegningens filnavn:

415655-CPTU-1.xlsx

Spissmotstand  $q_{c,t}$ , poretrykk  $u_2$ , sidefriksjon  $f_{s,t}$  og helning  $i$ .

CPTU id.:	CPTU-1	Sonde:	4446	
MULTICONULT AS	Dato: 07.05.2013	Tegnet: JMP	Kontrollert: ARV	Godkjent: OAA
	Oppdrag nr.: 415655	Tegning nr.: 040.1	Versjon: 03.01.2013	Revisjon: 0





Oppdragsgiver:

**NVE Region midt**

Oppdrag:

**Kvikkleiresone Leira**

Tegningens filnavn:

415655-CPTU-1.xlsx

Netto spissmotstand  $q_n$  og poreovertrykk  $\Delta u_2$ .

CPTU id.:

CPTU-1

Sonde:

4446

MULTICONSULT AS

Dato:  
07.05.2013

Tegnet:  
JMP

Kontrollert:  
ARV

Godkjent:  
OAA

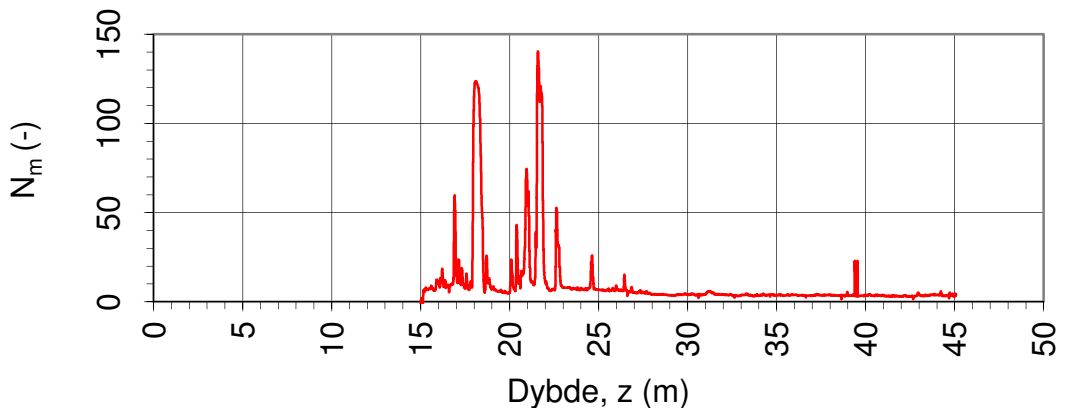
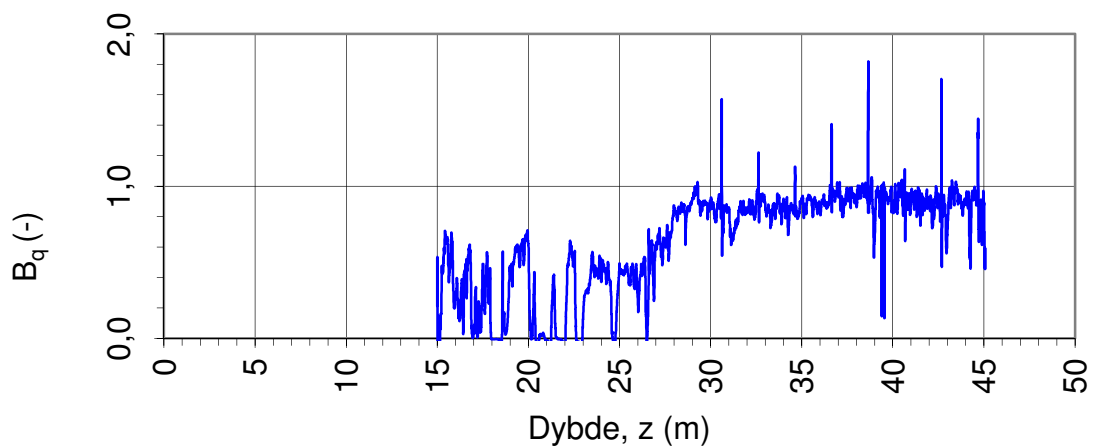
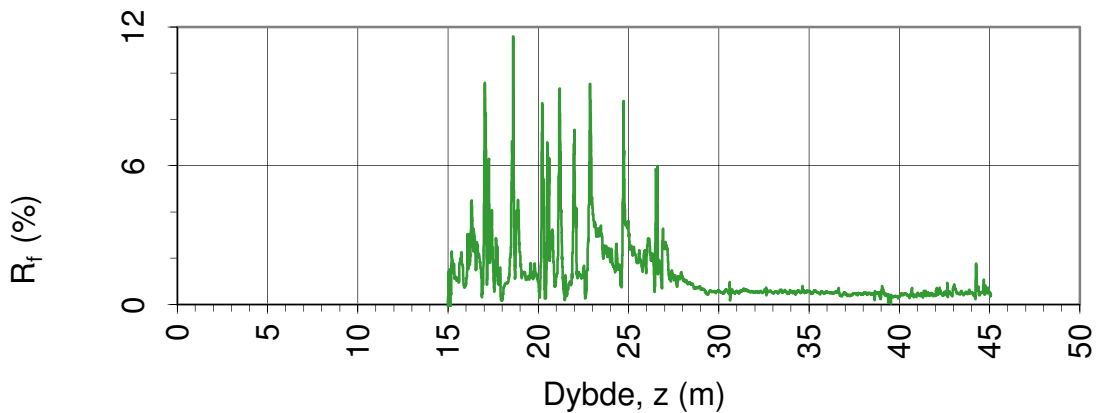
Oppdrag nr.:  
415655

Tegning nr.:  
040.2

Versjon:  
03.01.2013



Revisjon:  
0



Oppdragsgiver:

**NVE Region midt**

Spissmotstandstall  $N_m$ , poretrykks-  $B_q$  og friksjonsforhold  $R_f$ .

Oppdrag:

**Kvikkleiresone Leira**

Tegningens filnavn:

415655-CPTU-1.xlsx

CPTU id.:

CPTU-1

Sonde:

4446



MULTICONSOULT AS

Dato:  
07.05.2013

Tegnet:  
JMP

Kontrollert:  
ARV

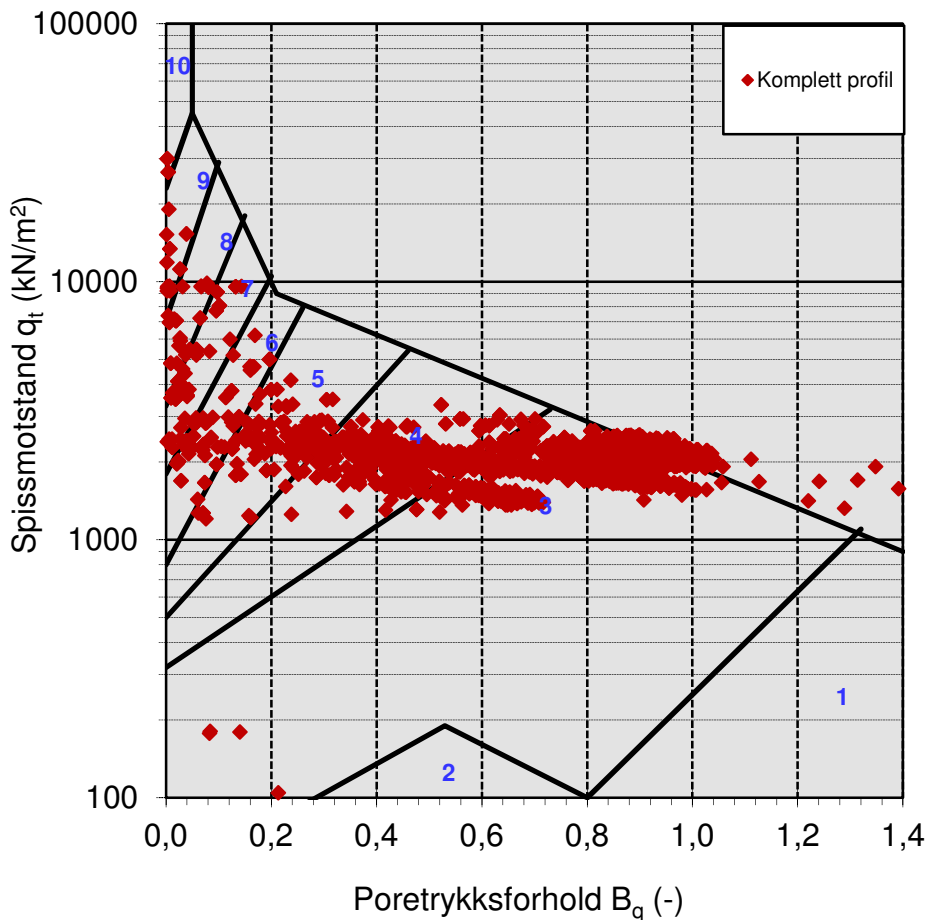
Godkjent:  
OAA

Oppdrag nr.:  
415655

Tegning nr.:  
040.3

Versjon:  
03.01.2013

Revisjon:  
0

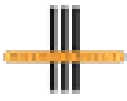


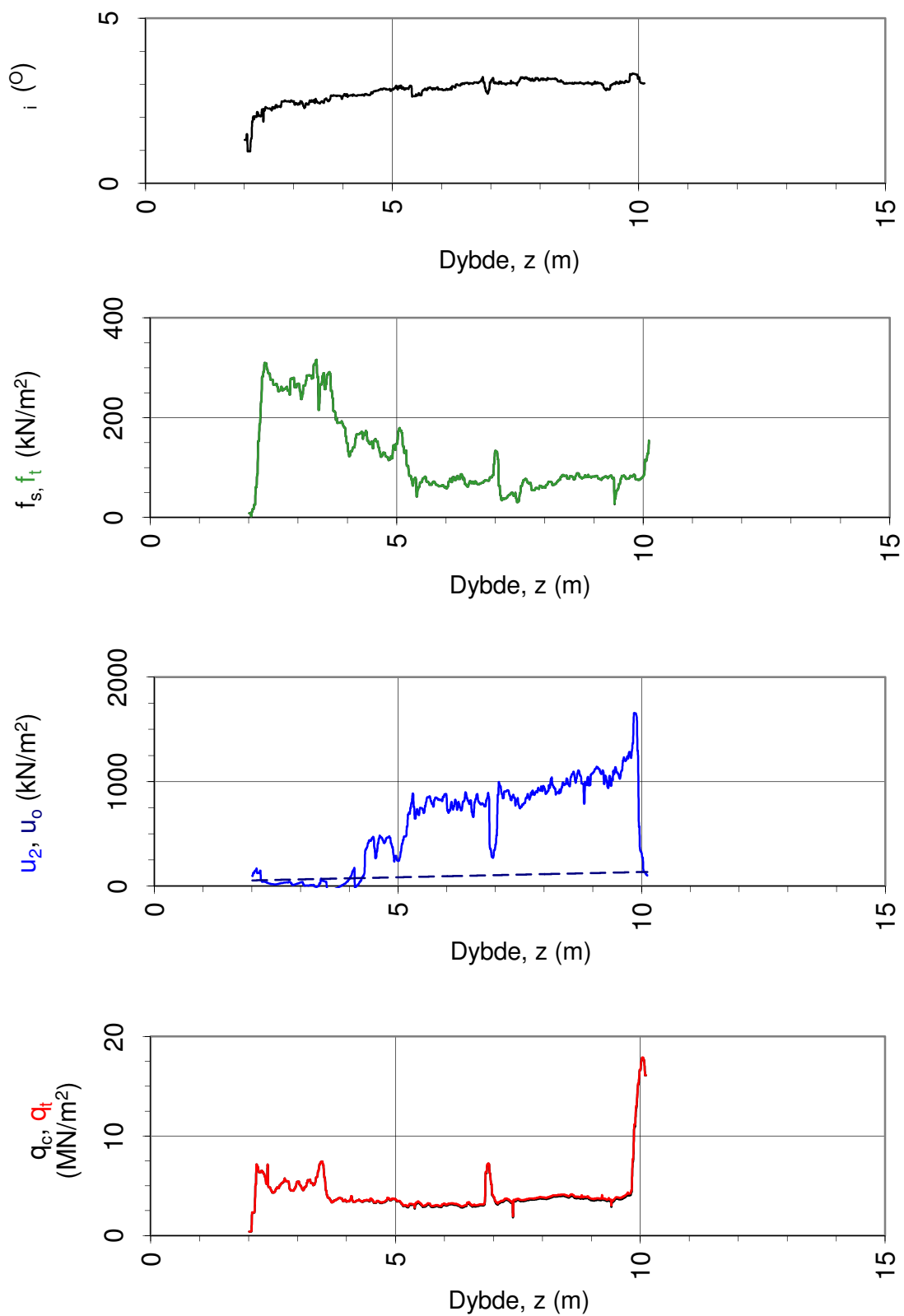
Jordartsid.	Beskrivelse	Identifikasjon
1	Sensitivt, finkornig materiale	3
2	Organisk materiale	10
3	Leire	Ved variasjon i jordartgruppe brukes begge Id-boksene for å beskrive materialet (eks. 5-7)
4	Leirig silt - siltig leire	
5	Leirig silt - siltig leire	
6	Sandig silt - leirig silt	
7	Siltig sand - sandig silt	
8	Sand - siltig sand	
9	Sand	
10	Grusig sand - sand	
11	Meget fast, finkornig materiale	
12	Sand - leirig sand	

Oppdragsgiver:	Oppdrag:	Tegningens filnavn:		
<b>NVE Region midt</b>	<b>Kvikkleiresone Leira</b>	<b>415655-CPTU-1.xlsx</b>		
Jordartsidentifikasjon fra CPTU data - $q_t$ og $B_q$ .				
CPTU id.:	CPTU-1	Sonde: 4446		
MULTICONULT AS	Dato: 07.05.2013	Tegnet: JMP	Kontrollert: ARV	Godkjent: OAA
	Oppdrag nr.: 415655	Tegning nr.: 040.4	Versjon: 03.01.2013	Revisjon: 0



# DOKUMENTASJON MÅLEDATA - GEOTECH SONDER

Sonde nr.:	4446	Sondetype:	Nova
<b>SONDEDATA</b>			
Arealforhold, a:	0,838	Arealforhold, b:	0,000
Kalibreringsdato:	27.09.2011	Utførende:	Geotech AB
EGENSKAP (fra kalibreringsark)	SPISSMOTSTAND	SIDEFRIKSJON	PORETRYKK
Maksimum spenning (MPa):	50,0	0,5	2,0
Måleområde (MPa):	50,0	0,5	2,0
Oppløsning, $2^{12}$ bit (kPa):	0	0	0
Oppløsning, $2^{18}$ bit (kPa):	0,59	0,01	0,02
Max. temp.effekt, ubelastet (kPa):	31,32	0,58	0,65
Temperaturområde (°C):	0-40	0-40	0-40
Merknad 1:			
Merknad 2:			
<b>UTFØRELSE</b>			
Borleder:	Bård Krogstad	Assistent:	Oddbjørn Rønning
Filtertype:	Porøst filter	Mettemedium:	Glyserin
Mettemetode:	Ferdig mettet filter	Lufttemperatur (°C):	6,5
Forankring:		Max. helning (°):	2,7
Merknad 1:			
<b>MÅLEVARIABLE</b>			
EGENSKAP	SPISSMOTSTAND	SIDEFRIKSJON	PORETRYKK
Maksimal temperatureffekt (kPa):	0,39	0,01	0,01
<b>NULLPUNKTKONTROLL</b>			
Faktor	NA (q)	NB (f)	NC (u)
Før sondering (DOS):			
Etter sondering (DOS):			
Avvik (DOS) (kPa):	0,0	0,0	0,0
Før sondering (Windows):	7,350	126,200	263,100
Etter sondering (Windows):	0,008	1,200	0,400
Avvik (Windows) (kPa):	7,7	1,2	0,4
<b>NØYAKTIGHETSVURDERING GEOTECH - VURDERING AV ANVENDELSESKLASSE</b>			
Målestørrelse	Spissmotstand	Friksjon	Poretrykk
Samlet nøyaktighet, $\Delta_{TOT}$ (kPa)	8,68	1,22	0,43
Tillatt nøyaktighet A1, $\Delta_k$ (kPa)	35,0	5,0	10,0
Tillatt nøyaktighet A2, $\Delta_k$ (kPa)	100,0	15,0	25,0
Tillatt nøyaktighet A3, $\Delta_k$ (kPa)	200,0	25,0	50,0
Vurdering profil			
ANVENDELSESKLASSE	1	1	1
Oppdragsgiver:	Oppdrag:		
<b>NVE Region midt</b>	<b>Kvikkleiresone Leira</b>		
Dokumentasjon av utstyr og målenøyaktighet.			
CPTU id.:	CPTU-1	Sonde:	4446
MULTICONULT AS	Dato: 07.05.2013	Tegnet: JMP	Kontrollert: ARV
	Oppdrag nr.: 415655	Tegning nr. 040.5	Versjon: 03.01.2013



Oppdragsgiver:

**NVE Region midt**

Oppdrag:

**Kvikkleiresone Leira**

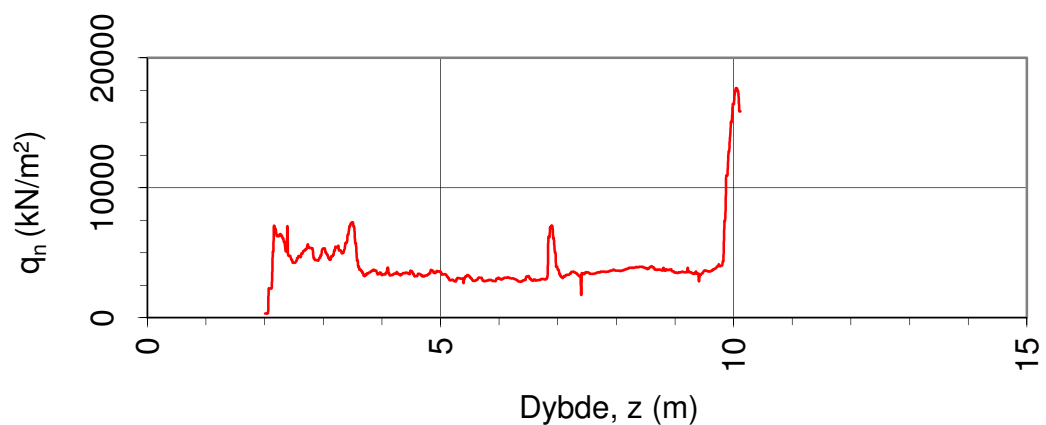
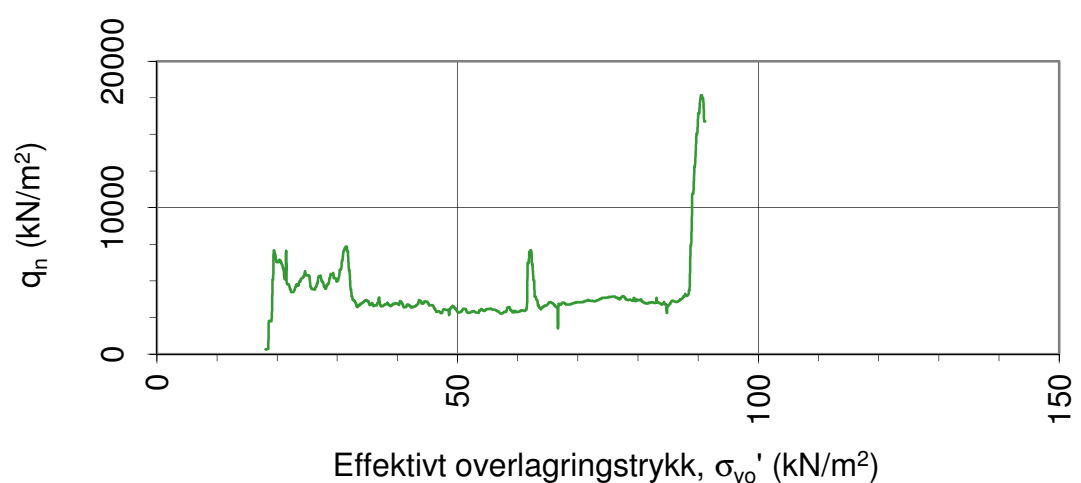
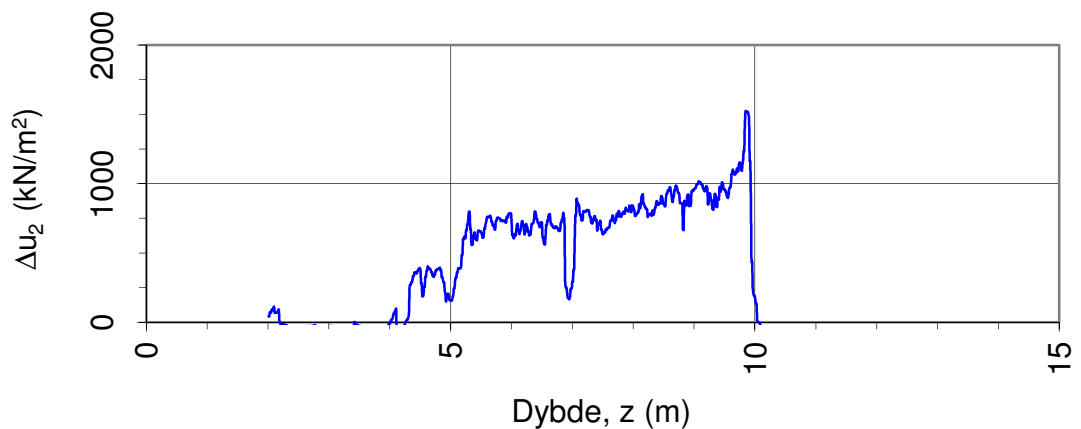
Tegningens filnavn:

415655-CPTU-3.xlsx

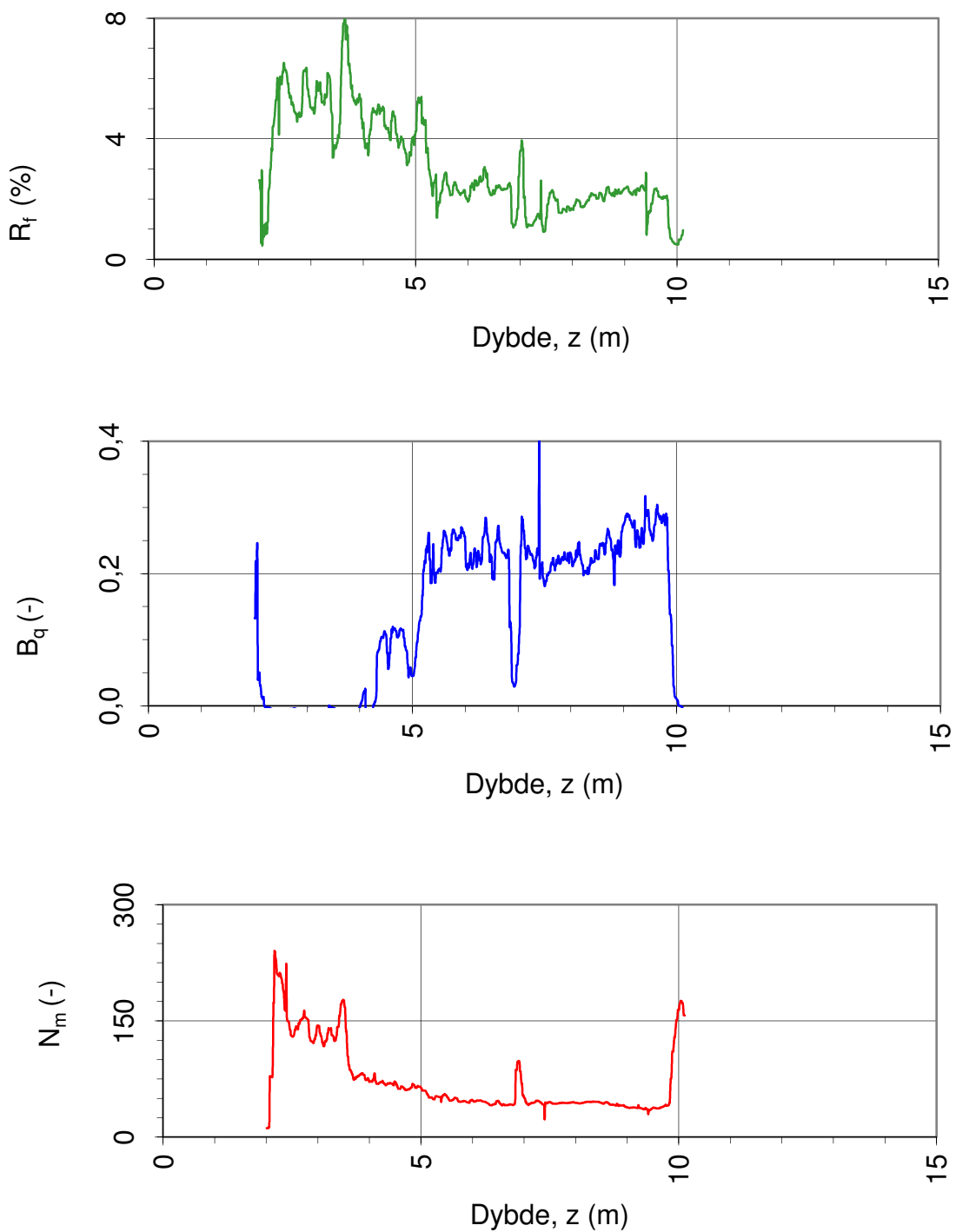
Spissmotstand  $q_{c,t}$ , poretrykk  $u_2$ , sidefriksjon  $f_{s,t}$  og helning  $i$ .

CPTU id.:	CPTU-3	Sonde:	4293	
MULTICONULT AS	Dato: 07.05.2013	Tegnet: JMP	Kontrollert: ARV	Godkjent: OAA
	Oppdrag nr.: 415655	Tegning nr.: 041.1	Versjon: 03.01.2013	Revisjon: 0

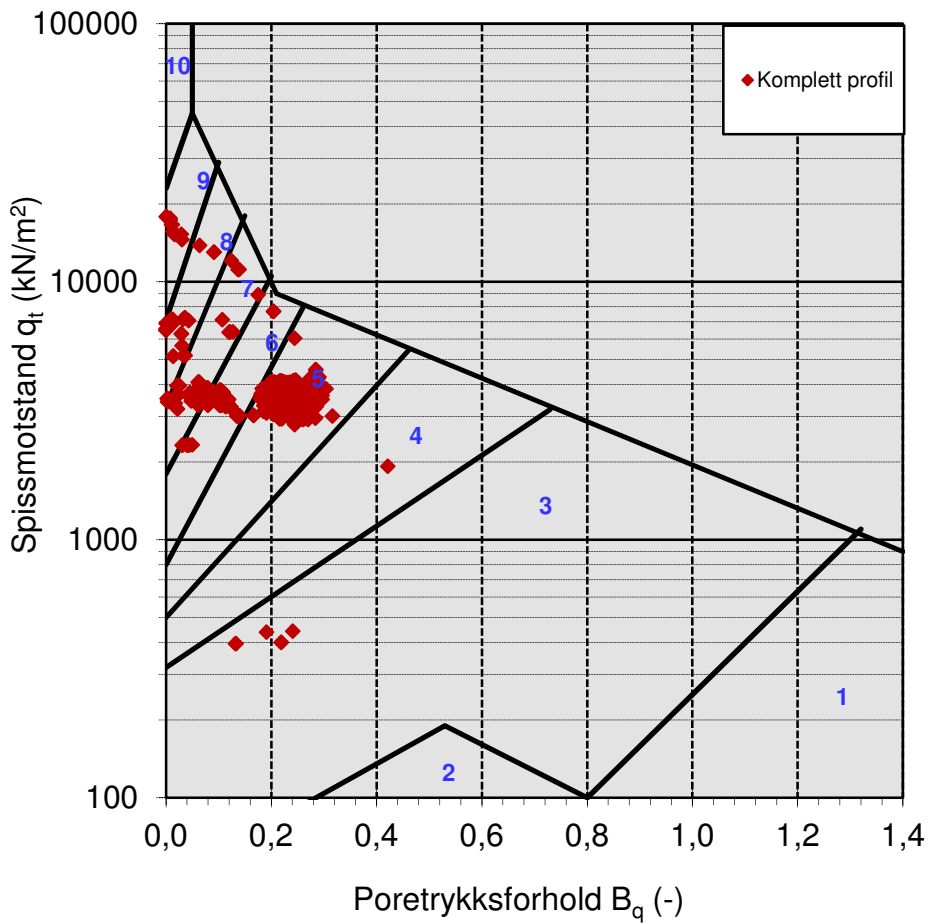




Oppdragsgiver: <b>NVE Region midt</b>	Oppdrag: <b>Kvikkleiresone Leira</b>	Tegningens filnavn: 415655-CPTU-3.xlsx
Netto spissmotstand $q_n$ og poreovertrykk $\Delta u_2$ .		
CPTU id.: <b>MULTICONULT AS</b>	CPTU-3 Dato: 07.05.2013 Oppdrag nr.: 415655	Sonde: 4293 Tegnet: JMP Tegning nr.: 041.2 Kontrollert: ARV Versjon: 03.01.2013 Godkjent: OAA Revisjon: 0



Oppdragsgiver:	Oppdrag:	Tegningens filnavn:		
<b>NVE Region midt</b>	<b>Kvikkleiresone Leira</b>	415655-CPTU-3.xlsx		
Spissmotstandstall $N_m$ , poretrykks- $B_q$ og friksjonsforhold $R_f$ .				
CPTU id.:	CPTU-3	Sonde: 4293		
MULTICONSULT AS	Dato: 07.05.2013	Tegnet: JMP	Kontrollert: ARV	Godkjent: OAA
	Oppdrag nr.: 415655	Tegning nr.: 041.3	Versjon: 03.01.2013	Revisjon: 0



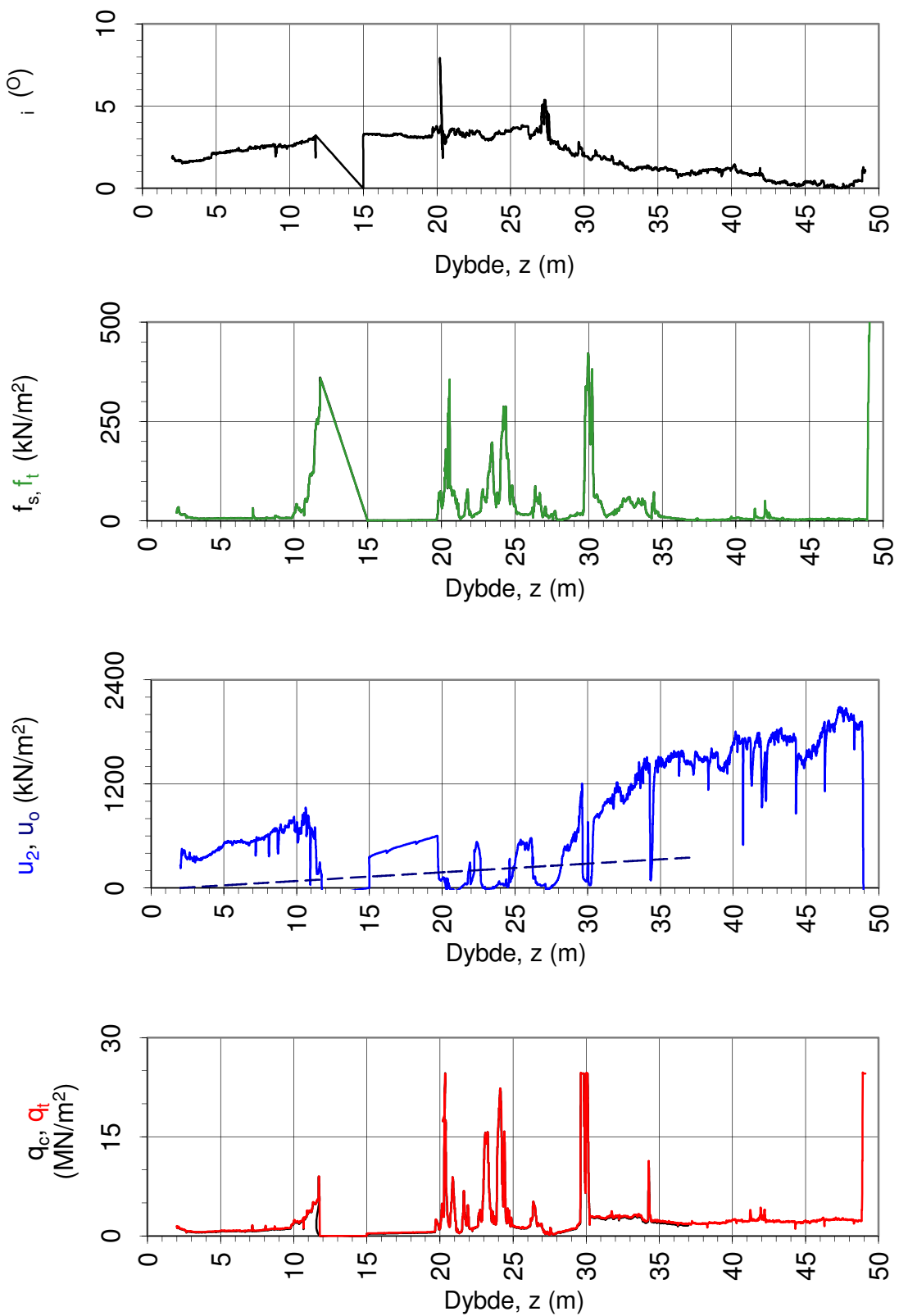
Jordartsid.	Beskrivelse	Identifikasjon
1	Sensitivt, finkornig materiale	3
2	Organisk materiale	9
3	Leire	Ved variasjon i jordartgruppe brukes begge Id-boksene for å beskrive
4	Leire - siltig leire	
5	Leirig silt - siltig leire	
6	Sandig silt - leirig silt	
7	Siltig sand - sandig silt	
8	Sand - siltig sand	
9	Sand	
10	Grusig sand - sand	
11	Meget fast, finkornig materiale	
12	Sand - leirig sand	

Oppdragsgiver:	Oppdrag:	Tegningens filnavn:		
<b>NVE Region midt</b>	<b>Kvikkleiresone Leira</b>	415655-CPTU-3.xlsx		
Jordartsidentifikasjon fra CPTU data - $q_t$ og $B_q$ .				
CPTU id.:	CPTU-3	Sonde: 4293		
MULTICONULT AS	Dato: 07.05.2013	Tegnet: JMP	Kontrollert: ARV	Godkjent: OAA
	Oppdrag nr.: 415655	Tegning nr.: 041.4	Versjon: 03.01.2013	Revisjon: 0



# DOKUMENTASJON MÅLEDATA - GEOTECH SONDER

Sonde nr.:	4293	Sondetype:	Nova
<b>SONDEDATA</b>			
Arealforhold, a:	0,856	Arealforhold, b:	0,000
Kalibreringsdato:	18.01.2012	Utførende:	Geotech AB
EGENSKAP (fra kalibreringsark)	<b>SPISSMOTSTAND</b>	<b>SIDEFRIKSJON</b>	<b>PORETRYKK</b>
Maksimum spenning (MPa):	50/20	0,5	2,0
Måleområde (MPa):	50/20	0,5	2,0
Oppløsning, 2 <sup>12</sup> bit (kPa):	0	0	0
Oppløsning, 2 <sup>18</sup> bit (kPa):	0,21	0,01	0,02
Max. temp.effekt, ubelastet (kPa):	39,07	2,52	0,71
Temperaturområde (°C):	0-40	0-40	0-40
Merknad 1:			
Merknad 2:			
<b>UTFØRELSE</b>			
Borleder:	Bård Krogstad	Assistent:	Oddbjørn Rønning
Filtertype:	Porøst filter	Mettemedium:	Glyserin
Mettemetode:	Ferdig mettet filter	Lufttemperatur (°C):	3,5
Forankring:		Max. helning (°):	3,3
Merknad 1:			
<b>MÅLEVARIABLE</b>			
EGENSKAP	<b>SPISSMOTSTAND</b>	<b>SIDEFRIKSJON</b>	<b>PORETRYKK</b>
Maksimal temperatureffekt (kPa):	2,44	0,16	0,04
<b>NULLPUNKTKONTROLL</b>			
Faktor	NA (q)	NB (f)	NC (u)
Før sondering (DOS):			
Etter sondering (DOS):			
Avvik (DOS) (kPa):	0,0	0,0	0,0
Før sondering (Windows):	2,562	135,300	253,900
Etter sondering (Windows):	0,015	0,400	1,000
Avvik (Windows) (kPa):	14,5	0,4	1,0
<b>NØYAKTIGHETSVURDERING GEOTECH - VURDERING AV ANVENDELSESKLASSE</b>			
Målestørrelse	Spissmotstand	Friksjon	Poretrykk
Samlet nøyaktighet, $\Delta_{TOT}$ (kPa)	17,15	0,57	1,07
Tillatt nøyaktighet A1, $\Delta_k$ (kPa)	35,0	5,0	10,0
Tillatt nøyaktighet A2, $\Delta_k$ (kPa)	100,0	15,0	25,0
Tillatt nøyaktighet A3, $\Delta_k$ (kPa)	200,0	25,0	50,0
Vurdering profil			
ANVENDELSESKLASSE	1	1	1
Oppdragsgiver:	Oppdrag:		
<b>NVE Region midt</b>	<b>Kvikkleiresone Leira</b>		
Dokumentasjon av utstyr og målenøyaktighet.			
CPTU id.:	CPTU-3	Sonde:	4293
MULTICONULT AS	Dato: 07.05.2013	Tegnet: JMP	Kontrollert: ARV
	Oppdrag nr.: 415655	Tegning nr.: 041.5	Versjon: 03.01.2013



Oppdragsgiver:

**NVE Region midt**

Oppdrag:

**Kvikkleiresone Leira**

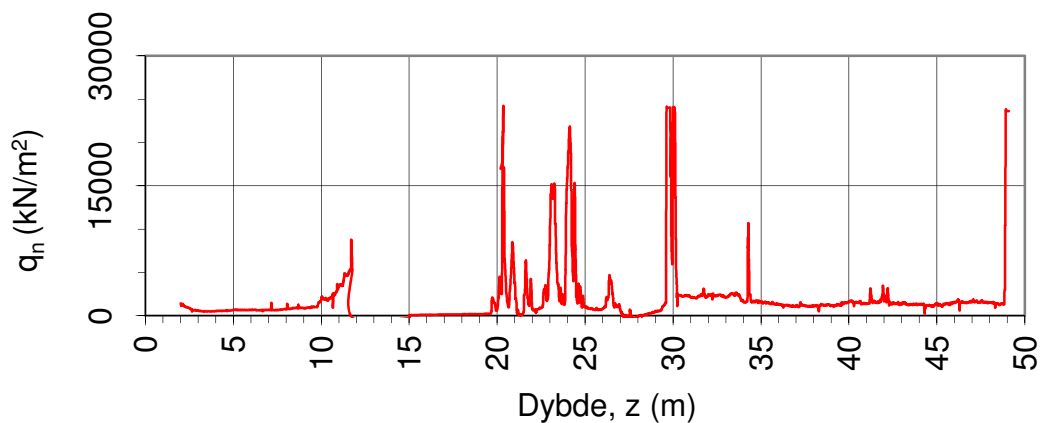
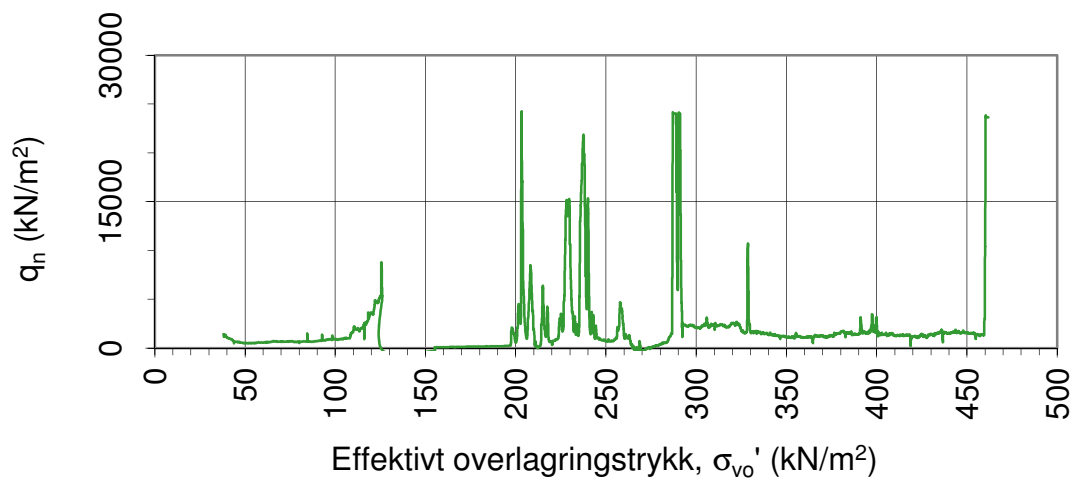
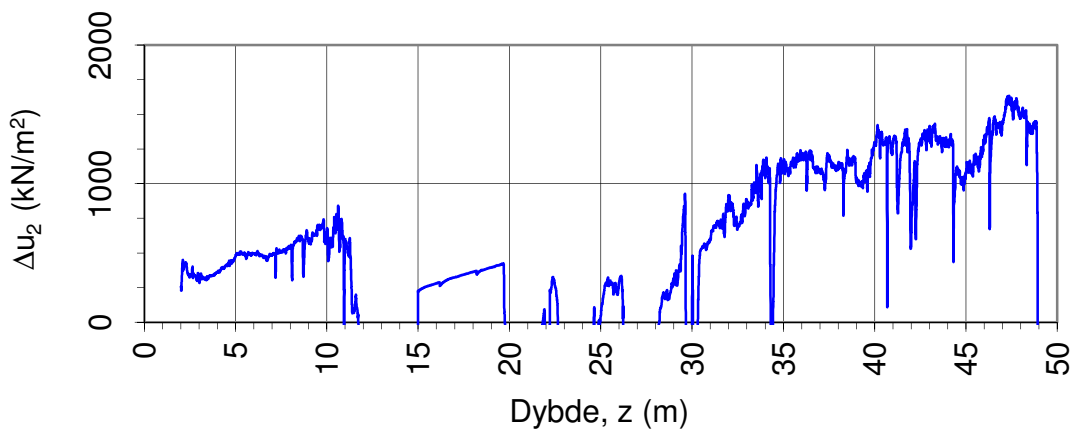
Tegningens filnavn:

415655-CPTU-4.xlsx

Spissmotstand  $q_{c,t}$ , poretrykk  $u_2$ , sidefriksjon  $f_{s,t}$  og helning  $i$ .

CPTU id.:	CPTU-4	Sonde:	4293	
MULTICONULT AS	Dato: 07.05.2013	Tegnet: JMP	Kontrollert: ARV	Godkjent: OAA
	Oppdrag nr.: 415655	Tegning nr.: 042.1	Versjon: 03.01.2013	Revisjon: 0





Oppdragsgiver:

**NVE Region midt**

Oppdrag:

**Kvikkleiresone Leira**

Tegningens filnavn:

415655-CPTU-4.xlsx

Netto spissmotstand  $q_n$  og poreovertrykk  $\Delta u_2$ .

CPTU id.:

CPTU-4

Sonde:

4293

MULTICONSULT AS

Dato:

07.05.2013

Tegnet:

JMP

Kontrollert:

ARV

Godkjent:

OAA

Oppdrag nr.:

415655

Tegning nr.:

042.2

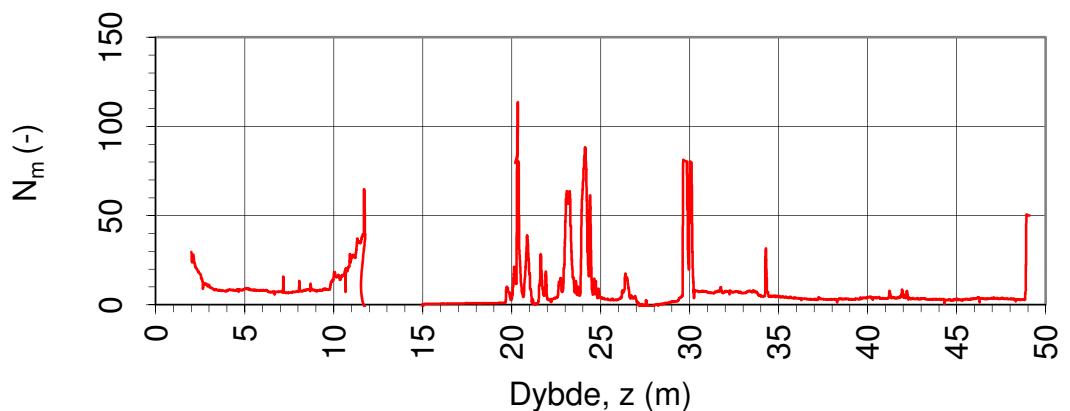
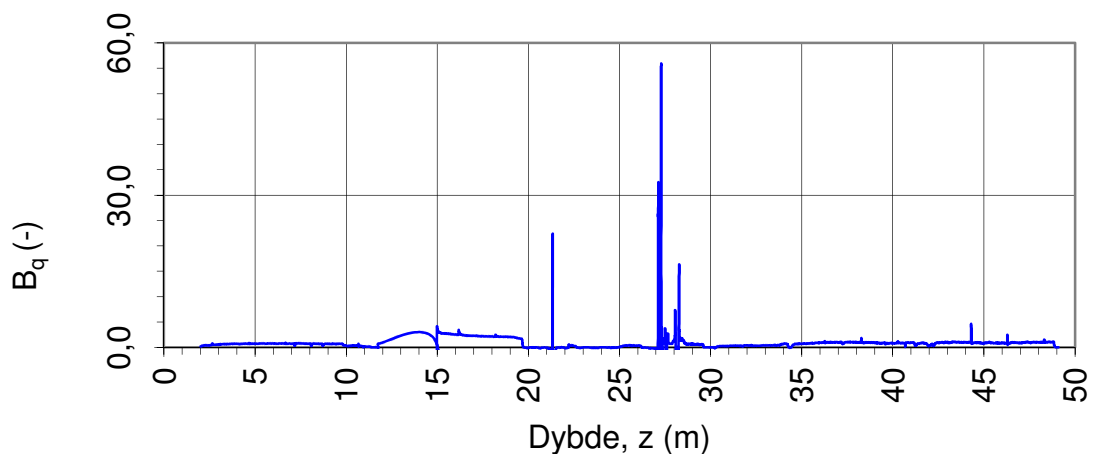
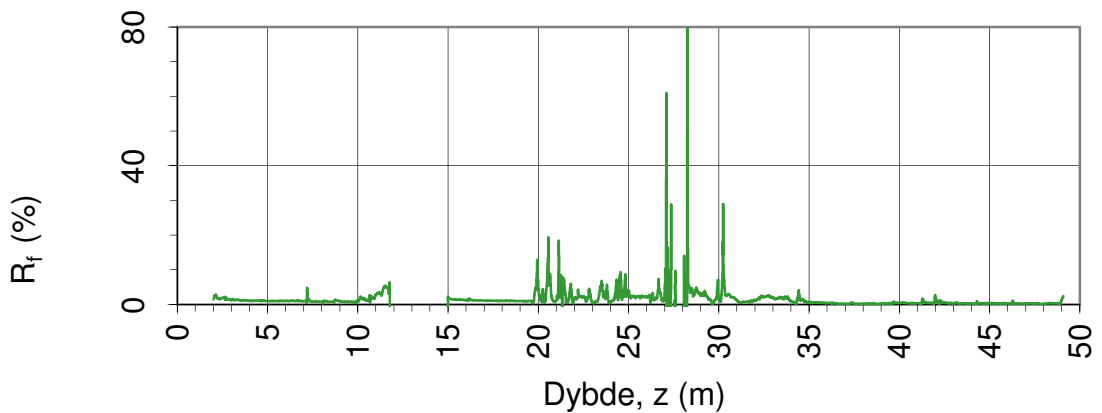
Versjon:

03.01.2013

Revisjon:

0





Oppdragsgiver:

**NVE Region midt**

Spissmotstandstall  $N_m$ , poretrykks-  $B_q$  og friksjonsforhold  $R_f$ .

Oppdrag:

**Kvikkleiresone Leira**

Tegningens filnavn:

415655-CPTU-4.xlsx

CPTU id.:

CPTU-4

Sonde:

4293



MULTICONSULT AS

Dato:  
07.05.2013

Tegnet:  
JMP

Kontrollert:  
ARV

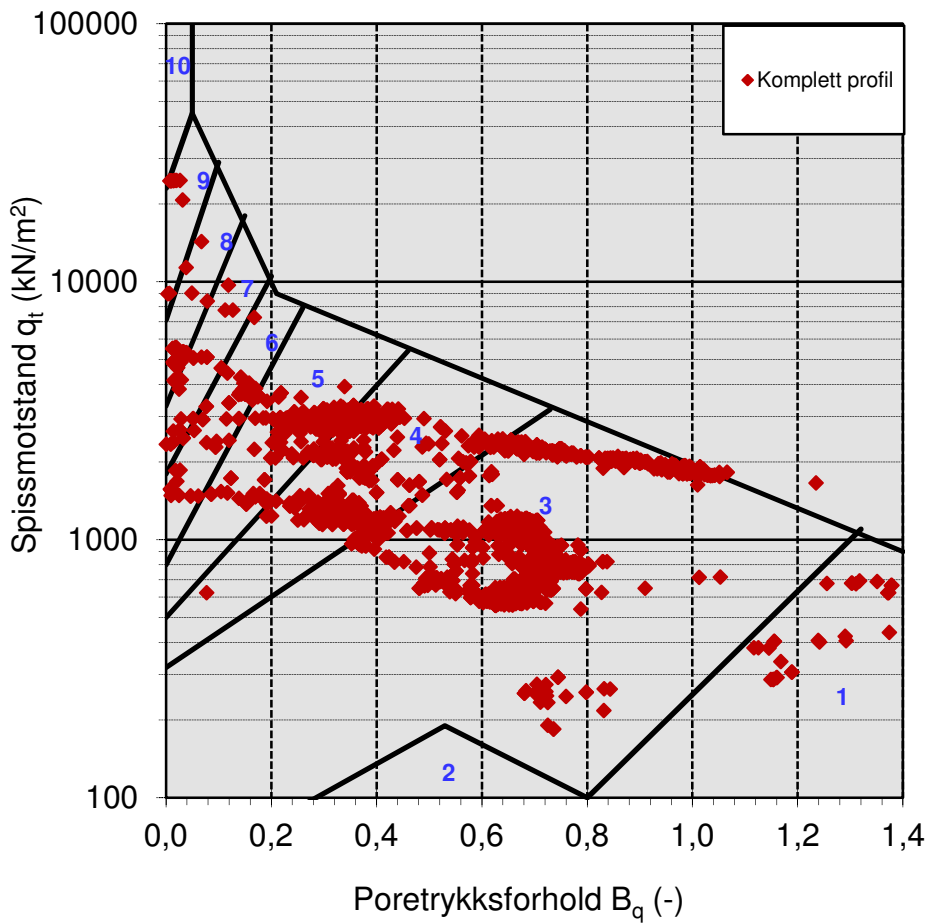
Godkjent:  
OAA

Oppdrag nr.:  
415655

Tegning nr.:  
042.3

Versjon:  
03.01.2013

Revisjon:  
0



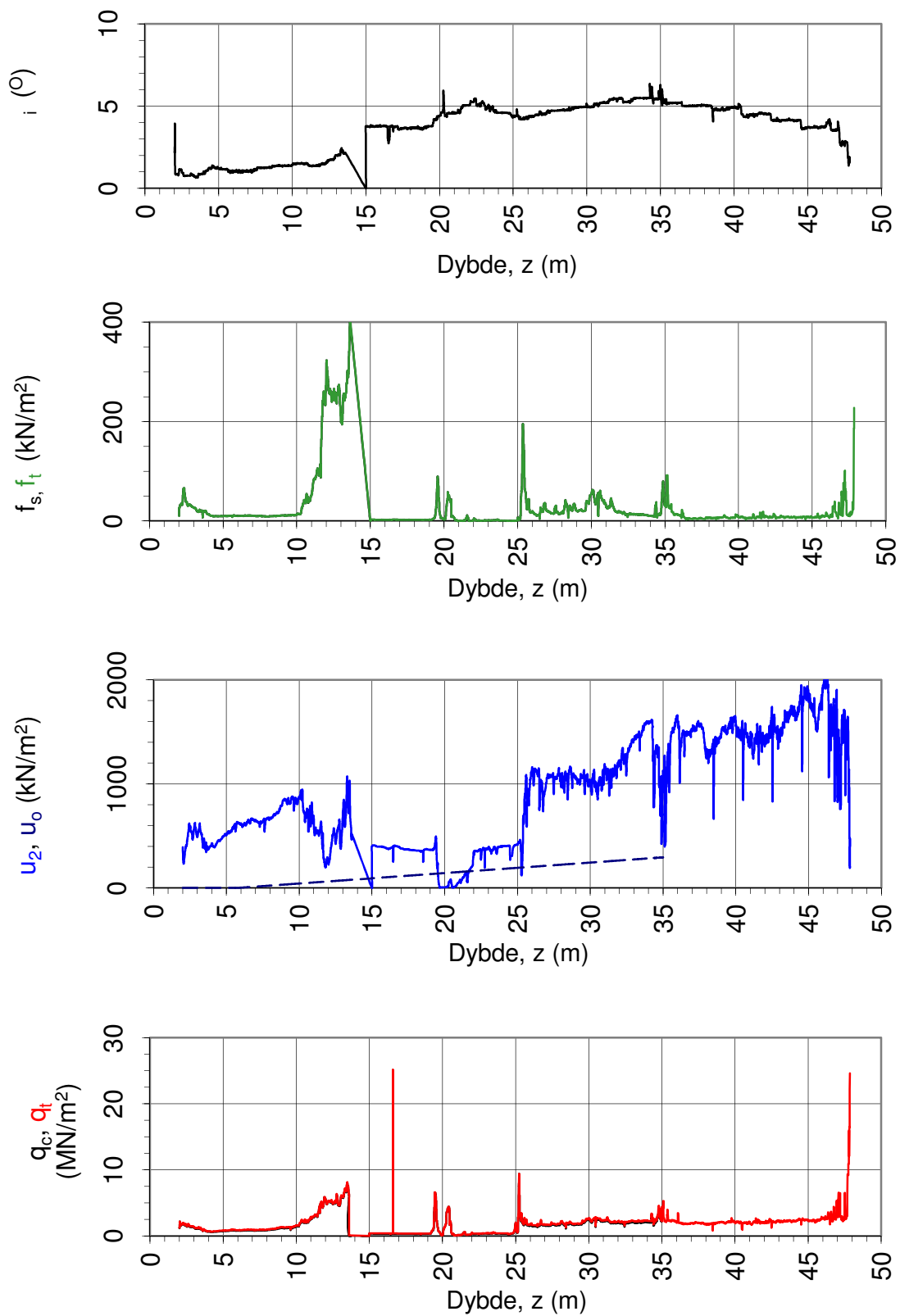
Jordartsid.	Beskrivelse	Identifikasjon
1	Sensitivt, finkornig materiale	1
2	Organisk materiale	9
3	Leire	Ved variasjon i jordartgruppe
4	Leire - siltig leire	brukes begge
5	Leirig silt - siltig leire	Id-boksene for
6	Sandig silt - leirig silt	å beskrive
7	Siltig sand - sandig silt	materialet (eks. 5-7)
8	Sand - siltig sand	
9	Sand	
10	Grusig sand - sand	
11	Meget fast, finkornig materiale	
12	Sand - leirig sand	

Oppdragsgiver:	Oppdrag:	Tegningens filnavn:		
<b>NVE Region midt</b>	<b>Kvikkleiresone Leira</b>	415655-CPTU-4.xlsx		
Jordartsidentifikasjon fra CPTU data - $q_t$ og $B_q$ .				
CPTU id.:	CPTU-4	Sonde: 4293		
MULTICONULT AS	Dato: 07.05.2013	Tegnet: JMP	Kontrollert: ARV	Godkjent: OAA
	Oppdrag nr.: 415655	Tegning nr.: 042.4	Versjon: 03.01.2013	Revisjon: 0



# DOKUMENTASJON MÅLEDATA - GEOTECH SONDER

Sonde nr.:	<b>4293</b>	Sondetype:	Nova
<b>SONDEDATA</b>			
Arealforhold, a:	<b>0,856</b>	Arealforhold, b:	<b>0,000</b>
Kalibreringsdato:	18.01.2012	Utførende:	Geotech AB
EGENSKAP (fra kalibreringsark)	<b>SPISSMOTSTAND</b>	SIDEFRIKSJON	<b>PORETRYKK</b>
Maksimum spenning (MPa):	50/20	0,5	2,0
Måleområde (MPa):	50/20	0,5	2,0
Oppløsning, $2^{12}$ bit (kPa):	0	0	0
Oppløsning, $2^{18}$ bit (kPa):	0,21	0,01	0,02
Max. temp.effekt, ubelastet (kPa):	39,07	2,52	0,71
Temperaturområde (°C):	0-40	0-40	0-40
Merknad 1:			
Merknad 2:			
<b>UTFØRELSE</b>			
Borleder:	Bård Krogstad	Assistent:	Oddbjørn Rønning
Filtertype:	Porøst filter	Mettemedium:	Glyserin
Mettemetode:	Ferdig mettet filter	Lufttemperatur (°C):	4,4
Forankring:		Max. helning (°):	7,9
Merknad 1:			
<b>MÅLEVARIABLE</b>			
EGENSKAP	<b>SPISSMOTSTAND</b>	SIDEFRIKSJON	<b>PORETRYKK</b>
Maksimal temperatureffekt (kPa):	1,56	0,10	0,03
<b>NULLPUNKTKONTROLL</b>			
Faktor	NA (q)	NB (f)	NC (u)
Før sondering (DOS):			
Etter sondering (DOS):			
Avvik (DOS) (kPa):	0,0	0,0	0,0
Før sondering (Windows):	2,472	136,800	252,600
Etter sondering (Windows):	0,014	0,700	0,900
Avvik (Windows) (kPa):	14,4	0,7	0,9
<b>NØYAKTIGHETSVURDERING GEOTECH - VURDERING AV ANVENDELSESKLASSE</b>			
Målestørrelse	<b>Spissmotstand</b>	Friksjon	Poretrykk
Samlet nøyaktighet, $\Delta_{TOT}$ (kPa)	<b>16,17</b>	0,81	0,95
Tillatt nøyaktighet A1, $\Delta_k$ (kPa)	35,0	5,0	10,0
Tillatt nøyaktighet A2, $\Delta_k$ (kPa)	100,0	15,0	25,0
Tillatt nøyaktighet A3, $\Delta_k$ (kPa)	200,0	25,0	50,0
Vurdering profil			
ANVENDELSESKLASSE	<b>1</b>	<b>1</b>	<b>1</b>
Oppdragsgiver:	Oppdrag:		
<b>NVE Region midt</b>	<b>Kvikkleiresone Leira</b>		
Dokumentasjon av utstyr og målenøyaktighet.			
CPTU id.:	CPTU-4	Sonde:	4293
MULTICONULT AS		Dato:	Kontrollert:
		07.05.2013	JMP ARV
		Oppdrag nr.: 415655	Versjon: 042.5 03.01.2013



Oppdragsgiver:

**NVE Region midt**

Oppdrag:

**Kvikkleiresone Leira**

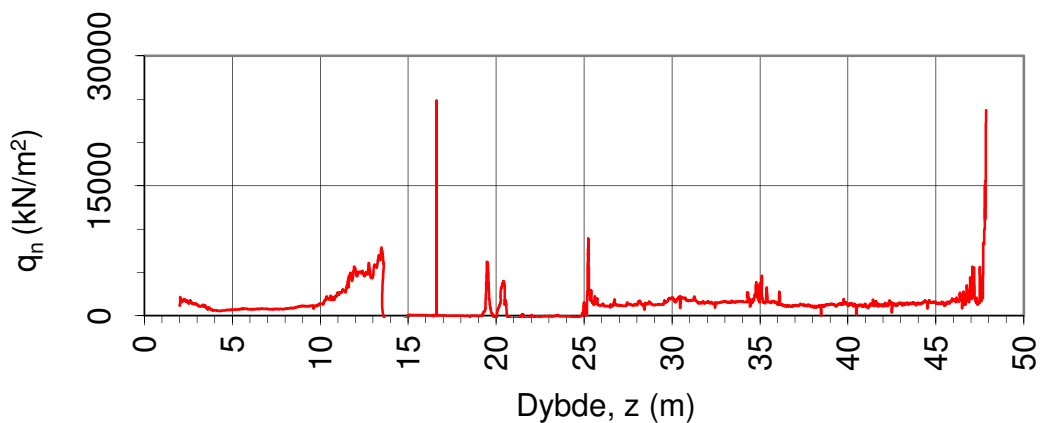
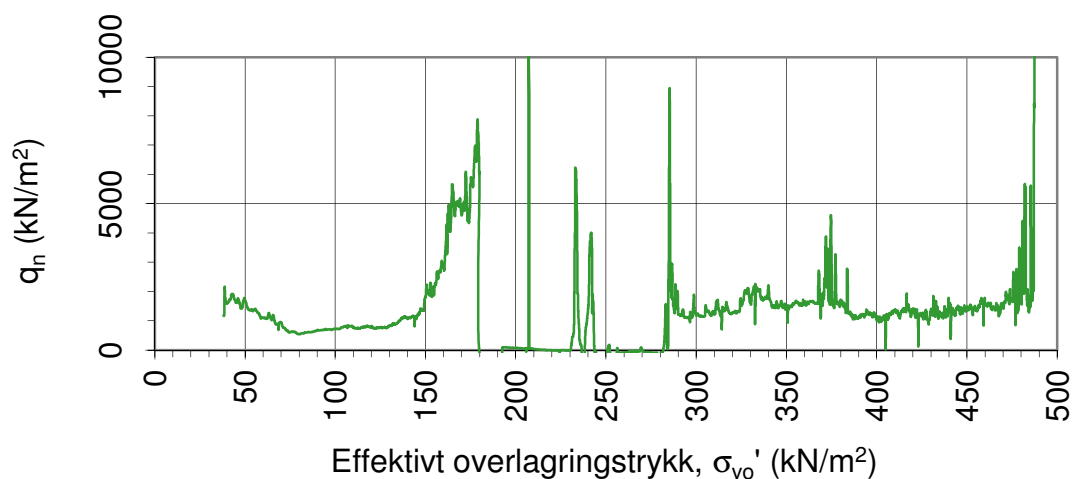
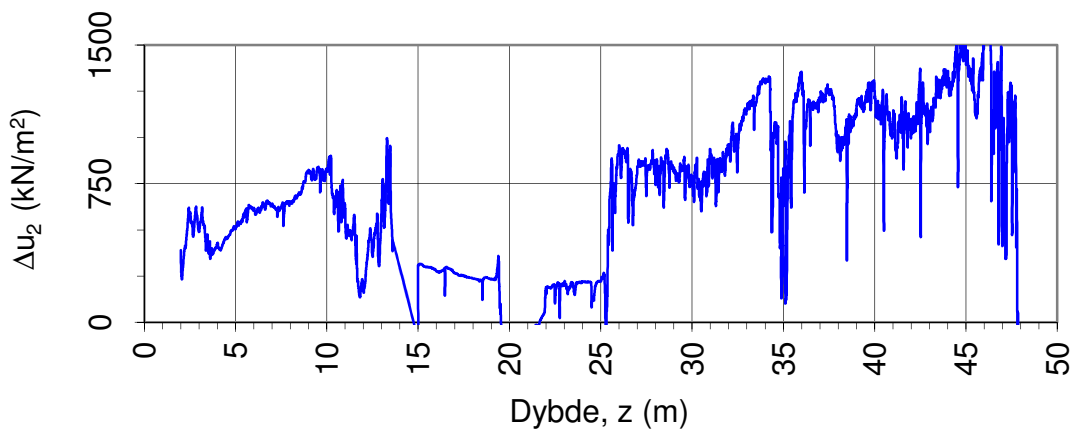
Tegningens filnavn:

415655-CPTU-6.xlsx

Spissmotstand  $q_{c,t}$ , poretrykk  $u_2$ , sidefriksjon  $f_{s,t}$  og helning  $i$ .

CPTU id.:	CPTU-6	Sonde:	4293	
MULTICONULT AS	Dato: 07.05.2013	Tegnet: JMP	Kontrollert: ARV	Godkjent: OAA
	Oppdrag nr.: 415655	Tegning nr.: 043.1	Versjon: 03.01.2013	Revisjon: 0





Oppdragsgiver:

**NVE Region midt**

Oppdrag:

**Kvikkleiresone Leira**

Tegningens filnavn:

415655-CPTU-6.xlsx

Netto spissmotstand  $q_n$  og poreovertrykk  $\Delta u_2$ .

CPTU id.:

CPTU-6

Sonde:

4293

MULTICONSULT AS

Dato:

07.05.2013

Tegnet:

JMP

Kontrollert:

ARV

Godkjent:

OAA

Oppdrag nr.:

415655

Tegning nr.:

043.2

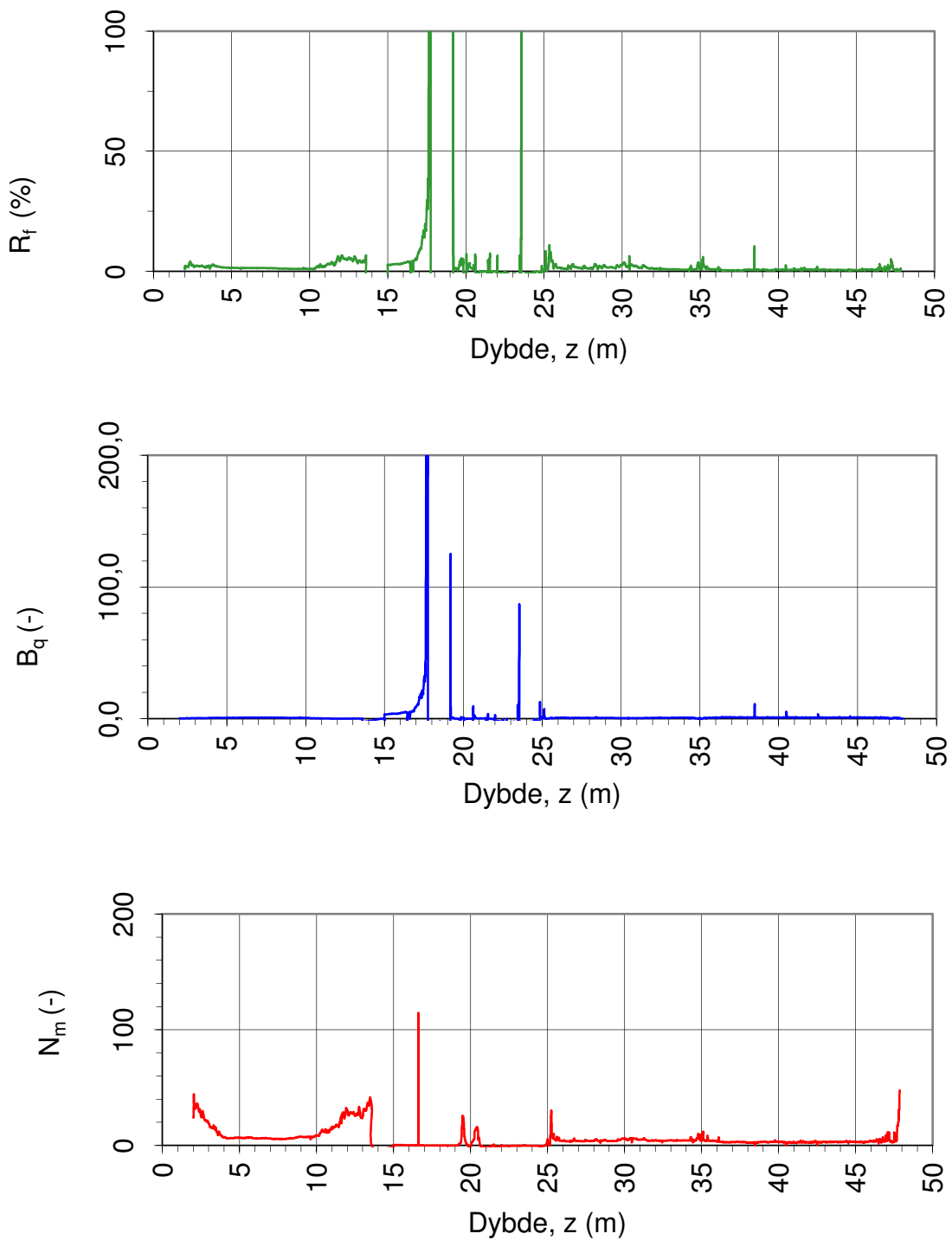
Versjon:

03.01.2013

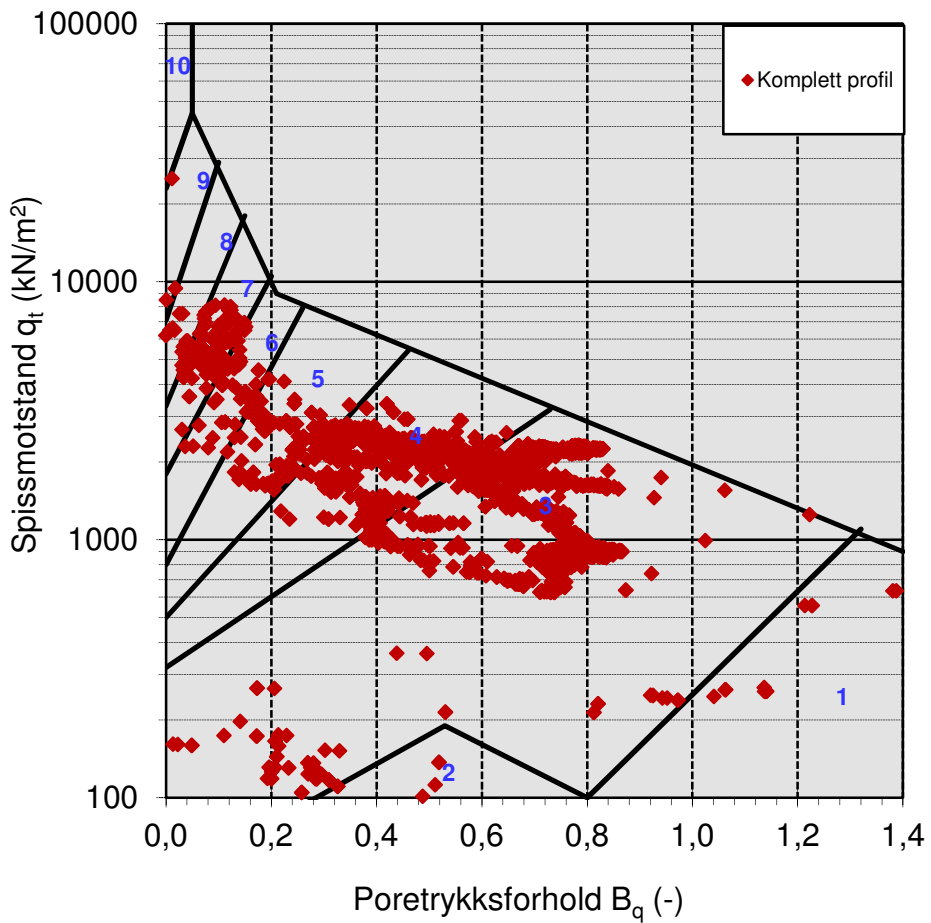
Revisjon:

0





Oppdragsgiver: <b>NVE Region midt</b>	Oppdrag: <b>Kvikkleiresone Leira</b>	Tegningens filnavn: 415655-CPTU-6.xlsx
Spissmotstandstall $N_m$ , poretrykks- $B_q$ og friksjonsforhold $R_f$ .		
CPTU id.: <b>MULTICONULT AS</b>	CPTU-6 Dato: 07.05.2013 Oppdrag nr.: 415655	Sonde: 4293 Tegnet: JMP Versjon: 043.3 Kontrollert: ARV Godkjent: OAA Revisjon: 0



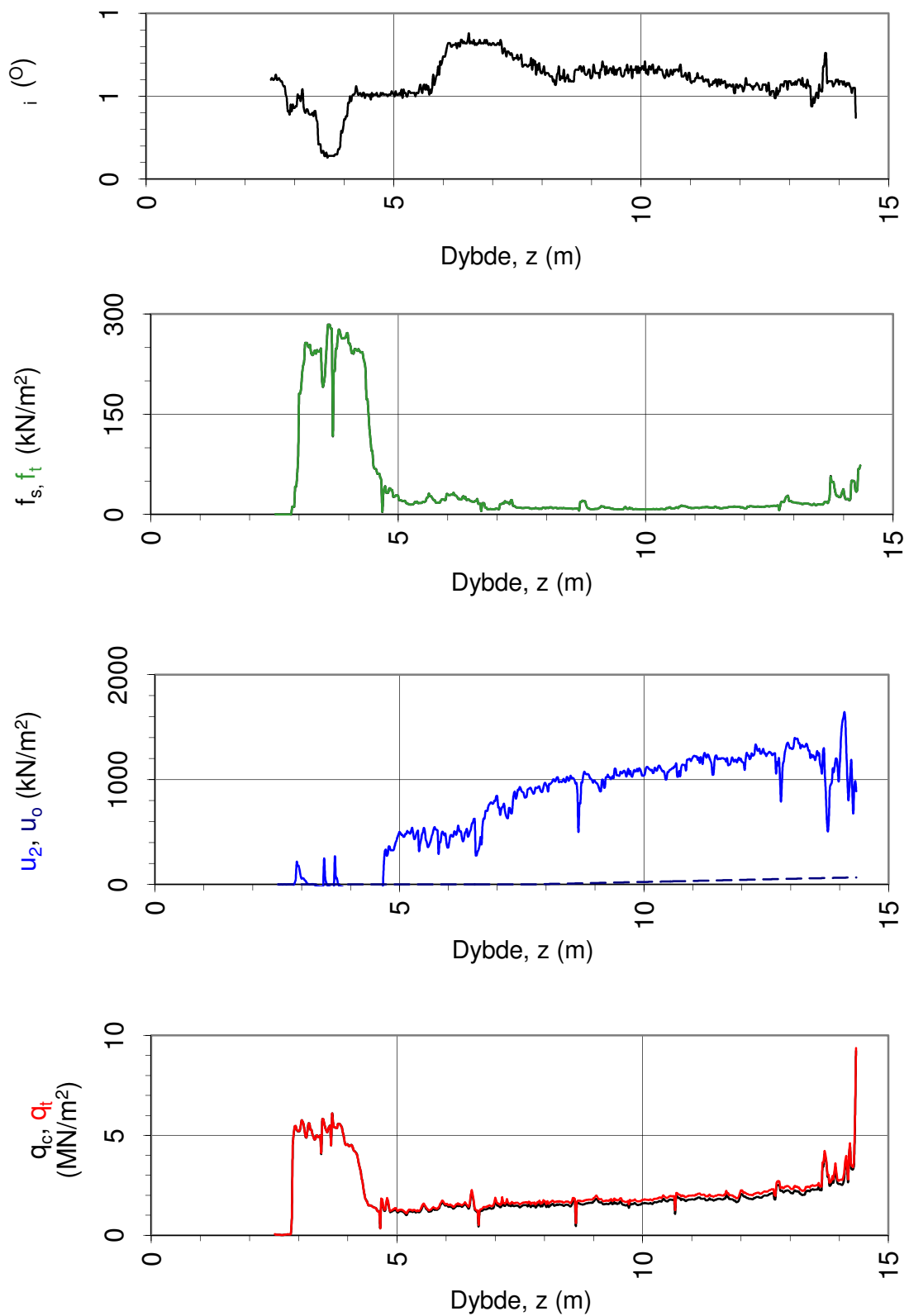
Jordartsid.	Beskrivelse	Identifikasjon
1	Sensitivt, finkornig materiale	1
2	Organisk materiale	9
3	Leire	Ved variasjon i jordartgruppe
4	Leire - siltig leire	brukes begge
5	Leirig silt - siltig leire	Id-boksene for
6	Sandig silt - leirig silt	å beskrive
7	Siltig sand - sandig silt	materialet
8	Sand - siltig sand	(eks. 5-7)
9	Sand	
10	Grusig sand - sand	
11	Meget fast, finkornig materiale	
12	Sand - leirig sand	

Oppdragsgiver:	Oppdrag:	Tegningens filnavn:		
<b>NVE Region midt</b>	<b>Kvikkleiresone Leira</b>	415655-CPTU-6.xlsx		
Jordartsidentifikasjon fra CPTU data - $q_t$ og $B_q$ .				
CPTU id.:	CPTU-6	Sonde: 4293		
MULTICONULT AS	Dato: 07.05.2013	Tegnet: JMP	Kontrollert: ARV	Godkjent: OAA
	Oppdrag nr.: 415655	Tegning nr.: 043.4	Versjon: 03.01.2013	Revisjon: 0



# DOKUMENTASJON MÅLEDATA - GEOTECH SONDER

Sonde nr.:	4293	Sondetype:	Nova
<b>SONDEDATA</b>			
Arealforhold, a:	0,856	Arealforhold, b:	0,000
Kalibreringsdato:	18.01.2012	Utførende:	Geotech AB
EGENSKAP (fra kalibreringsark)	SPISSMOTSTAND	SIDEFRIKSJON	PORETRYKK
Maksimum spenning (MPa):	50/20	0,5	2,0
Måleområde (MPa):	50/20	0,5	2,0
Oppløsning, $2^{12}$ bit (kPa):	0	0	0
Oppløsning, $2^{18}$ bit (kPa):	0,21	0,01	0,02
Max. temp.effekt, ubelastet (kPa):	39,07	2,52	0,71
Temperaturområde (°C):	0-40	0-40	0-40
Merknad 1:			
Merknad 2:			
<b>UTFØRELSE</b>			
Borleder:	Bård Krogstad	Assistent:	Oddbjørn Rønning
Filtertype:	Porøst filter	Mettemedium:	Glyserin
Mettemetode:	Ferdig mettet filter	Lufttemperatur (°C):	9,0
Forankring:		Max. helning (°):	3,9
Merknad 1:			
<b>MÅLEVARIABLE</b>			
EGENSKAP	SPISSMOTSTAND	SIDEFRIKSJON	PORETRYKK
Maksimal temperatureffekt (kPa):	2,93	0,19	0,05
<b>NULLPUNKTKONTROLL</b>			
Faktor	NA (q)	NB (f)	NC (u)
Før sondering (DOS):			
Etter sondering (DOS):			
Avvik (DOS) (kPa):	0,0	0,0	0,0
Før sondering (Windows):	2,472	137,400	252,600
Etter sondering (Windows):	0,019	0,000	0,700
Avvik (Windows) (kPa):	18,8	0,0	0,7
<b>NØYAKTIGHETSVURDERING GEOTECH - VURDERING AV ANVENDELSESKLASSE</b>			
Målestørrelse	Spissmotstand	Friksjon	Poretrykk
Samlet nøyaktighet, $\Delta_{TOT}$ (kPa)	21,94	0,20	0,77
Tillatt nøyaktighet A1, $\Delta_k$ (kPa)	35,0	5,0	10,0
Tillatt nøyaktighet A2, $\Delta_k$ (kPa)	100,0	15,0	25,0
Tillatt nøyaktighet A3, $\Delta_k$ (kPa)	200,0	25,0	50,0
Vurdering profil			
ANVENDELSESKLASSE	1	1	1
Oppdragsgiver:			
<b>NVE Region midt</b>			
Dokumentasjon av utstyr og målenøyaktighet.			
CPTU id.:	CPTU-6	Sonde:	4293
	Dato:	Tegnet:	Kontrollert:
MULTICONULT AS	07.05.2013	JMP	ARV
	Oppdrag nr.:	Tegning nr.:	Versjon:
	415655	043.5	03.01.2013



Oppdragsgiver:

**NVE Region midt**

Oppdrag:

**Kvikkleiresone Leira**

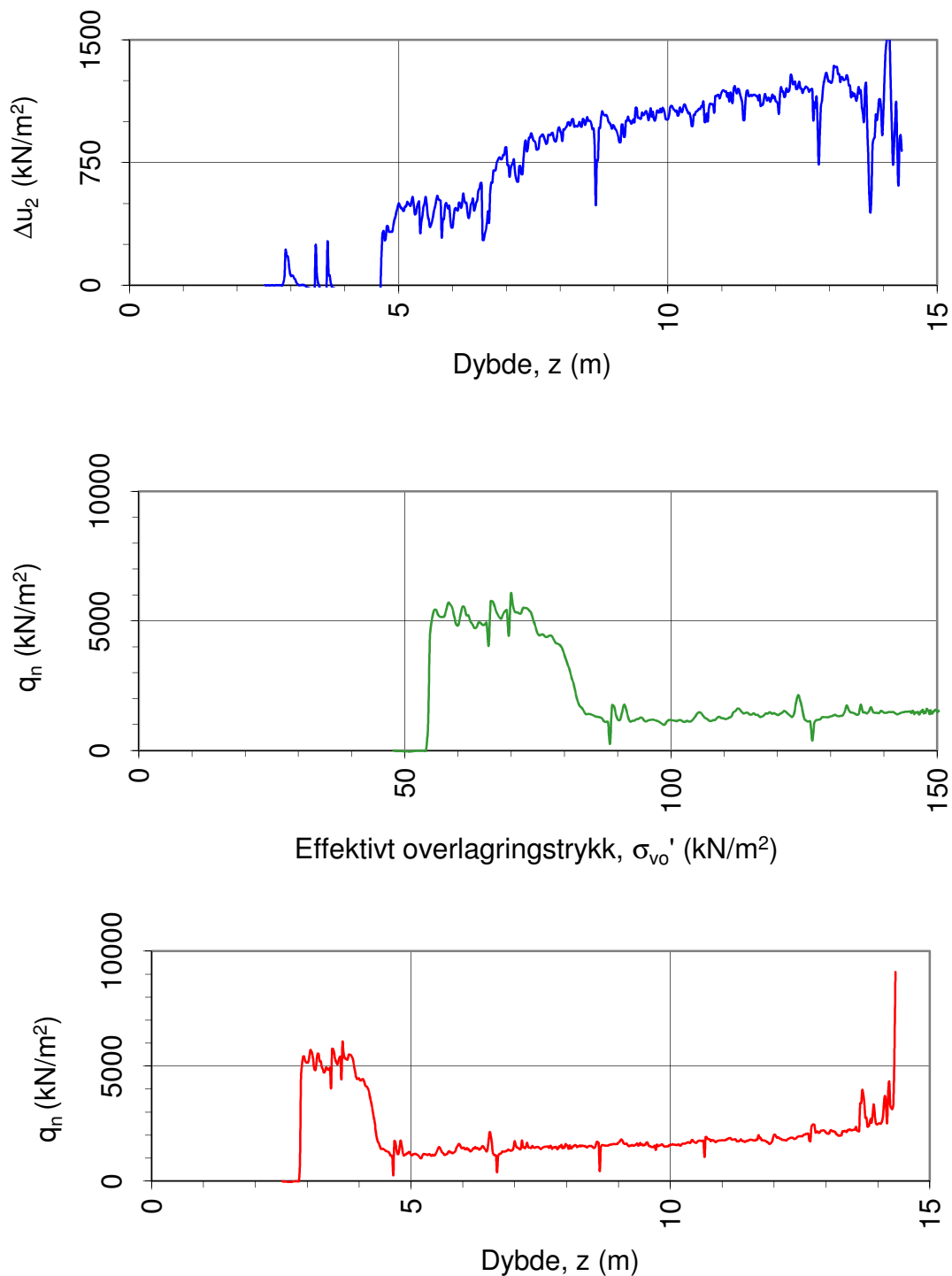
Tegningens filnavn:

415655-CPTU-7.xlsx

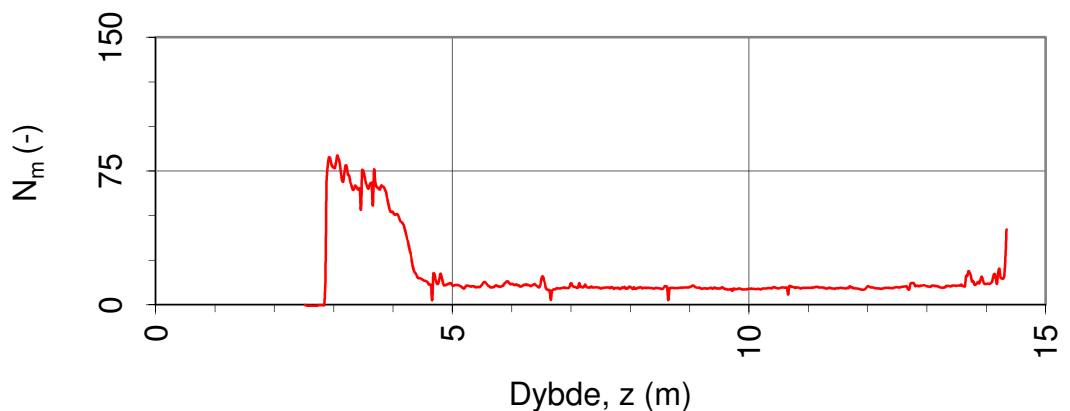
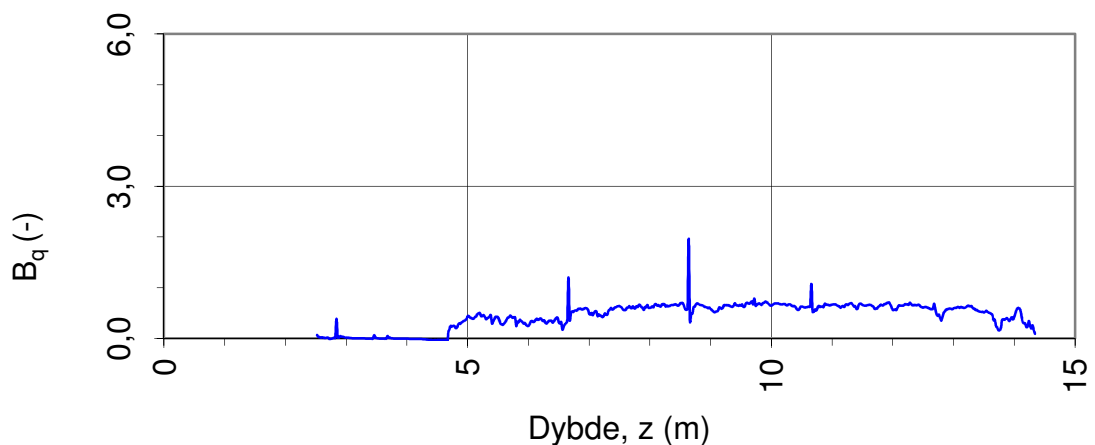
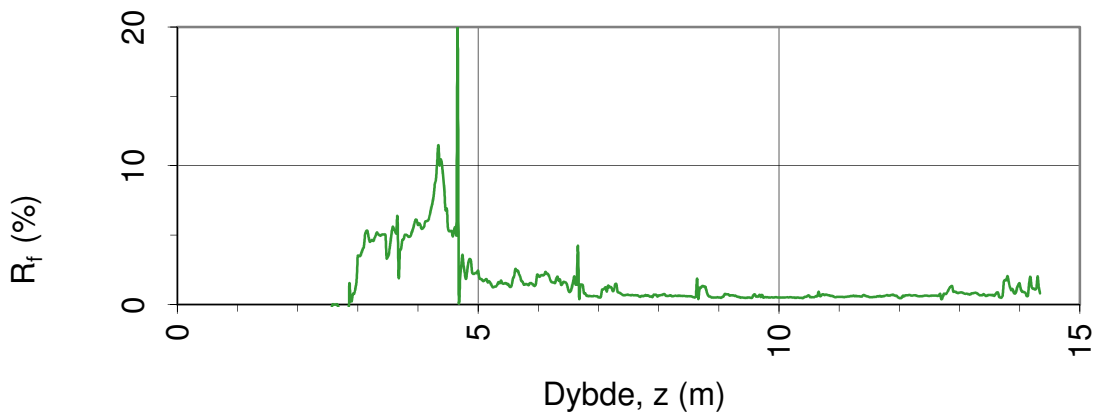
Spissmotstand  $q_{c,t}$ , poretrykk  $u_2$ , sidefriksjon  $f_{s,t}$  og helning  $i$ .

CPTU id.:	CPTU-7	Sonde:	4446	
MULTICONULT AS	Dato: 08.05.2013	Tegnet: JMP	Kontrollert: ARV	Godkjent: OAA
	Oppdrag nr.: 415655	Tegning nr.: 044.1	Versjon: 03.01.2013	Revisjon: 0





Oppdragsgiver: <b>NVE Region midt</b>	Oppdrag: <b>Kvikkleiresone Leira</b>	Tegningens filnavn: 415655-CPTU-7.xlsx
Netto spissmotstand $q_n$ og poreovertrykk $\Delta u_2$ .		
CPTU id.: <b>MULTICONULT AS</b>	CPTU-7 Dato: 08.05.2013 Oppdrag nr.: 415655	Sonde: 4446 Tegnet: JMP Tegning nr.: 044.2 Kontrollert: ARV Versjon: 03.01.2013 Godkjent: OAA Revisjon: 0



Oppdragsgiver:

**NVE Region midt**

Spissmotstandstall  $N_m$ , poretrykks-  $B_q$  og friksjonsforhold  $R_f$ .

Oppdrag:

**Kvikkleiresone Leira**

Tegningens filnavn:

415655-CPTU-7.xlsx

CPTU id.:

CPTU-7

Sonde:

4446



MULTICONSOULT AS

Dato:  
08.05.2013

Tegnet:  
JMP

Kontrollert:  
ARV

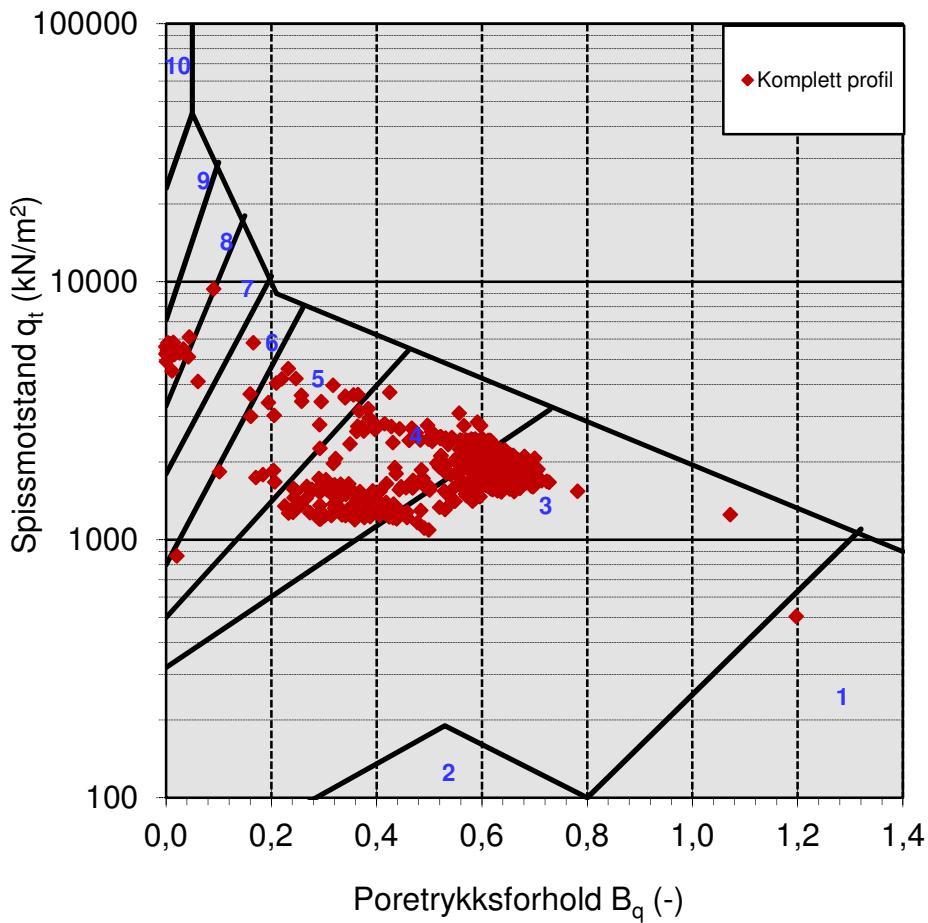
Godkjent:  
OAA

Oppdrag nr.:  
415655

Tegning nr.:  
044.3

Versjon:  
03.01.2013

Revisjon:  
0



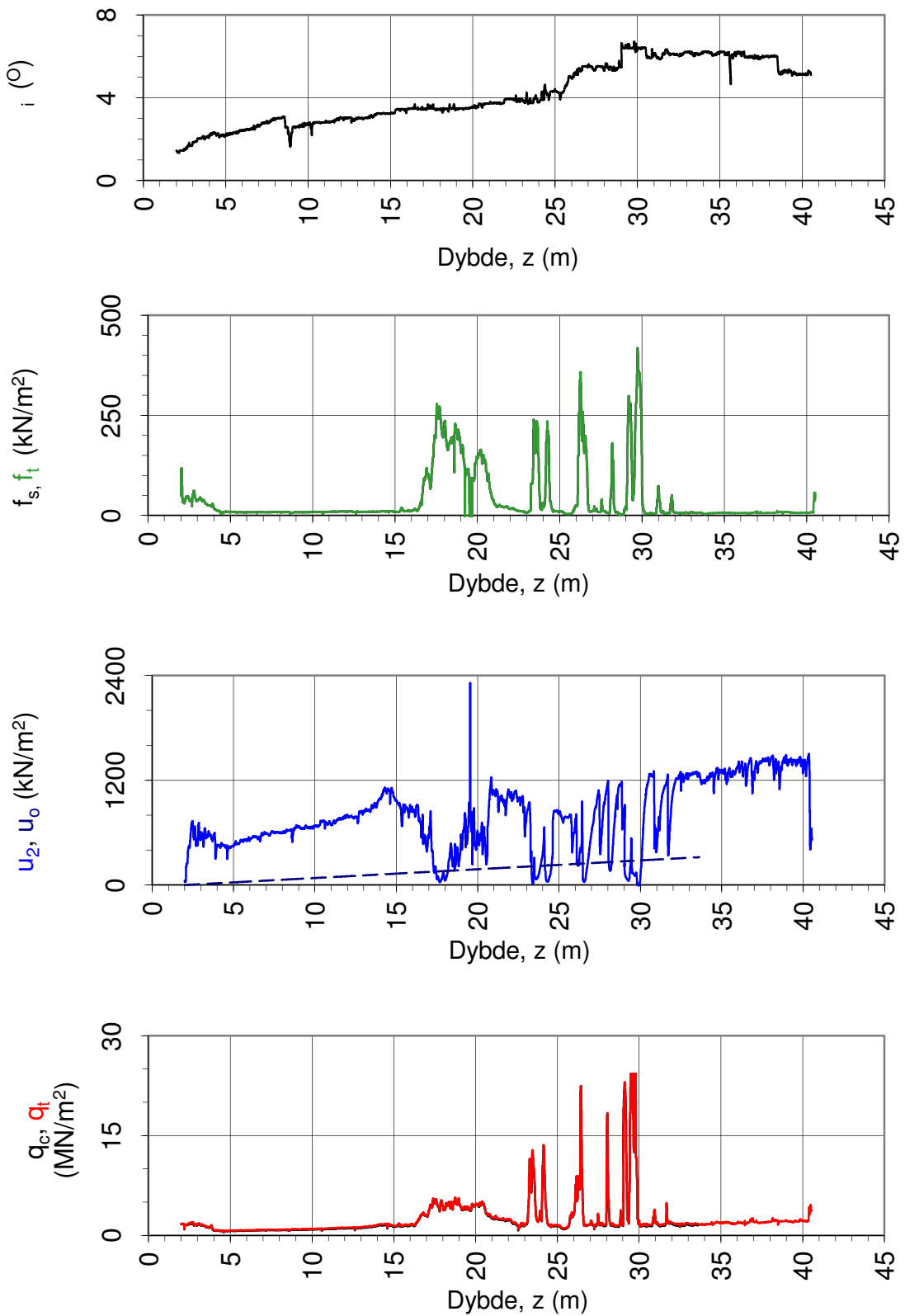
Jordartsid.	Beskrivelse	Identifikasjon
1	Sensitivt, finkornig materiale	1
2	Organisk materiale	8
3	Leire	Ved variasjon i jordartgruppe brukes begge Id-boksene for å beskrive
4	Leirig silt - siltig leire	
5	Leirig silt - siltig leire	
6	Sandig silt - leirig silt	
7	Siltig sand - sandig silt	
8	Sand - siltig sand	
9	Sand	
10	Grusig sand - sand	
11	Meget fast, finkornig materiale	
12	Sand - leirig sand	

Oppdragsgiver:	Oppdrag:	Tegningens filnavn:		
<b>NVE Region midt</b>	<b>Kvikkleiresone Leira</b>	415655-CPTU-7.xlsx		
Jordartsidentifikasjon fra CPTU data - $q_t$ og $B_q$ .				
CPTU id.:	CPTU-7	Sonde: 4446		
MULTICONULT AS	Dato: 08.05.2013	Tegnet: JMP	Kontrollert: ARV	Godkjent: OAA
	Oppdrag nr.: 415655	Tegning nr.: 044.4	Versjon: 03.01.2013	Revisjon: 0



# DOKUMENTASJON MÅLEDATA - GEOTECH SONDER

Sonde nr.:	<b>4446</b>	Sondetype:	Nova
<b>SONDEDATA</b>			
Arealforhold, a:	<b>0,838</b>	Arealforhold, b:	<b>0,000</b>
Kalibreringsdato:	27.09.2011	Utførende:	Geotech AB
EGENSKAP (fra kalibreringsark)	<b>SPISSMOTSTAND</b>	<b>SIDEFRIKSJON</b>	<b>PORETRYKK</b>
Maksimum spenning (MPa):	50,0	0,5	2,0
Måleområde (MPa):	50,0	0,5	2,0
Oppløsning, $2^{12}$ bit (kPa):	0	0	0
Oppløsning, $2^{18}$ bit (kPa):	0,59	0,01	0,02
Max. temp.effekt, ubelastet (kPa):	31,32	0,58	0,65
Temperaturområde (°C):	0-40	0-40	0-40
Merknad 1:			
Merknad 2:			
<b>UTFØRELSE</b>			
Borleder:	Bård Krogstad	Assistent:	Oddbjørn Rønning
Filtertype:	Porøst filter	Mettemedium:	Glyserin
Mettemetode:	Ferdig mettet filter	Lufttemperatur (°C):	8,4
Forankring:		Max. helning (°):	0,9
Merknad 1:			
<b>MÅLEVARIABLE</b>			
EGENSKAP	<b>SPISSMOTSTAND</b>	<b>SIDEFRIKSJON</b>	<b>PORETRYKK</b>
Maksimal temperatureffekt (kPa):	1,88	0,03	0,04
<b>NULLPUNKTKONTROLL</b>			
Faktor	<b>NA (q)</b>	<b>NB (f)</b>	<b>NC (u)</b>
Før sondering (DOS):			
Etter sondering (DOS):			
Avvik (DOS) (kPa):	0,0	0,0	0,0
Før sondering (Windows):	7,345	124,700	265,200
Etter sondering (Windows):	0,011	0,400	3,600
Avvik (Windows) (kPa):	10,7	0,4	3,6
<b>NØYAKTIGHETSVURDERING GEOTECH - VURDERING AV ANVENDELSESKLASSE</b>			
Målestørrelse	<b>Spissmotstand</b>	<b>Friksjon</b>	<b>Poretrykk</b>
Samlet nøyaktighet, $\Delta_{TOT}$ (kPa)	13,17	0,44	3,66
Tillatt nøyaktighet A1, $\Delta_k$ (kPa)	35,0	5,0	10,0
Tillatt nøyaktighet A2, $\Delta_k$ (kPa)	100,0	15,0	25,0
Tillatt nøyaktighet A3, $\Delta_k$ (kPa)	200,0	25,0	50,0
Vurdering profil			
ANVENDELSESKLASSE	<b>1</b>	<b>1</b>	<b>1</b>
Oppdragsgiver:	Oppdrag:		
<b>NVE Region midt</b>	<b>Kvikkleiresone Leira</b>		
Dokumentasjon av utstyr og målenøyaktighet.			
CPTU id.:	CPTU-7	Sonde:	4446
MULTICONULT AS		Dato:	
		08.05.2013	Tegnet:
		JMP	ARV
		Oppdrag nr.:	Versjon:
		415655	044.5 03.01.2013



Oppdragsgiver:

**NVE Region midt**

Oppdrag:

**Kvikkleiresone Leira**

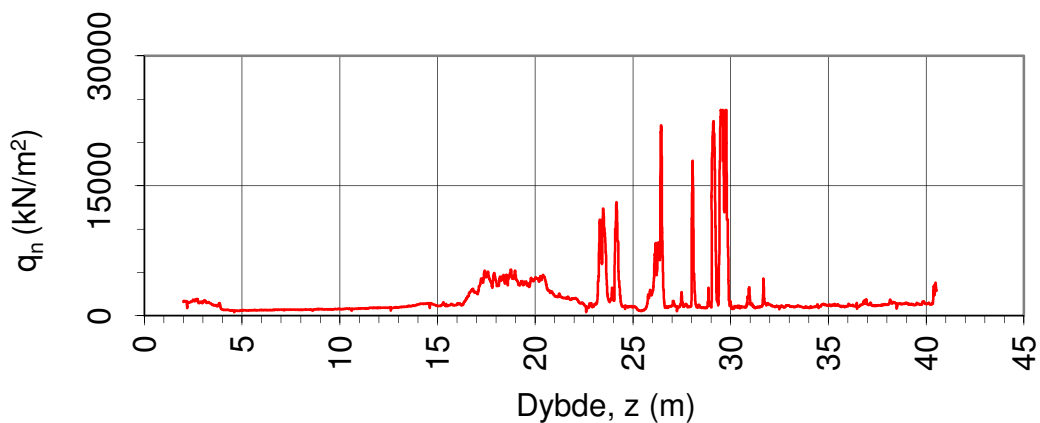
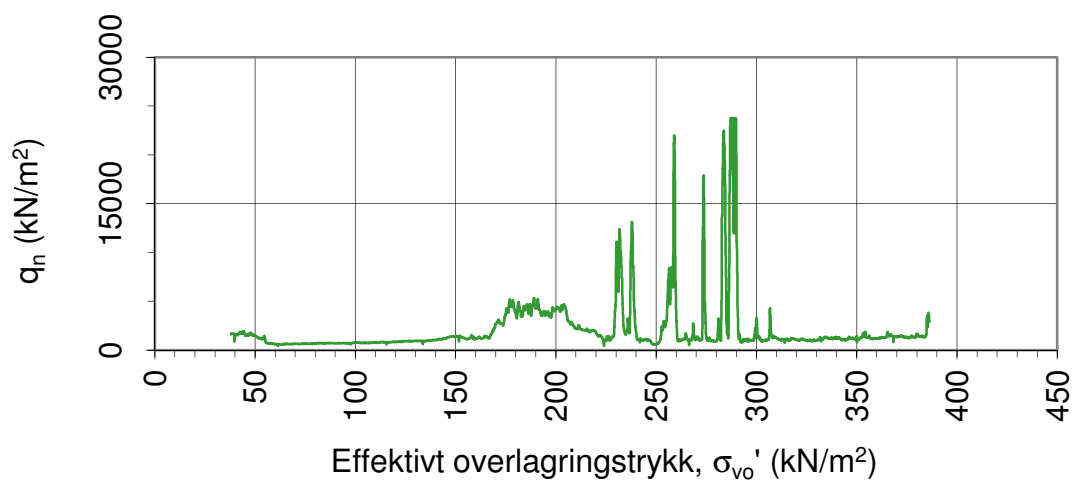
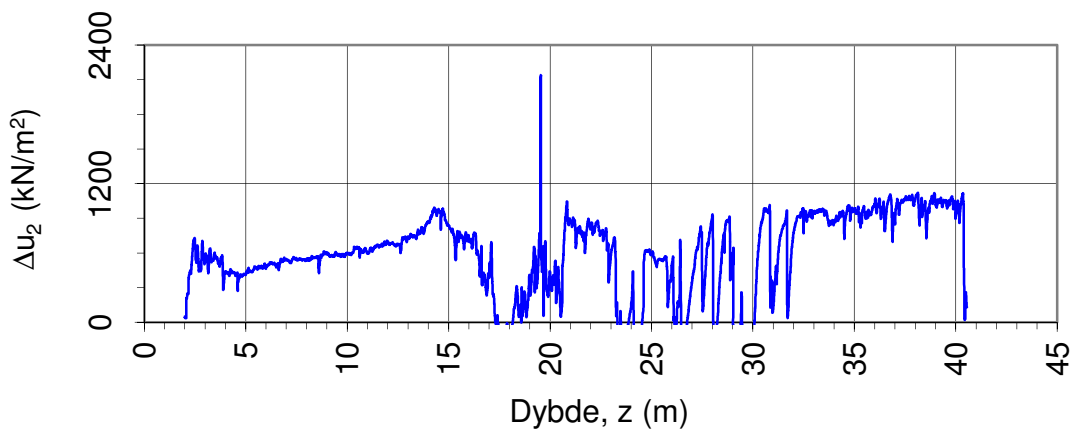
Tegningens filnavn:

415655-CPTU-9.xlsx

Spissmotstand  $q_{c,t}$ , poretrykk  $u_2$ , sidefriksjon  $f_{s,t}$  og helning  $i$ .

CPTU id.:	CPTU-9	Sonde:	4293	
MULTICONULT AS	Dato: 08.05.2013	Tegnet: JMP	Kontrollert: ARV	Godkjent: OAA
	Oppdrag nr.: 415655	Tegning nr.: 045.1	Versjon: 03.01.2013	Revisjon: 0





Oppdragsgiver:

**NVE Region midt**

Oppdrag:

**Kvikkleiresone Leira**

Tegningens filnavn:

415655-CPTU-9.xlsx

Netto spissmotstand  $q_n$  og poreovertrykk  $\Delta u_2$ .

CPTU id.:

CPTU-9

Sonde:

4293

MULTICONULT AS

Dato:

08.05.2013

Tegnet:

JMP

Kontrollert:

ARV

Godkjent:

OAA

Oppdrag nr.:

415655

Tegning nr.:

045.2

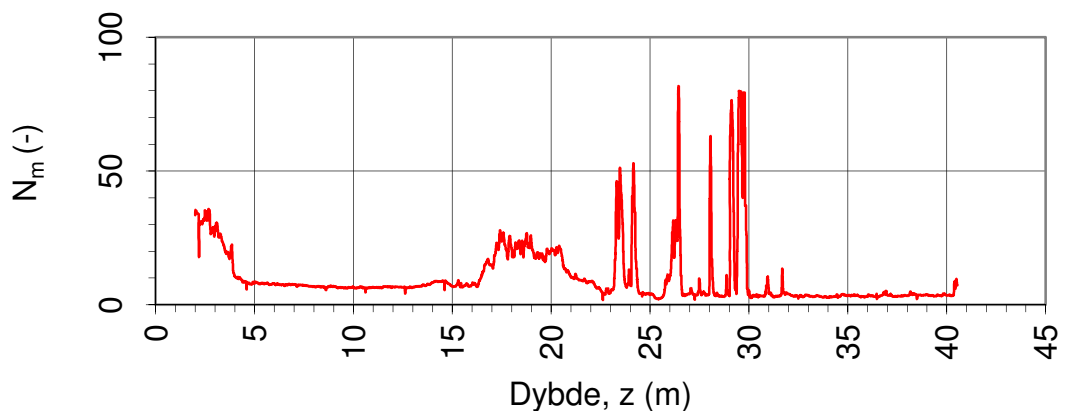
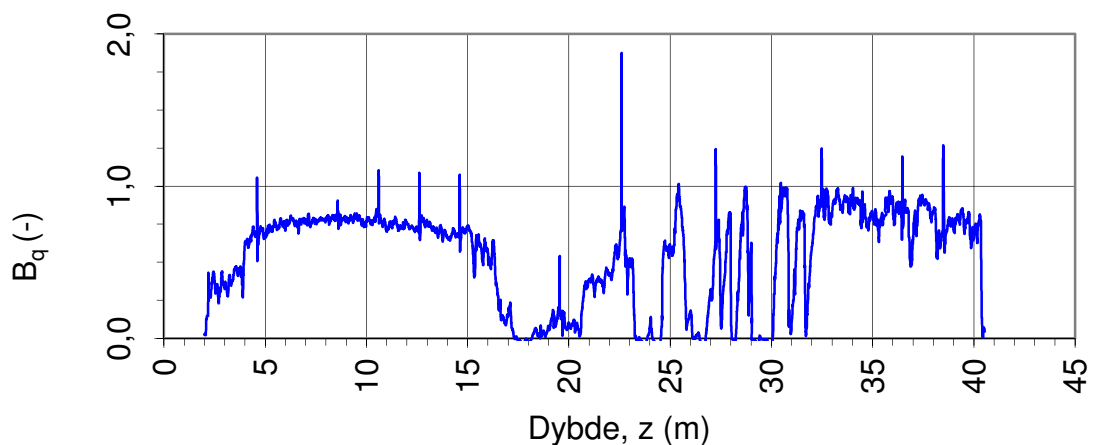
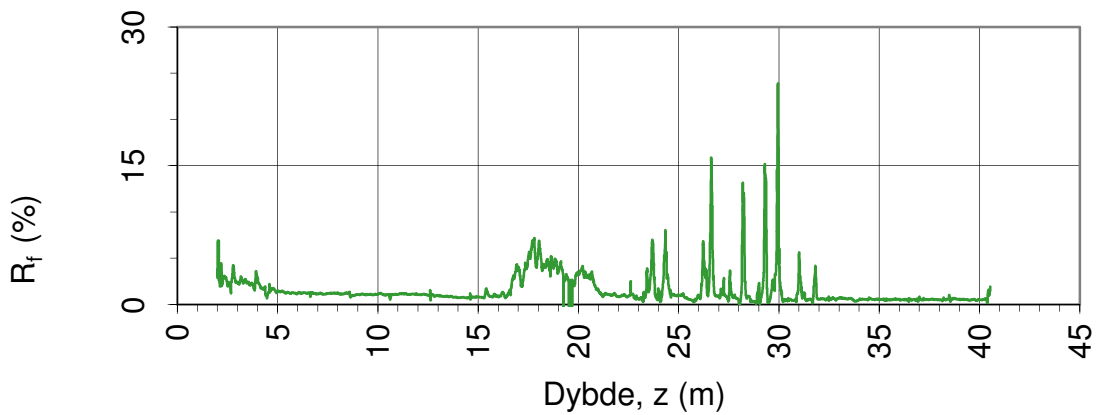
Versjon:

03.01.2013

Revisjon:

0





Oppdragsgiver:

**NVE Region midt**

Spissmotstandstall  $N_m$ , poretrykks-  $B_q$  og friksjonsforhold  $R_f$ .

Oppdrag:

**Kvikkleiresone Leira**

Tegningens filnavn:

415655-CPTU-9.xlsx

CPTU id.:

CPTU-9

Sonde:

4293



MULTICONSOULT AS

Dato:  
08.05.2013

Tegnet:  
JMP

Kontrollert:  
ARV

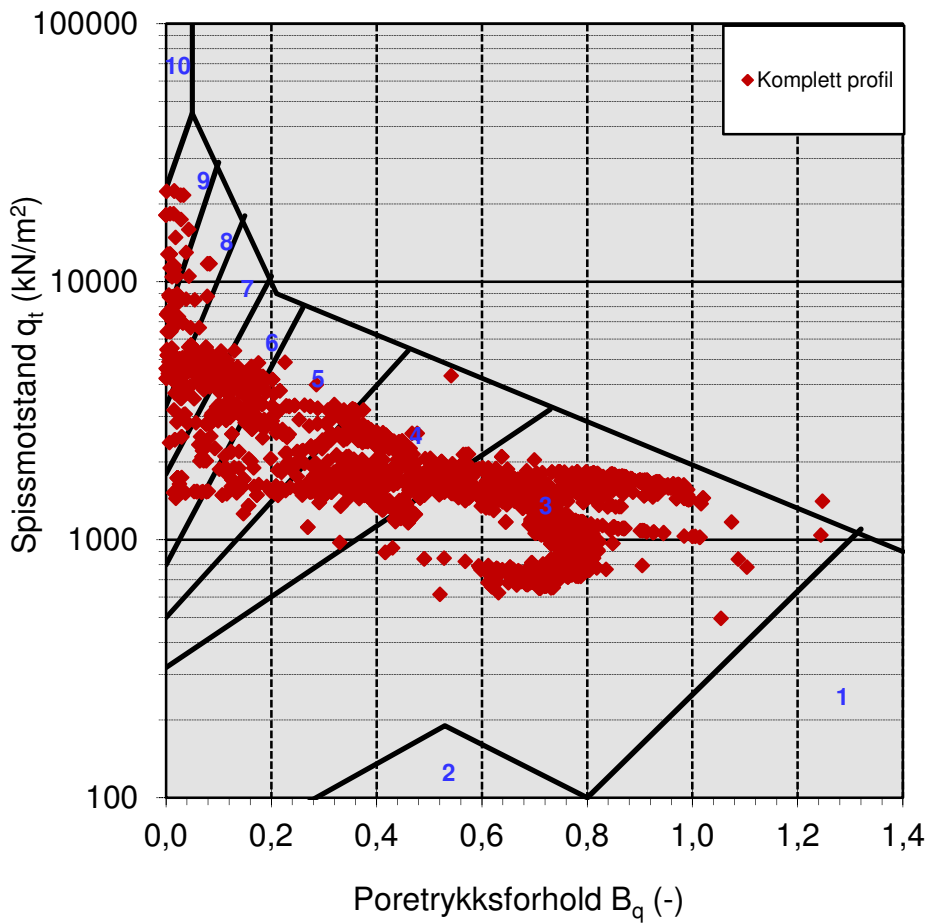
Godkjent:  
OAA

Oppdrag nr.:  
415655

Tegning nr.:  
045.3

Versjon:  
03.01.2013

Revisjon:  
0



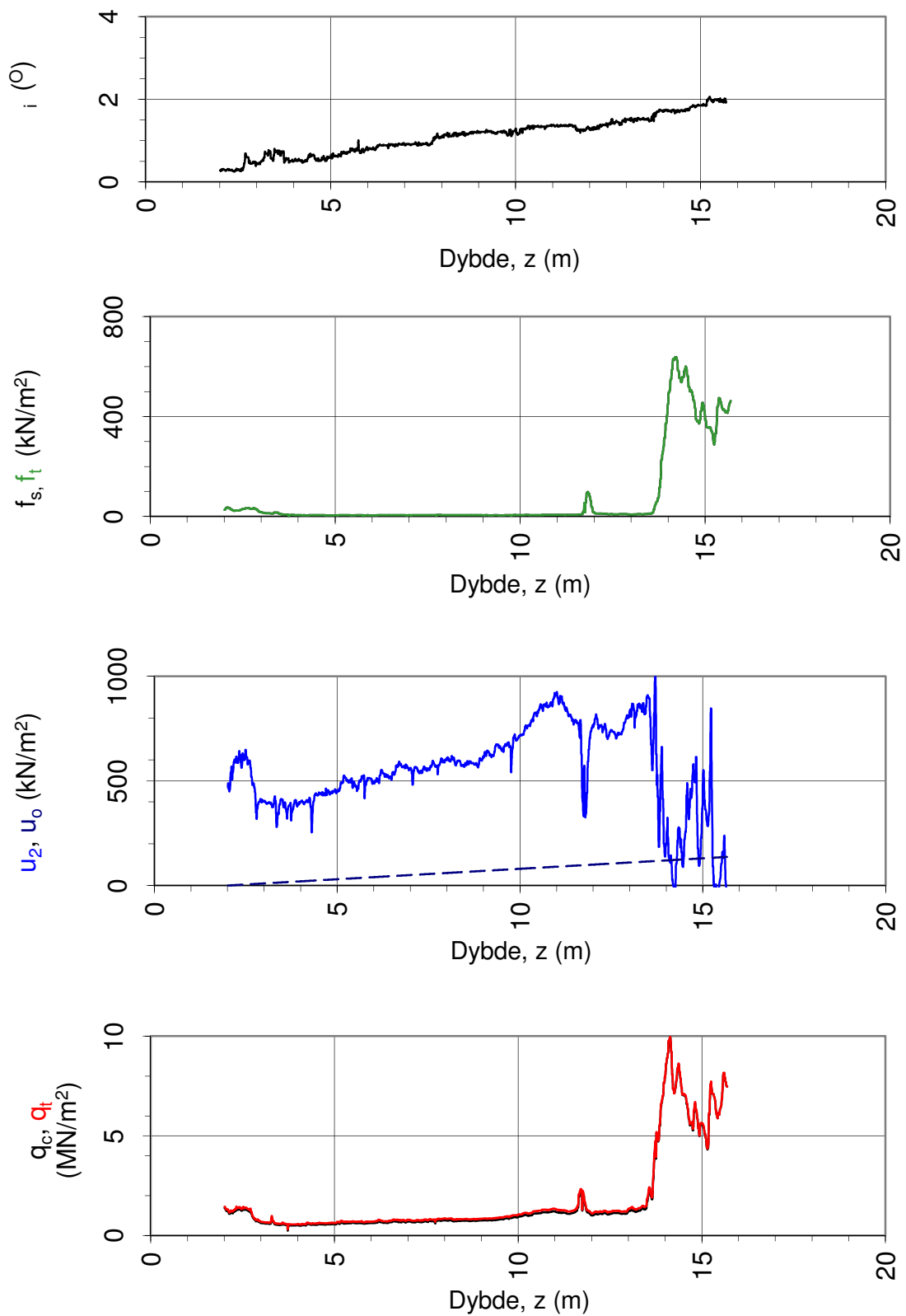
Jordartsid.	Beskrivelse	Identifikasjon
1	Sensitivt, finkornig materiale	3
2	Organisk materiale	9
3	Leire	Ved variasjon i jordartgruppe brukes begge Id-boksene for å beskrive materialet (eks. 5-7)
4	Leire - siltig leire	
5	Leirig silt - siltig leire	
6	Sandig silt - leirig silt	
7	Siltig sand - sandig silt	
8	Sand - siltig sand	
9	Sand	
10	Grusig sand - sand	
11	Meget fast, finkornig materiale	
12	Sand - leirig sand	

Oppdragsgiver:	Oppdrag:	Tegningens filnavn:		
<b>NVE Region midt</b>	<b>Kvikkleiresone Leira</b>	415655-CPTU-9.xlsx		
Jordartsidentifikasjon fra CPTU data - $q_t$ og $B_q$ .				
CPTU id.:	CPTU-9	Sonde: 4293		
MULTICONULT AS	Dato: 08.05.2013	Tegnet: JMP	Kontrollert: ARV	Godkjent: OAA
	Oppdrag nr.: 415655	Tegning nr.: 045.4	Versjon: 03.01.2013	Revisjon: 0



# DOKUMENTASJON MÅLEDATA - GEOTECH SONDER

Sonde nr.:	4293	Sondetype:	Nova
<b>SONDEDATA</b>			
Arealforhold, a:	0,856	Arealforhold, b:	0,000
Kalibreringsdato:	18.01.2012	Utførende:	Geotech AB
EGENSKAP (fra kalibreringsark)	SPISSMOTSTAND	SIDEFRIKSJON	PORETRYKK
Maksimum spenning (MPa):	50/20	0,5	2,0
Måleområde (MPa):	50/20	0,5	2,0
Oppløsning, 2 <sup>12</sup> bit (kPa):	0	0	0
Oppløsning, 2 <sup>18</sup> bit (kPa):	0,21	0,01	0,02
Max. temp.effekt, ubelastet (kPa):	39,07	2,52	0,71
Temperaturområde (°C):	0-40	0-40	0-40
Merknad 1:			
Merknad 2:			
<b>UTFØRELSE</b>			
Borleder:	Bård Krogstad	Assistent:	Oddbjørn Rønning
Filtertype:	Porøst filter	Mettemedium:	Glyserin
Mettemetode:	Ferdig mettet filter	Lufttemperatur (°C):	5,7
Forankring:		Max. helning (°):	3,7
Merknad 1:			
<b>MÅLEVARIABLE</b>			
EGENSKAP	SPISSMOTSTAND	SIDEFRIKSJON	PORETRYKK
Maksimal temperatureffekt (kPa):	0,29	0,02	0,01
<b>NULLPUNKTKONTROLL</b>			
Faktor	NA (q)	NB (f)	NC (u)
Før sondering (DOS):			
Etter sondering (DOS):			
Avvik (DOS) (kPa):	0,0	0,0	0,0
Før sondering (Windows):	2,755	131,300	252,500
Etter sondering (Windows):	0,000	1,000	0,100
Avvik (Windows) (kPa):	0,2	1,0	0,1
<b>NØYAKTIGHETSVURDERING GEOTECH - VURDERING AV ANVENDELSESKLASSE</b>			
Målestørrelse	Spissmotstand	Friksjon	Poretrykk
Samlet nøyaktighet, $\Delta_{TOT}$ (kPa)	0,70	1,03	0,13
Tillatt nøyaktighet A1, $\Delta_k$ (kPa)	35,0	5,0	10,0
Tillatt nøyaktighet A2, $\Delta_k$ (kPa)	100,0	15,0	25,0
Tillatt nøyaktighet A3, $\Delta_k$ (kPa)	200,0	25,0	50,0
Vurdering profil			
ANVENDELSESKLASSE	1	1	1
Oppdragsgiver:			
<b>NVE Region midt</b>			
Dokumentasjon av utstyr og målenøyaktighet.			
CPTU id.:	CPTU-9	Sonde:	4293
	Dato:	Tegnet:	Kontrollert:
MULTICONULT AS	08.05.2013	JMP	ARV
	Oppdrag nr.:	Tegning nr.:	Versjon:
	415655	045.5	03.01.2013



Oppdragsgiver:

**NVE Region midt**

Oppdrag:

**Kvikkleiresone Leira**

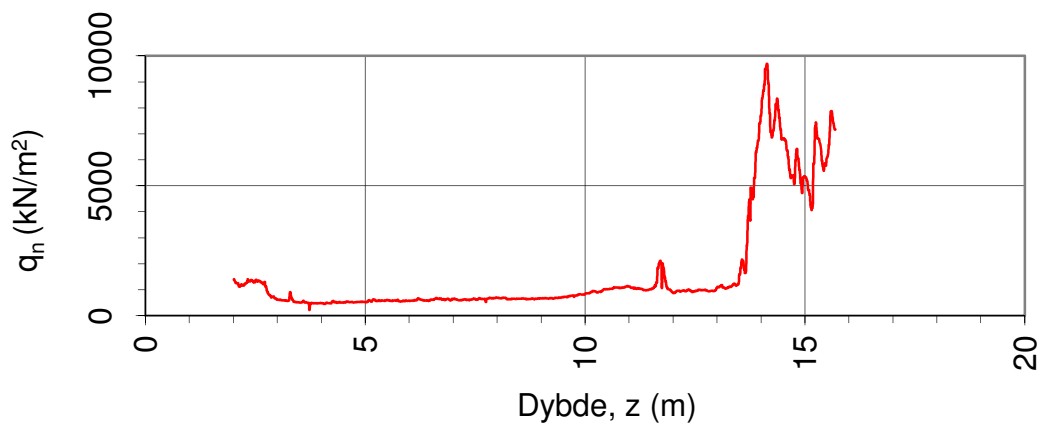
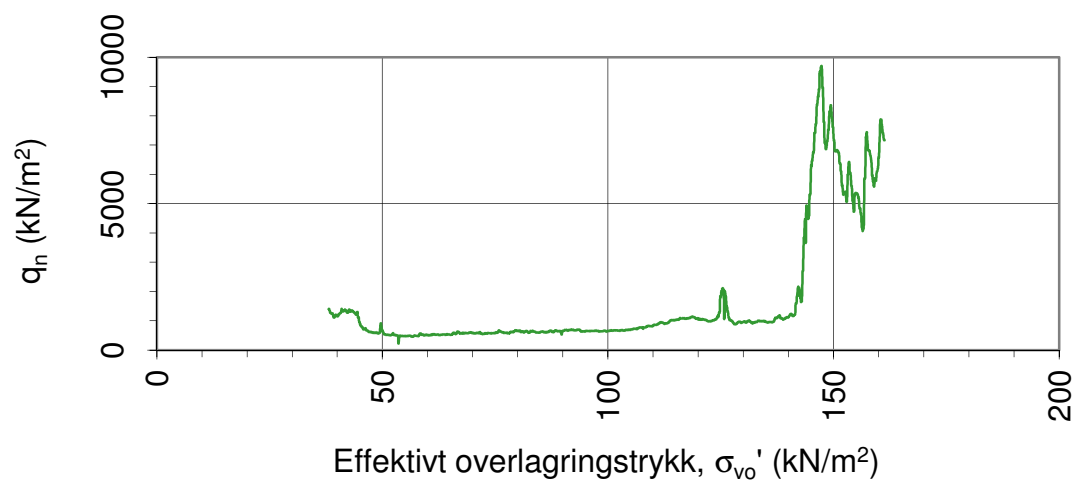
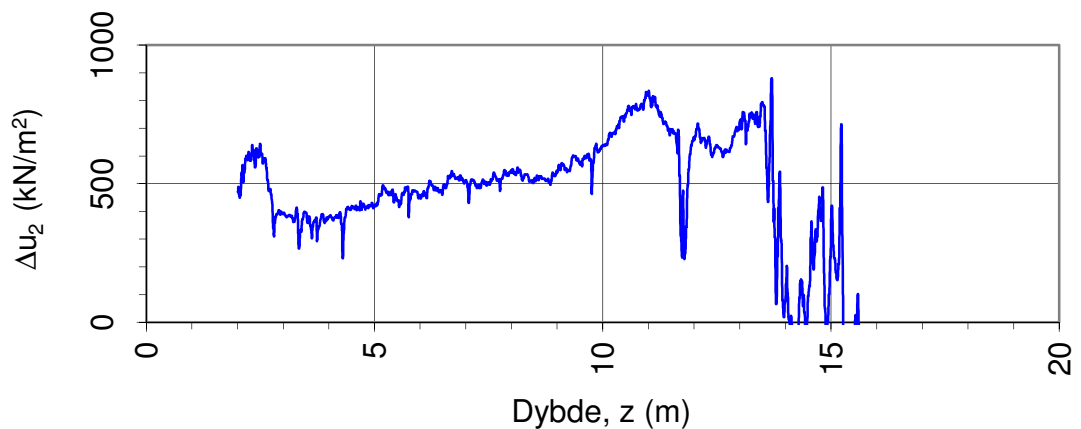
Tegningens filnavn:

415655-CPTU-11.xlsx

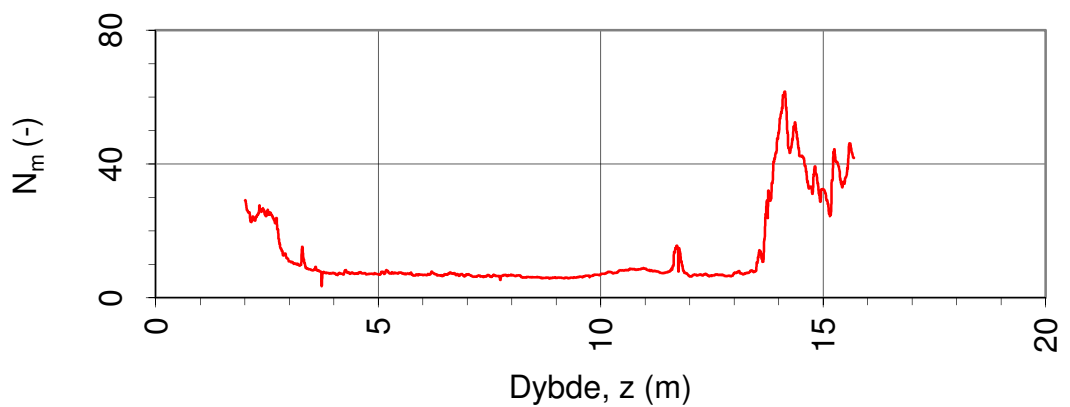
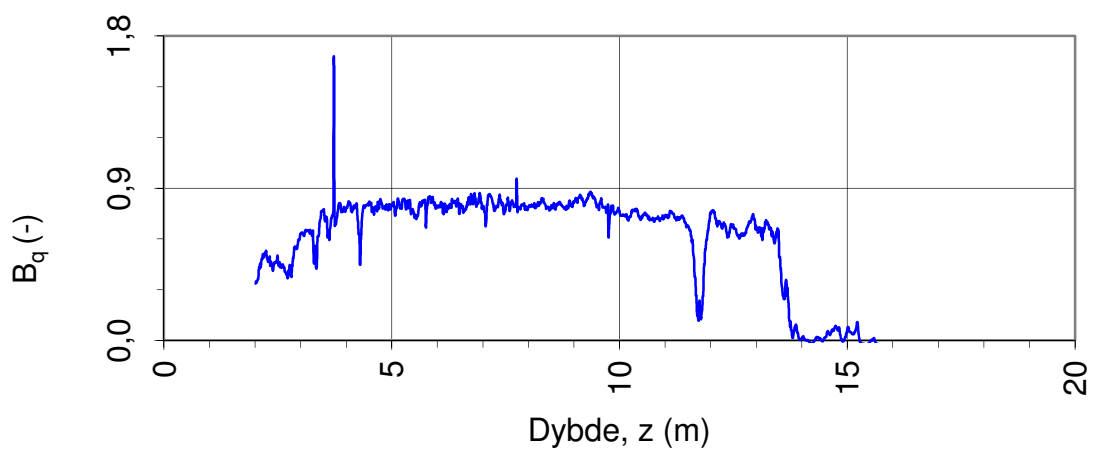
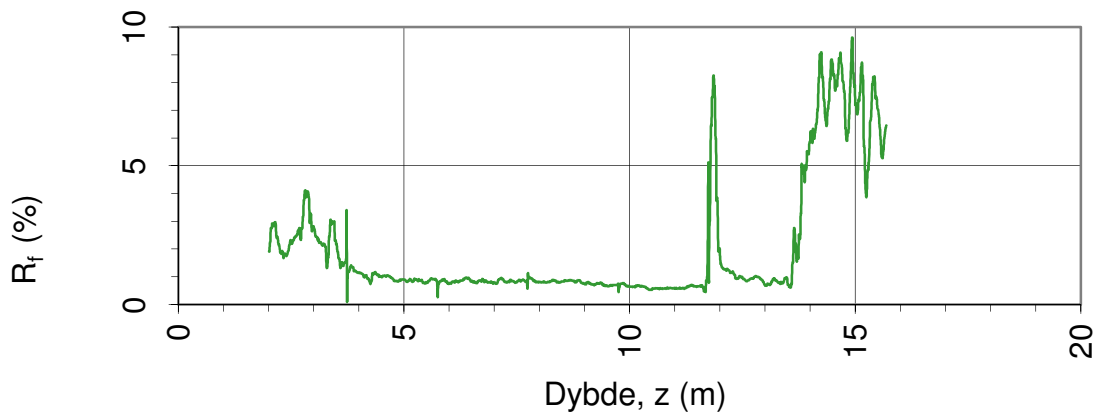
Spissmotstand  $q_{c,t}$ , poretrykk  $u_2$ , sidefriksjon  $f_{s,t}$  og helning  $i$ .

CPTU id.:	CPTU-11	Sonde:	4293	
MULTICONULT AS	Dato: 08.05.2013	Tegnet: JMP	Kontrollert: ARV	Godkjent: OAA
	Oppdrag nr.: 415655	Tegning nr.: 046.1	Versjon: 03.01.2013	Revisjon: 0





Oppdragsgiver: <b>NVE Region midt</b>	Oppdrag: <b>Kvikkleiresone Leira</b>	Tegningens filnavn: 415655-CPTU-11.xlsx
Netto spissmotstand $q_n$ og poreovertrykk $\Delta u_2$ .		
CPTU id.: <b>MULTICONULT AS</b>	CPTU-11 Dato: 08.05.2013 Oppdrag nr.: 415655	Sonde: 4293 Tegnet: JMP Tegning nr.: 046.2 Kontrollert: ARV Versjon: 03.01.2013 Godkjent: OAA Revisjon: 0



Oppdragsgiver:

**NVE Region midt**

Spissmotstandstall  $N_m$ , poretrykks-  $B_q$  og friksjonsforhold  $R_f$ .

Oppdrag:

**Kvikkleiresone Leira**

Tegningens filnavn:

415655-CPTU-11.xlsx

CPTU id.:

CPTU-11

Sonde:

4293



MULTICONSOULT AS

Dato:  
08.05.2013

Tegnet:  
JMP

Kontrollert:  
ARV

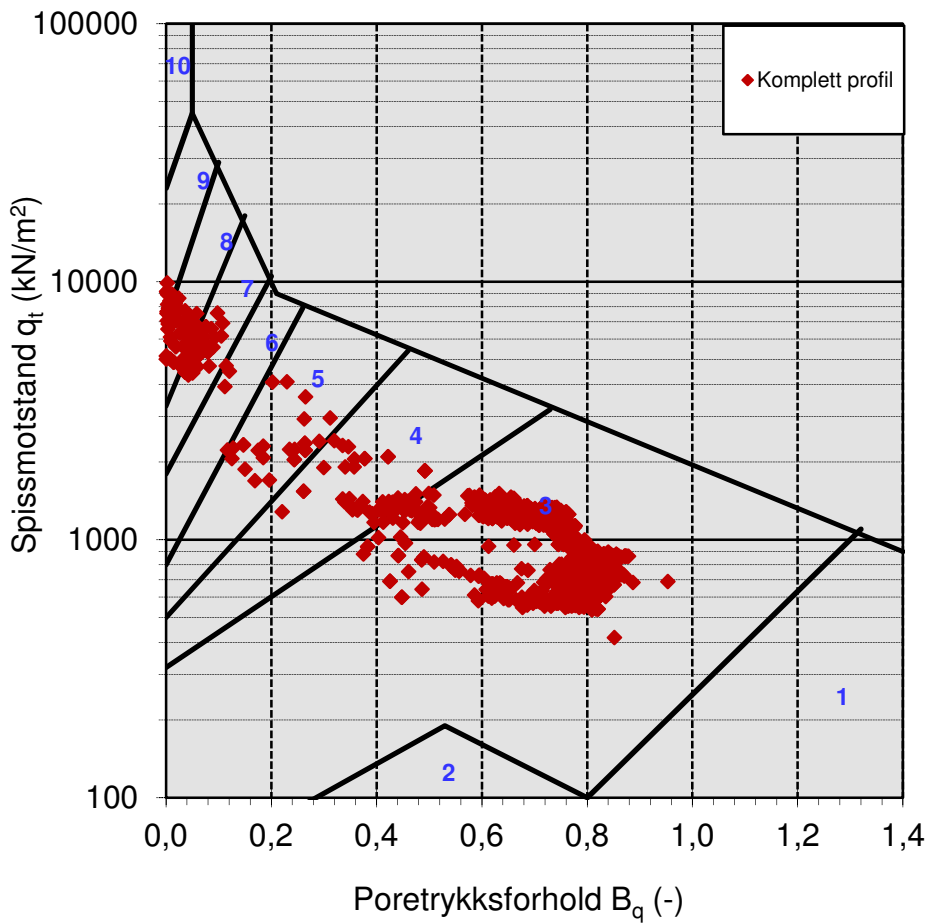
Godkjent:  
OAA

Oppdrag nr.:  
415655

Tegning nr.:  
046.3

Versjon:  
03.01.2013

Revisjon:  
0



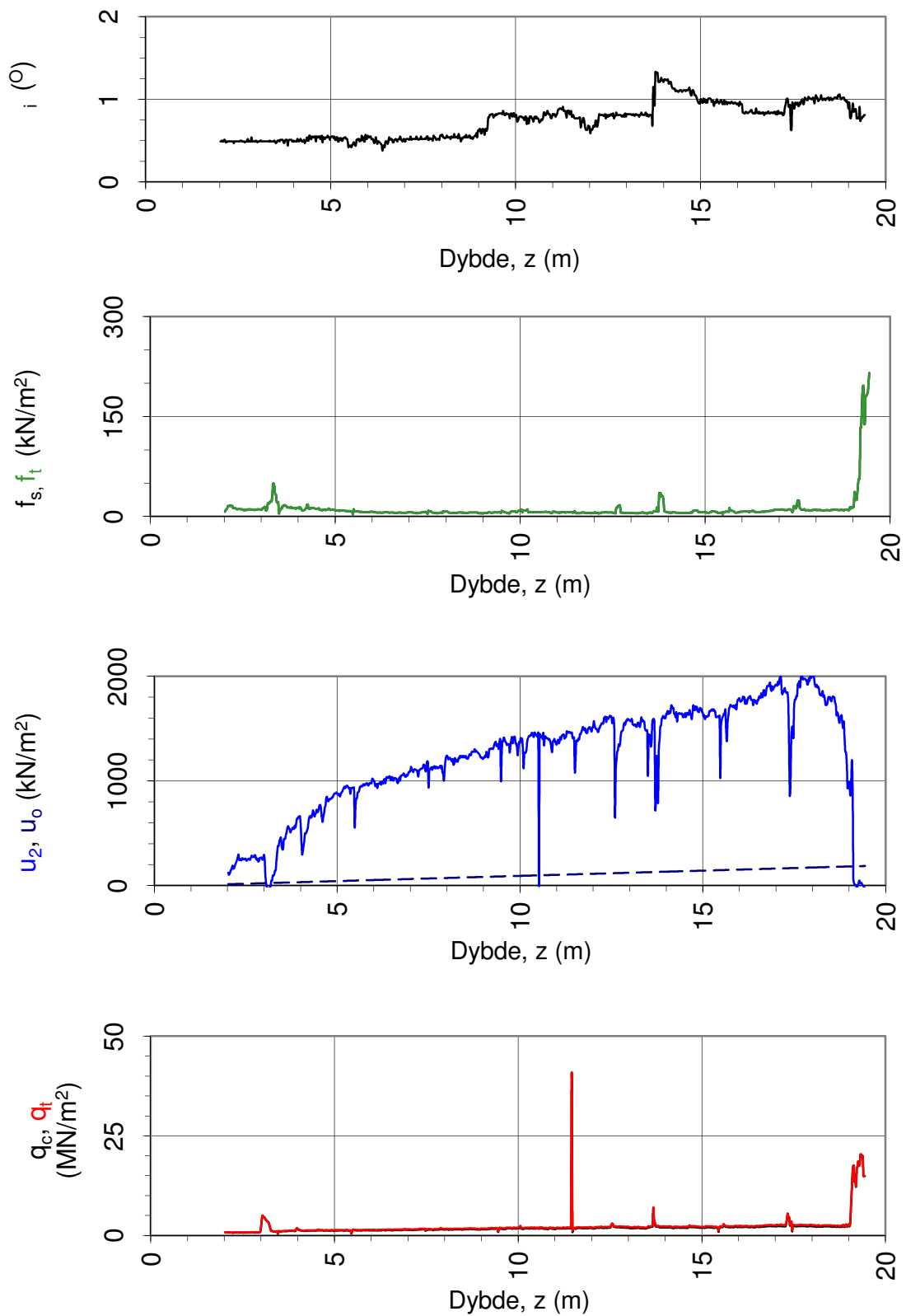
Jordartsid.	Beskrivelse	Identifikasjon
1	Sensitivt, finkornig materiale	3
2	Organisk materiale	9
3	Leire	Ved variasjon i jordartgruppe brukes begge Id-boksene for å beskrive materialet (eks. 5-7)
4	Leire - siltig leire	
5	Leirig silt - siltig leire	
6	Sandig silt - leirig silt	
7	Siltig sand - sandig silt	
8	Sand - siltig sand	
9	Sand	
10	Grusig sand - sand	
11	Meget fast, finkornig materiale	
12	Sand - leirig sand	

Oppdragsgiver:	Oppdrag:	Tegningens filnavn:		
<b>NVE Region midt</b>	<b>Kvikkleiresone Leira</b>	<b>415655-CPTU-11.xlsx</b>		
Jordartsidentifikasjon fra CPTU data - $q_t$ og $B_q$ .				
CPTU id.:	CPTU-11	Sonde: 4293		
MULTICONULT AS	Dato: 08.05.2013	Tegnet: JMP	Kontrollert: ARV	Godkjent: OAA
	Oppdrag nr.: 415655	Tegning nr.: 046.4	Versjon: 03.01.2013	Revisjon: 0



# DOKUMENTASJON MÅLEDATA - GEOTECH SONDER

Sonde nr.:	<b>4293</b>	Sondetype:	Nova
<b>SONDEDATA</b>			
Arealforhold, a:	<b>0,856</b>	Arealforhold, b:	<b>0,000</b>
Kalibreringsdato:	18.01.2012	Utførende:	Geotech AB
EGENSKAP (fra kalibreringsark)	<b>SPISSMOTSTAND</b>	SIDEFRIKSJON	<b>PORETRYKK</b>
Maksimum spenning (MPa):	50/20	0,5	2,0
Måleområde (MPa):	50/20	0,5	2,0
Oppløsning, $2^{12}$ bit (kPa):	<b>0</b>	0	0
Oppløsning, $2^{18}$ bit (kPa):	<b>0,21</b>	0,01	0,02
Max. temp.effekt, ubelastet (kPa):	39,07	2,52	0,71
Temperaturområde (°C):	0-40	0-40	0-40
Merknad 1:			
Merknad 2:			
<b>UTFØRELSE</b>			
Borleder:	Bård Krogstad	Assistent:	Oddbjørn Rønning
Filtertype:	Porøst filter	Mettemedium:	Glyserin
Mettemetode:	Ferdig mettet filter	Lufttemperatur (°C):	4,3
Forankring:		Max. helning (°):	2,1
Merknad 1:			
<b>MÅLEVARIABLE</b>			
EGENSKAP	<b>SPISSMOTSTAND</b>	SIDEFRIKSJON	<b>PORETRYKK</b>
Maksimal temperatureffekt (kPa):	<b>1,66</b>	0,11	0,03
<b>NULLPUNKTKONTROLL</b>			
Faktor	NA (q)	NB (f)	NC (u)
Før sondering (DOS):			
Etter sondering (DOS):			
Avvik (DOS) (kPa):	<b>0,0</b>	0,0	0,0
Før sondering (Windows):	2,898	128,6	252,1
Etter sondering (Windows):	0,012	0,200	0,800
Avvik (Windows) (kPa):	<b>12,1</b>	0,2	0,8
<b>NØYAKTIGHETSVURDERING GEOTECH - VURDERING AV ANVENDESESKLASSE</b>			
Målestørrelse	<b>Spissmotstand</b>	Friksjon	Poretrykk
Samlet nøyaktighet, $\Delta_{TOT}$ (kPa)	<b>13,97</b>	0,32	0,85
Tillatt nøyaktighet A1, $\Delta_k$ (kPa)	35,0	5,0	10,0
Tillatt nøyaktighet A2, $\Delta_k$ (kPa)	100,0	15,0	25,0
Tillatt nøyaktighet A3, $\Delta_k$ (kPa)	200,0	25,0	50,0
Vurdering profil			
ANVENDESESKLASSE	<b>1</b>	<b>1</b>	<b>1</b>
Oppdragsgiver:			
<b>NVE Region midt</b>	<b>Kvikkleiresone Leira</b>		
Dokumentasjon av utstyr og målenøyaktighet.			
CPTU id.:	CPTU-11	Sonde:	4293
	Dato: 08.05.2013	Tegnet: JMP	Kontrollert: ARV
MULTICONULT AS	Oppdrag nr.: 415655	Tegning nr.: 046.5	Versjon: 03.01.2013



Oppdragsgiver:

**NVE Region midt**

Oppdrag:

**Kvikkleiresone Leira**

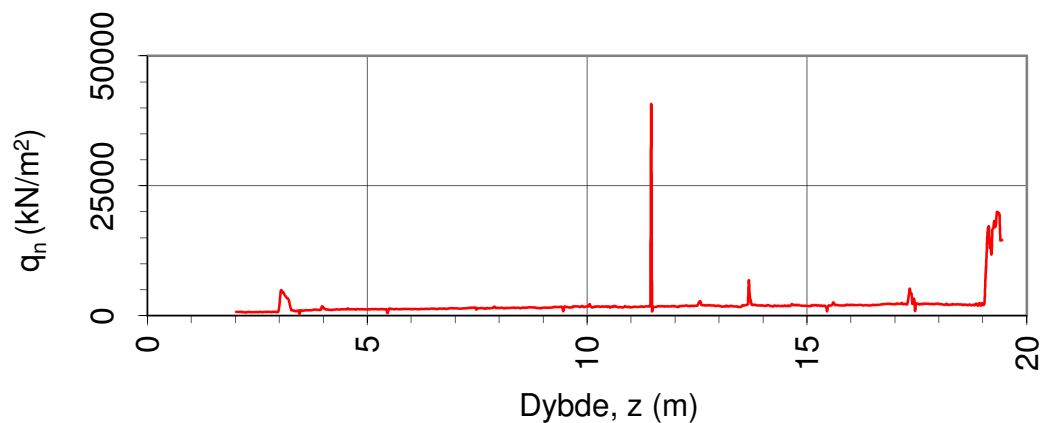
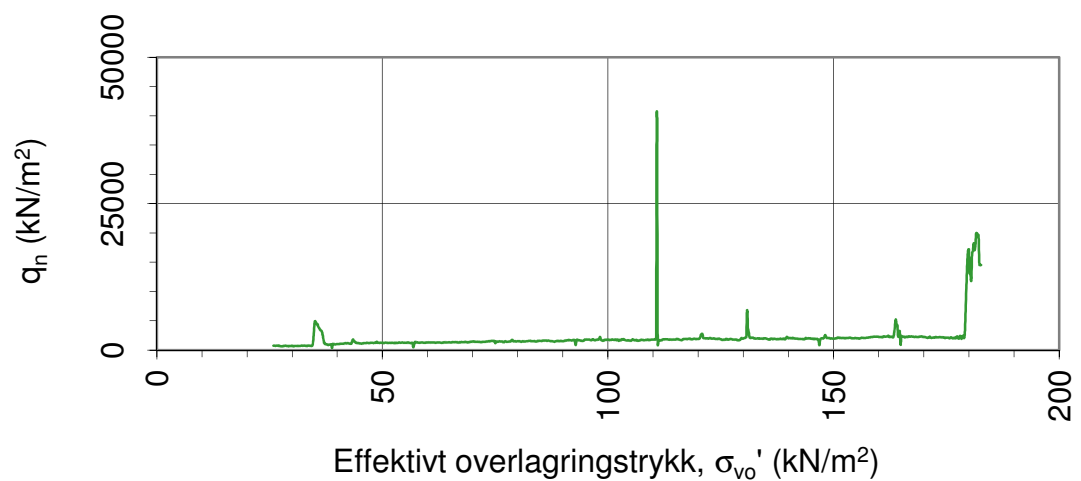
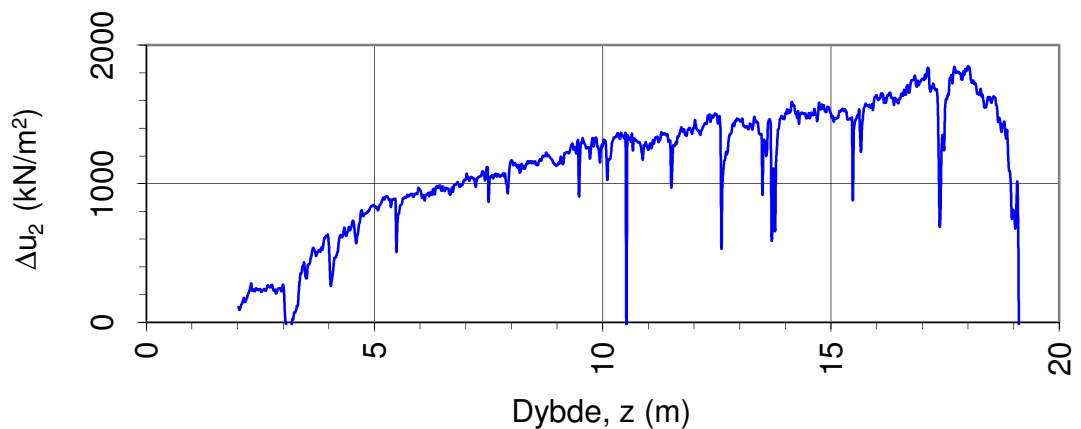
Tegningens filnavn:

415655-CPTU-13.xlsx

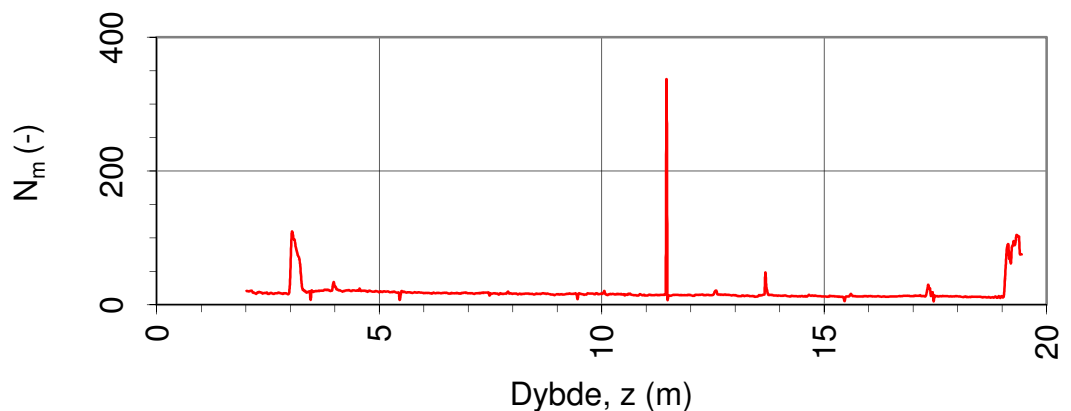
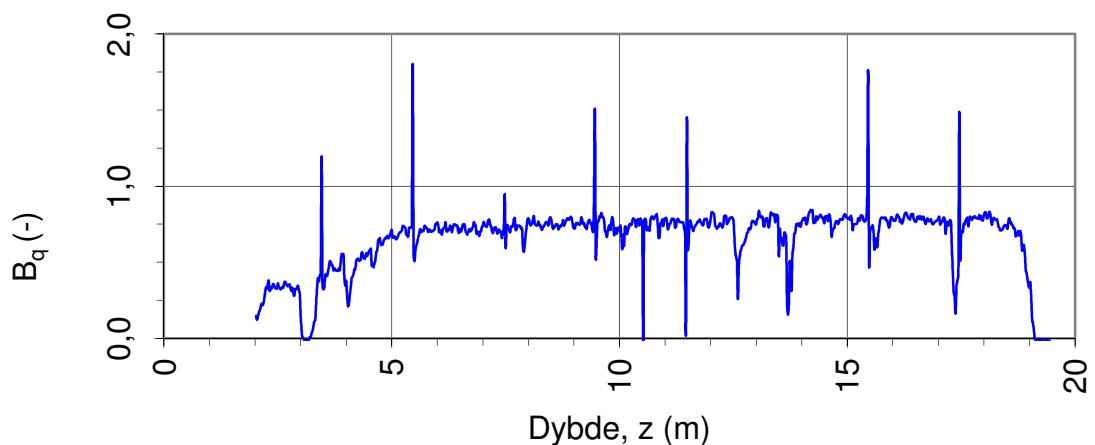
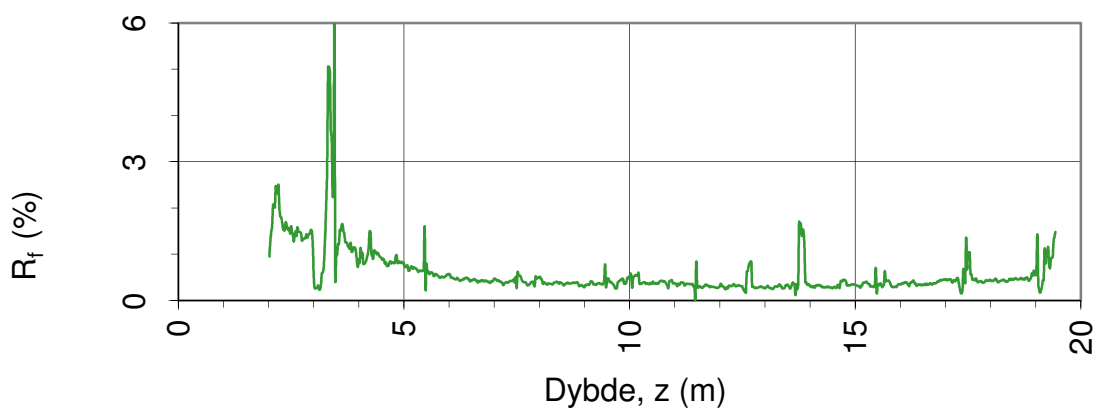
Spissmotstand  $q_{c,t}$ , poretrykk  $u_2$ , sidefriksjon  $f_{s,t}$  og helning  $i$ .

CPTU id.:	CPTU-13	Sonde:	4446	
MULTICONULT AS	Dato: 08.05.2013	Tegnet: JMP	Kontrollert: ARV	Godkjent: OAA
	Oppdrag nr.: 415655	Tegning nr.: 047.1	Versjon: 03.01.2013	Revisjon: 0





Oppdragsgiver: <b>NVE Region midt</b>	Oppdrag: <b>Kvikkleiresone Leira</b>	Tegningens filnavn: 415655-CPTU-13.xlsx
Netto spissmotstand $q_n$ og poreovertrykk $\Delta u_2$ .		
CPTU id.: <b>MULTICONULT AS</b>	CPTU-13 Dato: 08.05.2013 Oppdrag nr.: 415655	Sonde: 4446 Tegnet: JMP Tegning nr.: 047.2 Kontrollert: ARV Versjon: 03.01.2013 Godkjent: OAA Revisjon: 0



Oppdragsgiver:

**NVE Region midt**

Spissmotstandstall  $N_m$ , poretrykks-  $B_q$  og friksjonsforhold  $R_f$ .

Oppdrag:

**Kvikkleiresone Leira**

Tegningens filnavn:

415655-CPTU-13.xlsx

CPTU id.:

CPTU-13

Sonde:

4446



MULTICONSOULT AS

Dato:  
08.05.2013

Tegnet:  
JMP

Kontrollert:  
ARV

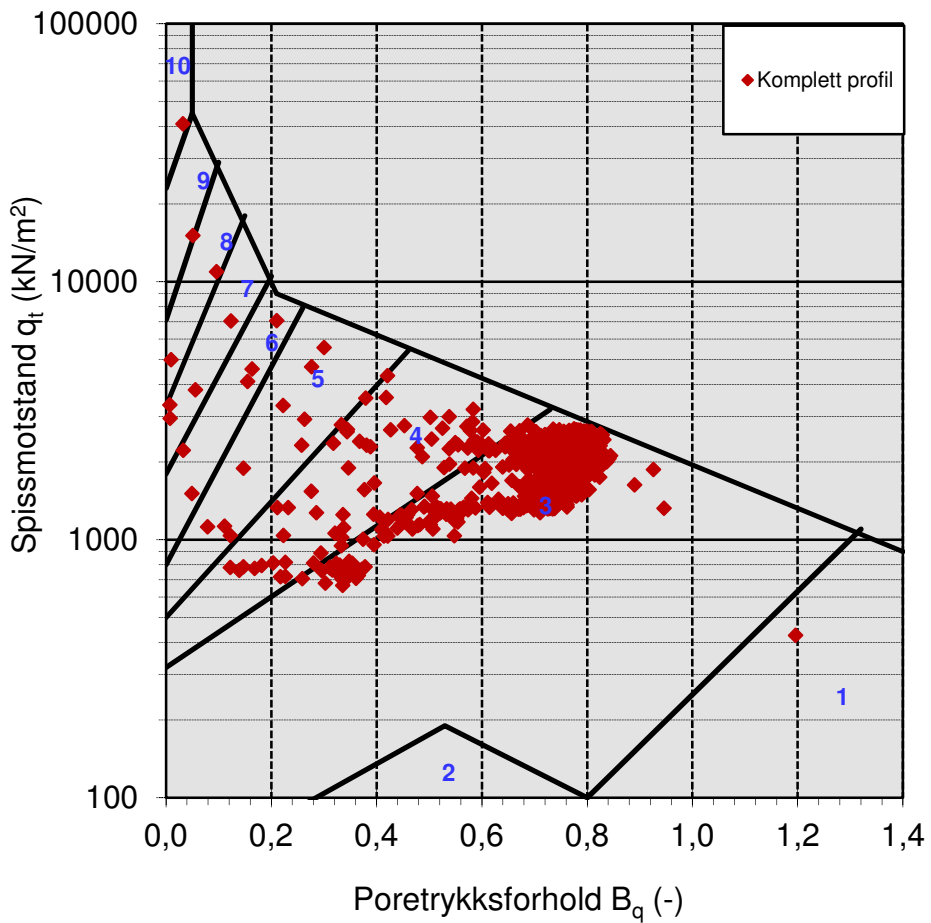
Godkjent:  
OAA

Oppdrag nr.:  
415655

Tegning nr.:  
047.3

Versjon:  
03.01.2013

Revisjon:  
0

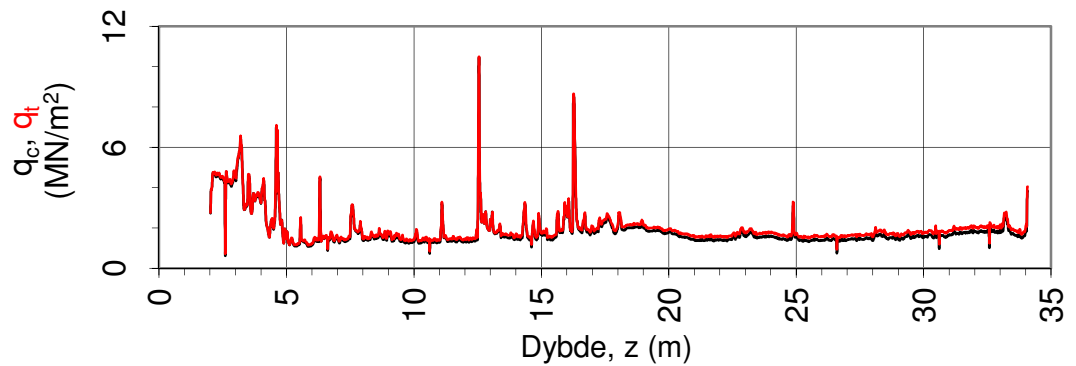
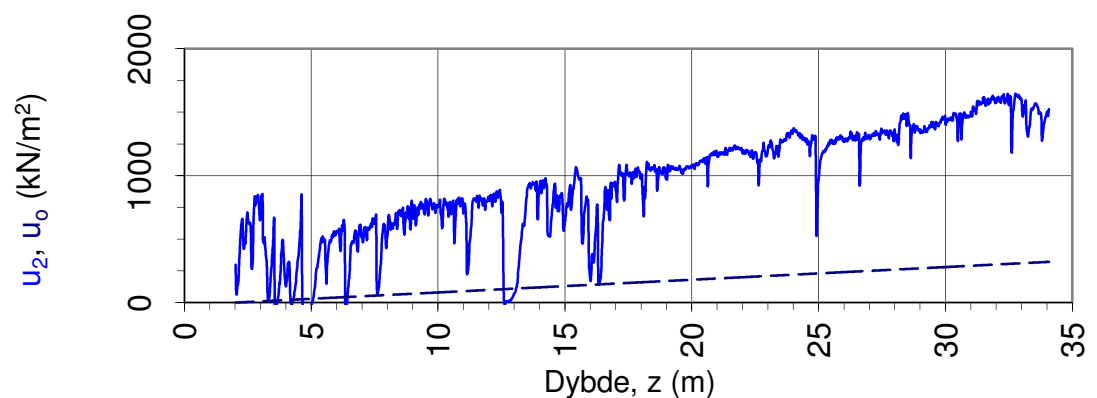
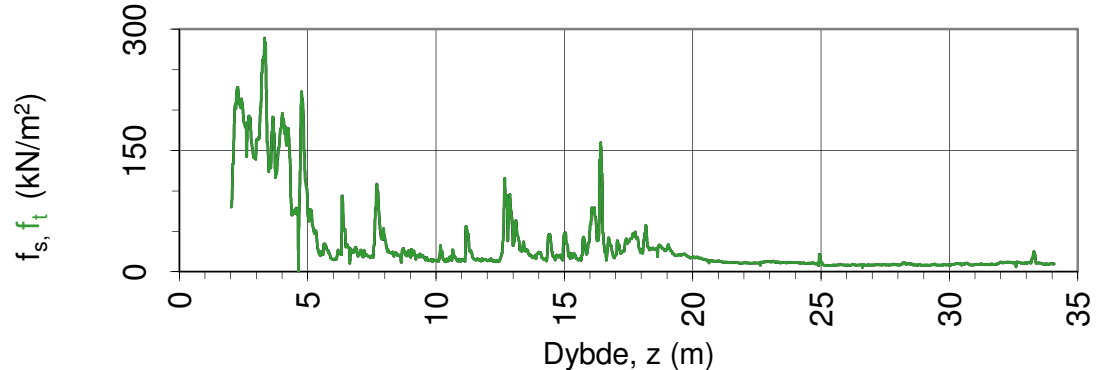
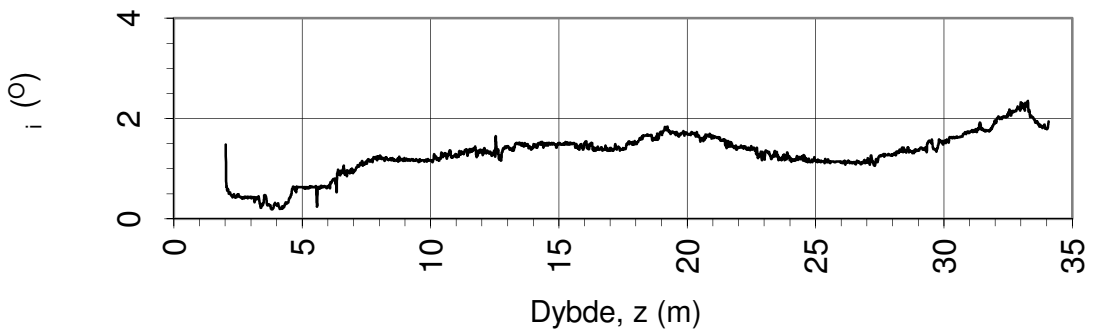


Jordartsid.	Beskrivelse	Identifikasjon
1	Sensitivt, finkornig materiale	1
2	Organisk materiale	10
3	Leire	Ved variasjon i jordartgruppe brukes begge Id-boksene for å beskrive materialet (eks. 5-7)
4	Leire - siltig leire	
5	Leirig silt - siltig leire	
6	Sandig silt - leirig silt	
7	Siltig sand - sandig silt	
8	Sand - siltig sand	
9	Sand	
10	Grusig sand - sand	
11	Meget fast, finkornig materiale	
12	Sand - leirig sand	

Oppdragsgiver:	Oppdrag:	Tegningens filnavn:
<b>NVE Region midt</b>	<b>Kvikkleiresone Leira</b>	<b>415655-CPTU-13.xlsx</b>
Jordartsidentifikasjon fra CPTU data - $q_t$ og $B_q$ .		
CPTU id.:	CPTU-13	Sonde: 4446
<b>MULTICONSULT AS</b>	Dato: 08.05.2013	Tegnet: JMP
	Oppdrag nr.: 415655	Kontrollert: ARV
		Godkjent: OAA
		Revisjon: 0

# DOKUMENTASJON MÅLEDATA - GEOTECH SONDER

Sonde nr.:	<b>4446</b>	Sondetype:	Nova
<b>SONDEDATA</b>			
Arealforhold, a:	<b>0,838</b>	Arealforhold, b:	<b>0,000</b>
Kalibreringsdato:	27.09.2011	Utførende:	Geotech AB
EGENSKAP (fra kalibreringsark)	<b>SPISSMOTSTAND</b>	SIDEFRIKSJON	<b>PORETRYKK</b>
Maksimum spenning (MPa):	50,0	0,5	2,0
Måleområde (MPa):	50,0	0,5	2,0
Oppløsning, $2^{12}$ bit (kPa):	0	0	0
Oppløsning, $2^{18}$ bit (kPa):	0,59	0,01	0,02
Max. temp.effekt, ubelastet (kPa):	31,32	0,58	0,65
Temperaturområde (°C):	0-40	0-40	0-40
Merknad 1:			
Merknad 2:			
<b>UTFØRELSE</b>			
Borleder:	Bård Krogstad	Assistent:	Oddbjørn Rønning
Filtertype:	Porøst filter	Mettemedium:	Glyserin
Mettemetode:	ferdig mettet filter	Lufttemperatur (°C):	6,3
Forankring:		Max. helning (°):	1,3
Merknad 1:			
<b>MÅLEVARIABLE</b>			
EGENSKAP	<b>SPISSMOTSTAND</b>	SIDEFRIKSJON	<b>PORETRYKK</b>
Maksimal temperatureffekt (kPa):	0,23	0,00	0,00
<b>NULLPUNKTKONTROLL</b>			
Faktor	NA (q)	NB (f)	NC (u)
Før sondering (DOS):			
Etter sondering (DOS):			
Avvik (DOS) (kPa):	0,0	0,0	0,0
Før sondering (Windows):	7,351	124,900	264,800
Etter sondering (Windows):	0,001	0,300	1,100
Avvik (Windows) (kPa):	1,2	0,3	1,1
<b>NØYAKTIGHETSVURDERING GEOTECH - VURDERING AV ANVENDELSESKLASSE</b>			
Målestørrelse	<b>Spissmotstand</b>	Friksjon	Poretrykk
Samlet nøyaktighet, $\Delta_{TOT}$ (kPa)	2,03	0,31	1,13
Tillatt nøyaktighet A1, $\Delta_k$ (kPa)	35,0	5,0	10,0
Tillatt nøyaktighet A2, $\Delta_k$ (kPa)	100,0	15,0	25,0
Tillatt nøyaktighet A3, $\Delta_k$ (kPa)	200,0	25,0	50,0
Vurdering profil			
ANVENDELSESKLASSE	<b>1</b>	<b>1</b>	<b>1</b>
Oppdragsgiver:	Oppdrag:		
<b>NVE Region midt</b>	<b>Kvikkleiresone Leira</b>		
Dokumentasjon av utstyr og målenøyaktighet.			
CPTU id.:	CPTU-13	Sonde:	4446
MULTICONULT AS		Dato:	Kontrollert:
		08.05.2013	JMP ARV
		Oppdrag nr.:	Versjon:
		415655	047.5 03.01.2013



Oppdragsgiver:

**NVE Region midt**

Oppdrag:

**Kvikkleiresone Leira**

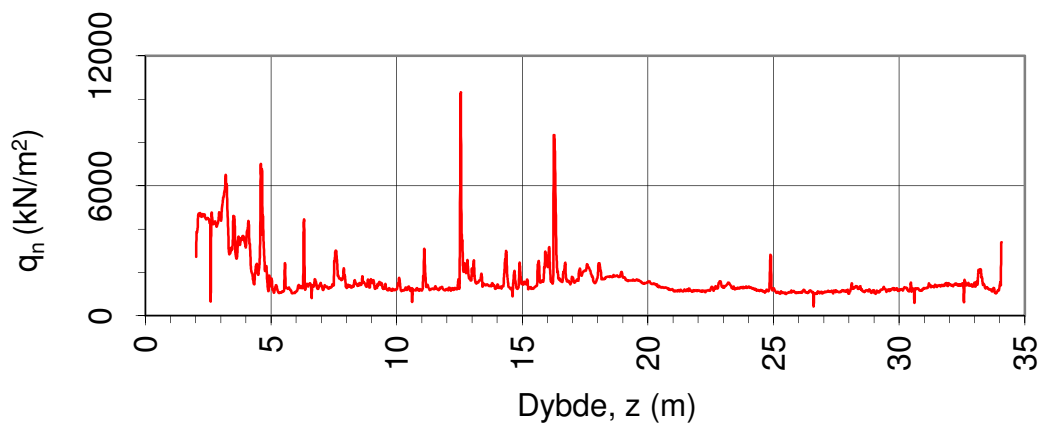
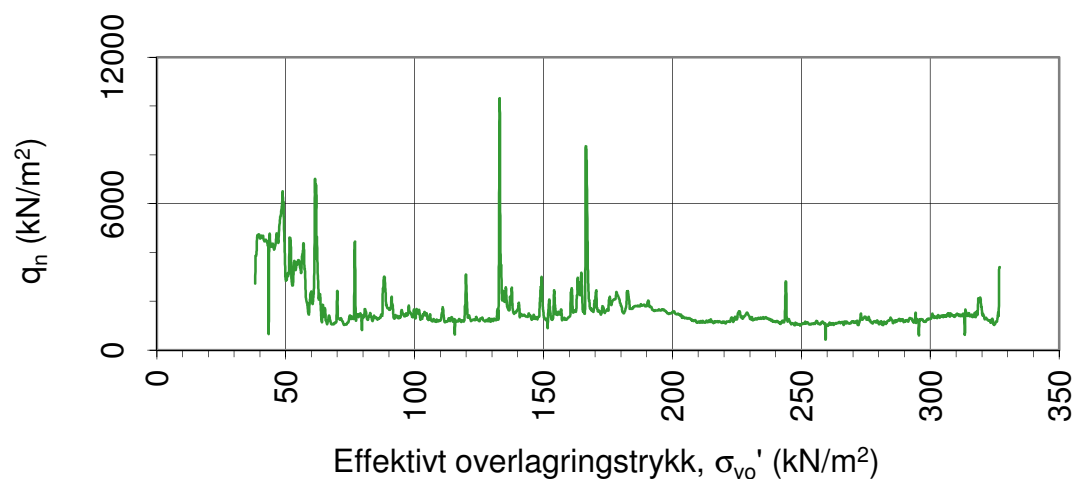
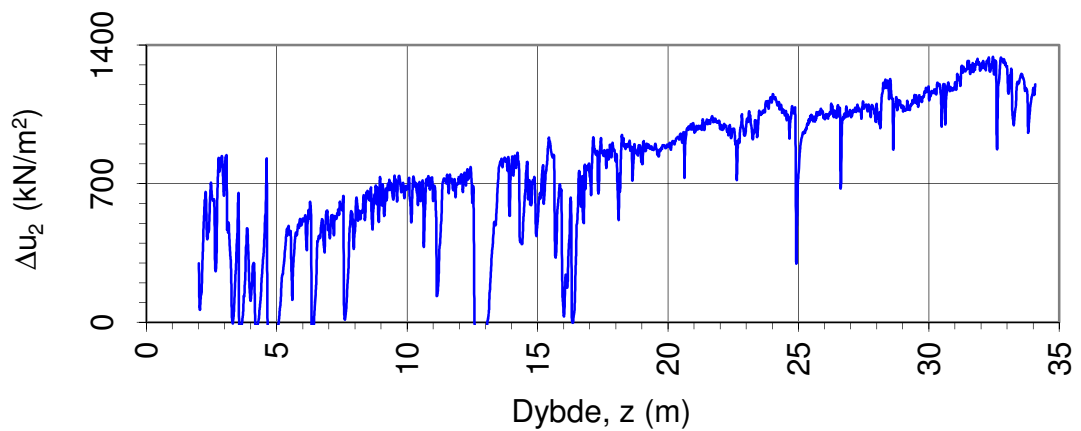
Tegningens filnavn:

415655-CPTU-14.xlsx

Spissmotstand  $q_{c,t}$ , poretrykk  $u_2$ , sidefriksjon  $f_{s,t}$  og helning  $i$ .

CPTU id.:	CPTU-14	Sonde:	4293	
MULTICONULT AS	Dato: 08.05.2013	Tegnet: JMP	Kontrollert: ARV	Godkjent: OAA
	Oppdrag nr.: 415655	Tegning nr.: 048.1	Versjon: 03.01.2013	Revisjon: 0





Oppdragsgiver:

**NVE Region midt**

Oppdrag:

**Kvikkleiresone Leira**

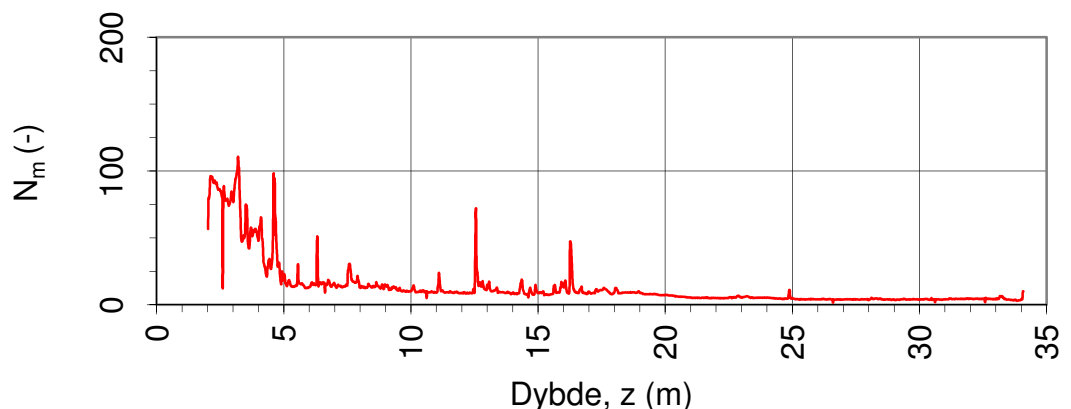
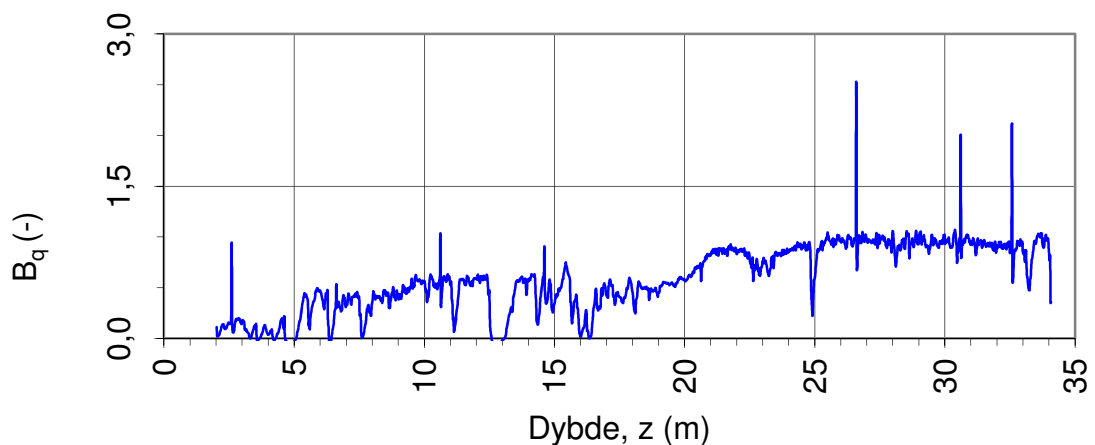
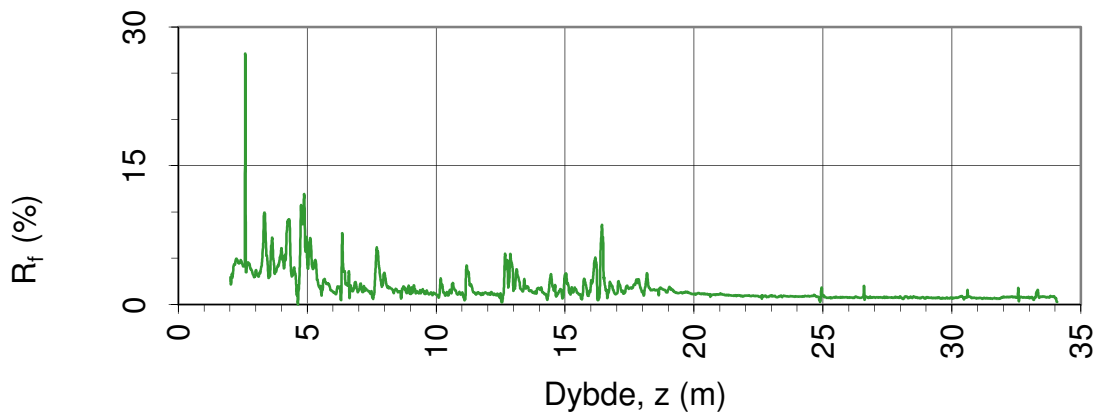
Tegningens filnavn:

415655-CPTU-14.xlsx

Netto spissmotstand  $q_n$  og poreovertrykk  $\Delta u_2$ .

CPTU id.:	CPTU-14	Sonde:	4293	
MULTICONULT AS	Dato: 08.05.2013	Tegnet: JMP	Kontrollert: ARV	Godkjent: OAA
	Oppdrag nr.: 415655	Tegning nr.: 048.2	Versjon: 03.01.2013	Revisjon: 0





Oppdragsgiver:

**NVE Region midt**

Spissmotstandstall  $N_m$ , poretrykks-  $B_q$  og friksjonsforhold  $R_f$ .

Oppdrag:

**Kvikkleiresone Leira**

Tegningens filnavn:

415655-CPTU-14.xlsx

CPTU id.:

CPTU-14

Sonde:

4293



MULTICONSOULT AS

Dato:  
08.05.2013

Tegnet:  
JMP

Kontrollert:  
ARV

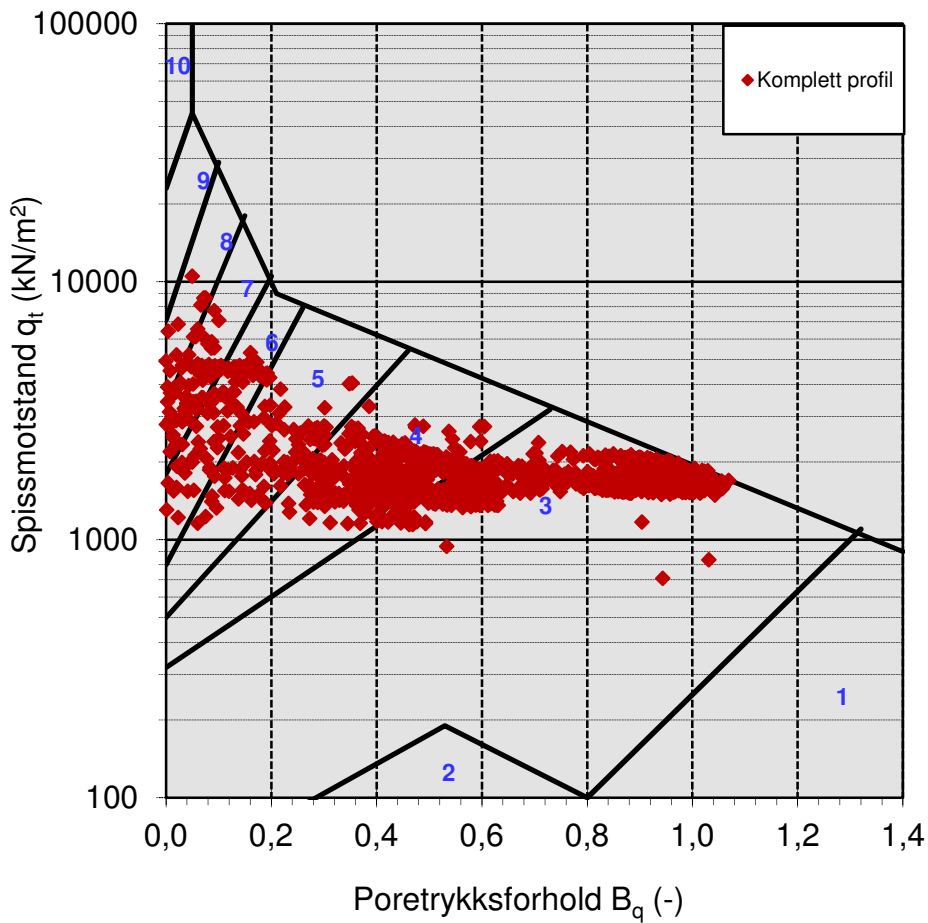
Godkjent:  
OAA

Oppdrag nr.:  
415655

Tegning nr.:  
048.3

Versjon:  
03.01.2013

Revisjon:  
0



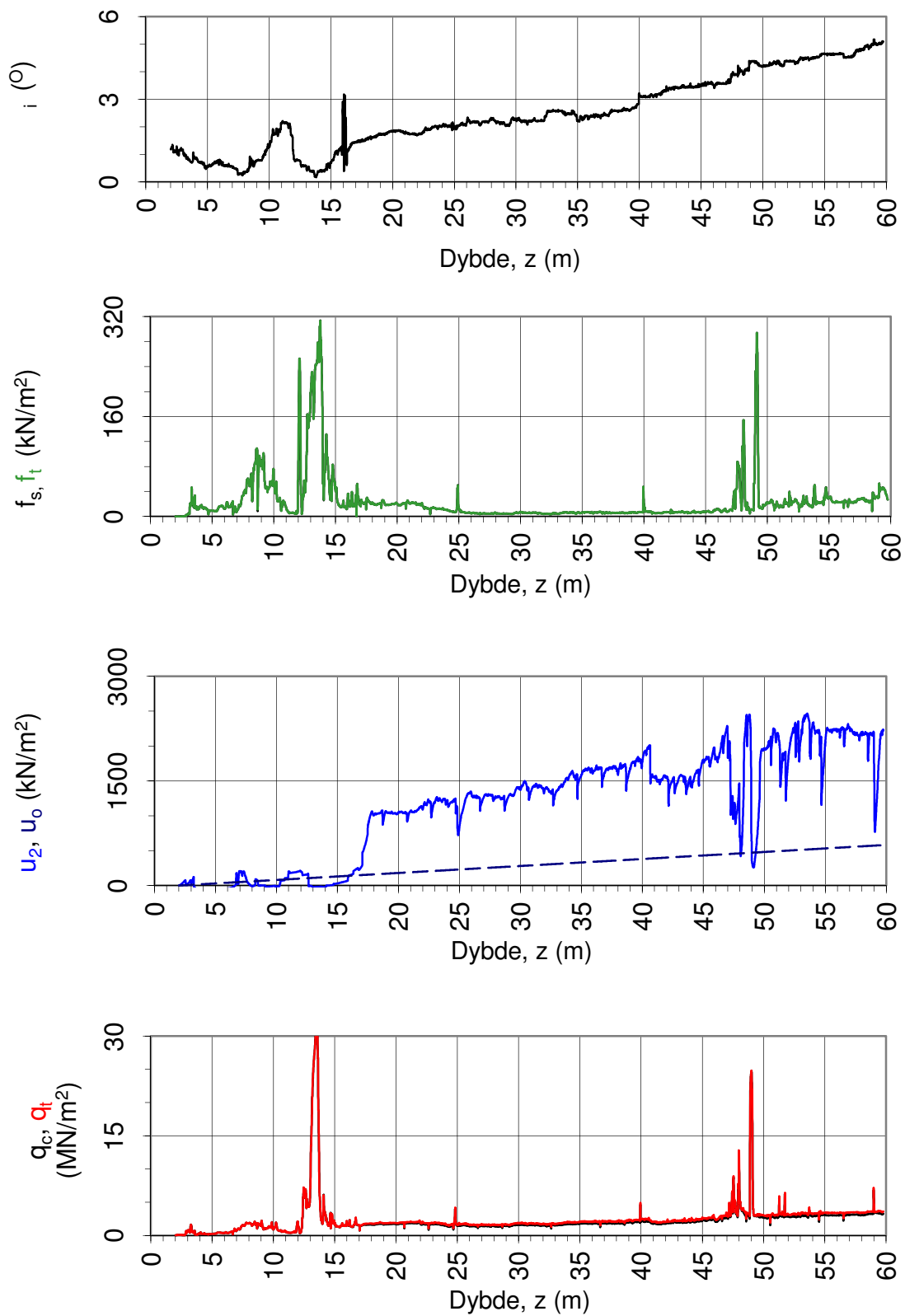
Jordartsid.	Beskrivelse	Identifikasjon
1	Sensitivt, finkornig materiale	3
2	Organisk materiale	8
3	Leire	Ved variasjon i jordartgruppe brukes begge Id-boksene for å beskrive
4	Leire - siltig leire	
5	Leirig silt - siltig leire	
6	Sandig silt - leirig silt	
7	Siltig sand - sandig silt	
8	Sand - siltig sand	materialet (eks. 5-7)
9	Sand	
10	Grusig sand - sand	
11	Meget fast, finkornig materiale	
12	Sand - leirig sand	

Oppdragsgiver:	Oppdrag:	Tegningens filnavn:		
<b>NVE Region midt</b>	<b>Kvikkleiresone Leira</b>	<b>415655-CPTU-14.xlsx</b>		
Jordartsidentifikasjon fra CPTU data - $q_t$ og $B_q$ .				
CPTU id.:	CPTU-14	Sonde: 4293		
MULTICONULT AS	Dato: 08.05.2013	Tegnet: JMP	Kontrollert: ARV	Godkjent: OAA
	Oppdrag nr.: 415655	Tegning nr.: 048.4	Versjon: 03.01.2013	Revisjon: 0



# DOKUMENTASJON MÅLEDATA - GEOTECH SONDER

Sonde nr.:	4293	Sondetype:	Nova
<b>SONDEDATA</b>			
Arealforhold, a:	0,856	Arealforhold, b:	0,000
Kalibreringsdato:	18.01.2012	Utførende:	Geotech AB
EGENSKAP (fra kalibreringsark)	SPISSMOTSTAND	SIDEFRIKSJON	PORETRYKK
Maksimum spenning (MPa):	50/20	0,5	2,0
Måleområde (MPa):	50/20	0,5	2,0
Oppløsning, 2 <sup>12</sup> bit (kPa):	0	0	0
Oppløsning, 2 <sup>18</sup> bit (kPa):	0,21	0,01	0,02
Max. temp.effekt, ubelastet (kPa):	39,07	2,52	0,71
Temperaturområde (°C):	0-40	0-40	0-40
Merknad 1:			
Merknad 2:			
<b>UTFØRELSE</b>			
Borleder:	Bård Krogstad	Assistent:	Oddbjørn Rønning
Filtertype:	Porøst filter	Mettemedium:	Glyserin
Mettemetode:	Ferdig mettet filter	Lufttemperatur (°C):	2,7
Forankring:		Max. helning (°):	2,3
Merknad 1:			
<b>MÅLEVARIABLE</b>			
EGENSKAP	SPISSMOTSTAND	SIDEFRIKSJON	PORETRYKK
Maksimal temperatureffekt (kPa):	3,22	0,21	0,06
<b>NULLPUNKTKONTROLL</b>			
Faktor	NA (q)	NB (f)	NC (u)
Før sondering (DOS):			
Etter sondering (DOS):			
Avvik (DOS) (kPa):	0,0	0,0	0,0
Før sondering (Windows):	2,507	136,100	254,000
Etter sondering (Windows):	0,004	0,600	3,900
Avvik (Windows) (kPa):	3,9	0,6	3,9
<b>NØYAKTIGHETSVURDERING GEOTECH - VURDERING AV ANVENDELSESKLASSE</b>			
Målestørrelse	Spissmotstand	Friksjon	Poretrykk
Samlet nøyaktighet, $\Delta_{TOT}$ (kPa)	7,33	0,82	3,98
Tillatt nøyaktighet A1, $\Delta_k$ (kPa)	35,0	5,0	10,0
Tillatt nøyaktighet A2, $\Delta_k$ (kPa)	100,0	15,0	25,0
Tillatt nøyaktighet A3, $\Delta_k$ (kPa)	200,0	25,0	50,0
Vurdering profil			
ANVENDELSESKLASSE	1	1	1
Oppdragsgiver:			
<b>NVE Region midt</b>			
Dokumentasjon av utstyr og målenøyaktighet.			
CPTU id.:	CPTU-14	Sonde:	4293
	Dato: 08.05.2013	Tegnet: JMP	Kontrollert: ARV
MULTICONULT AS	Oppdrag nr.: 415655	Tegning nr.: 048.5	Versjon: 03.01.2013



Oppdragsgiver:

**NVE Region midt**

Oppdrag:

**Kvikkleiresone Leira**

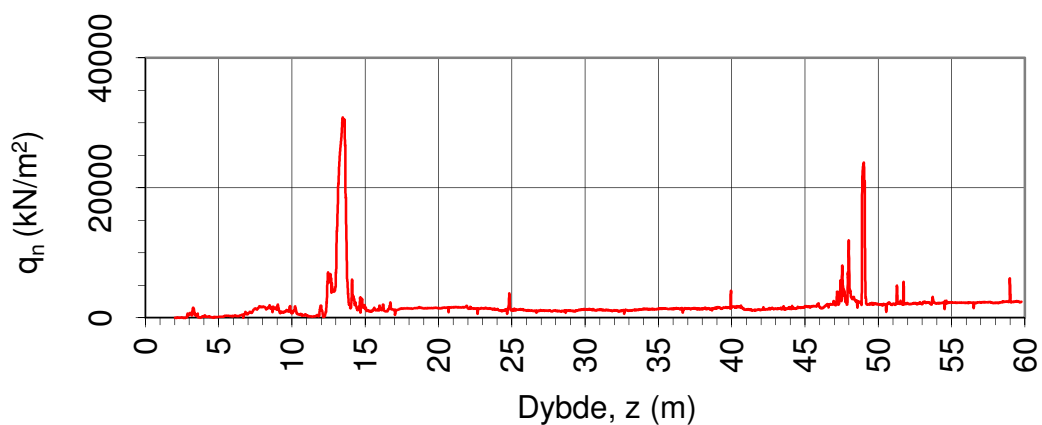
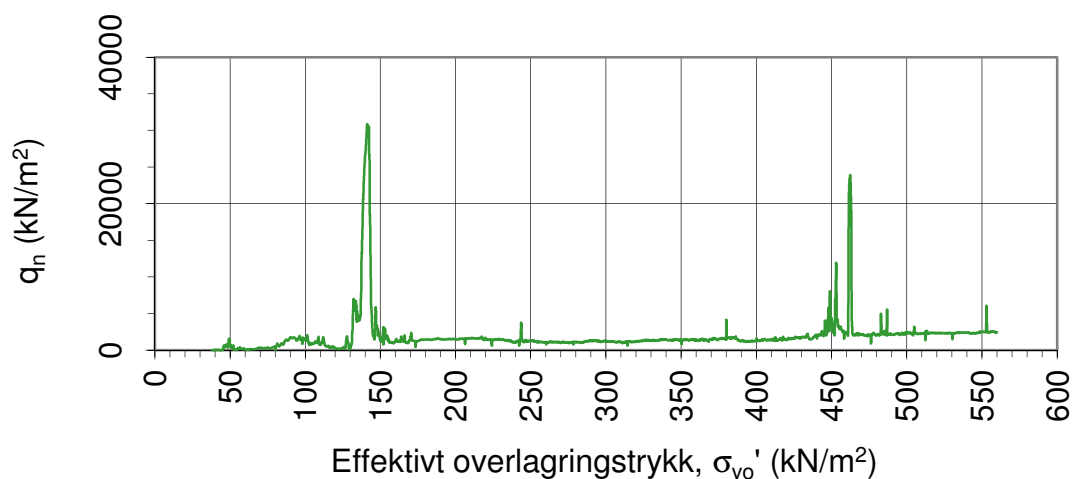
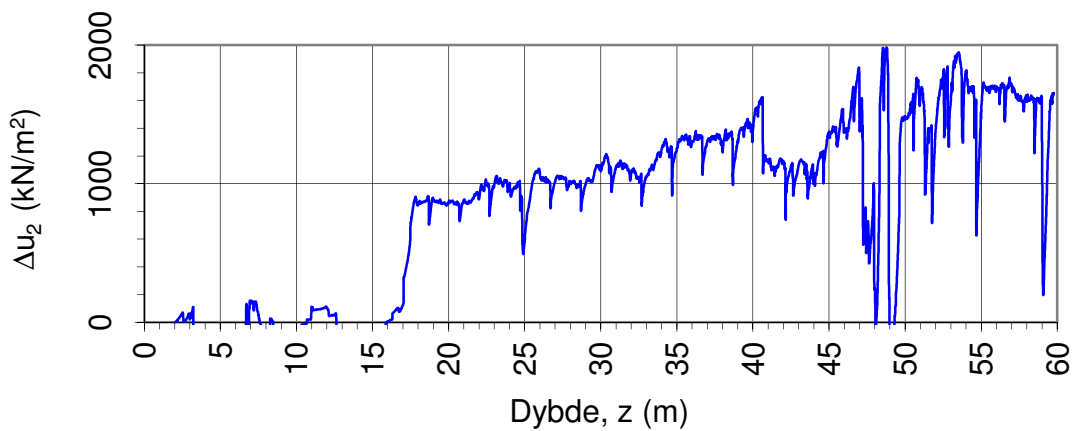
Tegningens filnavn:

415655-CPTU-16.xlsx

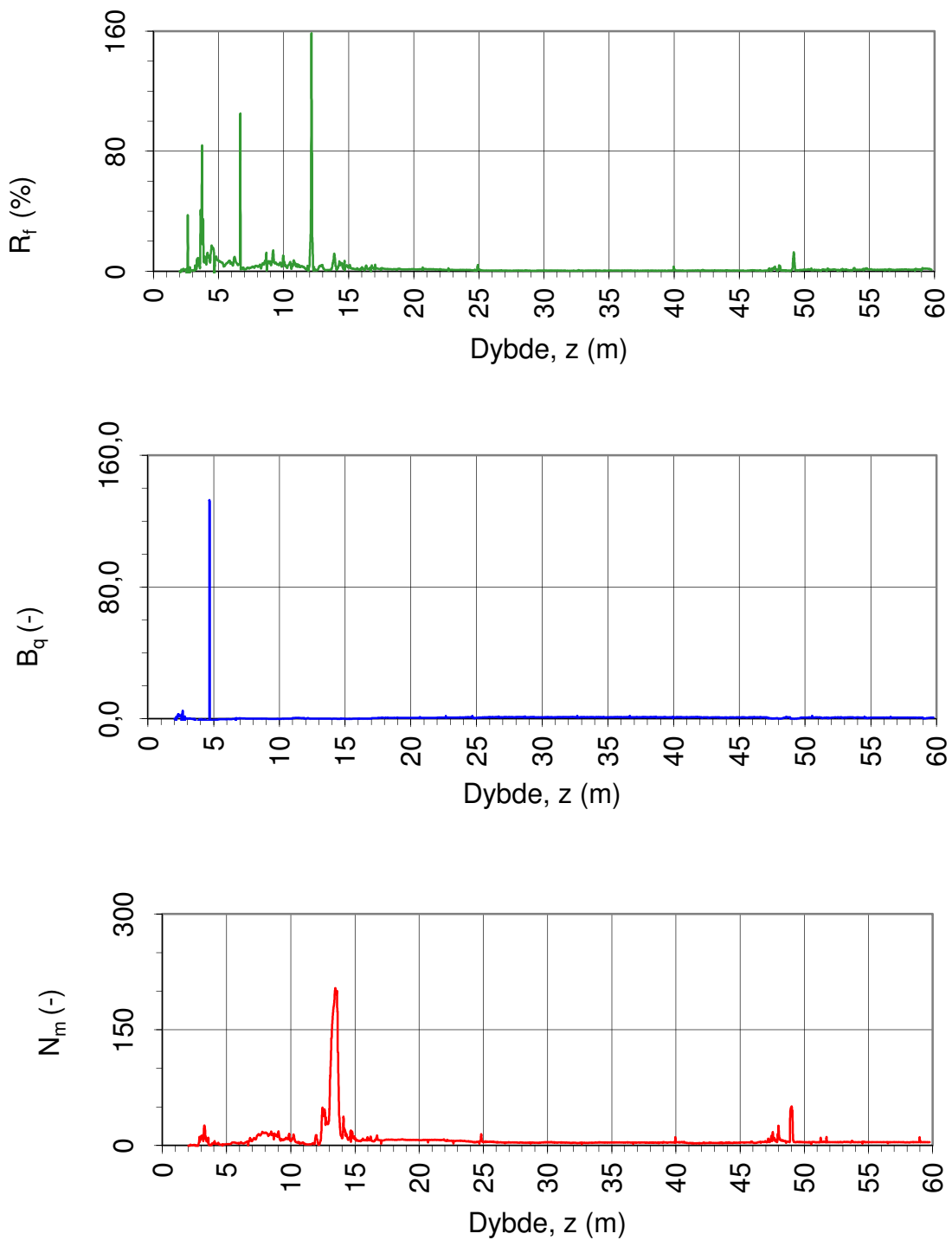
Spissmotstand  $q_{c,t}$ , poretrykk  $u_2$ , sidefriksjon  $f_{s,t}$  og helning  $i$ .

CPTU id.:	CPTU-16	Sonde:	4446	
MULTICONULT AS	Dato: 08.05.2013	Tegnet: JMP	Kontrollert: ARV	Godkjent: OAA
	Oppdrag nr.: 415655	Tegning nr.: 049.1	Versjon: 03.01.2013	Revisjon: 0

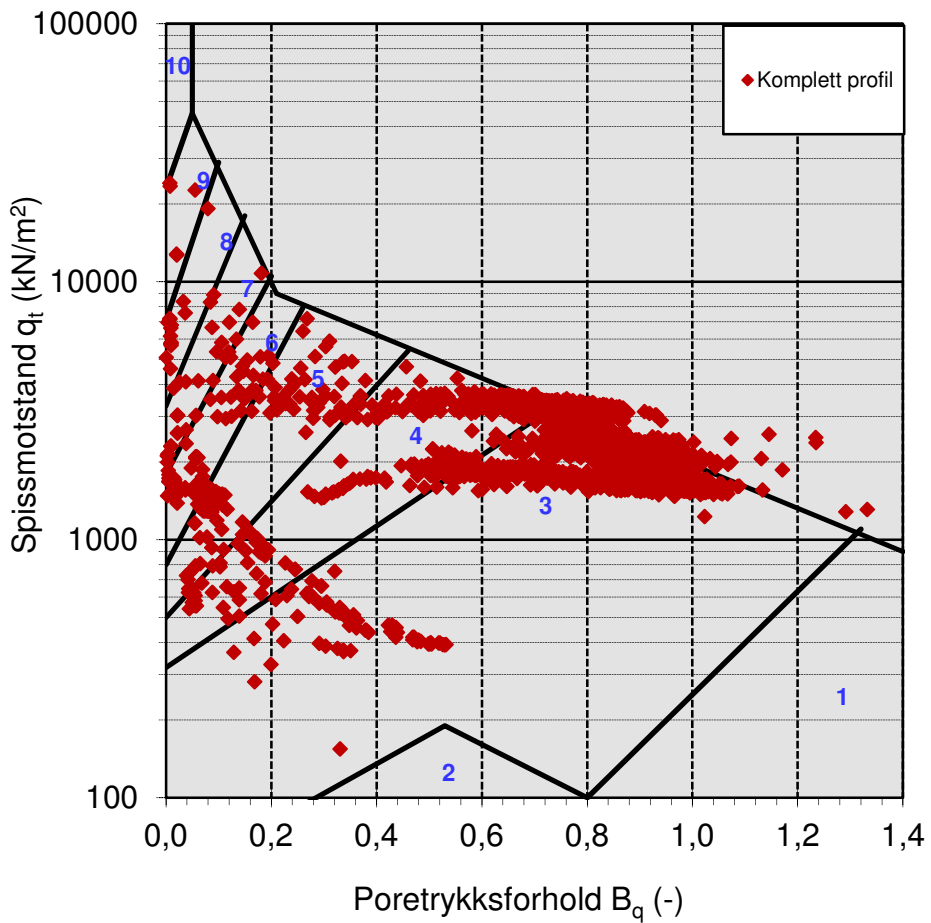




Oppdragsgiver: <b>NVE Region midt</b>	Oppdrag: <b>Kvikkleiresone Leira</b>	Tegningens filnavn: 415655-CPTU-16.xlsx
Netto spissmotstand $q_n$ og poreovertrykk $\Delta u_2$ .		
CPTU id.: <b>MULTICONSULT AS</b>	CPTU-16 Dato: 08.05.2013 Oppdrag nr.: 415655	Sonde: 4446 Tegnet: JMP Tegning nr.: 049.2 Kontrollert: ARV Versjon: 03.01.2013 Godkjent: OAA Revisjon: 0



Oppdragsgiver: <b>NVE Region midt</b>	Oppdrag: <b>Kvikkleiresone Leira</b>	Tegningens filnavn: 415655-CPTU-16.xlsx
Spissmotstandstall $N_m$ , poretrykks- $B_q$ og friksjonsforhold $R_f$ .		
CPTU id.: <b>MULTICONULT AS</b>	CPTU-16 Dato: 08.05.2013 Oppdrag nr.: 415655	Sonde: 4446 Tegnet: JMP Tegning nr.: 049.3 Kontrollert: ARV Versjon: 03.01.2013 Godkjent: OAA Revisjon: 0



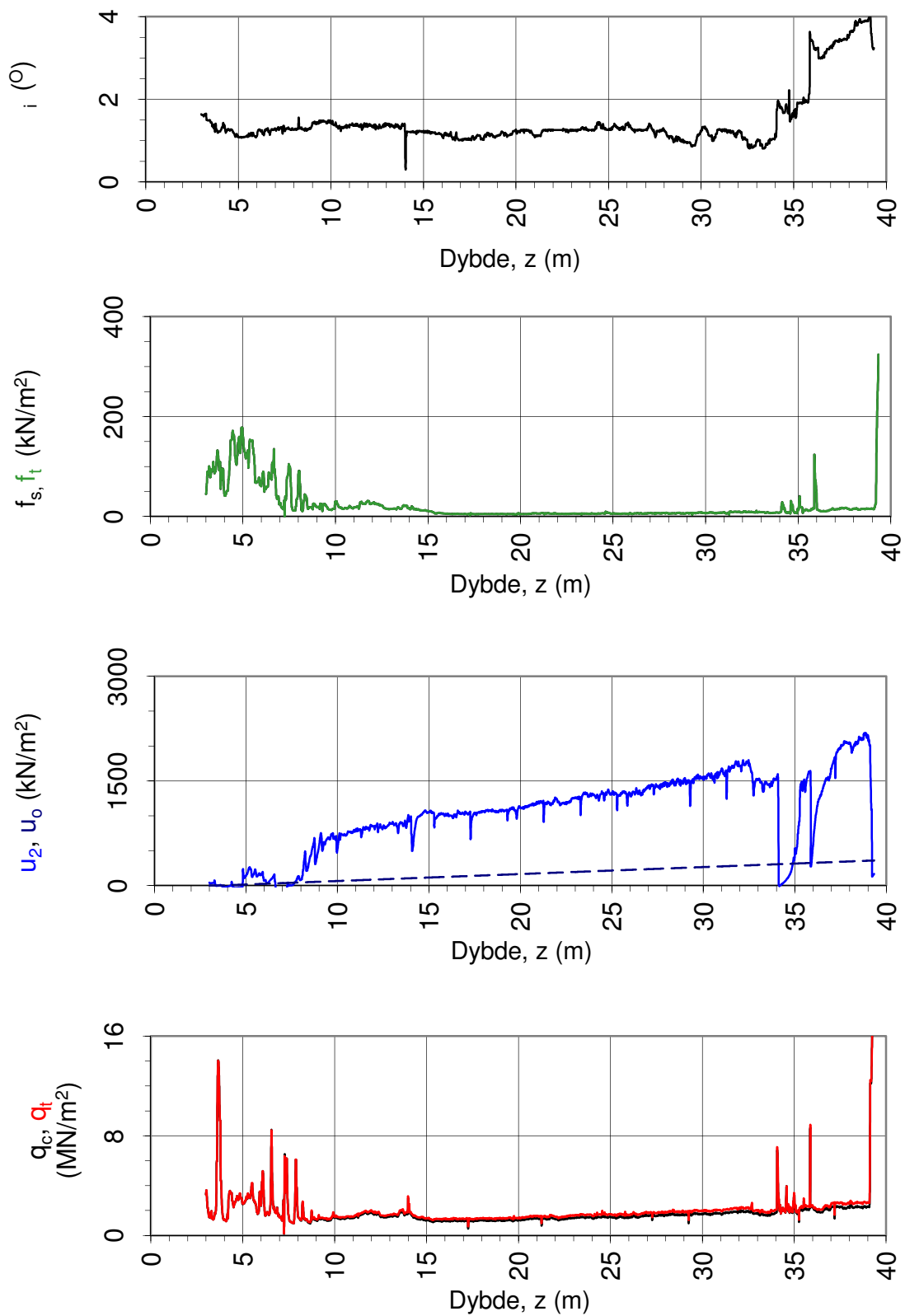
Jordartsid.	Beskrivelse	Identifikasjon
1	Sensitivt, finkornig materiale	3
2	Organisk materiale	9
3	Leire	Ved variasjon i jordartgruppe brukes begge Id-boksene for å beskrive materialet (eks. 5-7)
4	Leirig silt - siltig leire	
5	Leirig silt - siltig leire	
6	Sandig silt - leirig silt	
7	Siltig sand - sandig silt	
8	Sand - siltig sand	
9	Sand	
10	Grusig sand - sand	
11	Meget fast, finkornig materiale	
12	Sand - leirig sand	

Oppdragsgiver:	Oppdrag:	Tegningens filnavn:		
<b>NVE Region midt</b>	<b>Kvikkleiresone Leira</b>	<b>415655-CPTU-16.xlsx</b>		
Jordartsidentifikasjon fra CPTU data - $q_t$ og $B_q$ .				
CPTU id.:	CPTU-16	Sonde: 4446		
MULTICONULT AS	Dato: 08.05.2013	Tegnet: JMP	Kontrollert: ARV	Godkjent: OAA
	Oppdrag nr.: 415655	Tegning nr.: 049.4	Versjon: 03.01.2013	Revisjon: 0



# DOKUMENTASJON MÅLEDATA - GEOTECH SONDER

Sonde nr.:	<b>4446</b>	Sondetype:	Nova
<b>SONDEDATA</b>			
Arealforhold, a:	<b>0,838</b>	Arealforhold, b:	<b>0,000</b>
Kalibreringsdato:	27.09.2011	Utførende:	Geotech AB
EGENSKAP (fra kalibreringsark)	<b>SPISSMOTSTAND</b>	SIDEFRIKSJON	<b>PORETRYKK</b>
Maksimum spenning (MPa):	50,0	0,5	2,0
Måleområde (MPa):	50,0	0,5	2,0
Oppløsning, $2^{12}$ bit (kPa):	0	0	0
Oppløsning, $2^{18}$ bit (kPa):	0,59	0,01	0,02
Max. temp.effekt, ubelastet (kPa):	31,32	0,58	0,65
Temperaturområde (°C):	0-40	0-40	0-40
Merknad 1:			
Merknad 2:			
<b>UTFØRELSE</b>			
Borleder:	Bård Krogstad	Assistent:	Oddbjørn Rønning
Filtertype:	Porøst filter	Mettemedium:	Glyserin
Mettemetode:	Ferdig mettet filter	Lufttemperatur (°C):	7,3
Forankring:		Max. helning (°):	3,1
Merknad 1:			
<b>MÅLEVARIABLE</b>			
EGENSKAP	<b>SPISSMOTSTAND</b>	SIDEFRIKSJON	<b>PORETRYKK</b>
Maksimal temperatureffekt (kPa):	1,02	0,02	0,02
<b>NULLPUNKTKONTROLL</b>			
Faktor	NA (q)	NB (f)	NC (u)
Før sondering (DOS):			
Etter sondering (DOS):			
Avvik (DOS) (kPa):	0,0	0,0	0,0
Før sondering (Windows):	7,343	125,700	271,100
Etter sondering (Windows):	0,008	0,300	6,200
Avvik (Windows) (kPa):	7,7	0,3	6,2
<b>NØYAKTIGHETSVURDERING GEOTECH - VURDERING AV ANVENDELSESKLASSE</b>			
Målestørrelse	Spissmotstand	Friksjon	Poretrykk
Samlet nøyaktighet, $\Delta_{TOT}$ (kPa)	<b>9,31</b>	0,33	6,24
Tillatt nøyaktighet A1, $\Delta_k$ (kPa)	35,0	5,0	10,0
Tillatt nøyaktighet A2, $\Delta_k$ (kPa)	100,0	15,0	25,0
Tillatt nøyaktighet A3, $\Delta_k$ (kPa)	200,0	25,0	50,0
Vurdering profil			
ANVENDELSESKLASSE	<b>1</b>	<b>1</b>	<b>1</b>
Oppdragsgiver:			
<b>NVE Region midt</b>	<b>Kvikkleiresone Leira</b>		
Dokumentasjon av utstyr og målenøyaktighet.			
CPTU id.:	CPTU-16	Sonde:	4446
	Dato: 08.05.2013	Tegnet: JMP	Kontrollert: ARV
MULTICONULT AS	Oppdrag nr.: 415655	Tegning nr.: 049.5	Versjon: 03.01.2013



Oppdragsgiver:

**NVE Region midt**

Oppdrag:

**Kvikkleiresone Leira**

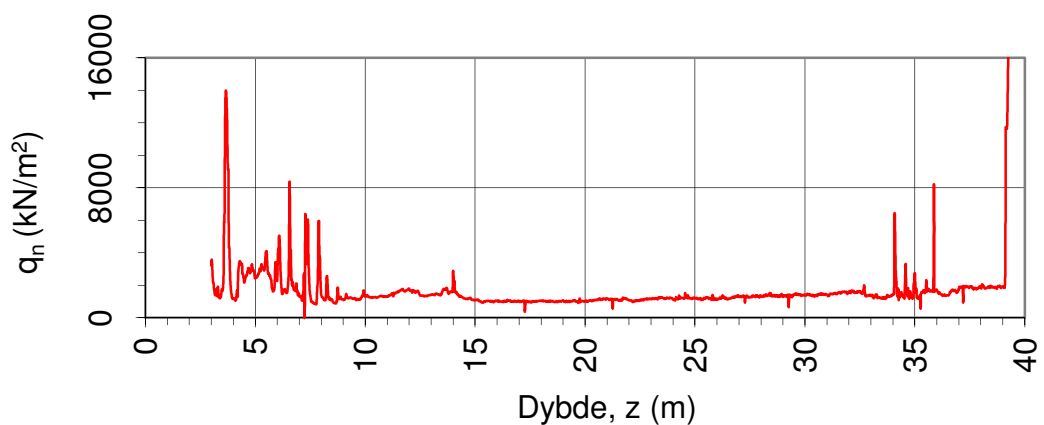
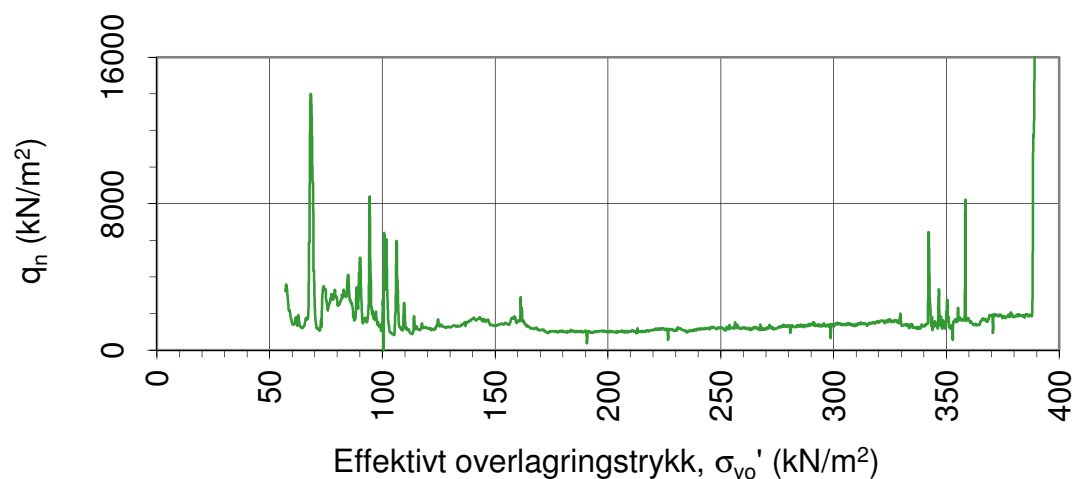
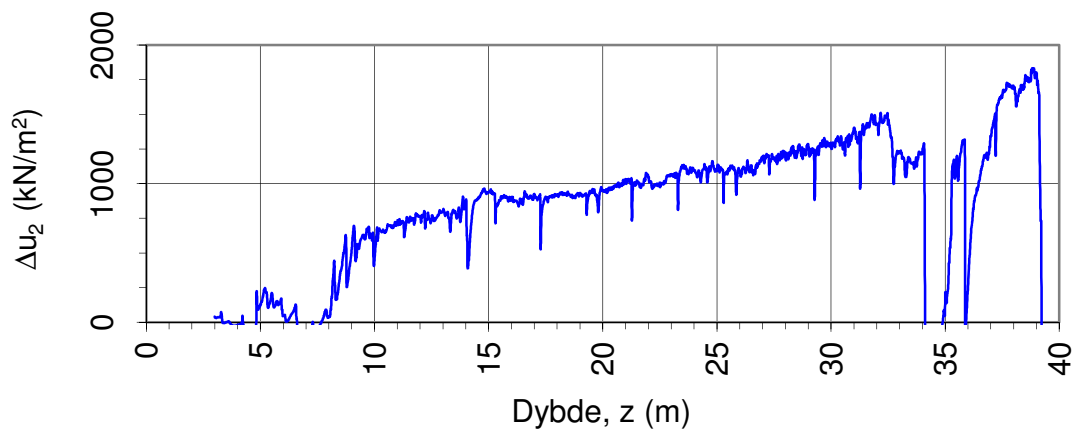
Tegningens filnavn:

415655-CPTU-17.xlsx

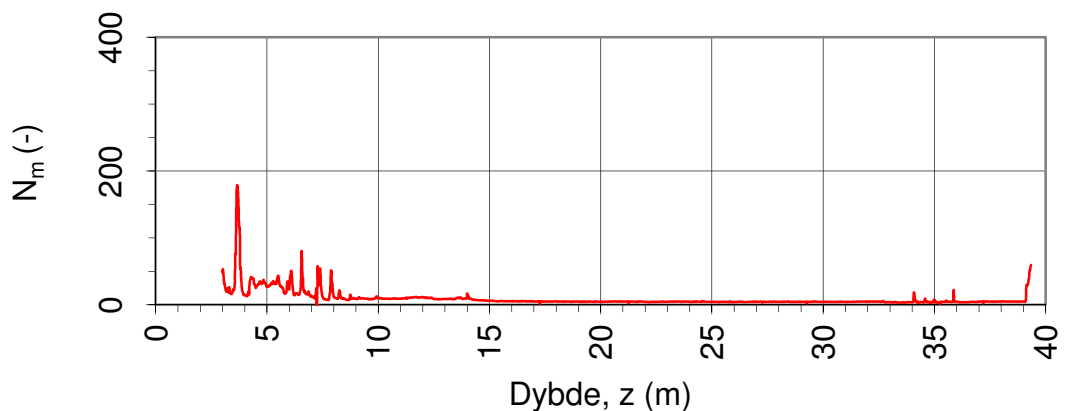
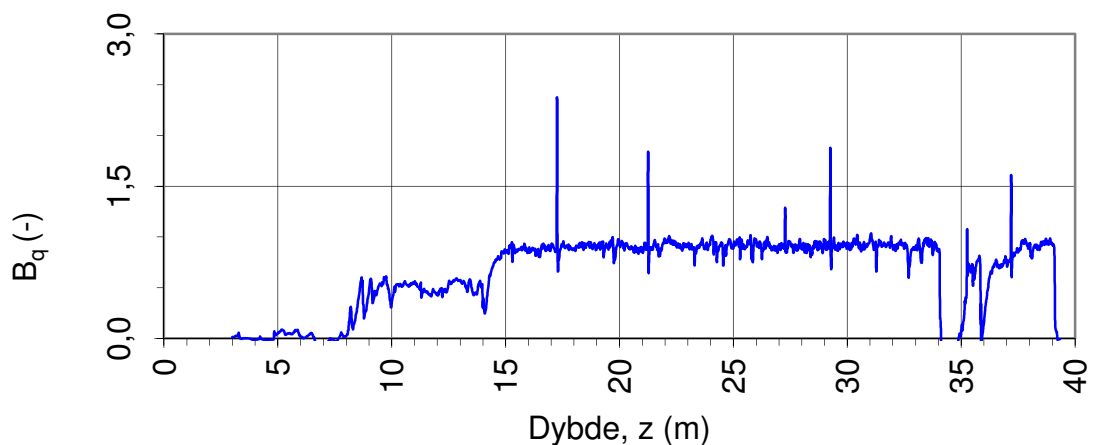
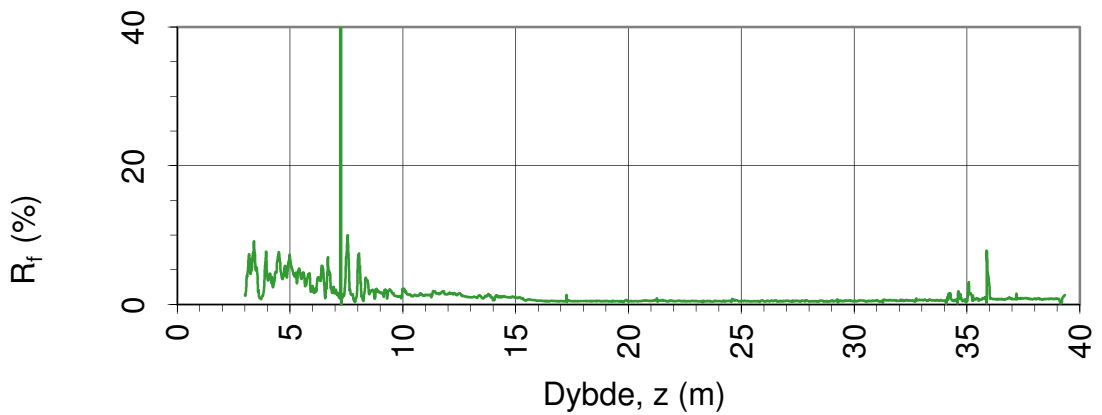
Spissmotstand  $q_{c,t}$ , poretrykk  $u_2$ , sidefriksjon  $f_{s,t}$  og helning  $i$ .

CPTU id.:	CPTU-17	Sonde:	4446	
MULTICONULT AS	Dato: 08.05.2013	Tegnet: JMP	Kontrollert: ARV	Godkjent: OAA
	Oppdrag nr.: 415655	Tegning nr.: 050.1	Versjon: 03.01.2013	Revisjon: 0

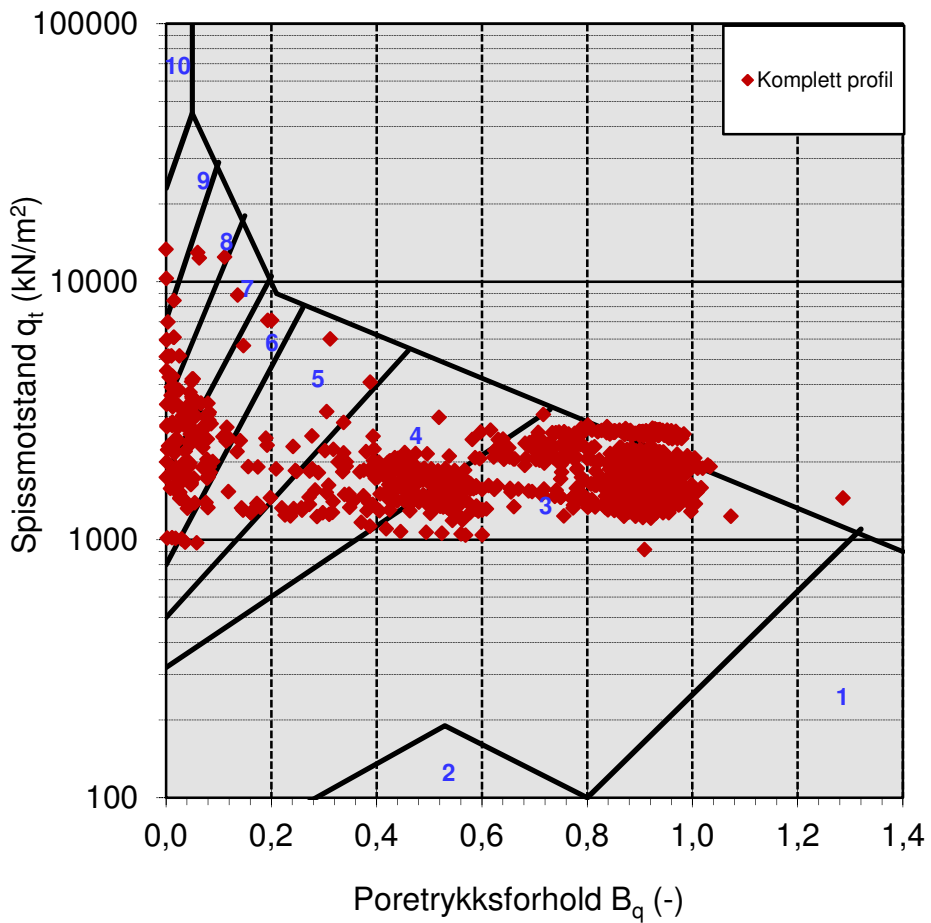




Oppdragsgiver: <b>NVE Region midt</b>	Oppdrag: <b>Kvikkleiresone Leira</b>	Tegningens filnavn: 415655-CPTU-17.xlsx
Netto spissmotstand $q_n$ og poreovertrykk $\Delta u_2$ .		
CPTU id.: <b>MULTICONULT AS</b>	CPTU-17 Dato: 08.05.2013 Oppdrag nr.: 415655	Sonde: 4446 Tegnet: JMP Tegning nr.: 050.2 Kontrollert: ARV Versjon: 03.01.2013 Godkjent: OAA Revisjon: 0



Oppdragsgiver: <b>NVE Region midt</b>	Oppdrag: <b>Kvikkleiresone Leira</b>	Tegningens filnavn: 415655-CPTU-17.xlsx
Spissmotstandstall $N_m$ , poretrykks- $B_q$ og friksjonsforhold $R_f$ .		
CPTU id.: <b>MULTICONSOULT AS</b>	CPTU-17 Dato: 08.05.2013 Oppdrag nr.: 415655	Sonde: 4446 Tegnet: JMP Tegning nr.: 050.3 Kontrollert: ARV Versjon: 03.01.2013 Godkjent: OAA Revisjon: 0



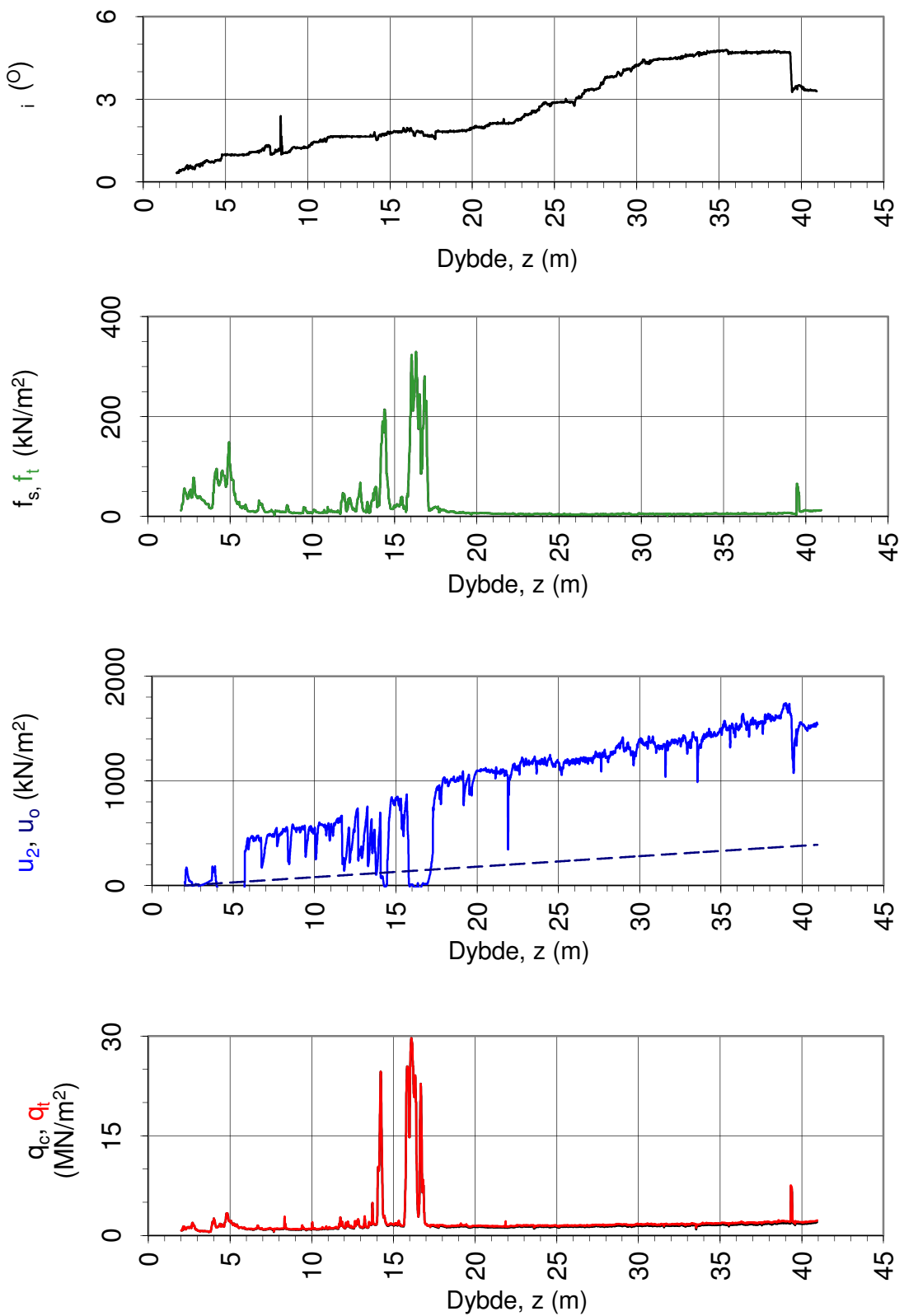
Jordartsid.	Beskrivelse	Identifikasjon
1	Sensitivt, finkornig materiale	3
2	Organisk materiale	9
3	Leire	Ved variasjon i jordartgruppe brukes begge Id-boksene for å beskrive
4	Leire - siltig leire	
5	Leirig silt - siltig leire	
6	Sandig silt - leirig silt	
7	Siltig sand - sandig silt	
8	Sand - siltig sand	
9	Sand	
10	Grusig sand - sand	
11	Meget fast, finkornig materiale	
12	Sand - leirig sand	

Oppdragsgiver:	Oppdrag:	Tegningens filnavn:
<b>NVE Region midt</b>	<b>Kvikkleiresone Leira</b>	415655-CPTU-17.xlsx
Jordartsidentifikasjon fra CPTU data - $q_t$ og $B_q$ .		
CPTU id.:	CPTU-17	Sonde: 4446
MULTICONULT AS		Dato: 08.05.2013 Tegnet: JMP Kontrollert: ARV Godkjent: OAA
Oppdrag nr.: 415655 Tegning nr.: 050.4 Versjon: 03.01.2013 Revisjon: 0		



# DOKUMENTASJON MÅLEDATA - GEOTECH SONDER

Sonde nr.:	4446	Sondetype:	Nova
<b>SONDEDATA</b>			
Arealforhold, a:	0,838	Arealforhold, b:	0,000
Kalibreringsdato:	27.09.2011	Utførende:	Geotech AB
EGENSKAP (fra kalibreringsark)	SPISSMOTSTAND	SIDEFRIKSJON	PORETRYKK
Maksimum spenning (MPa):	50,0	0,5	2,0
Måleområde (MPa):	50,0	0,5	2,0
Oppløsning, $2^{12}$ bit (kPa):	0	0	0
Oppløsning, $2^{18}$ bit (kPa):	0,59	0,01	0,02
Max. temp.effekt, ubelastet (kPa):	31,32	0,58	0,65
Temperaturområde (°C):	0-40	0-40	0-40
Merknad 1:			
Merknad 2:			
<b>UTFØRELSE</b>			
Borleder:	Vidar Tøndervik	Assistent:	Stian Langolf
Filtertype:	Porøst filter	Mettemedium:	Glyserin
Mettemetode:	Ferdig mettet filter	Lufttemperatur (°C):	6,1
Forankring:		Max. helning (°):	2,0
Merknad 1:			
<b>MÅLEVARIABLE</b>			
EGENSKAP	SPISSMOTSTAND	SIDEFRIKSJON	PORETRYKK
Maksimal temperatureffekt (kPa):	0,08	0,00	0,00
<b>NULLPUNKTKONTROLL</b>			
Faktor	NA (q)	NB (f)	NC (u)
Før sondering (DOS):			
Etter sondering (DOS):			
Avvik (DOS) (kPa):	0,0	0,0	0,0
Før sondering (Windows):	7,398	124,100	265,300
Etter sondering (Windows):	0,005	0,600	0,400
Avvik (Windows) (kPa):	4,7	0,6	0,4
<b>NØYAKTIGHETSVURDERING GEOTECH - VURDERING AV ANVENDELSESKLASSE</b>			
Målestørrelse	Spissmotstand	Friksjon	Poretrykk
Samlet nøyaktighet, $\Delta_{TOT}$ (kPa)	5,37	0,61	0,42
Tillatt nøyaktighet A1, $\Delta_k$ (kPa)	35,0	5,0	10,0
Tillatt nøyaktighet A2, $\Delta_k$ (kPa)	100,0	15,0	25,0
Tillatt nøyaktighet A3, $\Delta_k$ (kPa)	200,0	25,0	50,0
Vurdering profil			
ANVENDELSESKLASSE	1	1	1
Oppdragsgiver:			
<b>NVE Region midt</b>			
Dokumentasjon av utstyr og målenøyaktighet.			
CPTU id.:	CPTU-17	Sonde:	4446
	Dato: 08.05.2013	Tegnet: JMP	Kontrollert: ARV
MULTICONULT AS	Oppdrag nr.: 415655	Tegning nr.: 050.5	Versjon: 03.01.2013



Oppdragsgiver:

**NVE Region midt**

Oppdrag:

**Kvikkleiresone Leira**

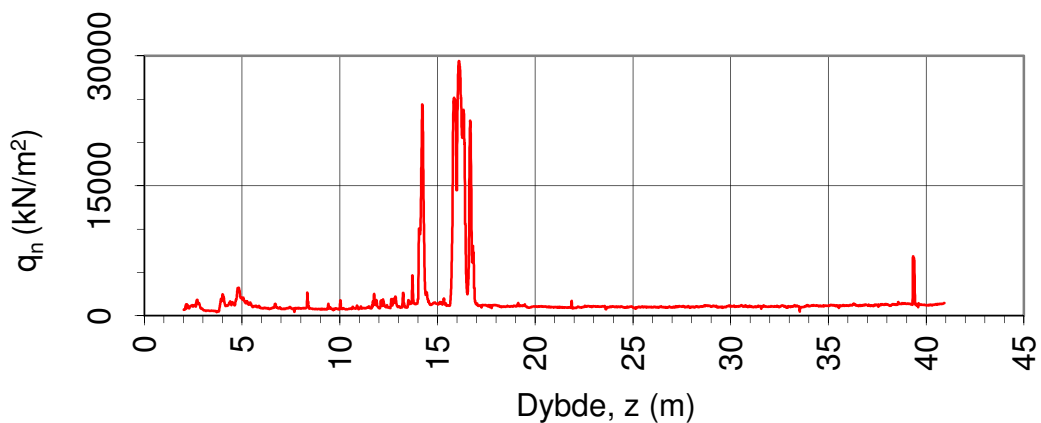
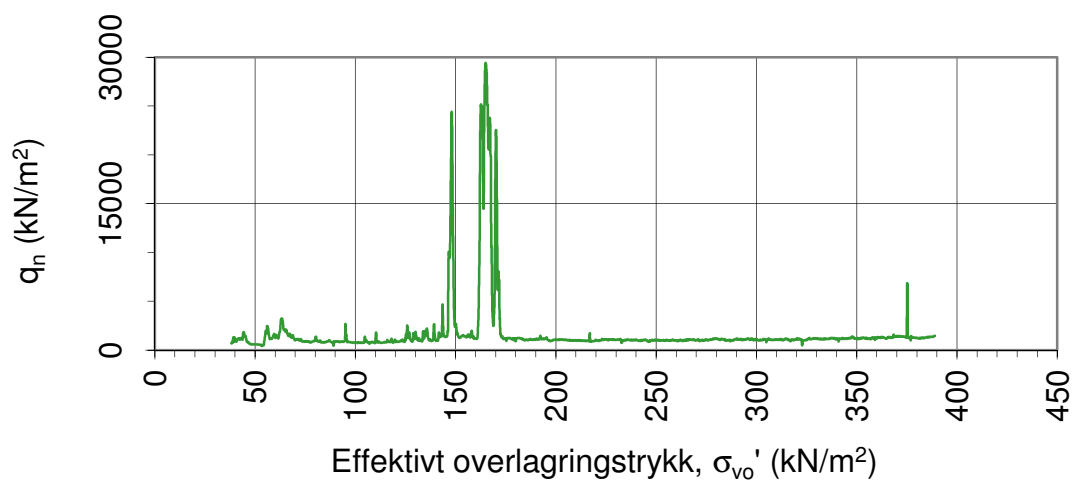
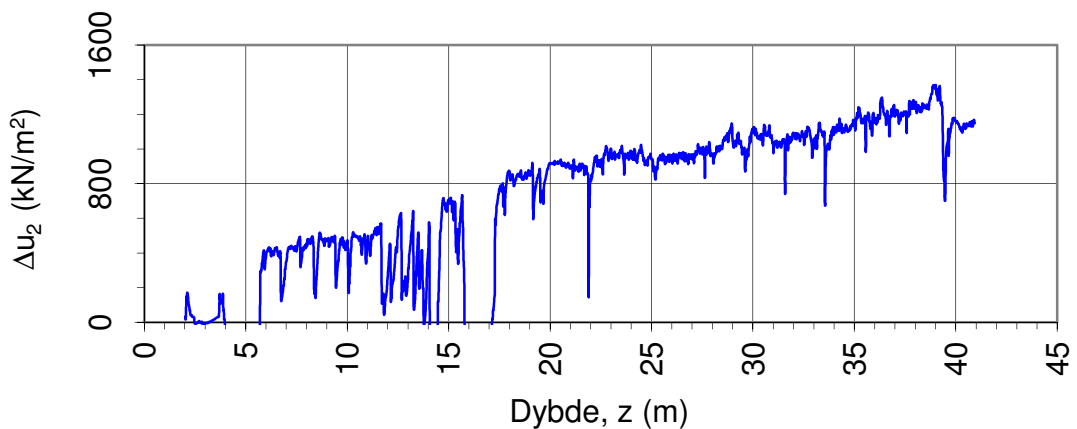
Tegningens filnavn:

415655-CPTU-25.xlsx

Spissmotstand  $q_{c,t}$ , poretrykk  $u_2$ , sidefriksjon  $f_{s,t}$  og helning  $i$ .

CPTU id.:	CPTU-25	Sonde:	4446	
MULTICONULT AS	Dato: 13.05.2013	Tegnet: JMP	Kontrollert: ARV	Godkjent: OAA
	Oppdrag nr.: 415655	Tegning nr.: 051.1	Versjon: 03.01.2013	Revisjon: 0





Oppdragsgiver:

**NVE Region midt**

Oppdrag:

**Kvikkleiresone Leira**

Tegningens filnavn:

415655-CPTU-25.xlsx

Netto spissmotstand  $q_n$  og poreovertrykk  $\Delta u_2$ .

CPTU id.:

CPTU-25

Sonde:

4446

MULTICONULT AS

Dato:  
13.05.2013

Tegnet:  
JMP

Kontrollert:  
ARV

Godkjent:  
OAA

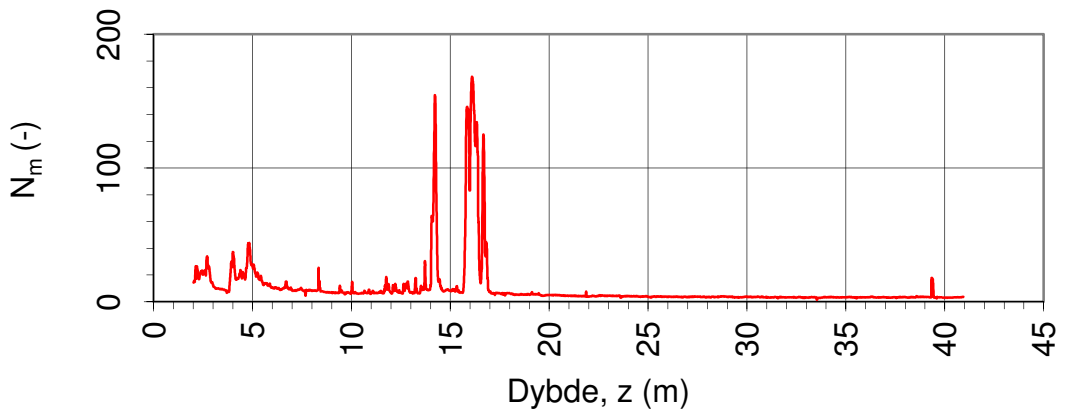
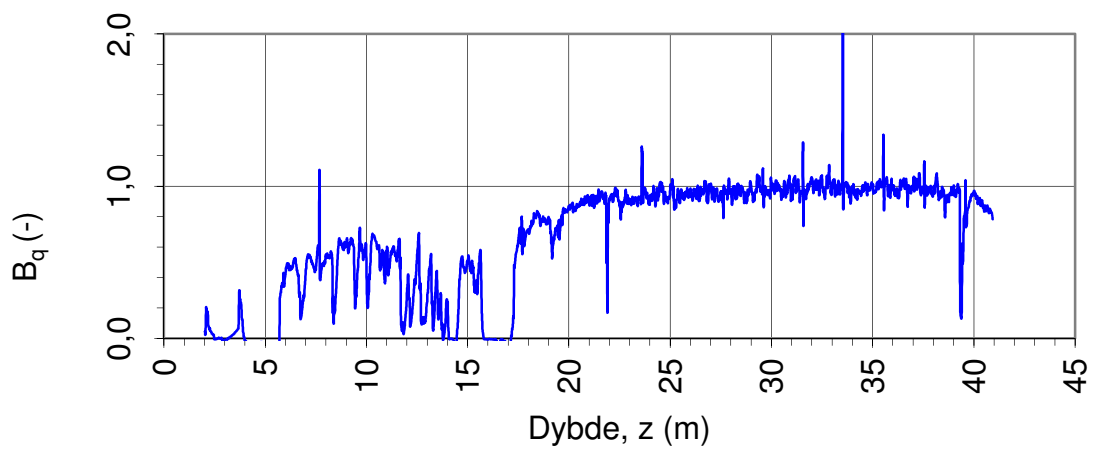
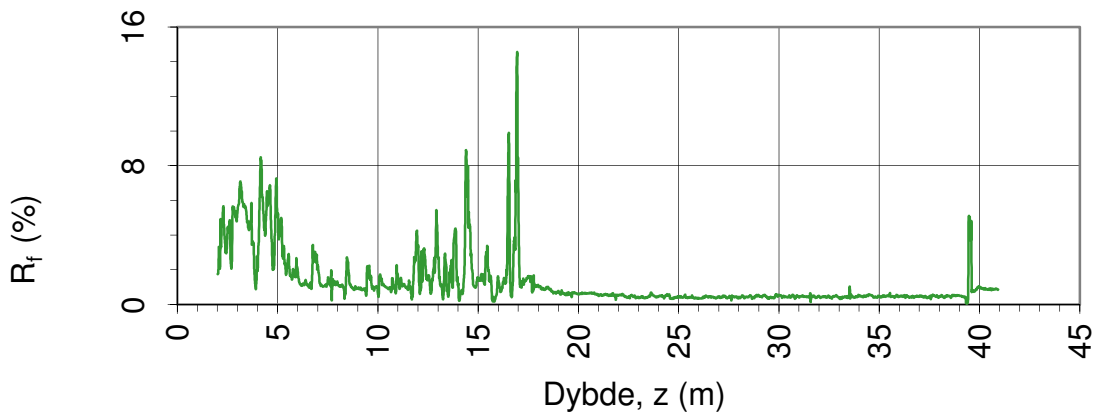
Oppdrag nr.:  
415655

Tegning nr.:  
051.2

Versjon:  
03.01.2013



Revisjon:  
0



Oppdragsgiver:

**NVE Region midt**

Spissmotstandstall  $N_m$ , poretrykks-  $B_q$  og friksjonsforhold  $R_f$ .

Oppdrag:

**Kvikkleiresone Leira**

Tegningens filnavn:

415655-CPTU-25.xlsx

CPTU id.:

CPTU-25

Sonde:

4446



MULTICONSOULT AS

Dato:  
13.05.2013

Tegnet:  
JMP

Kontrollert:  
ARV

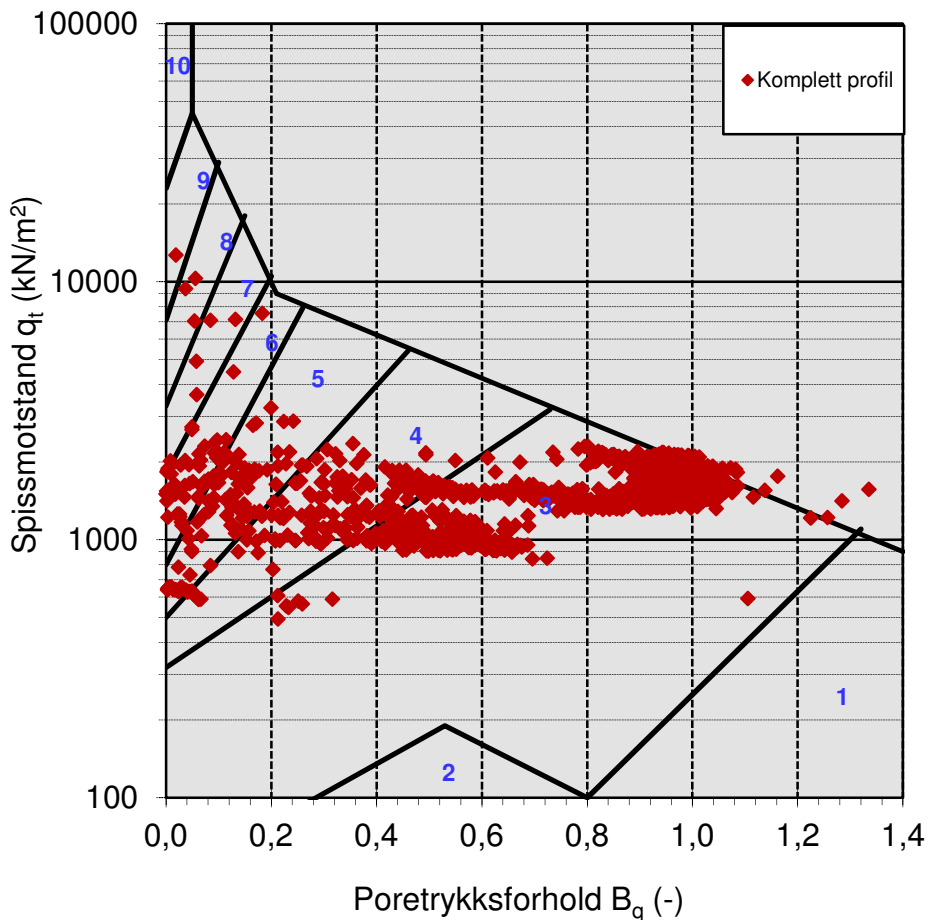
Godkjent:  
OAA

Oppdrag nr.:  
415655

Tegning nr.:  
051.3

Versjon:  
03.01.2013

Revisjon:  
0



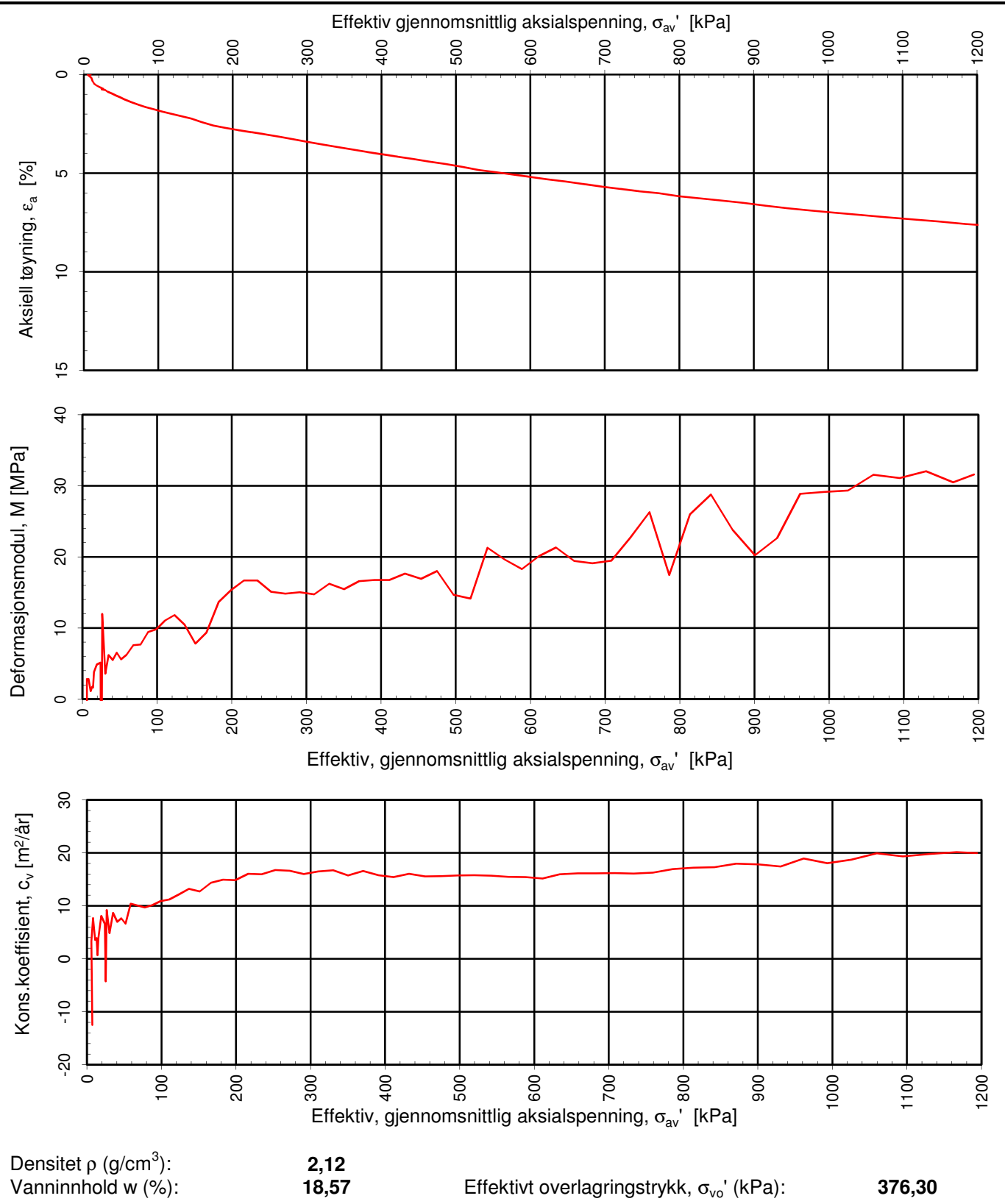
Jordartsid.	Beskrivelse	Identifikasjon
1	Sensitivt, finkornig materiale	3
2	Organisk materiale	9
3	Leire	Ved variasjon i jordartgruppe brukes begge
4	Leirig silt - siltig leire	Id-boksene for å beskrive
5	Leirig silt - siltig leire	materialet (eks. 5-7)
6	Sandig silt - leirig silt	
7	Siltig sand - sandig silt	
8	Sand - siltig sand	
9	Sand	
10	Grusig sand - sand	
11	Meget fast, finkornig materiale	
12	Sand - leirig sand	

Oppdragsgiver:	Oppdrag:	Tegningens filnavn:
<b>NVE Region midt</b>	<b>Kvikkleiresone Leira</b>	415655-CPTU-25.xlsx
Jordartsidentifikasjon fra CPTU data - $q_t$ og $B_q$ .		
CPTU id.:	CPTU-25	Sonde: 4446
MULTICONULT AS		Dato: 13.05.2013 Tegnet: JMP Kontrollert: ARV Godkjent: OAA
Oppdrag nr.: 415655 Tegning nr.: 051.4 Versjon: 03.01.2013 Revisjon: 0		



# DOKUMENTASJON MÅLEDATA - GEOTECH SONDER

Sonde nr.:	<b>4446</b>	Sondetype:	Nova
<b>SONDEDATA</b>			
Arealforhold, a:	<b>0,838</b>	Arealforhold, b:	<b>0,000</b>
Kalibreringsdato:	27.09.2011	Utførende:	Geotech AB
EGENSKAP (fra kalibreringsark)	<b>SPISSMOTSTAND</b>	<b>SIDEFRIKSJON</b>	<b>PORETRYKK</b>
Maksimum spenning (MPa):	50,0	0,5	2,0
Måleområde (MPa):	50,0	0,5	2,0
Oppløsning, $2^{12}$ bit (kPa):	0	0	0
Oppløsning, $2^{18}$ bit (kPa):	0,59	0,01	0,02
Max. temp.effekt, ubelastet (kPa):	31,32	0,58	0,65
Temperaturområde (°C):	0-40	0-40	0-40
Merknad 1:			
Merknad 2:			
<b>UTFØRELSE</b>			
Borleder:	Vidar Tøndervik	Assistent:	Stian Langolf
Filtertype:	Porøst filter	Mettemedium:	Glyserin
Mettemetode:	Ferdig mettet filter	Lufttemperatur (°C):	6,9
Forankring:		Max. helning (°):	4,6
Merknad 1:			
<b>MÅLEVARIABLE</b>			
EGENSKAP	<b>SPISSMOTSTAND</b>	<b>SIDEFRIKSJON</b>	<b>PORETRYKK</b>
Maksimal temperatureffekt (kPa):	0,70	0,01	0,01
<b>NULLPUNKTKONTROLL</b>			
Faktor	<b>NA (q)</b>	<b>NB (f)</b>	<b>NC (u)</b>
Før sondering (DOS):			
Etter sondering (DOS):			
Avvik (DOS) (kPa):	0,0	0,0	0,0
Før sondering (Windows):	7,333	125,700	264,800
Etter sondering (Windows):	0,001	0,300	1,700
Avvik (Windows) (kPa):	1,2	0,3	1,7
<b>NØYAKTIGHETSVURDERING GEOTECH - VURDERING AV ANVENDELSESKLASSE</b>			
Målestørrelse	<b>Spissmotstand</b>	<b>Friksjon</b>	<b>Poretrykk</b>
Samlet nøyaktighet, $\Delta_{TOT}$ (kPa)	2,50	0,32	1,74
Tillatt nøyaktighet A1, $\Delta_k$ (kPa)	35,0	5,0	10,0
Tillatt nøyaktighet A2, $\Delta_k$ (kPa)	100,0	15,0	25,0
Tillatt nøyaktighet A3, $\Delta_k$ (kPa)	200,0	25,0	50,0
Vurdering profil			
ANVENDELSESKLASSE	<b>1</b>	<b>1</b>	<b>1</b>
Oppdragsgiver:	Oppdrag:		
<b>NVE Region midt</b>	<b>Kvikkleiresone Leira</b>		
Dokumentasjon av utstyr og målenøyaktighet.			
CPTU id.:	CPTU-25	Sonde:	4446
MULTICONULT AS		Dato:	Tegnet:
		13.05.2013	JMP
		Oppdrag nr.:	Tegning nr.:
		415655	051.5
		Versjon:	03.01.2013



Densitet  $\rho$  ( $\text{g}/\text{cm}^3$ ):  
Vanninnhold w (%):

**2,12**  
**18,57**

Effektivt overlagringstrykk,  $\sigma_{vo}'$  (kPa):

**376,30**

## NVE Region midt Kvikkleiresone Leira

Kontinuerlig ødometerforsøk, CRS-rutine. Plott A:  $\sigma_{av}'$  -  $\varepsilon_a$ , M og  $c_v$ .

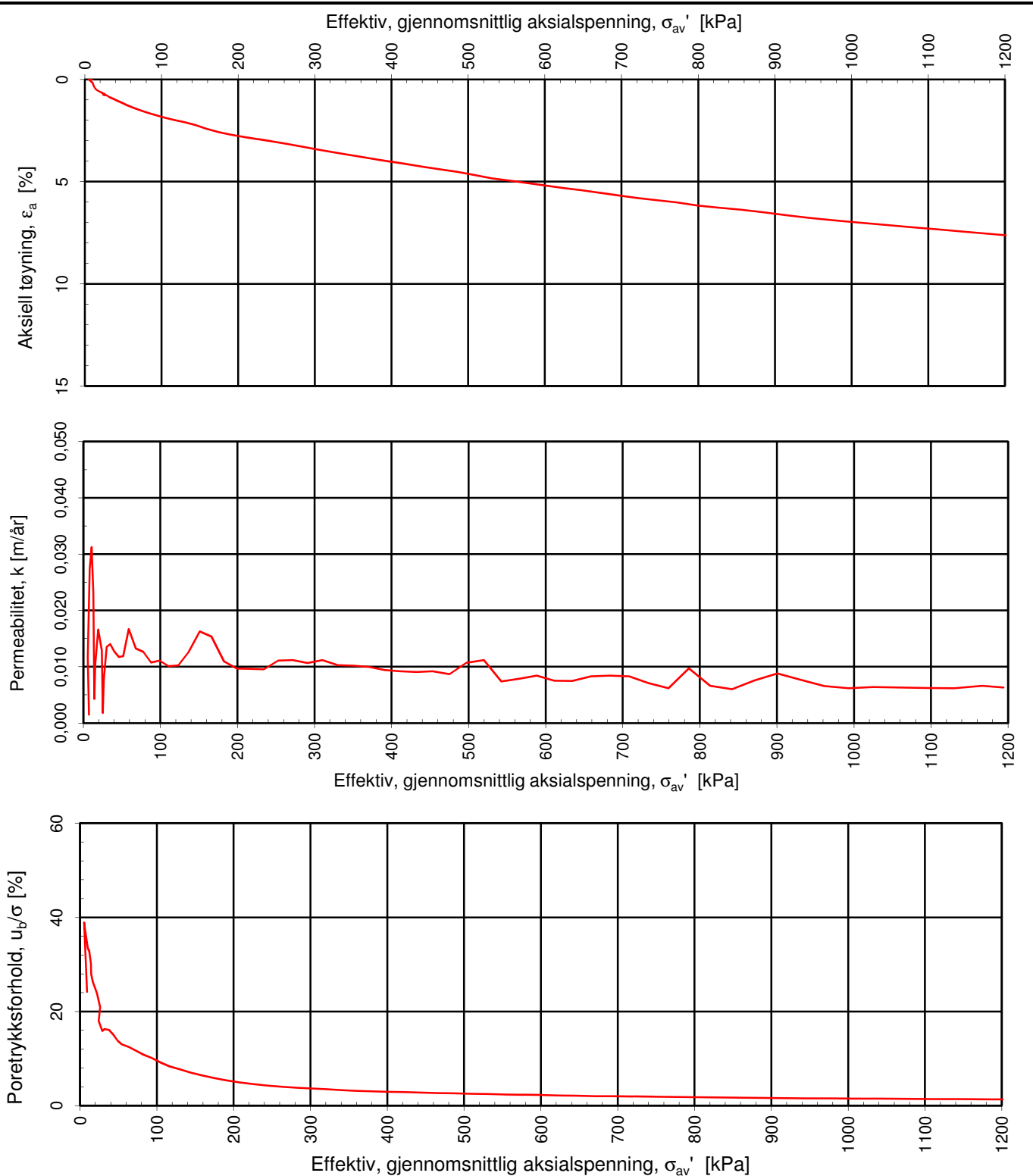
Tegningens filnavn:

415655-RIG-TEG-075\_hLe6, 35.5m.xlsx



**MULTICONSULT AS**  
Sluppenvegen 23,  
7486 TRONDHEIM  
Tlf.: 73 10 62 00

Forsøksdato:	04.02.2013	Dybde, z (m):	35,50	Borpunkt nr.:	Le6
Forsøknr.:	1	Tegnet av:	kjt / truk	Kontrollert:	ARV
Oppdrag nr.:	415655	Tegning nr.:	RIG-TEG-075.1	Prosedyre:	CRS
				Programrevisjon:	11.12.2012



Densitet  $\rho$  (g/cm<sup>3</sup>):

2,12

Vanninnhold w (%):

18,57

Effektivt overlagringstrykk,  $\sigma'_{vo}$  (kPa):

376,30

## NVE Region midt Kvikkleiresone Leira

Kontinuerlig ødometerforsøk, CRS-rutine. Plott B:  $\sigma'_{av}$  -  $\varepsilon_a$ ,  $k$  og  $u_b/\sigma$ .

Tegningens filnavn:

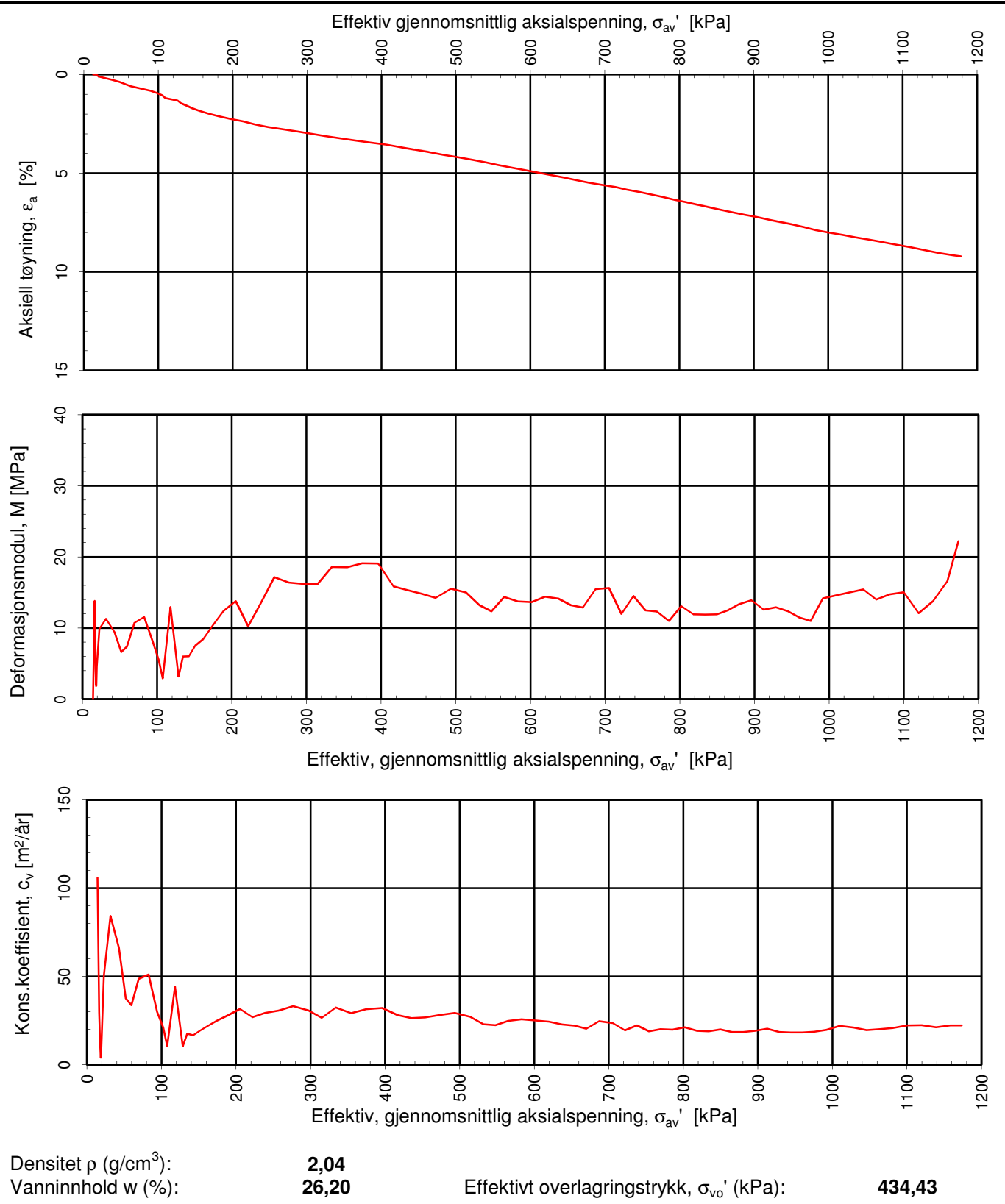
415655-RIG-TEG-075\_hLe6, 35.5m.xlsx



**MULTICONSULT AS**

Sluppenvegen 23,  
7486 TRONDHEIM  
Tlf.: 73 10 62 00

Forsøksdato:	04.02.2013	Dybde, z (m):	35,50	Borpunkt nr.:	Le6
Forsøknr.:	1	Tegnet av:	kjt / truk	Kontrollert:	ARV
Oppdrag nr.:	415655	Tegning nr.:	RIG-TEG-075.2	Prosedyre:	CRS
				Programrevisjon:	11.12.2012



Densitet  $\rho$  ( $g/cm^3$ ):  
Vanninnhold  $w$  (%):

**2,04**  
**26,20**

Effektivt overlagringstrykk,  $\sigma_{vo}'$  (kPa):

**434,43**

## NVE Region midt Kvikkleiresone Leira

Kontinuerlig ødometerforsøk, CRS-rutine. Plott A:  $\sigma_{av}' - \varepsilon_a$ ,  $M$  og  $c_v$ .

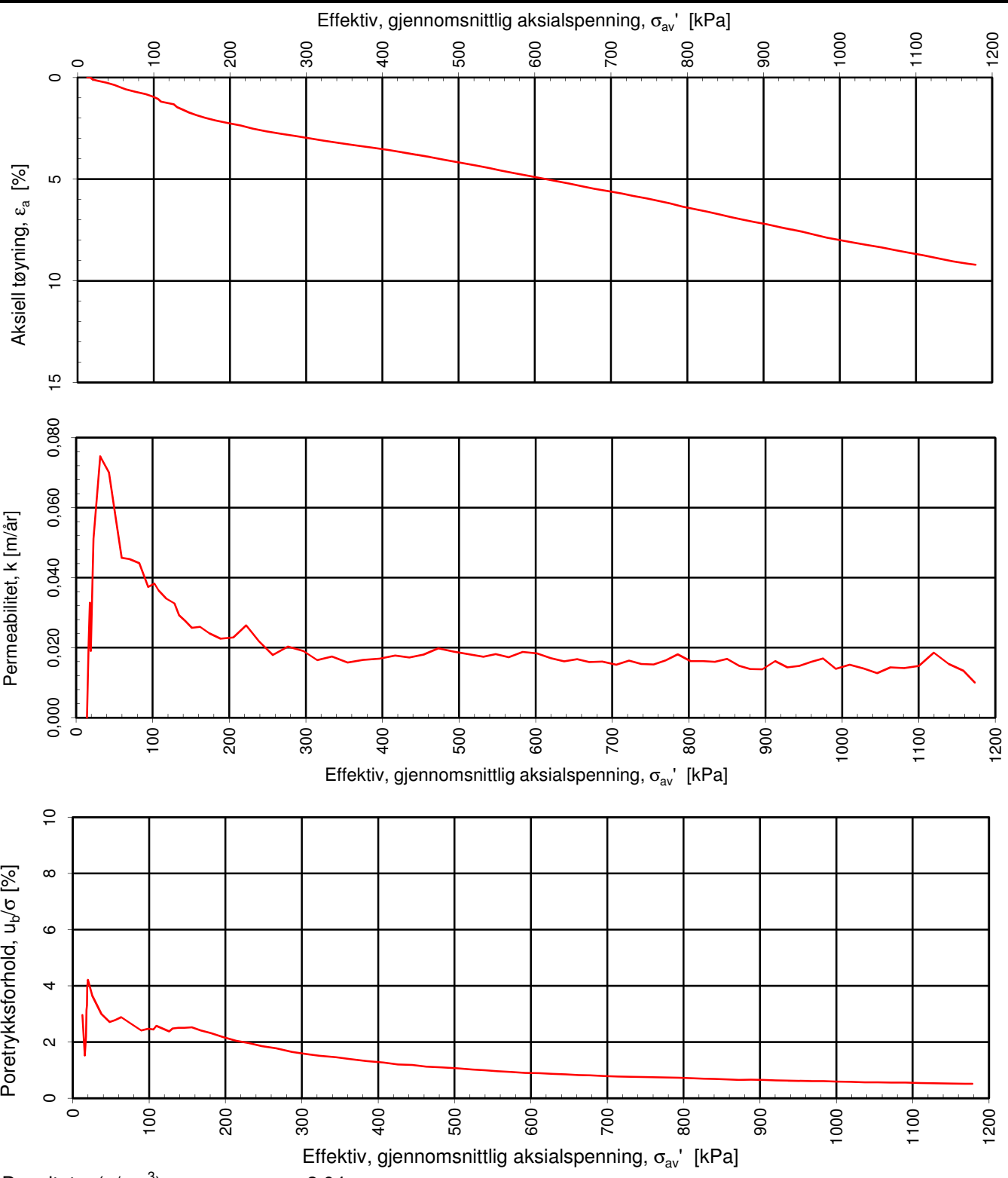
Tegningens filnavn:

415655-RIG-TEG-076\_hLe6, 43.4m.xlsx



**MULTICONSULT AS**  
Sluppenvegen 23,  
7486 TRONDHEIM  
Tlf.: 73 10 62 00

Forsøksdato:	07.02.2013	Dybde, $z$ (m):	43,40	Borpunkt nr.:	Le6
Forsøknr.:	2	Tegnet av:	truk	Kontrollert:	ARV
Oppdrag nr.:	415655	Tegning nr.:	RIG-TEG-076.1	Prosedyre:	CRS
				Programrevisjon:	11.12.2012



Densitet  $\rho$  (g/cm<sup>3</sup>):

2,04

Vanninnhold w (%):

26,20

Effektivt overlagringstrykk,  $\sigma'_{vo}$  (kPa):

434,43

## NVE Region midt Kvikkleiresone Leira

Kontinuerlig ødometerforsøk, CRS-rutine. Plott B:  $\sigma'_{av}$  -  $\varepsilon_a$ ,  $k$  og  $u_b/\sigma$ .

Tegningens filnavn:

415655-RIG-TEG-076\_hLe6, 43.4m.xlsx



**MULTICONSULT AS**

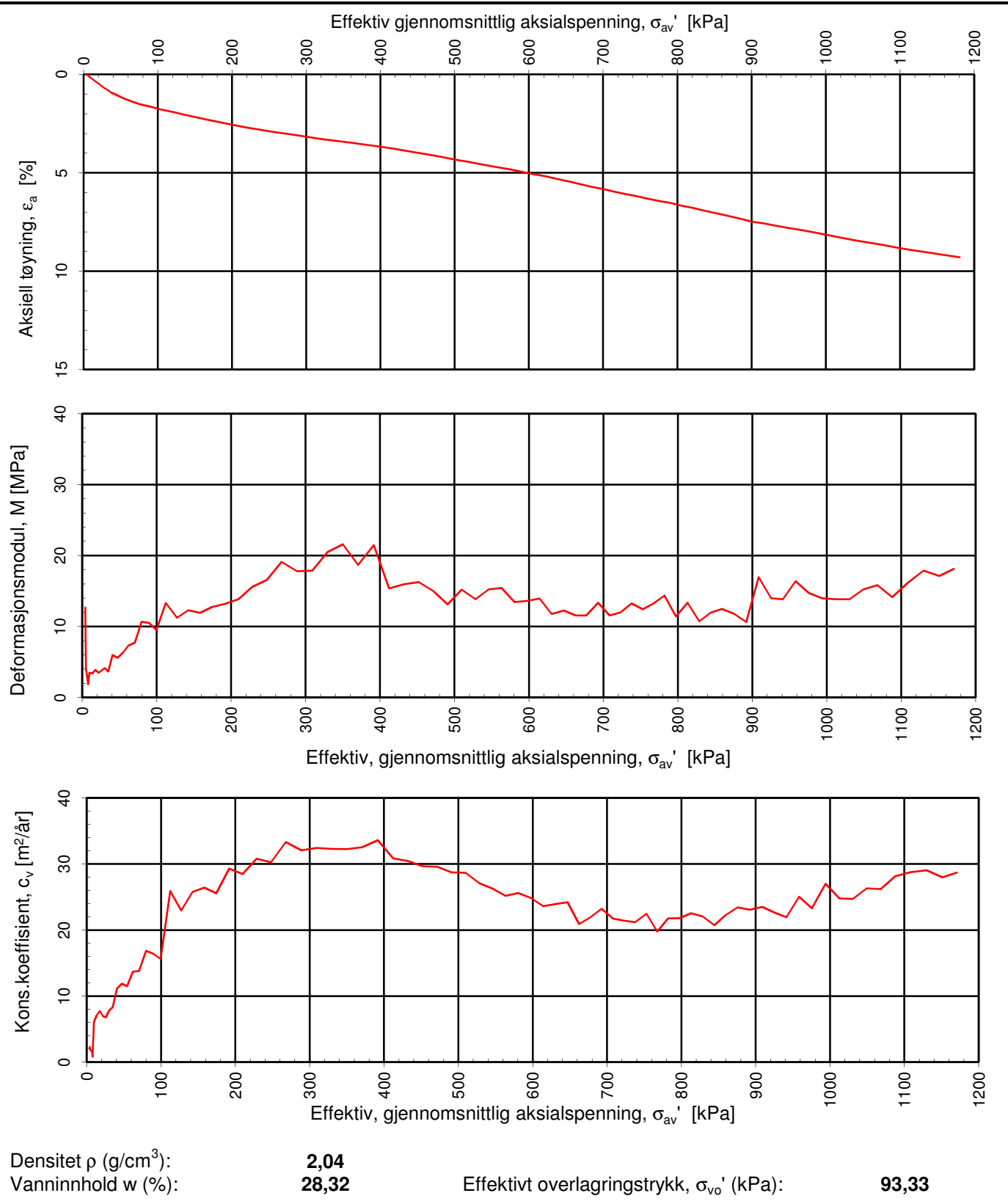
Sluppenvegen 23,  
7486 TRONDHEIM  
Tlf.: 73 10 62 00

Forsøksdato: 07.02.2013 Dybde, z (m): 43,40 Borpunkt nr.: Le6

Forsøknr.: 2 Tegnet av: truk Kontrollert: ARV Godkjent:

Oppdrag nr.: 415655 Tegning nr.: RIG-TEG-076.2 Prosedyre: CRS Programrevision:

11.12.2012



Densitet  $\rho$  ( $\text{g}/\text{cm}^3$ ):  
Vanninnhold  $w$  (%):

**2,04**  
**28,32**

Effektivt overlagringstrykk,  $\sigma_{vo}'$  (kPa):

**93,33**

## NVE Region midt Kvikkleiresone Leira

Kontinuerlig ødometerforsøk, CRS-rutine. Plott A:  $\sigma_{av}'$  -  $\varepsilon_a$ , M og  $c_v$ .

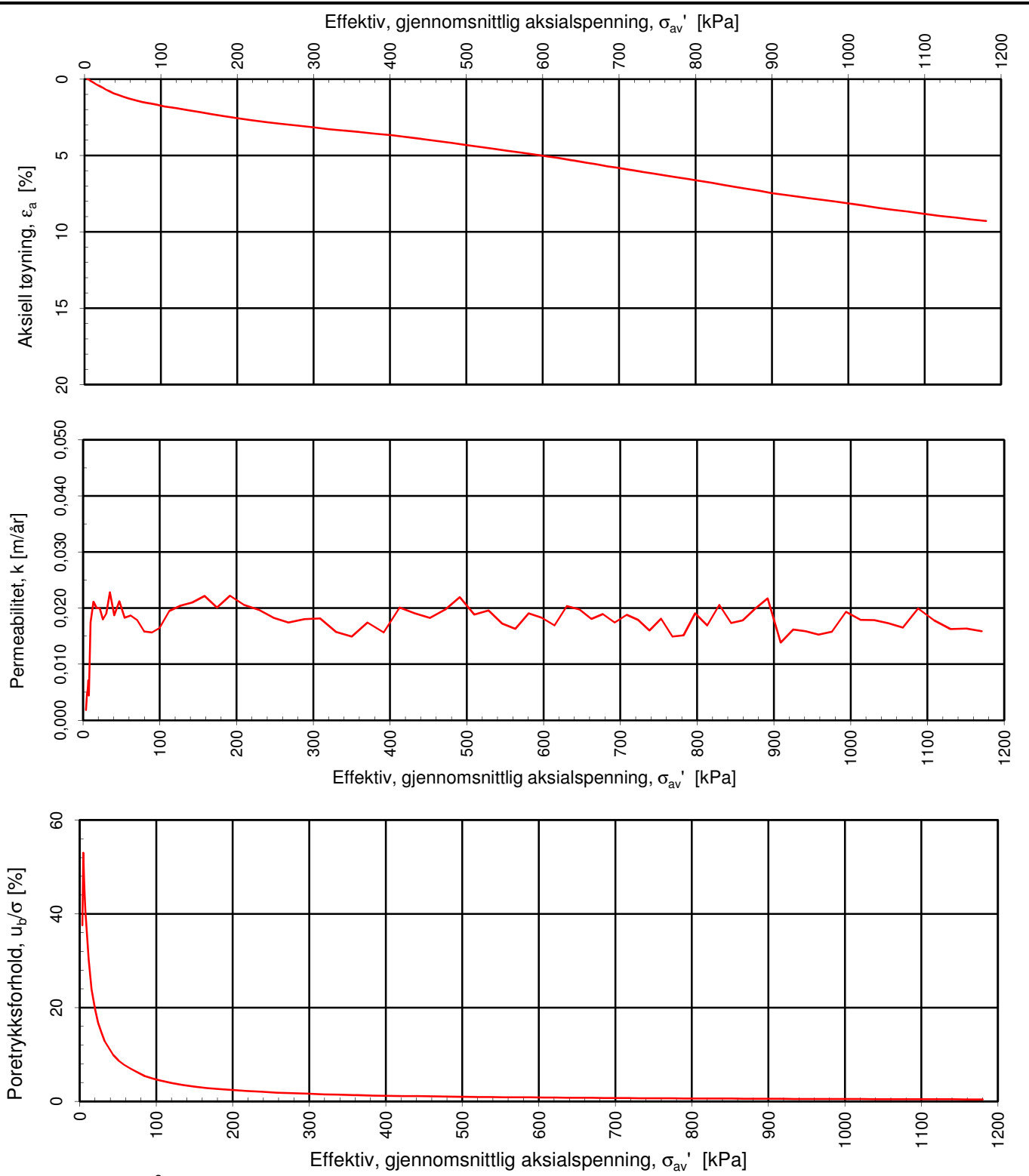
Tegningens filnavn:

415655-RIG-TEG-077\_hLe7, 9.15m.xlsx



**MULTICONULT AS**  
Sluppenvegen 23,  
7486 TRONDHEIM  
Tlf.: 73 10 62 00

Forsøksdato:	11.02.2013	Dybde, z (m):	9,15	Borpunkt nr.:	Le7
Forsøknr.:	3	Tegnet av:	truk	Kontrollert:	ARV
Oppdrag nr.:	415655	Tegning nr.:	RIG-TEG-077.1	Prosedyre:	CRS
				Programrevisjon:	11.12.2012



Densitet  $\rho$  (g/cm<sup>3</sup>):

2,04

Vanninnhold w (%):

28,32

Effektivt overlagringstrykk,  $\sigma'_{vo}$  (kPa):

93,33

## NVE Region midt Kvikkleiresone Leira

Kontinuerlig ødometerforsøk, CRS-rutine. Plott B:  $\sigma'_{av}$  -  $\varepsilon_a$ ,  $k$  og  $u_b/\sigma$ .

Tegningens filnavn:

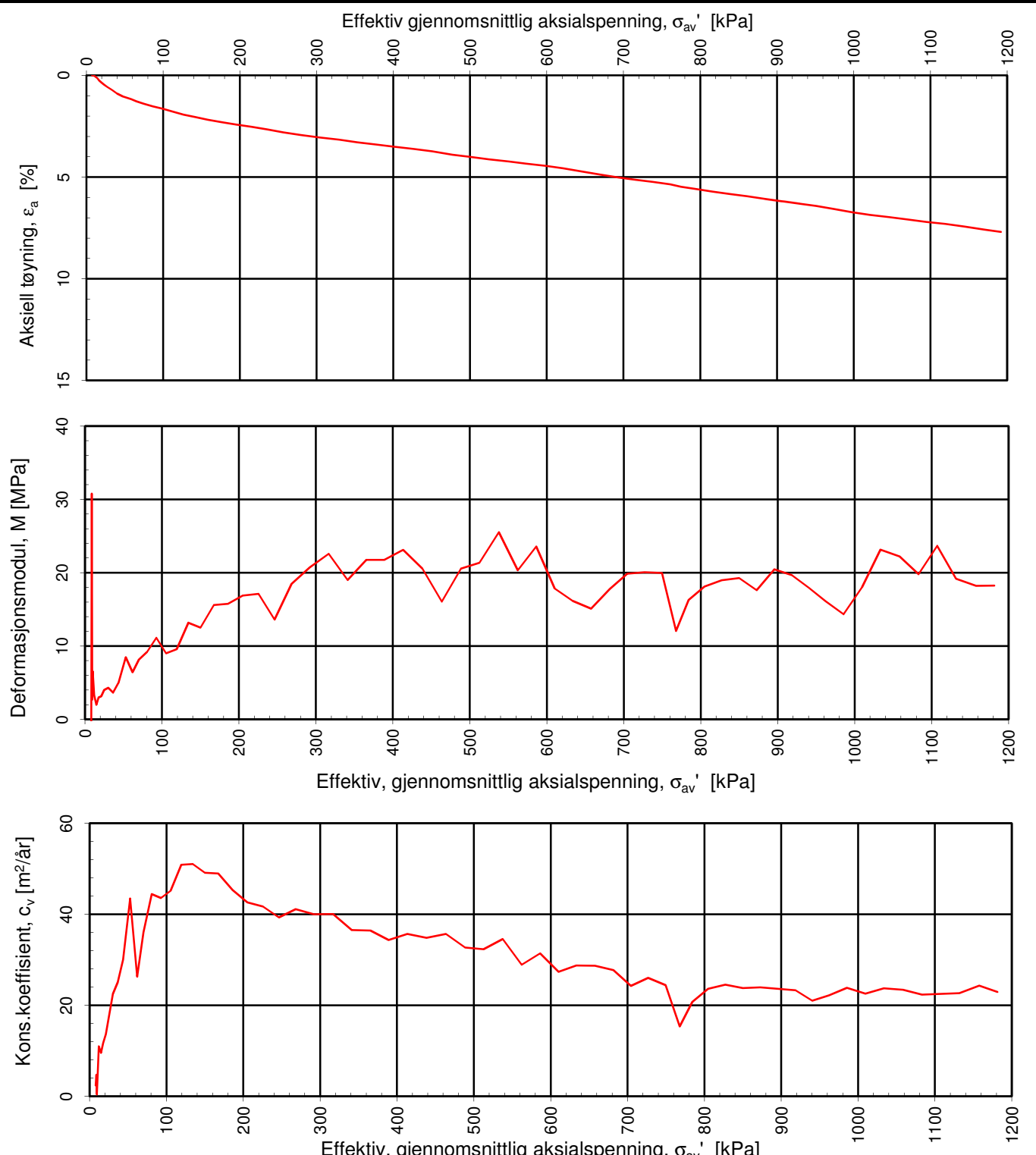
415655-RIG-TEG-077\_hLe7, 9.15m.xlsx



**MULTICONSULT AS**

Sluppenvegen 23,  
7486 TRONDHEIM  
Tlf.: 73 10 62 00

Forsøksdato:	11.02.2013	Dybde, z (m):	9,15	Borpunkt nr.:	Le7
Forsøknr.:	3	Tegnet av:	truk	Kontrollert:	ARV
Oppdrag nr.:	415655	Tegning nr.:	RIG-TEG-077.2	Prosedyre:	CRS
				Programrevisjon:	11.12.2012



Densitet  $\rho$  ( $\text{g}/\text{cm}^3$ ):  
Vanninnhold  $w$  (%):

**2,01**  
**23,63**

Effektivt overlagringstrykk,  $\sigma_{vo}'$  (kPa):

**52,00**

## NVE Region midt Kvikkleiresone Leira

Kontinuerlig ødometerforsøk, CRS-rutine. Plott A:  $\sigma_{av}' - \varepsilon_a$ ,  $M$  og  $c_v$ .

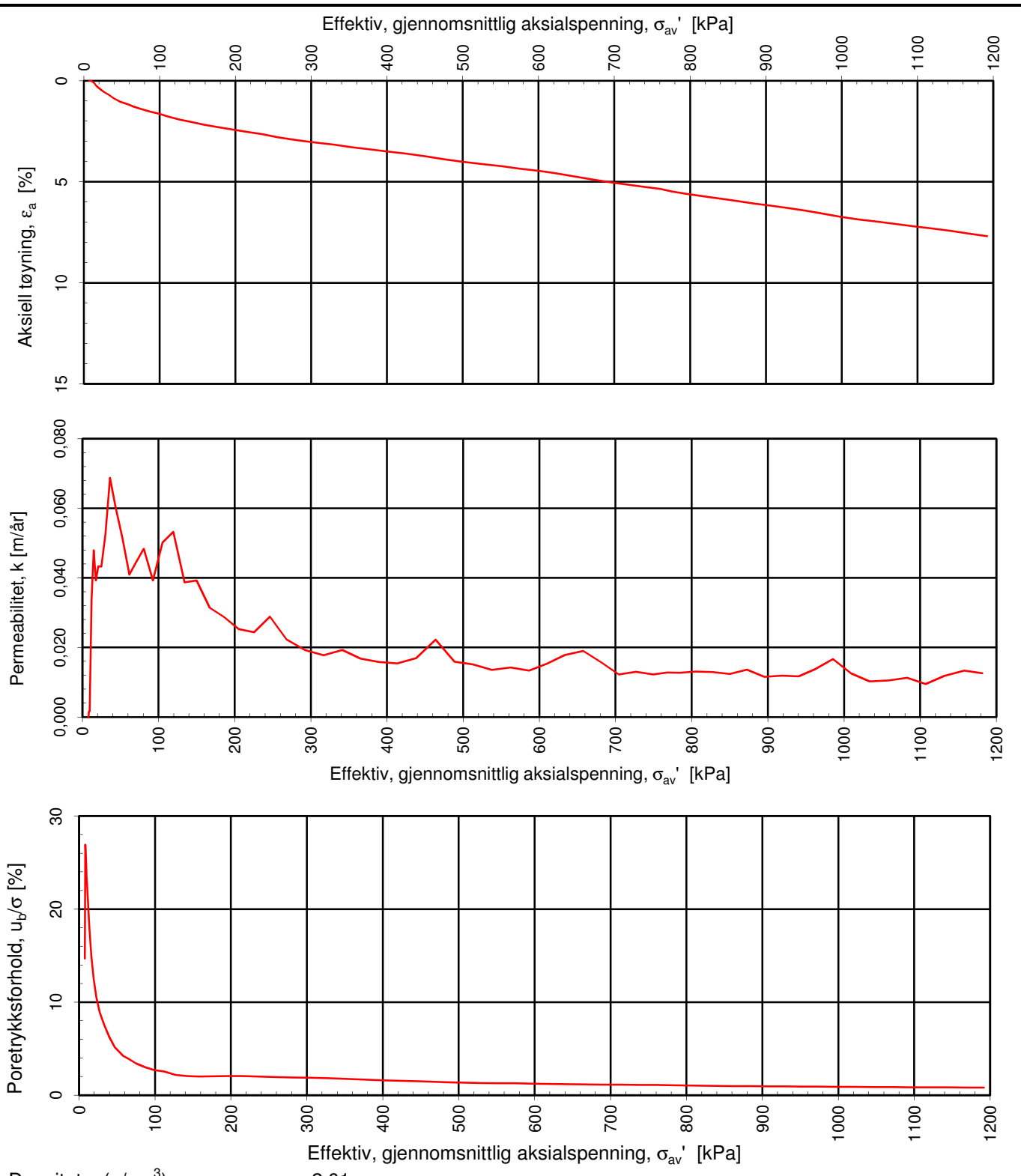
Tegningens filnavn:

415655-RIG-TEG-078\_hLe13, 5.2m.xlsx



**MULTICONULT AS**  
Sluppenvegen 23,  
7486 TRONDHEIM  
Tlf.: 73 10 62 00

Forsøksdato:	18.02.2013	Dybde, $z$ (m):	5,20	Borpunkt nr.:	Le13
Forsøknr.:	4	Tegnet av:	truk	Kontrollert:	ARV
Oppdrag nr.:	415655	Tegning nr.:	RIG-TEG-078.1	Prosedyre:	CRS
				Programrevisjon:	11.12.2012



Densitet  $\rho$  (g/cm<sup>3</sup>):

2,01

Vanninnhold w (%):

23,63

Effektivt overlagringstrykk,  $\sigma'_{vo}$  (kPa):

52,00

## NVE Region midt Kvikkleiresone Leira

Kontinuerlig ødometerforsøk, CRS-rutine. Plott B:  $\sigma'_{av}$  -  $\epsilon_a$ ,  $k$  og  $u_b/\sigma$ .

Tegningens filnavn:

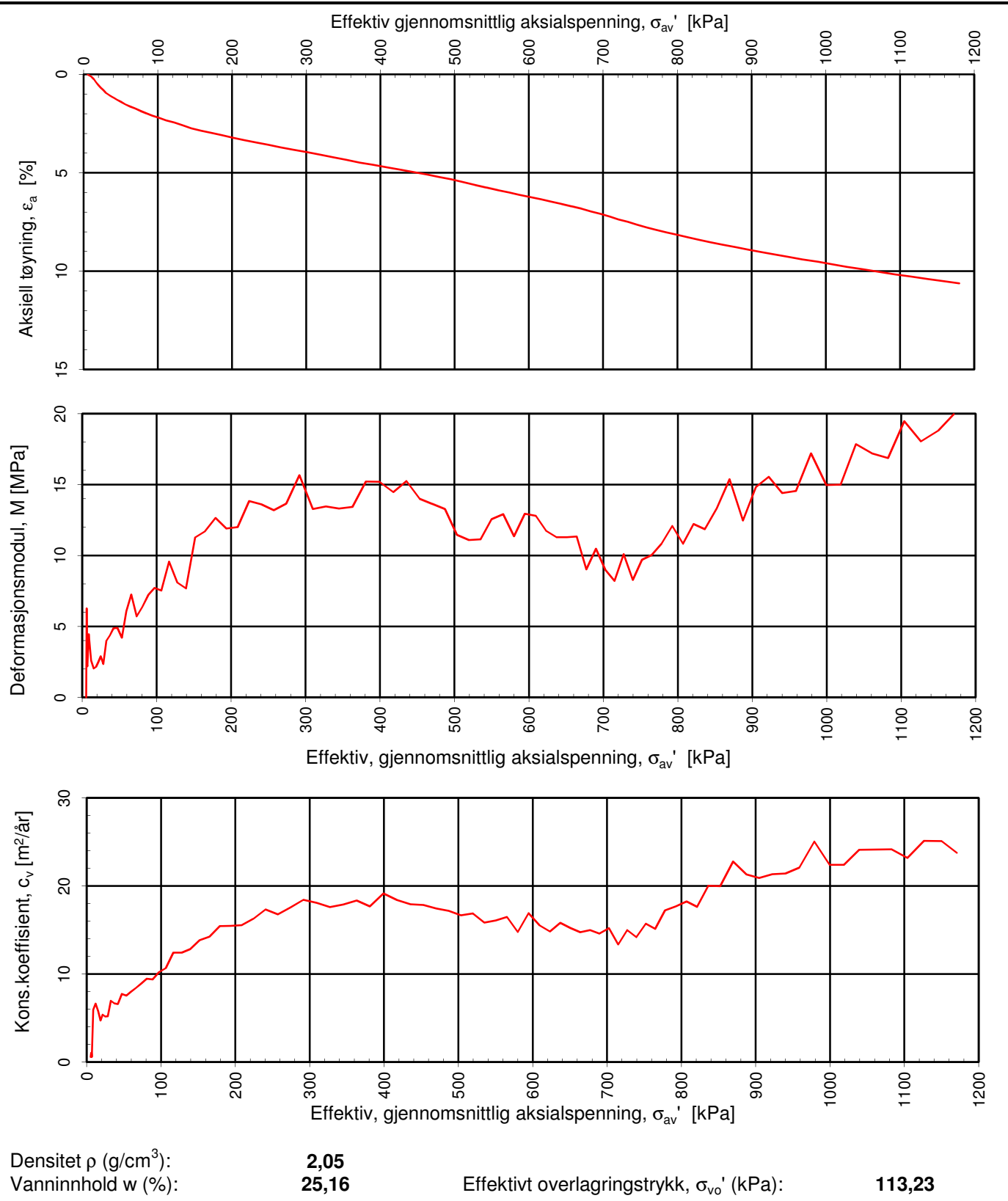
415655-RIG-TEG-078\_hLe13, 5.2m.xlsx



**MULTICONSULT AS**

Sluppenvegen 23,  
7486 TRONDHEIM  
Tlf.: 73 10 62 00

Forsøksdato:	18.02.2013	Dybde, z (m):	5,20	Borpunkt nr.:	Le13
Forsøknr.:	4	Tegnet av:	truk	Kontrollert:	ARV
Oppdrag nr.:	415655	Tegning nr.:	RIG-TEG-078.2	Prosedyre:	CRS
				Programrevisjon:	11.12.2012



Densitet  $\rho$  ( $\text{g}/\text{cm}^3$ ):  
Vanninnhold  $w$  (%):

**2,05**  
**25,16**

Effektivt overlagringstrykk,  $\sigma_{vo}'$  (kPa):

**113,23**

## NVE Region midt Kvikkleiresone Leira

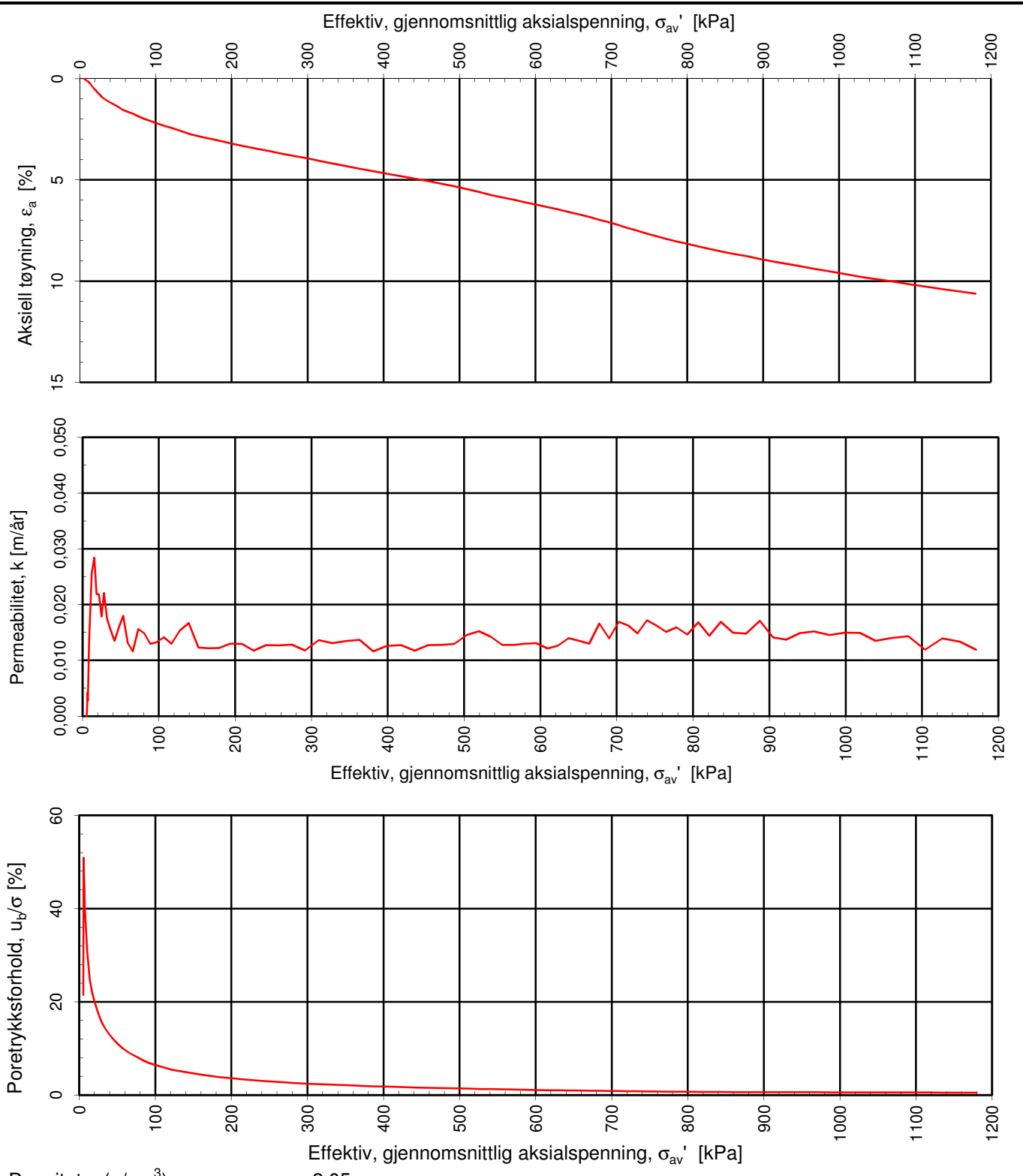
Tegningens filnavn:

415655-RIG-TEG-079\_hLe13, 11.2m.xlsx

Kontinuerlig ødometerforsøk, CRS-rutine. Plott A:  $\sigma_{av}' - \varepsilon_a$ ,  $M$  og  $c_v$ .

**MULTICONULT AS**  
Sluppenvegen 23,  
7486 TRONDHEIM  
Tlf.: 73 10 62 00

<b>MULTICONULT AS</b> Sluppenvegen 23, 7486 TRONDHEIM Tlf.: 73 10 62 00	Forsøksdato:	Dybde, $z$ (m):	Borpunkt nr.:	
	13.02.2013	11,20	Le13	
	Forsøknr.:	Tegnet av: truk / kjt	Kontrollert: ARV	
	5			Godkjent: OAA
	Oppdrag nr.:	Tegning nr.:	Prosedyre:	Programrevisjon:
	415655	RIG-TEG-079.1	CRS	11.12.2012



Densitet  $\rho$  (g/cm<sup>3</sup>):

2,05

Vanninnhold w (%):

25,16

Effektivt overlagringstrykk,  $\sigma'_{vo}$  (kPa):

113,23

## NVE Region midt Kvikkleiresone Leira

Kontinuerlig ødometerforsøk, CRS-rutine. Plott B:  $\sigma'_{av}$  -  $\varepsilon_a$ ,  $k$  og  $u_b/\sigma$ .

Tegningens filnavn:

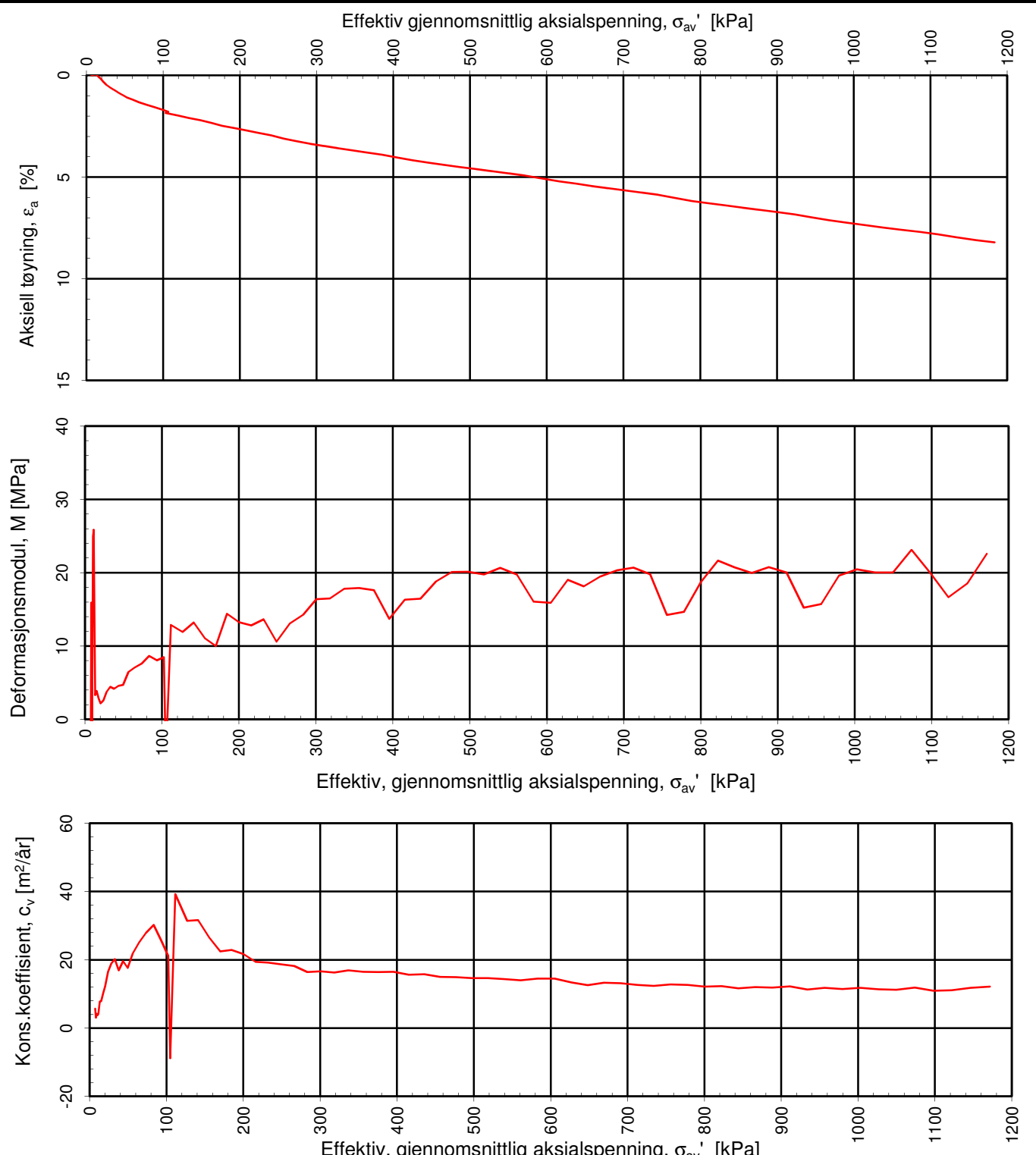
415655-RIG-TEG-079\_hLe13, 11.2m.xlsx



**MULTICONULT AS**

Sluppenvegen 23,  
7486 TRONDHEIM  
Tlf.: 73 10 62 00

Forsøksdato:	13.02.2013	Dybde, z (m):	11,20	Borpunkt nr.:	Le13
Forsøknr.:	5	Tegnet av:	truk / kjt	Kontrollert:	ARV
Oppdrag nr.:	415655	Tegning nr.:	RIG-TEG-079.2	Prosedyre:	CRS
				Programrevisjon:	11.12.2012



Densitet  $\rho$  (g/cm<sup>3</sup>):  
Vanninnhold w (%):

**2,01**  
**25,53**

Effektivt overlagringstrykk,  $\sigma_{vo}'$  (kPa):

**62,08**

## NVE Region midt Kvikkleiresone Leira

Kontinuerlig ødometerforsøk, CRS-rutine. Plott A:  $\sigma_{av}'$  -  $\varepsilon_a$ , M og  $c_v$ .

Tegningens filnavn:

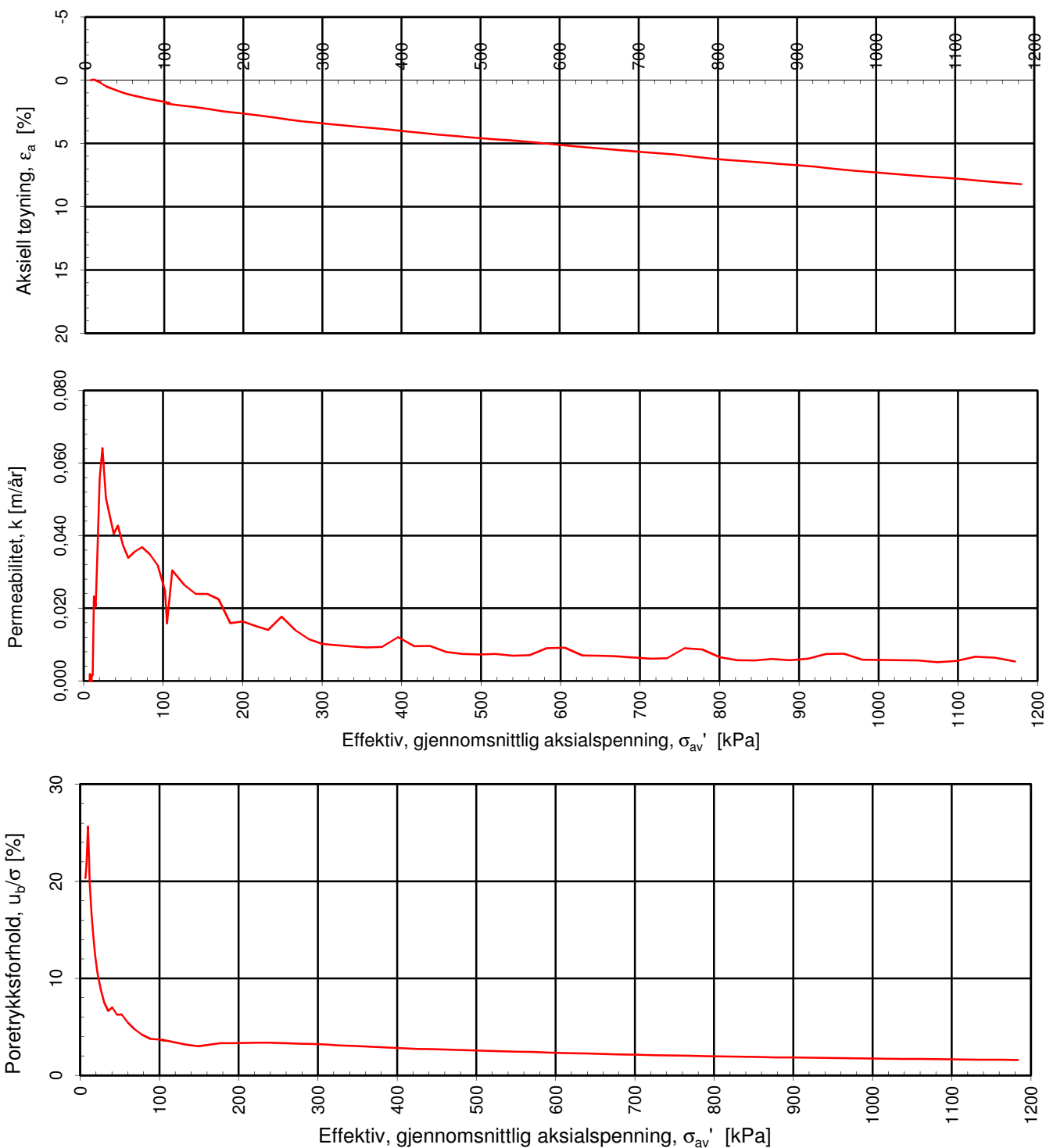
415655-RIG-TEG-080\_hLe15, 6.4m.xlsx



**MULTICONULT AS**  
Sluppenvegen 23,  
7486 TRONDHEIM  
Tlf.: 73 10 62 00

Forsøksdato:	21.03.2013	Dybde, z (m):	6,40	Borpunkt nr.:	Le15
Forsøknr.:	6	Tegnet av:	truk	Kontrollert:	ARV
Oppdrag nr.:	415655	Tegning nr.:	RIG-TEG-080.1	Prosedyre:	CRS
				Programrevisjon:	11.12.2012

Effektiv, gjennomsnittlig aksialspenning,  $\sigma_{av}'$  [kPa]



Densitet  $\rho$  (g/cm<sup>3</sup>):

2,01

Vanninnhold w (%):

25,53

Effektivt overlagringstrykk,  $\sigma_{vo}'$  (kPa):

62,08

## NVE Region midt Kvikkleiresone Leira

Kontinuerlig ødometerforsøk, CRS-rutine. Plott B:  $\sigma_{av}' - \varepsilon_a$ ,  $k$  og  $u_b/\sigma$ .

Tegningens filnavn:

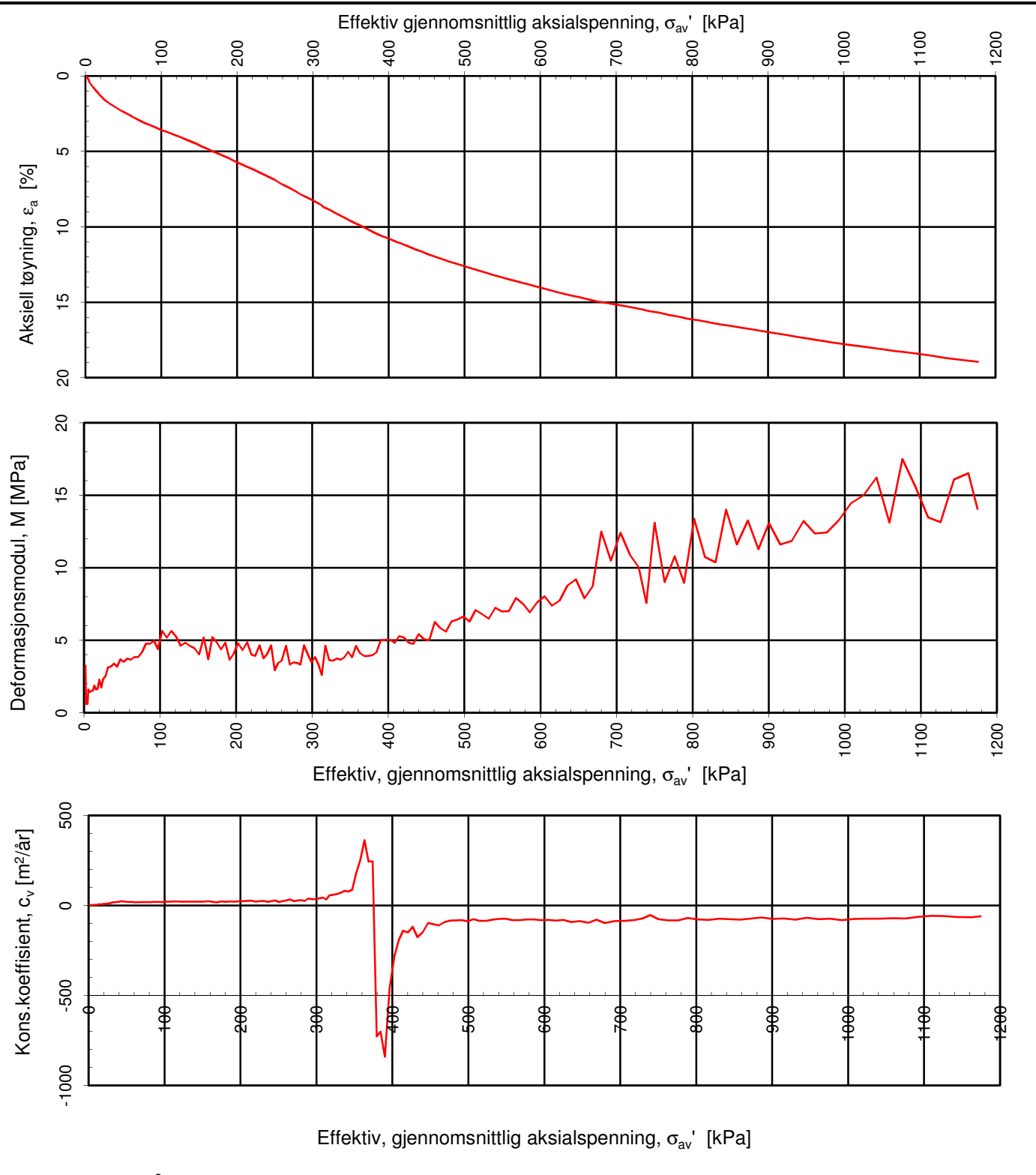
415655-RIG-TEG-080\_hLe15, 6.4m.xlsx



MULTICONSULT AS

Sluppenvegen 23,  
7486 TRONDHEIM  
Tlf.: 73 10 62 00

Forsøksdato:	21.03.2013	Dybde, z (m):	6,40	Borpunkt nr.:	Le15
Forsøknr.:	6	Tegnet av:	truk	Kontrollert:	ARV
Oppdrag nr.:	415655	Tegning nr.:	RIG-TEG-080.2	Prosedyre:	CRS
				Programrevisjon:	11.12.2012



Densitet  $\rho$  (g/cm<sup>3</sup>):

**1,99**

Vanninnhold w (%):

**27,71**

Effektivt overlagringstrykk,  $\sigma'_{vo}$  (kPa):

**182,31**

## NVE Region midt Kvikkleiresone Leira

Kontinuerlig ødometerforsøk, CRS-rutine. Plott A:  $\sigma'_{av}$  -  $\varepsilon_a$ , M og  $c_v$ .

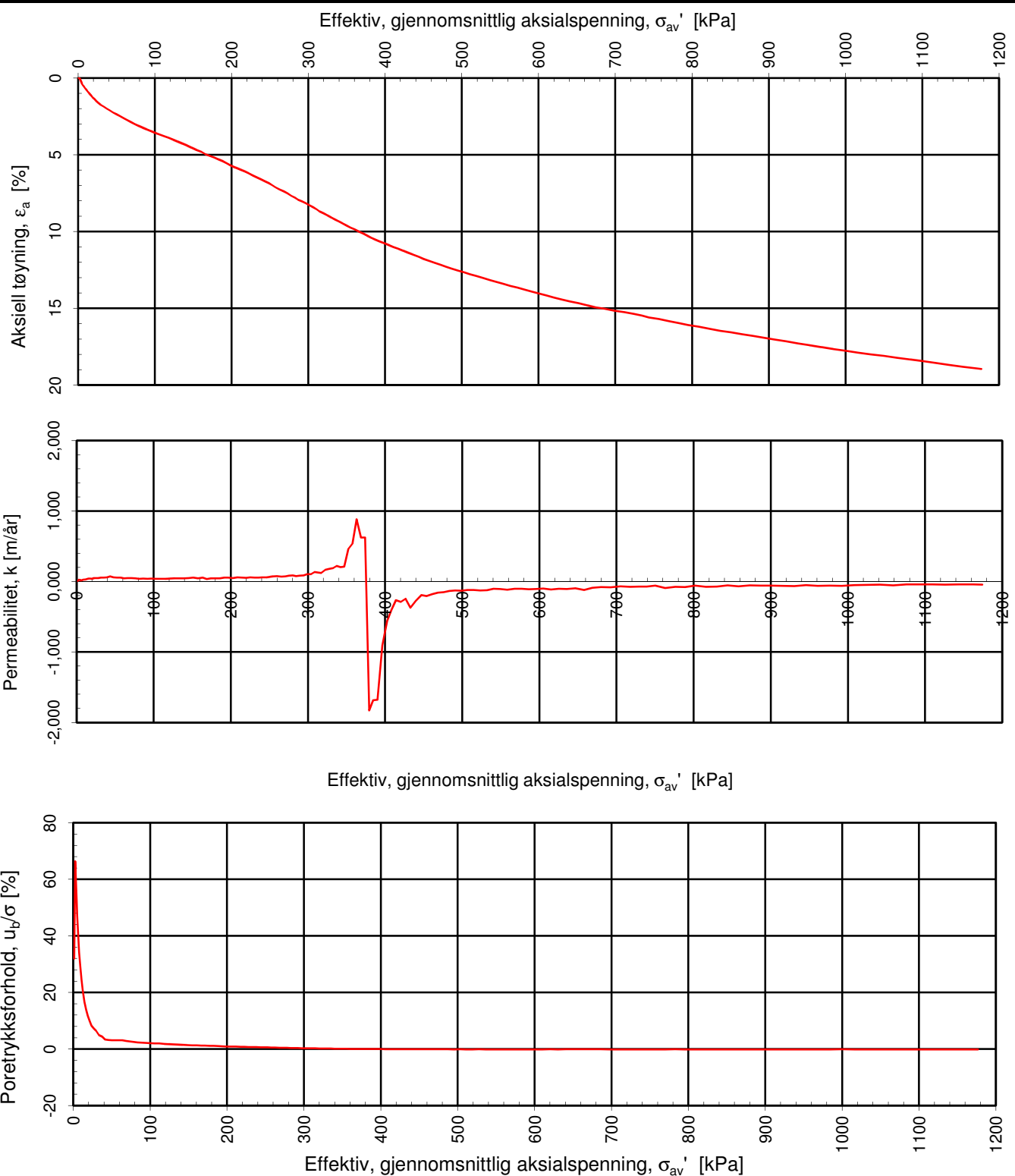
Tegningens filnavn:

415655-RIG-TEG\_081\_hLe17, 19.15m.xlsx



**MULTICONULT AS**  
Sluppenvegen 23,  
7486 TRONDHEIM  
Tlf.: 73 10 62 00

Forsøksdato:	21.01.2013	Dybde, z (m):	19,15	Borpunkt nr.:	Le17
Forsøknr.:	7	Tegnet av:	truk	Kontrollert:	ARV
Oppdrag nr.:	415655	Tegning nr.:	RIG-TEG-081.1	Prosedyre:	CRS
				Programrevisjon:	11.12.2012



Densitet  $\rho$  (g/cm<sup>3</sup>):

1,99

Vanninnhold w (%):

27,71

Effektivt overlagringstrykk,  $\sigma'_{vo}$  (kPa):

182,31

## NVE Region midt Kvikkleiresone Leira

Kontinuerlig ødometerforsøk, CRS-rutine. Plott B:  $\sigma'_{av}$  -  $\varepsilon_a$ ,  $k$  og  $u_b/\sigma$ .

Tegningens filnavn:

415655-RIG-TEG\_081\_hLe17, 19.15m.xlsx



**MULTICONULT AS**

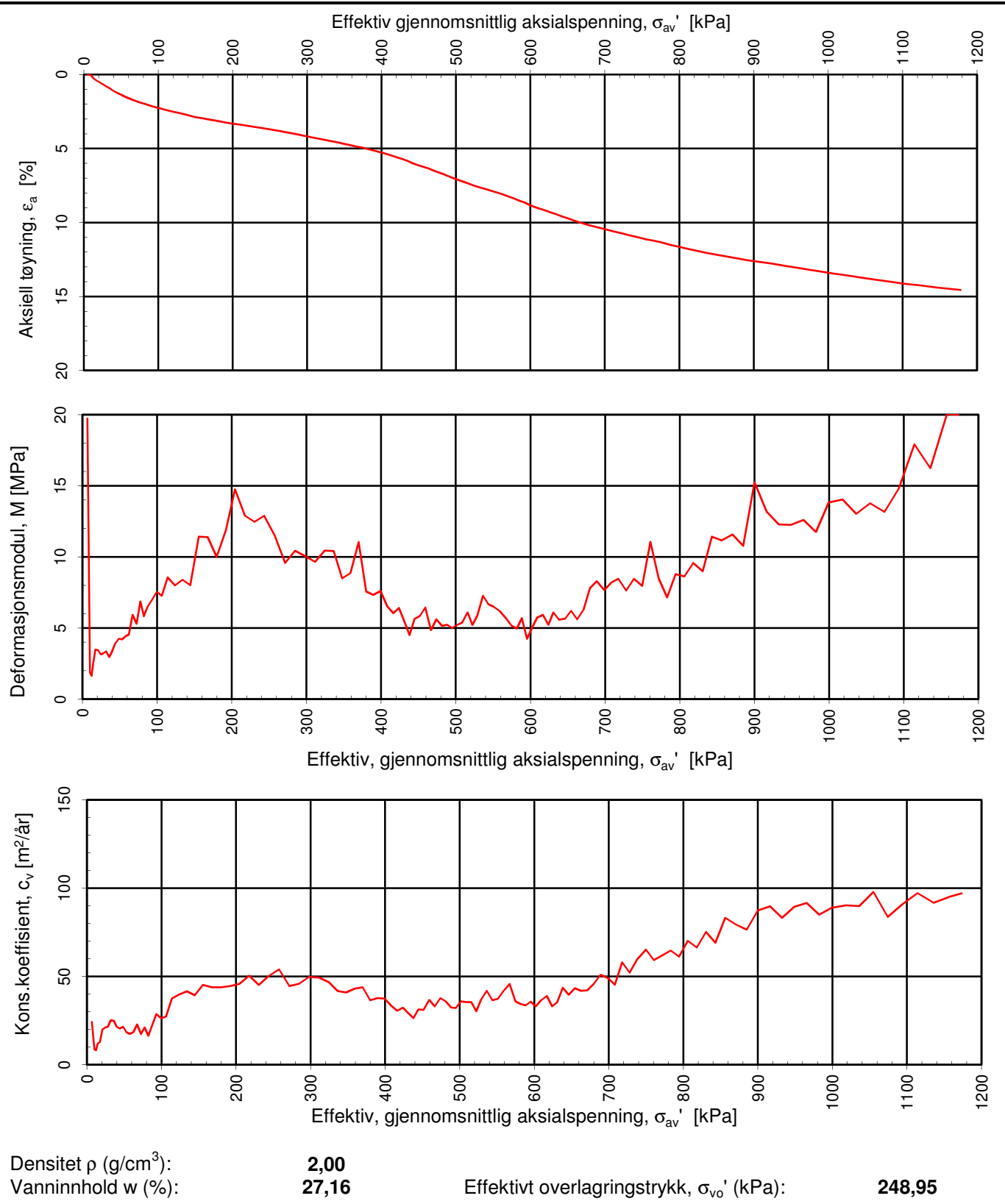
Sluppenvegen 23,  
7486 TRONDHEIM  
Tlf.: 73 10 62 00

Forsøksdato:	21.01.2013	Dybde, z (m):	19,15	Borpunkt nr.:	Le17
--------------	------------	---------------	-------	---------------	------

Forsøknr.:	7	Tegnet av:	truk	Kontrollert:	ARV
------------	---	------------	------	--------------	-----

Oppdrag nr.:	415655	Tegning nr.:	RIG-TEG-081.2	Prosedyre:	CRS
--------------	--------	--------------	---------------	------------	-----

Programrevision:  
11.12.2012



Densitet  $\rho$  ( $\text{g}/\text{cm}^3$ ):  
Vanninnhold  $w$  (%):

**2,00**  
**27,16**

Effektivt overlagringstrykk,  $\sigma_{vo}'$  (kPa):

**248,95**

## NVE Region midt Kvikkleiresone Leira

Kontinuerlig ødometerforsøk, CRS-rutine. Plott A:  $\sigma_{av}'$  -  $\varepsilon_a$ , M og  $c_v$ .

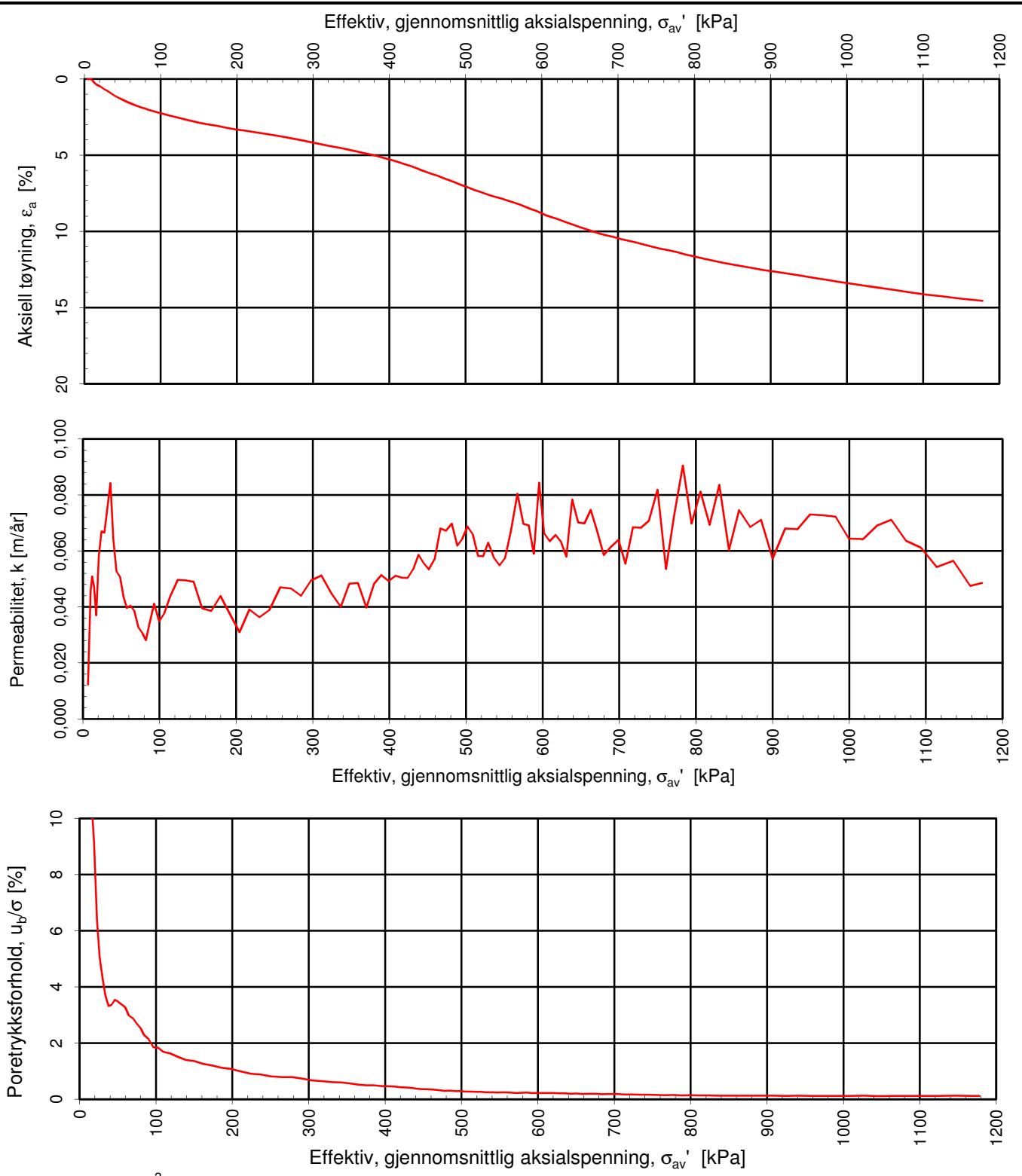
Tegningens filnavn:

415655-RIG-TEG-xxx\_hLe17, 27.6.m.xlsx



**MULTICONSULT AS**  
Sluppenvegen 23,  
7486 TRONDHEIM  
Tlf.: 73 10 62 00

Forsøksdato:	25.01.2013	Dybde, z (m):	27,60	Borpunkt nr.:	Le17
Forsøknr.:	8	Tegnet av:	truk	Kontrollert:	ARV
Oppdrag nr.:	415655	Tegning nr.:	RIG-TEG-082.1	Prosedyre:	CRS
				Programrevisjon:	11.12.2012



Densitet  $\rho$  (g/cm<sup>3</sup>):

2,00

Vanninnhold w (%):

27,16

Effektivt overlagringstrykk,  $\sigma'_{vo}$  (kPa):

248,95

## NVE Region midt Kvikkleiresone Leira

Kontinuerlig ødometerforsøk, CRS-rutine. Plott B:  $\sigma'_{av}$  -  $\varepsilon_a$ ,  $k$  og  $u_b/\sigma$ .

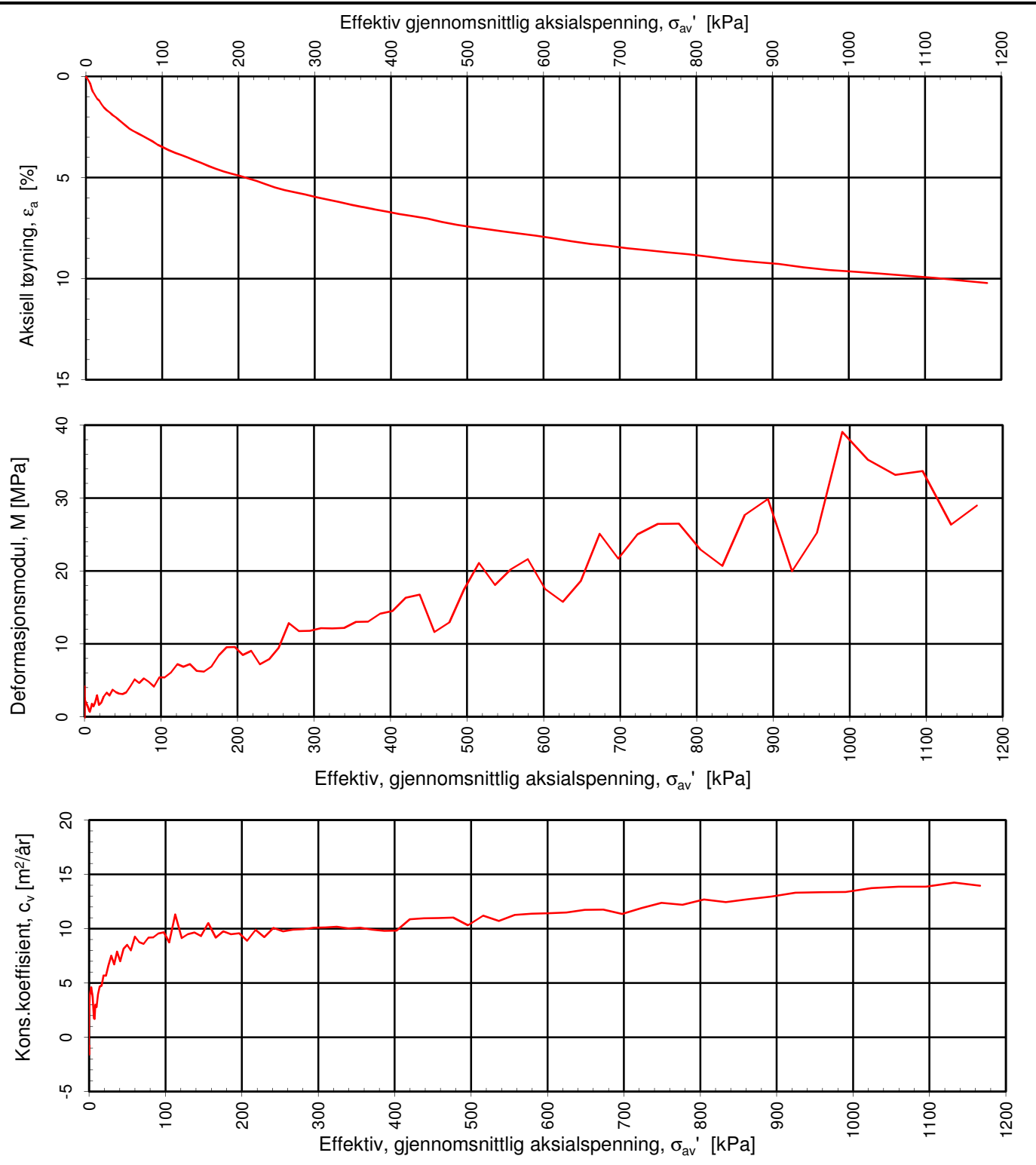
Tegningens filnavn:

415655-RIG-TEG-xxx\_hLe17, 27.6m.xlsx

**MULTICONSULT AS**  
Sluppenvegen 23,  
7486 TRONDHEIM  
Tlf.: 73 10 62 00

Forsøksdato:	25.01.2013	Dybde, z (m):	27,60	Borpunkt nr.:	Le17
Forsøknr.:	8	Tegnet av:	truk	Kontrollert:	ARV
Oppdrag nr.:	415655	Tegning nr.:	RIG-TEG-082.2	Prosedyre:	CRS
				Programrevisjon:	11.12.2012





Densitet  $\rho$  ( $g/cm^3$ ):  
Vanninnhold w (%):

**2,19**  
**15,06**

Effektivt overlagringstrykk,  $\sigma_{vo}'$  (kPa):

**410,41**

## NVE Region midt Kvikkleiresone Leira

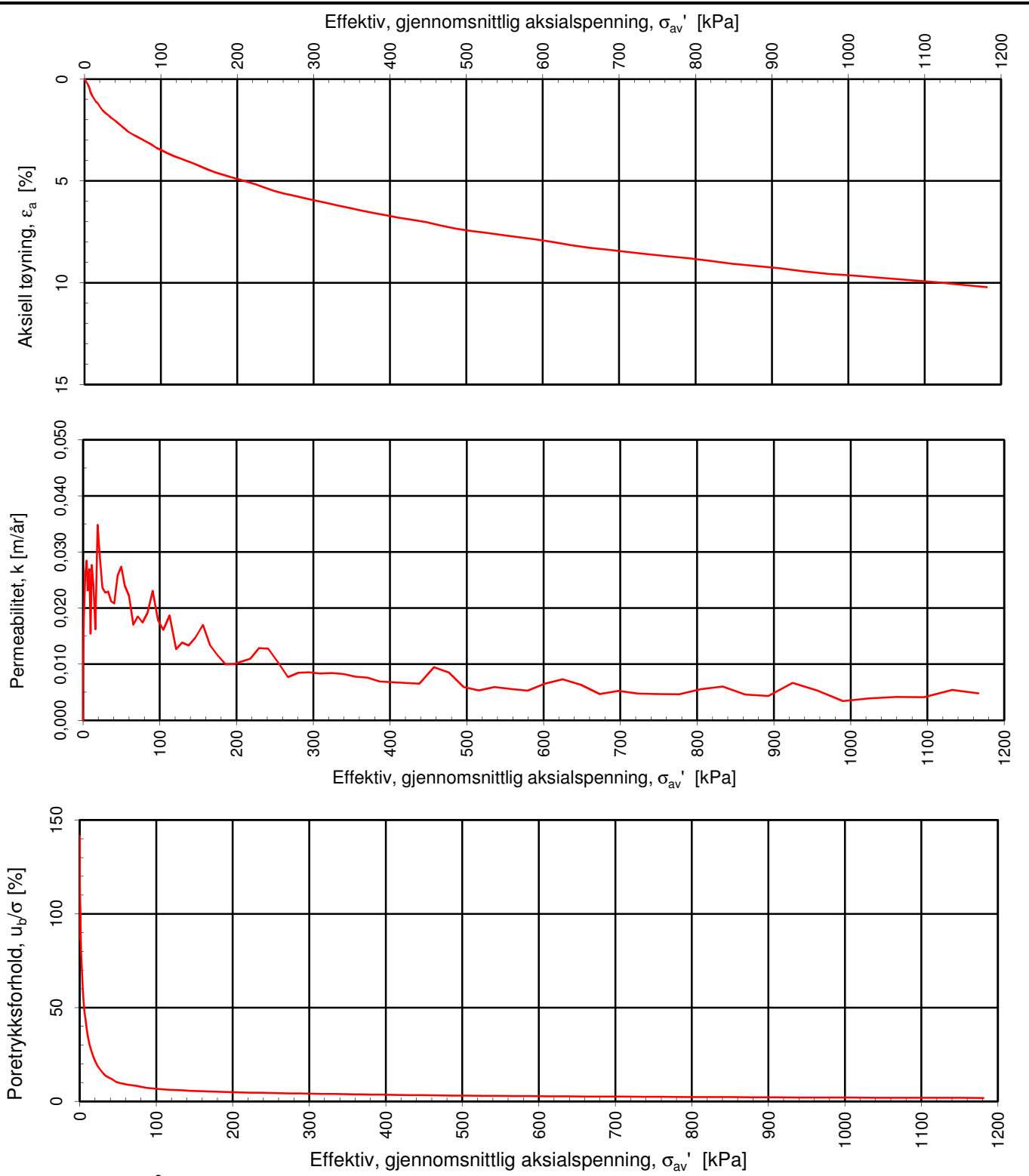
Kontinuerlig ødometerforsøk, CRS-rutine. Plott A:  $\sigma_{av}'$  -  $\varepsilon_a$ ,  $M$  og  $c_v$ .

Tegningens filnavn:  
415655-RIG-TEG\_083\_hLe17, 35.75m.xlsx



**MULTICONSULT AS**  
Sluppenvegen 23,  
7486 TRONDHEIM  
Tlf.: 73 10 62 00

Forsøksdato: 30.01.2013 Forsøknr.: 9 Oppdrag nr.: 415655	Dybde, z (m): 35,75 Tegnet av: truk	Borpunkt nr.: Le17 Kontrollert: ARV	Godkjent: OAA
	Tegning nr.: RIG-TEG-083.1	Prosedyre: CRS	Programrevision: 11.12.2012



Densitet  $\rho$  (g/cm<sup>3</sup>):

2,19

Vanninnhold w (%):

15,06

Effektivt overlagringstrykk,  $\sigma'_{vo}$  (kPa):

410,41

## NVE Region midt Kvikkleiresone Leira

Kontinuerlig ødometerforsøk, CRS-rutine. Plott B:  $\sigma'_{av}$  -  $\varepsilon_a$ ,  $k$  og  $u_b/\sigma$ .

Tegningens filnavn:

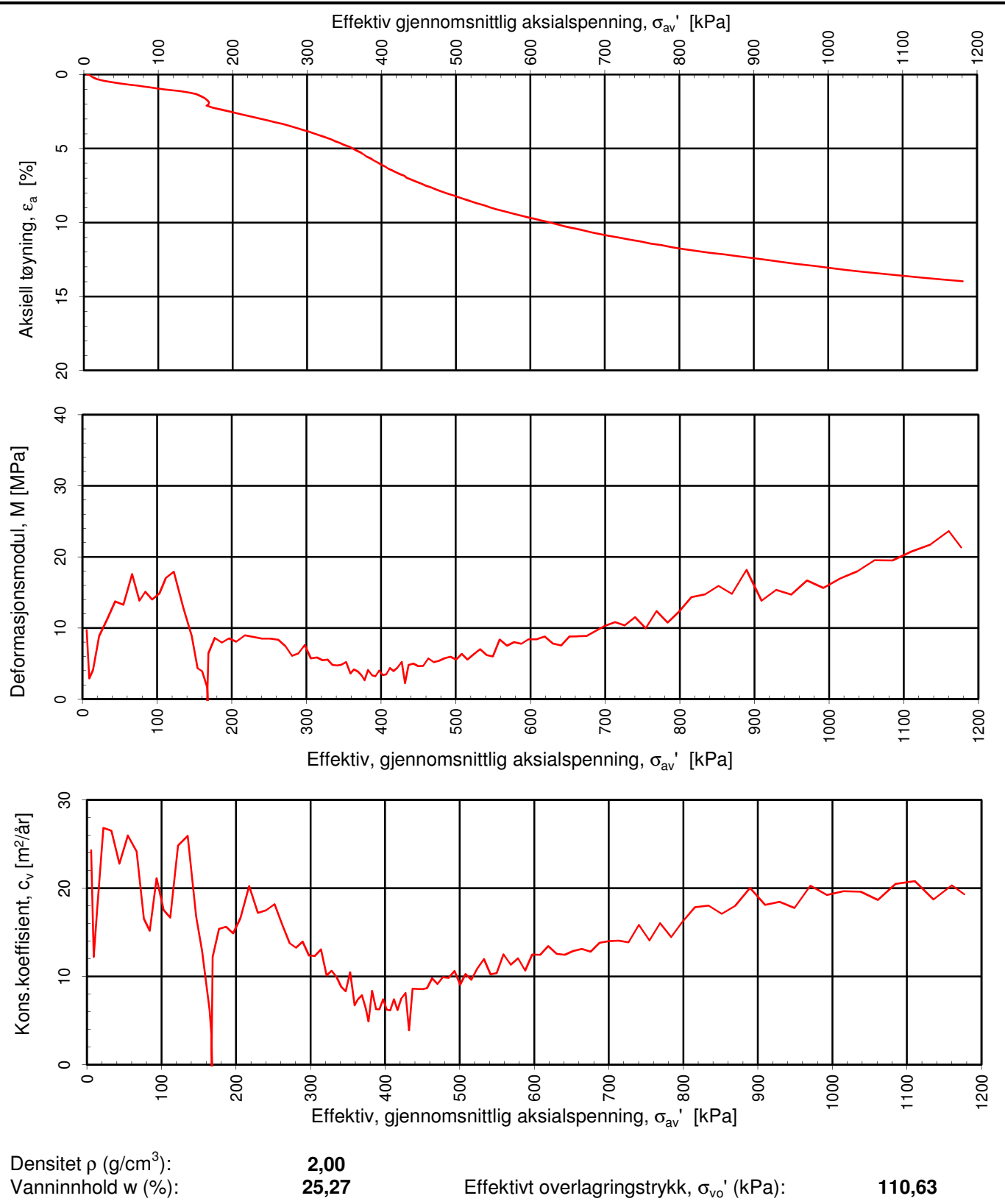
415655-RIG-TEG\_083\_hLe17, 35.75m.xlsx



**MULTICONULT AS**

Sluppenvegen 23,  
7486 TRONDHEIM  
Tlf.: 73 10 62 00

Forsøksdato:	30.01.2013	Dybde, z (m):	35,75	Borpunkt nr.:	Le17
Forsøknr.:	9	Tegnet av:	truk	Kontrollert:	ARV
Oppdrag nr.:	415655	Tegning nr.:	RIG-TEG-083.2	Prosedyre:	CRS
				Programrevisjon:	11.12.2012



Densitet  $\rho$  ( $\text{g}/\text{cm}^3$ ):  
Vanninnhold  $w$  (%):

**2,00**  
**25,27**

Effektivt overlagringstrykk,  $\sigma_{vo}'$  (kPa):

**110,63**

## NVE Region midt Kvikkleiresone Leira

Kontinuerlig ødometerforsøk, CRS-rutine. Plott A:  $\sigma_{av}' - \varepsilon_a$ ,  $M$  og  $c_v$ .

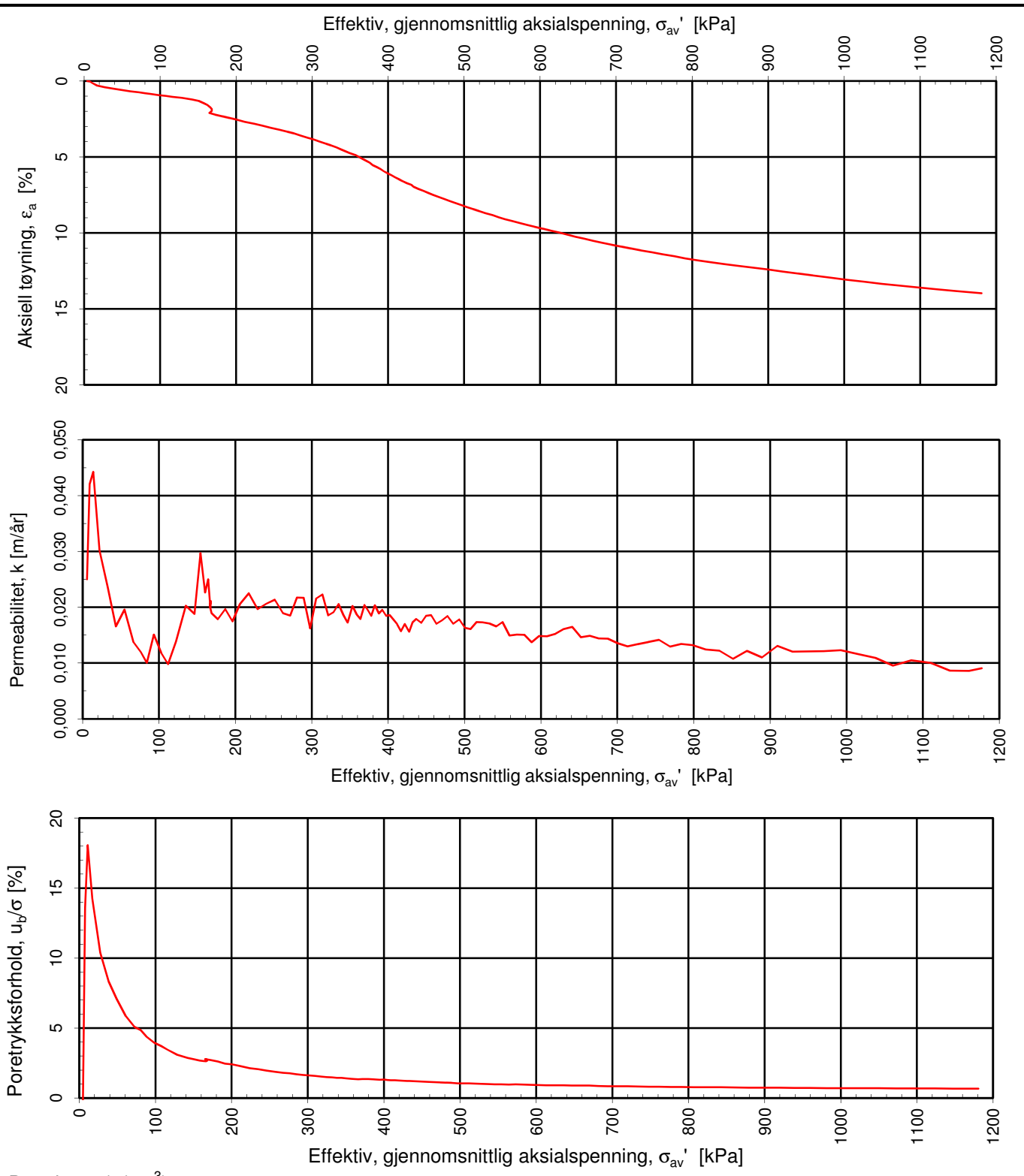
Tegningens filnavn:

415655-RIG-TEG-084\_hLe20, 11.5m.xlsx



**MULTICONULT AS**  
Sluppenvegen 23,  
7486 TRONDHEIM  
Tlf.: 73 10 62 00

Forsøksdato:	08.05.2013	Dybde, $z$ (m):	11,50	Borpunkt nr.:	Le20
Forsøknr.:	10	Tegnet av:	truk	Kontrollert:	ARV
Oppdrag nr.:	415655	Tegning nr.:	RIG-TEG-084.1	Prosedyre:	CRS
				Programrevisjon:	11.12.2012



Densitet  $\rho$  (g/cm<sup>3</sup>):

2,00

Vanninnhold w (%):

25,27

Effektivt overlagringstrykk,  $\sigma'_{vo}$  (kPa):

110,63

## NVE Region midt Kvikkleiresone Leira

Kontinuerlig ødometerforsøk, CRS-rutine. Plott B:  $\sigma'_{av}$  -  $\varepsilon_a$ ,  $k$  og  $u_b/\sigma$ .

Tegningens filnavn:

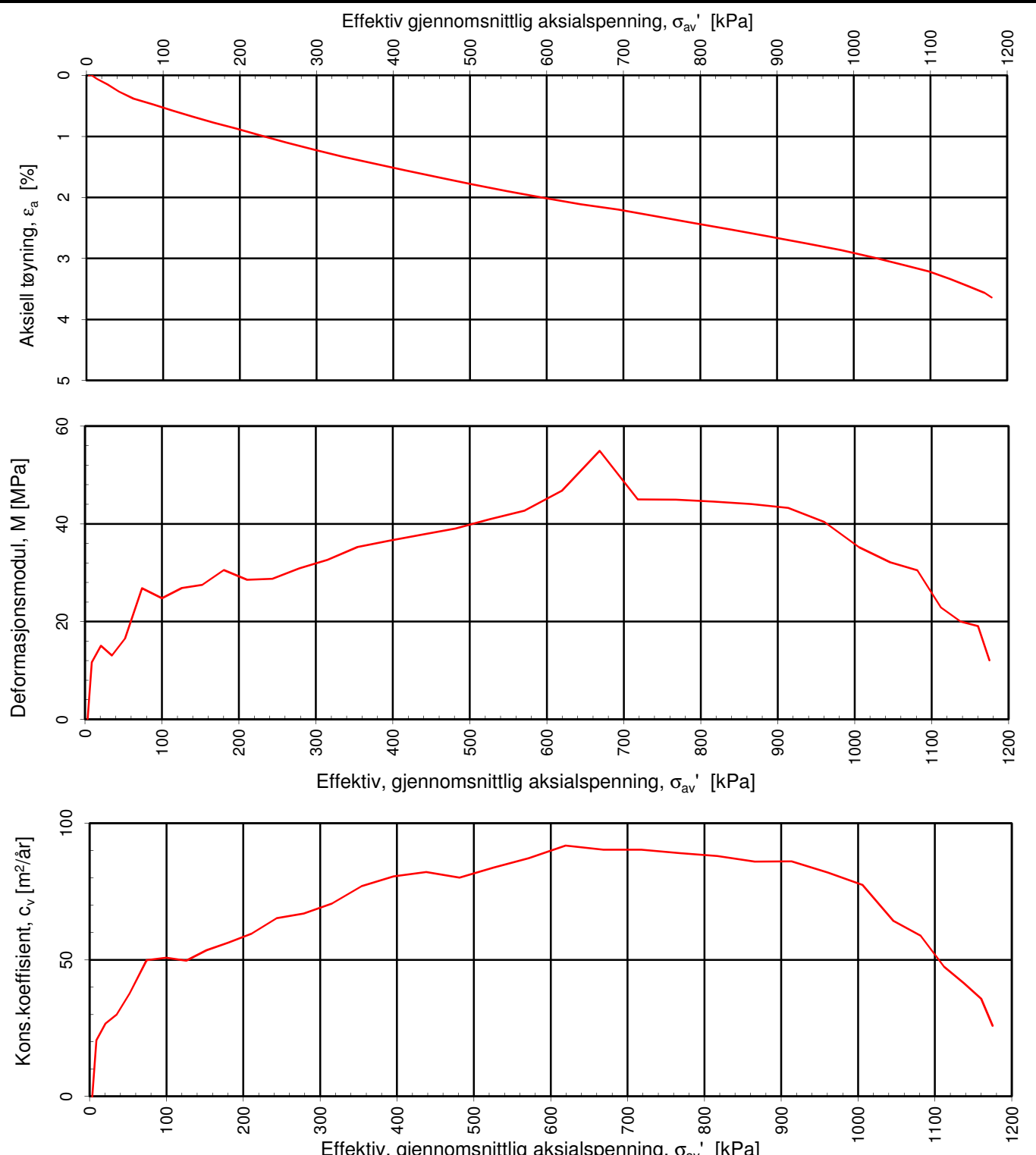
415655-RIG-TEG-084\_hLe20, 11.5m.xlsx



**MULTICONULT AS**

Sluppenvegen 23,  
7486 TRONDHEIM  
Tlf.: 73 10 62 00

Forsøksdato:	08.05.2013	Dybde, z (m):	11,50	Borpunkt nr.:	Le20
Forsøknr.:	10	Tegnet av:	truk	Kontrollert:	ARV
Oppdrag nr.:	415655	Tegning nr.:	RIG-TEG-084.2	Prosedyre:	CRS
				Programrevisjon:	11.12.2012



Densitet  $\rho$  ( $\text{g}/\text{cm}^3$ ):  
Vanninnhold  $w$  (%):

**2,03**  
**23,16**

Effektivt overlagringstrykk,  $\sigma_{vo}'$  (kPa):

**42,12**

## NVE Region midt Kvikkleiresone Leira

Kontinuerlig ødometerforsøk, CRS-rutine. Plott A:  $\sigma_{av}' - \varepsilon_a$ ,  $M$  og  $c_v$ .

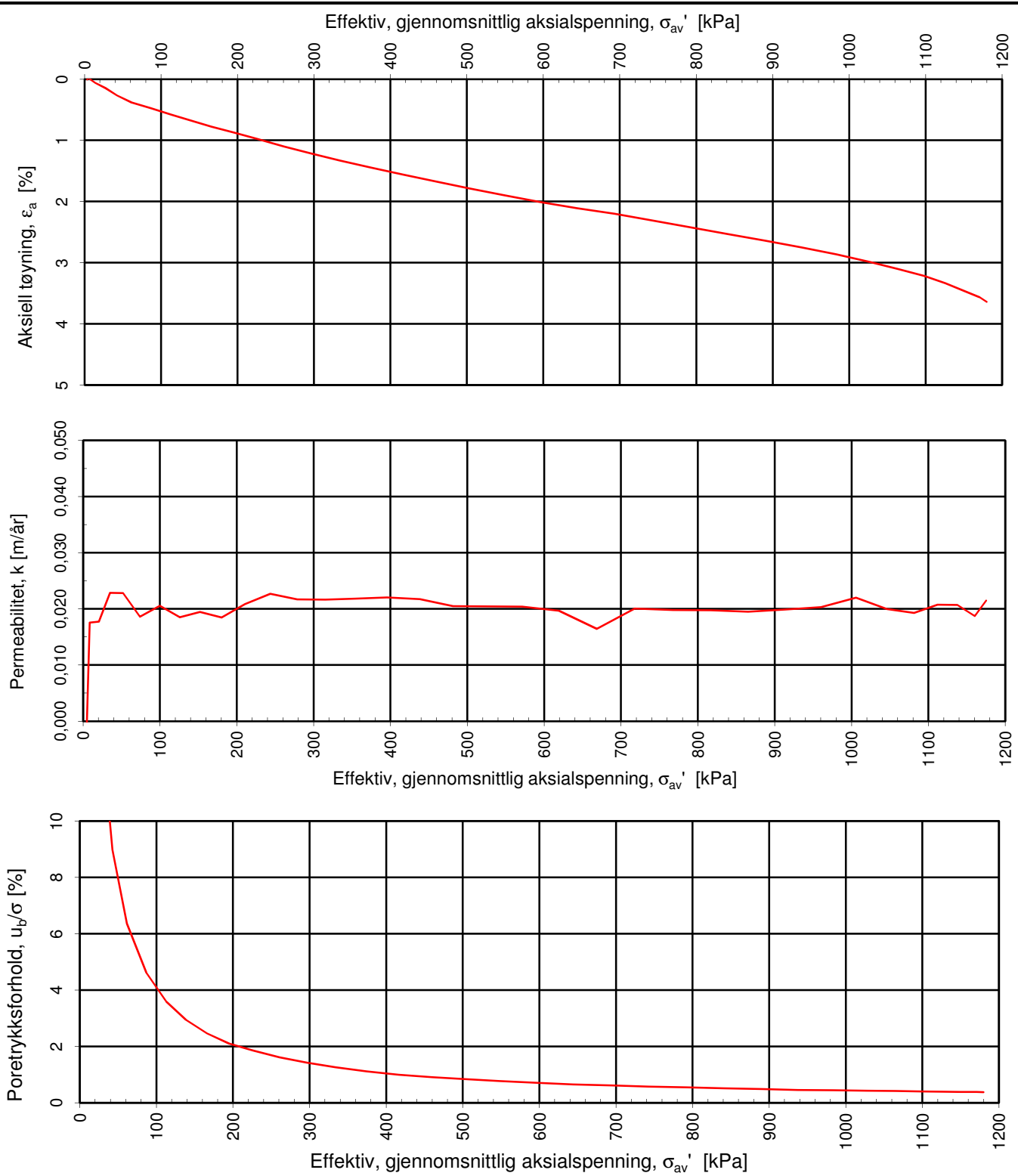
Tegningens filnavn:

415655-RIG-TEG-085\_hLe23, 4.25m.xlsx



**MULTICONULT AS**  
Sluppenvegen 23,  
7486 TRONDHEIM  
Tlf.: 73 10 62 00

Forsøksdato:	20.03.2013	Dybde, $z$ (m):	4,25	Borpunkt nr.:	Le23
Forsøknr.:	11	Tegnet av:	truk	Kontrollert:	ARV
Oppdrag nr.:	415655	Tegning nr.:	RIG-TEG-085.1	Prosedyre:	CRS
				Programrevisjon:	11.12.2012



Densitet  $\rho$  (g/cm<sup>3</sup>):

2,03

Vanninnhold w (%):

23,16

Effektivt overlagringstrykk,  $\sigma'_{vo}$  (kPa):

42,12

## NVE Region midt Kvikkleiresone Leira

Kontinuerlig ødometerforsøk, CRS-rutine. Plott B:  $\sigma'_{av}$  -  $\varepsilon_a$ ,  $k$  og  $u_b/\sigma$ .

Tegningens filnavn:

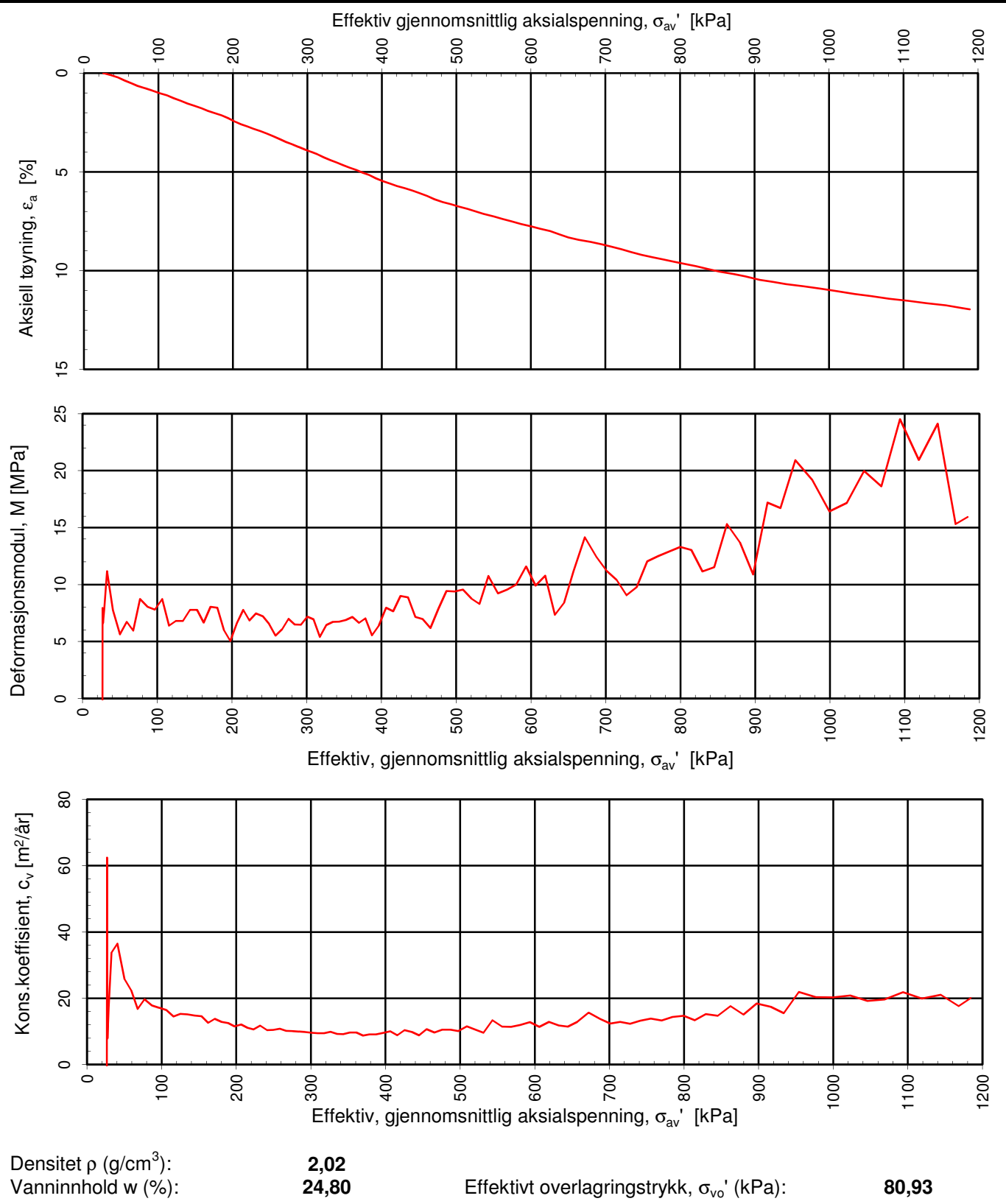
415655-RIG-TEG-085\_hLe23, 4.25m.xlsx



**MULTICONSULT AS**

Sluppenvegen 23,  
7486 TRONDHEIM  
Tlf.: 73 10 62 00

Forsøksdato:	20.03.2013	Dybde, z (m):	4,25	Borpunkt nr.:	Le23
Forsøknr.:	11	Tegnet av:	truk	Kontrollert:	ARV
Oppdrag nr.:	415655	Tegning nr.:	RIG-TEG-085.2	Prosedyre:	CRS
				Programrevisjon:	11.12.2012



Densitet  $\rho$  ( $\text{g}/\text{cm}^3$ ):  
Vanninnhold  $w$  (%):

**2,02**  
**24,80**

Effektivt overlagringstrykk,  $\sigma_{vo}'$  (kPa):

**80,93**

## NVE Region midt Kvikkleiresone Leira

Kontinuerlig ødometerforsøk, CRS-rutine. Plott A:  $\sigma_{av}' - \varepsilon_a$ ,  $M$  og  $c_v$ .

Tegningens filnavn:

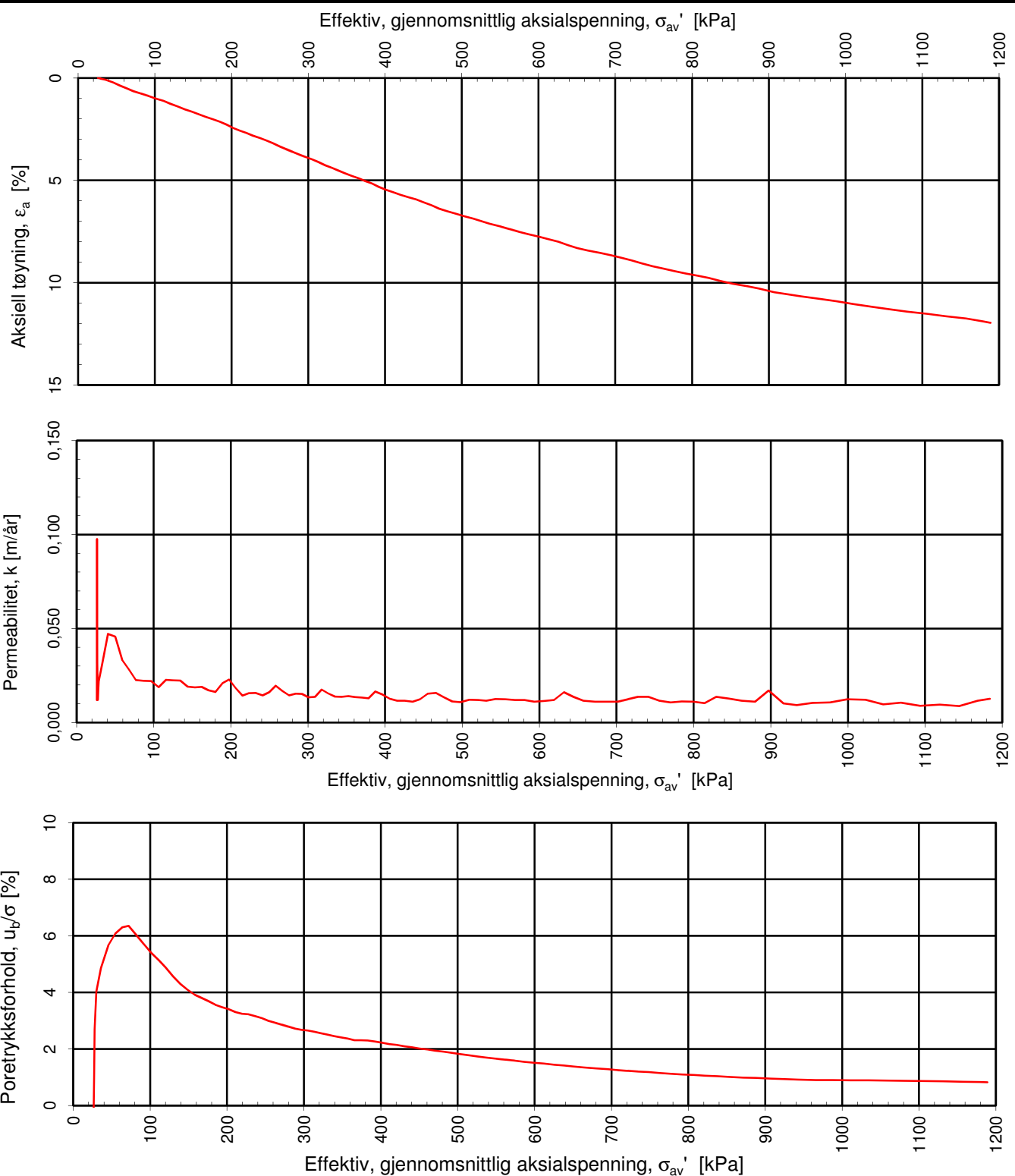
415655-RIG-TEG-086\_hLe23, 8.25m.xlsx



**MULTICONULT AS**  
Sluppenvegen 23,  
7486 TRONDHEIM  
Tlf.: 73 10 62 00

Forsøksdato:	04.04.2013	Dybde, $z$ (m):	8,25	Borpunkt nr.:	Le23
Forsøknr.:	12	Tegnet av:	truk	Kontrollert:	ARV
Oppdrag nr.:	415655	Tegning nr.:	RIG-TEG-086.1	Prosedyre:	CRS

Programrevisjon:  
11.12.2012



Densitet  $\rho$  (g/cm<sup>3</sup>):

2,02

Vanninnhold w (%):

24,80

Effektivt overlagringstrykk,  $\sigma'_{vo}$  (kPa):

80,93

## NVE Region midt Kvikkleiresone Leira

Kontinuerlig ødometerforsøk, CRS-rutine. Plott B:  $\sigma'_{av}$  -  $\varepsilon_a$ ,  $k$  og  $u_b/\sigma$ .

Tegningens filnavn:

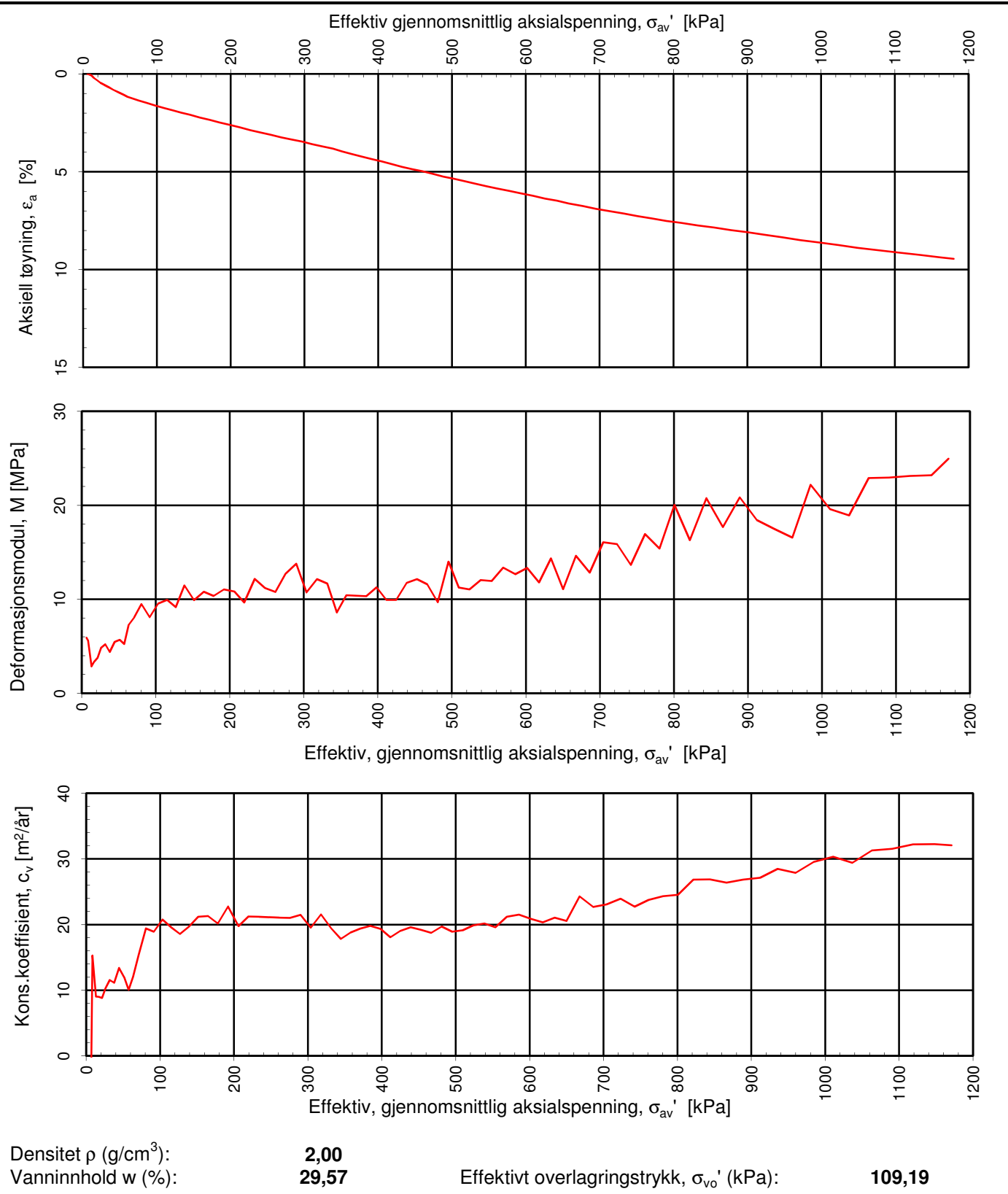
415655-RIG-TEG-086\_hLe23, 8.25m.xlsx



**MULTICONSULT AS**

Sluppenvegen 23,  
7486 TRONDHEIM  
Tlf.: 73 10 62 00

Forsøksdato:	04.04.2013	Dybde, z (m):	8,25	Borpunkt nr.:	Le23
Forsøknr.:	12	Tegnet av:	truk	Kontrollert:	ARV
Oppdrag nr.:	415655	Tegning nr.:	RIG-TEG-086.2	Prosedyre:	CRS
				Programrevisjon:	11.12.2012



Densitet  $\rho$  ( $\text{g}/\text{cm}^3$ ):  
Vanninnhold  $w$  (%):

**2,00**  
**29,57**

Effektivt overlagringstrykk,  $\sigma_{vo}'$  (kPa):

**109,19**

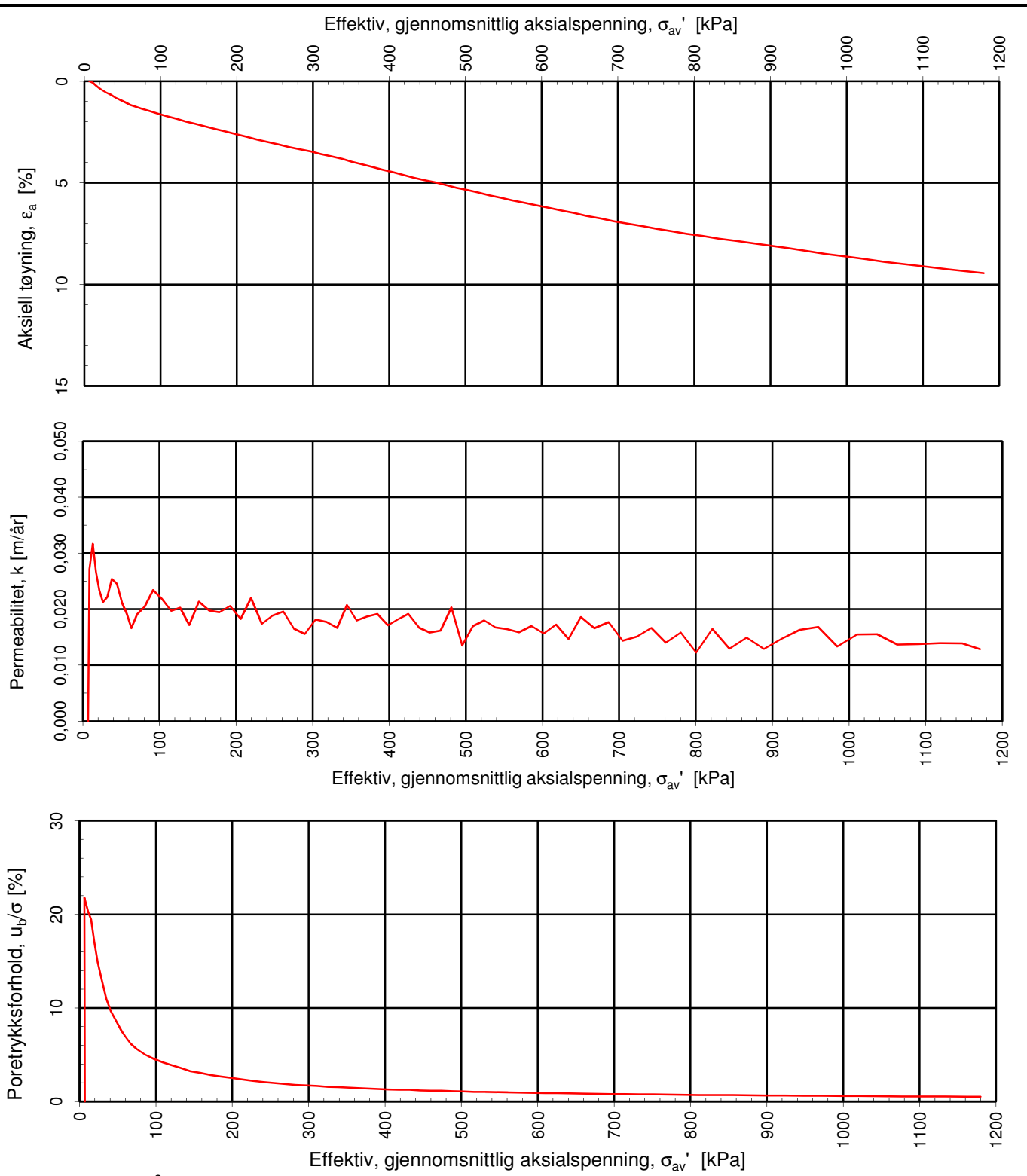
## NVE Region midt Kvikkleiresone Leira

Kontinuerlig ødometerforsøk, CRS-rutine. Plott A:  $\sigma_{av}' - \varepsilon_a$ ,  $M$  og  $c_v$ .

Tegningens filnavn:  
415655-RIG\_TEG-0867\_hLe25, 11.35m.xlsx



<b>MULTICONSULT AS</b> Sluppenvegen 23, 7486 TRONDHEIM Tlf.: 73 10 62 00	Forsøksdato:	21.03.2013	Dybde, $z$ (m):	11,35	Borpunkt nr.:	Le25	Godkjent: <b>OAA</b>
	Forsøknr.:	13	Tegnet av:	truk	Kontrollert:	ARV	
	Oppdrag nr.:	415655	Tegning nr.:	RIG-TEG-087.1	Prosedyre:	CRS	



Densitet  $\rho$  (g/cm<sup>3</sup>):

2,00

Vanninnhold w (%):

29,57

Effektivt overlagringstrykk,  $\sigma'_{vo}$  (kPa):

109,19

## NVE Region midt Kvikkleiresone Leira

Kontinuerlig ødometerforsøk, CRS-rutine. Plott B:  $\sigma'_{av}$  -  $\varepsilon_a$ ,  $k$  og  $u_b/\sigma$ .

Tegningens filnavn:

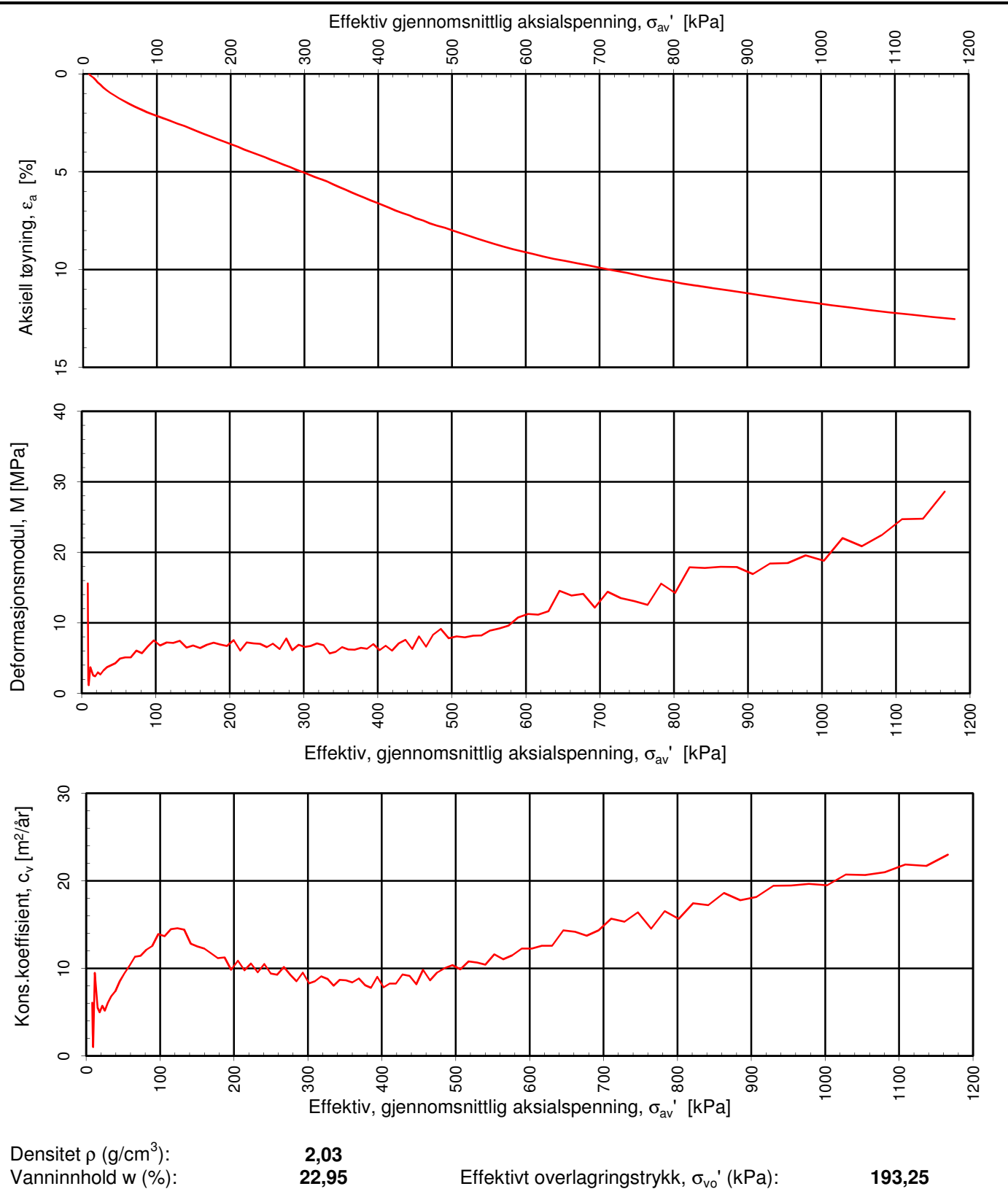
415655-RIG\_TEG-0867\_hLe25, 11.35m.xls



**MULTICONSULT AS**

Sluppenvegen 23,  
7486 TRONDHEIM  
Tlf.: 73 10 62 00

Forsøksdato:	21.03.2013	Dybde, z (m):	11,35	Borpunkt nr.:	Le25
Forsøknr.:	13	Tegnet av:	truk	Kontrollert:	ARV
Oppdrag nr.:	415655	Tegning nr.:	RIG-TEG-087.2	Prosedyre:	CRS
				Programrevisjon:	11.12.2012



Densitet  $\rho$  ( $\text{g}/\text{cm}^3$ ):  
Vanninnhold  $w$  (%):

**2,03**  
**22,95**

Effektivt overlagringstrykk,  $\sigma_{vo}'$  (kPa):

**193,25**

## NVE Region midt Kvikkleiresone Leira

Kontinuerlig ødometerforsøk, CRS-rutine. Plott A:  $\sigma_{av}'$  -  $\varepsilon_a$ , M og  $c_v$ .

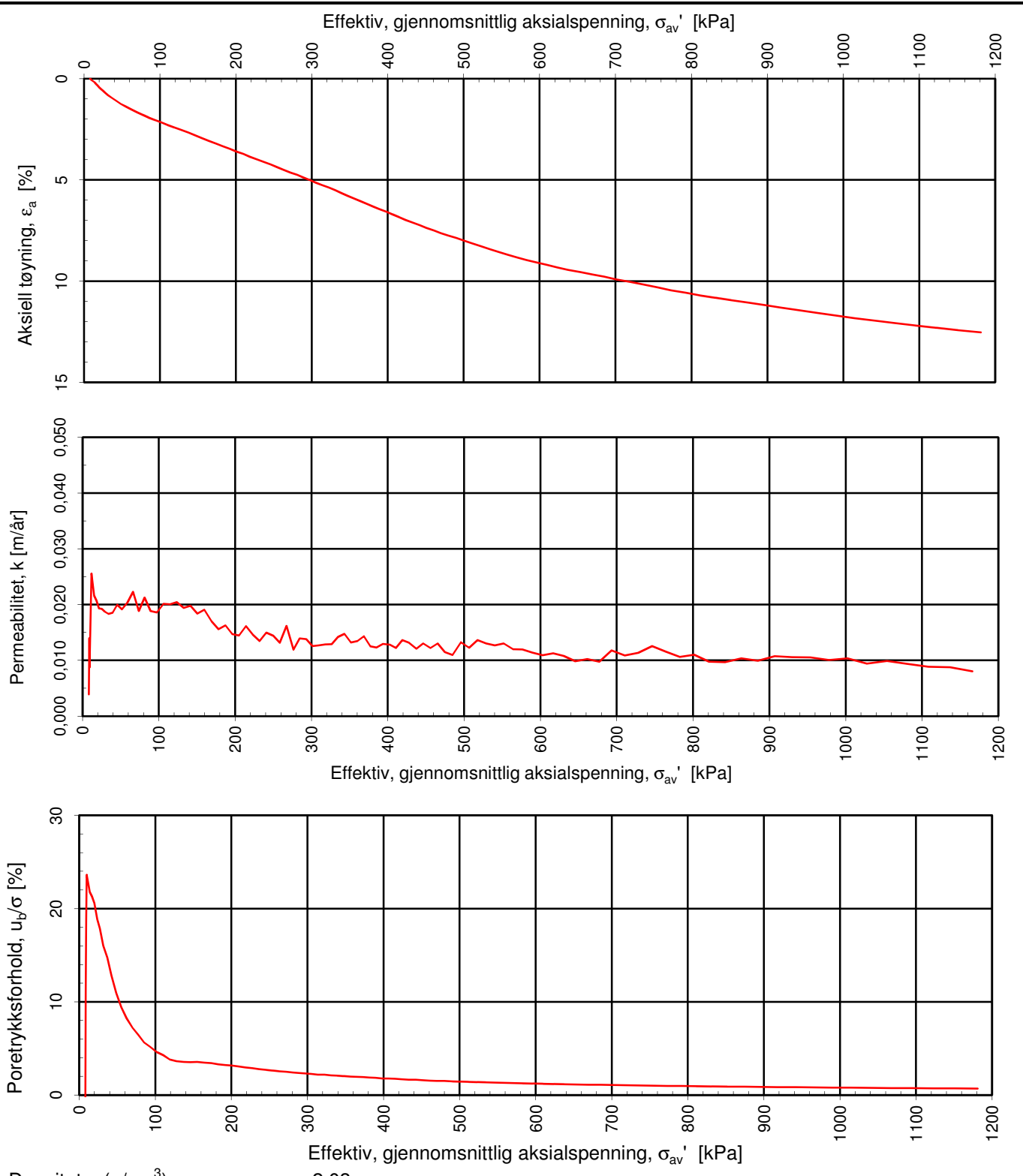
Tegningens filnavn:

415655-RIG-TEG-088\_HLe25, 19.5m.xlsx



**MULTICONULT AS**  
Sluppenvegen 23,  
7486 TRONDHEIM  
Tlf.: 73 10 62 00

Forsøksdato:	04.04.2013	Dybde, z (m):	19,50	Borpunkt nr.:	Le25
Forsøknr.:	14	Tegnet av:	truk	Kontrollert:	ARV
Oppdrag nr.:	415655	Tegning nr.:	RIG-TEG-088.1	Prosedyre:	CRS
				Programrevisjon:	11.12.2012



Densitet  $\rho$  (g/cm<sup>3</sup>):

2,03

Vanninnhold w (%):

22,95

Effektivt overlagringstrykk,  $\sigma_{vo}'$  (kPa):

193,25

## NVE Region midt Kvikkleiresone Leira

Kontinuerlig ødometerforsøk, CRS-rutine. Plott B:  $\sigma_{av}' - \varepsilon_a$ ,  $k$  og  $u_b/\sigma$ .

Tegningens filnavn:

415655-RIG-TEG-088\_HLe25, 19.5m.xlsx



**MULTICONULT AS**

Sluppenvegen 23,  
7486 TRONDHEIM  
Tlf.: 73 10 62 00

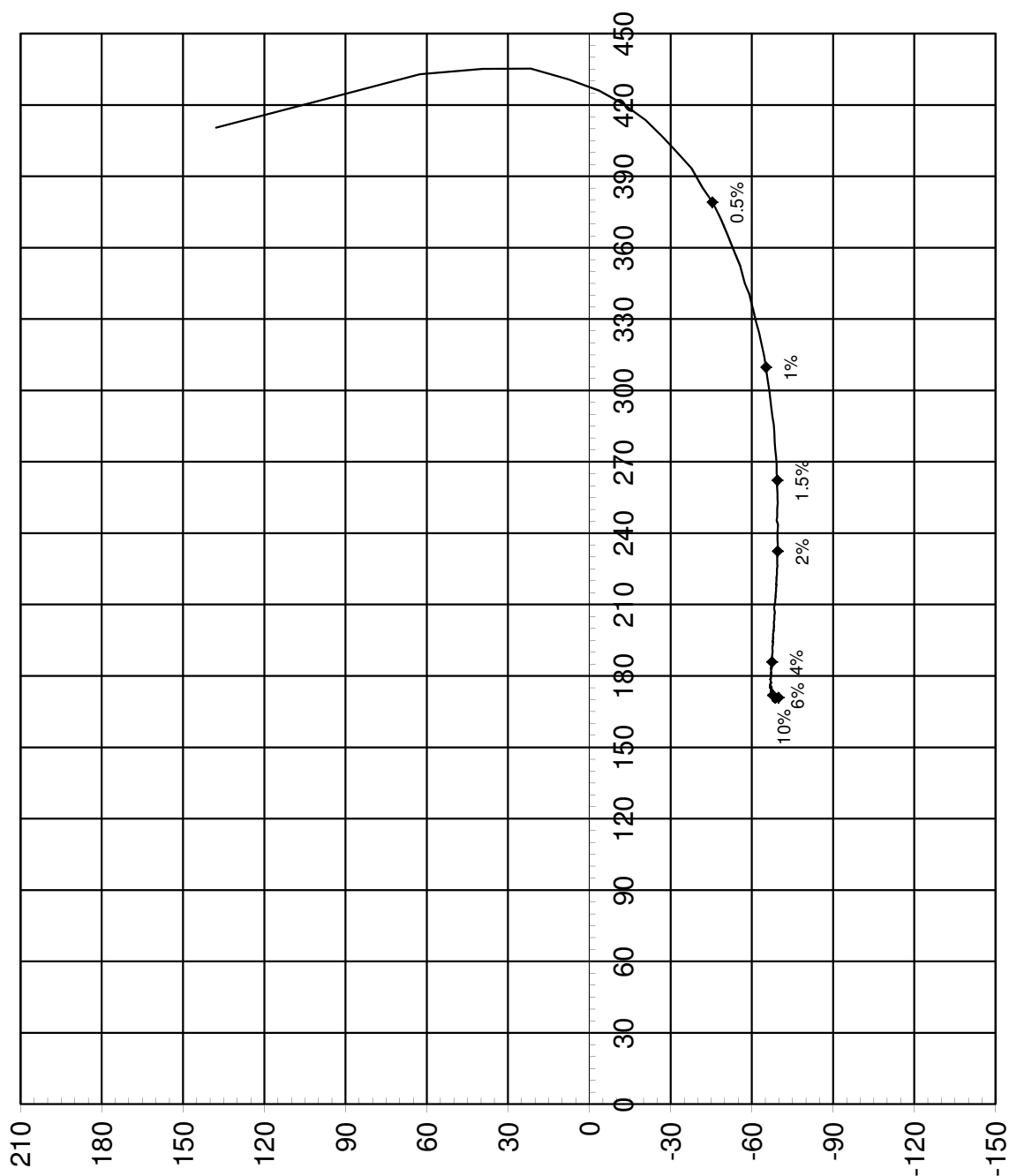
Forsøksdato: 04.04.2013 Dybde, z (m): 19,50 Borpunkt nr.: Le25

Forsøknr.: 14 Tegnet av: truk Kontrollert: ARV Godkjent:

Oppdrag nr.: 415655 Tegning nr.: RIG-TEG-088.2 Prosedyre: CRS Programrevision:

11.12.2012

Effektiv radiell spenning,  $\sigma'_r$  [kPa]



$$\text{Maks. skjærspenning, } \tau_{\max} = (\sigma'_a - \sigma'_r)/2 \text{ [kPa]}$$

Konsolideringsspenning, aksial:	$\sigma'_{ac}$ (kPa):	686,01
Konsolideringsspenning, radial:	$\sigma'_{rc}$ (kPa):	410,48
Volumtøyning i konsolideringsfase:	$\varepsilon_{vol}$ (%) = $\Delta V/V_0$ :	4,30
Baktrykk $u_b$ (kPa):	B - verdi = $\Delta u/\Delta \sigma_c$ (-):	0,64
Vanninnhold $w_i$ (%):	Densitet $\rho_i$ (g/cm <sup>3</sup> ):	2,12

NVE Region midt

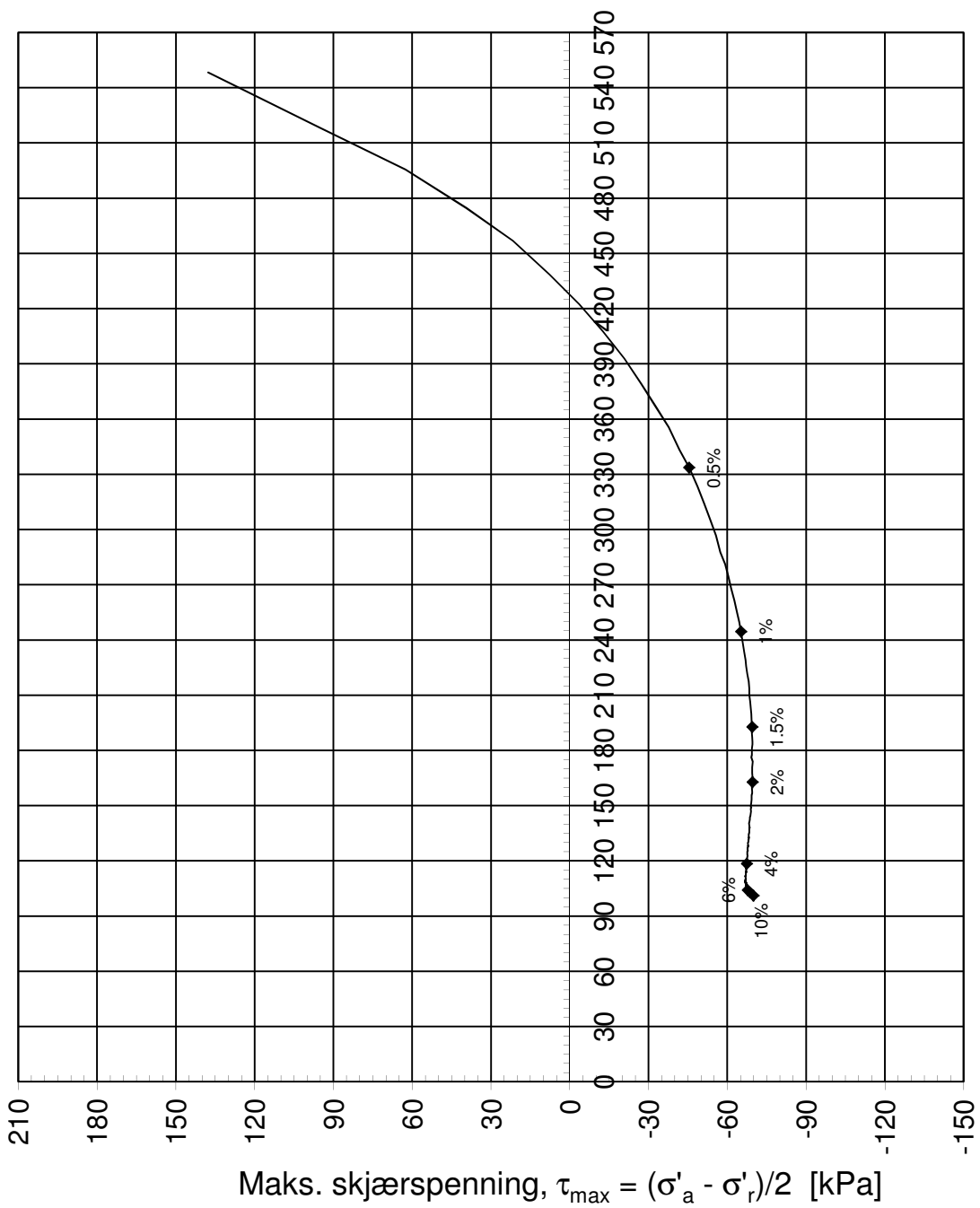
Tegningens filnavn:  
415655-RIG-TEG-090\_hLe6, 35.25m.xlsx

Kvikkleiresone Leira

Treaksialforsøk. Deviatorspenningssti. NTNU-plott.



<b>MULTICONsULT AS</b> Sluppenvegen 23, 7486 TRONDHEIM Tlf.: 73 10 62 00 Faks: 73 10 62 30	Forsøksdato:	Dybde, z (m):	Borpunkt nr.:
	04.02.2013	35,25	Le6
	Forsøk nr.:	Tegnet:	Kontrollert:
	1	kjt / truk	ARV
	Oppdrag nr.:	Tegning nr.:	Godkjent:
	415655	RIG-TEG-090.1	OAA
			Programrevisjon:
			02.02.2011



Konsolideringsspenning, aksial:	$\sigma'_{ac}$ (kPa):	686,01
Konsolideringsspenning, radial:	$\sigma'_{rc}$ (kPa):	410,48
Volumtøyning i konsolideringsfasen:	$\varepsilon_{vol}$ (%) = $\Delta V/V_0$ :	4,30
Baktrykk $u_b$ (kPa):	$B$ - verdi = $\Delta u/\Delta \sigma_c$ (-):	0,64
Vanninnhold $w_i$ (%):	Densitet $\rho_i$ (g/cm <sup>3</sup> ):	2,12

### NVE Region midt

### Kvikkleiresone Leira

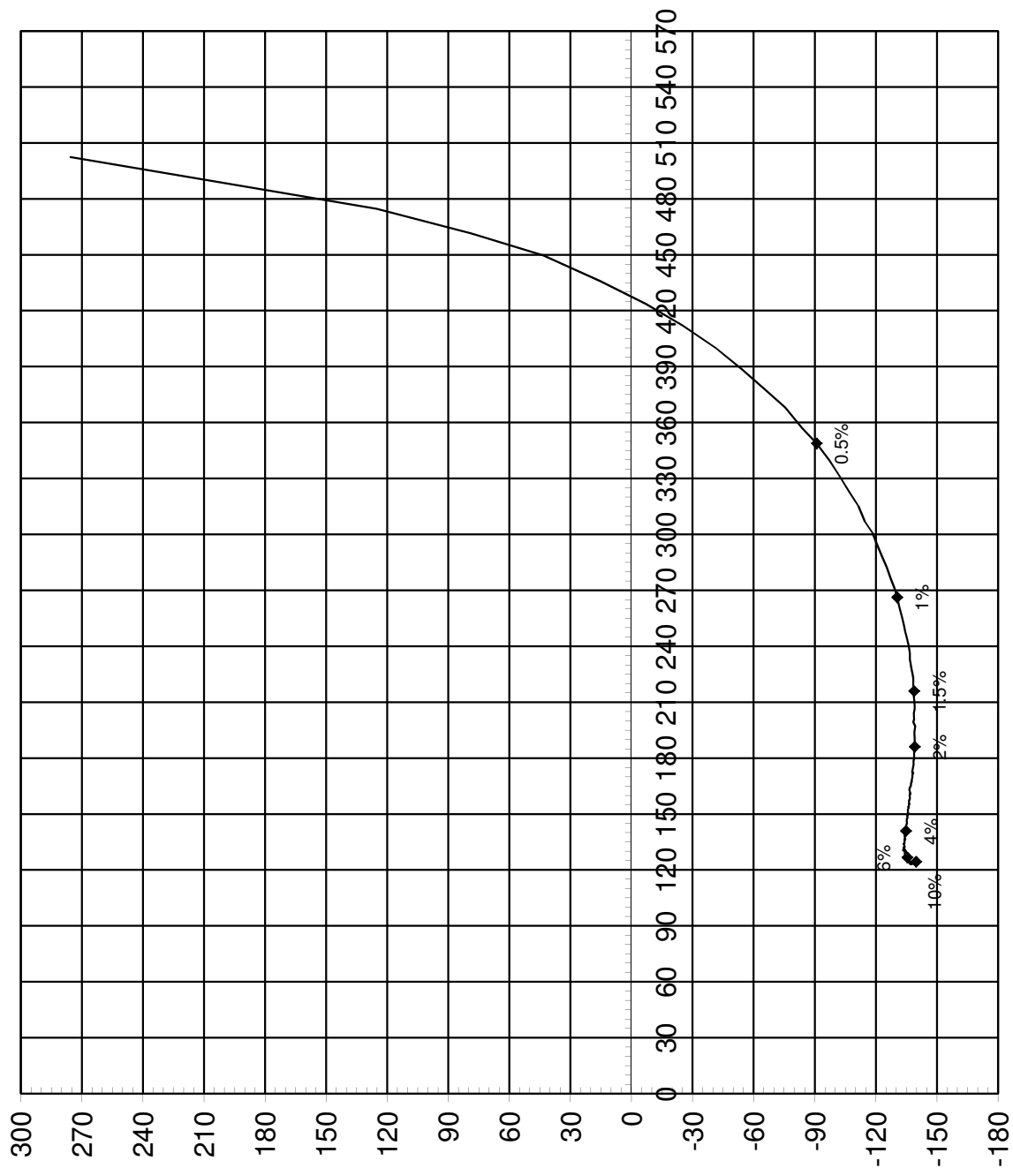
Treaksialforsøk. Deviatorspenningssti. NGI-plott.

<b>MULTICONULT AS</b> Sluppenvegen 23, 7486 TRONDHEIM Tlf.: 73 10 62 00 Faks: 73 10 62 30	Forsøksdato: 04.02.2013	Dybde, z (m): 35,25	Borpunkt nr.: Le6
	Forsøk nr.: 1	Tegnet: kjø / truk	Kontrollert: ARV
	Oppdrag nr.: 415655	Tegning nr.: RIG-TEG-090.2	Godkjent: OAA
		Prosedyre: CAUp	Programrevisjon: 02.02.2011

Tegningens filnavn:

415655-RIG-TEG-090\_hLe6, 35.25m.xlsx





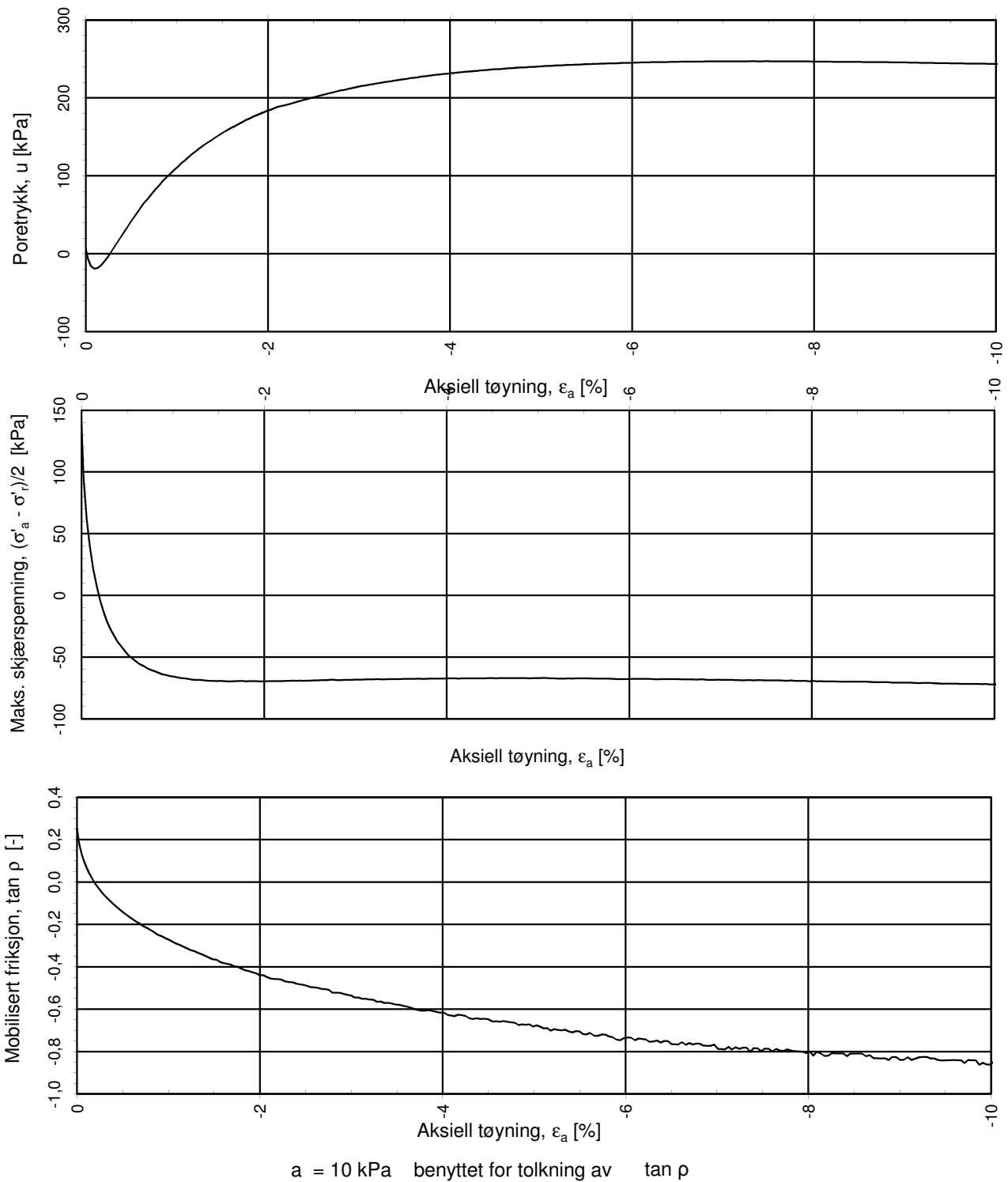
Konsolideringsspenning, aksial:  $\sigma'_{ac}$  (kPa): 686,01  
 Konsolideringsspenning, radial:  $\sigma'_{rc}$  (kPa): 410,48  
 Volumtøyning i konsolideringsfase:  $\varepsilon_{vol}$  (%) =  $\Delta V/V_0$ : 4,30  
 Baktrykk  $u_b$  (kPa): 400  $B$  - verdi =  $\Delta u/\Delta\sigma_c$  (-): 0,64  
 Vanninnhold  $w_i$  (%): 21,69 Densitet  $\rho_i$  (g/cm<sup>3</sup>): 2,12

### NVE Region midt

#### Kvikkleiresone Leira

Treaksialforsøk. Deviatorspenningssti. q - p'- plott.

<b>MULTICONSULT AS</b> Sluppenvegen 23, 7486 TRONDHEIM Tlf.: 73 10 62 00 Faks: 73 10 62 30	Forsøksdato: 04.02.2013	Dybde, z (m): 35,25	Borpunkt nr.: Le6	Tegningens filnavn: 415655-RIG-TEG-090_hLe6, 35,25m.xlsx
	Forsøk nr.: 1	Tegnet: kjø / truk	Kontrollert: ARV	
	Oppdrag nr.: 415655	Tegning nr.: RIG-TEG-090.3	Prosedyre: CAUp	



**NVE Region midt**

**Kvikkleiresone Leira**

Treaksialforsøk. Poretrykks- og mobiliseringsforløp.

Tegningens filnavn:

415655-RIG-TEG-090\_hLe6, 35.25m.xlsx



**MULTICONSULT AS**

Sluppenvegen 23,  
7486 TRONDHEIM  
Tlf.: 73 10 62 00  
Faks: 73 10 62 30

Forsøksdato:  
04.02.2013

Dybde,  $z$  (m):  
35,25

Borpunkt nr.:  
Le6

Forsøk nr.:  
1

Tegnet:  
kjt / truk

Kontrollert:  
ARV

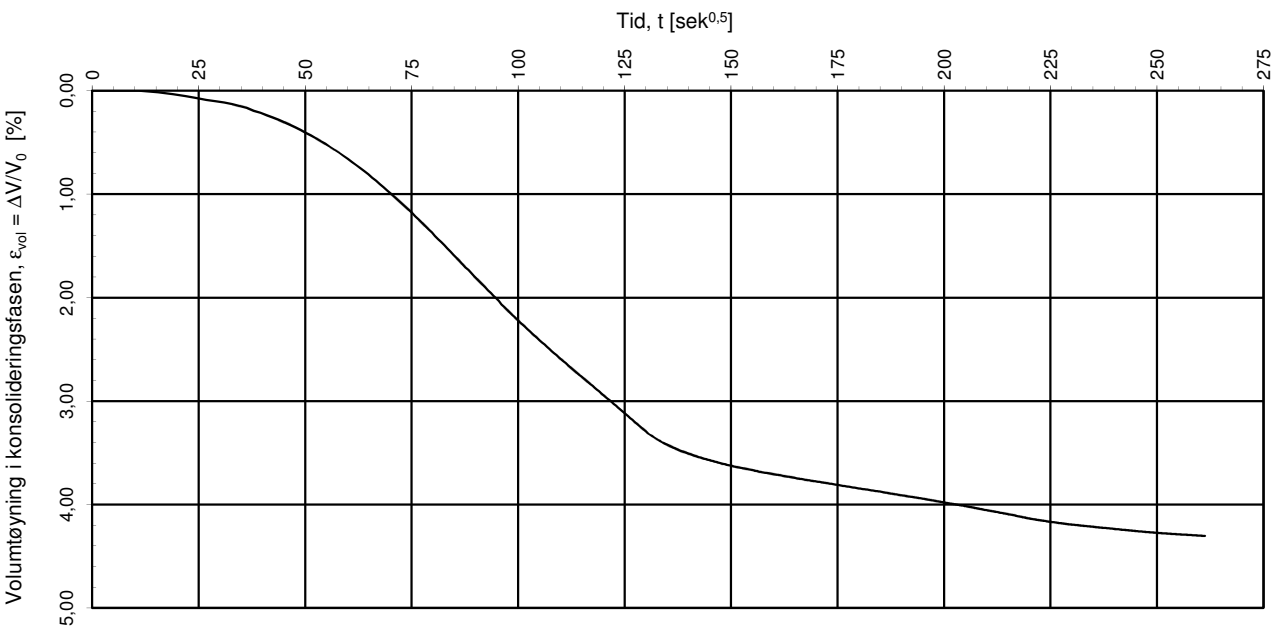
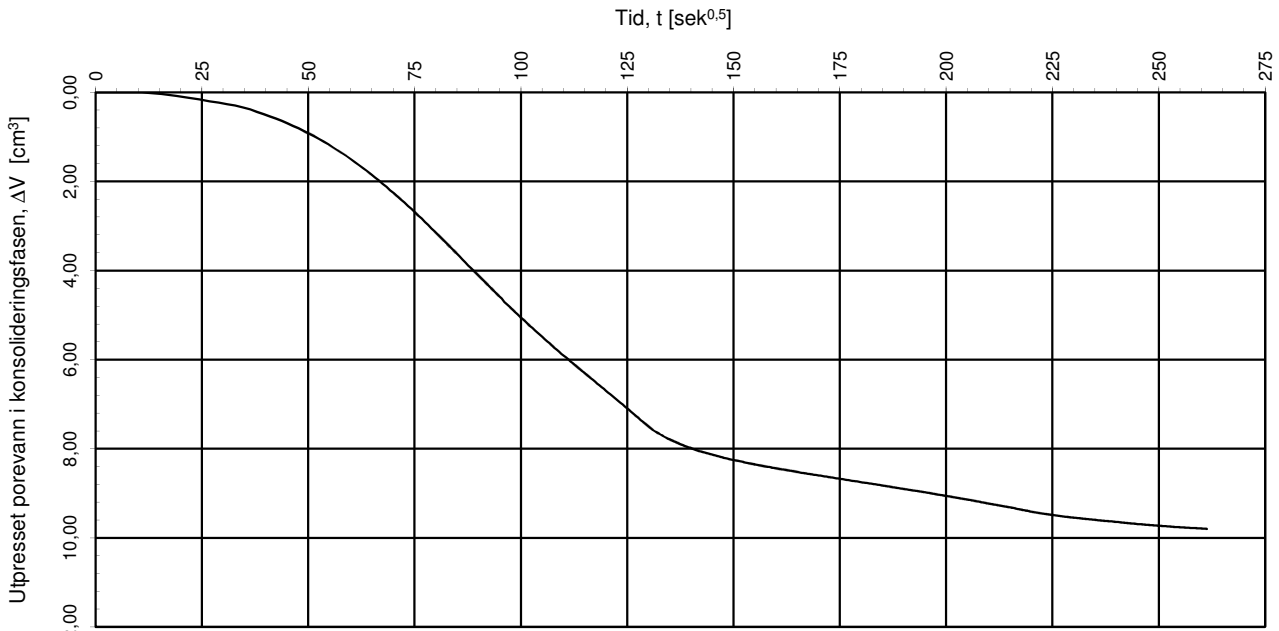
Godkjent:  
OAA

Oppdrag nr.:  
415655

Tegning nr.:  
RIG-TEG-090.4

Prosedyre:  
CAUp

Programrevisjon:  
02.02.2011



Konsolideringsspenning, aksial:

$\sigma'_{ac}$  (kPa): 686,01

Konsolideringsspenning, radial:

$\sigma'_{rc}$  (kPa): 410,48

Volumtøyning i konsolideringsfase:

$\epsilon_{vol}$  (%):  $\Delta V/V_0$ : 4,30

Baktrykk  $u_b$  (kPa): 400

B - verdi =  $\Delta u/\Delta\sigma_c$  (-): 0,64

Vanninnhold  $w_i$  (%): 21,69

Densitet  $\rho_i$  (g/cm<sup>3</sup>): 2,12

**NVE Region midt**

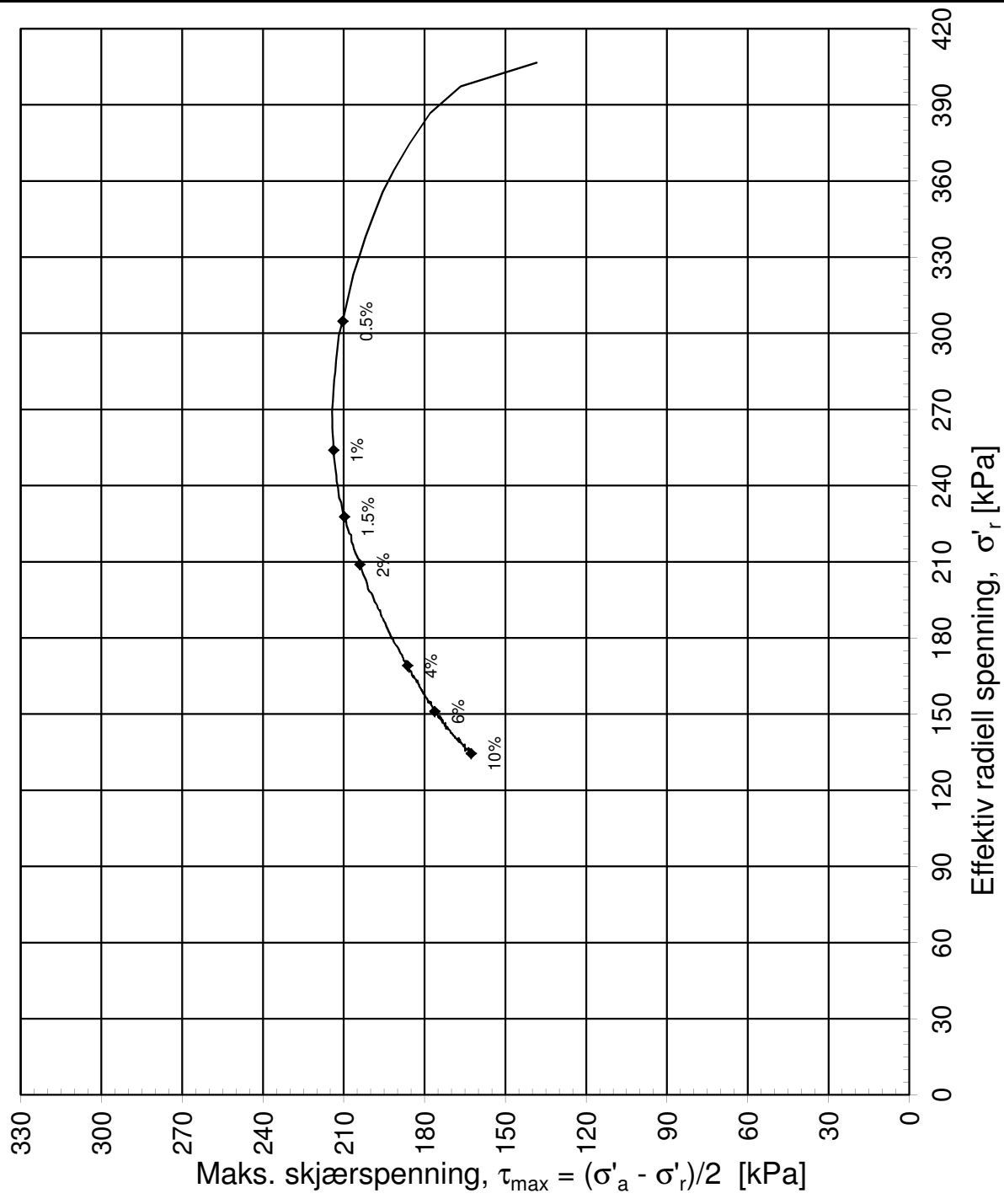
**Kvikkleiresone Leira**

Treaksialforsøk. Vannutpressing - tid, konsolideringsfase.

Tegningens filnavn:  
415655-RIG-TEG-090\_hLe6, 35,25m.xlsx



<b>MULTICONSULT AS</b> Sluppenvegen 23, 7486 TRONDHEIM Tlf.: 73 10 62 00 Faks: 73 10 62 30	Forsøksdato:	Dybde, z (m):	Borpunkt nr.:
	04.02.2013	35,25	Le6
	Forsøk nr.:	Tegnet:	Kontrollert:
	1	kjt / truk	ARV
	Oppdrag nr.:	Tegning nr.:	Godkjent:
	415655	RIG-TEG-090.5	OAA
			Programrevisjon:
			02.02.2011



Konsolideringsspenning, aksial:

$\sigma'_{ac}$  (kPa): 683,32

Konsolideringsspenning, radial:

$\sigma'_{rc}$  (kPa): 406,54

Volumtøyning i konsolideringsfase:

$\varepsilon_{vol}$  (%) =  $\Delta V/V_0$ : 4,34

Baktrykk  $u_b$  (kPa):

400 B - verdi =  $\Delta u/\Delta \sigma_c$  (-): 0,64

Vanninnhold  $w_i$  (%):

25,20 Densitet  $\rho_i$  (g/cm³): 2,10

**NVE Region midt**

Tegningens filnavn:

451655-RIG-TEG-091\_hLe6, 35.4m.xlsx

**Kvikkleiresone Leira**

Treaksialforsøk. Deviatorspenningssti. NTNU-plott.

**MULTICONULT AS**

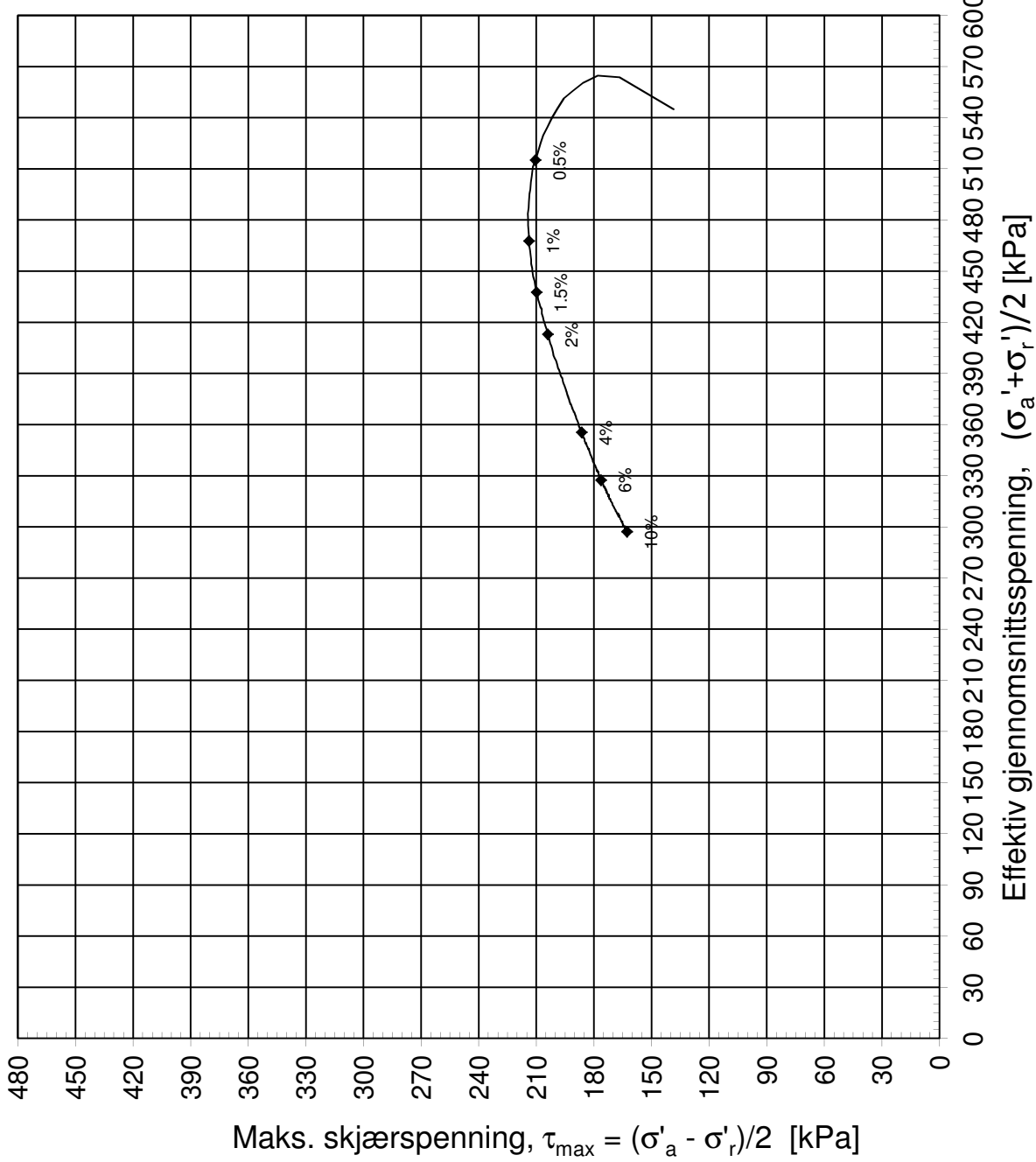
Sluppenvegen 23,  
7486 TRONDHEIM  
Tlf.: 73 10 62 00  
Faks: 73 10 62 30

Forsøksdato: 04.02.2013 Dybde, z (m): 35,40 Borpunkt nr.: Le6

Forsøk nr.: 2 Tegnet: kjt / truk Kontrollert: ARV Godkjent:

Oppdrag nr.: 415655 Tegning nr.: RIG-TEG-091.1 Prosedyre: CAUa Programrevisjon:





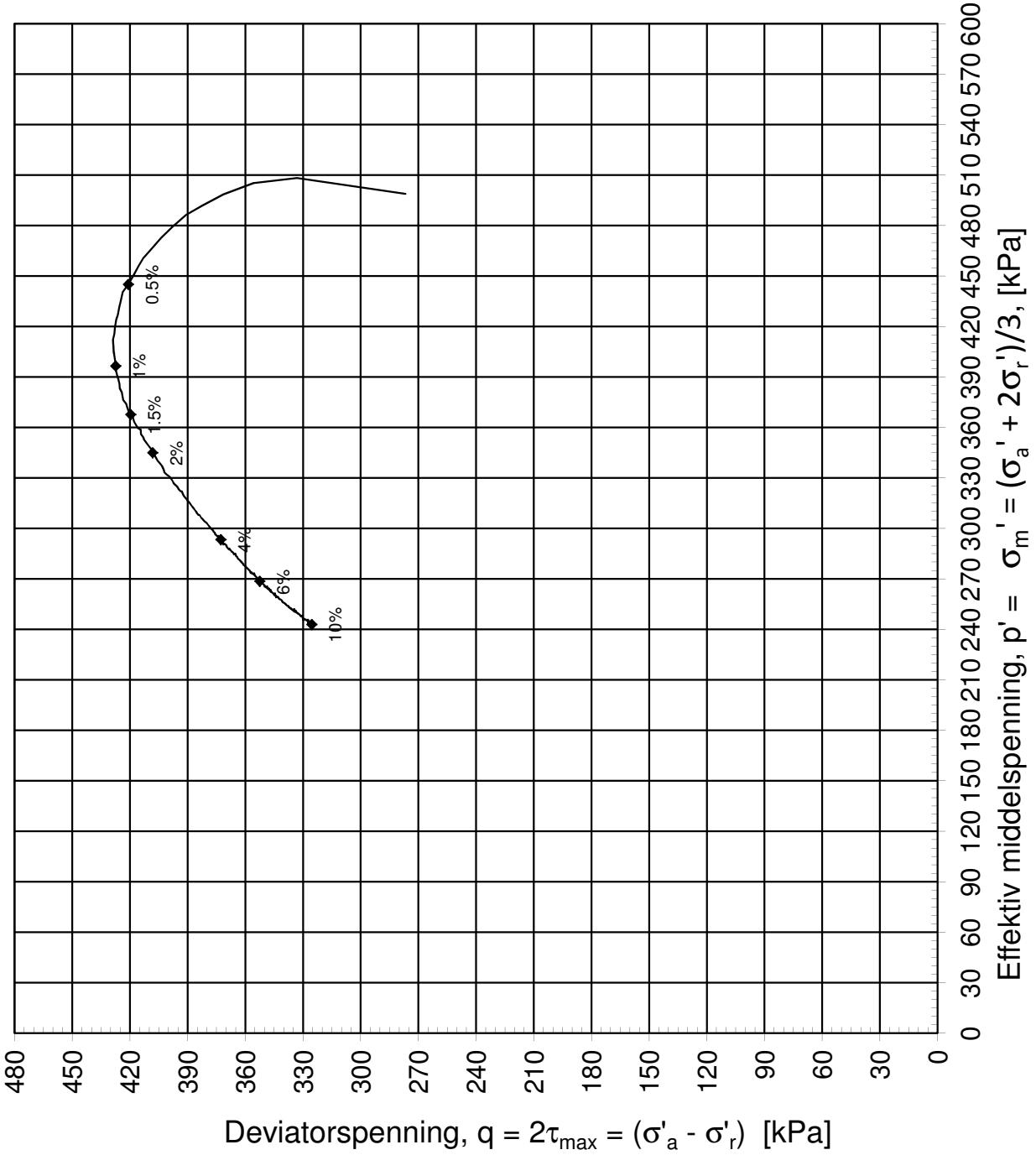
Konsolideringsspenning, aksial:	$\sigma'_{ac}$ (kPa):	683,32
Konsolideringsspenning, radial:	$\sigma'_{rc}$ (kPa):	406,54
Volumtøyning i konsolideringsfase:	$\varepsilon_{vol}$ (%) = $\Delta V/V_0$ :	4,34
Baktrykk $u_b$ (kPa):	$B$ - verdi = $\Delta u/\Delta \sigma_c$ (-):	0,64
Vanninnhold $w_i$ (%):	Densitet $\rho_i$ (g/cm <sup>3</sup> ):	2,10

### NVE Region midt

### Kvikkleiresone Leira

Treaksialforsøk. Deviatorspenningssti. NGI-plott.

<b>MULTICONULT AS</b> Sluppenvegen 23, 7486 TRONDHEIM Tlf.: 73 10 62 00 Faks: 73 10 62 30	Forsøksdato: 04.02.2013	Dybde, z (m): 35,40	Borpunkt nr.: Le6	Tegningens filnavn: 451655-RIG-TEG-091_hLe6, 35.4m.xlsx  
	Forsøk nr.: 2	Tegnet: kjø / truk	Kontrollert: ARV	
	Oppdrag nr.: 415655	Tegning nr.: RIG-TEG-091.2	Prosedyre: CAUa	
			Programrevisjon: 02.02.2011	



Konsolideringsspenning, aksial:

$\sigma'_{ac}$  (kPa): 683,32

Konsolideringsspenning, radial:

$\sigma'_{rc}$  (kPa): 406,54

Volumtøyning i konsolideringsfase:

$\varepsilon_{vol}$  (%) =  $\Delta V/V_0$ :

4,34

Baktrykk  $u_b$  (kPa):

400

B - verdi =  $\Delta u/\Delta\sigma_c$  (-):

0,64

Vanninnhold  $w_i$  (%):

25,20

Densitet  $\rho_i$  (g/cm³):

2,10

## NVE Region midt

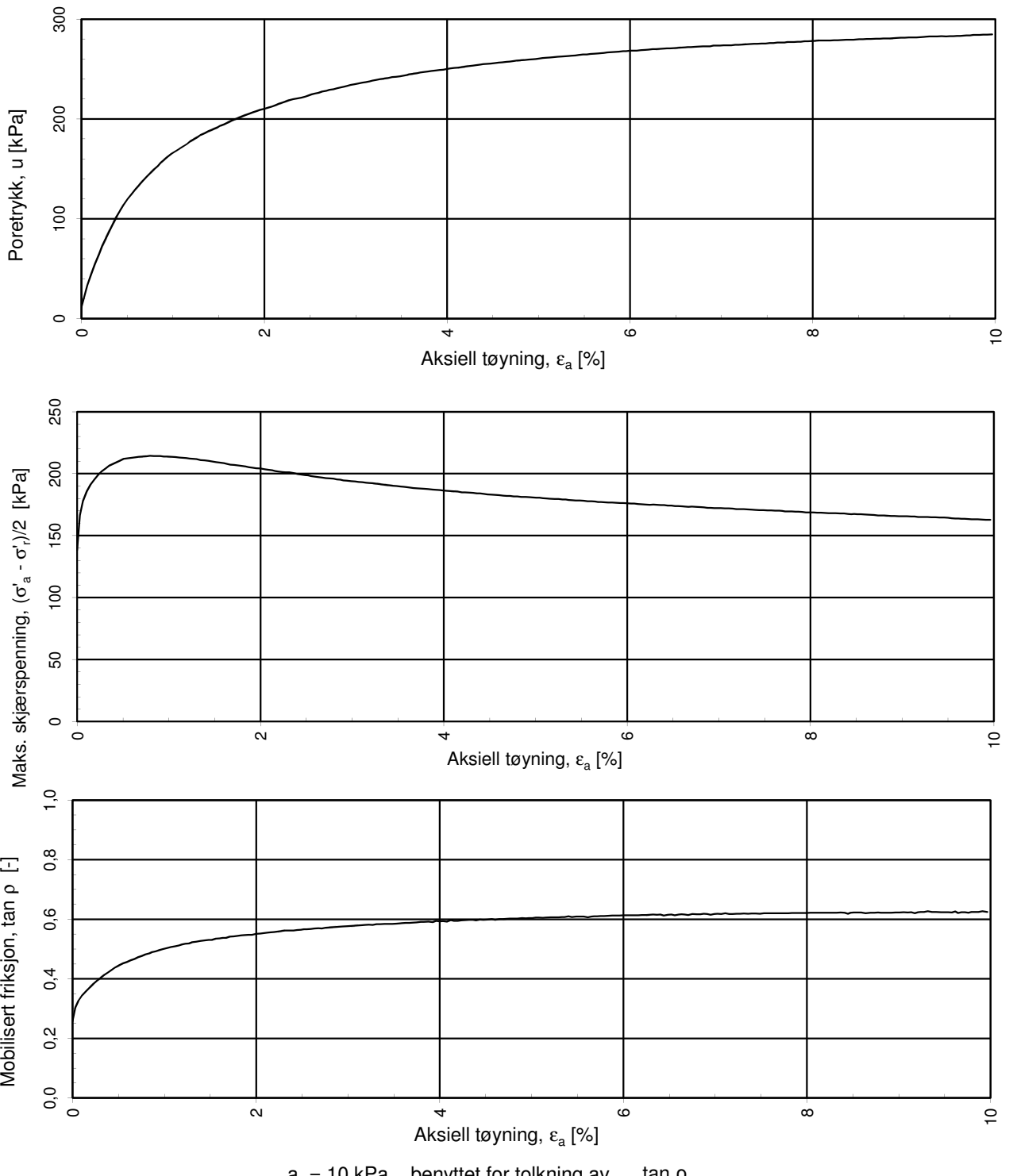
### Kvikkleiresone Leira

Treaksialforsøk. Deviatorspenningssti. q - p'- plott.

Tegningens filnavn:  
451655-RIG-TEG-091\_hLe6\_35.4m.xlsx



<b>MULTICONULT AS</b> Sluppenvegen 23, 7486 TRONDHEIM Tlf.: 73 10 62 00 Faks: 73 10 62 30	Forsøksdato: 04.02.2013	Dybde, z (m): 35,40	Borpunkt nr.: Le6
	Forsøk nr.: 2	Tegnet: kj / truk	Kontrollert: ARV
	Oppdrag nr.: 415655	Tegning nr.: RIG-TEG-091.3	Godkjent: OAA
Prosedyre: CAUa		Programrevisjon: 02.02.2011	



**NVE Region midt**

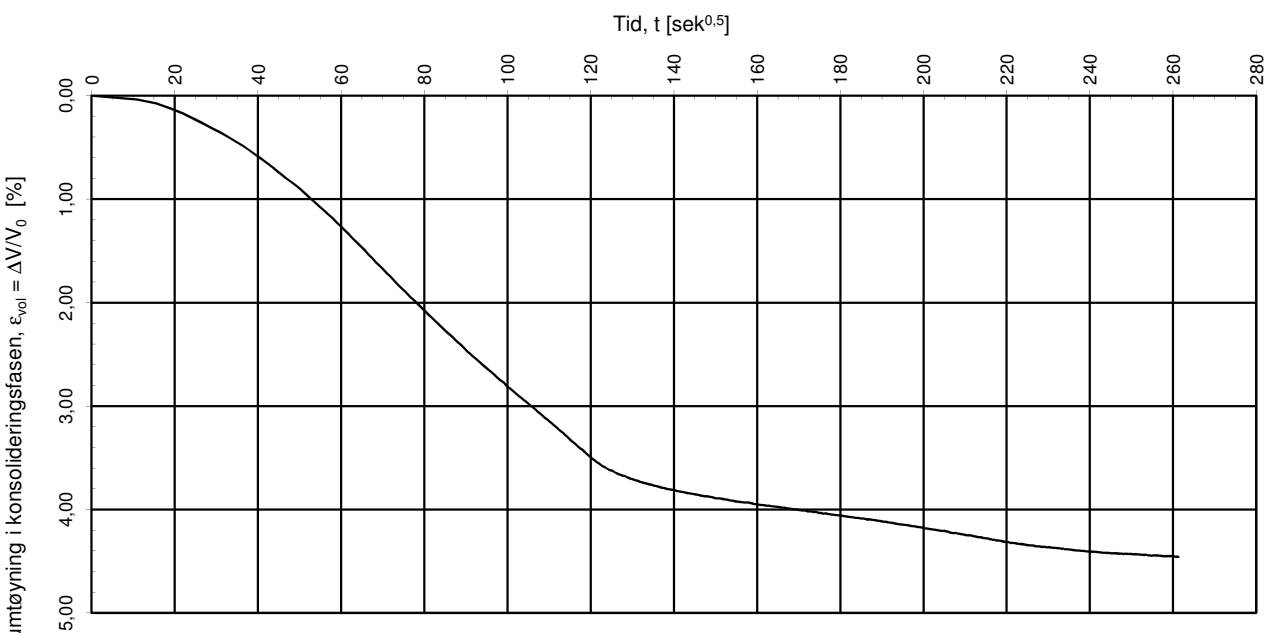
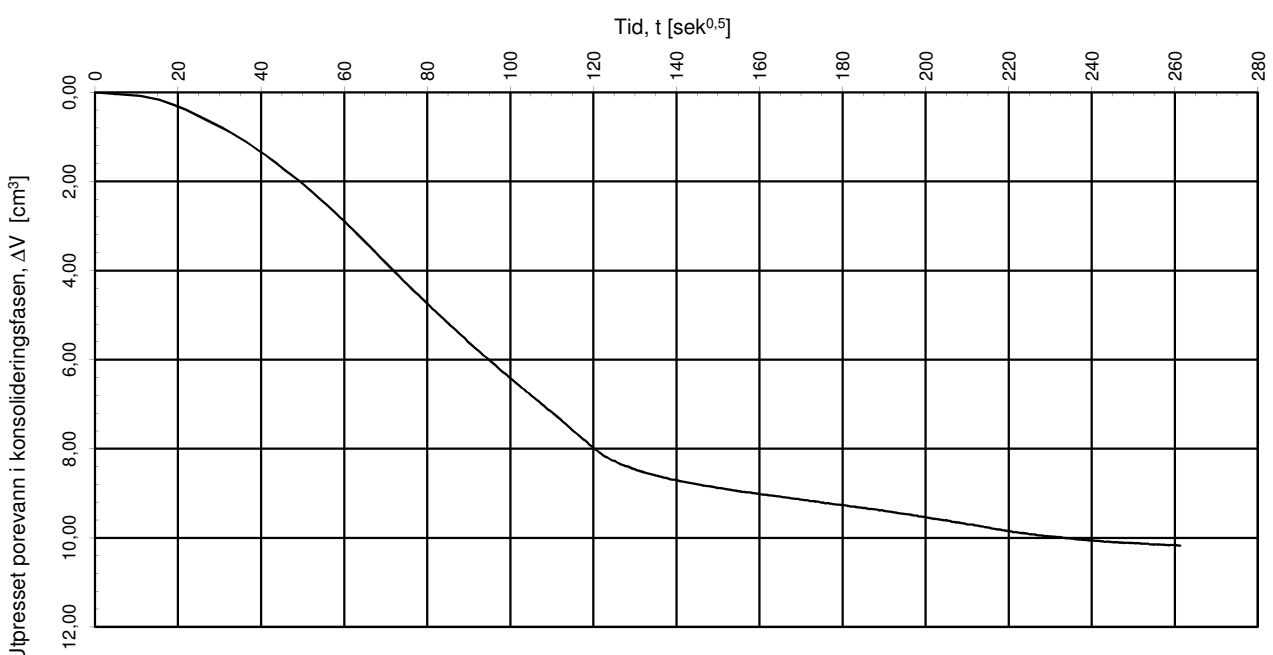
**Kvikkleiresone Leira**

Treaksialforsøk. Poretrykks- og mobiliseringsforløp.

Tegningens filnavn:  
451655-RIG-TEG-091\_hLe6, 35.4m.xlsx



<b>MULTICONSULT AS</b> Sluppenvegen 23, 7486 TRONDHEIM Tlf.: 73 10 62 00 Faks: 73 10 62 30	Forsøksdato: 04.02.2013	Dybde, z (m): 35,40	Borpunkt nr.: Le6
	Forsøk nr.: 2	Tegnet: kj / truk	Kontrollert: ARV
	Oppdrag nr.: 415655	Tegning nr.: RIG-TEG-091.4	Godkjent: OAA
			Programrevisjon: 02.02.2011



Konsolideringsspenning, aksial:

$\sigma'_{ac}$  (kPa): 683,32

Konsolideringsspenning, radial:

$\sigma'_{rc}$  (kPa): 406,54

Volumtøyning i konsolideringsfase:

$\epsilon_{vol}$  (%):  $\Delta V/V_0$ : 4,34

Baktrykk  $u_b$  (kPa):

400

B - verdi =  $\Delta u/\Delta \sigma_c$  (-): 0,64

Vanninnhold  $w_i$  (%):

25,20

Densitet  $\rho_i$  (g/cm³): 2,10

## NVE Region midt

Tegningens filnavn:  
451655-RIG-TEG-091\_hLe6, 35.4m.xlsx

### Kvikkleiresone Leira

Treaksialforsøk. Vannutpressing - tid, konsolideringsfase.

**MULTICONULT AS**

Sluppenvegen 23,  
7486 TRONDHEIM  
Tlf.: 73 10 62 00  
Faks: 73 10 62 30

Forsøksdato:

04.02.2013

Dybde, z (m):

35,40

Borpunkt nr.:

Le6

Forsøk nr.:

2

Tegnet:

kjt / truk

Kontrollert:

ARV



Oppdrag nr.:

415655

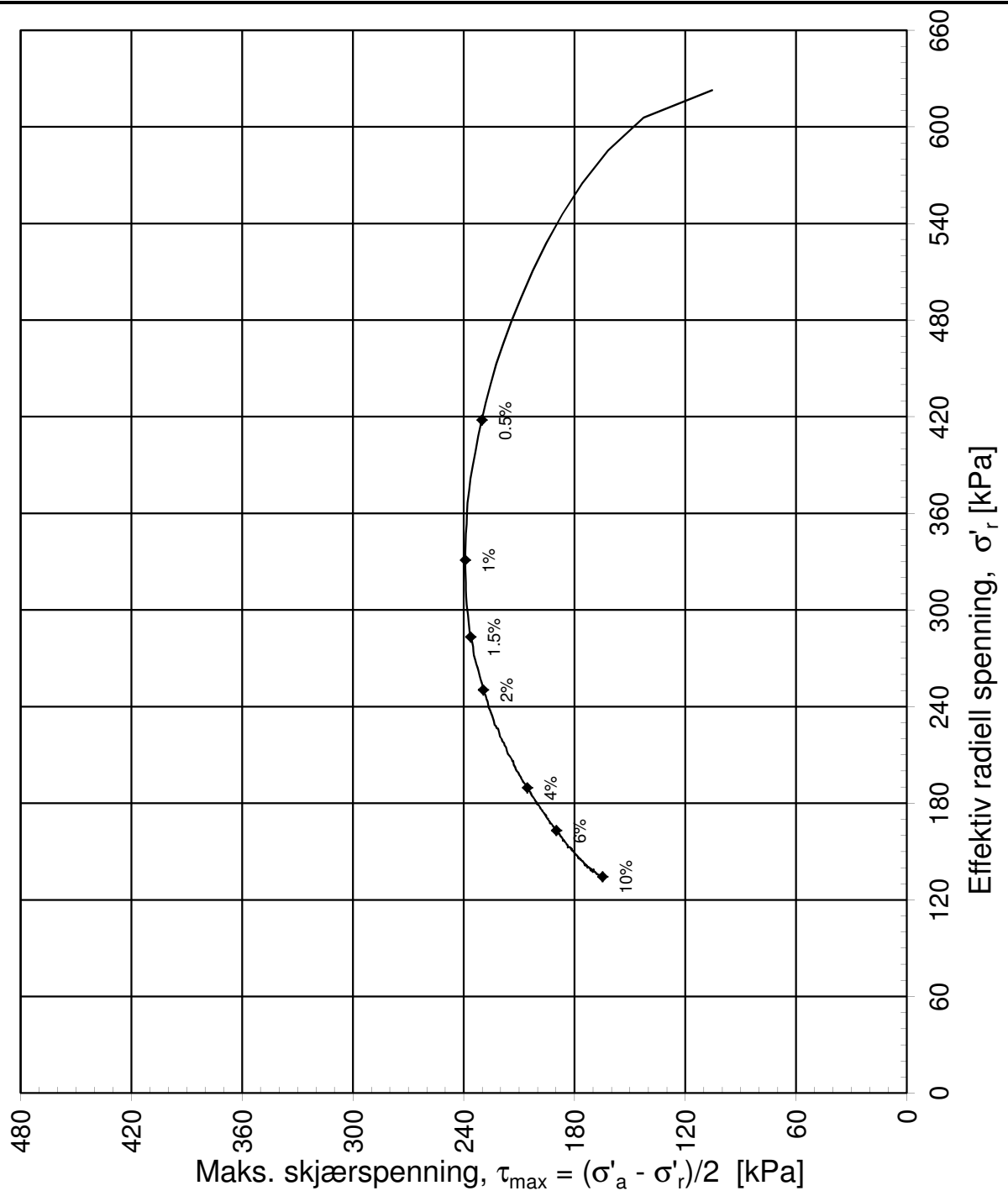
Tegning nr.:

RIG-TEG-091.5

Prosedyre:

CAUa

Programrevisjon:  
02.02.2011



Konsolideringsspenning, aksial:	$\sigma'_{ac}$ (kPa):	833,70
Konsolideringsspenning, radial:	$\sigma'_{rc}$ (kPa):	622,77
Volumtøyning i konsolideringsfase:	$\varepsilon_{vol}$ (%) = $\Delta V/V_0$ :	6,20
Baktrykk $u_b$ (kPa):	$B$ - verdi = $\Delta u/\Delta \sigma_c$ (-):	0,64
Vanninnhold $w_i$ (%):	Densitet $\rho_i$ (g/cm³):	2,04

**NVE Region midt**

Tegningens filnavn:  
451655-RIG-TEG-092\_hLe6,41,20m.xlsx

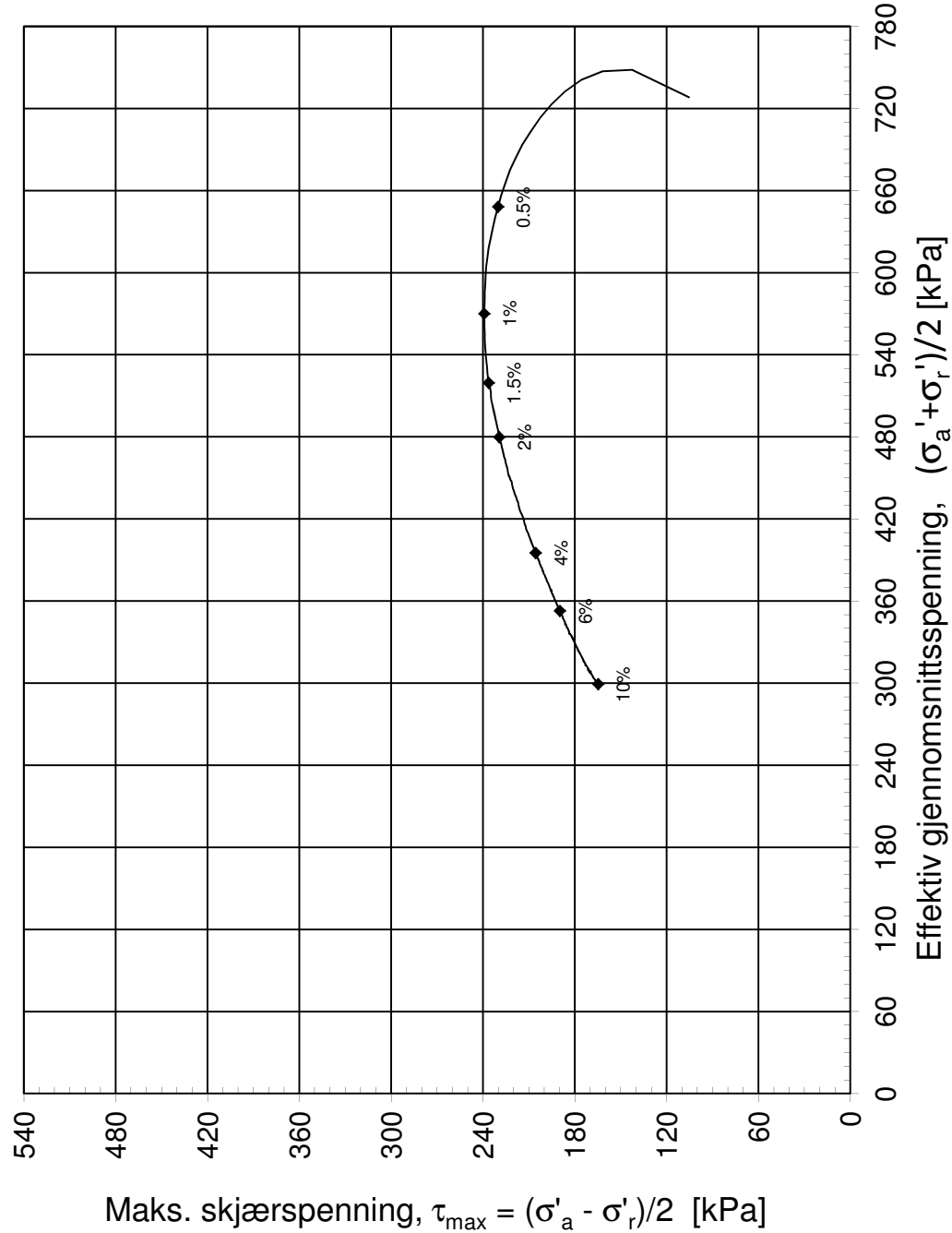
**Kvikkleiresone Leira**

Treaksialforsøk. Deviatorspenningssti. NTNU-plott.



**MULTICONSULT AS**  
Sluppenvegen 23,  
7486 TRONDHEIM  
Tlf.: 73 10 62 00  
Faks: 73 10 62 30

Forsøksdato:	04.02.2013	Dybde, z (m):	41,20	Borpunkt nr.:	Le6
Forsøk nr.:	3	Tegnet:	kjt	Kontrollert:	ARV
Oppdrag nr.:	415655	Tegning nr.:	RIG-TEG-092.1	Prosedyre:	CAUa
				Godkjent:	OAA
				Programrevisjon:	02.02.2011



$$\text{Maks. skjærspenning, } \tau_{\max} = (\sigma'_a - \sigma'_r)/2 \text{ [kPa]}$$

Konsolideringsspenning, aksial:

$\sigma'_{ac}$  (kPa): 833,70

Konsolideringsspenning, radial:

$\sigma'_{rc}$  (kPa): 622,77

Volumtøyning i konsolideringsfase:

$\varepsilon_{vol}$  (%) =  $\Delta V/V_0$ : 6,20

Baktrykk  $u_b$  (kPa): 400

B - verdi =  $\Delta u/\Delta \sigma_c$  (-): 0,64

Vanninnhold  $w_i$  (%): 23,64

Densitet  $\rho_i$  (g/cm<sup>3</sup>): 2,04

## NVE Region midt

Tegningens filnavn:

451655-RIG-TEG-092\_hLe6,41,20m.xlsx

## Kvikkleiresone Leira



Treaksialforsøk. Deviatorspenningssti. NGI-plott.

**MULTICONULT AS**

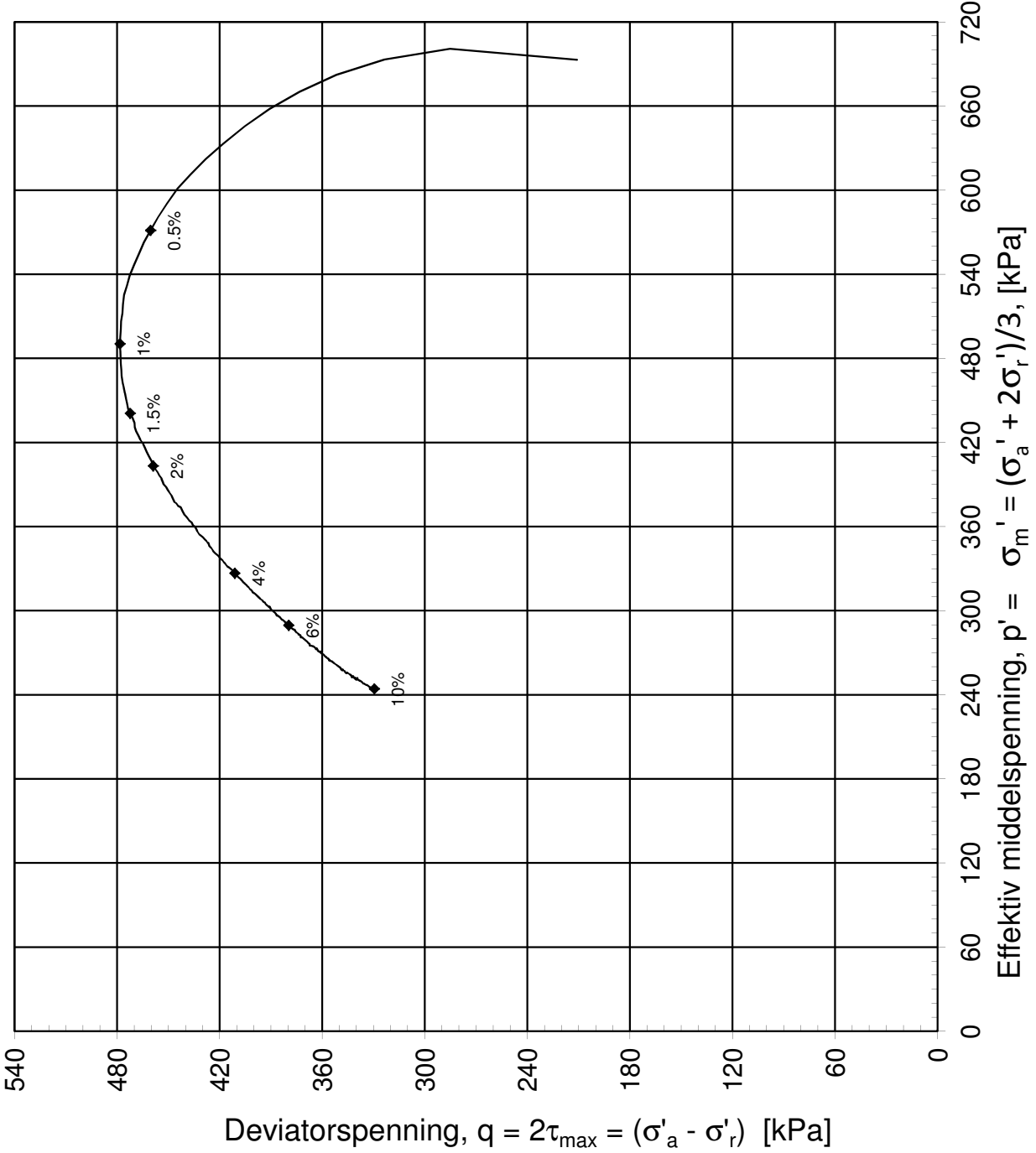
Sluppenvegen 23,

7486 TRONDHEIM

Tlf.: 73 10 62 00

Faks: 73 10 62 30

Forsøksdato:	Dybde, z (m):	Borpunkt nr.:
04.02.2013	41,20	Le6
Forsøk nr.:	Tegnet:	Kontrollert:
3	kjt	ARV
Oppdrag nr.:	Tegning nr.:	Godkjent:
415655	RIG-TEG-092.2	OAA
	Prosedyre:	Programrevisjon:
	CAUa	02.02.2011



Konsolideringsspenning, aksial:	$\sigma'_{ac}$ (kPa):	833,70
Konsolideringsspenning, radial:	$\sigma'_{rc}$ (kPa):	622,77
Volumtøyning i konsolideringsfase:	$\varepsilon_{vol}$ (%) = $\Delta V/V_0$ :	6,20
Baktrykk $u_b$ (kPa):	B - verdi = $\Delta u/\Delta\sigma_c$ (-):	0,64
Vanninnhold $w_i$ (%):	Densitet $\rho_i$ (g/cm³):	2,04

### NVE Region midt

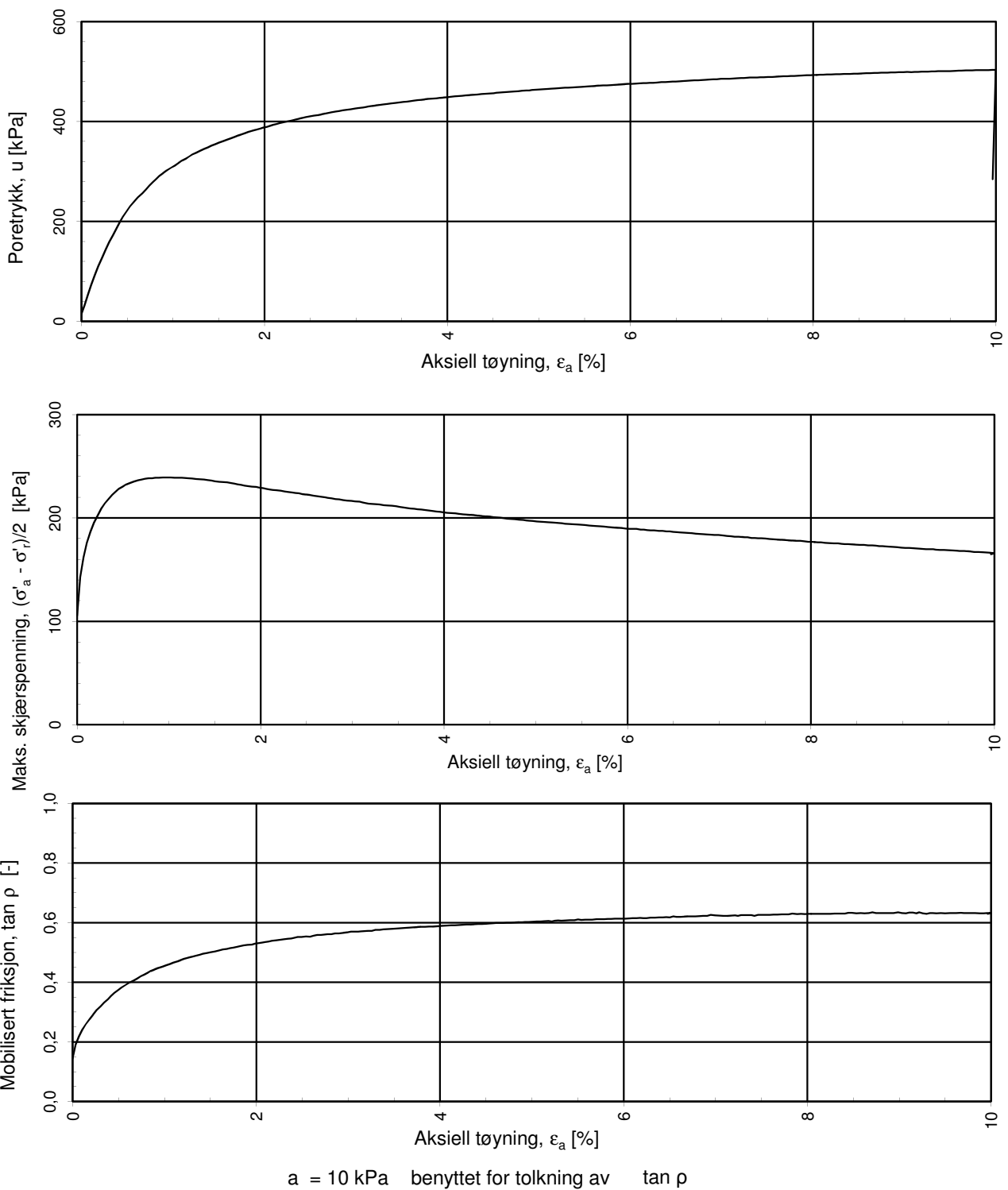
#### Kvikkleiresone Leira

Treaksialforsøk. Deviatorspenningssti. q - p'- plott.

Tegningens filnavn:  
451655-RIG-TEG-092\_hLe6,41,20m.xlsx



<b>MULTICONSULT AS</b> Sluppenvegen 23, 7486 TRONDHEIM Tlf.: 73 10 62 00 Faks: 73 10 62 30	Forsøksdato: 04.02.2013	Dybde, z (m): 41,20	Borpunkt nr.: Le6
	Forsøk nr.: 3	Tegnet: kj	Kontrollert: ARV
	Oppdrag nr.: 415655	Tegning nr.: RIG-TEG-092.3	Godkjent: OAA
Prosedyre: CAUa		Programrevisjon: 02.02.2011	



**NVE Region midt**

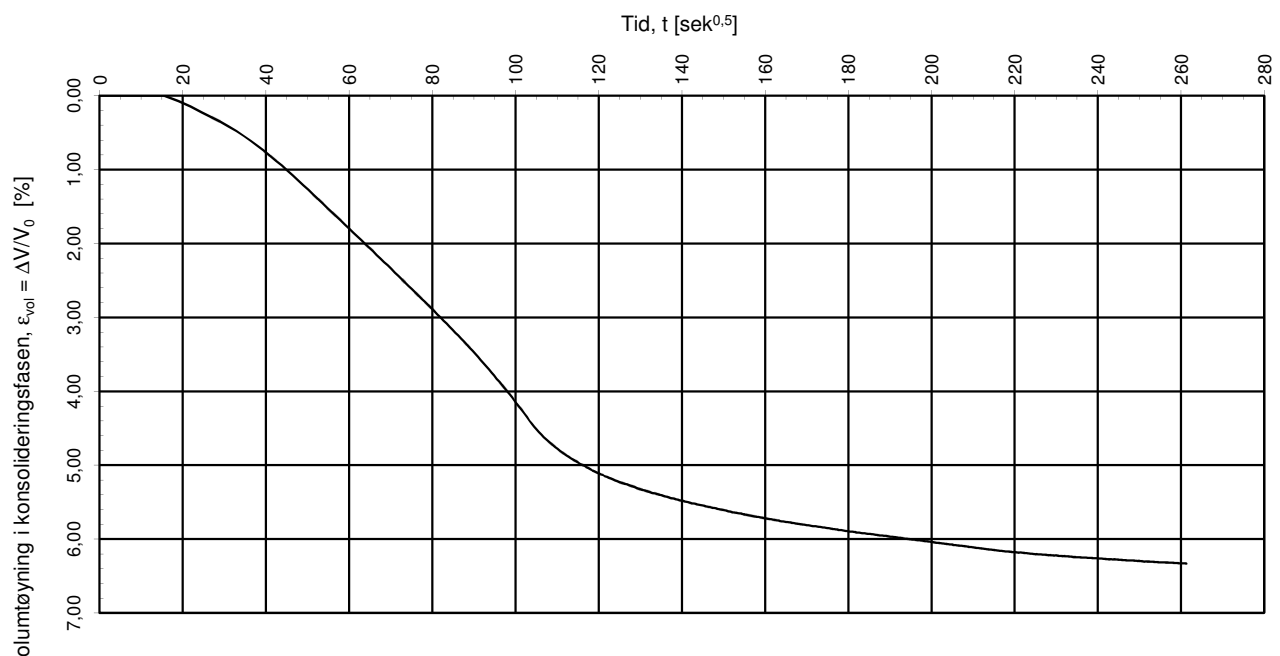
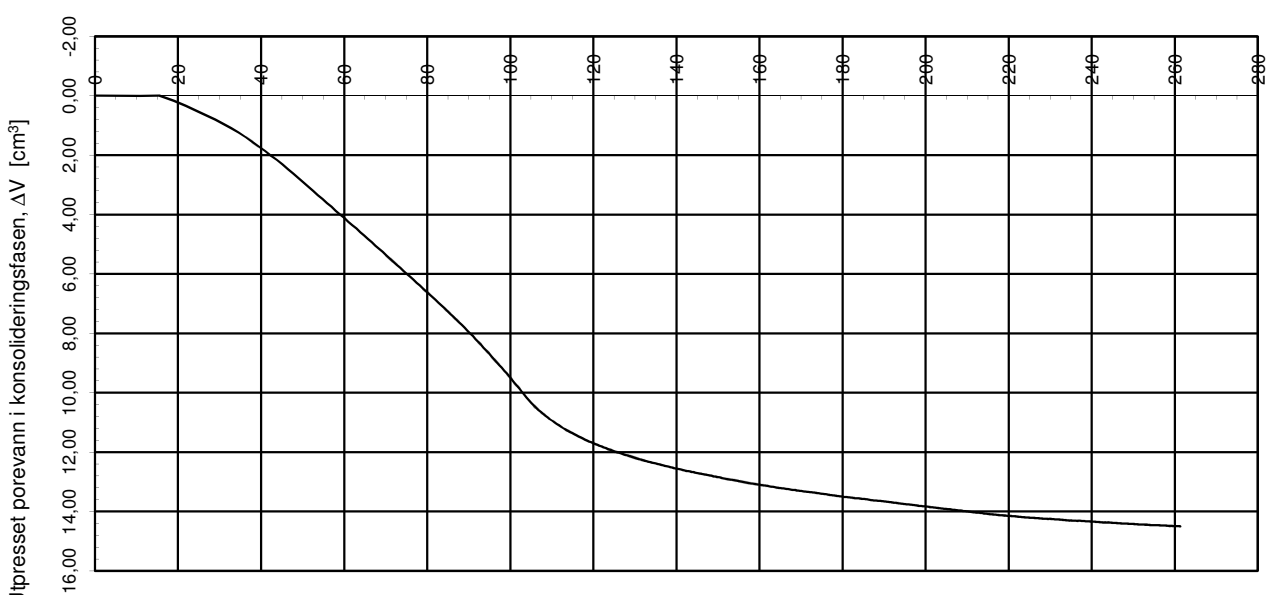
**Kvikkleiresone Leira**

Treaksialforsøk. Poretrykks- og mobiliseringsforløp.

Tegningens filnavn:  
451655-RIG-TEG-092\_hLe6,41,20m.xlsx



<b>MULTICONSULT AS</b> Sluppenvegen 23, 7486 TRONDHEIM Tlf.: 73 10 62 00 Faks: 73 10 62 30	Forsøksdato: 04.02.2013	Dybde, z (m): 41,20	Borpunkt nr.: Le6
	Forsøk nr.: 3	Tegnet: kjt	Kontrollert: ARV
	Oppdrag nr.: 415655	Tegning nr.: RIG-TEG-092.4	Godkjent: OAA
			Programrevisjon: 02.02.2011



Konsolideringsspenning, aksial:

$\sigma'_{ac}$  (kPa): 833,70

Konsolideringsspenning, radial:

$\sigma'_{rc}$  (kPa): 622,77

Volumtøyning i konsolideringsfase:

$\varepsilon_{vol}$  (%):  $\Delta V/V_0$ : 6,20

Baktrykk  $u_b$  (kPa):

400 B - verdi =  $\Delta u/\Delta\sigma_c$  (-): 0,64

Vanninnhold  $w_i$  (%):

23,64 Densitet  $\rho_i$  (g/cm<sup>3</sup>): 2,04

**NVE Region midt**

Tegningens filnavn:  
451655-RIG-TEG-092\_hLe6,41,20m.xlsx

### Kvikkleiresone Leira

Treaksialforsøk. Vannutpressing - tid, konsolideringsfase.

**MULTICONULT AS**

Sluppenvegen 23,  
7486 TRONDHEIM  
Tlf.: 73 10 62 00  
Faks: 73 10 62 30

Forsøksdato:

04.02.2013

Dybde, z (m):

41,20

Borpunkt nr.:

Le6

Forsøk nr.:

3

Tegnet:

kjt

Kontrollert:

ARV

Godkjent:

OAA

Oppdrag nr.:

415655

Tegning nr.:

RIG-TEG-092.5

Prosedyre:

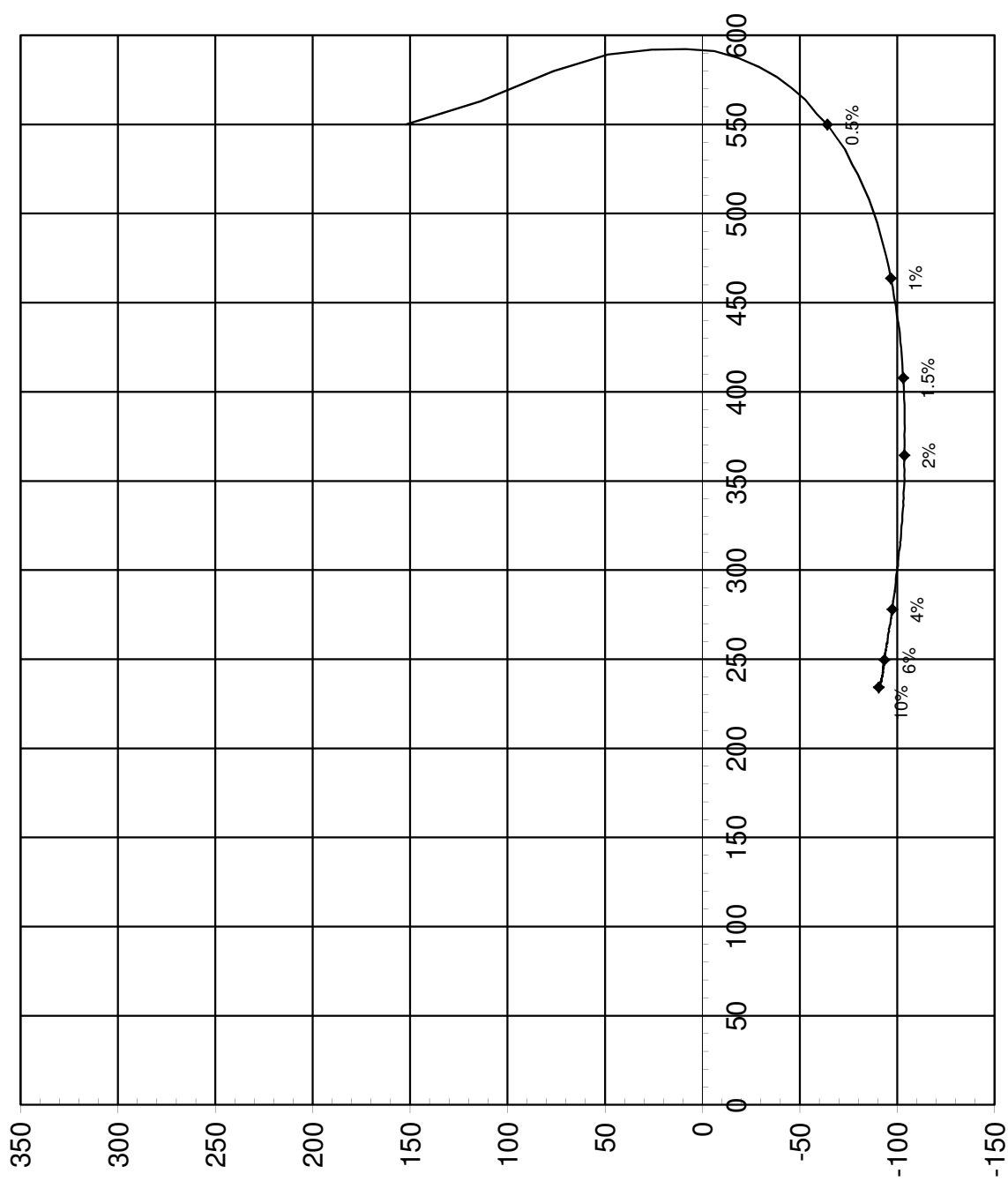
CAUa

Programrevisjon:

02.02.2011



Effektiv radiell spenning,  $\sigma'_r$  [kPa]



$$\text{Maks. skjærspenning, } \tau_{\max} = (\sigma'_a - \sigma'_r)/2 \text{ [kPa]}$$

Konsolideringsspenning, aksial:	$\sigma'_{ac}$ (kPa):	854,48
Konsolideringsspenning, radial:	$\sigma'_{rc}$ (kPa):	550,03
Volumtøyning i konsolideringsfase:	$\varepsilon_{vol}$ (%) = $\Delta V/V_0$ :	4,95
Baktrykk $u_b$ (kPa):	$B$ - verdi = $\Delta u/\Delta \sigma_c$ (-):	0,76
Vanninnhold $w_i$ (%):	Densitet $\rho_i$ (g/cm <sup>3</sup> ):	2,04

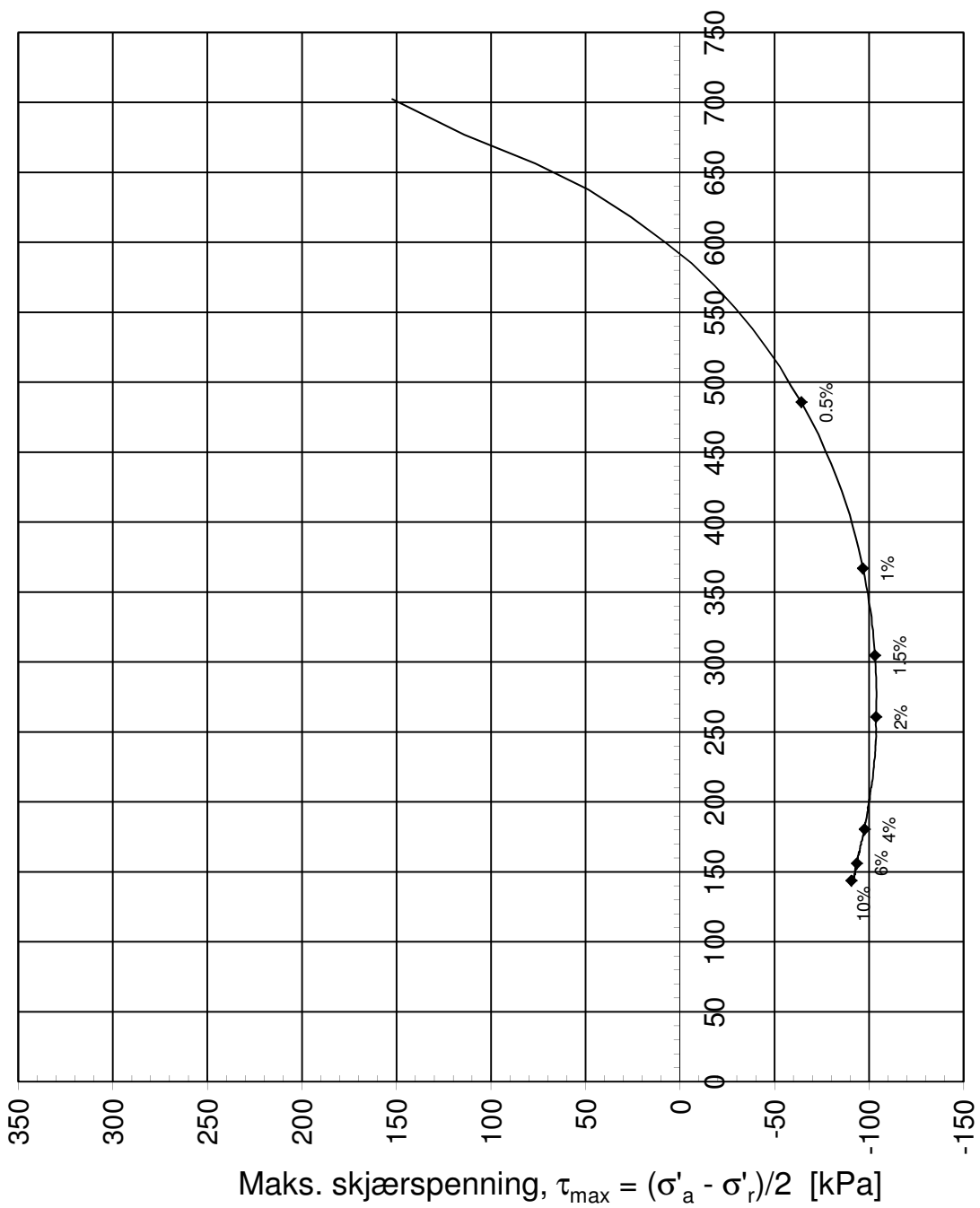
NVE Region midt

Kvikkleiresone Leira

Treaksialforsøk. Deviatorspenningsst. NTNU-plott.

**MULTICONSULT AS**  
Sluppenvegen 23,  
7486 TRONDHEIM  
Tlf.: 73 10 62 00  
Faks: 73 10 62 30

Forsøksdato:	Dybde, z (m):	Borpunkt nr.:	Tegningens filnavn:
07.02.2013	43,70	Le6	415655-RIG-TEG-093_hLe6, 43.7m.xlsx
Forsøk nr.:	Tegnet:	Kontrollert:	Godkjent:
4	kjt / truk	ARV	OAA
Oppdrag nr.:	Tegning nr.:	Prosedyre:	Programrevisjon:
415655	RIG-TEG-093.1	CAUp	02.02.2011



Konsolideringsspenning, aksial:	$\sigma'_{ac}$ (kPa):	854,48
Konsolideringsspenning, radial:	$\sigma'_{rc}$ (kPa):	550,03
Volumtøyning i konsolideringsfase:	$\varepsilon_{vol}$ (%) = $\Delta V/V_0$ :	4,95
Baktrykk $u_b$ (kPa):	$B$ - verdi = $\Delta u/\Delta \sigma_c$ (-):	0,76
Vanninnhold $w_i$ (%):	Densitet $\rho_i$ (g/cm <sup>3</sup> ):	2,04

### NVE Region midt

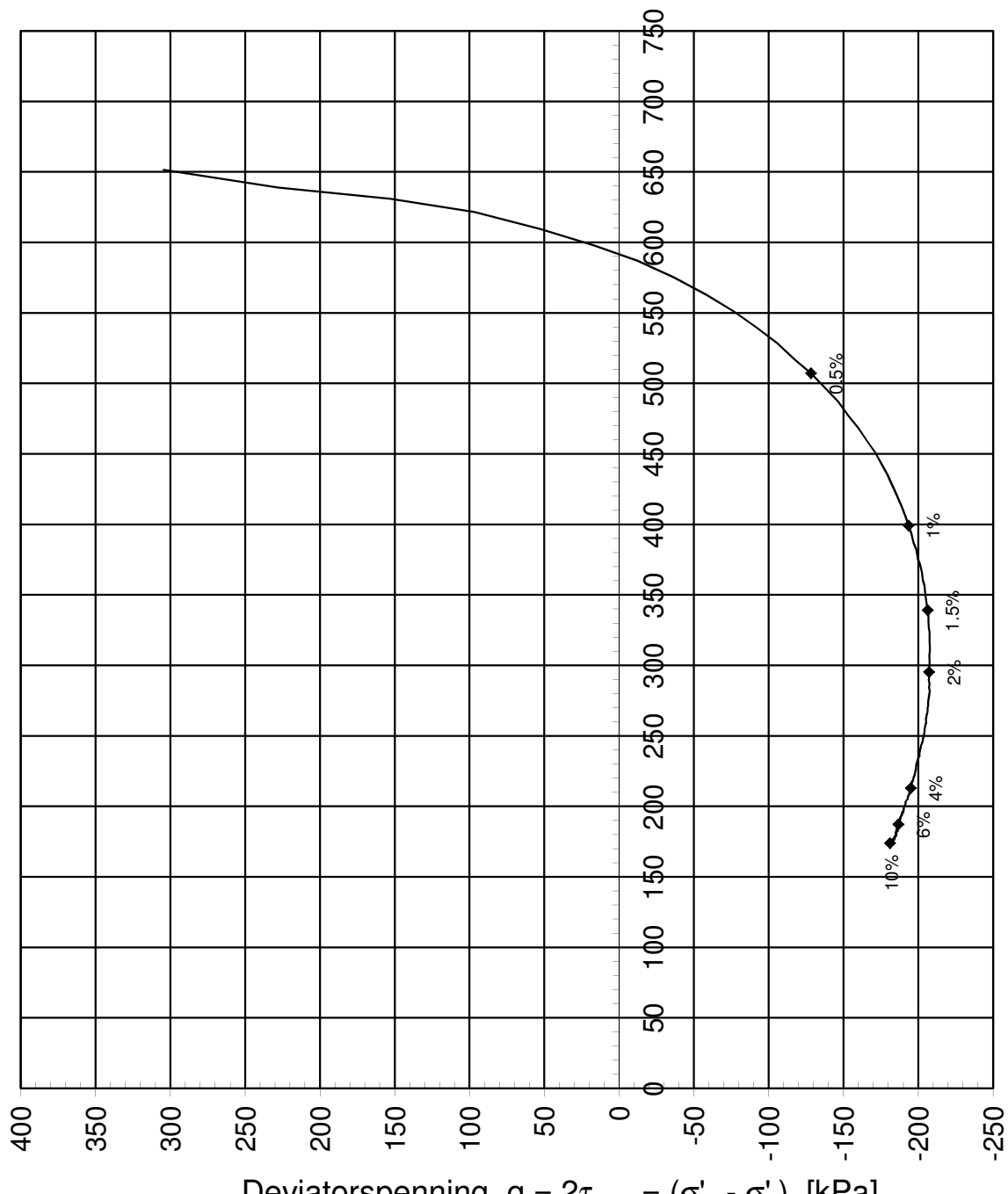
### Kvikkleiresone Leira

Treaksalforsøk. Deviatorspenningssti. NGI-plott.

<b>MULTICONULT AS</b> Sluppenvegen 23, 7486 TRONDHEIM Tlf.: 73 10 62 00 Faks: 73 10 62 30	Forsøksdato: 07.02.2013	Dybde, z (m): 43,70	Borpunkt nr.: Le6
	Forsøk nr.: 4	Tegnet: kjø / truk	Kontrollert: ARV
	Oppdrag nr.: 415655	Tegning nr.: RIG-TEG-093.2	Godkjent: OAA
		Prosedyre: CAUp	Programrevisjon: 02.02.2011

Tegningens filnavn:  
415655-RIG-TEG-093\_hLe6, 43.7m.xlsx





Konsolideringsspenning, aksial:

$\sigma'_{ac}$  (kPa): 854,48

Konsolideringsspenning, radial:

$\sigma'_{rc}$  (kPa): 550,03

Volumtøyning i konsolideringsfase:

$\varepsilon_{vol}$  (%) =  $\Delta V/V_0$ : 4,95

Baktrykk  $u_b$  (kPa): 400

B - verdi =  $\Delta u/\Delta \sigma_c$  (-): 0,76

Vanninnhold  $w_i$  (%): 23,21

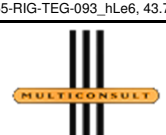
Densitet  $\rho_i$  (g/cm<sup>3</sup>): 2,04

### NVE Region midt

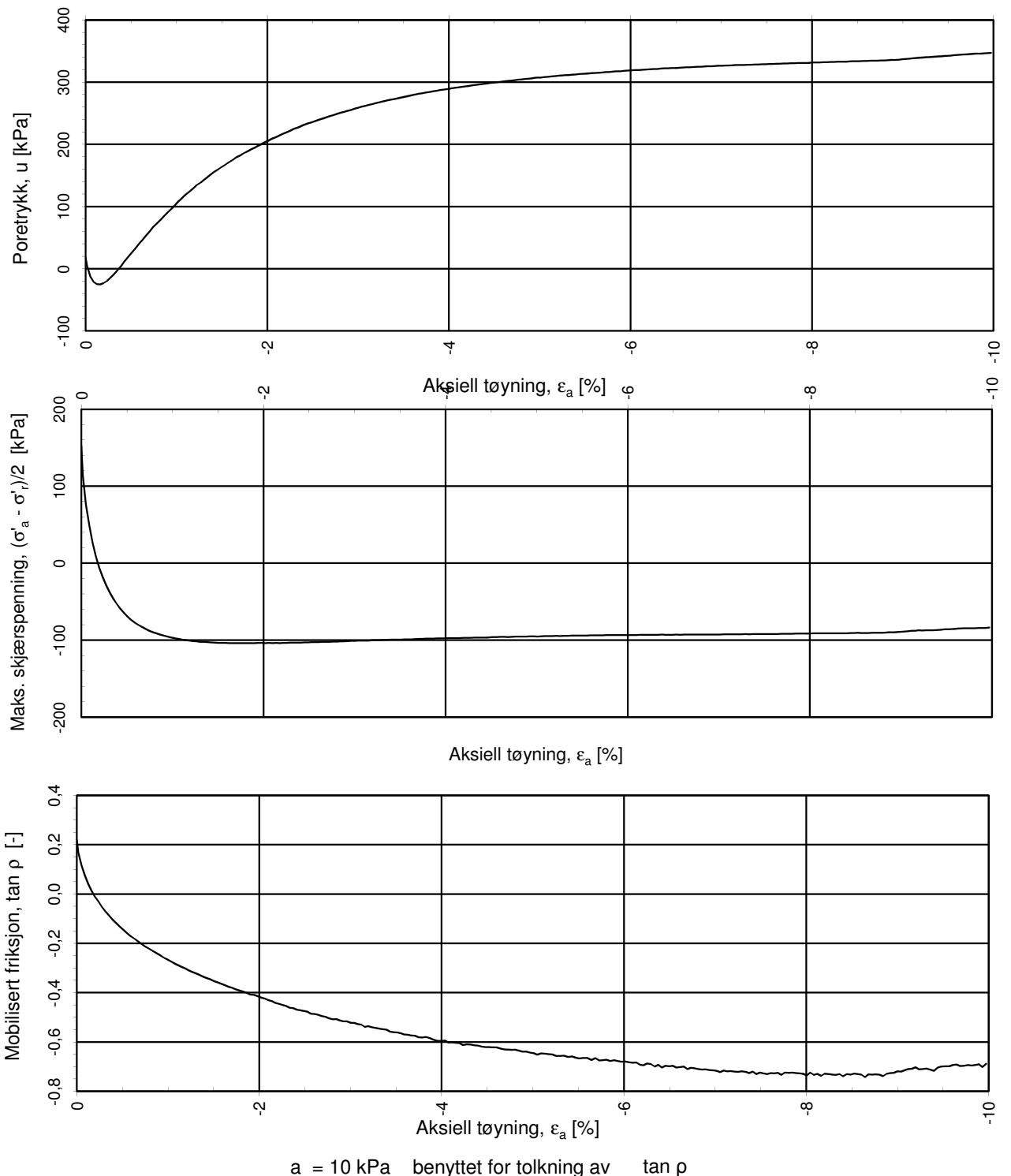
#### Kvikkleiresone Leira

Treaksialforsøk. Deviatorspenningssti. q - p'- plott.

Tegningens filnavn:  
415655-RIG-TEG-093\_hLe6, 43,7m.xlsx



<b>MULTICONULT AS</b> Sluppenvegen 23, 7486 TRONDHEIM Tlf.: 73 10 62 00 Faks: 73 10 62 30	Forsøksdato: 07.02.2013	Dybde, z (m): 43,70	Borpunkt nr.: Le6
	Forsøk nr.: 4	Tegnet: kjø / truk	Kontrollert: ARV
	Oppdrag nr.: 415655	Tegning nr.: RIG-TEG-093.3	Godkjent: OAA
Prosedyre: CAUp		Programrevisjon: 02.02.2011	



**NVE Region midt**

**Kvikkleiresone Leira**

Treaksialforsøk. Poretrykks- og mobiliseringsforløp.

Tegningens filnavn:

415655-RIG-TEG-093\_hLe6, 43.7m.xlsx



**MULTICONSULT AS**

Sluppenvegen 23,  
7486 TRONDHEIM  
Tlf.: 73 10 62 00  
Faks: 73 10 62 30

Forsøksdato:  
07.02.2013

Dybde,  $z$  (m):  
43,70

Borpunkt nr.:  
Le6

Forsøk nr.:  
4

Tegnet:  
kjt / truk

Kontrollert:  
ARV

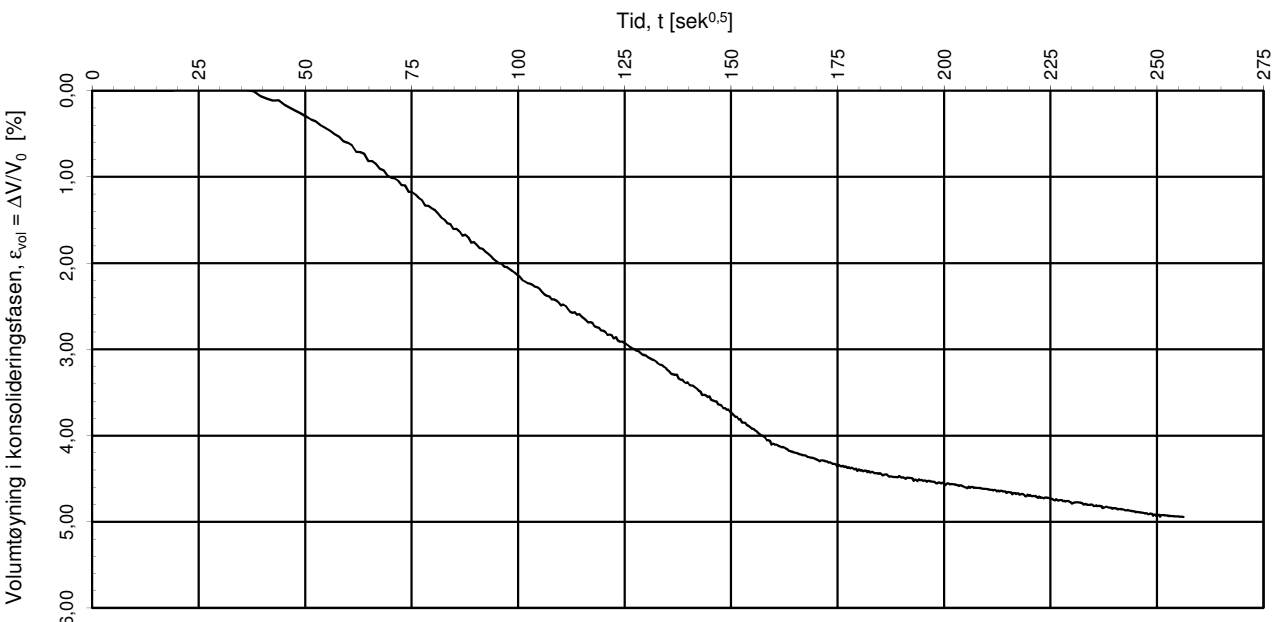
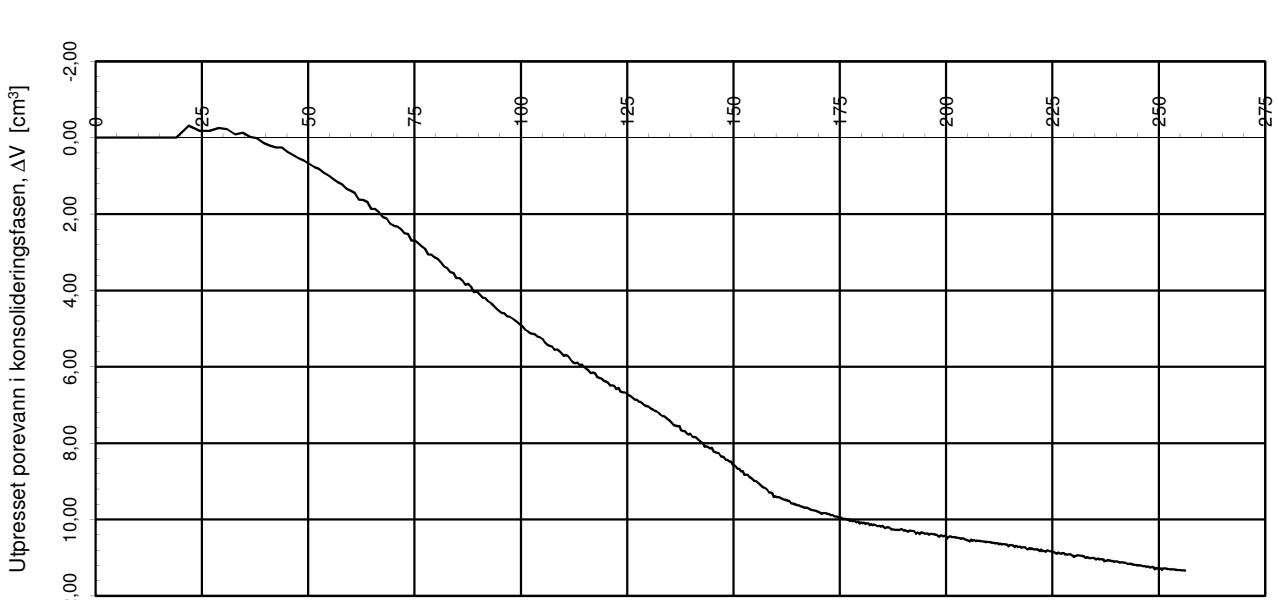
Godkjent:  
OAA

Oppdrag nr.:  
415655

Tegning nr.:  
RIG-TEG-093.4

Prosedyre:  
CAUp

Programrevisjon:  
02.02.2011



Konsolideringsspenning, aksial:

$\sigma'_{ac}$  (kPa): 854,48

Konsolideringsspenning, radial:

$\sigma'_{rc}$  (kPa): 550,03

Volumtøyning i konsolideringsfase:

$\varepsilon_{vol}$  (%):  $\Delta V/V_0$ : 4,95

Baktrykk  $u_b$  (kPa): 400

B - verdi =  $\Delta u/\Delta\sigma_c$  (-): 0,76

Vanninnhold  $w_i$  (%): 23,21

Densitet  $\rho_i$  (g/cm<sup>3</sup>): 2,04

## NVE Region midt

### Kvikkleiresone Leira

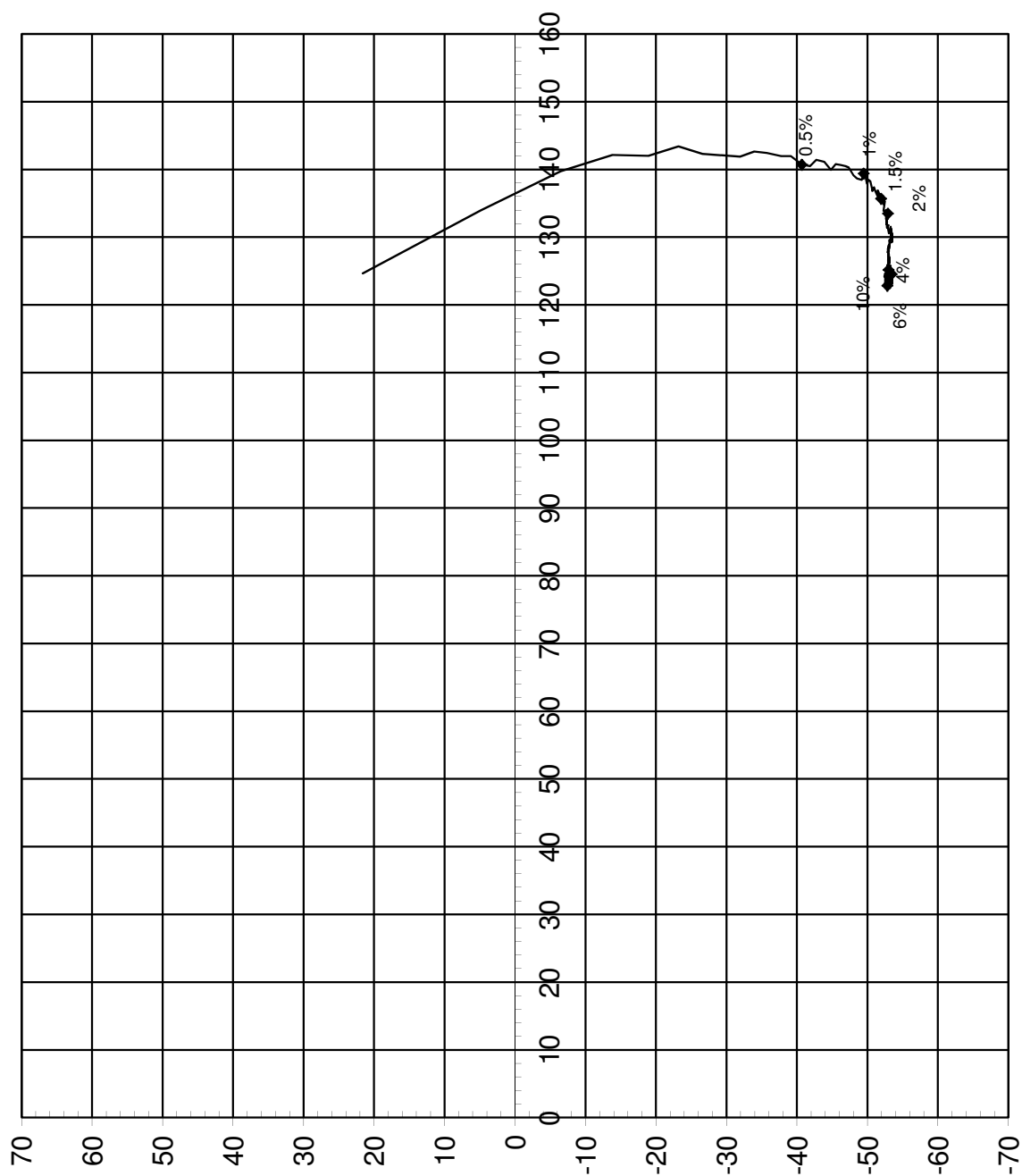
Treaksialforsøk. Vannutpressing - tid, konsolideringsfase.

Tegningens filnavn:  
415655-RIG-TEG-093\_hLe6, 43.7m.xlsx



<b>MULTICONSULT AS</b> Sluppenvegen 23, 7486 TRONDHEIM Tlf.: 73 10 62 00 Faks: 73 10 62 30	Forsøksdato: 07.02.2013	Dybde, z (m): 43,70	Borpunkt nr.: Le6
	Forsøk nr.: 4	Tegnet: kjt / truk	Kontrollert: ARV
	Oppdrag nr.: 415655	Tegning nr.: RIG-TEG-093.5	Godkjent: OAA Prosedyre: CAUp Programrevisjon: 02.02.2011

Effektiv radiell spenning,  $\sigma'_r$  [kPa]



$$\text{Maks. skjærspenning, } \tau_{\max} = (\sigma'_a - \sigma'_r)/2 \text{ [kPa]}$$

Konsolideringsspenning, aksial:	$\sigma'_{ac}$ (kPa):	167,82
Konsolideringsspenning, radial:	$\sigma'_{rc}$ (kPa):	124,65
Volumtøyning i konsolideringsfase:	$\varepsilon_{vol}$ (%) = $\Delta V/V_0$ :	1,44
Baktrykk $u_b$ (kPa):	B - verdi = $\Delta u/\Delta \sigma_c$ (-):	0,76
Vanninnhold $w_i$ (%):	Densitet $\rho_i$ (g/cm <sup>3</sup> ):	2,06

### NVE Region midt

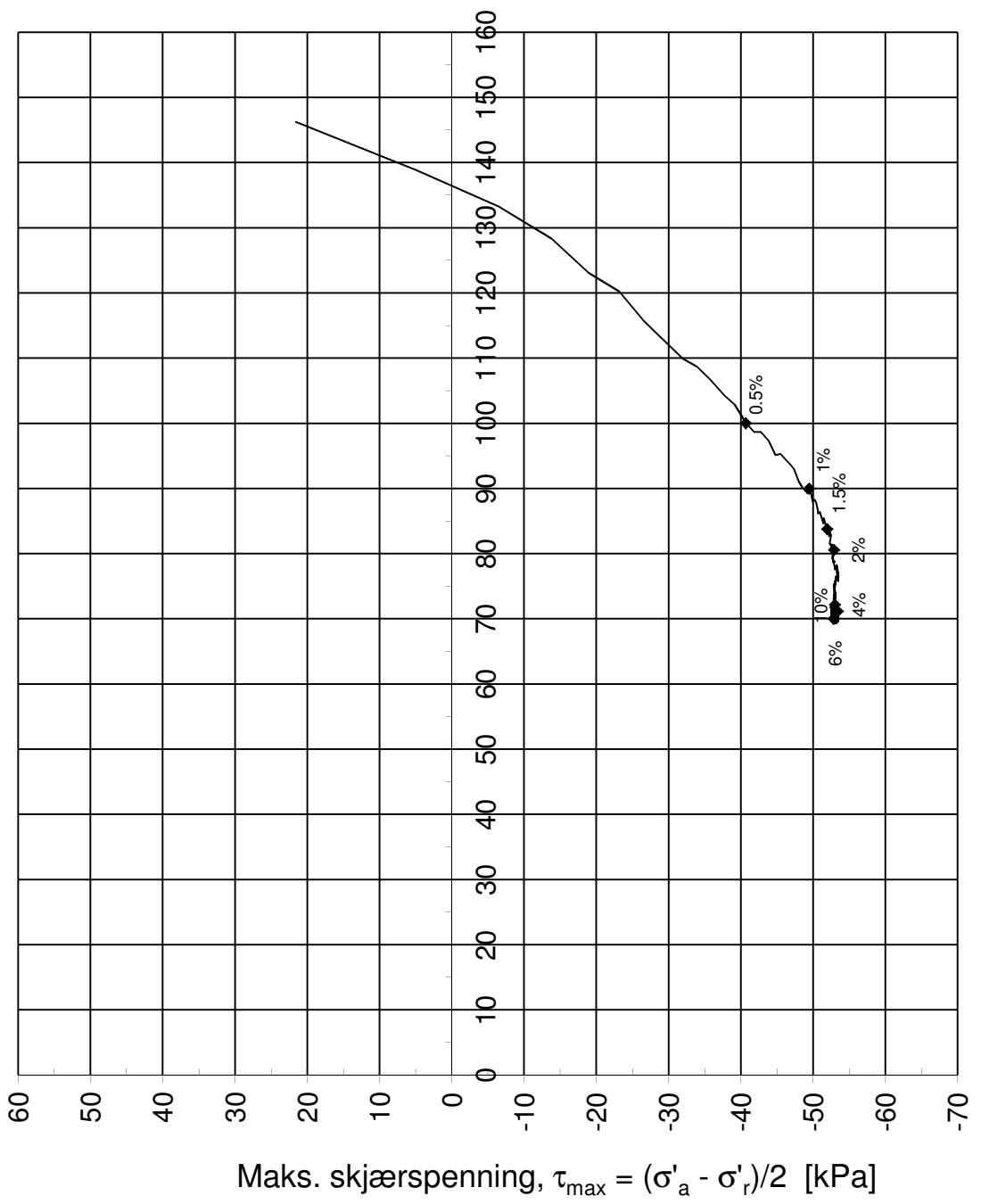
#### Kvikkleiresone Leire

Treaksialforsøk. Deviatorspenningssti. NTNU-plott.

Tegningens filnavn:  
415655-RIG-TEG-094\_hLe7, 9,25m.xlsx



<b>MULTICONСULT AS</b> Sluppenvegen 23, 7486 TRONDHEIM Tlf.: 73 10 62 00 Faks: 73 10 62 30	Forsøksdato:	Dybde, z (m):	Borpunkt nr.:
	11.02.2013	9,25	Le6
	Forsøk nr.:	Tegnet:	Kontrollert:
	5	truk / kjt	ARV
	Oppdrag nr.:	Tegning nr.:	Godkjent:
	415655	RIG-TEG-094.1	OAA
			Programrevisjon:
			02.02.2011



Konsolideringsspenning, aksial:

$\sigma'_{ac}$  (kPa): 167,82

Konsolideringsspenning, radial:

$\sigma'_{rc}$  (kPa): 124,65

Volumtøyning i konsolideringsfase:

$\varepsilon_{vol}$  (%) =  $\Delta V/V_0$ : 1,44

Baktrykk  $u_b$  (kPa): 400

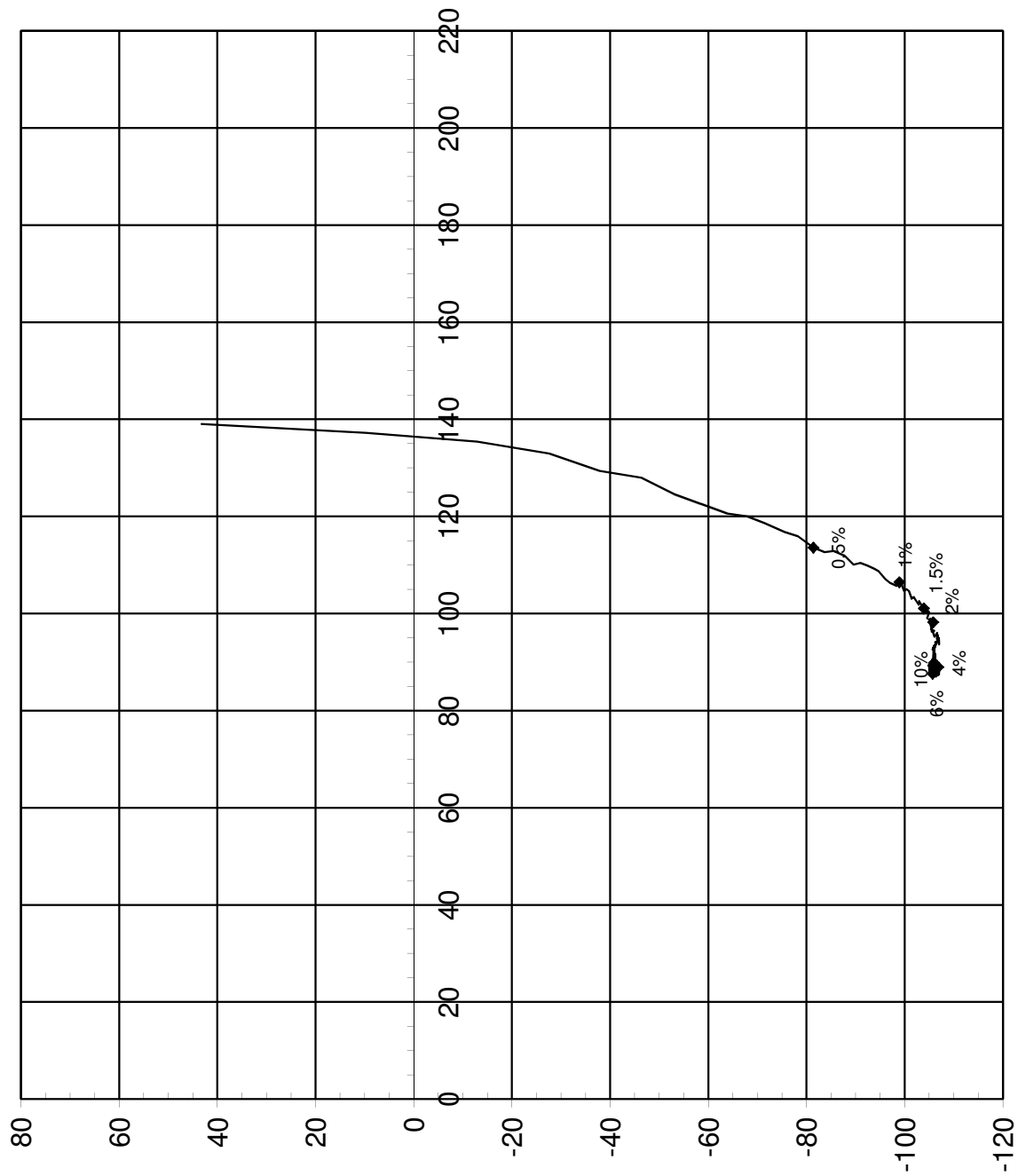
B - verdi =  $\Delta u/\Delta \sigma_c$  (-): 0,76

Vanninnhold  $w_i$  (%): 23,48

Densitet  $\rho_i$  (g/cm³): 2,06

Effektiv gjennomsnittsspenning,  $(\sigma'_a + \sigma'_r)/2$  [kPa]

<b>NVE Region midt</b>				Tegningens filnavn: 415655-RIG-TEG-094_hLe7, 9,25m.xlsx
<b>Kvikkleiresone Leire</b>				
Treaksialforsøk. Deviatorspenningssti. NGI-plott.				
<b>MULTICONULT AS</b> Sluppenvegen 23, 7486 TRONDHEIM Tlf.: 73 10 62 00 Faks: 73 10 62 30	Forsøksdato: 11.02.2013	Dybde, z (m): 9,25	Borpunkt nr.: Le6	
	Forsøk nr.: 5	Tegnet: truk / kjt	Kontrollert: ARV	Godkjent: OAA
	Oppdrag nr.: 415655	Tegning nr.: RIG-TEG-094.2	Prosedyre: CAUp	Programrevisjon: 02.02.2011



Deviatorspenning,  $q = 2\tau_{\max} = (\sigma'_a - \sigma'_r)$  [kPa]

Konsolideringsspenning, aksial:

$\sigma'_{ac}$  (kPa): 167,82

Konsolideringsspenning, radial:

$\sigma'_{rc}$  (kPa): 124,65

Volumtøyning i konsolideringsfase:

$\varepsilon_{vol}$  (%) =  $\Delta V/V_0$ : 1,44

Baktrykk  $u_b$  (kPa):

$B$  - verdi =  $\Delta u/\Delta \sigma_c$  (-): 0,76

Vanninnhold  $w_i$  (%):

23,48

Densitet  $\rho_i$  (g/cm<sup>3</sup>): 2,06

### NVE Region midt

#### Kvikkleiresone Leire

Treaksialforsøk. Deviatorspenningssti. q - p'- plott.

**MULTICONSULT AS**

Sluppenvegen 23,

7486 TRONDHEIM

Tlf.: 73 10 62 00

Faks: 73 10 62 30

Forsøksdato:  
11.02.2013

Dybde, z (m):  
9,25

Borpunkt nr.:  
Le6

Forsøk nr.:

Tegnet:

Kontrollert:

5

truk / kjt

ARV

Oppdrag nr.:

Tegning nr.:

Godkjent:

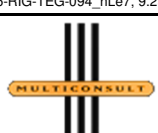
415655

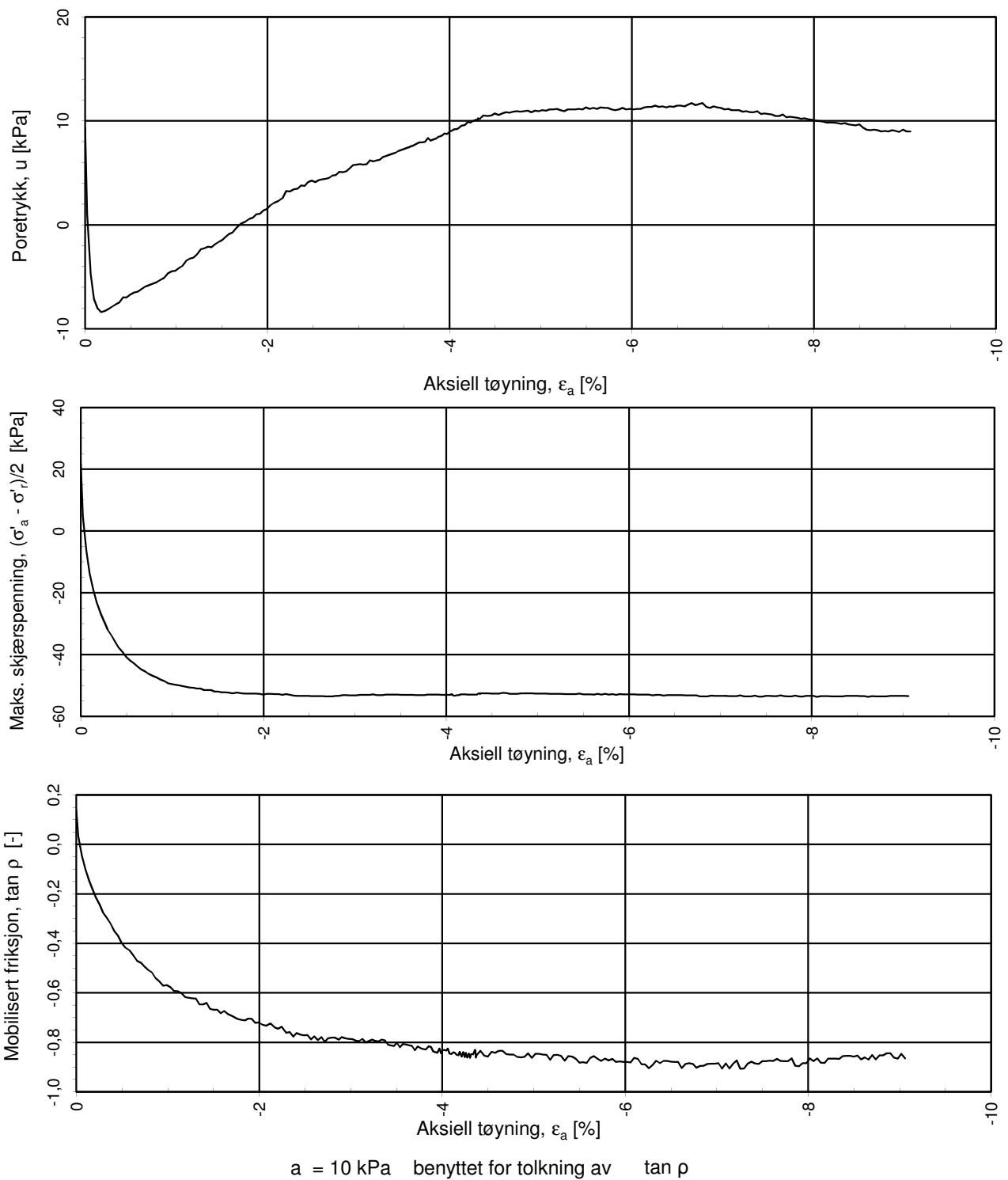
RIG-TEG-094.3

OAA

Tegningens filnavn:

415655-RIG-TEG-094\_hLe7, 9,25m.xlsx





**NVE Region midt**

**Kvikkleiresone Leire**

Treaksialforsøk. Poretrykks- og mobiliseringsforløp.

Tegningens filnavn:  
415655-RIG-TEG-094\_hLe7, 9.25m.xlsx



**MULTICONSULT AS**

Sluppenvegen 23,  
7486 TRONDHEIM  
Tlf.: 73 10 62 00  
Faks: 73 10 62 30

Forsøksdato:  
11.02.2013

Dybde,  $z$  (m):  
9,25

Borpunkt nr.:  
Le6

Forsøk nr.:

Tegnet:  
truk / kjt

Kontrollert:  
ARV

Godkjent:  
OAA

Oppdrag nr.:

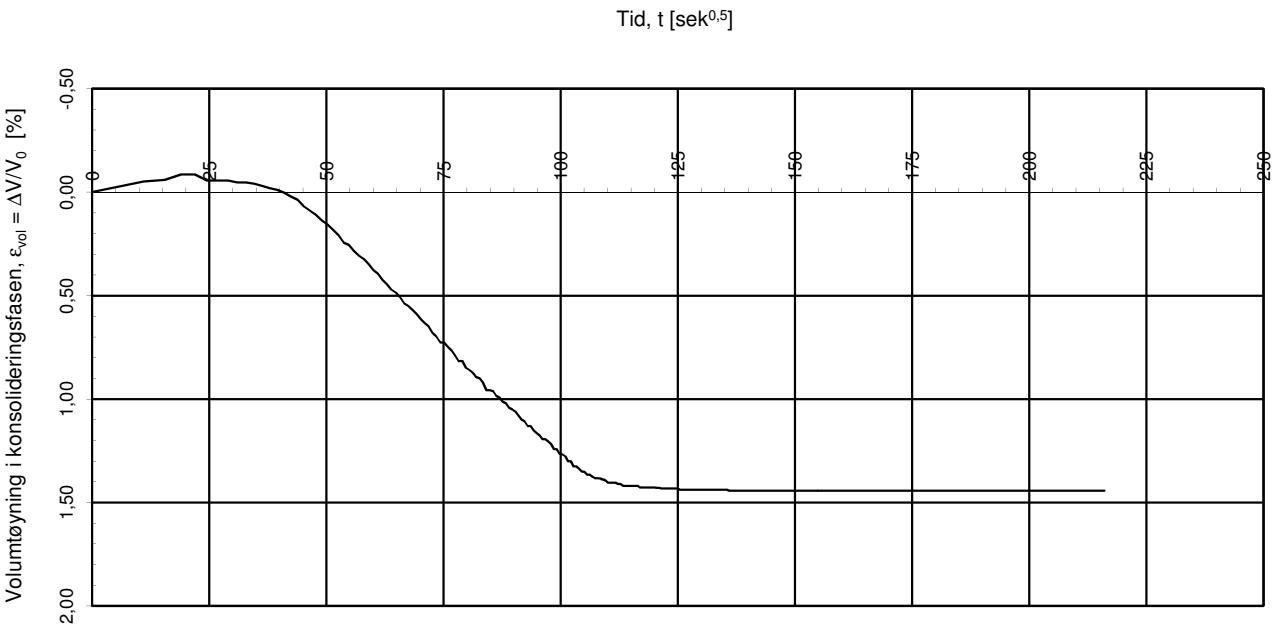
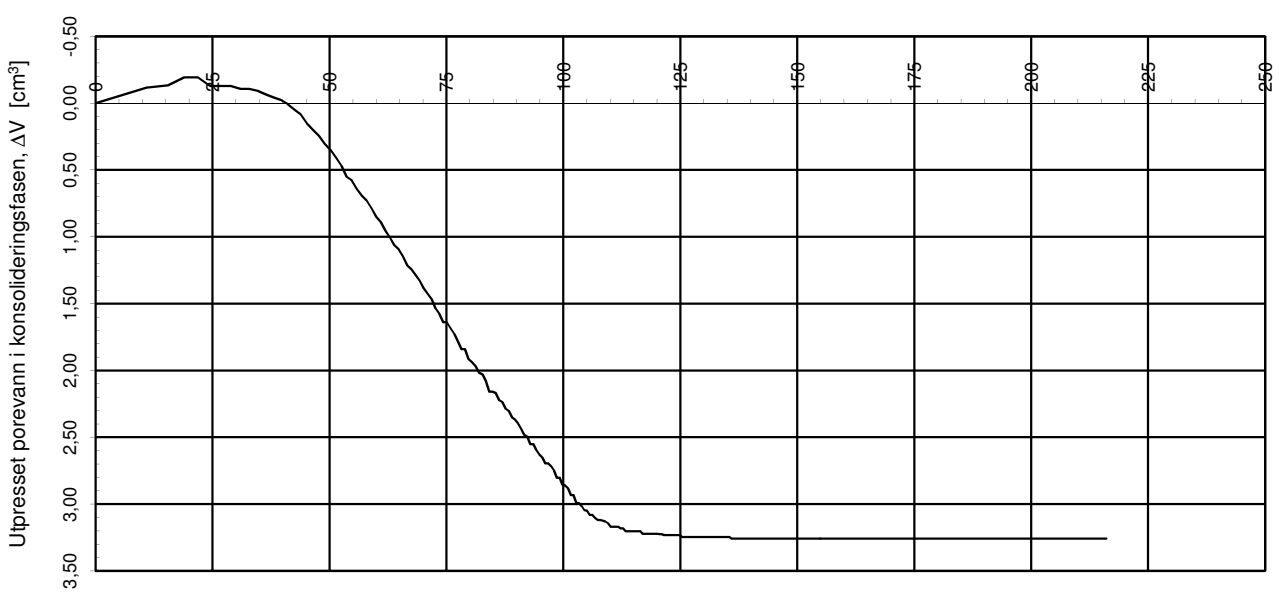
Tegning nr.:

Prosedyre:  
CAUp

Programrevisjon:  
02.02.2011

415655

RIG-TEG-094.4



Konsolideringsspenning, aksial:

$\sigma'_{ac}$  (kPa): 167,82

Konsolideringsspenning, radial:

$\sigma'_{rc}$  (kPa): 124,65

Volumtøyning i konsolideringsfase:

$\varepsilon_{vol}$  (%) =  $\Delta V/V_0$ : 1,44

Baktrykk  $u_b$  (kPa): 400

B - verdi =  $\Delta u/\Delta\sigma_c$  (-): 0,76

Vanninnhold  $w_i$  (%): 23,48

Densitet  $\rho_i$  (g/cm<sup>3</sup>): 2,06

## NVE Region midt

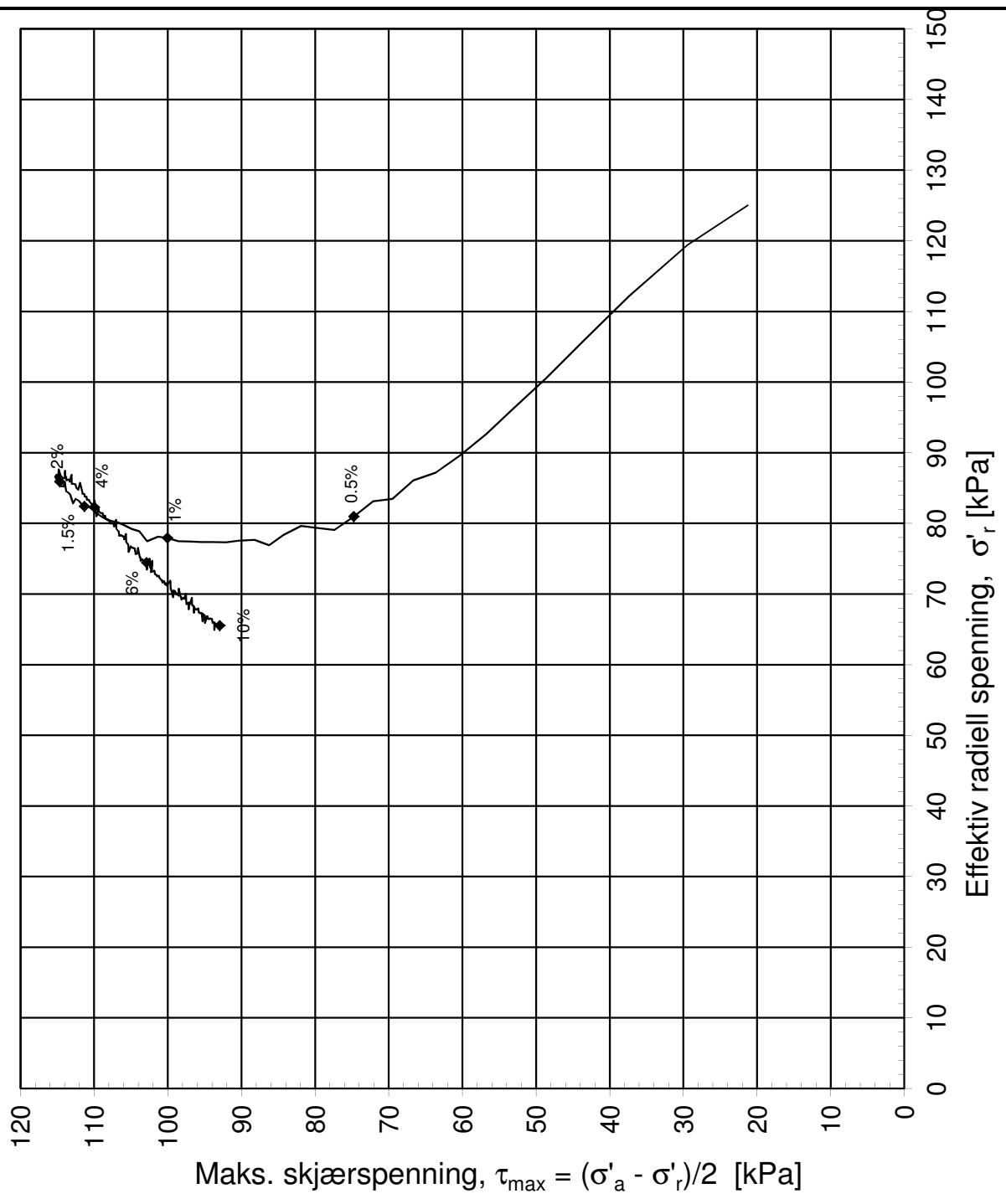
### Kvikkleiresone Leire

Treaksialforsøk. Vannutpressing - tid, konsolideringsfase.

Tegningens filnavn:  
415655-RIG-TEG-094\_hLe7, 9.25m.xlsx



<b>MULTICONSULT AS</b> Sluppenvegen 23, 7486 TRONDHEIM Tlf.: 73 10 62 00 Faks: 73 10 62 30	Forsøksdato:	Dybde, z (m):	Borpunkt nr.:
	11.02.2013	9,25	Le6
	Forsøk nr.:	Tegnet: truk / kjt	Kontrollert: ARV
	5		Godkjent: OAA
	Oppdrag nr.:	Tegning nr.:	Programrevisjon:
	415655	RIG-TEG-094.5	02.02.2011



Konsolideringsspenning, aksial:	$\sigma'_{ac}$ (kPa):	167,53
Konsolideringsspenning, radial:	$\sigma'_{rc}$ (kPa):	124,99
Volumtøyning i konsolideringsfase:	$\varepsilon_{vol}$ (%) = $\Delta V/V_0$ :	3,34
Baktrykk $u_b$ (kPa):	B - verdi = $\Delta u/\Delta \sigma_c$ (-):	0,81
Vanninnhold $w_i$ (%):	Densitet $\rho_i$ (g/cm³):	2,06

**NVE Region midt**

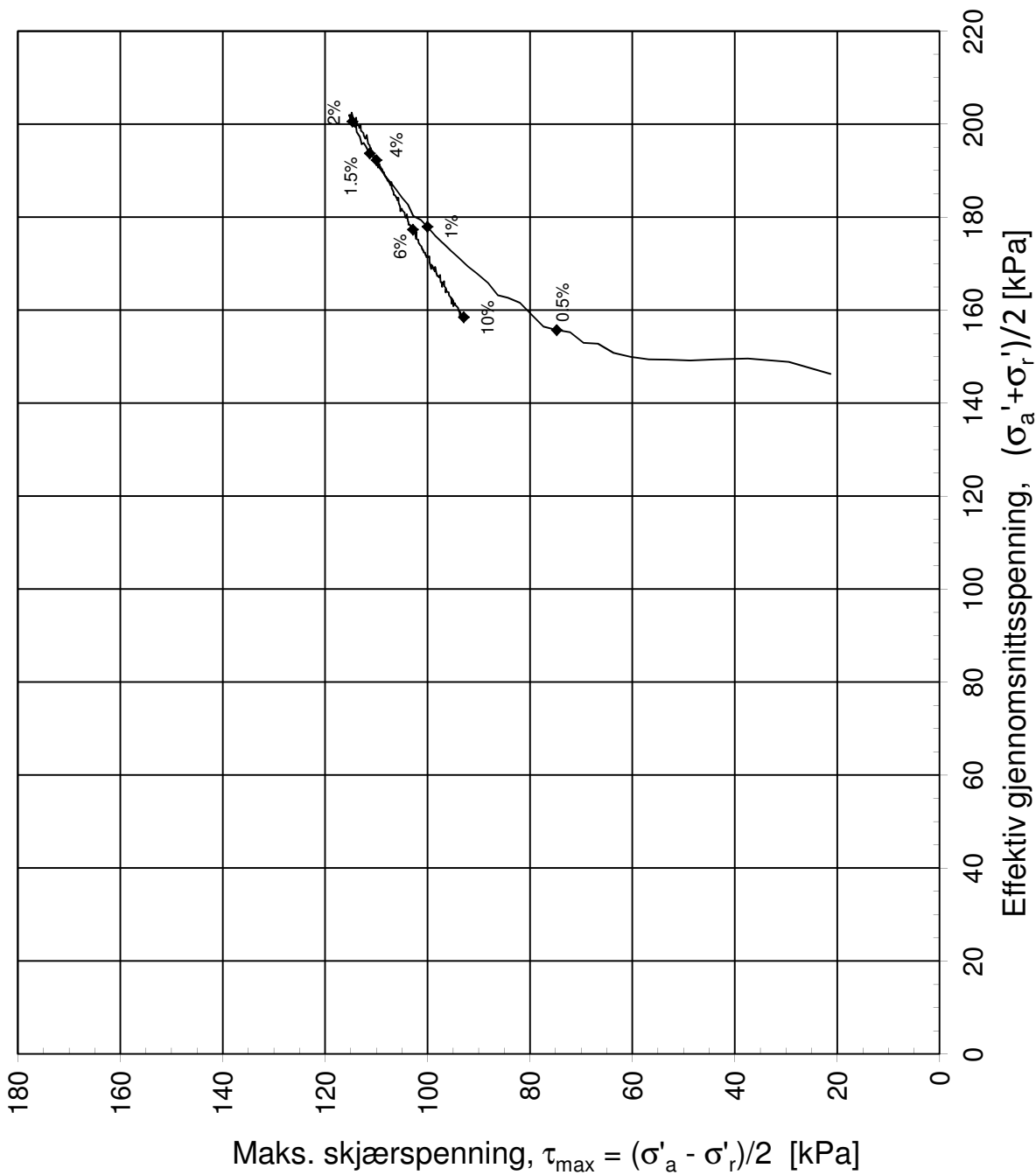
Tegningens filnavn:  
415655-RIG-TEG095\_hLe7, 9,4m.xlsx

**Kvikkleiresone Leira**

Treaksialforsøk. Deviatorspenningssti. NTNU-plott.

**MULTICONSULT AS**  
Sluppenvegen 23,  
7486 TRONDHEIM  
Tlf.: 73 10 62 00  
Faks: 73 10 62 30

Forsøksdato:	11.02.2013	Dybde, z (m):	9,40	Borpunkt nr.:	Le7
Forsøk nr.:	6	Tegnet:	truk	Kontrollert:	ARV
Oppdrag nr.:	415655	Tegning nr.:	RIG-TEG-095.1	Prosedyre:	CAUa
				Godkjent:	OAA
				Programrevisjon:	02.02.2011



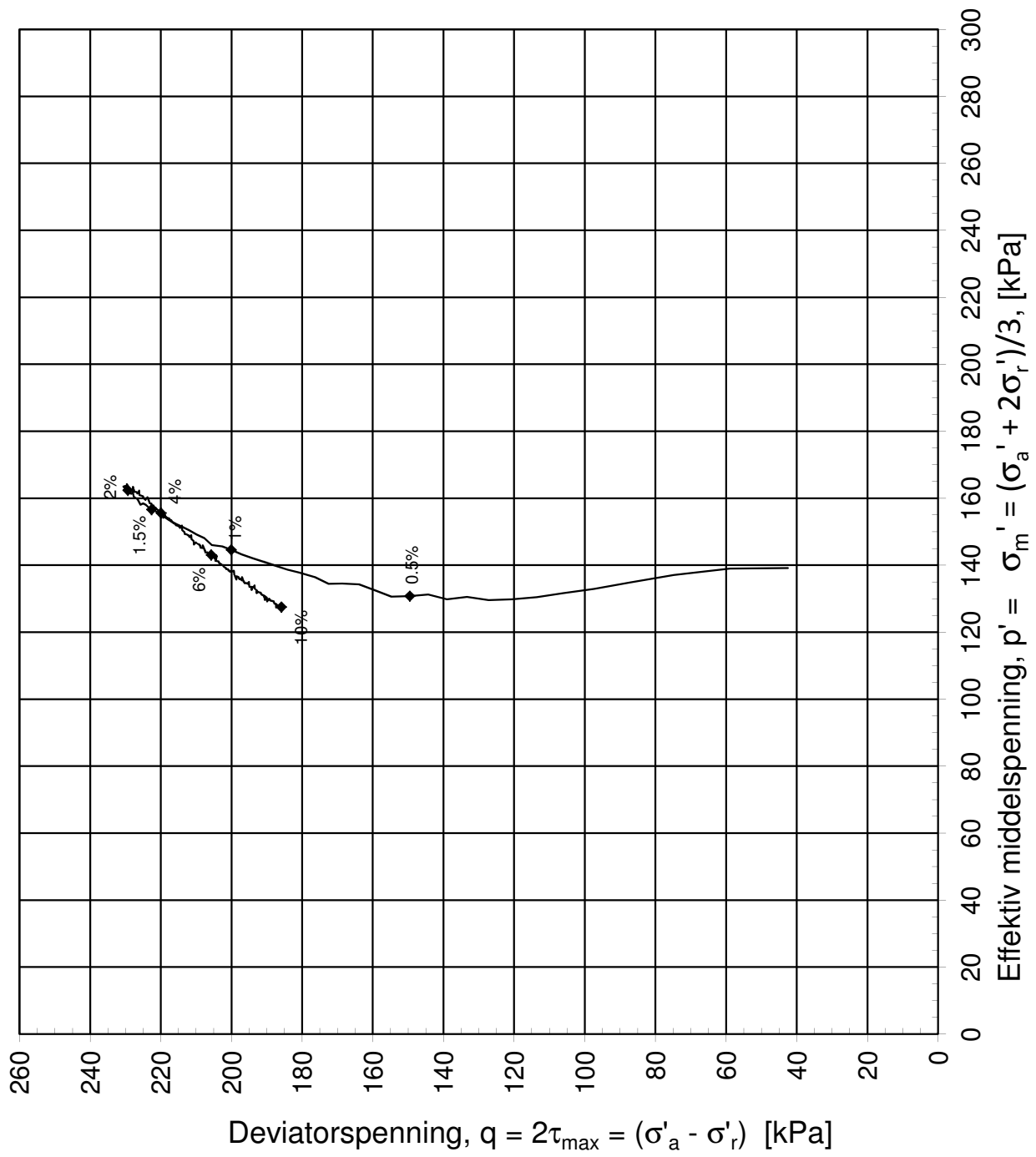
Konsolideringsspenning, aksial:	$\sigma'_{ac}$ (kPa):	167,53
Konsolideringsspenning, radial:	$\sigma'_{rc}$ (kPa):	124,99
Volumtøyning i konsolideringsfase:	$\varepsilon_{vol}$ (%) = $\Delta V/V_0$ :	3,34
Baktrykk $u_b$ (kPa):	$B$ - verdi = $\Delta u/\Delta\sigma_c$ (-):	0,81
Vanninnhold $w_i$ (%):	Densitet $\rho_i$ (g/cm <sup>3</sup> ):	2,06

### NVE Region midt

### Kvikkleiresone Leira

Treaksialforsøk. Deviatorspenningssti. NGI-plott.

<b>MULTICONSULT AS</b> Sluppenvegen 23, 7486 TRONDHEIM Tlf.: 73 10 62 00 Faks: 73 10 62 30	Forsøksdato: 11.02.2013	Dybde, z (m): 9,40	Borpunkt nr.: Le7	 Tegningens filnavn: 415655-RIG-TEG-095_hLe7, 9.4m.xlsx
	Forsøk nr.: 6	Tegnet: truk	Kontrollert: ARV	
	Oppdrag nr.: 415655	Tegning nr.: RIG-TEG-095.2	Prosedyre: CAUa	
			Programrevisjon: 02.02.2011	



Konsolideringsspenning, aksial:

$\sigma'_{ac}$  (kPa): 167,53

Konsolideringsspenning, radial:

$\sigma'_{rc}$  (kPa): 124,99

Volumtøyning i konsolideringsfase:

$\varepsilon_{vol}$  (%) =  $\Delta V/V_0$ : 3,34

Baktrykk  $u_b$  (kPa):

400 B - verdi =  $\Delta u/\Delta\sigma_c$  (-): 0,81

Vanninnhold  $w_i$  (%):

23,48 Densitet  $\rho_i$  (g/cm³): 2,06

### NVE Region midt

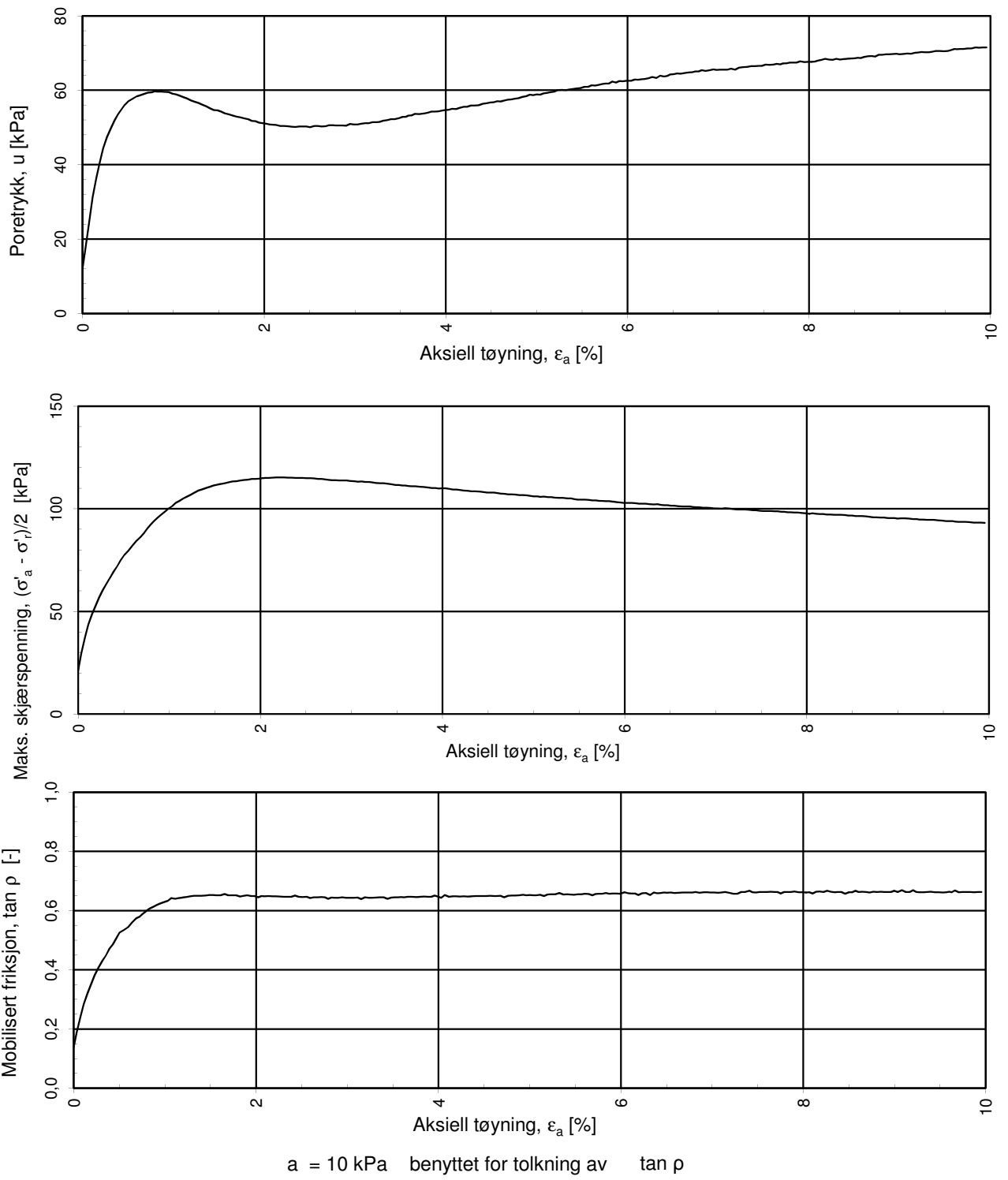
#### Kvikkleiresone Leira

Treaksialforsøk. Deviatorspenningssti. q - p'- plott.

Tegningens filnavn:  
415655-RIG-TEG095\_hLe7, 9.4m.xlsx



<b>MULTICONSULT AS</b> Sluppenvegen 23, 7486 TRONDHEIM Tlf.: 73 10 62 00 Faks: 73 10 62 30	Forsøksdato: 11.02.2013	Dybde, z (m): 9,40	Borpunkt nr.: Le7
	Forsøk nr.: 6	Tegnet: truk	Kontrollert: ARV
	Oppdrag nr.: 415655	Tegning nr.: RIG-TEG-095.3	Godkjent: OAA
Prosedyre: CAUa		Programrevisjon: 02.02.2011	



**NVE Region midt**

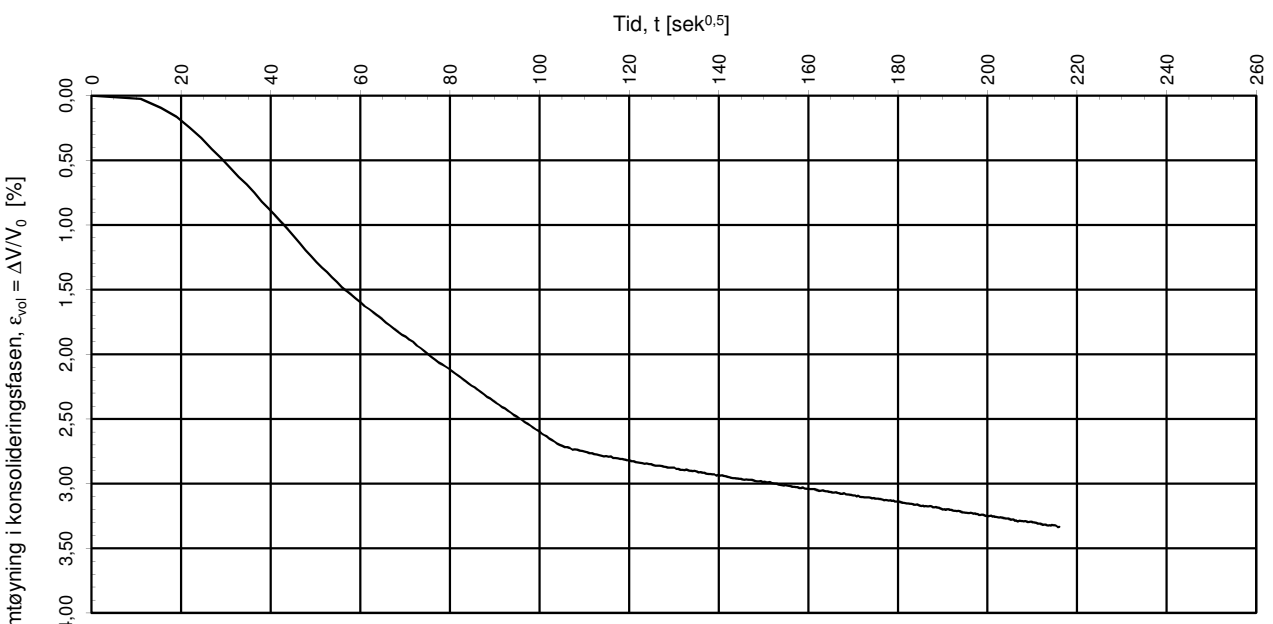
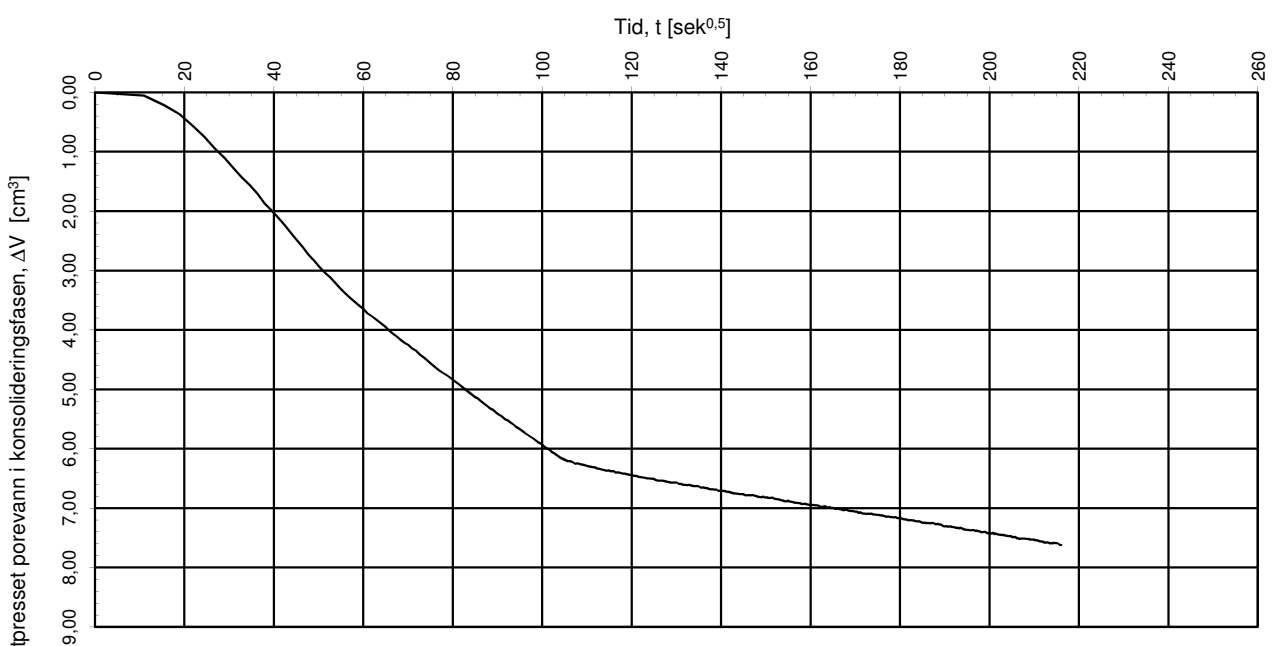
**Kvikkleiresone Leira**

Treaksialforsøk. Poretrykks- og mobiliseringsforløp.

Tegningens filnavn:  
415655-RIG-TEG0.95\_hLe7, 9.4m.xls



<b>MULTICONSULT AS</b> Sluppenvegen 23, 7486 TRONDHEIM Tlf.: 73 10 62 00 Faks: 73 10 62 30	Forsøksdato: 11.02.2013	Dybde, z (m): 9,40	Borpunkt nr.: Le7
	Forsøk nr.: 6	Tegnet: truk	Kontrollert: ARV
	Oppdrag nr.: 415655	Tegning nr.: RIG-TEG-095.4	Godkjent: OAA
			Programrevisjon: 02.02.2011



Konsolideringsspenning, aksial:

$\sigma'_{\text{ac}}$  (kPa): 167,53

Konsolideringsspenning, radial:

$\sigma'_{\text{rc}}$  (kPa): 124,99

Volumtøyning i konsolideringsfase:

$\varepsilon_{\text{vol}}$  (%):  $\Delta V/V_0$ : 3,34

Baktrykk  $u_b$  (kPa):

400

B - verdi =  $\Delta u/\Delta \sigma_c$  (-): 0,81

Vanninnhold  $w_i$  (%):

23,48

Densitet  $\rho_i$  ( $\text{g}/\text{cm}^3$ ): 2,06

**NVE Region midt**

Tegningens filnavn:

415655-RIG-TEG0.95\_hLe7, 9.4m.xlsx



**Kvikkleiresone Leira**

Treaksialforsøk. Vannutpressing - tid, konsolideringsfase.

**MULTICONSULT AS**

Sluppenvegen 23,  
7486 TRONDHEIM  
Tlf.: 73 10 62 00  
Faks: 73 10 62 30

Forsøksdato:

11.02.2013

Dybde, z (m):

9,40

Borpunkt nr.:

Le7

Forsøk nr.:

6

Tegnet:

truk

Kontrollert:

ARV

Godkjent:

OAA

Oppdrag nr.:

415655

Tegning nr.:

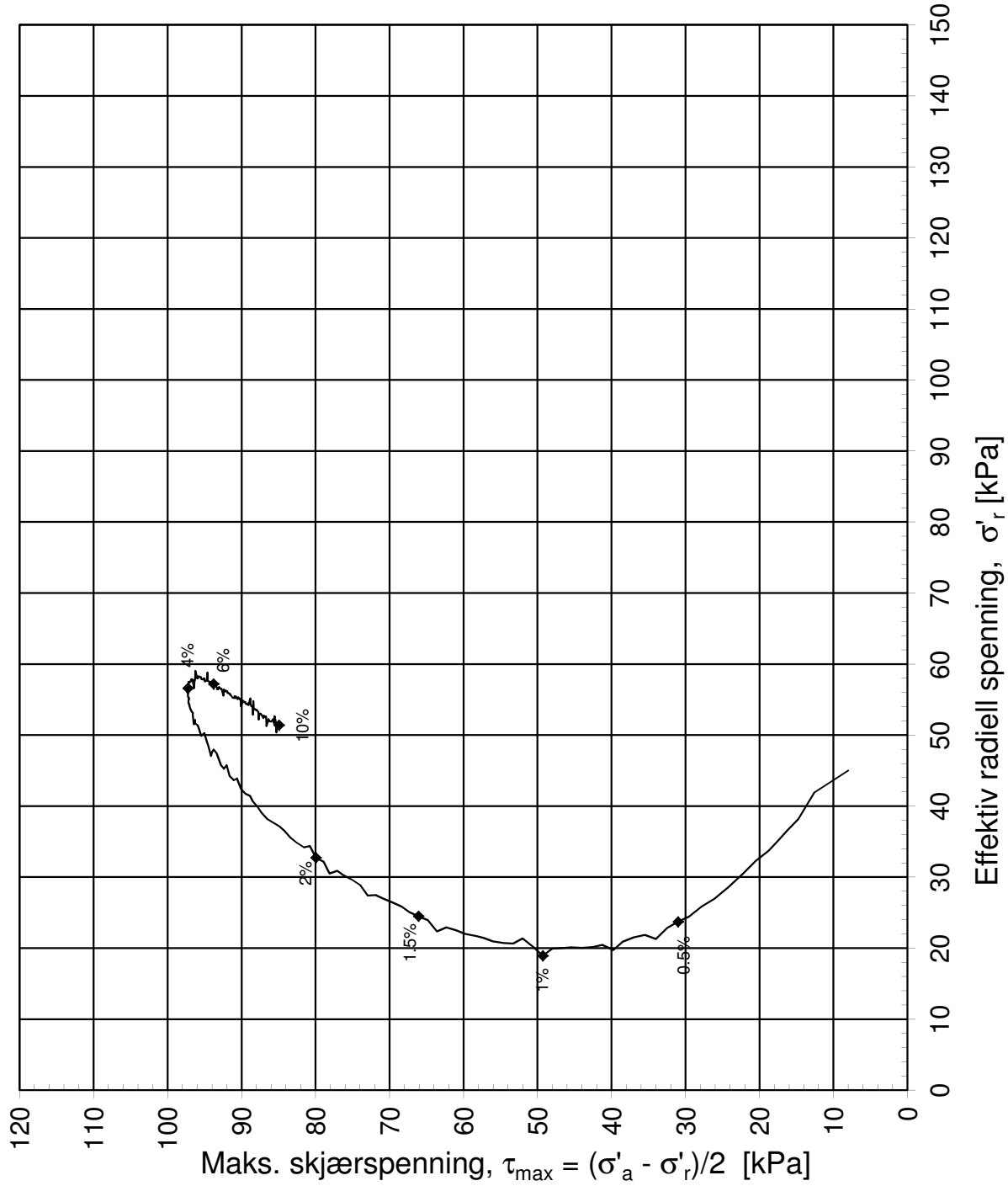
RIG-TEG-095.5

Prosedyre:

CAUa

Programrevisjon:

02.02.2011



Konsolideringsspenning, aksial:	$\sigma'_{ac}$ (kPa):	61,03
Konsolideringsspenning, radial:	$\sigma'_{rc}$ (kPa):	45,02
Volumtøyning i konsolideringsfase:	$\varepsilon_{vol}$ (%) = $\Delta V/V_0$ :	1,26
Baktrykk $u_b$ (kPa):	B - verdi = $\Delta u/\Delta \sigma_c$ (-):	0,90
Vanninnhold $w_i$ (%):	Densitet $\rho_i$ (g/cm³):	2,01

**NVE Region midt**

Tegningens filnavn:  
415655-RIG-TEG-096\_hLe13, 5.25m.xlsx

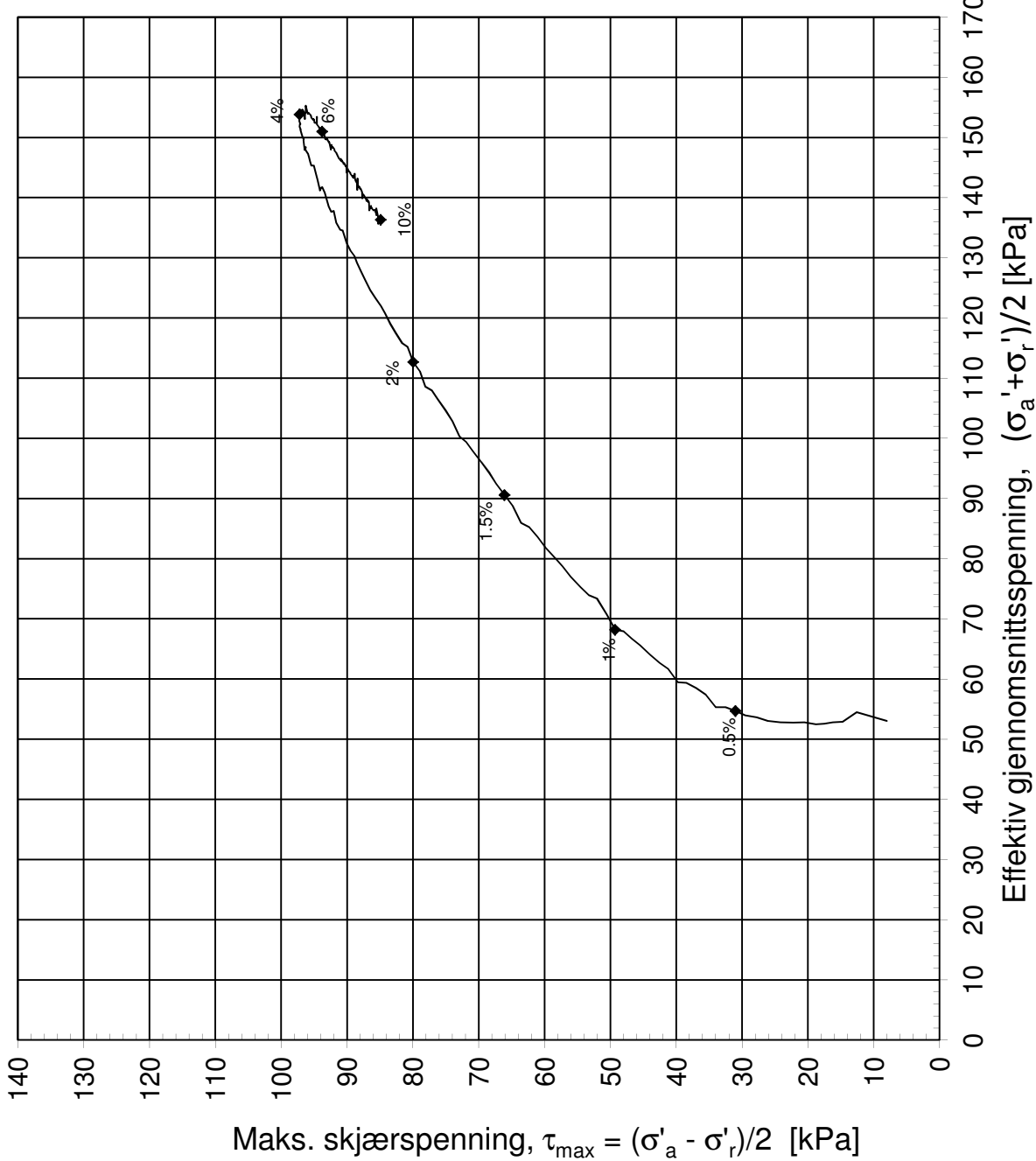
**Kvikkleiresone Leira**

Treaksialforsøk. Deviatorspenningssti. NTNU-plott.



**MULTICONSULT AS**  
Sluppenvegen 23,  
7486 TRONDHEIM  
Tlf.: 73 10 62 00  
Faks: 73 10 62 30

Forsøksdato:	18.02.2013	Dybde, z (m):	5,25	Borpunkt nr.:	Le13
Forsøk nr.:	7	Tegnet:	truk / kjt	Kontrollert:	ARV
Oppdrag nr.:	415655	Tegning nr.:	RIG-TEG-096.1	Prosedyre:	CAUa
				Godkjent:	OAA
				Programrevisjon:	02.02.2011



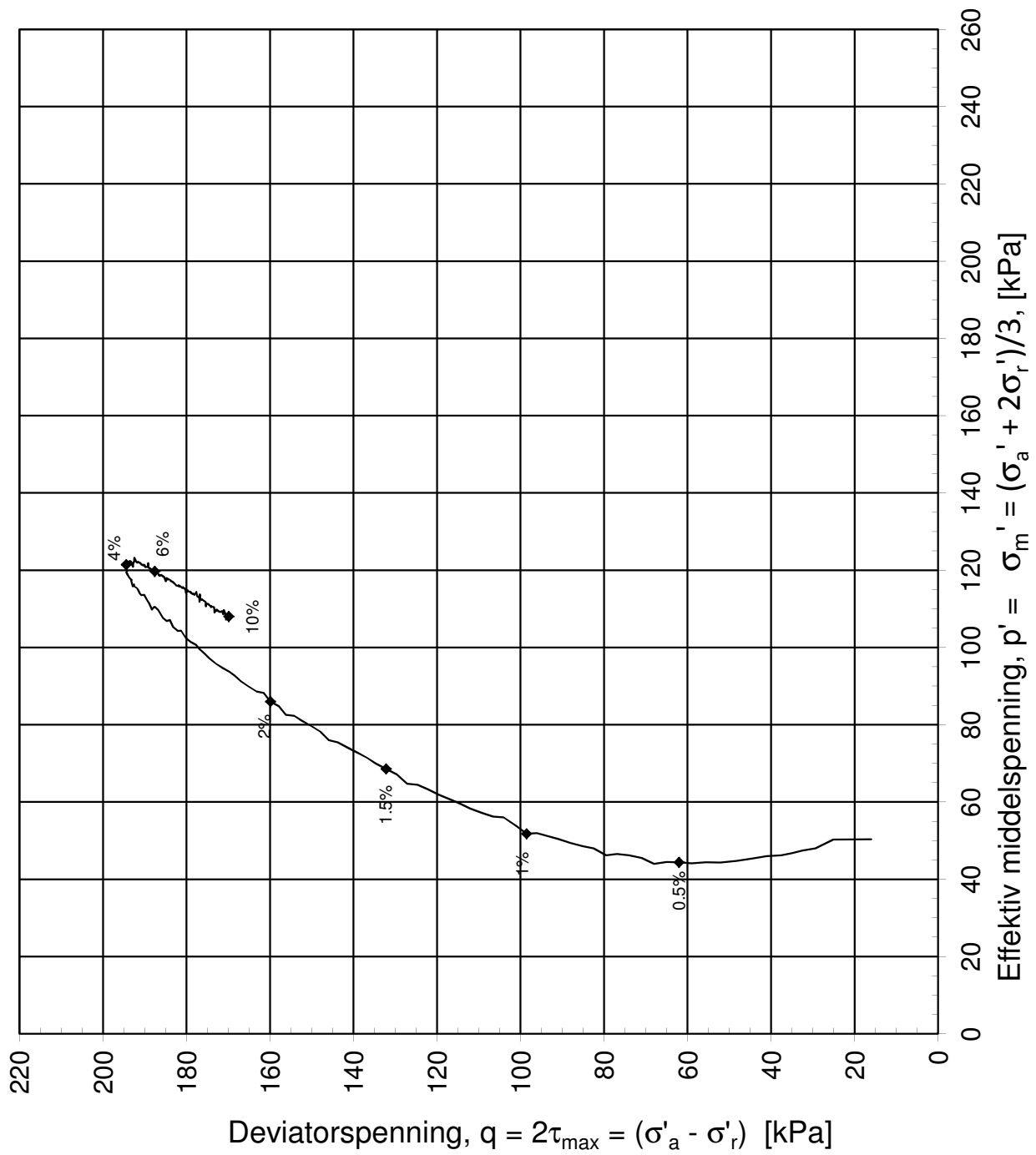
Konsolideringsspenning, aksial:	$\sigma'_{ac}$ (kPa):	61,03
Konsolideringsspenning, radial:	$\sigma'_{rc}$ (kPa):	45,02
Volumtøyning i konsolideringsfase:	$\varepsilon_{vol}$ (%) = $\Delta V/V_0$ :	1,26
Baktrykk $u_b$ (kPa):	$B$ - verdi = $\Delta u/\Delta\sigma_c$ (-):	0,90
Vanninnhold $w_i$ (%):	Densitet $\rho_i$ (g/cm <sup>3</sup> ):	2,01

### NVE Region midt

### Kvikkleiresone Leira

Treaksialforsøk. Deviatorspenningssti. NGI-plott.

<b>MULTICONSULT AS</b> Sluppenvegen 23, 7486 TRONDHEIM Tlf.: 73 10 62 00 Faks: 73 10 62 30	Forsøksdato:	Dybde, z (m):	Borpunkt nr.:	Tegningens filnavn: 415655-RIG-TEG-096_hLe13, 5,25m.xlsx  
	18.02.2013	5,25	Le13	
	Forsøk nr.:	Tegnet:	Kontrollert:	
	7	truk / kjt	ARV	
	Oppdrag nr.:	Tegning nr.:	Prosedyre:	Godkjent:
	415655	RIG-TEG-096.2	CAUa	OAA
				Programrevisjon: 02.02.2011



Konsolideringsspenning, aksial:

$\sigma'_{ac}$  (kPa): 61,03

Konsolideringsspenning, radial:

$\sigma'_{rc}$  (kPa): 45,02

Volumtøyning i konsolideringsfase:

$\varepsilon_{vol}$  (%) =  $\Delta V/V_0$ : 1,26

Baktrykk  $u_b$  (kPa):

400 B - verdi =  $\Delta u/\Delta\sigma_c$  (-): 0,90

Vanninnhold  $w_i$  (%):

26,50 Densitet  $\rho_i$  (g/cm³): 2,01

### NVE Region midt

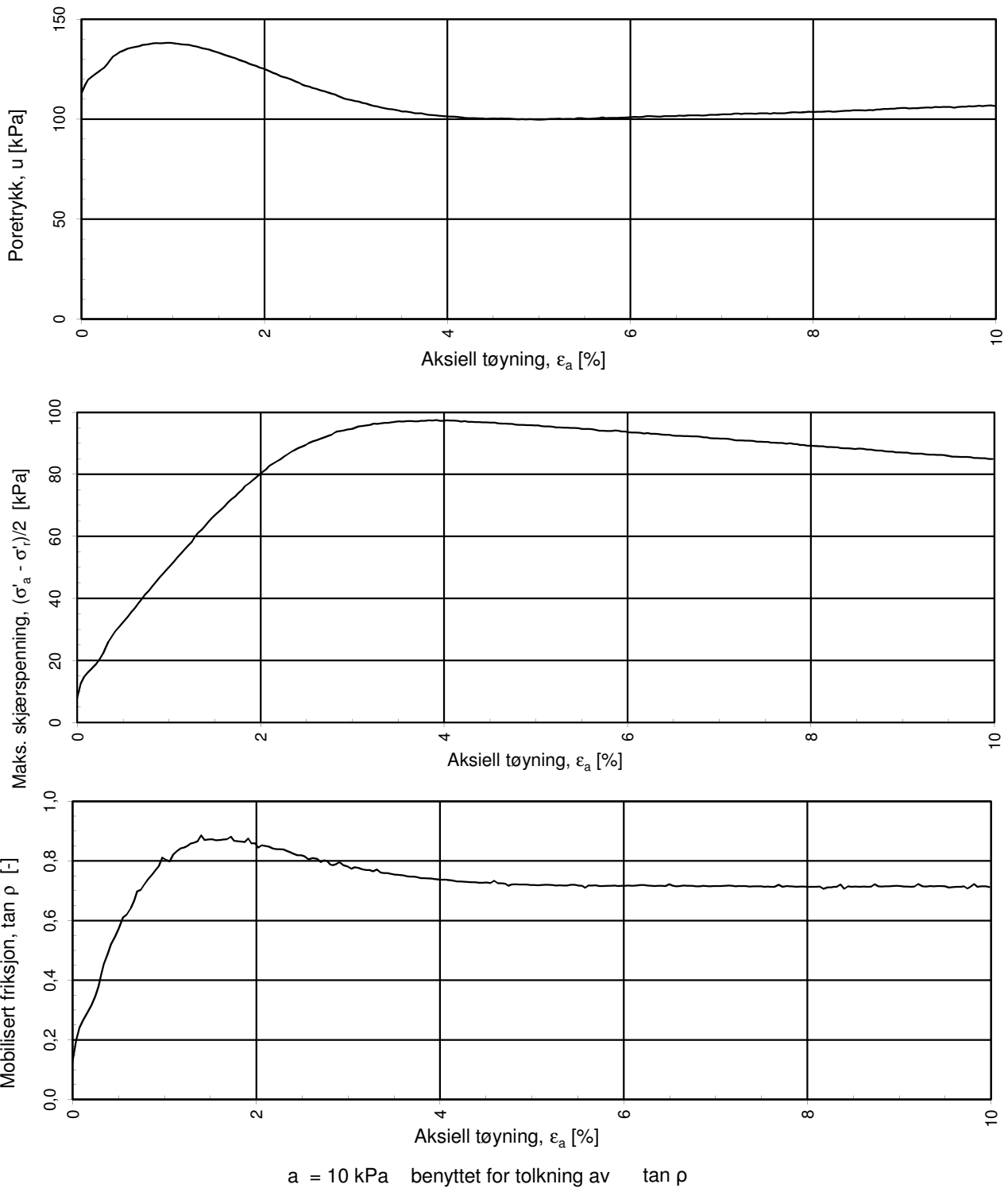
#### Kvikkleiresone Leira

Treaksialforsøk. Deviatorspenningssti.  $q$  -  $p'$ - plott.

Tegningens filnavn:  
415655-RIG-TEG-096\_hLe13, 5,25m.xlsx



<b>MULTICONSULT AS</b> Sluppenvegen 23, 7486 TRONDHEIM Tlf.: 73 10 62 00 Faks: 73 10 62 30	Forsøksdato: 18.02.2013	Dybde, z (m): 5,25	Borpunkt nr.: Le13
	Forsøk nr.: 7	Tegnet: truk / kjt	Kontrollert: ARV
	Oppdrag nr.: 415655	Tegning nr.: RIG-TEG-096.3	Godkjent: OAA
Prosedyre: CAUa		Programrevisjon: 02.02.2011	



**NVE Region midt**

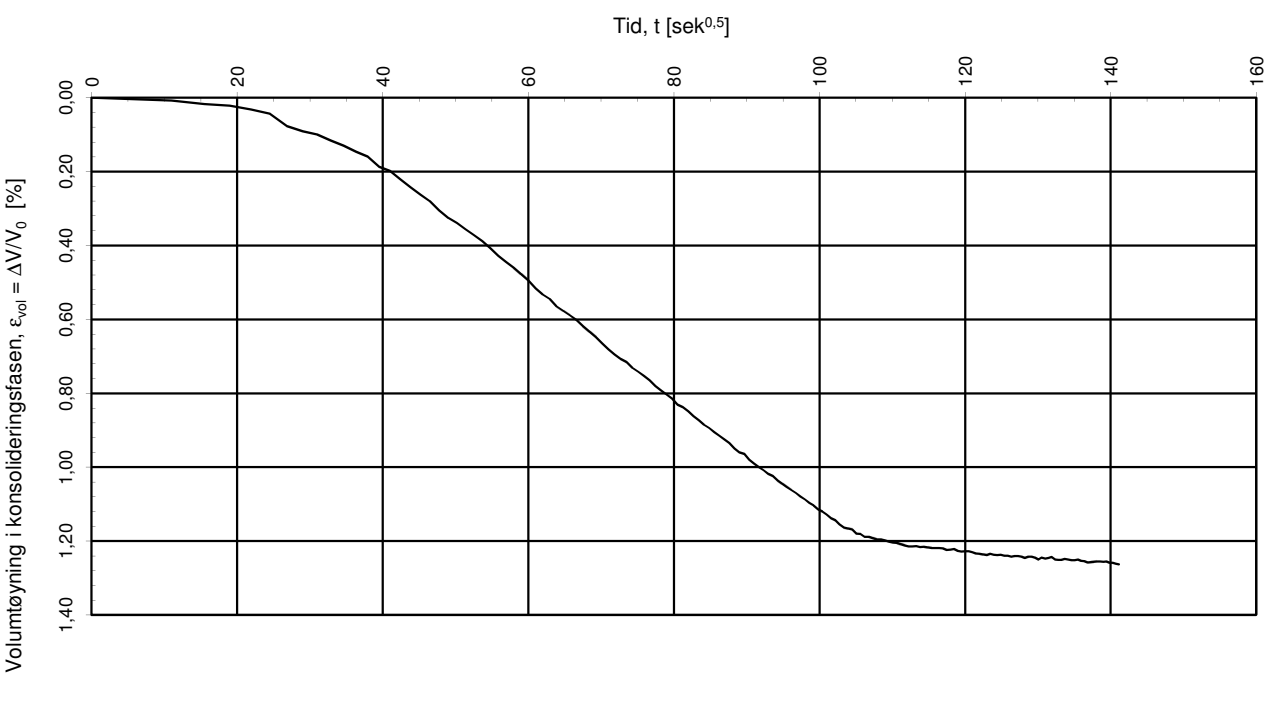
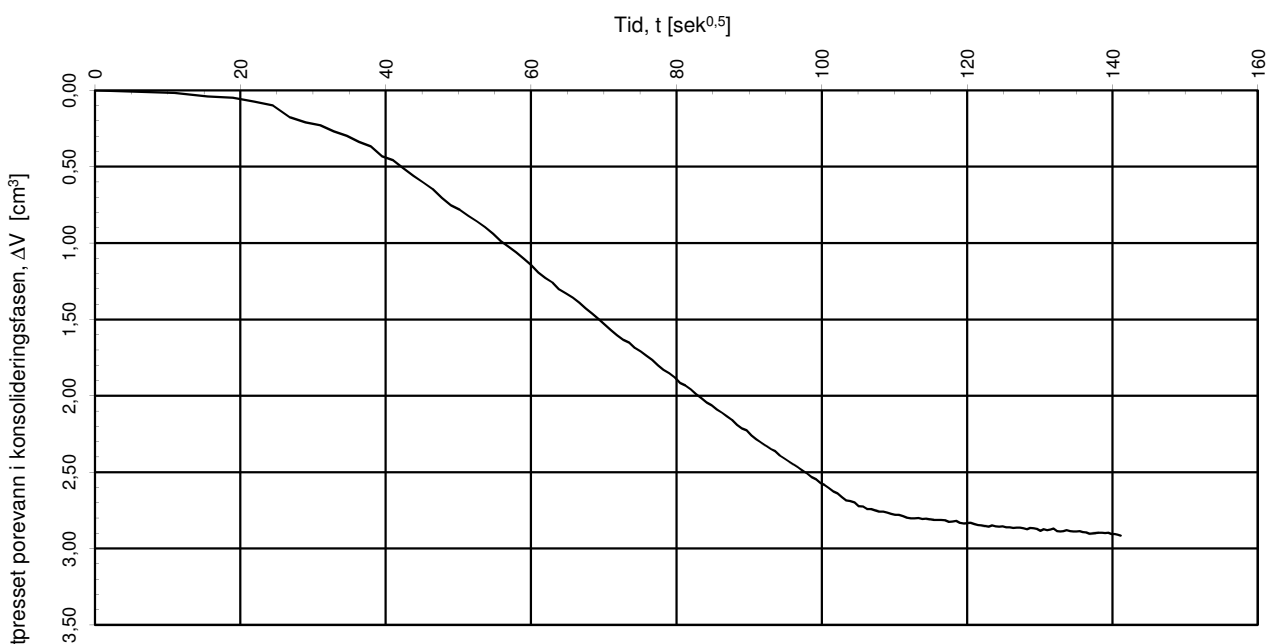
**Kvikkleiresone Leira**

Treaksialforsøk. Poretrykks- og mobiliseringsforløp.

Tegningens filnavn:  
415655-RIG-TEG-096\_hLe13, 5.25m.xlsx



<b>MULTICONSULT AS</b> Sluppenvegen 23, 7486 TRONDHEIM Tlf.: 73 10 62 00 Faks: 73 10 62 30	Forsøksdato: 18.02.2013	Dybde, z (m): 5,25	Borpunkt nr.: Le13
	Forsøk nr.: 7	Tegnet: truk / kjt	Kontrollert: ARV
	Oppdrag nr.: 415655	Tegning nr.: RIG-TEG-096.4	Godkjent: OAA
			Programrevisjon: 02.02.2011



Konsolideringsspenning, aksial:  $\sigma'_{ac}$  (kPa): 61,03  
 Konsolideringsspenning, radial:  $\sigma'_{rc}$  (kPa): 45,02  
 Volumtøyning i konsolideringsfase:  $\varepsilon_{vol}$  (%) =  $\Delta V/V_0$ : 1,26  
 Baktrykk  $u_b$  (kPa): 400 B - verdi =  $\Delta u/\Delta\sigma_c$  (-): 0,90  
 Vanninnhold  $w_i$  (%): 26,50 Densitet  $\rho_i$  (g/cm³): 2,01

### NVE Region midt

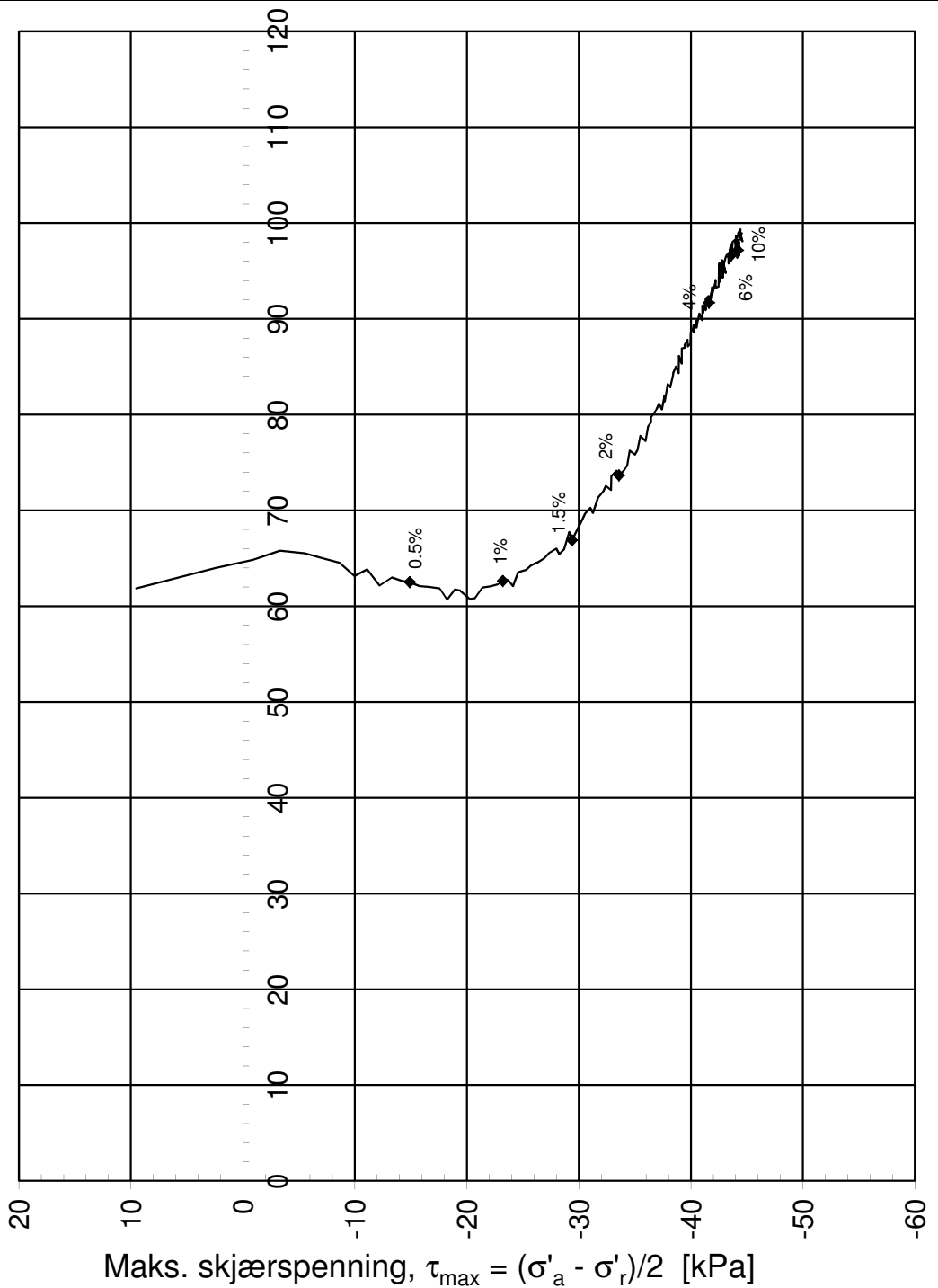
#### Kvikkleiresone Leira

Treaksialforsøk. Vannutpressing - tid, konsolideringsfase.

Tegningens filnavn:  
415655-RIG-TEG-096\_hLe13, 5,25m.xlsx



<b>MULTICONSULT AS</b> Sluppenvegen 23, 7486 TRONDHEIM Tlf.: 73 10 62 00 Faks: 73 10 62 30	Forsøksdato:	Dybde, z (m):	Borpunkt nr.:
	18.02.2013	5,25	Le13
	Forsøk nr.:	Tegnet:	Kontrollert:
	7	truk / kjt	ARV
	Oppdrag nr.:	Tegning nr.:	Godkjent:
	415655	RIG-TEG-096.5	OAA
			Programrevisjon:
			02.02.2011



Konsolideringsspenning, aksial:	$\sigma'_{ac}$ (kPa):	80,86
Konsolideringsspenning, radial:	$\sigma'_{rc}$ (kPa):	61,85
Volumtøyning i konsolideringsfase:	$\varepsilon_{vol}$ (%) = $\Delta V/V_0$ :	3,58
Baktrykk $u_b$ (kPa):	$B$ - verdi = $\Delta u/\Delta \sigma_c$ (-):	0,77
Vanninnhold $w_i$ (%):	Densitet $\rho_i$ (g/cm <sup>3</sup> ):	2,07

### NVE Region midt

#### Kvikkleiresone Leira

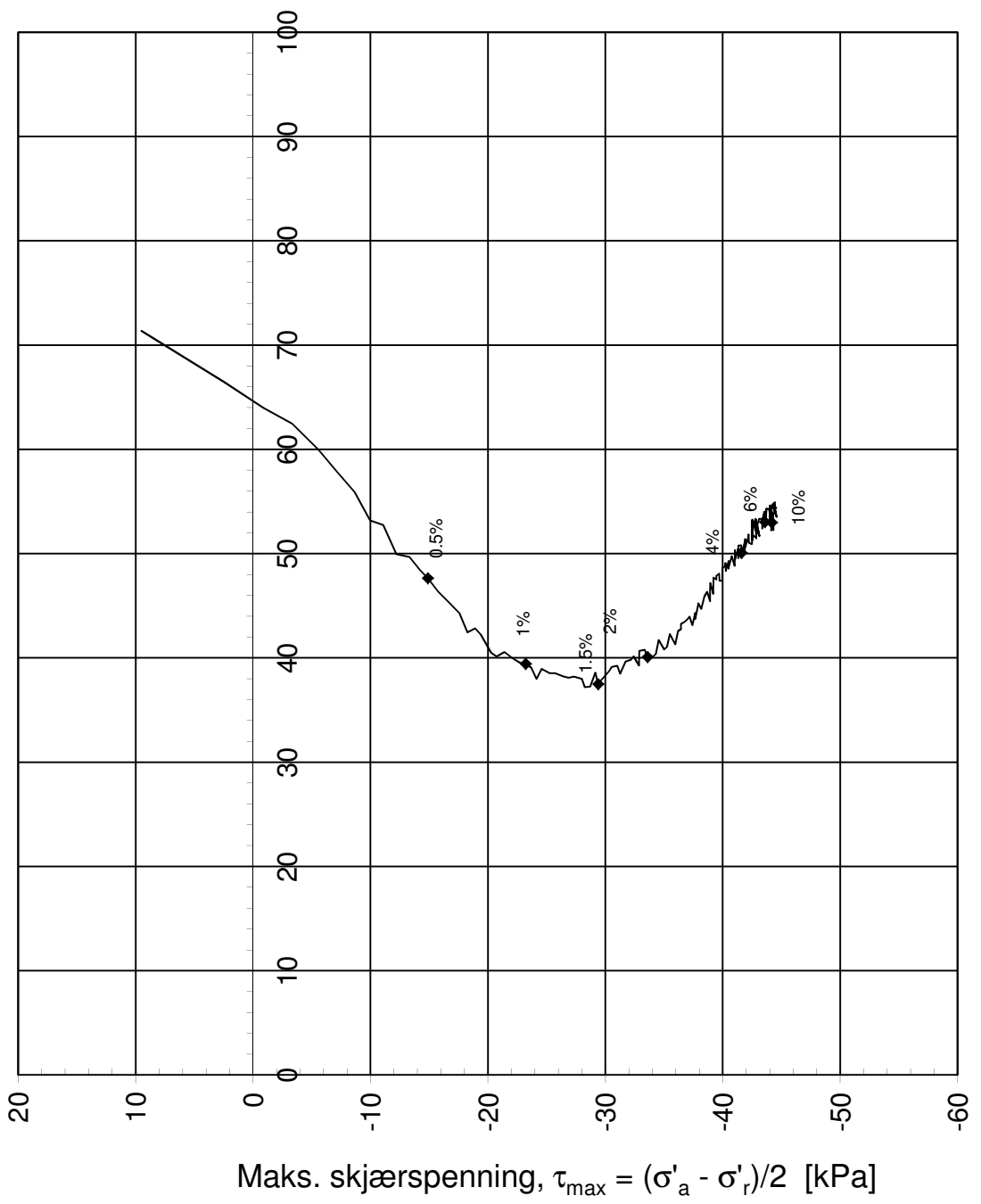
Treaksialforsøk. Deviatorspenningsst. NTNU-plott.

Tegningens filnavn:  
415655-RIG-TEG-097-hLe13-6.45m.xlsx



**MULTICONSULT AS**  
Sluppenvegen 23,  
7486 TRONDHEIM  
Tlf.: 73 10 62 00  
Faks: 73 10 62 30

Forsøksdato:	26.02.2013	Dybde, z (m):	6,45	Borpunkt nr.:	Le13
Forsøk nr.:	8	Tegnet:	kjt	Kontrollert:	ARV
Oppdrag nr.:	415655	Tegning nr.:	RIG-TEG-097.1	Prosedyre:	CAUp
				Godkjent:	OAA
				Programrevisjon:	02.02.2011



Effektiv gjennomsnittsspenning,  $(\sigma'_a + \sigma'_r)/2$  [kPa]

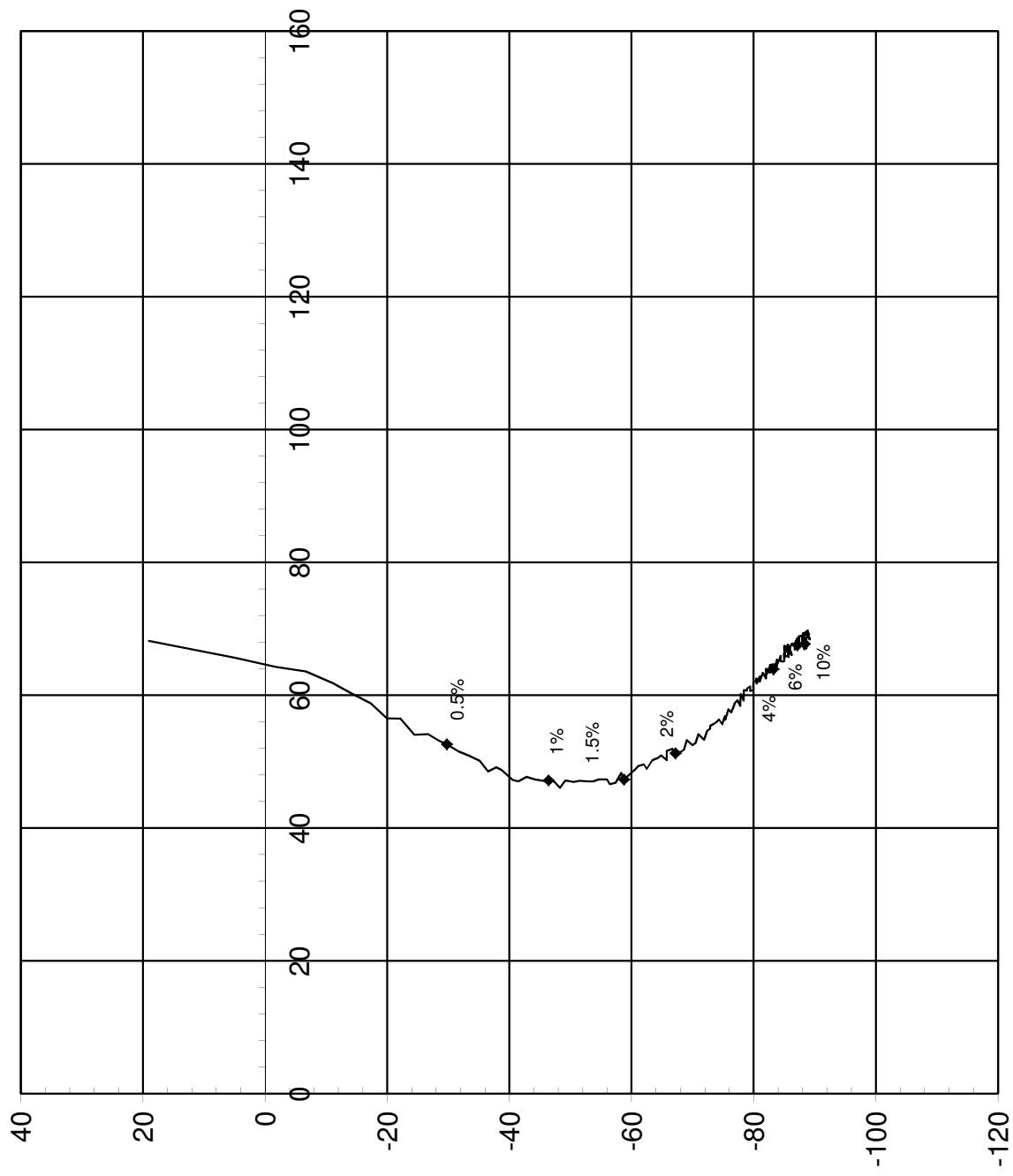
Konsolideringsspenning, aksial:	$\sigma'_{ac}$ (kPa):	80,86
Konsolideringsspenning, radial:	$\sigma'_{rc}$ (kPa):	61,85
Volumtøyning i konsolideringsfase:	$\varepsilon_{vol}$ (%) = $\Delta V/V_0$ :	3,58
Baktrykk $u_b$ (kPa):	$B$ - verdi = $\Delta u/\Delta \sigma_c$ (-):	0,77
Vanninnhold $w_i$ (%):	Densitet $\rho_i$ (g/cm³):	2,07

### NVE Region midt

### Kvikkleiresone Leira

Treaksalforsøk. Deviatorspenningssti. NGI-plott.

<b>MULTICONULT AS</b> Sluppenvegen 23, 7486 TRONDHEIM Tlf.: 73 10 62 00 Faks: 73 10 62 30	Forsøksdato:	Dybde, z (m):	Borpunkt nr.:	Tegningens filnavn: 415655-RIG-TEG-097-hLe13-6.45m.xlsx  
	26.02.2013	6,45	Le13	
	Forsøk nr.:	Tegnet:	Kontrollert:	
	8	kjt	ARV	
	Oppdrag nr.:	Tegning nr.:	Prosedyre:	Godkjent:
	415655	RIG-TEG-097.2	CAUp	OAA
				Programrevisjon: 02.02.2011



Effektiv middelspenning,  $p' = \sigma_m' = (\sigma_a' + 2\sigma_r')/3, [\text{kPa}]$

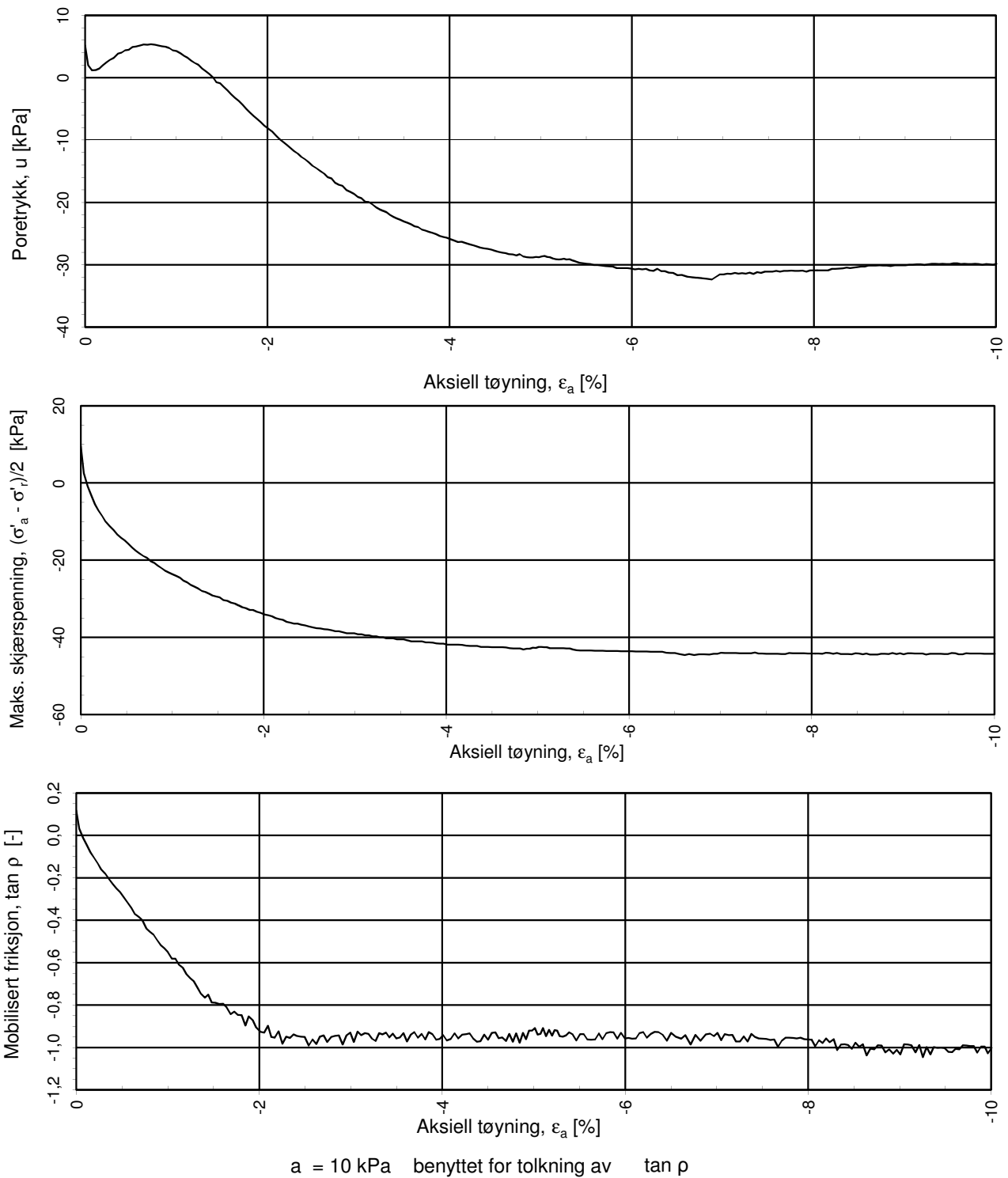
Konsolideringsspenning, aksial:	$\sigma'_{ac}$ (kPa):	80,86
Konsolideringsspenning, radial:	$\sigma'_{rc}$ (kPa):	61,85
Volumtøyning i konsolideringsfase:	$\varepsilon_{vol}$ (%) = $\Delta V/V_0$ :	3,58
Baktrykk $u_b$ (kPa):	$B$ - verdi = $\Delta u/\Delta \sigma_c$ (-):	0,77
Vanninnhold $w_i$ (%):	Densitet $\rho_i$ (g/cm <sup>3</sup> ):	2,07

### NVE Region midt

#### Kvikkleiresone Leira

Treaksialforsøk. Deviatorspenningssti. q - p'- plott.

<b>MULTICONSULT AS</b> Sluppenvegen 23, 7486 TRONDHEIM Tlf.: 73 10 62 00 Faks: 73 10 62 30	Forsøksdato: 26.02.2013	Dybde, z (m): 6,45	Borpunkt nr.: Le13	Tegningens filnavn: 415655-RIG-TEG-097-hLe13-6.45m.xlsx  
	Forsøk nr.: 8	Tegnet: kj	Kontrollert: ARV	
	Oppdrag nr.: 415655	Tegning nr.: RIG-TEG-097.3	Prosedyre: CAUp	



**NVE Region midt**

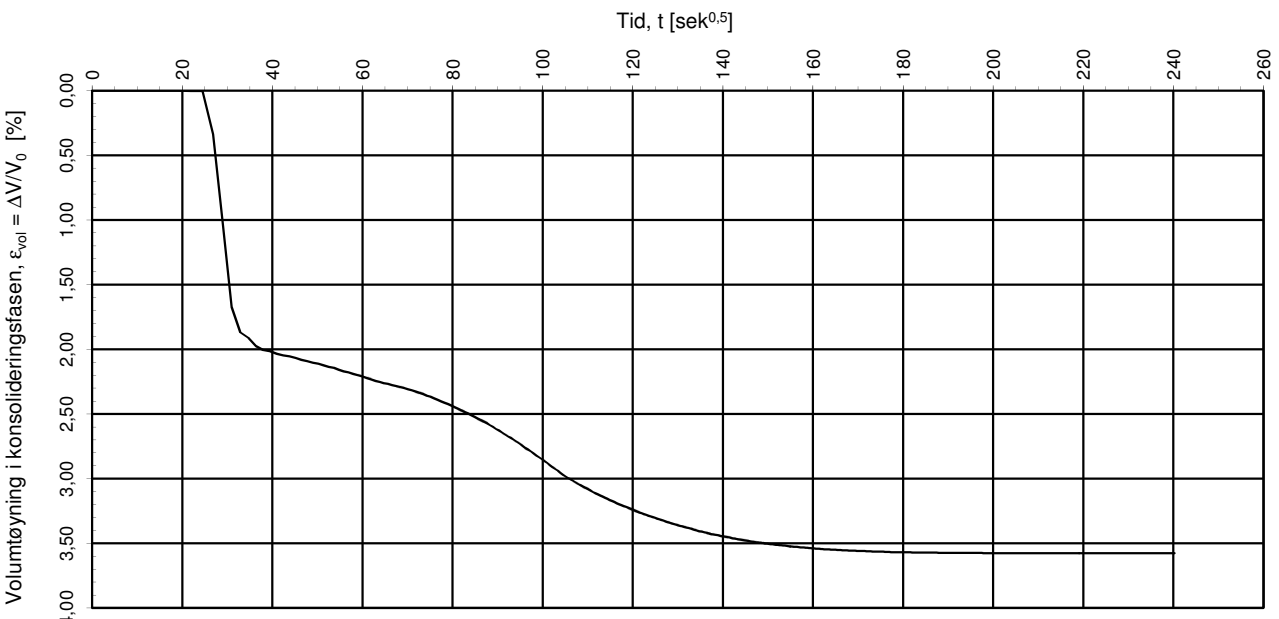
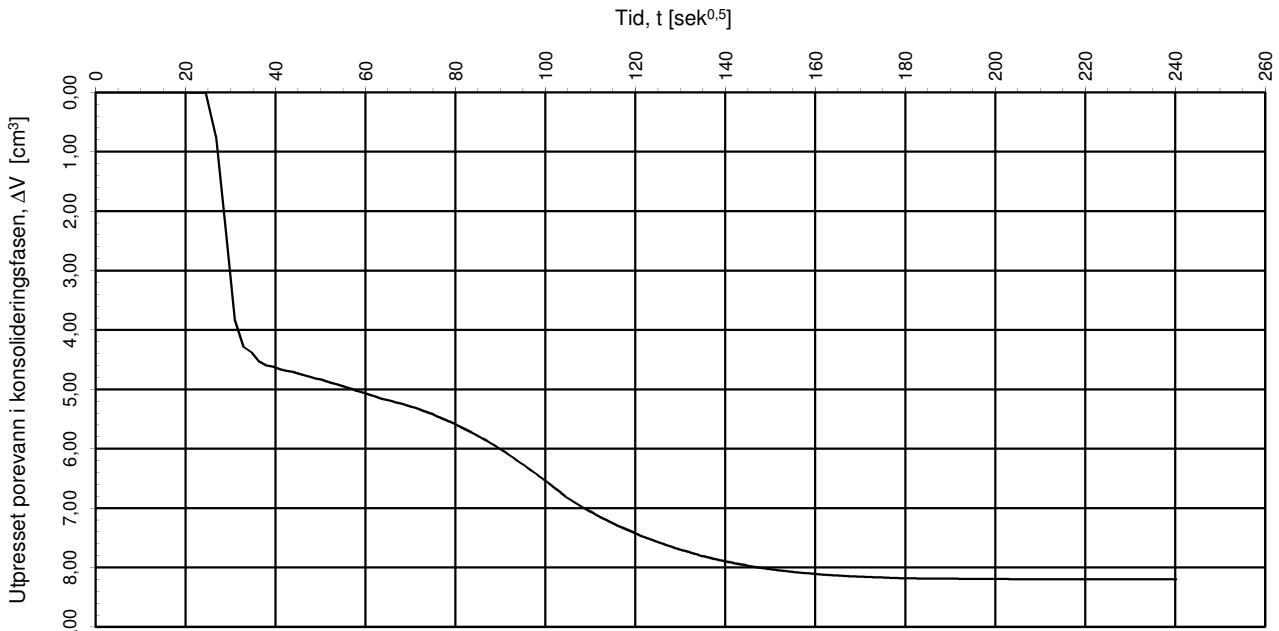
**Kvikkleiresone Leira**

Treaksialforsøk. Poretrykks- og mobiliseringsforløp.

Tegningens filnavn:  
415655-RIG-TEG-097-hLe13-6.45m.xlsx



<b>MULTICONSULT AS</b> Sluppenvegen 23, 7486 TRONDHEIM Tlf.: 73 10 62 00 Faks: 73 10 62 30	Forsøksdato: 26.02.2013	Dybde, z (m): 6,45	Borpunkt nr.: Le13
	Forsøk nr.: 8	Tegnet: kjt	Kontrollert: ARV
	Oppdrag nr.: 415655	Tegning nr.: RIG-TEG-097.4	Godkjent: OAA
		Prosedyre: CAUp	Programrevisjon: 02.02.2011



Konsolideringsspenning, aksial:

$\sigma'_{ac}$  (kPa): 80,86

Konsolideringsspenning, radial:

$\sigma'_{rc}$  (kPa): 61,85

Volumtøyning i konsolideringsfase:

$\varepsilon_{vol}$  (%):  $\Delta V/V_0$ : 3,58

Baktrykk  $u_b$  (kPa): 400

B - verdi =  $\Delta u/\Delta \sigma_c$  (-): 0,77

Vanninnhold  $w_i$  (%): 0,00

Densitet  $\rho_i$  (g/cm³): 2,07

## NVE Region midt

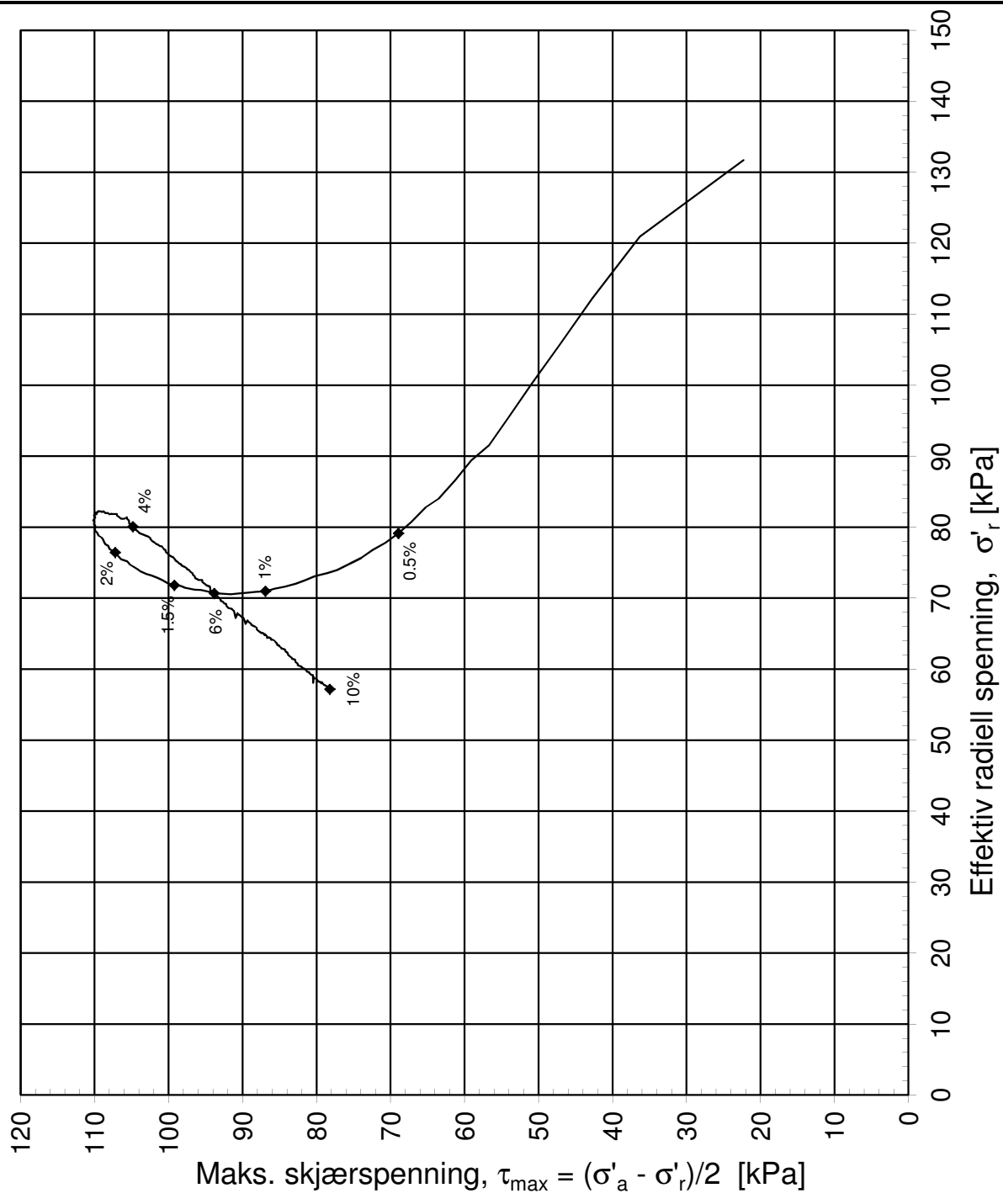
### Kvikkleiresone Leira

Treaksialforsøk. Vannutpressing - tid, konsolideringsfase.

Tegningens filnavn:  
415655-RIG-TEG-097-hLe13-6.45m.xlsx



<b>MULTICONSULT AS</b> Sluppenvegen 23, 7486 TRONDHEIM Tlf.: 73 10 62 00 Faks: 73 10 62 30	Forsøksdato:	Dybde, z (m):	Borpunkt nr.:
	26.02.2013	6,45	Le13
	Forsøk nr.:	Tegnet:	Kontrollert:
	8	kjt	ARV
	Oppdrag nr.:	Tegning nr.:	Godkjent:
	415655	RIG-TEG-097.5	OAA
			Programrevisjon:
			02.02.2011



Konsolideringsspenning, aksial:	$\sigma'_{ac}$ (kPa):	176,25
Konsolideringsspenning, radial:	$\sigma'_{rc}$ (kPa):	131,70
Volumtøyning i konsolideringsfase:	$\varepsilon_{vol}$ (%) = $\Delta V/V_0$ :	2,54
Baktrykk $u_b$ (kPa):	$B$ - verdi = $\Delta u/\Delta \sigma_c$ (-):	0,88
Vanninnhold $w_i$ (%):	Densitet $\rho_i$ (g/cm³):	2,05

**NVE Region midt**

Tegningens filnavn:  
415655-RIG-TEG-098\_hLe13, 11,3m

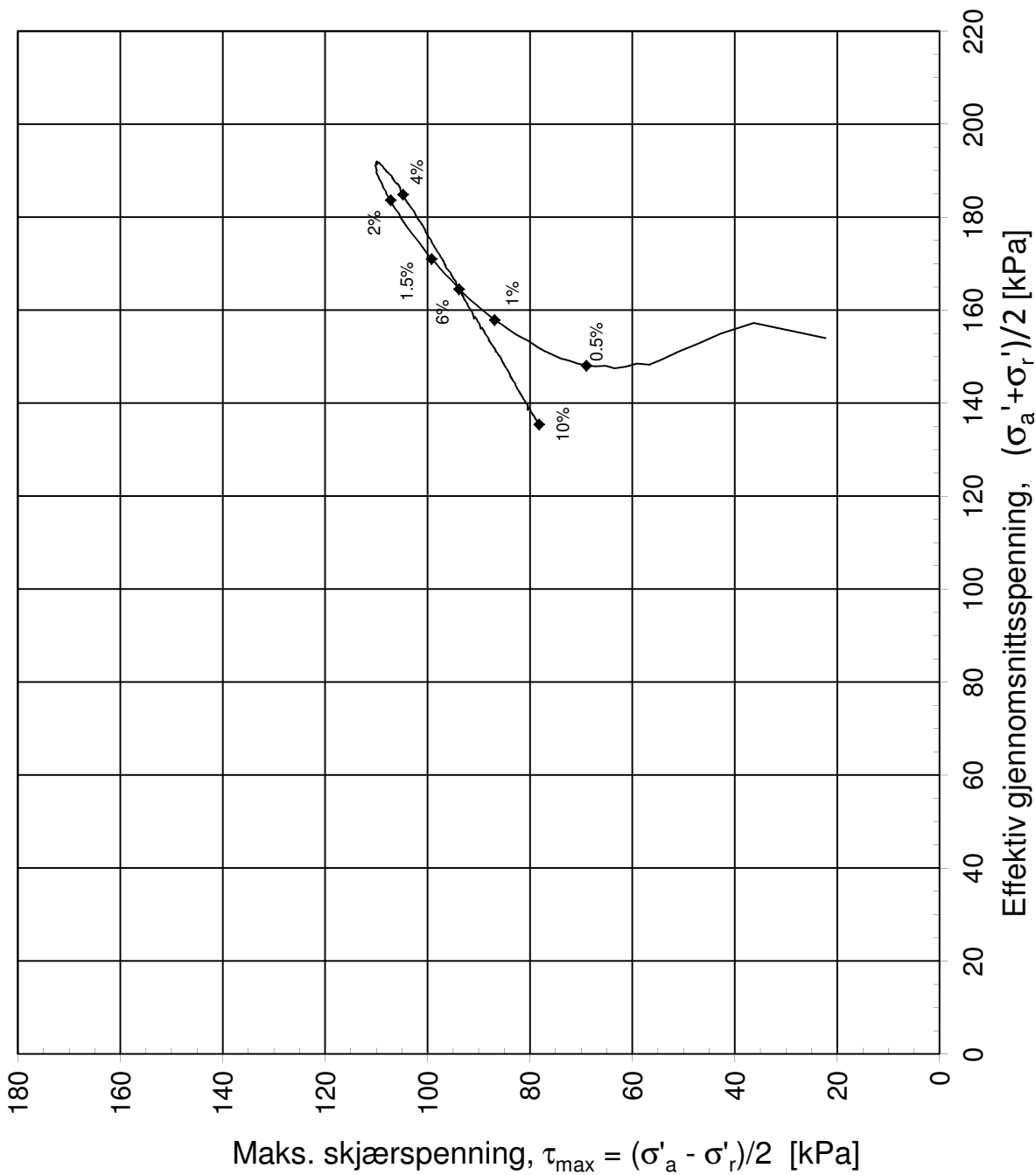
**Kvikkleiresone Leira**

Treaksialforsøk. Deviatorspenningssti. NTNU-plott.



**MULTICONSULT AS**  
Sluppenvegen 23,  
7486 TRONDHEIM  
Tlf.: 73 10 62 00  
Faks: 73 10 62 30

Forsøksdato:	13.02.2013	Dybde, z (m):	11,30	Borpunkt nr.:	Le13
Forsøk nr.:	9	Tegnet:	truk / kjt	Kontrollert:	ARV
Oppdrag nr.:	415655	Tegning nr.:	RIG-TEG-098.1	Prosedyre:	CAUa
				Godkjent:	OAA
				Programrevisjon:	02.02.2011



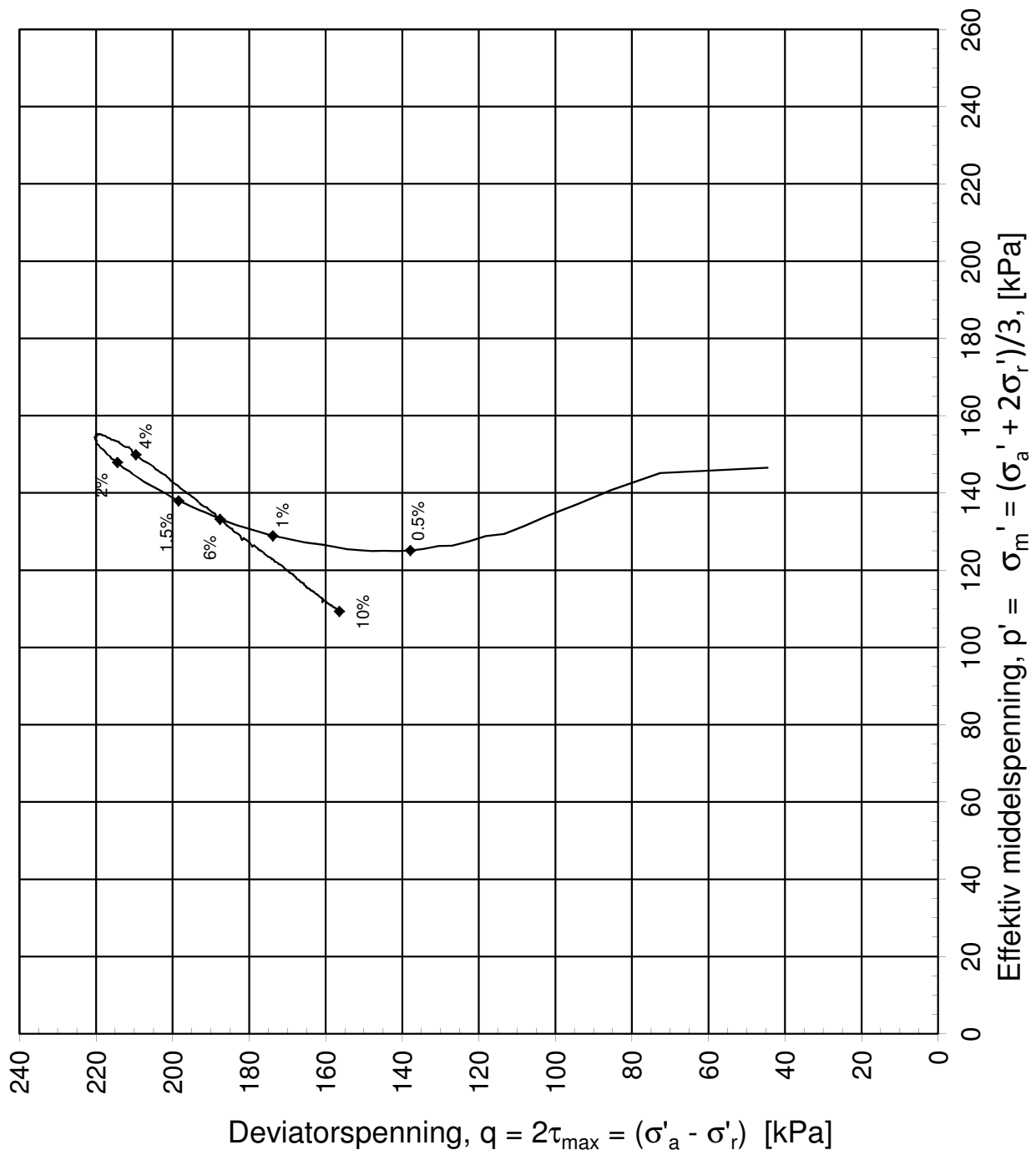
Konsolideringsspenning, aksial:	$\sigma'_{ac}$ (kPa):	176,25
Konsolideringsspenning, radial:	$\sigma'_{rc}$ (kPa):	131,70
Volumtøyning i konsolideringsfasen:	$\varepsilon_{vol}$ (%) = $\Delta V/V_0$ :	2,54
Baktrykk $u_b$ (kPa):	$B$ - verdi = $\Delta u/\Delta\sigma_c$ (-):	0,88
Vanninnhold $w_i$ (%):	Densitet $\rho_i$ (g/cm <sup>3</sup> ):	2,05

### NVE Region midt

### Kvikkleiresone Leira

Treaksialforsøk. Deviatorspenningssti. NGI-plott.

<b>MULTICONSULT AS</b> Sluppenvegen 23, 7486 TRONDHEIM Tlf.: 73 10 62 00 Faks: 73 10 62 30	Forsøksdato: 13.02.2013	Dybde, z (m): 11,30	Borpunkt nr.: Le13	Tegningens filnavn: 415655-RIG-TEG-098_hLe13, 11.3m  
	Forsøk nr.: 9	Tegnet: truk / kjt	Kontrollert: ARV	
	Oppdrag nr.: 415655	Tegning nr.: RIG-TEG-098.2	Prosedyre: CAUa	
			Programrevisjon: 02.02.2011	



Konsolideringsspenning, aksial:

$\sigma'_{ac}$  (kPa): 176,25

Konsolideringsspenning, radial:

$\sigma'_{rc}$  (kPa): 131,70

Volumtøyning i konsolideringsfase:

$\varepsilon_{vol}$  (%) =  $\Delta V/V_0$ : 2,54

Baktrykk  $u_b$  (kPa):

400 B - verdi =  $\Delta u/\Delta\sigma_c$  (-): 0,88

Vanninnhold  $w_i$  (%):

27,53

Densitet  $\rho_i$  (g/cm³): 2,05

## NVE Region midt

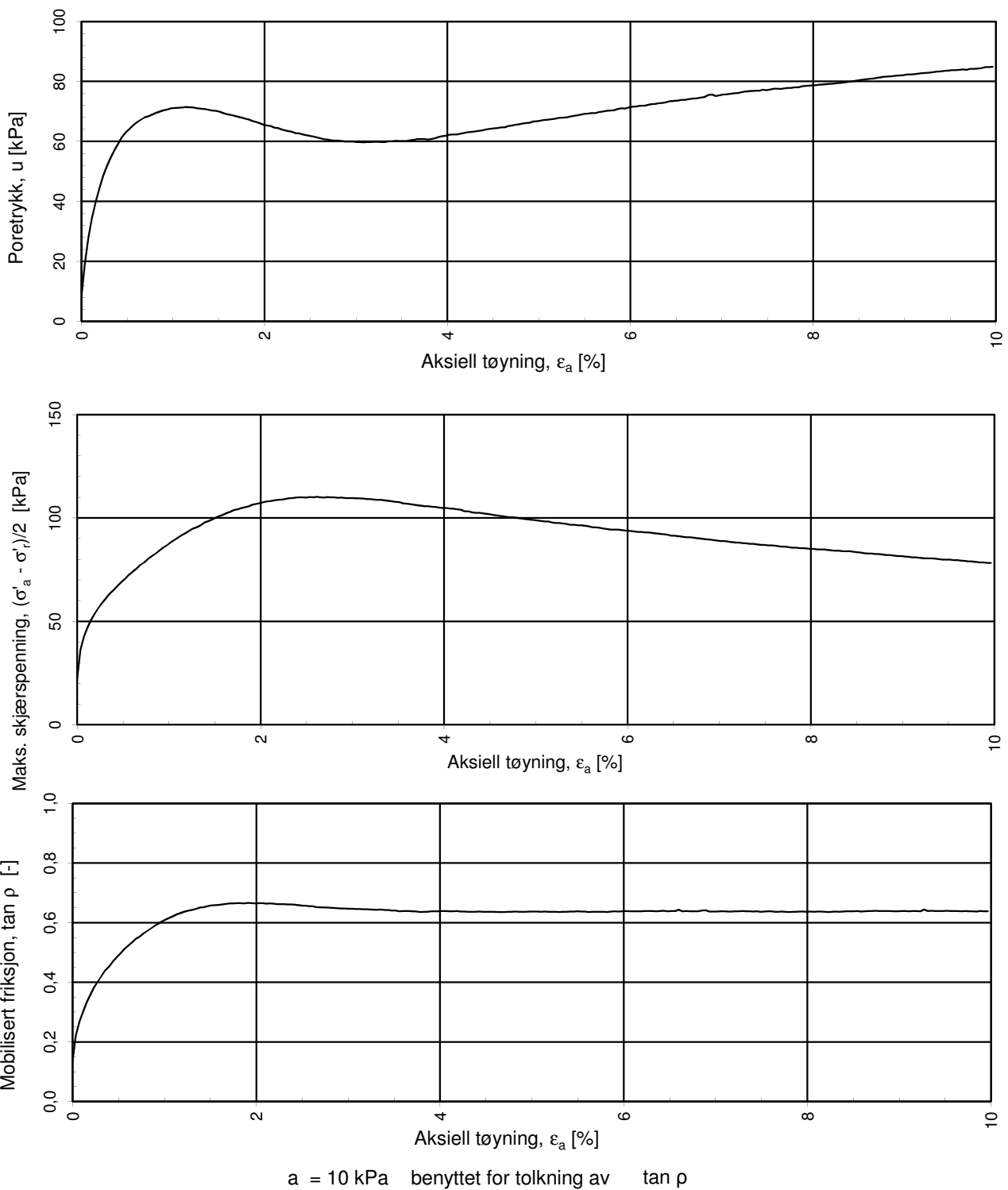
### Kvikkleiresone Leira

Treaksialforsøk. Deviatorspenningssti.  $q$  -  $p'$ - plott.

Tegningens filnavn:  
415655-RIG-TEG-098\_hLe13, 11,3m



<b>MULTICONULT AS</b> Sluppenvegen 23, 7486 TRONDHEIM Tlf.: 73 10 62 00 Faks: 73 10 62 30	Forsøksdato: 13.02.2013	Dybde, z (m): 11,30	Borpunkt nr.: Le13
	Forsøk nr.: 9	Tegnet: truk / kjt	Kontrollert: ARV
	Oppdrag nr.: 415655	Tegning nr.: RIG-TEG-098.3	Godkjent: OAA
Prosedyre: CAUa			Programrevisjon: 02.02.2011



**NVE Region midt**

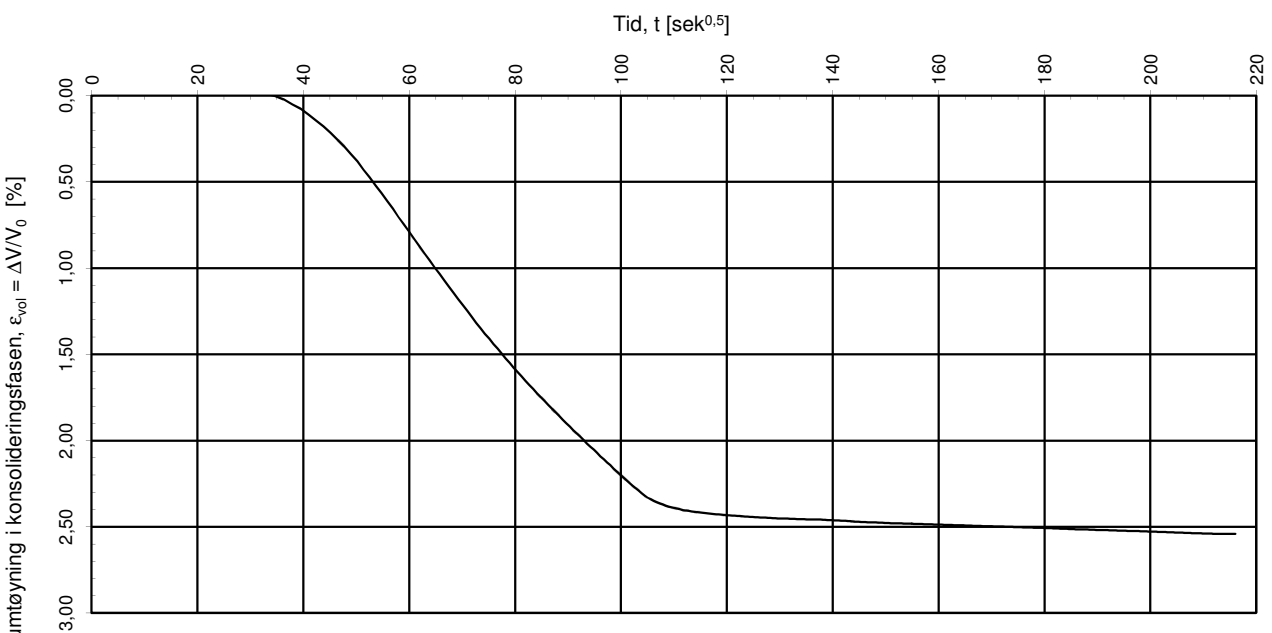
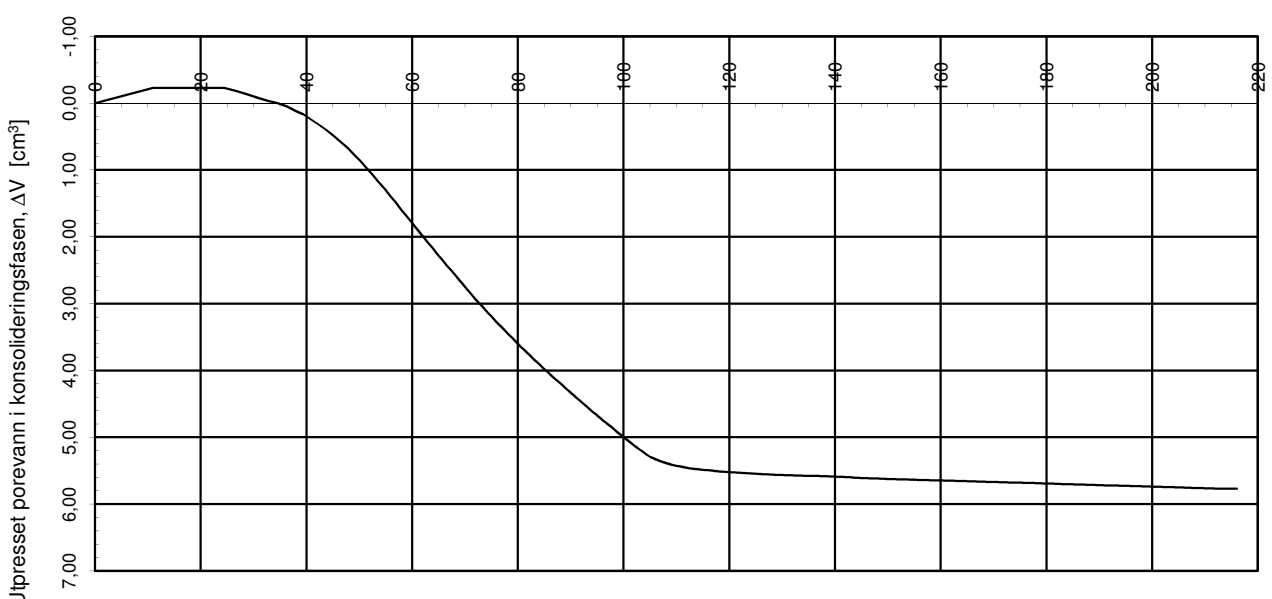
**Kvikkleiresone Leira**

Treaksialforsøk. Poretrykks- og mobiliseringsforløp.

Tegningens filnavn:  
415655-RIG-TEG-098\_hLe13, 11.3m



<b>MULTICONSULT AS</b> Sluppenvegen 23, 7486 TRONDHEIM Tlf.: 73 10 62 00 Faks: 73 10 62 30	Forsøksdato: 13.02.2013	Dybde, z (m): 11,30	Borpunkt nr.: Le13
	Forsøk nr.: 9	Tegnet: truk / kjt	Kontrollert: ARV
	Oppdrag nr.: 415655	Tegning nr.: RIG-TEG-098.4	Godkjent: OAA
Prosedyre: CAUa		Programrevisjon: 02.02.2011	



Konsolideringsspenning, aksial:

$\sigma'_{ac}$  (kPa): 176,25

Konsolideringsspenning, radial:

$\sigma'_{rc}$  (kPa): 131,70

Volumtøyning i konsolideringsfase:

$\varepsilon_{vol}$  (%):  $\Delta V/V_0$ : 2,54

Baktrykk  $u_b$  (kPa): 400

B - verdi =  $\Delta u/\Delta \sigma_c$  (-): 0,88

Vanninnhold  $w_i$  (%): 27,53

Densitet  $\rho_i$  (g/cm³): 2,05

## NVE Region midt

Tegningens filnavn:  
415655-RIG-TEG-098\_hLe13, 11.3m

### Kvikkleiresone Leira

Treaksialforsøk. Vannutpressing - tid, konsolideringsfase.



**MULTICONSULT AS**

Sluppenvegen 23,  
7486 TRONDHEIM  
Tlf.: 73 10 62 00  
Faks: 73 10 62 30

Forsøksdato:

13.02.2013

Dybde, z (m):

11,30

Borpunkt nr.:

Le13

Forsøk nr.:

9

Tegnet:

truk / kjt

Kontrollert:

ARV

Godkjent:

OAA

Oppdrag nr.:

415655

Tegning nr.:

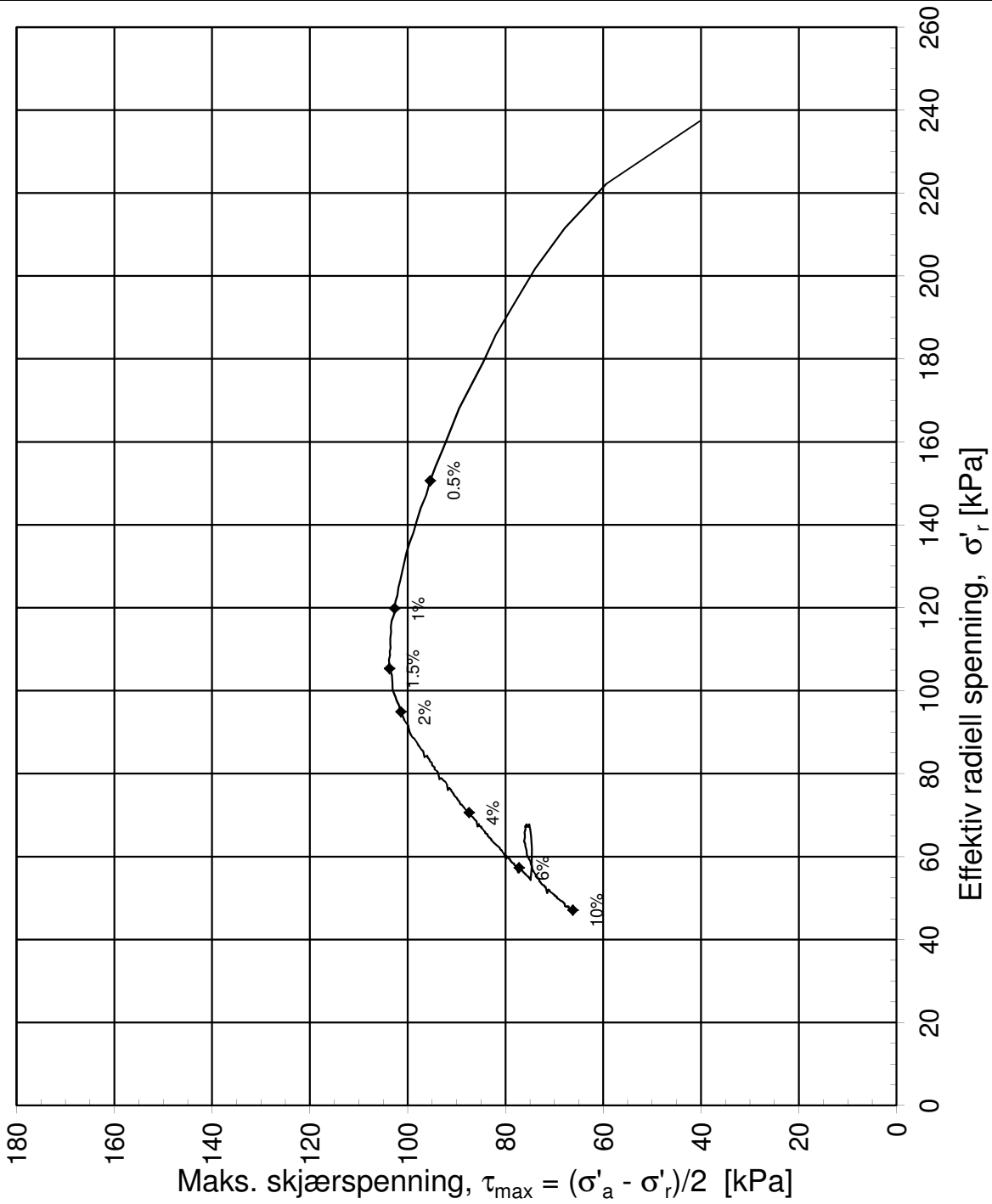
RIG-TEG-098.5

Prosedyre:

CAUa

Programrevisjon:

02.02.2011



Konsolideringsspenning, aksial:	$\sigma'_{ac}$ (kPa):	317,81
Konsolideringsspenning, radial:	$\sigma'_{rc}$ (kPa):	237,28
Volumtøyning i konsolideringsfase:	$\varepsilon_{vol}$ (%) = $\Delta V/V_0$ :	5,25
Baktrykk $u_b$ (kPa):	B - verdi = $\Delta u/\Delta \sigma_c$ (-):	0,83
Vanninnhold $w_i$ (%):	Densitet $\rho_i$ (g/cm³):	1,99

**NVE Region midt**

Tegningens filnavn:  
415655-RIG-TEG-099-hLe17,d19,2m

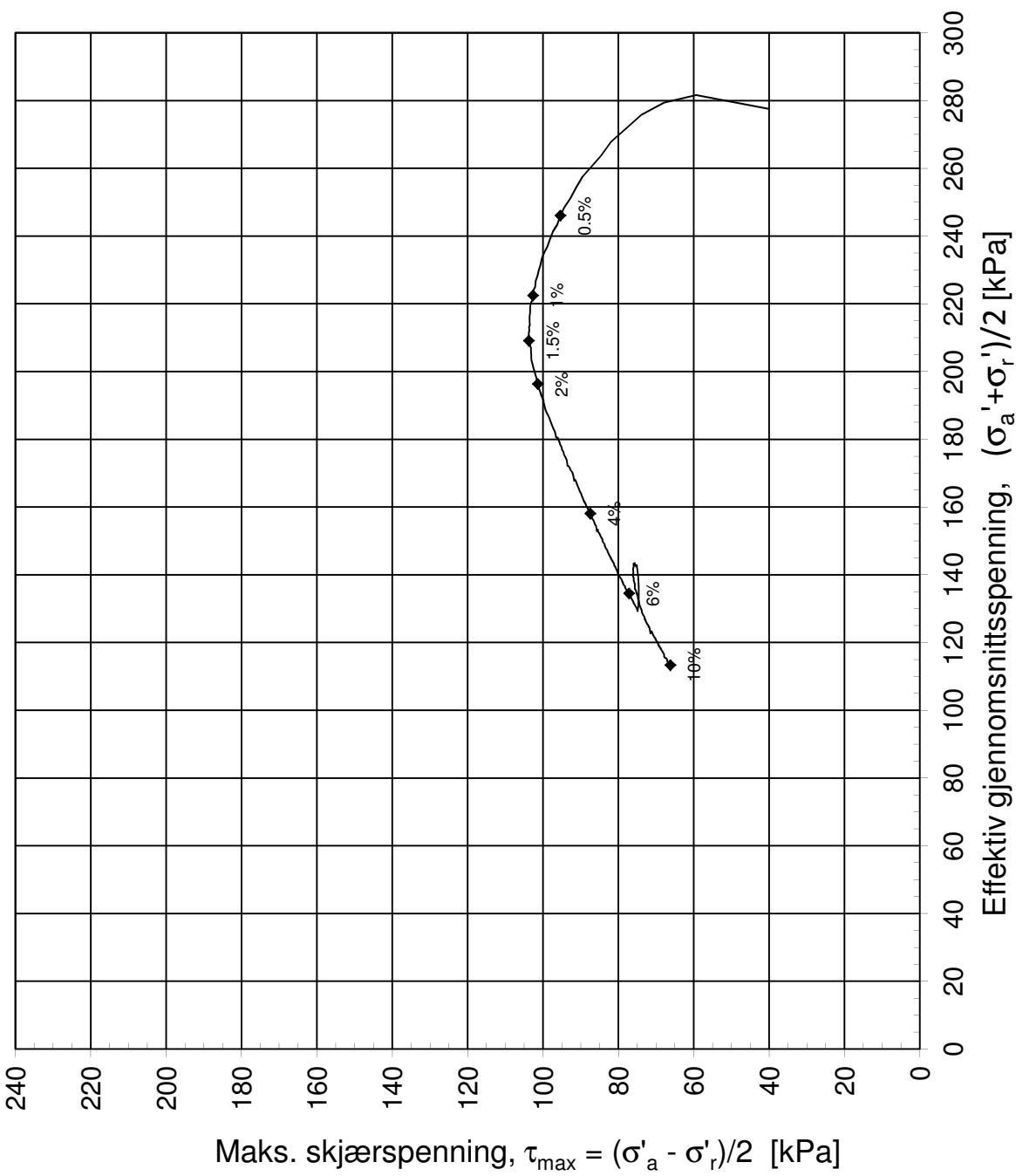
**Kvikkleiresone Leira**

Treaksialforsøk. Deviatorspenningssti. NTNU-plott.



**MULTICONSULT AS**  
Sluppenvegen 23,  
7486 TRONDHEIM  
Tlf.: 73 10 62 00  
Faks: 73 10 62 30

Forsøksdato:	21.03.2013	Dybde, z (m):	19,20	Borpunkt nr.:	Le17
Forsøk nr.:	10	Tegnet:	kjt	Kontrollert:	ARV
Oppdrag nr.:	415655	Tegning nr.:	RIG-TEG-099.1	Prosedyre:	CAUa
				Godkjent:	OAA
				Programrevisjon:	02.02.2011



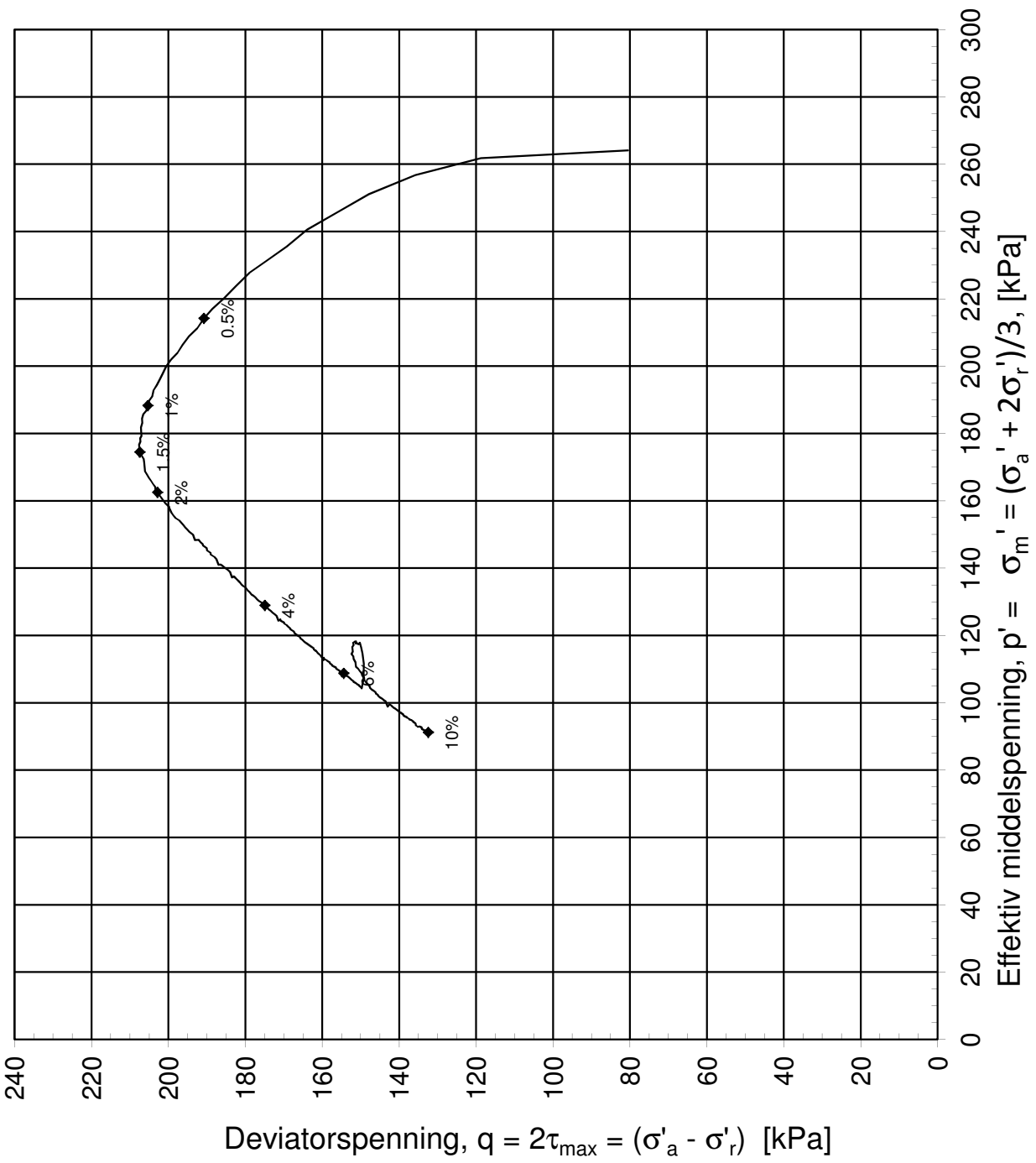
Konsolideringsspenning, aksial:	$\sigma'_{ac}$ (kPa):	317,81
Konsolideringsspenning, radial:	$\sigma'_{rc}$ (kPa):	237,28
Volumtøyning i konsolideringsfase:	$\varepsilon_{vol}$ (%) = $\Delta V/V_0$ :	5,25
Baktrykk $u_b$ (kPa):	$B$ - verdi = $\Delta u/\Delta \sigma_c$ (-):	0,83
Vanninnhold $w_i$ (%):	Densitet $\rho_i$ (g/cm <sup>3</sup> ):	1,99

### NVE Region midt

### Kvikkleiresone Leira

Treaksialforsøk. Deviatorspenningssti. NGI-plott.

<b>MULTICONULT AS</b> Sluppenvegen 23, 7486 TRONDHEIM Tlf.: 73 10 62 00 Faks: 73 10 62 30	Forsøksdato: 21.03.2013	Dybde, z (m): 19,20	Borpunkt nr.: Le17	Tegningens filnavn: 415655-RIG-TEG-099-hLe17,d19,2m  
	Forsøk nr.: 10	Tegnet: kjt	Kontrollert: ARV	
	Oppdrag nr.: 415655	Tegning nr.: RIG-TEG-099.2	Prosedyre: CAUa	
			Programrevisjon: 02.02.2011	



Konsolideringsspenning, aksial:  $\sigma'_{ac}$  (kPa): 317,81  
 Konsolideringsspenning, radial:  $\sigma'_{rc}$  (kPa): 237,28  
 Volumtøyning i konsolideringsfase:  $\varepsilon_{vol}$  (%) =  $\Delta V/V_0$ : 5,25  
 Baktrykk  $u_b$  (kPa): 400 B - verdi =  $\Delta u/\Delta \sigma_c$  (-): 0,83  
 Vanninnhold  $w_i$  (%): 27,71 Densitet  $\rho_i$  (g/cm³): 1,99

### NVE Region midt

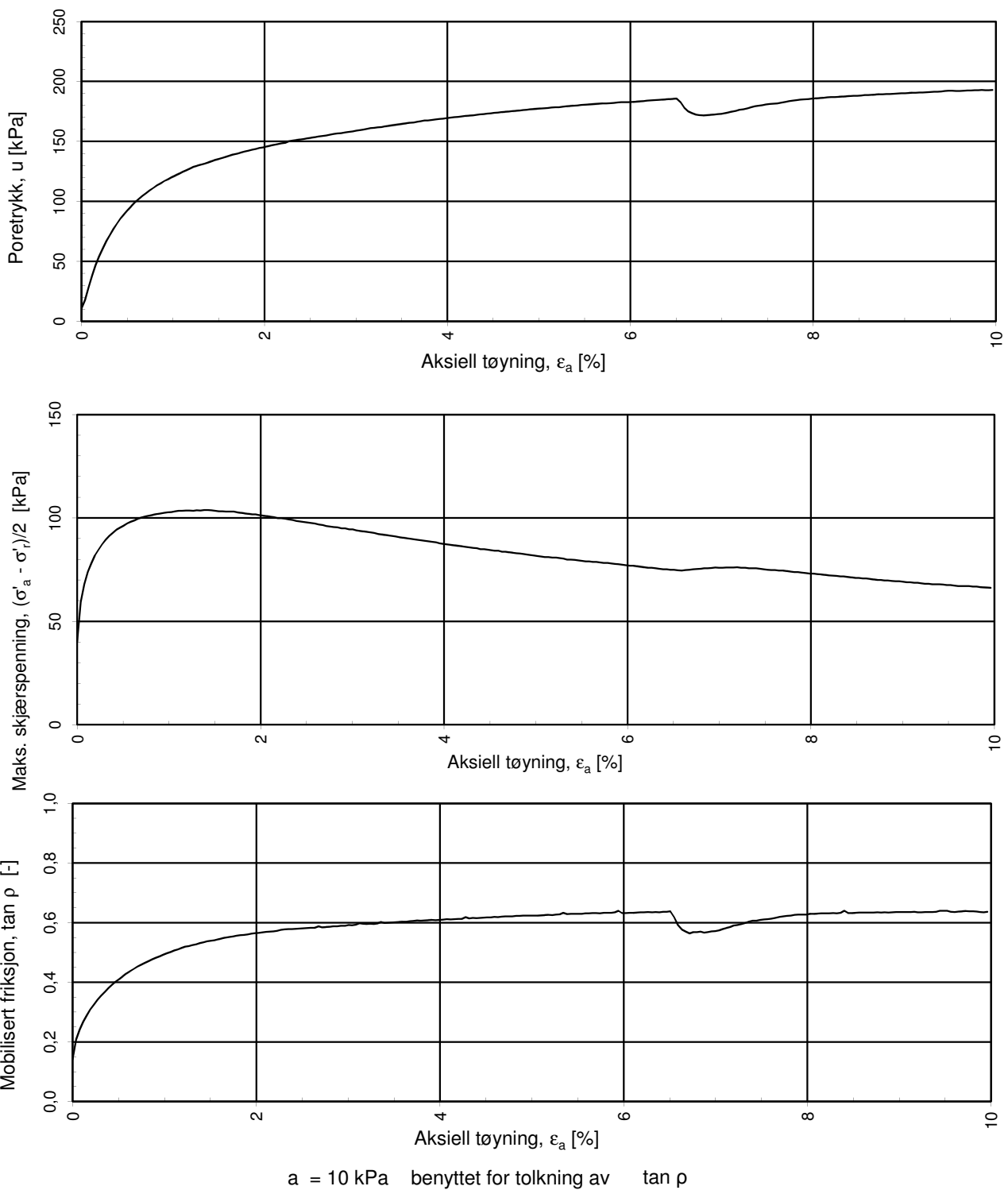
#### Kvikkleiresone Leira

Treaksialforsøk. Deviatorspenningssti. q - p'- plott.

Tegningens filnavn:  
415655-RIG-TEG-099-hLe17,d19,2m



<b>MULTICONSULT AS</b> Sluppenvegen 23, 7486 TRONDHEIM Tlf.: 73 10 62 00 Faks: 73 10 62 30	Forsøksdato:	Dybde, z (m):	Borpunkt nr.:
	21.03.2013	19,20	Le17
	Forsøk nr.:	Tegnet:	Kontrollert:
	10	kjt	ARV
	Oppdrag nr.:	Tegning nr.:	Godkjent:
	415655	RIG-TEG-099.3	OAA
			Programrevisjon:
			02.02.2011



**NVE Region midt**

**Kvikkleiresone Leira**

Treaksialforsøk. Poretrykks- og mobiliseringsforløp.

Tegningens filnavn:

415655-RIG-TEG-099-hLe17,d19,2m



**MULTICONSULT AS**

Sluppenvegen 23,

7486 TRONDHEIM

Tlf.: 73 10 62 00

Faks: 73 10 62 30

Forsøksdato:  
21.03.2013

Dybde, z (m):  
19,20

Borpunkt nr.:  
Le17

Forsøk nr.:  
10

Tegnet:  
kjt

Kontrollert:  
ARV

Godkjent:

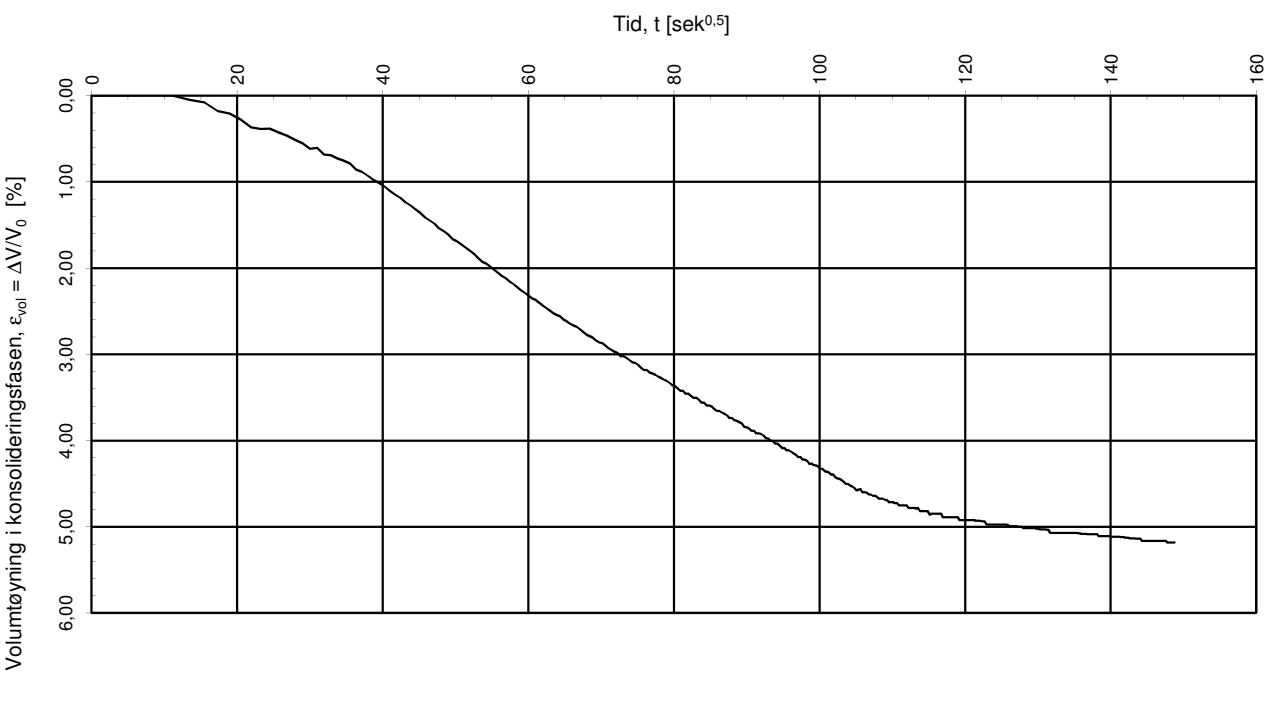
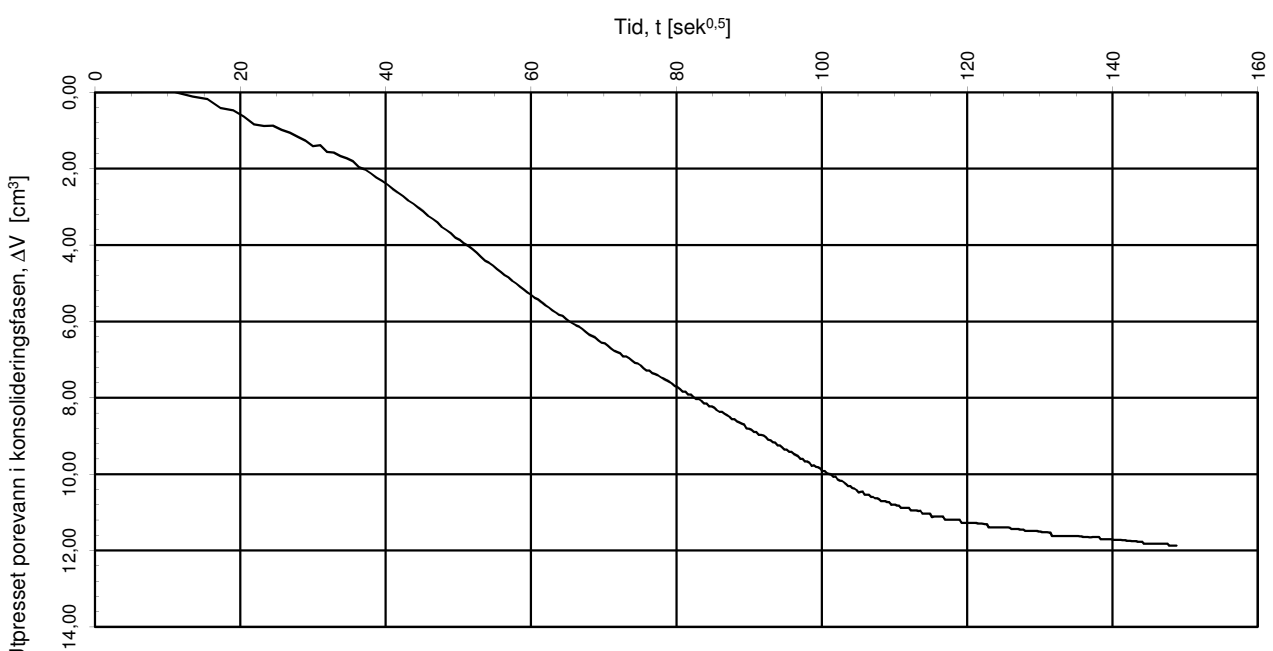
OAA

Oppdrag nr.:  
415655

Tegning nr.:  
RIG-TEG-099.4

Prosedyre:  
CAUa

Programrevisjon:  
02.02.2011



Konsolideringsspenning, aksial:	$\sigma'_{ac}$ (kPa):	317,81
Konsolideringsspenning, radial:	$\sigma'_{rc}$ (kPa):	237,28
Volumtøyning i konsolideringsfase:	$\epsilon_{vol}$ (%): $= \Delta V/V_0$ :	5,25
Baktrykk $u_b$ (kPa):	400	B - verdi $= \Delta u/\Delta\sigma_c$ (-): 0,83
Vanninnhold $w_i$ (%):	27,71	Densitet $\rho_i$ (g/cm³): 1,99

**NVE Region midt**

Tegningens filnavn:  
415655-RIG-TEG-099-hLe17,d19,2m

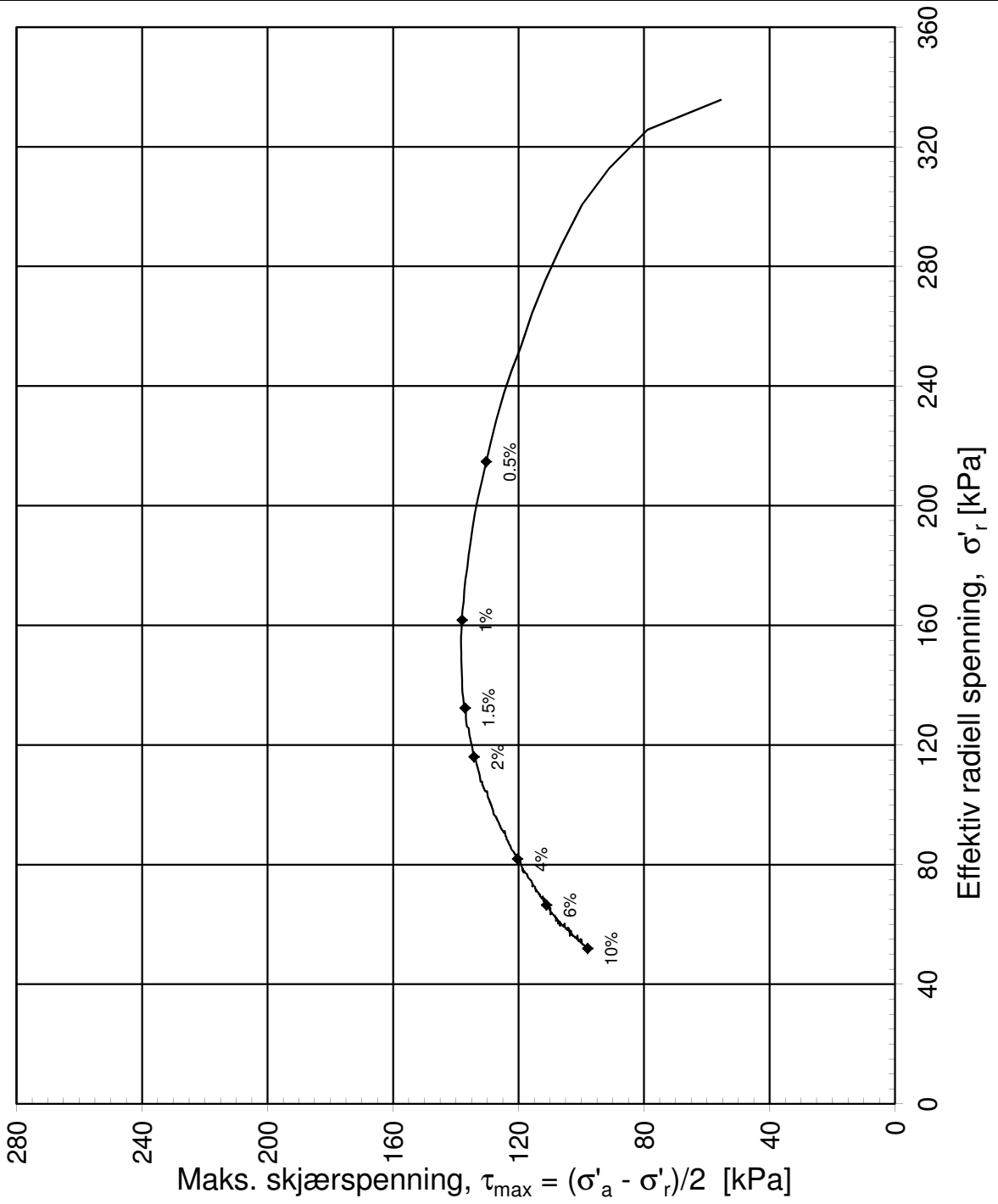
### Kvikkleiresone Leira

Treaksialforsøk. Vannutpressing - tid, konsolideringsfase.



**MULTICONSULT AS**  
Sluppenvegen 23,  
7486 TRONDHEIM  
Tlf.: 73 10 62 00  
Faks: 73 10 62 30

Forsøksdato:	21.03.2013	Dybde, z (m):	19,20	Borpunkt nr.:	Le17
Forsøk nr.:	10	Tegnet:	kjt	Kontrollert:	ARV
Oppdrag nr.:	415655	Tegning nr.:	RIG-TEG-099.5	Prosedyre:	CAUa
				Programrevisjon:	02.02.2011



Konsolideringsspenning, aksial:	$\sigma'_{ac}$ (kPa):	446,67
Konsolideringsspenning, radial:	$\sigma'_{rc}$ (kPa):	335,61
Volumtøyning i konsolideringsfase:	$\varepsilon_{vol}$ (%) = $\Delta V/V_0$ :	6,83
Baktrykk $u_b$ (kPa):	B - verdi = $\Delta u/\Delta \sigma_c$ (-):	0,71
Vanninnhold $w_i$ (%):	Densitet $\rho_i$ (g/cm³):	2,00

**NVE Region midt**

Tegningens filnavn:  
415655-RIG-TEG-100\_hLe17, 27,2m

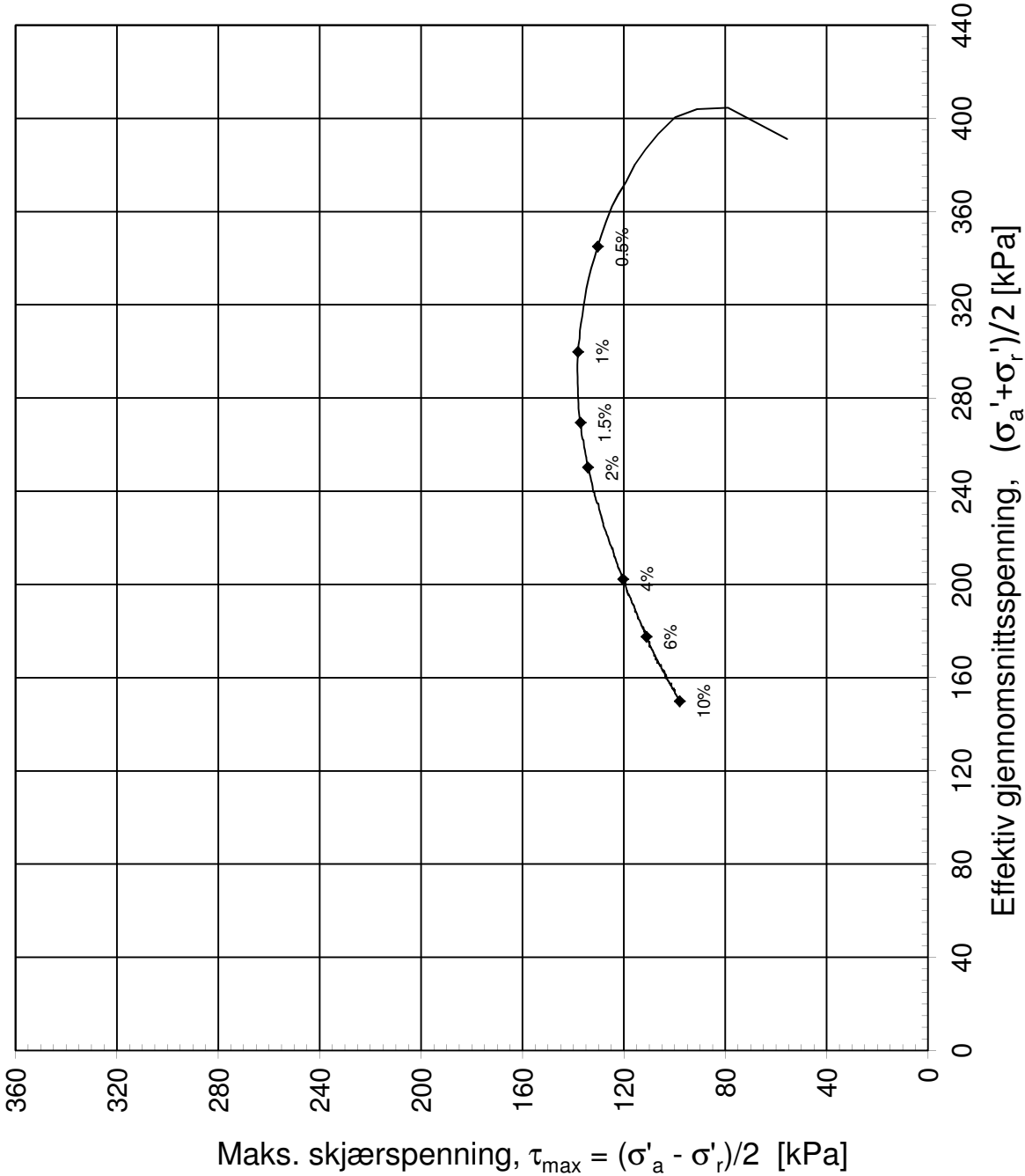
**Kvikkleiresone Leira**

Treaksialforsøk. Deviatorspenningssti. NTNU-plott.



**MULTICONSULT AS**  
Sluppenvegen 23,  
7486 TRONDHEIM  
Tlf.: 73 10 62 00  
Faks: 73 10 62 30

Forsøksdato:	25.01.2013	Dybde, z (m):	27,20	Borpunkt nr.:	Le17
Forsøk nr.:	11	Tegnet:	truk	Kontrollert:	ARV
Oppdrag nr.:	415655	Tegning nr.:	RIG-TEG-100.1	Prosedyre:	CAUa
				Godkjent:	OAA
				Programrevisjon:	02.02.2011



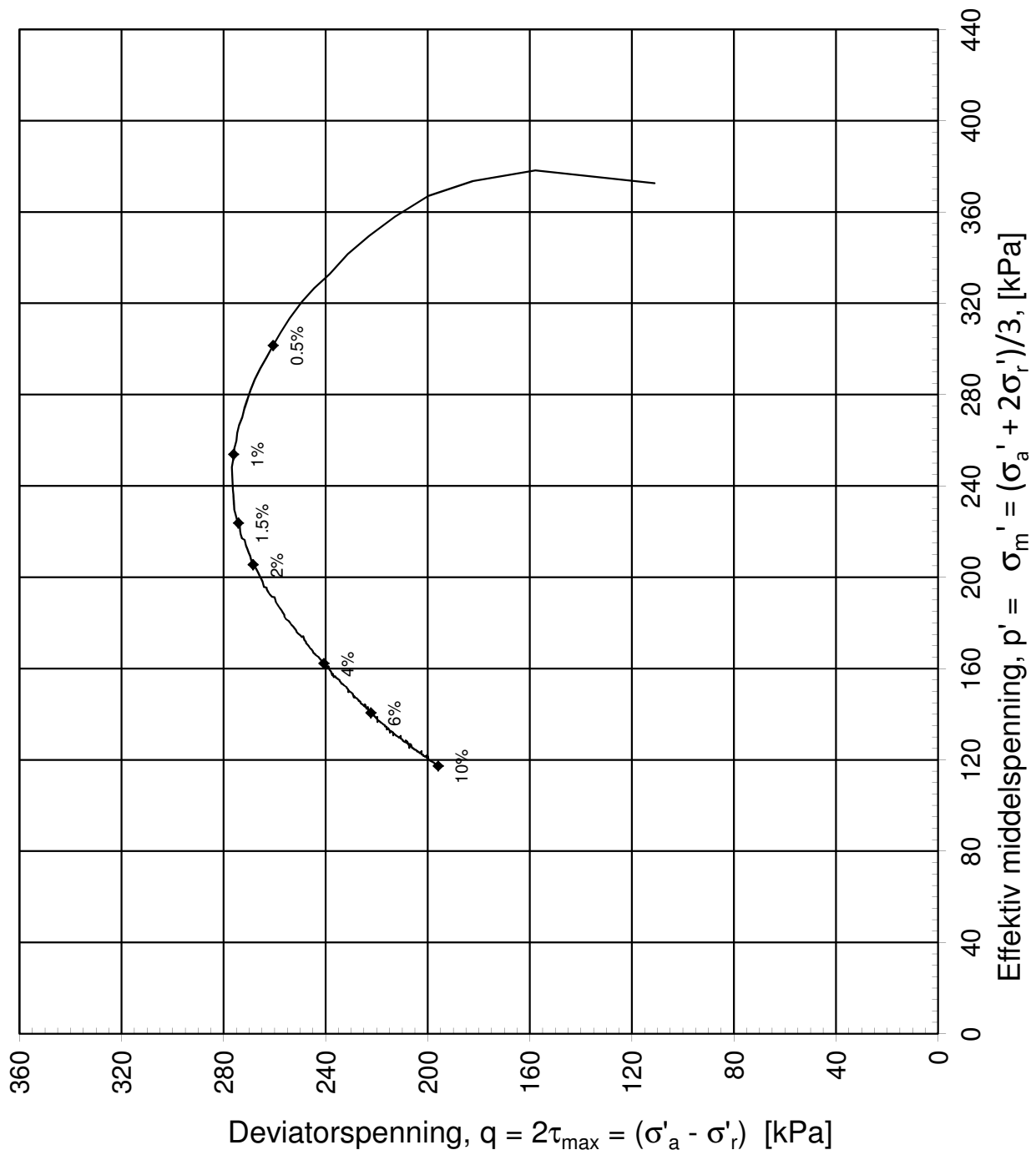
Konsolideringsspenning, aksial:	$\sigma'_{ac}$ (kPa):	446,67
Konsolideringsspenning, radial:	$\sigma'_{rc}$ (kPa):	335,61
Volumtøyning i konsolideringsfase:	$\varepsilon_{vol}$ (%) = $\Delta V/V_0$ :	6,83
Baktrykk $u_b$ (kPa):	$B$ - verdi = $\Delta u/\Delta \sigma_c$ (-):	0,71
Vanninnhold $w_i$ (%):	Densitet $\rho_i$ (g/cm <sup>3</sup> ):	2,00

### NVE Region midt

### Kvikkleiresone Leira

Treaksialforsøk. Deviatorspenningssti. NGI-plott.

<b>MULTICONSULT AS</b> Sluppenvegen 23, 7486 TRONDHEIM Tlf.: 73 10 62 00 Faks: 73 10 62 30	Forsøksdato: 25.01.2013	Dybde, z (m): 27,20	Borpunkt nr.: Le17	Tegningens filnavn: 415655-RIG-TEG-100_hLe17, 27,2m  
	Forsøk nr.: 11	Tegnet: truk	Kontrollert: ARV	
	Oppdrag nr.: 415655	Tegning nr.: RIG-TEG-100.2	Prosedyre: CAUa	
			Programrevisjon: 02.02.2011	



Konsolideringsspenning, aksial:	$\sigma'_{ac}$ (kPa):	446,67
Konsolideringsspenning, radial:	$\sigma'_{rc}$ (kPa):	335,61
Volumtøyning i konsolideringsfase:	$\varepsilon_{vol}$ (%) = $\Delta V/V_0$ :	6,83
Baktrykk $u_b$ (kPa):	B - verdi = $\Delta u/\Delta\sigma_c$ (-):	0,71
Vanninnhold $w_i$ (%):	Densitet $\rho_i$ (g/cm³):	2,00

### NVE Region midt

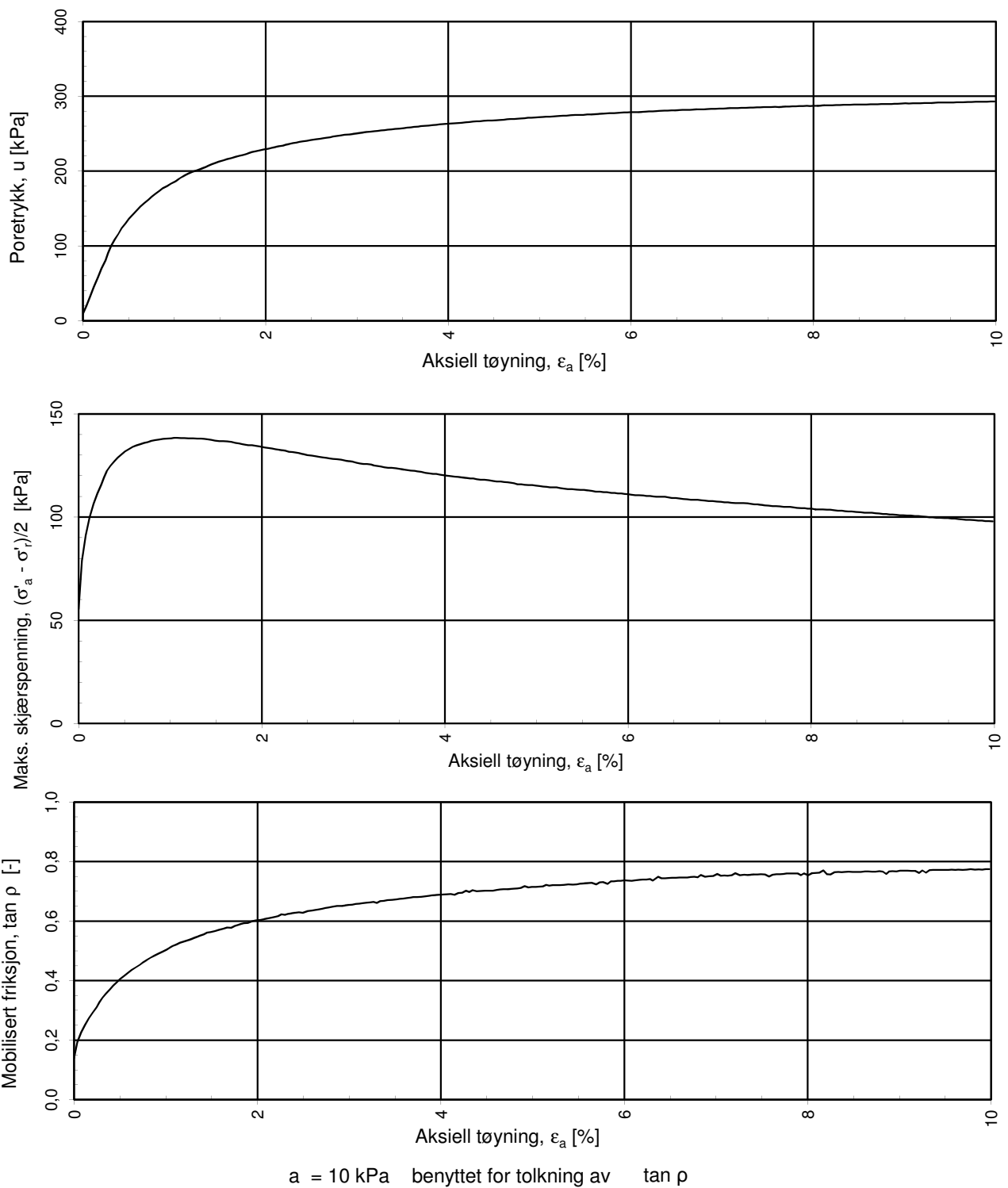
### Kvikkleiresone Leira

Treaksialforsøk. Deviatorspenningssti. q - p'- plott.

Tegningens filnavn:  
415655-RIG-TEG-100\_hLe17, 27,2m



<b>MULTICONSULT AS</b> Sluppenvegen 23, 7486 TRONDHEIM Tlf.: 73 10 62 00 Faks: 73 10 62 30	Forsøksdato: 25.01.2013	Dybde, z (m): 27,20	Borpunkt nr.: Le17
	Forsøk nr.: 11	Tegnet: truk	Kontrollert: ARV
	Oppdrag nr.: 415655	Tegning nr.: RIG-TEG-100.3	Godkjent: OAA
			Programrevisjon: 02.02.2011



**NVE Region midt**

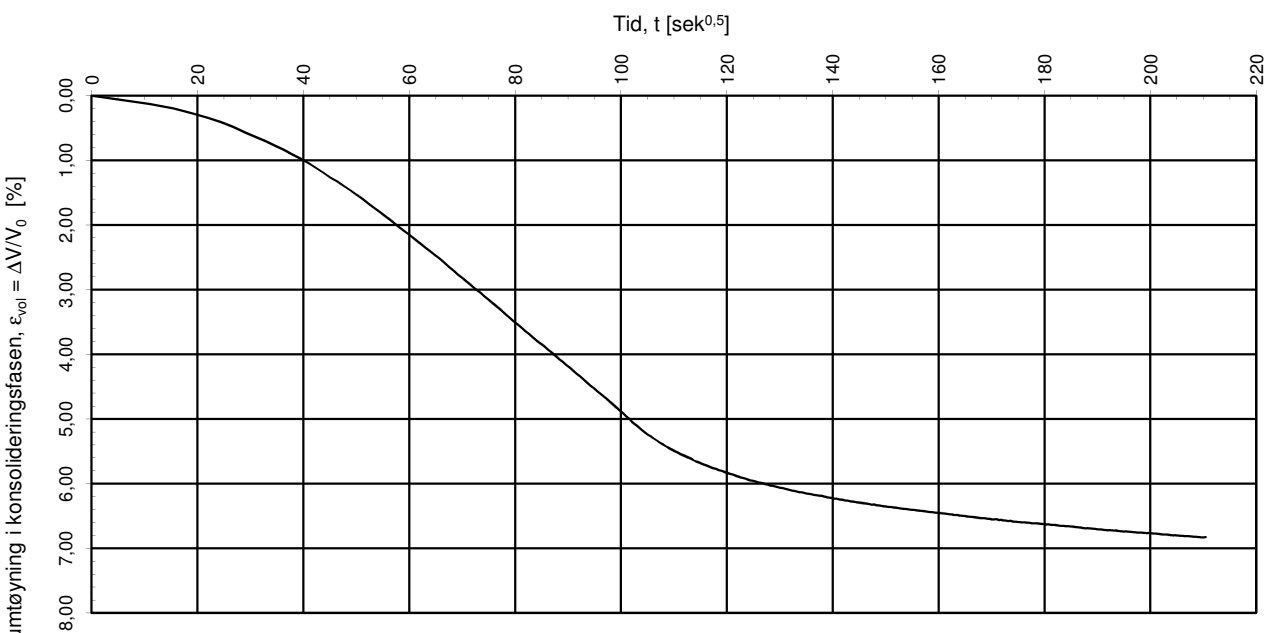
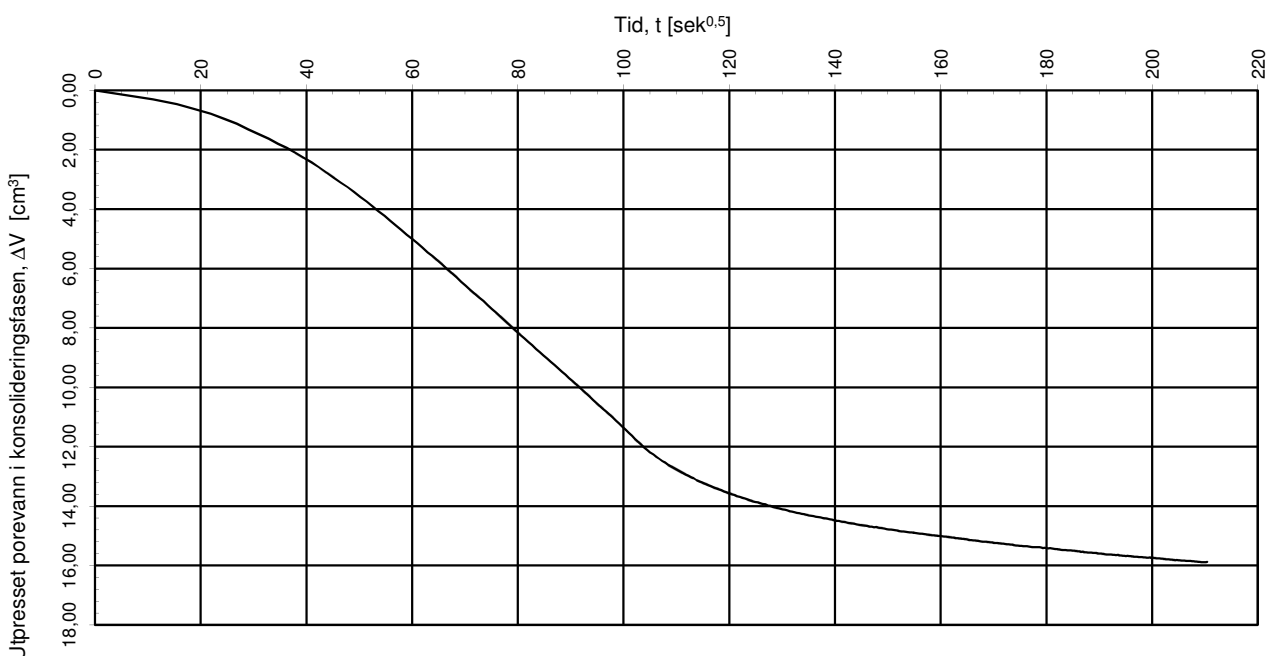
**Kvikkleiresone Leira**

Treaksialforsøk. Poretrykks- og mobiliseringsforløp.

Tegningens filnavn:  
415655-RIG-TEG-100\_hLe17, 27.2m



<b>MULTICONSULT AS</b> Sluppenvegen 23, 7486 TRONDHEIM Tlf.: 73 10 62 00 Faks: 73 10 62 30	Forsøksdato: 25.01.2013	Dybde, z (m): 27,20	Borpunkt nr.: Le17
	Forsøk nr.: 11	Tegnet: truk	Kontrollert: ARV
	Oppdrag nr.: 415655	Tegning nr.: RIG-TEG-100.4	Godkjent: OAA
			Programrevisjon: 02.02.2011



Konsolideringsspenning, aksial:

$\sigma'_{\text{ac}}$  (kPa): 446,67

Konsolideringsspenning, radial:

$\sigma'_{\text{rc}}$  (kPa): 335,61

Volumtøyning i konsolideringsfase:

$\varepsilon_{\text{vol}}$  (%):  $\Delta V/V_0$ : 6,83

Baktrykk  $u_b$  (kPa): 400

B - verdi =  $\Delta u/\Delta \sigma_c$  (-): 0,71

Vanninnhold  $w_i$  (%): 27,16

Densitet  $\rho_i$  ( $\text{g}/\text{cm}^3$ ): 2,00

**NVE Region midt**

Tegningens filnavn:  
415655-RIG-TEG-100\_hLe17, 27.2m

### Kvikkleiresone Leira

Treaksialforsøk. Vannutpressing - tid, konsolideringsfase.



**MULTICONSULT AS**

Sluppenvegen 23,  
7486 TRONDHEIM  
Tlf.: 73 10 62 00  
Faks: 73 10 62 30

Forsøksdato:

25.01.2013

Dybde, z (m):

27,20

Borpunkt nr.:

Le17

Forsøk nr.:

11

Kontrollert:

ARV

Godkjent:

OAA

Oppdrag nr.:

415655

Tegning nr.:

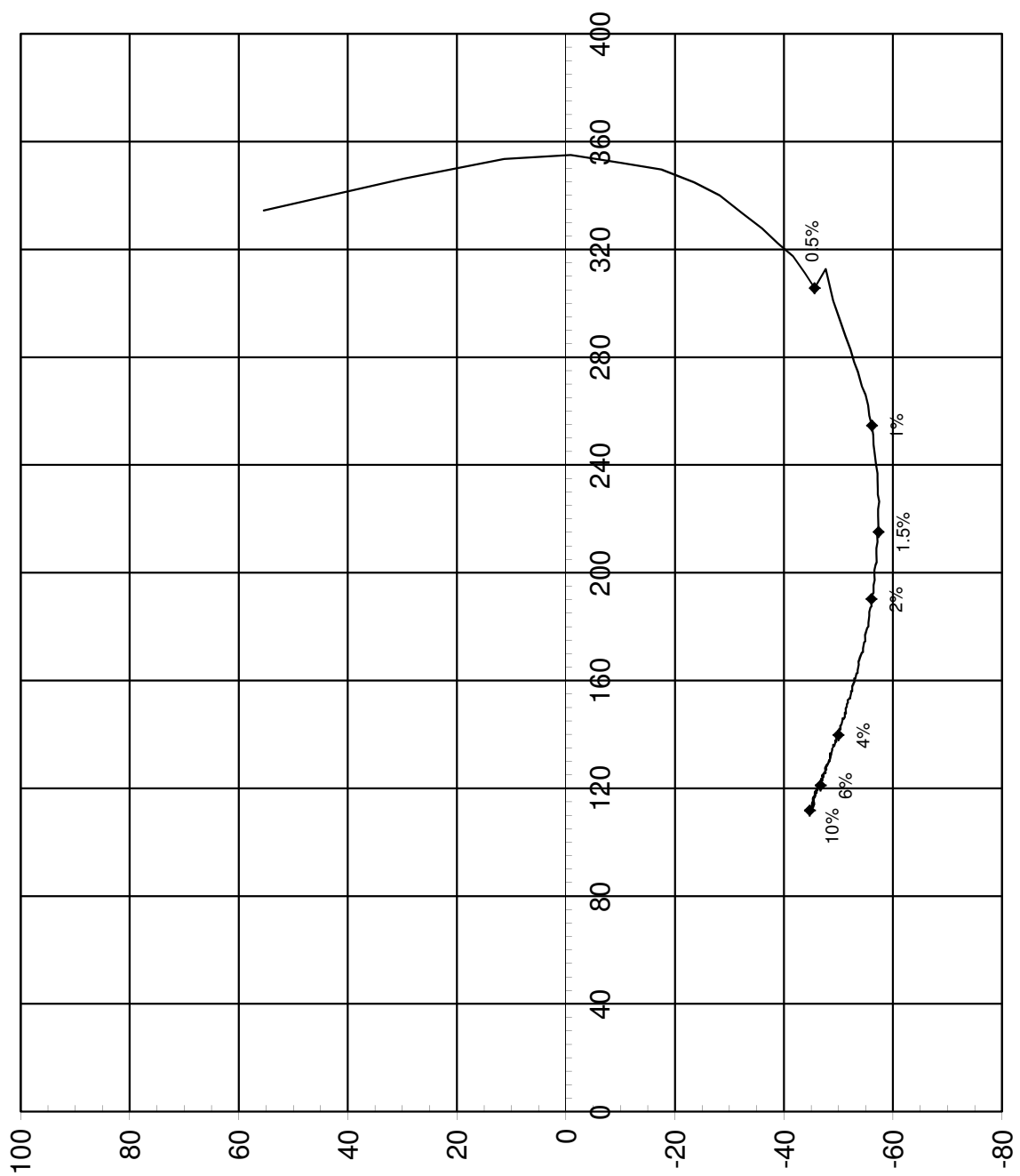
RIG-TEG-100.5

Prosedyre:

CAUa

Programrevisjon:

02.02.2011



Effektiv radiell spenning,  $\sigma'_r$  [kPa]

$$\text{Maks. skjærspenning, } \tau_{\max} = (\sigma'_a - \sigma'_r)/2 \text{ [kPa]}$$

Konsolideringsspenning, aksial:	$\sigma'_{ac}$ (kPa):	445,20
Konsolideringsspenning, radial:	$\sigma'_{rc}$ (kPa):	334,43
Volumtøyning i konsolideringsfase:	$\varepsilon_{vol}$ (%): $\Delta V/V_0$ :	5,41
Baktrykk $u_b$ (kPa):	B - verdi $= \Delta u/\Delta \sigma_c$ (-):	0,95
Vanninnhold $w_i$ (%):	Densitet $\rho_i$ (g/cm <sup>3</sup> ):	2,00

NVE Region midt

Tegningens filnavn:  
415655-RIG-TEG-101\_hLe17, 27.3m.xlsx

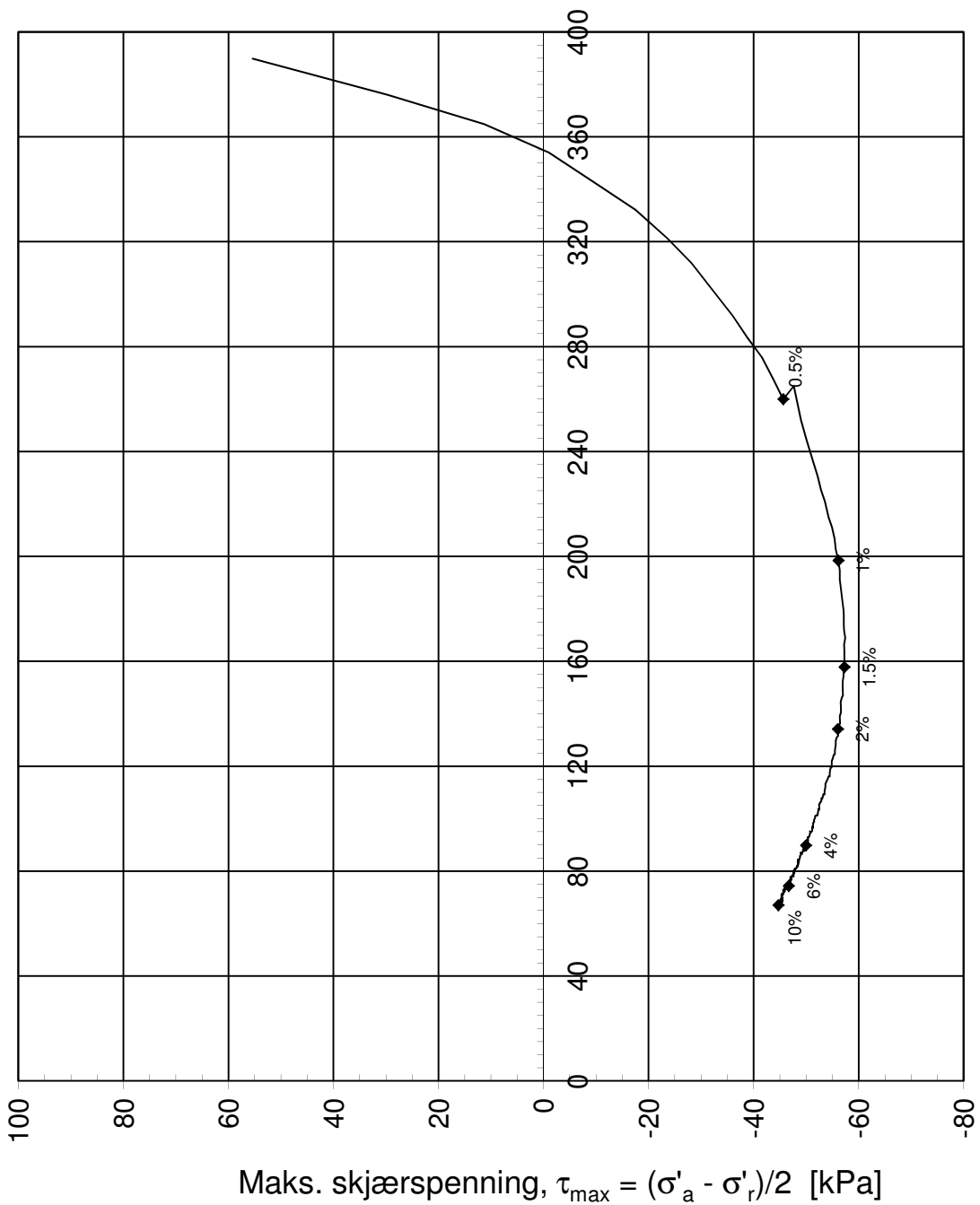
Kvikkleiresone Leira

Treaksialforsøk. Deviatorspenningssti. NTNU-plott.



**MULTICONSULT AS**  
Sluppenvegen 23,  
7486 TRONDHEIM  
Tlf.: 73 10 62 00  
Faks: 73 10 62 30

Forsøksdato:	Dybde, z (m):	Borpunkt nr.:	
25.01.2013	27,30	Le17	
Forsøk nr.:	Tegnet:	Kontrollert:	Godkjent:
12	kjt / truk	ARV	OAA
Oppdrag nr.:	Tegning nr.:	Prosedyre:	Programrevisjon:
415655	RIG-TEG-101.1	CAUp	02.02.2011



Effektiv gjennomsnittsspenning,  $(\sigma_a' + \sigma_r')/2$  [kPa]

Konsolideringsspenning, aksial:	$\sigma'_{ac}$ (kPa):	445,20
Konsolideringsspenning, radial:	$\sigma'_{rc}$ (kPa):	334,43
Volumtøyning i konsolideringsfase:	$\varepsilon_{vol}$ (%) = $\Delta V/V_0$ :	5,41
Baktrykk $u_b$ (kPa):	$B$ - verdi = $\Delta u/\Delta \sigma_c$ (-):	0,95
Vanninnhold $w_i$ (%):	Densitet $\rho_i$ (g/cm <sup>3</sup> ):	2,00

### NVE Region midt

### Kvikkleiresone Leira

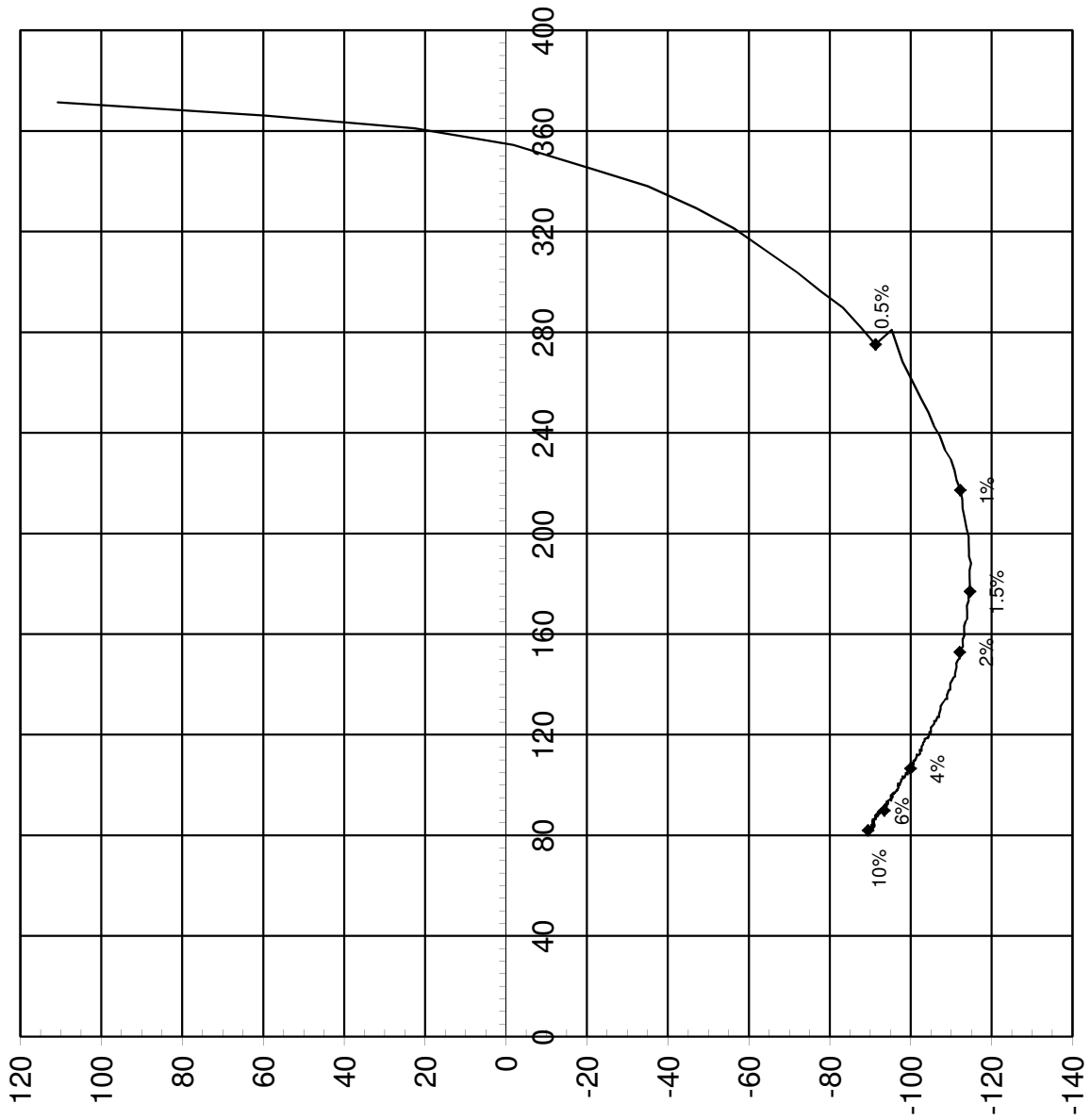
Treaksialforsøk. Deviatorspenningssti. NGI-plott.

<b>MULTICONULT AS</b> Sluppenvegen 23, 7486 TRONDHEIM Tlf.: 73 10 62 00 Faks: 73 10 62 30	Forsøksdato: 25.01.2013	Dybde, z (m): 27,30	Borpunkt nr.: Le17
	Forsøk nr.: 12	Tegnet: kjt / truk	Kontrollert: ARV
	Oppdrag nr.: 415655	Tegning nr.: RIG-TEG-101.2	Godkjent: OAA
		Prosedyre: CAUp	Programrevisjon: 02.02.2011

Tegningens filnavn:

415655-RIG-TEG-101\_hLe17, 27.3m.xlsx





Effektiv middelspenning,  $p' = \sigma_m' = (\sigma_a' + 2\sigma_r')/3$ , [kPa]

$$\text{Deviatorspenning, } q = 2\tau_{\max} = (\sigma'_a - \sigma'_r) \text{ [kPa]}$$

Konsolideringsspenning, aksial:

$\sigma'_{ac}$  (kPa): 445,20

Konsolideringsspenning, radial:

$\sigma'_{rc}$  (kPa): 334,43

Volumtøyning i konsolideringsfase:

$\varepsilon_{vol}$  (%) =  $\Delta V/V_0$ : 5,41

Baktrykk  $u_b$  (kPa):

$B$  - verdi =  $\Delta u/\Delta\sigma_c$  (-): 0,95

Vanninnhold  $w_i$  (%):

25,99

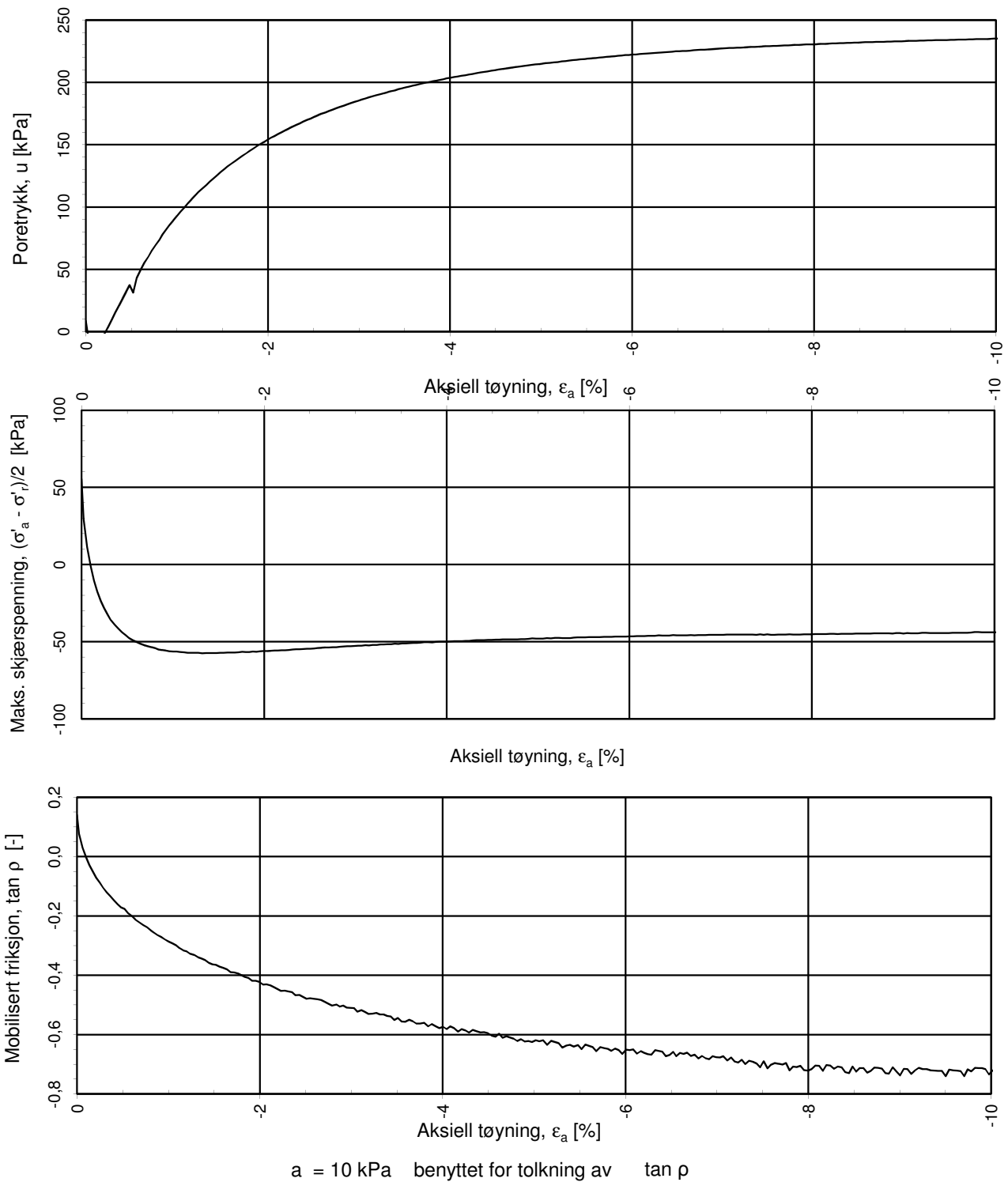
Densitet  $\rho_i$  (g/cm<sup>3</sup>): 2,00

### NVE Region midt

#### Kvikkleiresone Leira

Treaksialforsøk. Deviatorspenningssti.  $q - p'$ - plott.

<b>MULTICONSULT AS</b> Sluppenvegen 23, 7486 TRONDHEIM Tlf.: 73 10 62 00 Faks: 73 10 62 30	Forsøksdato: 25.01.2013	Dybde, z (m): 27,30	Borpunkt nr.: Le17	Tegningens filnavn: 415655-RIG-TEG-101_hLe17, 27,3m.xlsx
	Forsøk nr.: 12	Tegnet: kjt / truk	Kontrollert: ARV	
	Oppdrag nr.: 415655	Tegning nr.: RIG-TEG-101.3	Prosedyre: CAUp	



**NVE Region midt**

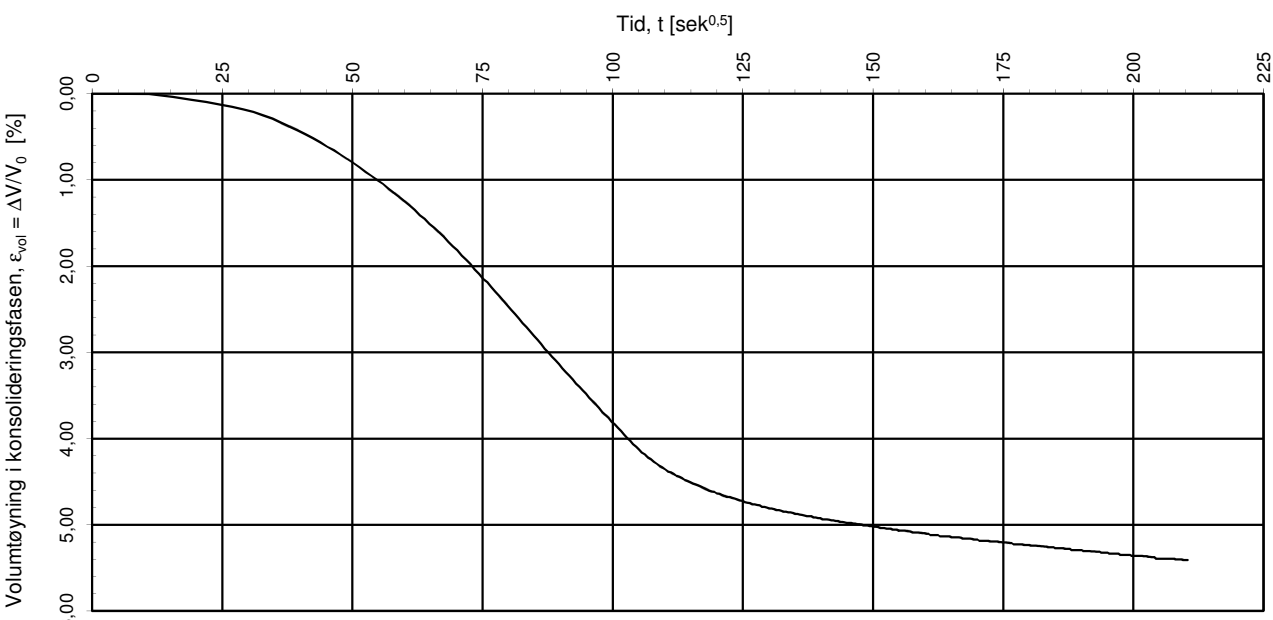
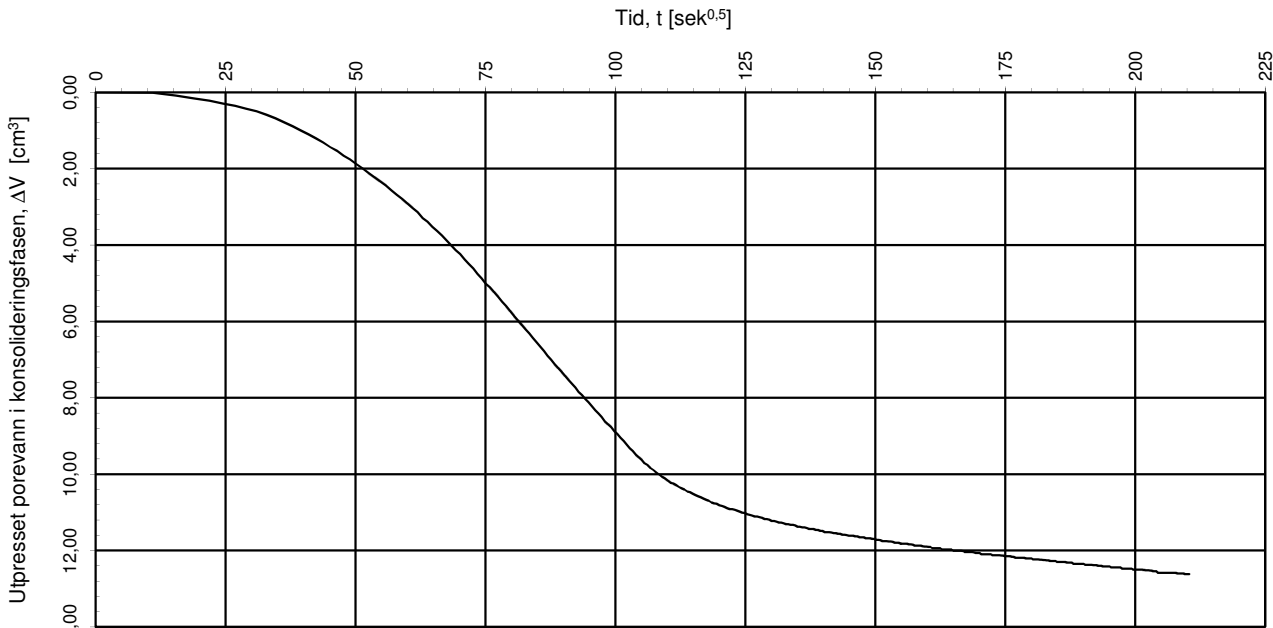
**Kvikkleiresone Leira**

Treaksialforsøk. Poretrykks- og mobiliseringsforløp.

Tegningens filnavn:  
415655-RIG-TEG-101\_hLe17, 27.3m.xlsx



<b>MULTICONSULT AS</b> Sluppenvegen 23, 7486 TRONDHEIM Tlf.: 73 10 62 00 Faks: 73 10 62 30	Forsøksdato: 25.01.2013	Dybde, z (m): 27,30	Borpunkt nr.: Le17
	Forsøk nr.: 12	Tegnet: kj / truk	Kontrollert: ARV
	Oppdrag nr.: 415655	Tegning nr.: RIG-TEG-101.4	Godkjent: OAA
		Prosedyre: CAUp	Programrevisjon: 02.02.2011



Konsolideringsspenning, aksial:

$\sigma'_{\text{ac}}$  (kPa): 445,20

Konsolideringsspenning, radial:

$\sigma'_{\text{rc}}$  (kPa): 334,43

Volumtøyning i konsolideringsfase:

$\varepsilon_{\text{vol}}$  (%):  $\Delta V/V_0$ : 5,41

Baktrykk  $u_b$  (kPa): 400

B - verdi =  $\Delta u/\Delta \sigma_c$  (-): 0,95

Vanninnhold  $w_i$  (%): 25,99

Densitet  $\rho_i$  ( $\text{g}/\text{cm}^3$ ): 2,00

## NVE Region midt

### Kvikkleiresone Leira

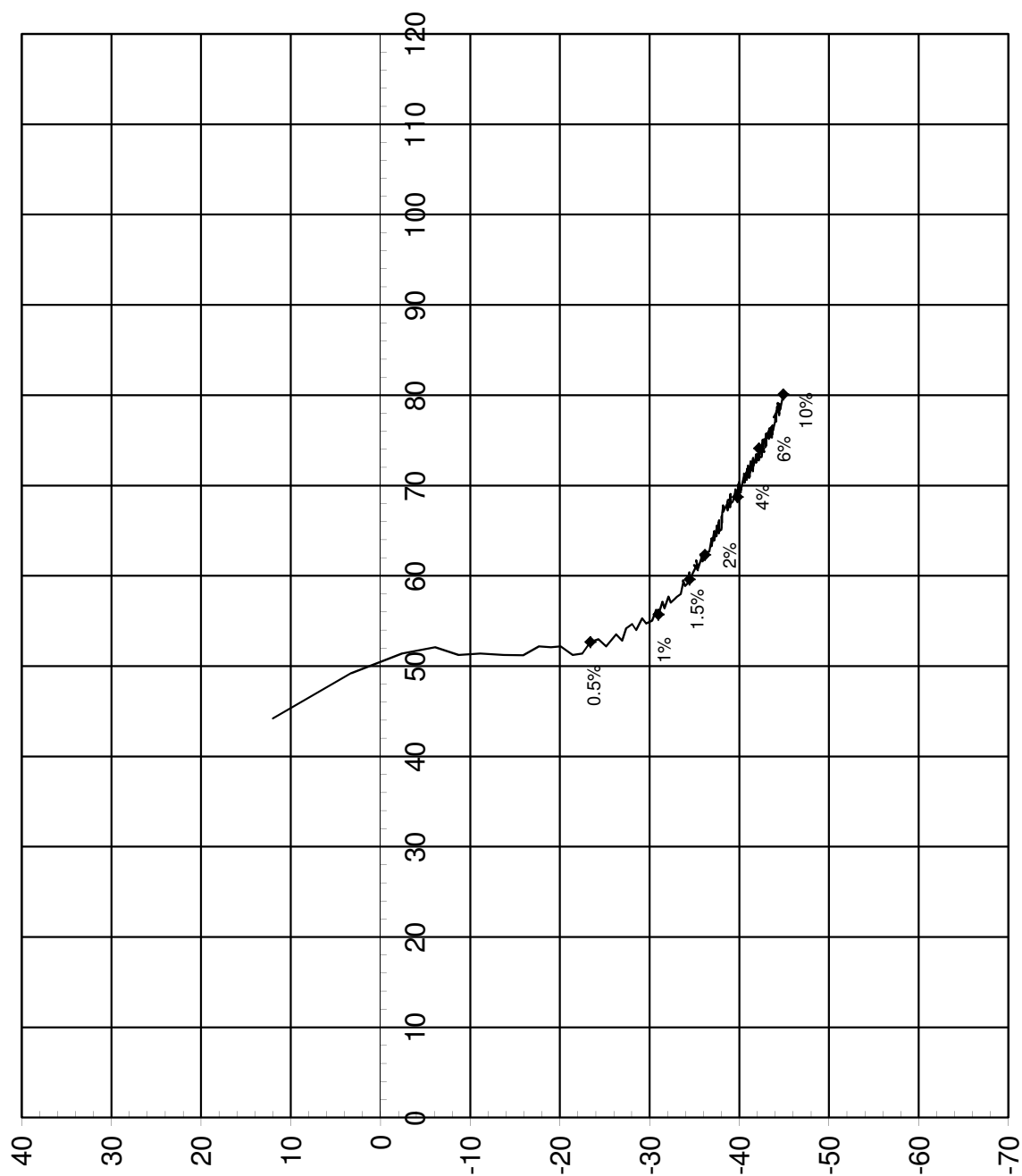
Treaksialforsøk. Vannutpressing - tid, konsolideringsfase.

Tegningens filnavn:  
415655-RIG-TEG-101\_hLe17, 27.3m.xlsx



<b>MULTICONSULT AS</b> Sluppenvegen 23, 7486 TRONDHEIM Tlf.: 73 10 62 00 Faks: 73 10 62 30	Forsøksdato: 25.01.2013	Dybde, z (m): 27,30	Borpunkt nr.: Le17
	Forsøk nr.: 12	Tegnet: kjt / truk	Kontrollert: ARV
	Oppdrag nr.: 415655	Tegning nr.: RIG-TEG-101.5	Godkjent: OAA Prosedyre: CAUp Programrevisjon: 02.02.2011

Effektiv radiell spenning,  $\sigma'_r$  [kPa]



$$\text{Maks. skjærspenning, } \tau_{\max} = (\sigma'_a - \sigma'_r)/2 \text{ [kPa]}$$

Konsolideringsspenning, aksial:	$\sigma'_{ac}$ (kPa):	68,15
Konsolideringsspenning, radial:	$\sigma'_{rc}$ (kPa):	44,21
Volumtøyning i konsolideringsfase:	$\varepsilon_{vol}$ (%): $= \Delta V/V_0$ :	0,44
Baktrykk $u_b$ (kPa):	B - verdi $= \Delta u/\Delta \sigma_c$ (-):	0,94
Vanninnhold $w_i$ (%):	Densitet $\rho_i$ (g/cm <sup>3</sup> ):	2,03

### NVE Region midt

Tegningens filnavn:

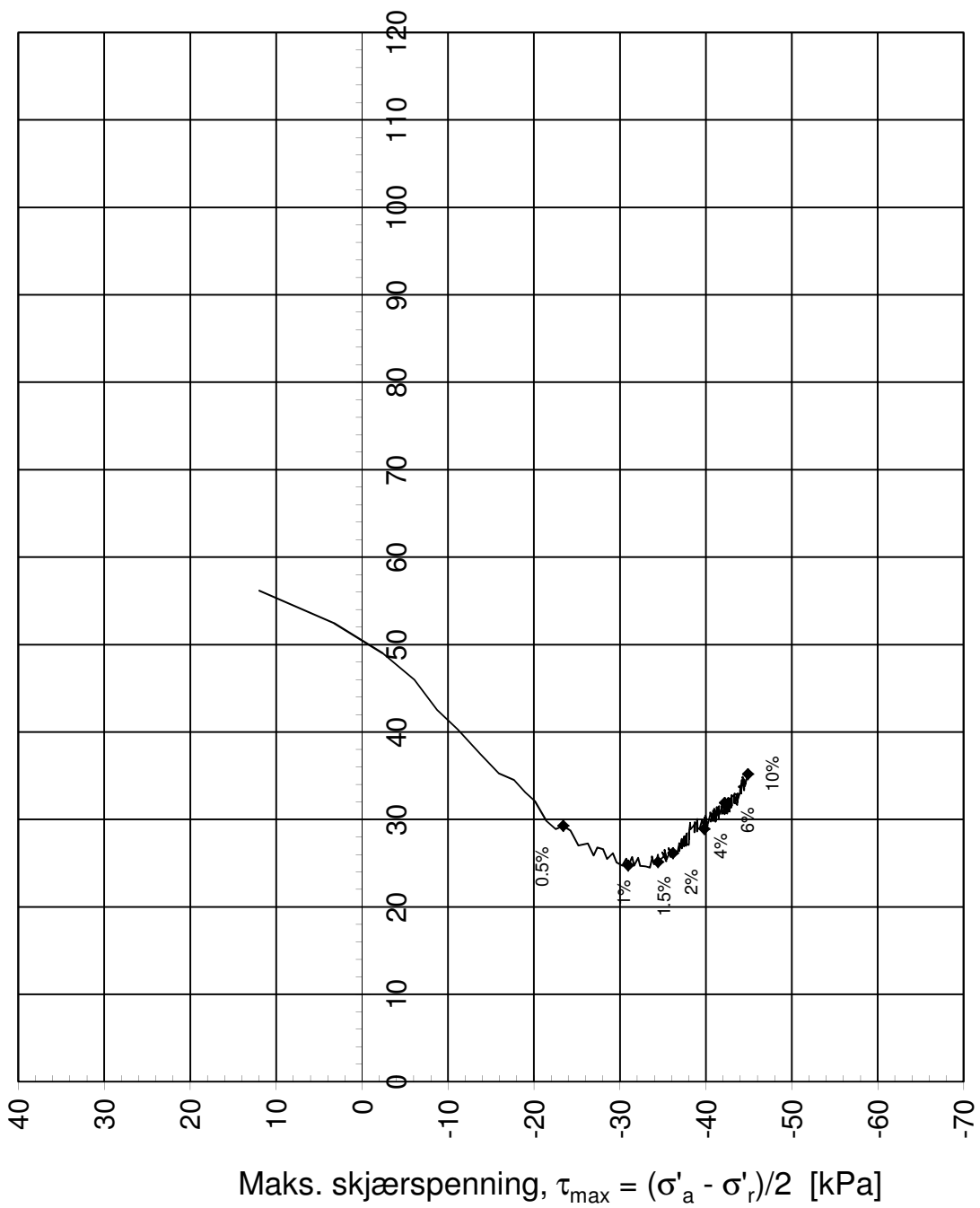
415655-RIG-TEG-102\_hLe23, 4.3m.xlsx

### Kvikkleiresone Leira

Treaksialforsøk. Deviatorspenningssti. NTNU-plott.



<b>MULTICONSULT AS</b> Sluppenvegen 23, 7486 TRONDHEIM Tlf.: 73 10 62 00 Faks: 73 10 62 30	Forsøksdato:	Dybde, z (m):	Borpunkt nr.:
	20.03.2013	4,30	Le23
	Forsøk nr.:	Tegnet:	Kontrollert:
	13	truk / kjt	ARV
	Oppdrag nr.:	Tegning nr.:	Godkjent:
	415655	RIG-TEG-102.1	OAA
			Programrevisjon:
			02.02.2011



Konsolideringsspenning, aksial:

$\sigma'_{ac}$  (kPa): 68,15

Konsolideringsspenning, radial:

$\sigma'_{rc}$  (kPa): 44,21

Volumtøyning i konsolideringsfase:

$\varepsilon_{vol}$  (%) =  $\Delta V/V_0$ : 0,44

Baktrykk  $u_b$  (kPa): 500

B - verdi =  $\Delta u/\Delta \sigma_c$  (-): 0,94

Vanninnhold  $w_i$  (%): 25,19

Densitet  $\rho_i$  (g/cm<sup>3</sup>): 2,03

### NVE Region midt

### Kvikkleiresone Leira

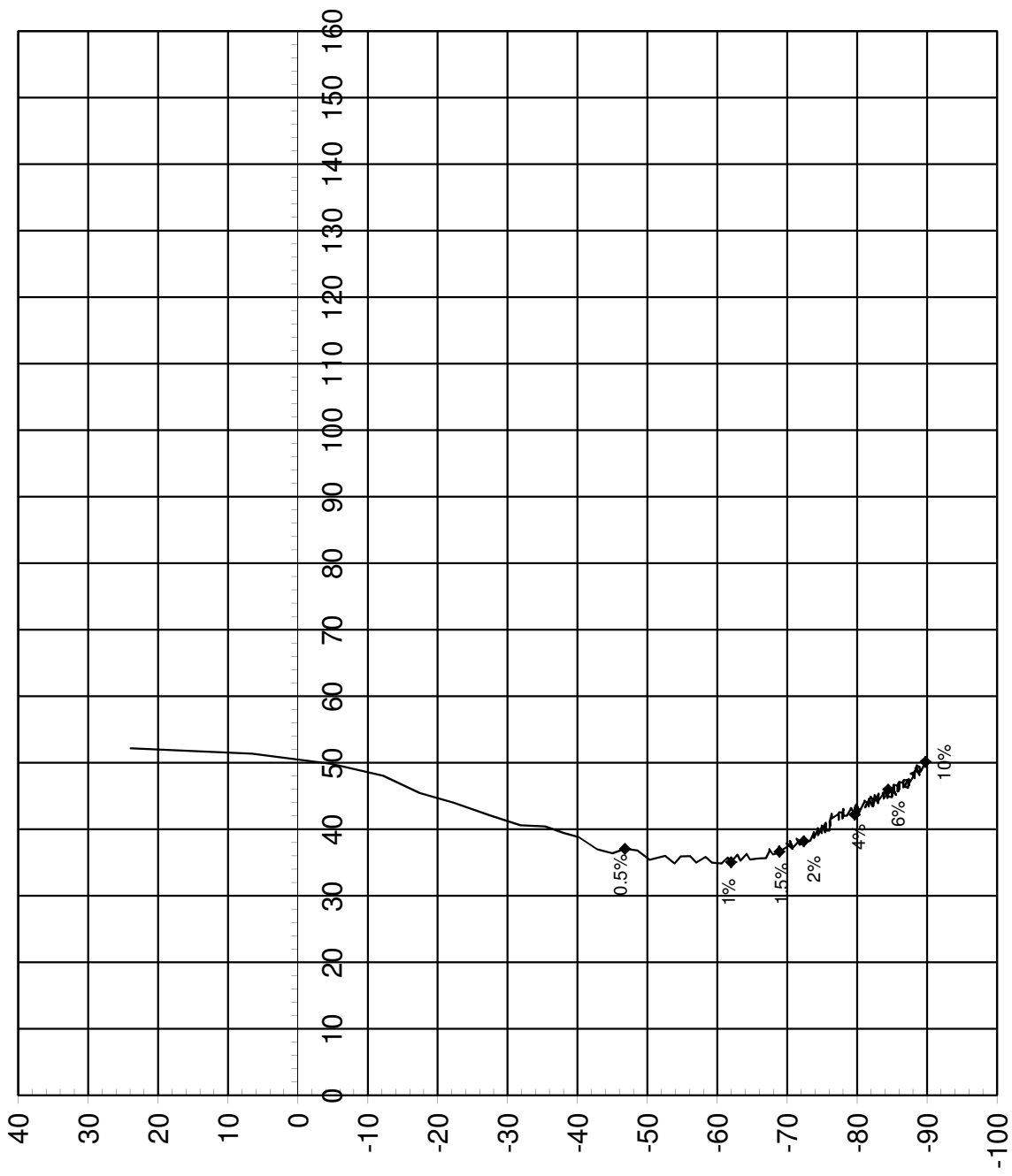
Treaksalforsøk. Deviatorspenningssti. NGI-plott.

<b>MULTICONULT AS</b> Sluppenvegen 23, 7486 TRONDHEIM Tlf.: 73 10 62 00 Faks: 73 10 62 30	Forsøksdato: 20.03.2013	Dybde, z (m): 4,30	Borpunkt nr.: Le23
	Forsøk nr.: 13	Tegnet: truk / kjt	Kontrollert: ARV
	Oppdrag nr.: 415655	Tegning nr.: RIG-TEG-102.2	Godkjent: OAA
		Prosedyre: CAUp	Programrevisjon: 02.02.2011

Tegningens filnavn:

415655-RIG-TEG-102\_hLe23, 4,3m.xlsx





$$\text{Deviatorspenning, } q = 2\tau_{\max} = (\sigma'_a - \sigma'_r) \text{ [kPa]}$$

Konsolideringsspenning, aksial:

$\sigma'_{ac}$  (kPa): 68,15

Konsolideringsspenning, radial:

$\sigma'_{rc}$  (kPa): 44,21

Volumtøyning i konsolideringsfase:

$\varepsilon_{vol}$  (%) =  $\Delta V/V_0$ : 0,44

Baktrykk  $u_b$  (kPa): 500

B - verdi =  $\Delta u/\Delta \sigma_c$  (-): 0,94

Vanninnhold  $w_i$  (%): 25,19

Densitet  $\rho_i$  (g/cm<sup>3</sup>): 2,03

### NVE Region midt

#### Kvikkleiresone Leira

Treaksialforsøk. Deviatorspenningssti. q - p'- plott.

**MULTICONSULT AS**

Sluppenvegen 23,

7486 TRONDHEIM

Tlf.: 73 10 62 00

Faks: 73 10 62 30

Forsøksdato:  
20.03.2013

Dybde, z (m):  
4,30

Borpunkt nr.:  
Le23

Forsøk nr.:  
13

Tegnet:  
truk / kjt

Kontrollert:  
ARV

Tegningens filnavn:

415655-RIG-TEG-102\_hLe23, 4,3m.xlsx

Oppdrag nr.:  
415655

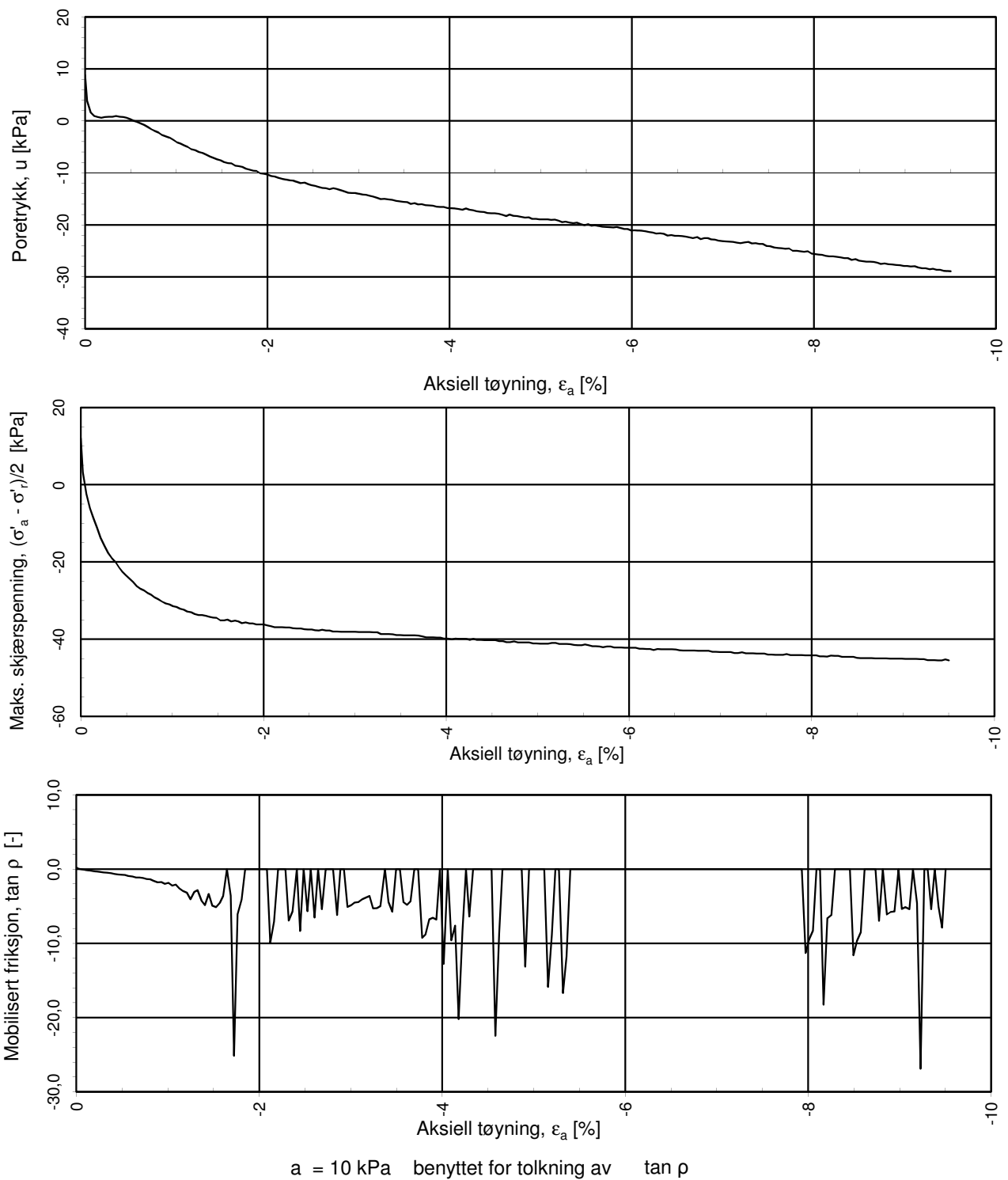
Tegning nr.:  
RIG-TEG-102.3

Prosedyre:  
CAUp

Godkjent:  
OAA

Programrevisjon:  
02.02.2011





**NVE Region midt**

**Kvikkleiresone Leira**

Treaksialforsøk. Poretrykks- og mobiliseringsforløp.

Tegningens filnavn:

415655-RIG-TEG-102\_hLe23, 4.3m.xlsx



**MULTICONSULT AS**

Sluppenvegen 23,  
7486 TRONDHEIM  
Tlf.: 73 10 62 00  
Faks: 73 10 62 30

Forsøksdato:  
20.03.2013

Dybde,  $z$  (m):  
4,30

Borpunkt nr.:  
Le23

Forsøk nr.:  
13

Tegnet:  
truk / kjt

Kontrollert:  
ARV

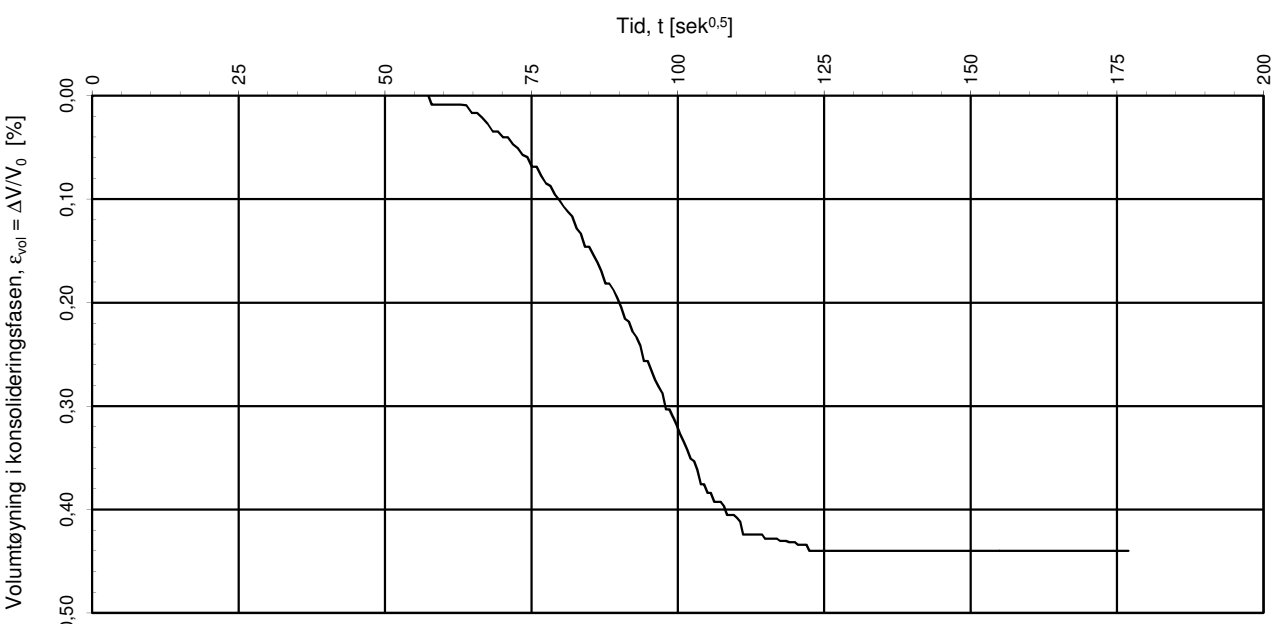
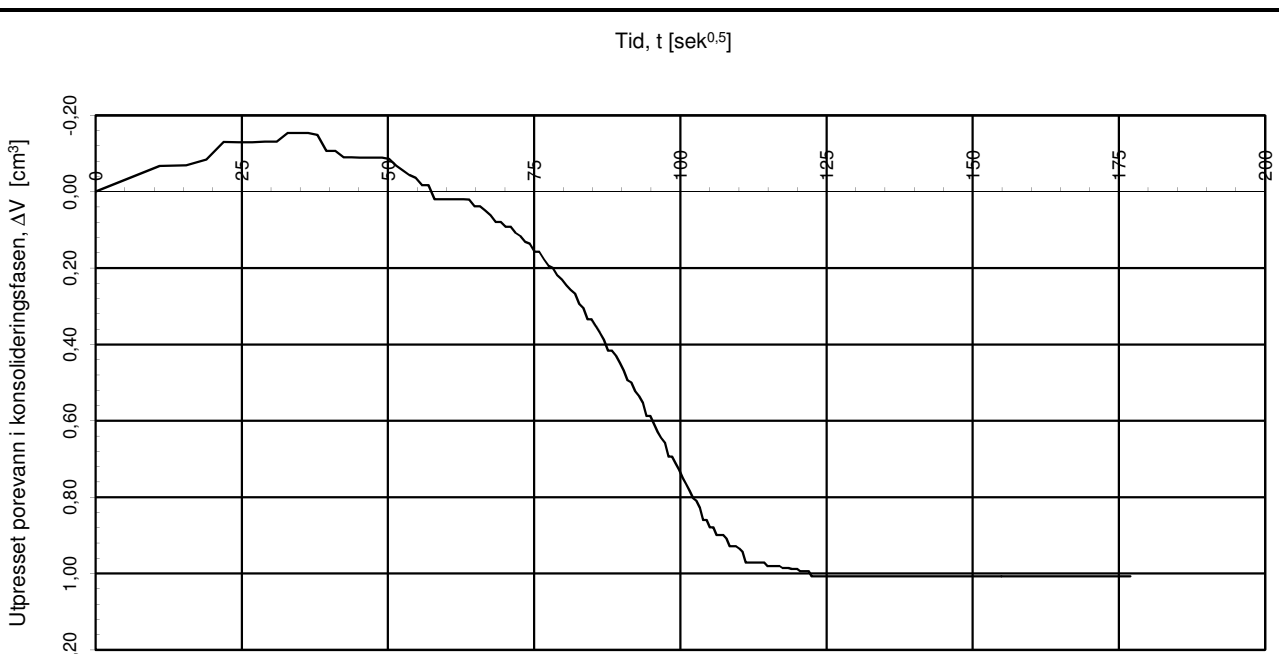
Godkjent:  
OAA

Oppdrag nr.:  
415655

Tegning nr.:  
RIG-TEG-102.4

Prosedyre:  
CAUp

Programrevisjon:  
02.02.2011



Konsolideringsspenning, aksial:	$\sigma'_{ac}$ (kPa):	68,15
Konsolideringsspenning, radial:	$\sigma'_{rc}$ (kPa):	44,21
Volumtøyning i konsolideringsfase:	$\varepsilon_{vol}$ (%): $= \Delta V/V_0$ :	0,44
Baktrykk $u_b$ (kPa):	500	B - verdi $= \Delta u/\Delta \sigma_c$ (-): 0,94
Vanninnhold $w_i$ (%):	25,19	Densitet $\rho_i$ (g/cm <sup>3</sup> ): 2,03

## NVE Region midt

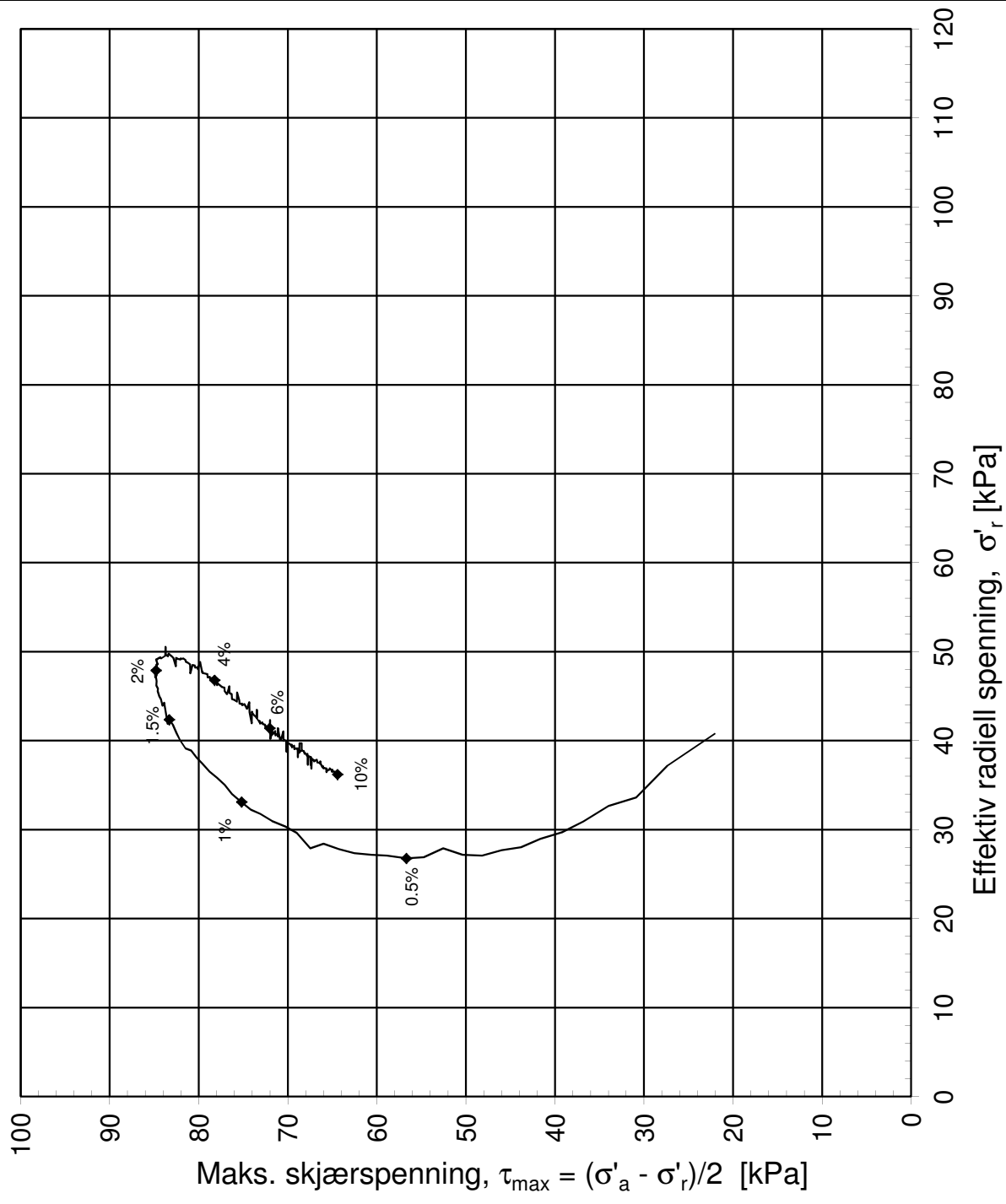
### Kvikkleiresone Leira

Treaksialforsøk. Vannutpressing - tid, konsolideringsfase.

<b>MULTICONSULT AS</b> Sluppenvegen 23, 7486 TRONDHEIM Tlf.: 73 10 62 00 Faks: 73 10 62 30	Forsøksdato:	Dybde, z (m):	Borpunkt nr.:
	20.03.2013	4,30	Le23
	Forsøk nr.:	Tegnet: truk / kjt	Kontrollert: ARV
	13		Godkjent: OAA
	Oppdrag nr.:	Tegning nr.:	Programrevisjon:
	415655	RIG-TEG-102.5	02.02.2011

Tegningens filnavn:  
415655-RIG-TEG-102\_hLe23, 4,3m.xlsx





Konsolideringsspenning, aksial:	$\sigma'_{ac}$ (kPa):	84,92
Konsolideringsspenning, radial:	$\sigma'_{rc}$ (kPa):	40,77
Volumtøyning i konsolideringsfase:	$\varepsilon_{vol}$ (%) = $\Delta V/V_0$ :	1,75
Baktrykk $u_b$ (kPa):	B - verdi = $\Delta u/\Delta \sigma_c$ (-):	0,90
Vanninnhold $w_i$ (%):	Densitet $\rho_i$ (g/cm³):	2,03

### NVE Region midt

Tegningens filnavn:  
415655-RIG-TEG-103\_hLe23, 4.4m.xlsx

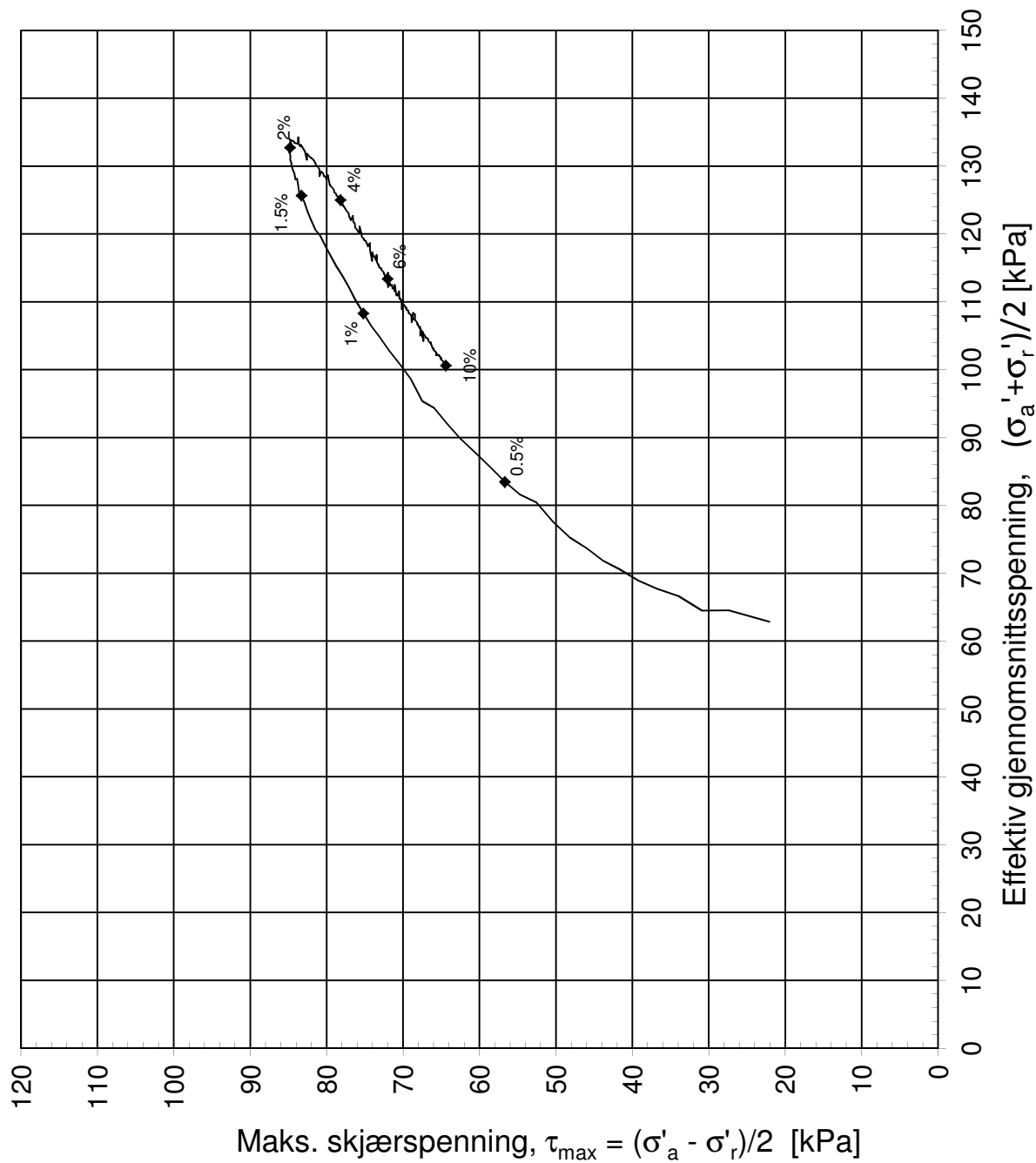
### Kvikkleiresone Leira

Treaksialforsøk. Deviatorspenningssti. NTNU-plott.

**MULTICONSULT AS**  
Sluppenvegen 23,  
7486 TRONDHEIM  
Tlf.: 73 10 62 00  
Faks: 73 10 62 30

Forsøksdato:	20.03.2013	Dybde, z (m):	4,40	Borpunkt nr.:	Le 23
Forsøk nr.:	14	Tegnet:	truk	Kontrollert:	ARV
Oppdrag nr.:	415655	Tegning nr.:	RIG-TEG-103.1	Prosedyre:	CAUa
				Godkjent:	OAA
				Programrevisjon:	02.02.2011





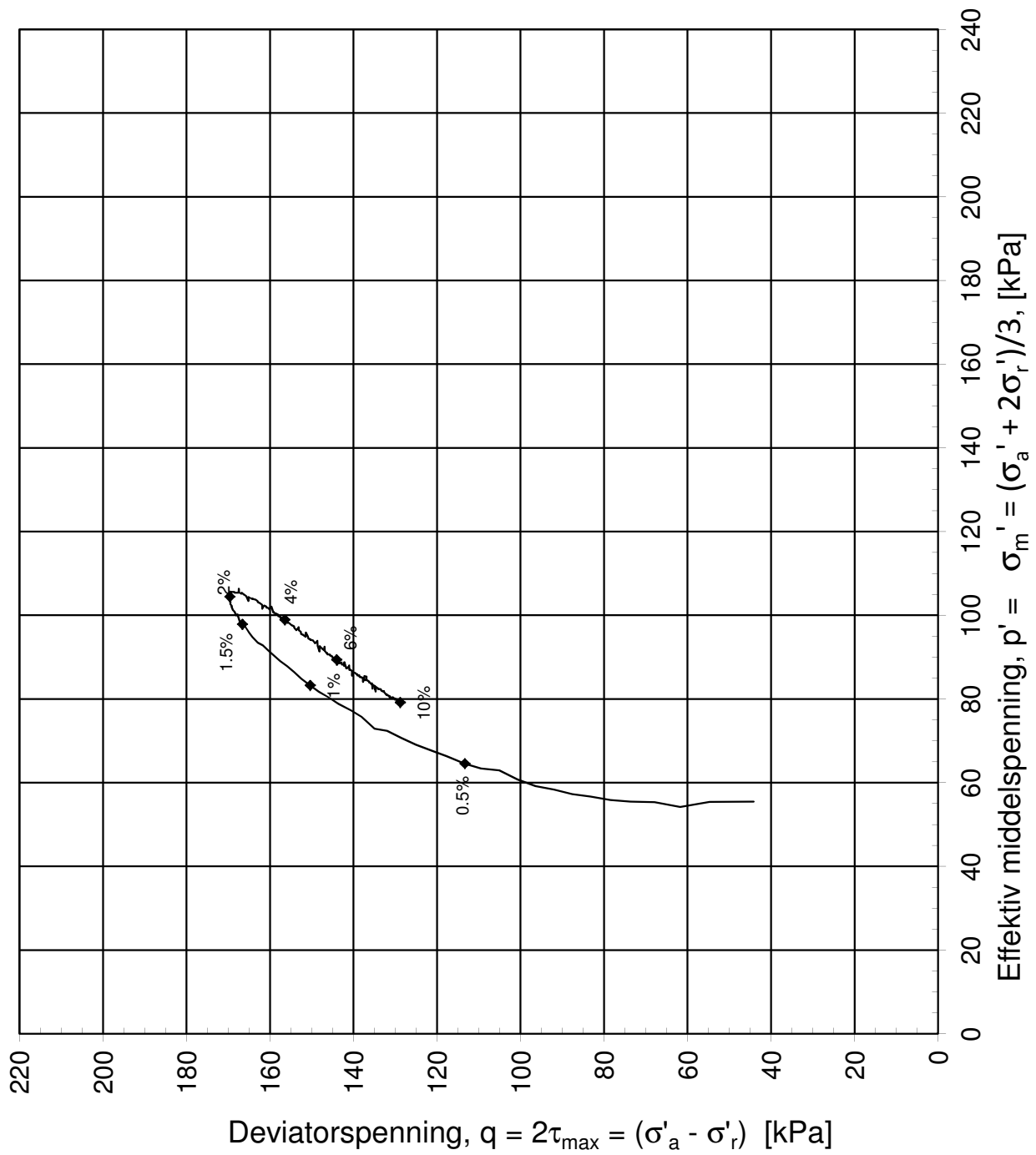
Konsolideringsspenning, aksial:	$\sigma'_{ac}$ (kPa):	84,92
Konsolideringsspenning, radial:	$\sigma'_{rc}$ (kPa):	40,77
Volumtøyning i konsolideringsfasen:	$\varepsilon_{vol}$ (%) = $\Delta V/V_0$ :	1,75
Baktrykk $u_b$ (kPa):	$B$ - verdi = $\Delta u/\Delta \sigma_c$ (-):	0,90
Vanninnhold $w_i$ (%):	Densitet $\rho_i$ (g/cm <sup>3</sup> ):	2,03

### NVE Region midt

### Kvikkleiresone Leira

Treaksialforsøk. Deviatorspenningssti. NGI-plott.

<b>MULTICONSULT AS</b> Sluppenvegen 23, 7486 TRONDHEIM Tlf.: 73 10 62 00 Faks: 73 10 62 30	Forsøksdato: 20.03.2013	Dybde, z (m): 4,40	Borpunkt nr.: Le 23	Tegningens filnavn: 415655-RIG-TEG-103_hLe23, 4,4m.xlsx  
	Forsøk nr.: 14	Tegnet: truk	Kontrollert: ARV	
	Oppdrag nr.: 415655	Tegning nr.: RIG-TEG-103.2	Prosedyre: CAUa	
			Programrevisjon: 02.02.2011	



Konsolideringsspenning, aksial:

$\sigma'_{ac}$  (kPa): 84,92

Konsolideringsspenning, radial:

$\sigma'_{rc}$  (kPa): 40,77

Volumtøyning i konsolideringsfase:

$\varepsilon_{vol}$  (%) =  $\Delta V/V_0$ : 1,75

Baktrykk  $u_b$  (kPa):

500

B - verdi =  $\Delta u/\Delta\sigma_c$  (-): 0,90

Vanninnhold  $w_i$  (%):

22,71

Densitet  $\rho_i$  (g/cm³): 2,03

## NVE Region midt

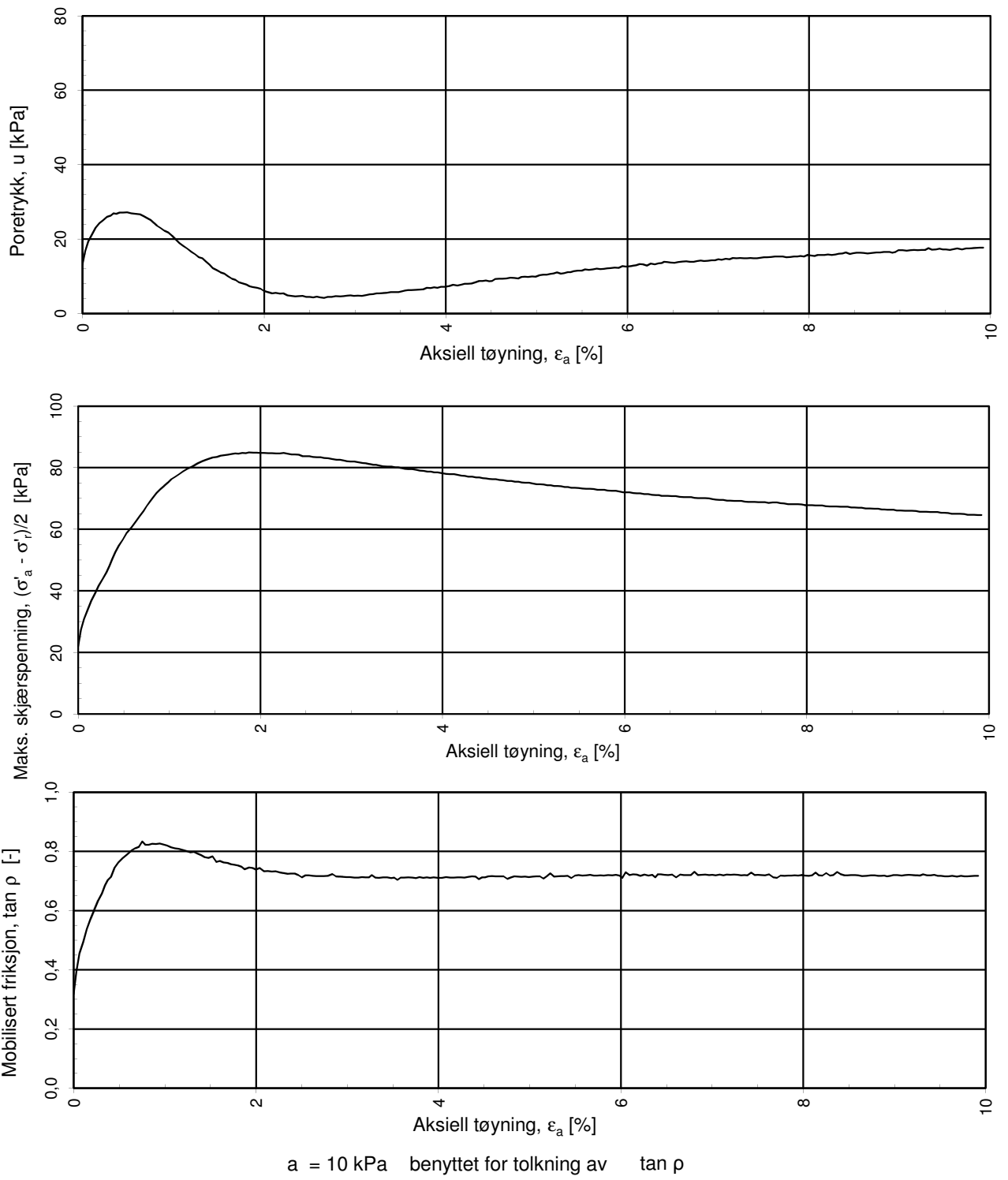
### Kvikkleiresone Leira

Treaksialforsøk. Deviatorspenningssti.  $q - p'$ - plott.

Tegningens filnavn:  
415655-RIG-TEG-103\_hLe23, 4,4m.xlsx



<b>MULTICONSULT AS</b> Sluppenvegen 23, 7486 TRONDHEIM Tlf.: 73 10 62 00 Faks: 73 10 62 30	Forsøksdato: 20.03.2013	Dybde, z (m): 4,40	Borpunkt nr.: Le 23
	Forsøk nr.: 14	Tegnet: truk	Kontrollert: ARV
	Oppdrag nr.: 415655	Tegning nr.: RIG-TEG-103.3	Godkjent: OAA
			Programrevisjon: 02.02.2011



**NVE Region midt**

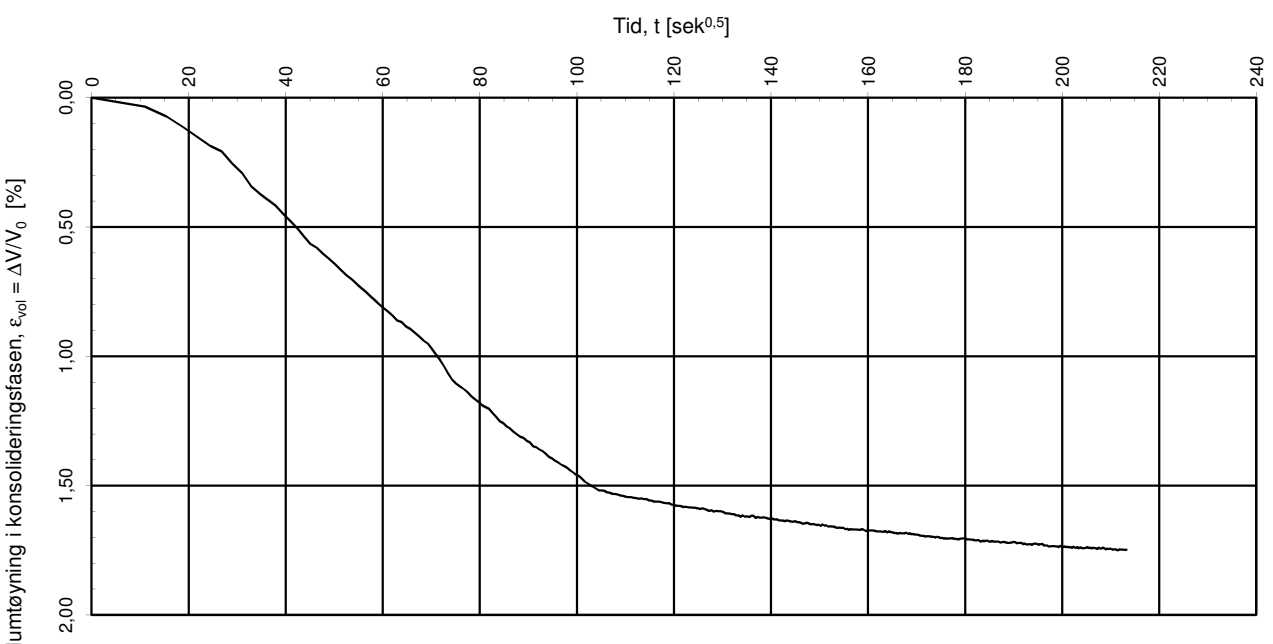
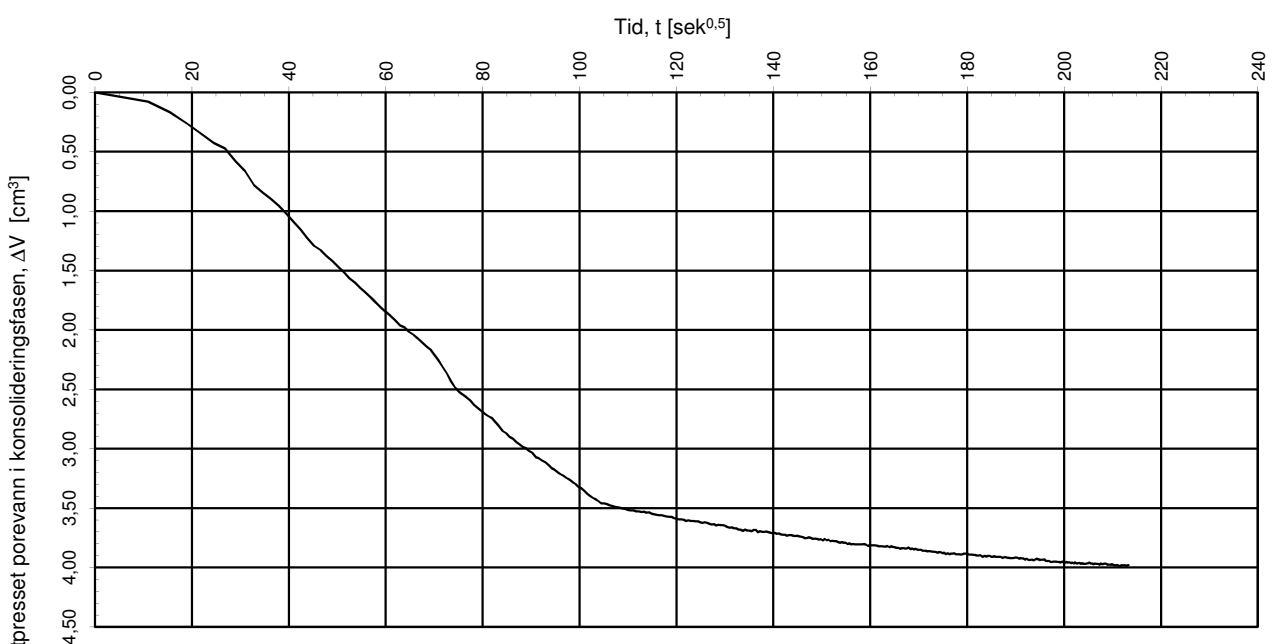
**Kvikkleiresone Leira**

Treaksialforsøk. Poretrykks- og mobiliseringsforløp.

Tegningens filnavn:  
415655-RIG-TEG-103\_hLe23, 4.4m.xlsx



<b>MULTICONSULT AS</b> Sluppenvegen 23, 7486 TRONDHEIM Tlf.: 73 10 62 00 Faks: 73 10 62 30	Forsøksdato: 20.03.2013	Dybde, z (m): 4,40	Borpunkt nr.: Le 23	Godkjent: OAA  Programrevisjon: 02.02.2011
	Forsøk nr.: 14	Tegnet: truk	Kontrollert: ARV	
	Oppdrag nr.: 415655	Tegning nr.: RIG-TEG-103.4	Prosedyre: CAUa	



Konsolideringsspenning, aksial:

$\sigma'_{ac}$  (kPa): 84,92

Konsolideringsspenning, radial:

$\sigma'_{rc}$  (kPa): 40,77

Volumtøyning i konsolideringsfase:

$\epsilon_{vol}$  (%):  $\Delta V/V_0$ : 1,75

Baktrykk  $u_b$  (kPa): 500

B - verdi =  $\Delta u/\Delta \sigma_c$  (-): 0,90

Vanninnhold  $w_i$  (%): 22,71

Densitet  $\rho_i$  (g/cm³): 2,03

## NVE Region midt

Tegningens filnavn:  
415655-RIG-TEG-103\_hLe23, 4,4m.xlsx

### Kvikkleiresone Leira

Treaksialforsøk. Vannutpressing - tid, konsolideringsfase.



MULTICONSULT AS

Sluppenvegen 23,  
7486 TRONDHEIM  
Tlf.: 73 10 62 00  
Faks: 73 10 62 30

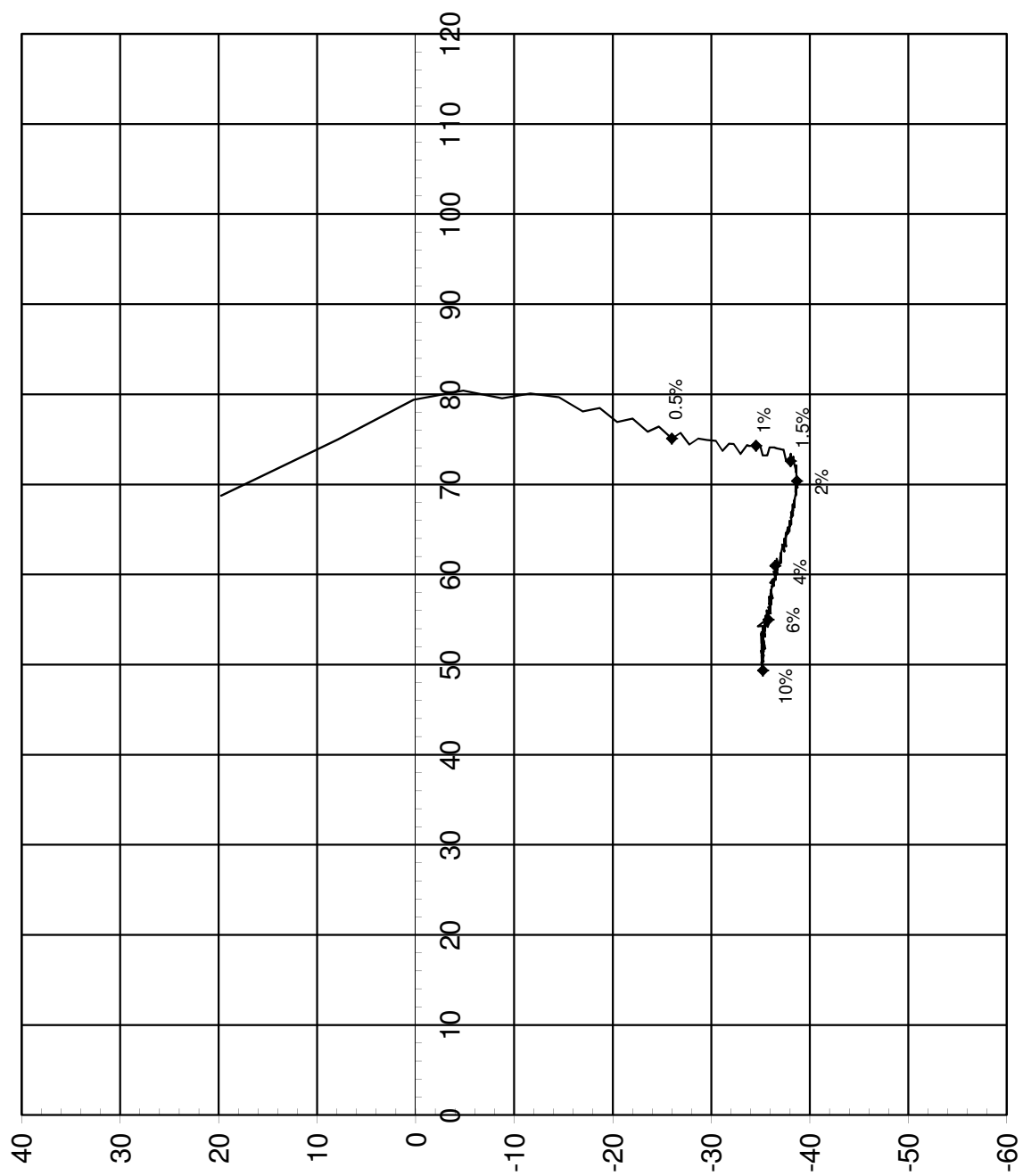
Forsøksdato: 20.03.2013 Dybde, z (m): 4,40 Borpunkt nr.: Le 23

Forsøk nr.: 14 Tegnet: truk Kontrollert: ARV Godkjent: OAA

Oppdrag nr.: 415655 Tegning nr.: RIG-TEG-103.5 Prosedyre: CAUa Programrevisjon:

02.02.2011

Effektiv radiell spenning,  $\sigma'_r$  [kPa]



$$\text{Maks. skjærspenning, } \tau_{\max} = (\sigma'_a - \sigma'_r)/2 \text{ [kPa]}$$

Konsolideringsspenning, aksial:	$\sigma'_{ac}$ (kPa):	108,22
Konsolideringsspenning, radial:	$\sigma'_{rc}$ (kPa):	68,74
Volumtøyning i konsolideringsfase:	$\varepsilon_{vol}$ (%) = $\Delta V/V_0$ :	1,19
Baktrykk $u_b$ (kPa):	B - verdi = $\Delta u/\Delta \sigma_c$ (-):	0,98
Vanninnhold $w_i$ (%):	Densitet $\rho_i$ (g/cm <sup>3</sup> ):	2,01

NVE Region midt

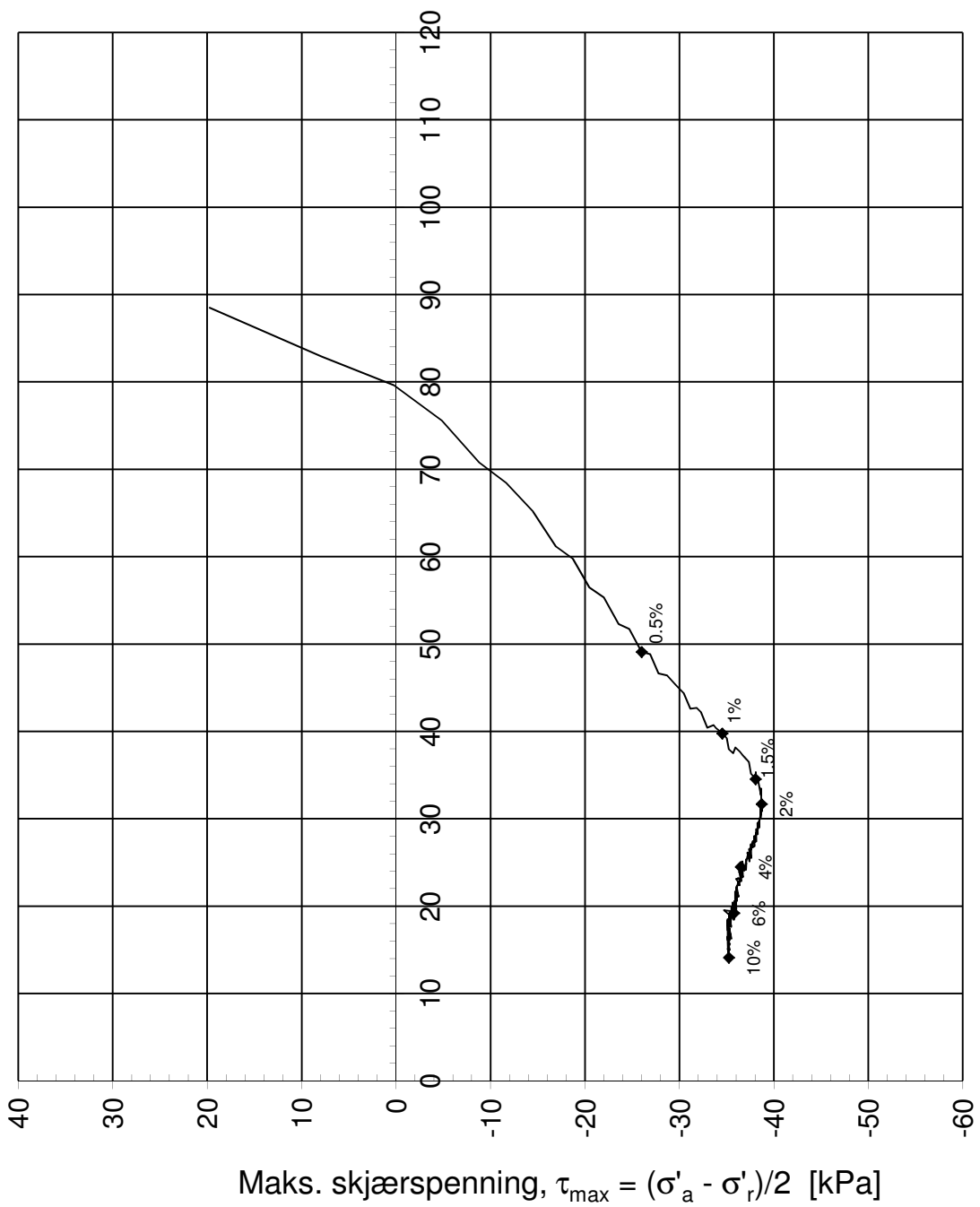
Tegningens filnavn:  
415655-RIG-TEG-103\_hLe23, 8,45m.xlsx

Kvikkleiresone Leira

Treaksialforsøk. Deviatorspenningssti. NTNU-plott.



<b>MULTICONСULT AS</b> Sluppenvegen 23, 7486 TRONDHEIM Tlf.: 73 10 62 00 Faks: 73 10 62 30	Forsøksdato:	Dybde, z (m):	Borpunkt nr.:
	04.04.2013	8,45	Le23
	Forsøk nr.:	Tegnet:	Kontrollert:
	15	truk	ARV
	Oppdrag nr.:	Tegning nr.:	Godkjent:
	415655	RIG-TEG-104.1	OAA
			Programrevisjon:
			02.02.2011



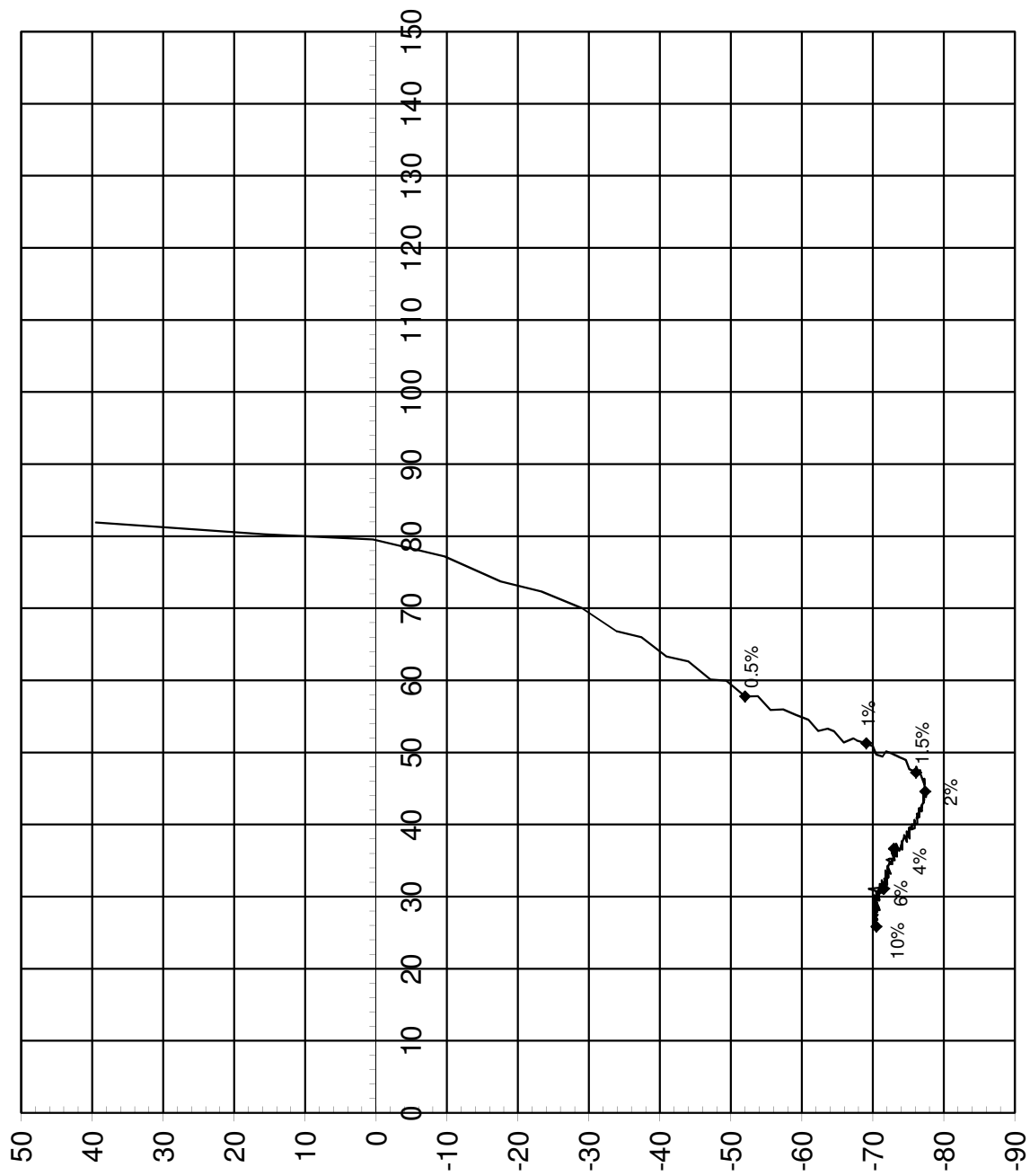
Konsolideringsspenning, aksial:	$\sigma'_{ac}$ (kPa):	108,22
Konsolideringsspenning, radial:	$\sigma'_{rc}$ (kPa):	68,74
Volumtøyning i konsolideringsfasen:	$\varepsilon_{vol}$ (%) = $\Delta V/V_0$ :	1,19
Baktrykk $u_b$ (kPa):	$B$ - verdi = $\Delta u/\Delta \sigma_c$ (-):	0,98
Vanninnhold $w_i$ (%):	Densitet $\rho_i$ (g/cm <sup>3</sup> ):	2,01

### NVE Region midt

### Kvikkleiresone Leira

Treaksalforsøk. Deviatorspenningssti. NGI-plott.

<b>MULTICONULT AS</b> Sluppenvegen 23, 7486 TRONDHEIM Tlf.: 73 10 62 00 Faks: 73 10 62 30	Forsøksdato: 04.04.2013	Dybde, z (m): 8,45	Borpunkt nr.: Le23	Tegningens filnavn: 415655-RIG-TEG-103_hLe23, 8.45m.xlsx  
	Forsøk nr.: 15	Tegnet: truk	Kontrollert: ARV	
	Oppdrag nr.: 415655	Tegning nr.: RIG-TEG-104.2	Prosedyre: CAUp	
			Programrevisjon: 02.02.2011	



$$\text{Deviatorspenning, } q = 2\tau_{\max} = (\sigma'_a - \sigma'_r) \text{ [kPa]}$$

Konsolideringsspenning, aksial:

$\sigma'_{ac}$  (kPa): 108,22

Konsolideringsspenning, radial:

$\sigma'_{rc}$  (kPa): 68,74

Volumtøyning i konsolideringsfase:

$\varepsilon_{vol}$  (%) =  $\Delta V/V_0$ : 1,19

Baktrykk  $u_b$  (kPa): 500

B - verdi =  $\Delta u/\Delta \sigma_c$  (-): 0,98

Vanninnhold  $w_i$  (%): 24,09

Densitet  $\rho_i$  (g/cm<sup>3</sup>): 2,01

### NVE Region midt

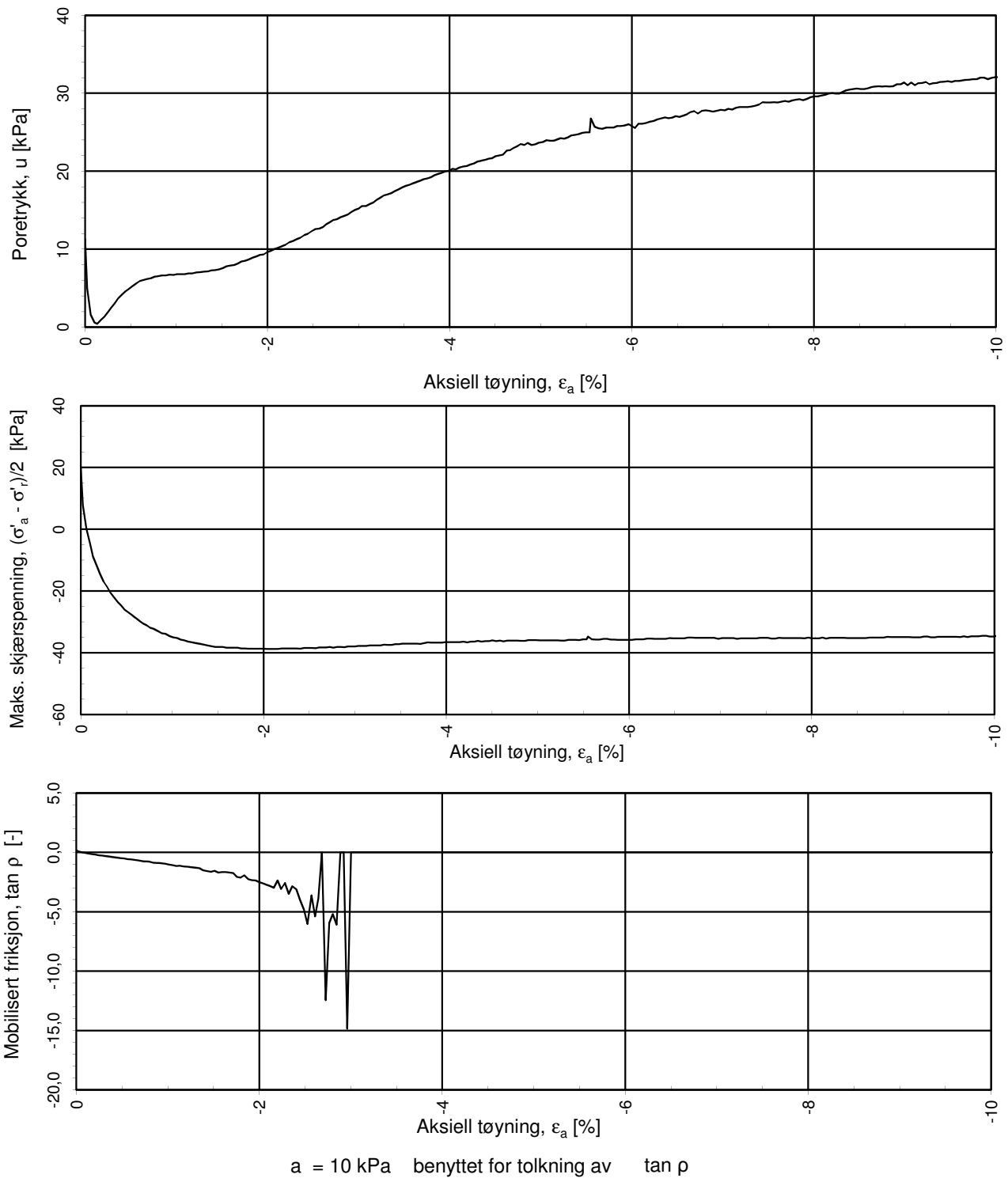
#### Kvikkleiresone Leira

Treaksialforsøk. Deviatorspenningssti. q - p'- plott.

Tegningens filnavn:  
415655-RIG-TEG-103\_hLe23, 8,45m.xlsx



<b>MULTICONSULT AS</b> Sluppenvegen 23, 7486 TRONDHEIM Tlf.: 73 10 62 00 Faks: 73 10 62 30	Forsøksdato: 04.04.2013	Dybde, z (m): 8,45	Borpunkt nr.: Le23
	Forsøk nr.: 15	Tegnet: truk	Kontrollert: ARV
	Oppdrag nr.: 415655	Tegning nr.: RIG-TEG-104.3	Godkjent: OAA
Prosedyre: CAUp		Programrevisjon: 02.02.2011	



**NVE Region midt**

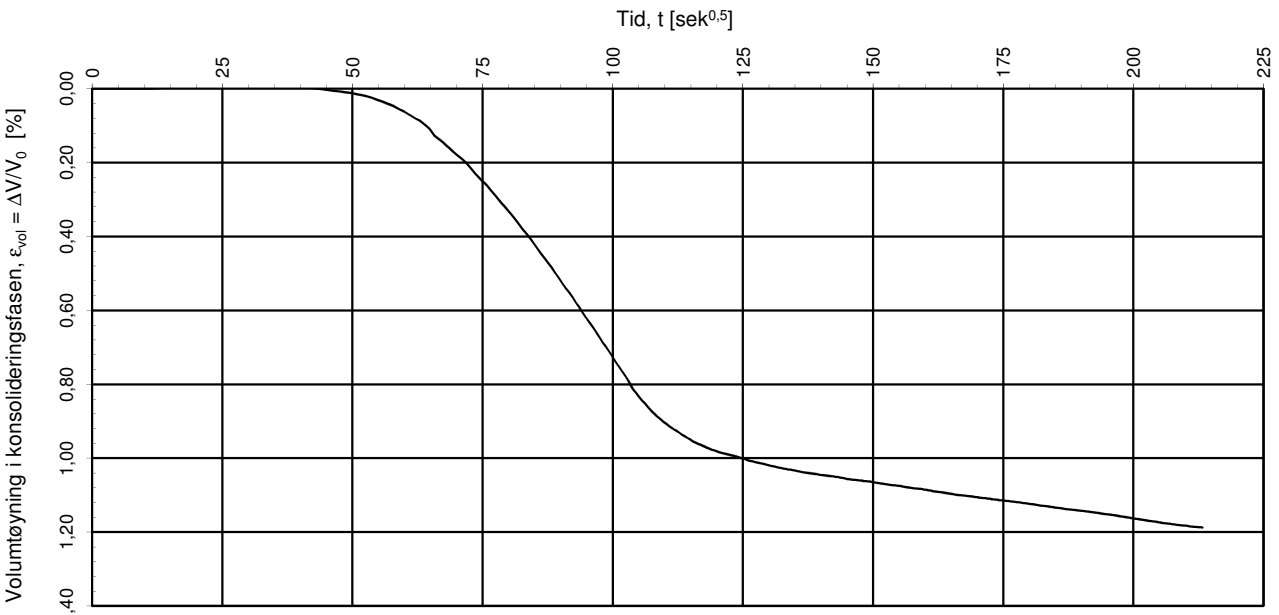
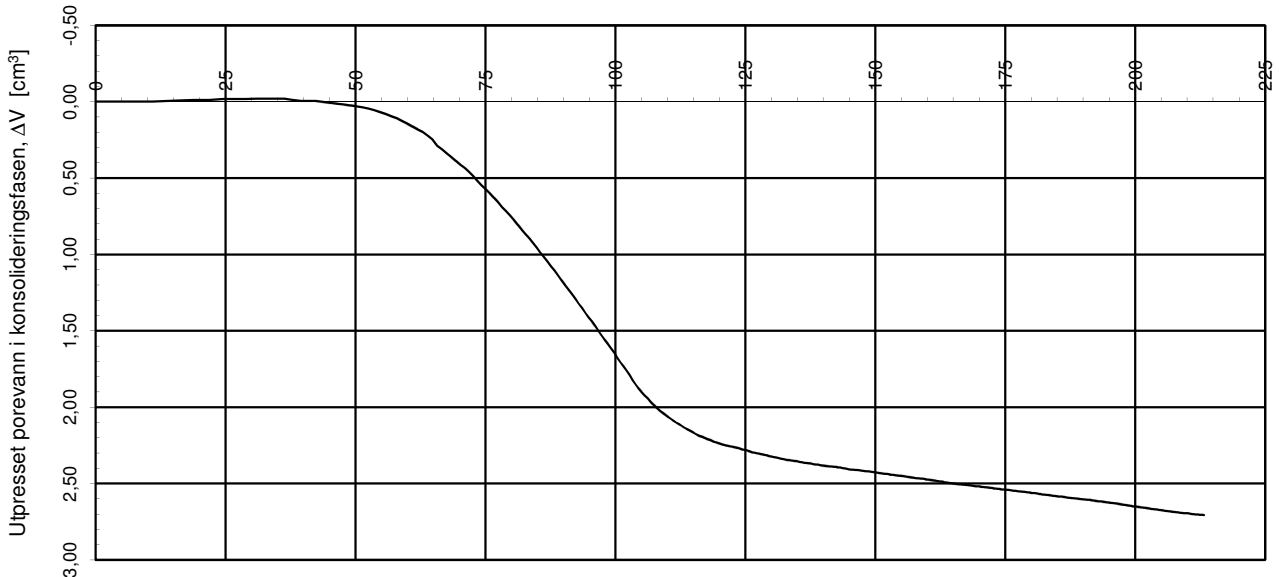
**Kvikkleiresone Leira**

Treaksialforsøk. Poretrykks- og mobiliseringsforløp.

Tegningens filnavn:  
415655-RIG-TEG-103\_hLe23, 8.45m.xlsx



<b>MULTICONSULT AS</b> Sluppenvegen 23, 7486 TRONDHEIM Tlf.: 73 10 62 00 Faks: 73 10 62 30	Forsøksdato: 04.04.2013	Dybde, z (m): 8,45	Borpunkt nr.: Le23
	Forsøk nr.: 15	Tegnet: truk	Kontrollert: ARV
	Oppdrag nr.: 415655	Tegning nr.: RIG-TEG-104.4	Godkjent: OAA
		Prosedyre: CAUp	Programrevisjon: 02.02.2011



Konsolideringsspenning, aksial:

$\sigma'_{\text{ac}}$  (kPa): 108,22

Konsolideringsspenning, radial:

$\sigma'_{\text{rc}}$  (kPa): 68,74

Volumtøyning i konsolideringsfase:

$\varepsilon_{\text{vol}}$  (%) =  $\Delta V/V_0$ : 1,19

Baktrykk  $u_b$  (kPa): 500

B - verdi =  $\Delta u/\Delta \sigma_c$  (-): 0,98

Vanninnhold  $w_i$  (%): 24,09

Densitet  $\rho_i$  ( $\text{g}/\text{cm}^3$ ): 2,01

## NVE Region midt

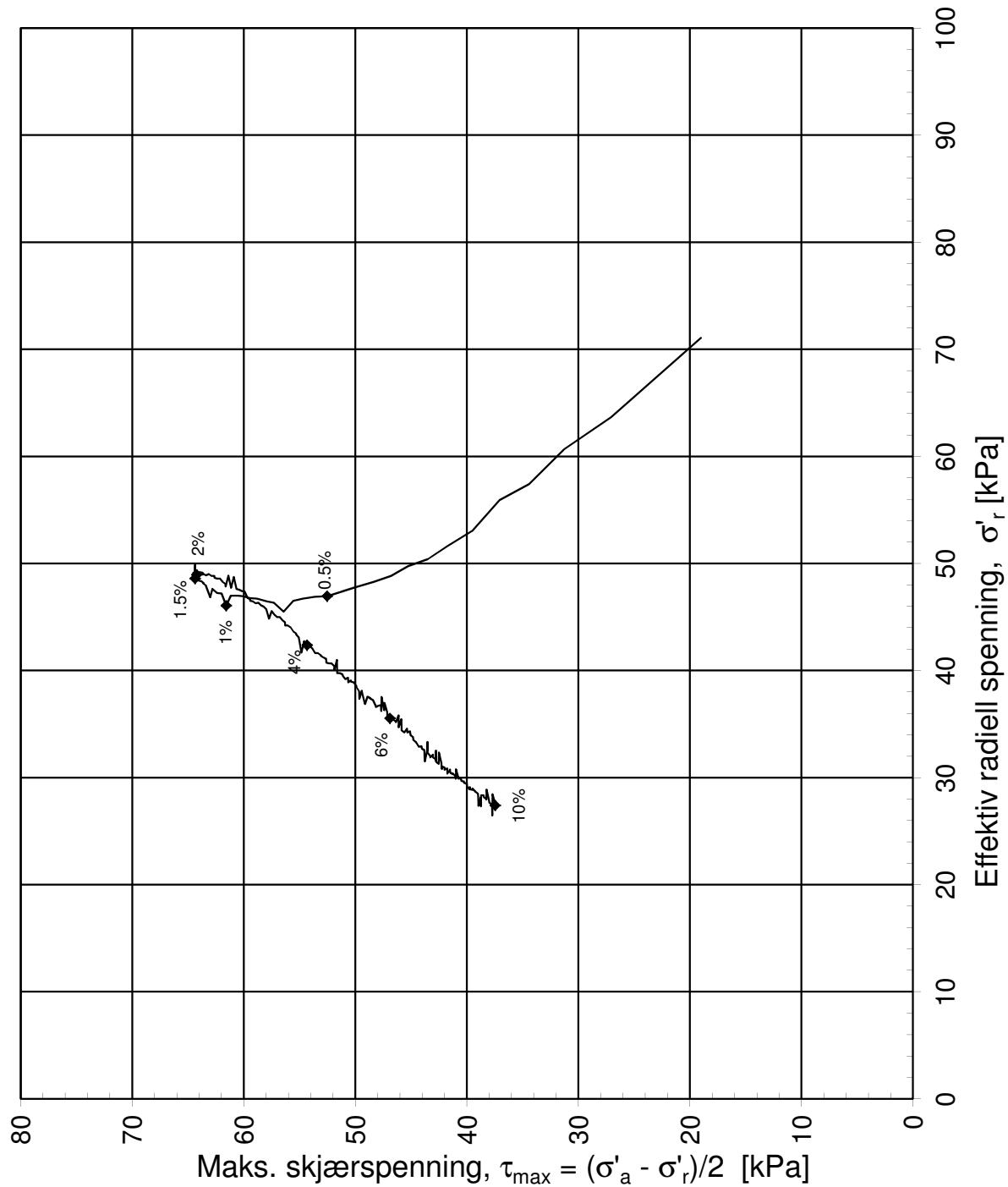
### Kvikkleiresone Leira

Treaksialforsøk. Vannutpressing - tid, konsolideringsfase.

Tegningens filnavn:  
415655-RIG-TEG-103\_hLe23, 8.45m.xlsx



<b>MULTICONSULT AS</b> Sluppenvegen 23, 7486 TRONDHEIM Tlf.: 73 10 62 00 Faks: 73 10 62 30	Forsøksdato:	Dybde, z (m):	Borpunkt nr.:
	04.04.2013	8,45	Le23
	Forsøk nr.:	Tegnet:	Kontrollert:
	15	truk	ARV
	Oppdrag nr.:	Tegning nr.:	Godkjent:
	415655	RIG-TEG-104.5	OAA
			Programrevisjon:
			02.02.2011



Konsolideringsspenning, aksial:	$\sigma'_{ac}$ (kPa):	109,09
Konsolideringsspenning, radial:	$\sigma'_{rc}$ (kPa):	71,06
Volumtøyning i konsolideringsfase:	$\varepsilon_{vol}$ (%) = $\Delta V/V_0$ :	2,76
Baktrykk $u_b$ (kPa):	$B$ - verdi = $\Delta u/\Delta \sigma_c$ (-):	0,73
Vanninnhold $w_i$ (%):	Densitet $\rho_i$ (g/cm³):	2,01

**NVE Region midt**

Tegningens filnavn:  
415655-RIG-TEG-105\_hLe23, 8,55m

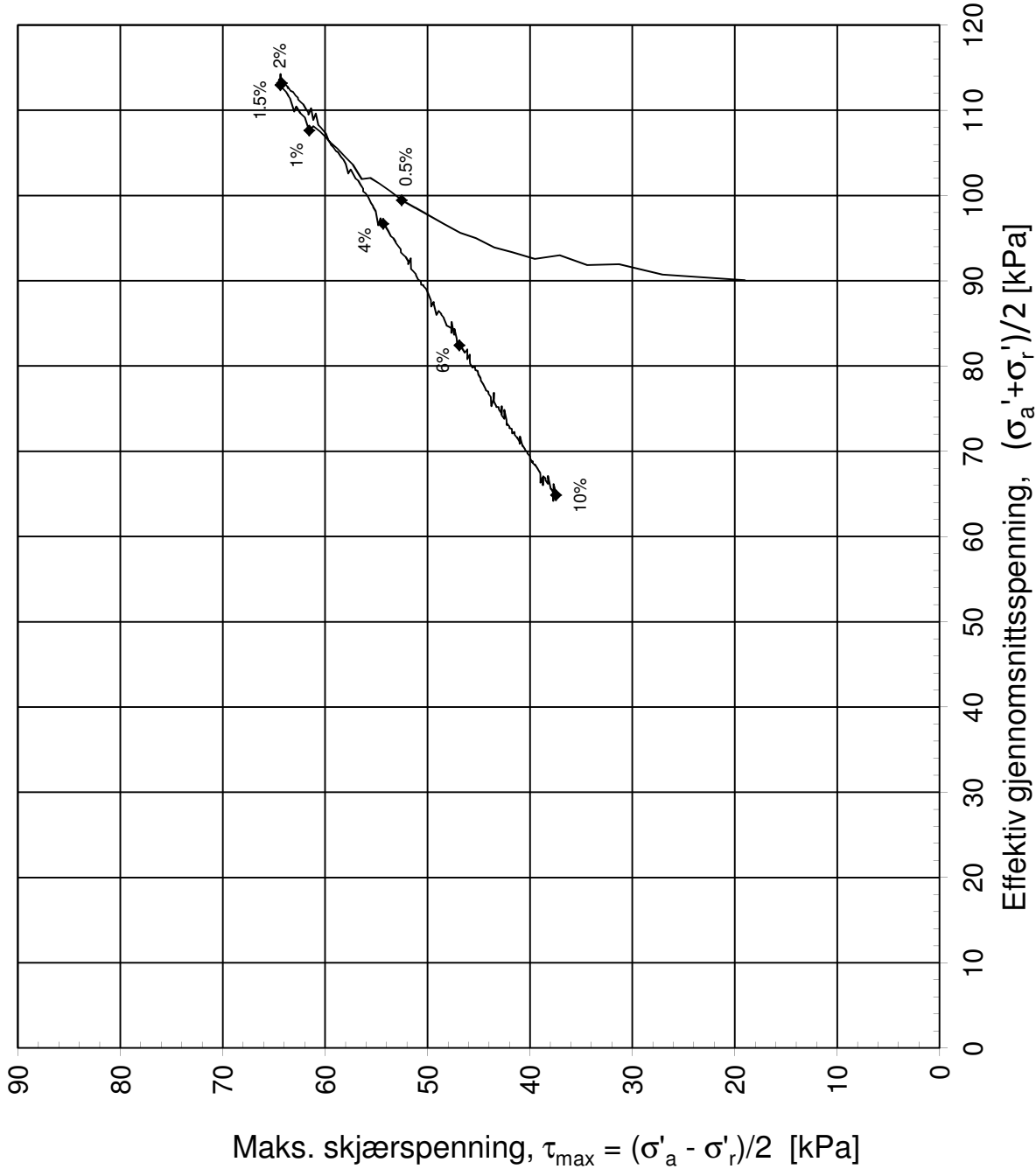
**Kvikkleiresone Leira**

Treaksialforsøk. Deviatorspenningssti. NTNU-plott.



**MULTICONSULT AS**  
Sluppenvegen 23,  
7486 TRONDHEIM  
Tlf.: 73 10 62 00  
Faks: 73 10 62 30

Forsøksdato:	05.04.2013	Dybde, z (m):	8,55	Borpunkt nr.:	Le 23
Forsøk nr.:	16	Tegnet:	truk	Kontrollert:	ARV
Oppdrag nr.:	415655	Tegning nr.:	RIG-TEG-105.1	Prosedyre:	CAUa
				Godkjent:	OAA
				Programrevisjon:	02.02.2011



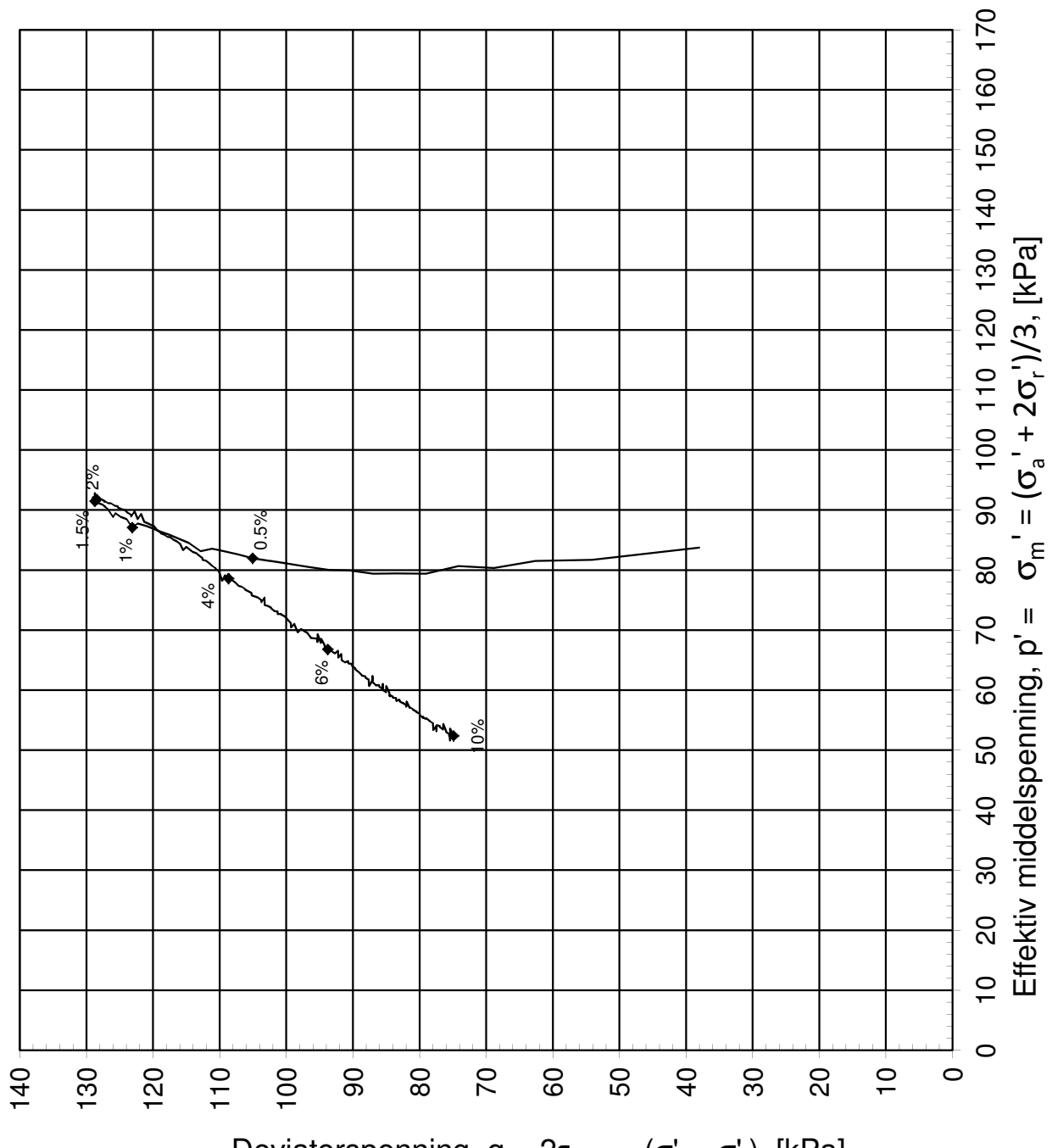
Konsolideringsspenning, aksial:	$\sigma'_{ac}$ (kPa):	109,09
Konsolideringsspenning, radial:	$\sigma'_{rc}$ (kPa):	71,06
Volumtøyning i konsolideringsfasen:	$\varepsilon_{vol}$ (%) = $\Delta V/V_0$ :	2,76
Baktrykk $u_b$ (kPa):	$B$ - verdi = $\Delta u/\Delta\sigma_c$ (-):	0,73
Vanninnhold $w_i$ (%):	Densitet $\rho_i$ (g/cm <sup>3</sup> ):	2,01

### NVE Region midt

### Kvikkleiresone Leira

Treaksialforsøk. Deviatorspenningssti. NGI-plott.

<b>MULTICONSULT AS</b> Sluppenvegen 23, 7486 TRONDHEIM Tlf.: 73 10 62 00 Faks: 73 10 62 30	Forsøksdato: 05.04.2013	Dybde, z (m): 8,55	Borpunkt nr.: Le 23	Tegningens filnavn: 415655-RIG-TEG-105_hLe23, 8,55m  
	Forsøk nr.: 16	Tegnet: truk	Kontrollert: ARV	
	Oppdrag nr.: 415655	Tegning nr.: RIG-TEG-105.2	Prosedyre: CAUa	
			Programrevisjon: 02.02.2011	



$$\text{Deviatorspenning, } q = 2\tau_{\max} = (\sigma'_a - \sigma'_r) \text{ [kPa]}$$

Konsolideringsspenning, aksial:

$\sigma'_{ac}$  (kPa): 109,09

Konsolideringsspenning, radial:

$\sigma'_{rc}$  (kPa): 71,06

Volumtøyning i konsolideringsfase:

$\varepsilon_{vol}$  (%) =  $\Delta V/V_0$ : 2,76

Baktrykk  $u_b$  (kPa):

500 B - verdi =  $\Delta u/\Delta\sigma_c$  (-): 0,73

Vanninnhold  $w_i$  (%):

24,80 Densitet  $\rho_i$  (g/cm³): 2,01

### NVE Region midt

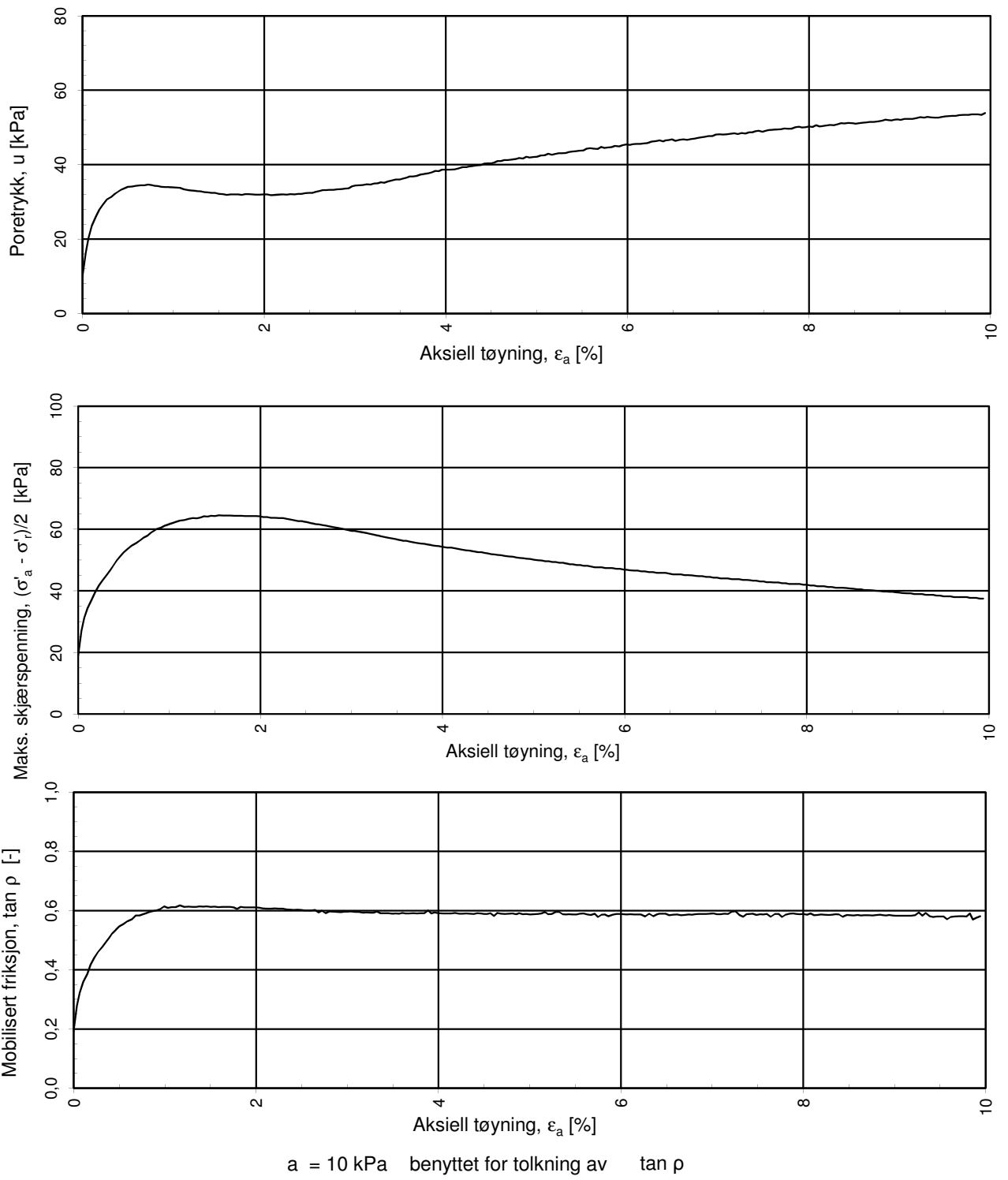
#### Kvikkleiresone Leira

Treaksialforsøk. Deviatorspenningssti.  $q$  -  $p'$ - plott.

Tegningens filnavn:  
415655-RIG-TEG-105\_hLe23, 8,55m



<b>MULTICONSULT AS</b> Sluppenvegen 23, 7486 TRONDHEIM Tlf.: 73 10 62 00 Faks: 73 10 62 30	Forsøksdato: 05.04.2013	Dybde, z (m): 8,55	Borpunkt nr.: Le 23
	Forsøk nr.: 16	Tegnet: truk	Kontrollert: ARV
	Oppdrag nr.: 415655	Tegning nr.: RIG-TEG-105.3	Godkjent: OAA
			Programrevisjon: 02.02.2011



**NVE Region midt**

**Kvikkleiresone Leira**

Treaksialforsøk. Poretrykks- og mobiliseringsforløp.

Tegningens filnavn:

415655-RIG-TEG-105\_hLe23, 8.55m



**MULTICONSULT AS**

Sluppenvegen 23,

7486 TRONDHEIM

Tlf.: 73 10 62 00

Faks: 73 10 62 30

Forsøksdato:  
05.04.2013

Forsøk nr.:  
16

Oppdrag nr.:  
415655

Dybde, z (m):  
8,55

Tegnet:  
truk

Tegning nr.:  
RIG-TEG-105.4

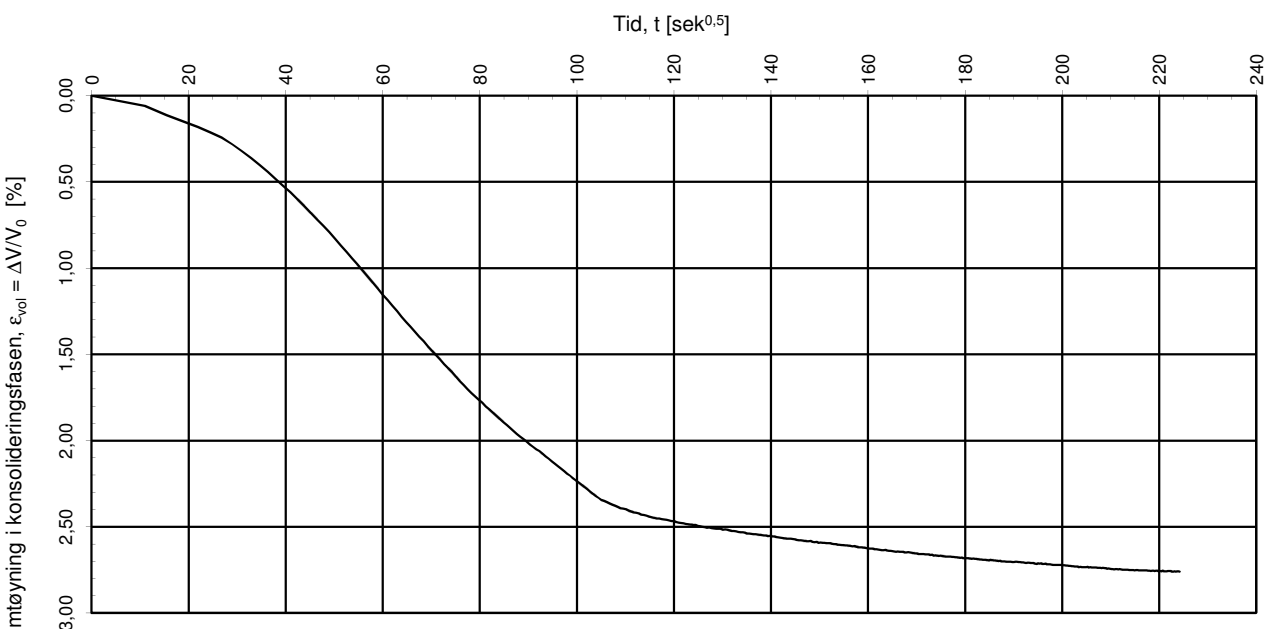
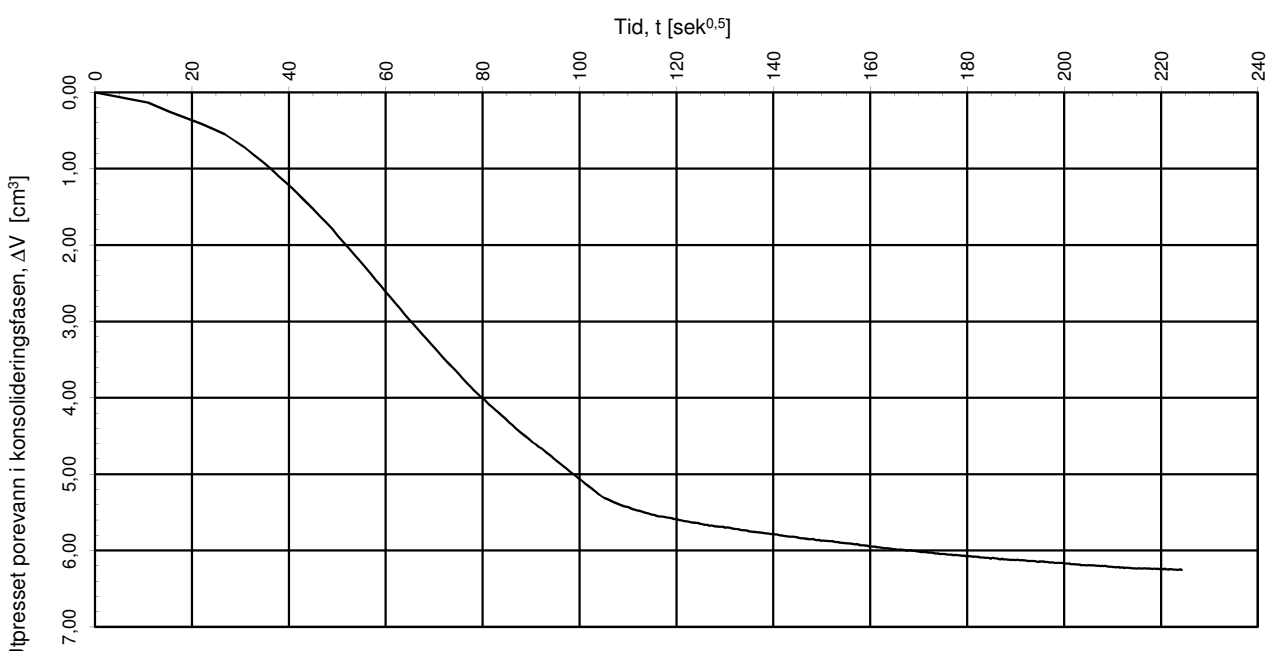
Borpunkt nr.:  
Le 23

Kontrollert:  
ARV

Prosedyre:  
CAUa

Godkjent:  
OAA

Programrevisjon:  
02.02.2011



Konsolideringsspenning, aksial:

$\sigma'_{\text{ac}}$  (kPa): 109,09

Konsolideringsspenning, radial:

$\sigma'_{\text{rc}}$  (kPa): 71,06

Volumtøyning i konsolideringsfase:

$\varepsilon_{\text{vol}}$  (%):  $\Delta V/V_0$ : 2,76

Baktrykk  $u_b$  (kPa): 500

B - verdi =  $\Delta u/\Delta \sigma_c$  (-): 0,73

Vanninnhold  $w_i$  (%): 24,80

Densitet  $\rho_i$  ( $\text{g}/\text{cm}^3$ ): 2,01

**NVE Region midt**

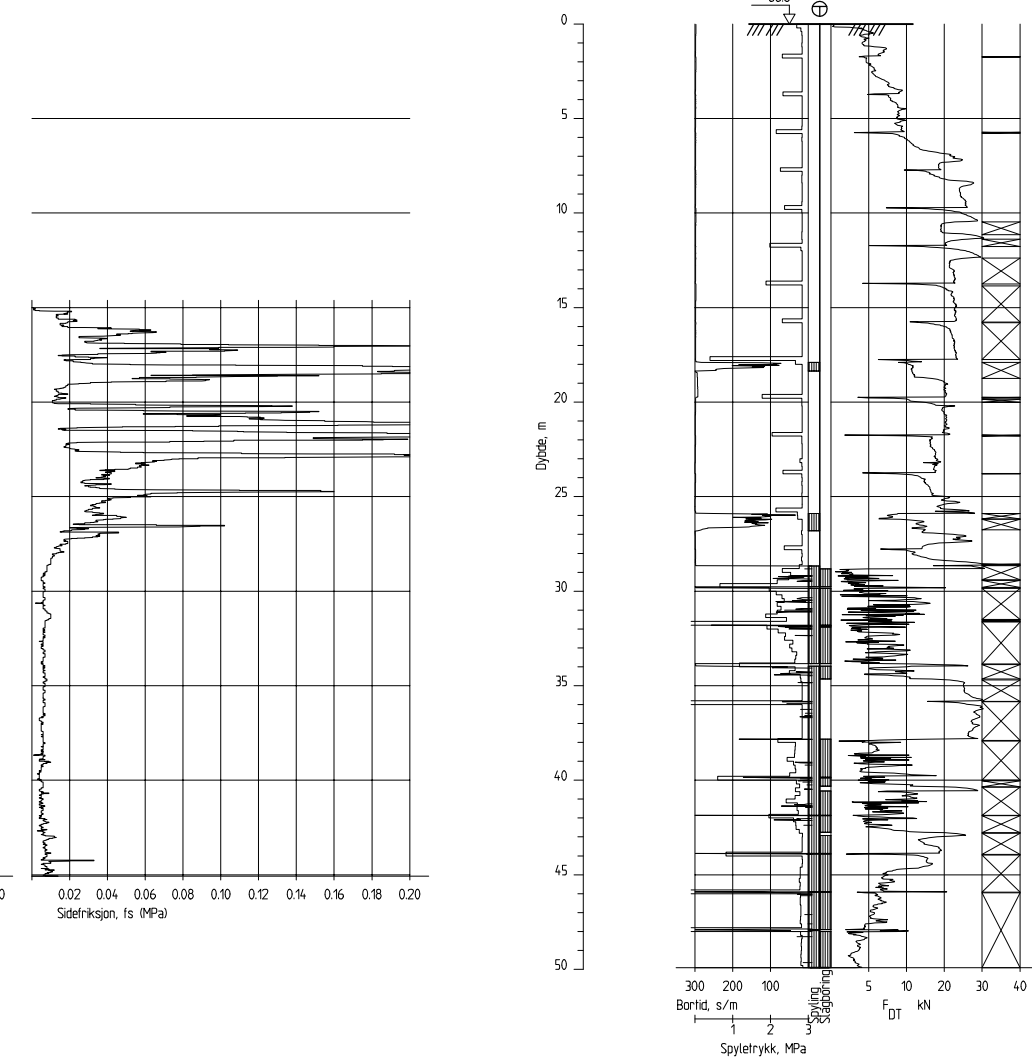
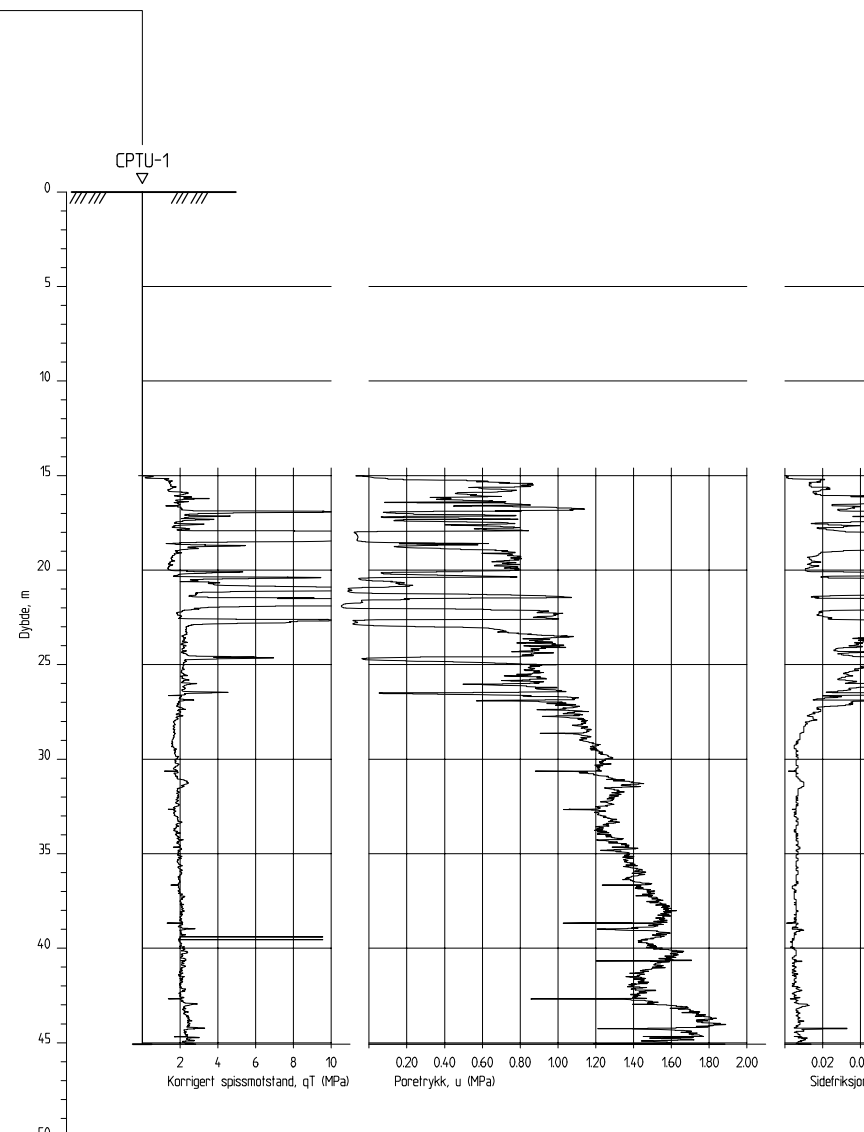
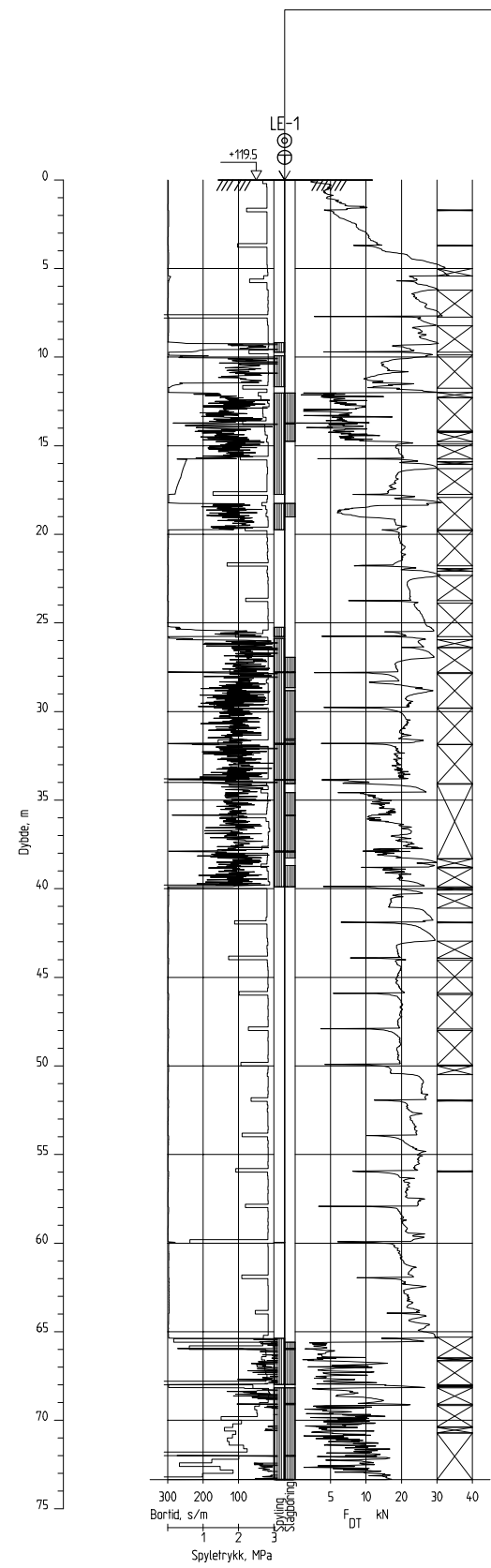
Tegningens filnavn:  
415655-RIG-TEG-105\_hLe23, 8,55m

**Kvikkleiresone Leira**

Treaksialforsøk. Vannutpressing - tid, konsolideringsfase.

<b>MULTICONSULT AS</b> Sluppenvegen 23, 7486 TRONDHEIM Tlf.: 73 10 62 00 Faks: 73 10 62 30	Forsøksdato:	Dybde, z (m):	Borpunkt nr.:
	05.04.2013	8,55	Le 23
	Forsøk nr.:	Tegnet:	Kontrollert:
	16	truk	ARV
	Oppdrag nr.:	Tegning nr.:	Prosedyre:
	415655	RIG-TEG-105.5	CAUa
			Programrevisjon:
			02.02.2011





Rev.	Beskrivelse	Dato	Tegn.	Kontr.	Godkj.
	NVE Region midt Kvikkleiresone Leira Grunnundersøkelser	Original format A3	F.o.g	Geoteknikk	
	BORUTSKRIFT LE-1, CPTU-1, LE-2	Tegningens filnavn 415655-RIG-TEG-150_BORUTSKRIFT-LEIRA.dwg			
		Underlagets filnavn Trondheim.dwg			
	Målestokk 1: 400	Målestokk 1: 400			
		Date 02.05.2013	Konstr./Tegnet JMP	Kontrollert ARV	Godkjent OAA
		Oppdragsnr. 415655	Tegningsnr. RIG-TEG-150		Rev.
	MULTICONSPORT AS 7486 TRONDHEIM Tlf.: 73 10 62 00 - Fax: 73 10 62 30/70				

MULTICONSLT AS						
Oppdragssnr.	415655	RIG-TEG-151	Rev.	Tegningssnr.	7486 TRONDHEIM	Tlf.: 73 10 62 00 - Fax: 73 10 62 30/70
Dato	02.05.2013	Konstr./Tegnet	JMP	Kontrollert	Godkjent ARV	Godkjent OAA
Multiconsult						

LE-3, CPTU-3, LE-3A  
1:400

Målestokk

BORUTSKRIFT  
Grunnundersøkelse  
Legningens linjeav  
415655-RIG-TEG-150-BORUTSKRIFT-LEIRA.dwg  
KVIKKLIERESONSE LERIA  
Legningens linjeav  
415655-RIG-TEG-150-BORUTSKRIFT-LEIRA.dwg  
Tromsheim.dwg

NVE Region midt

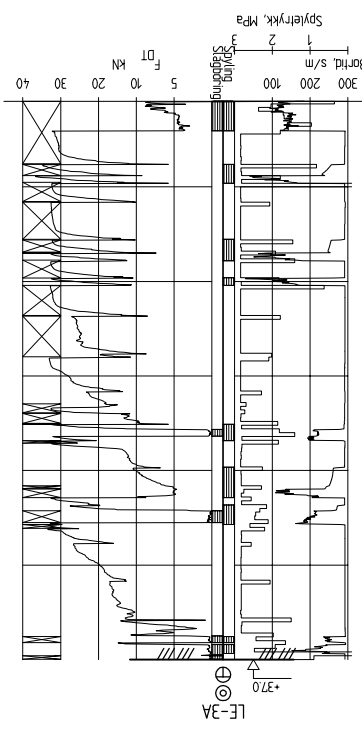
A3

Original format

Fag Geoteknikk

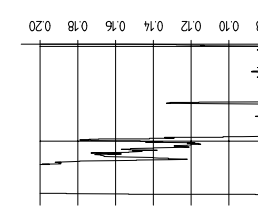
Dato Beskrivelse Tegn. Kontr. Godkj.

Rev.



0 5 10 15 20 25 30

Dybde m



Korrigeret spissmålestokk,  $\delta$  (MPa)

Spredningskraft,  $P_{vert}$  (MPa)

Slidresistans,  $f_s$  (MPa)

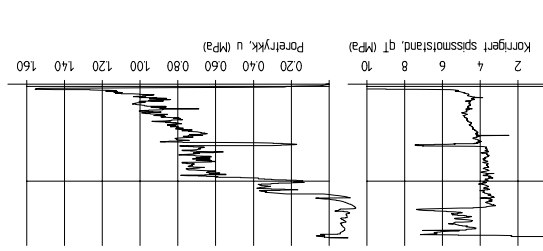
0.02 0.04 0.06 0.08 0.10 0.12 0.14 0.16 0.18 0.20

0 2 4 6 8 10 12 14 16 18 20

0 20 40 60 80 100 120 140 160

0 5 10 15 20 25 30

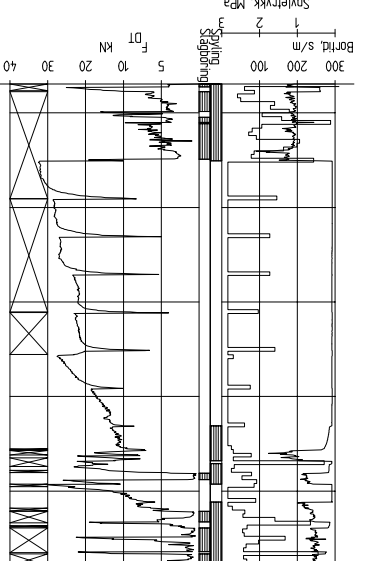
Dybde m



CPTU-3

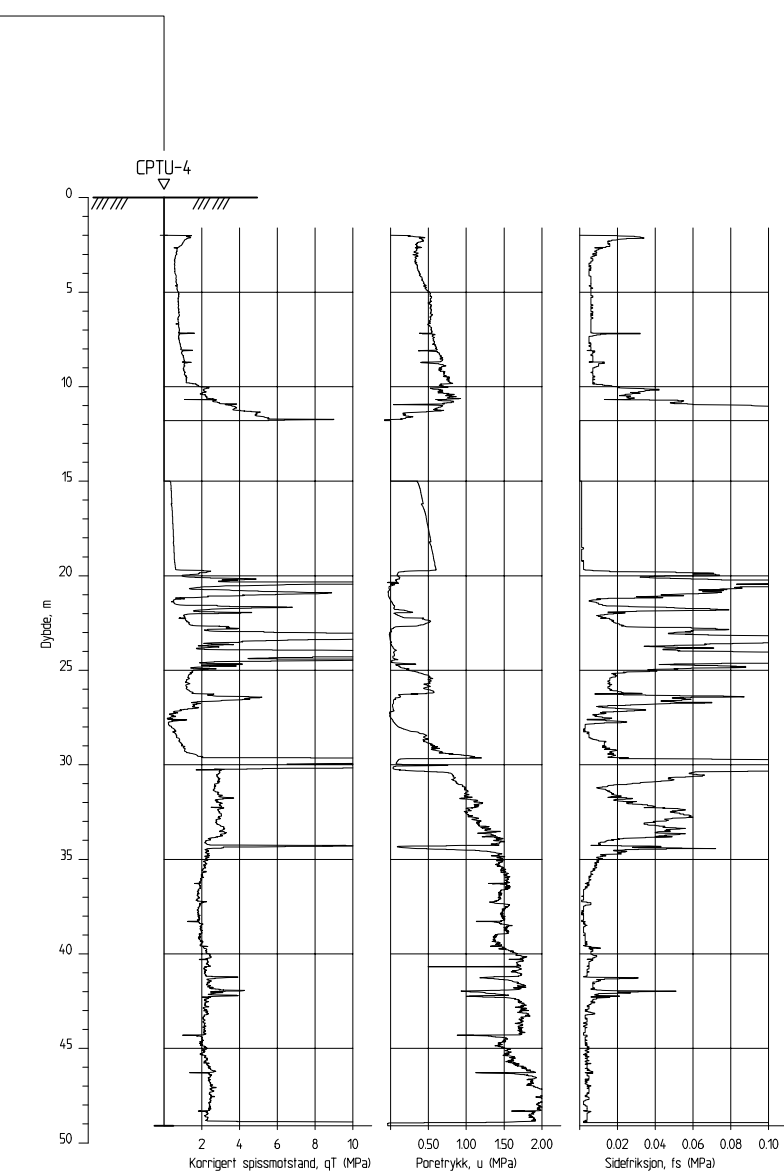
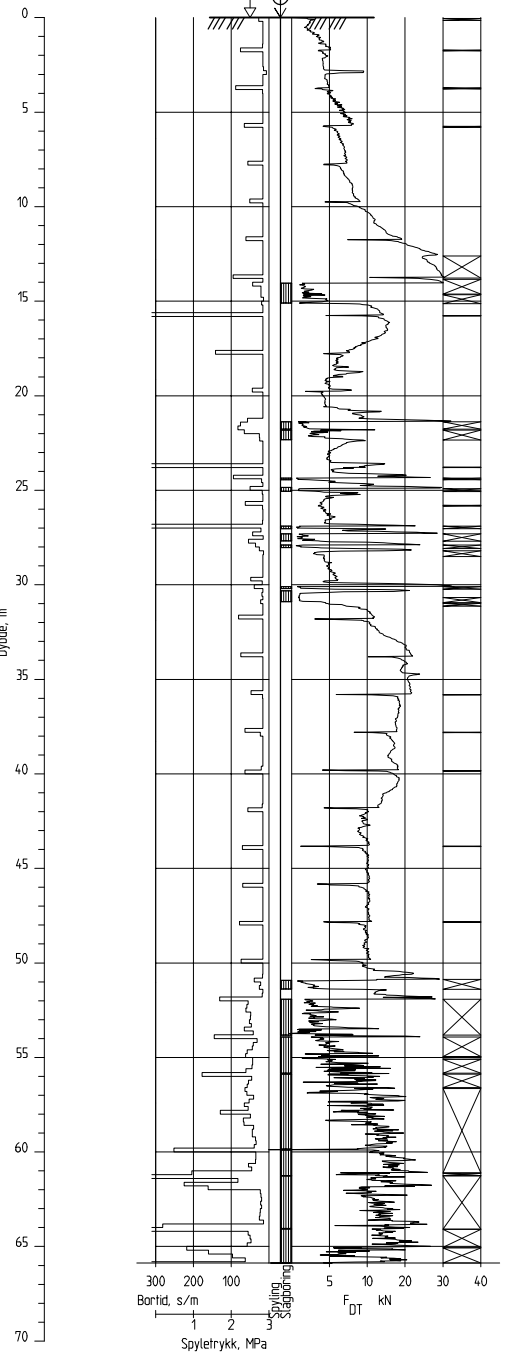
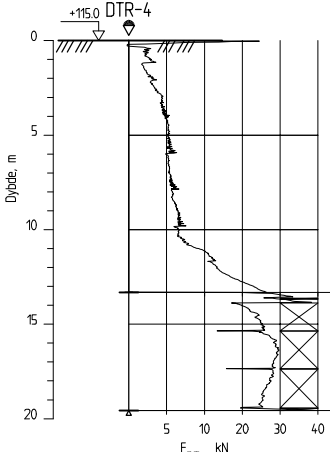
0 5 10 15 20 25 30

Dybde m

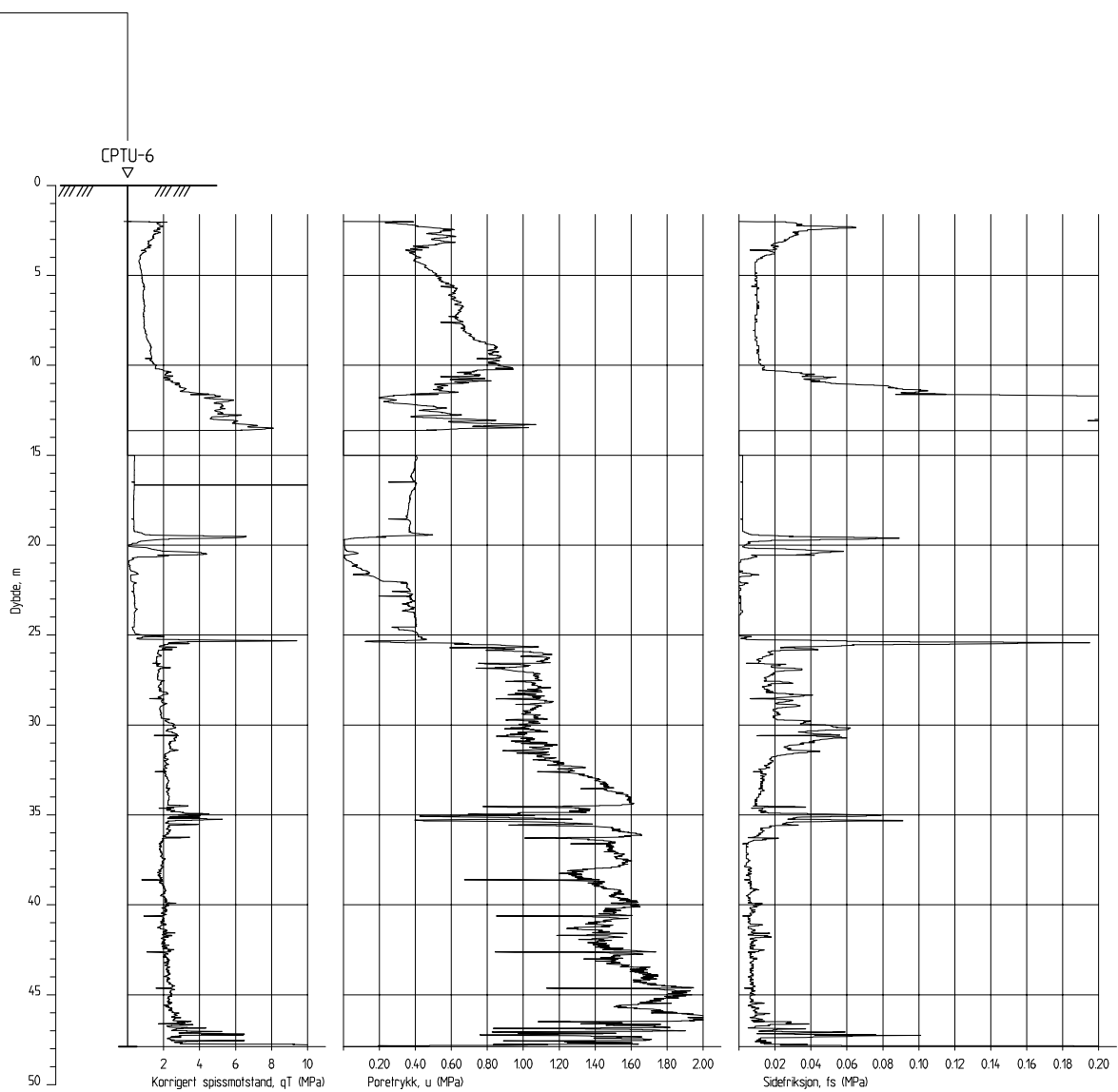
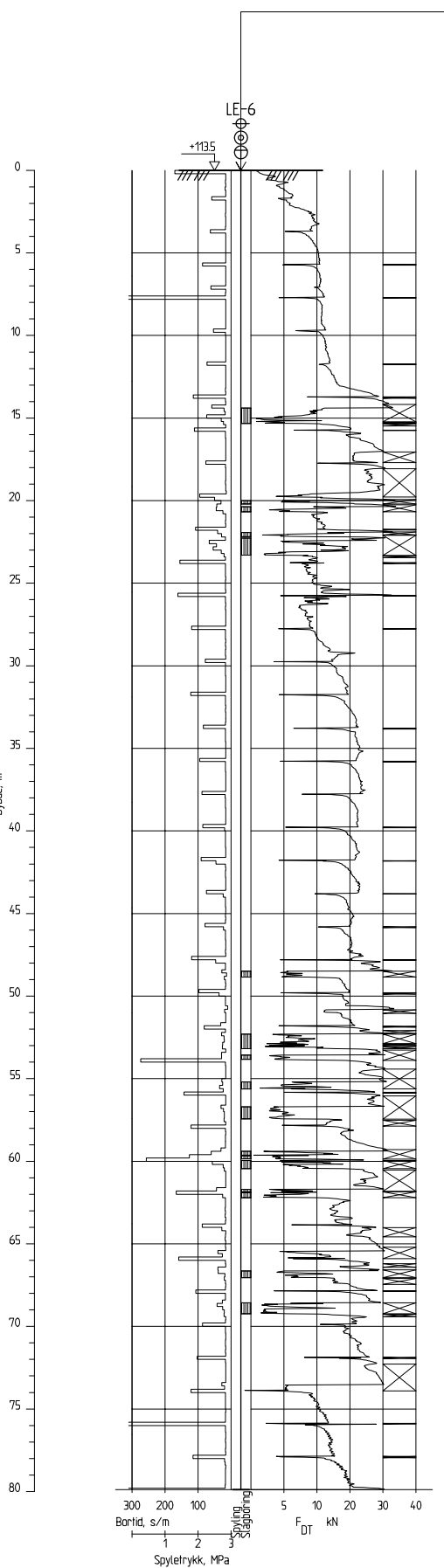
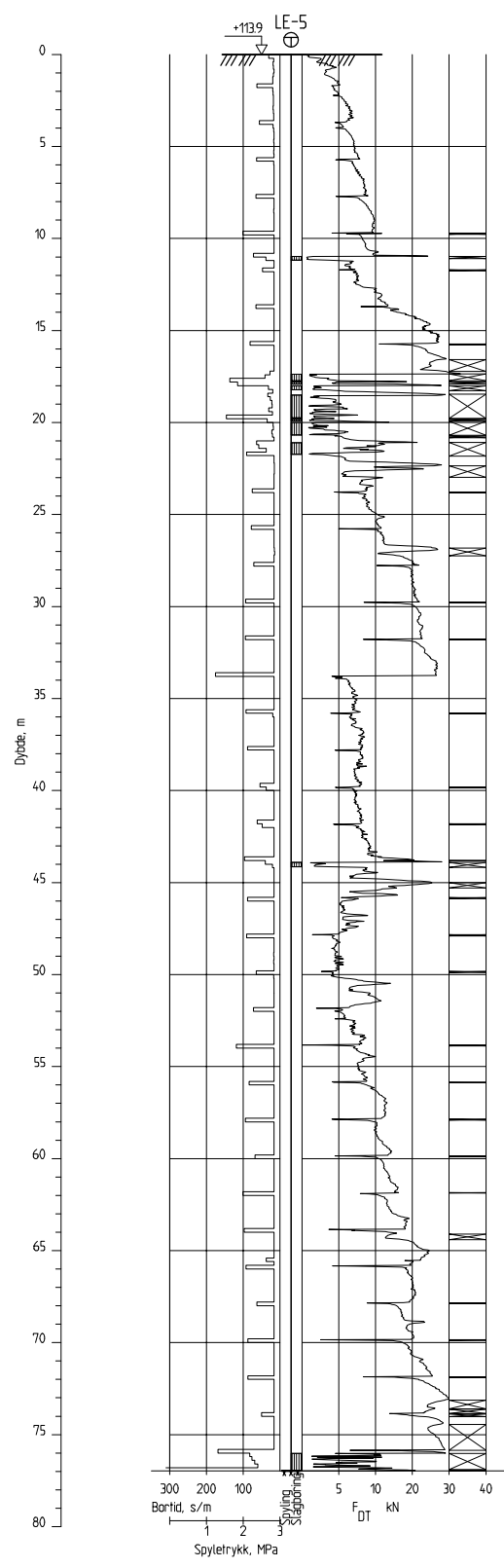


0 5 10 15 20 25 30

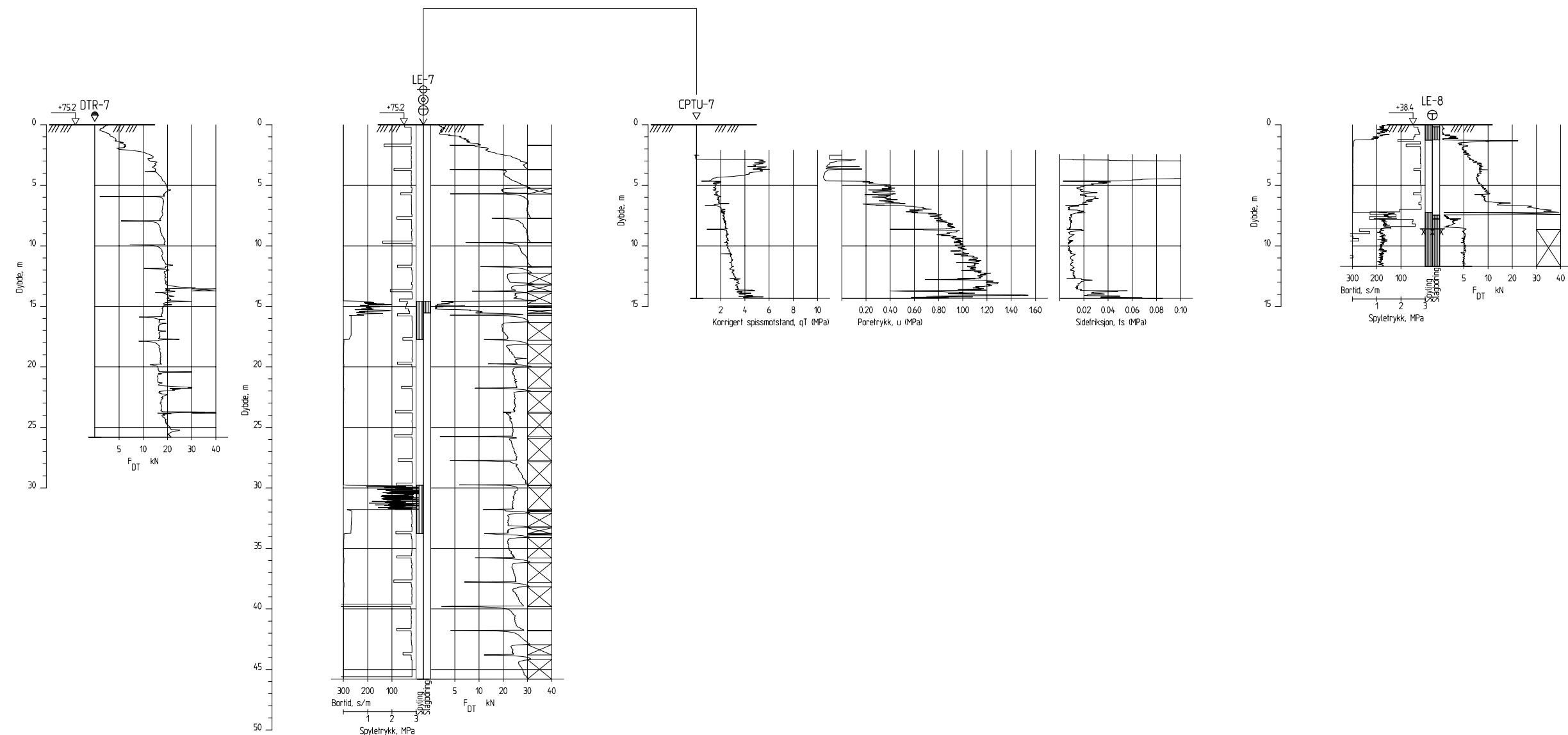
Dybde m



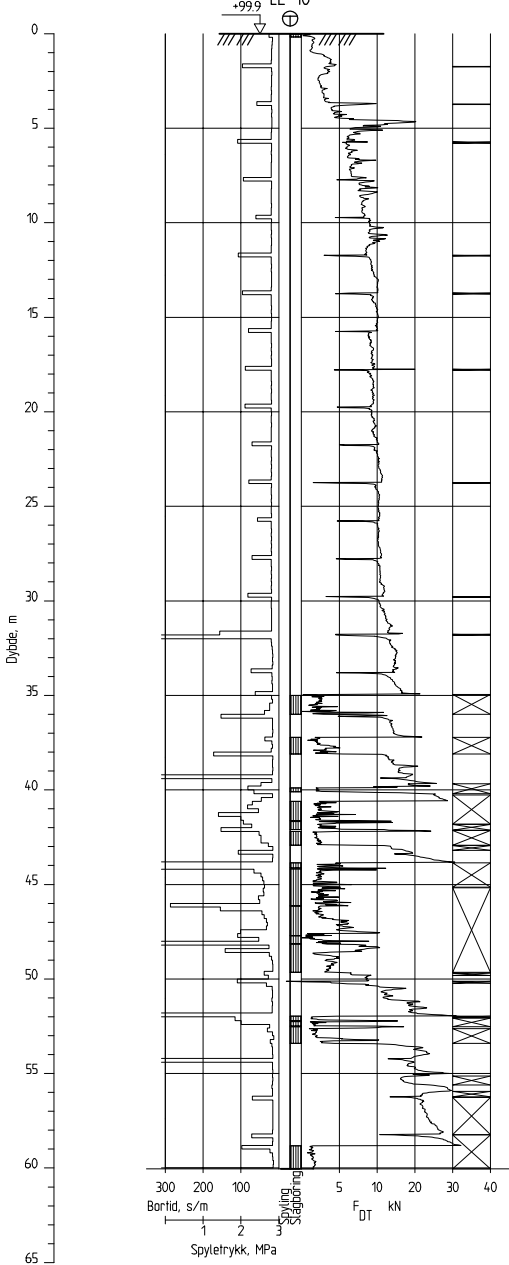
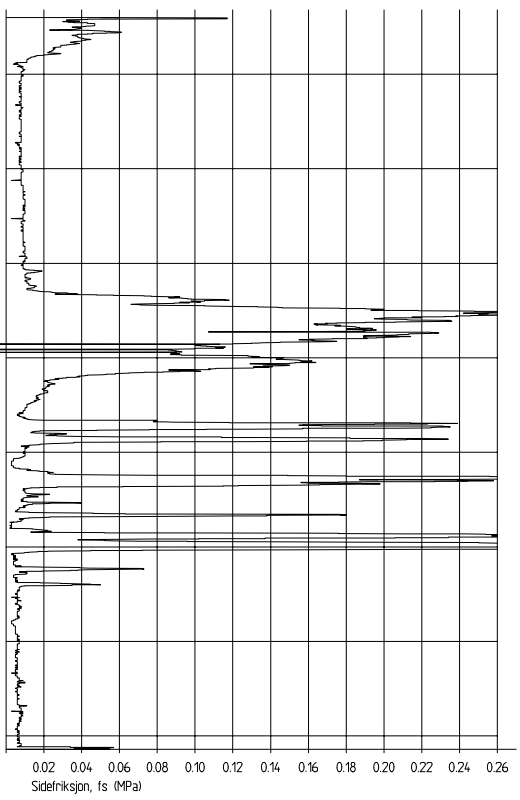
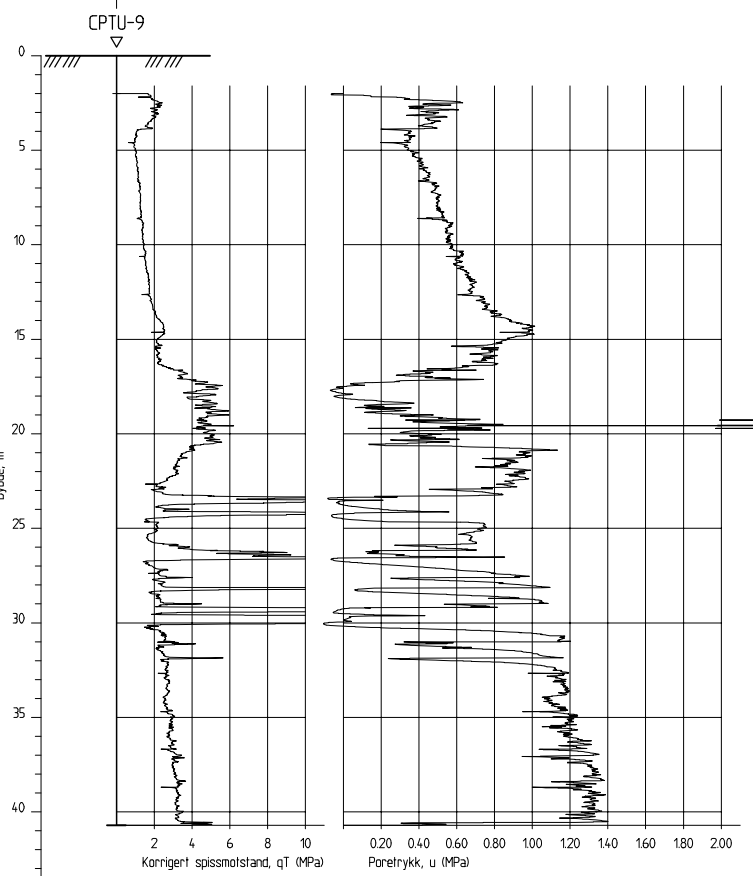
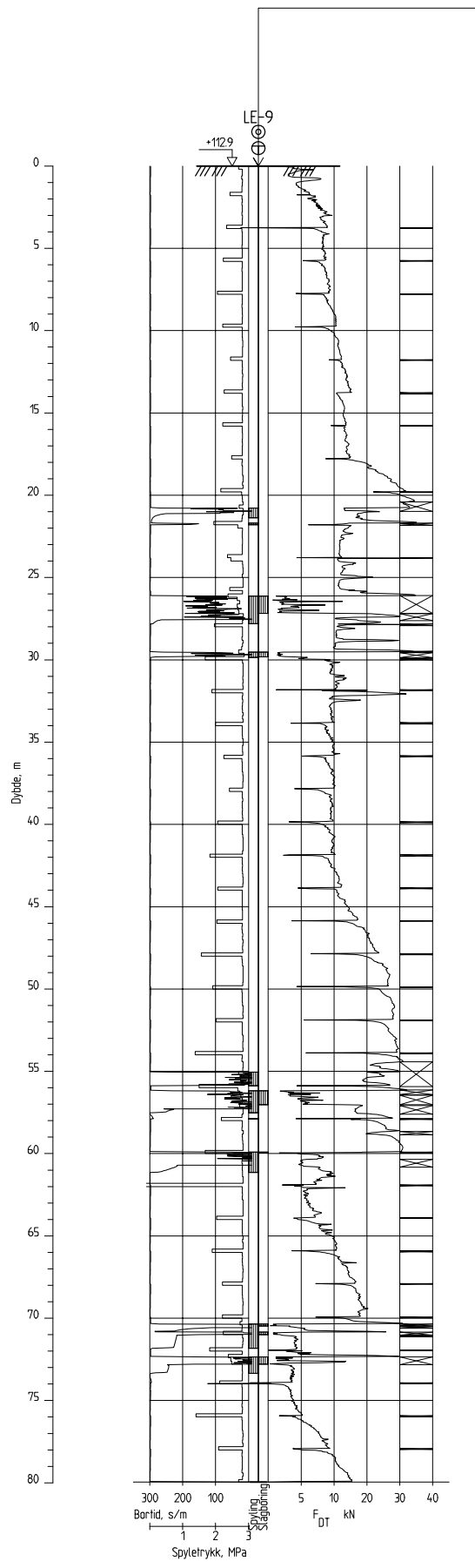
Rev.	Beskrivelse	Dato	Tegn.	Kontr.
	NVE Region midt Kvikkleiresone Leira Grunnundersøkelser	Original format A3	Føg Geoteknikk	
		Tegningens filnavn 415655-RIG-TEG-150_BORUTSKRIFT-LEIRA.dwg		
		Underlagets filnavn Trondheim.dwg		
	BORUTSKRIFT DTR-4, LE-4, CPTU-4	Målestokk 1: 400		
	<b>MULTICONST AS</b> Tlf.: 73 10 62 00 - Fax: 73 10 62 30/70	Dato 02.05.2013 Oppdragsnr. 415655	Konstr./Tegnet JMP Tegningsnr. RIG-TEG-152	Kontrollert ARV Godkjent OAA Rev.



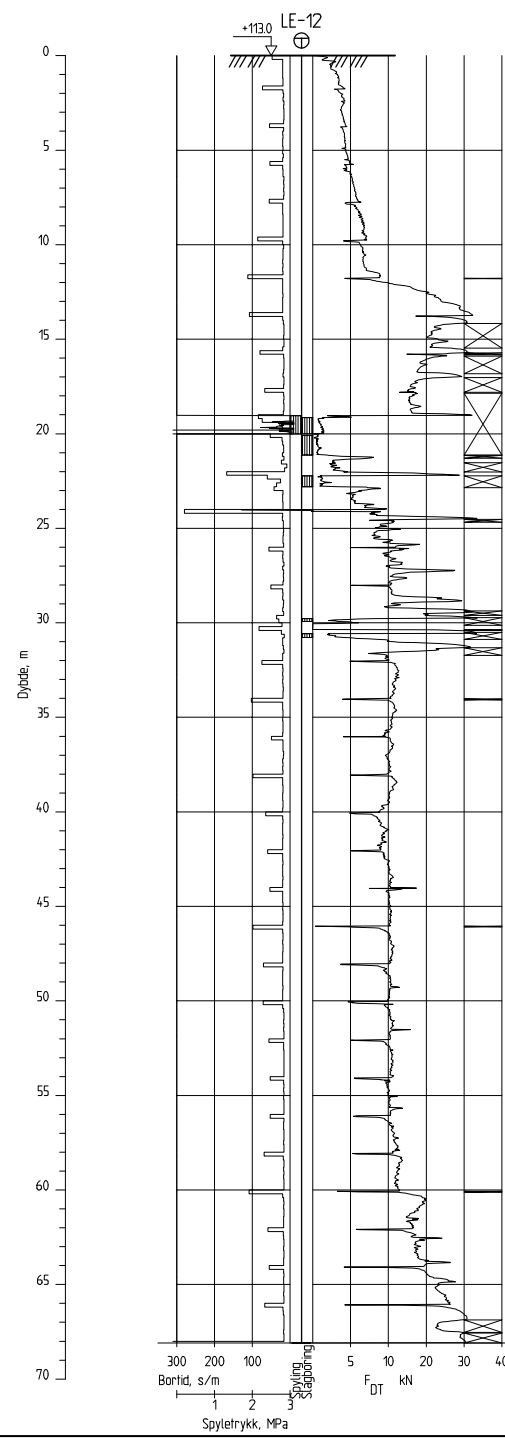
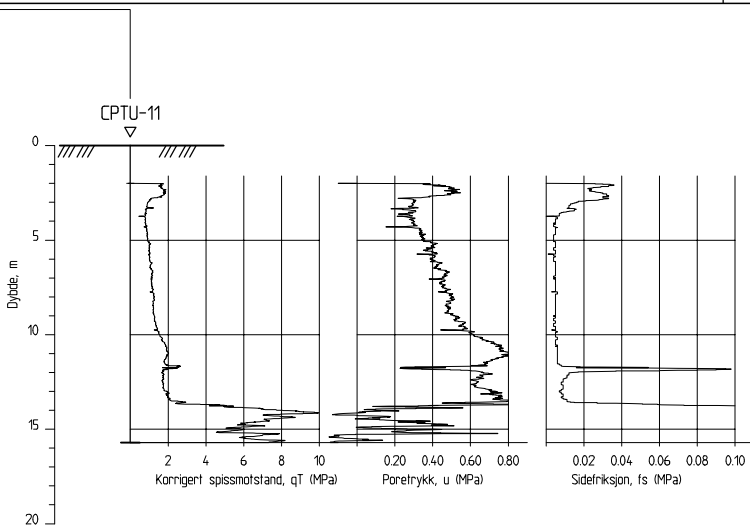
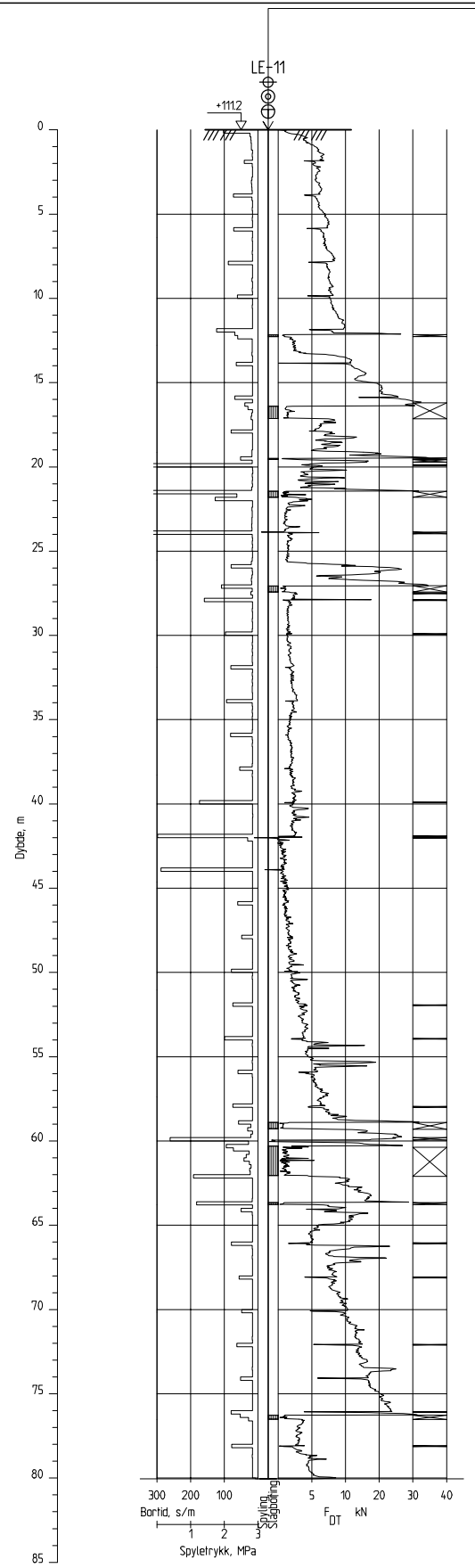
Rev.	Beskrivelse	Dato	Tegn.	Kontr.	Godkj.
	NVE Region midt Kvikkleiresone Leira Grunnundersøkelser	Original format A3	F.o.g	Geoteknikk	
	BORUTSKRIFT LE-5, LE-6, CPTU-6	Tegningens filnavn 415655-RIG-TEG-150_BORUTSKRIFT-LEIRA.dwg			
		Underlagets filnavn Trondheim.dwg			
	Målestokk 1: 400	Målestokk 1: 400			
	<b>MULTICONST AS</b> Tlf.: 73 10 62 00 - Fax: 73 10 62 30/70	Dato 02.05.2013 Oppdragsnr. 415655	Konstr./Tegnet JMP Tegningsnr. RIG-TEG-153	Kontrollert ARV	Godkjent OAA
		Rev.			



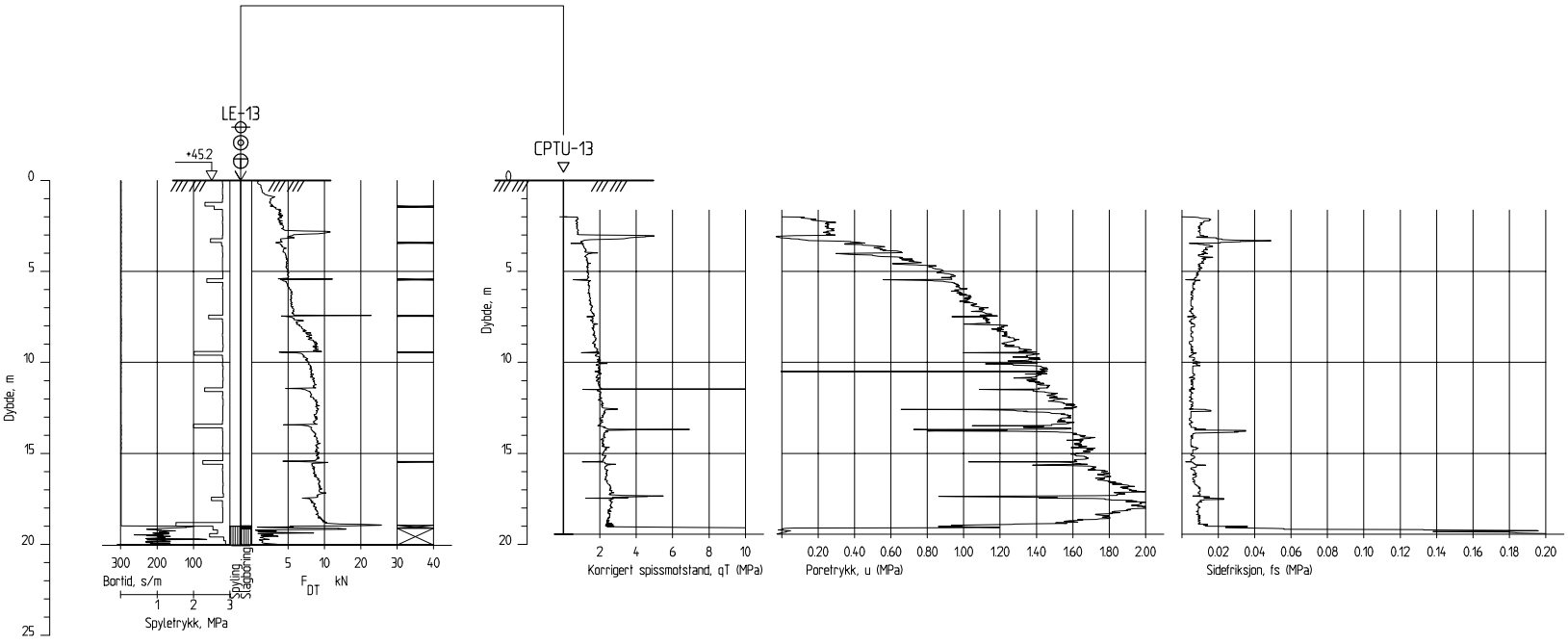
Rev.	Beskrivelse	Date	Tegn.	Kontr.
	NVE Region midt Kvikkleiresone Leira Grunnundersøkelser	Original format A3	Føg Geoteknikk	
	BORUTSKRIFT DTR-7, LE-7, CPTU-7, LE-8	Tegningens filnavn 415655-RIG-TEG-150_BORUTSKRIFT-LEIRA.dwg		
		Underlagets filnavn Trondheim.dwg		
	Målestokk	1: 400		
	Multiconsult AS	Dato 02.05.2013	Konstr./Tegnet JMP	Kontrollert ARV
	Tlf.: 73 10 62 00 - Fax: 73 10 62 30/70	Oppdragsnr. 415655	Tegningsnr. RIG-TEG-154	Godkjent OAA
				Rev.



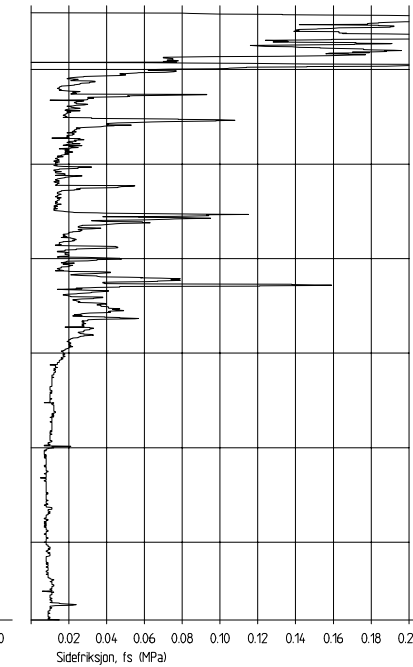
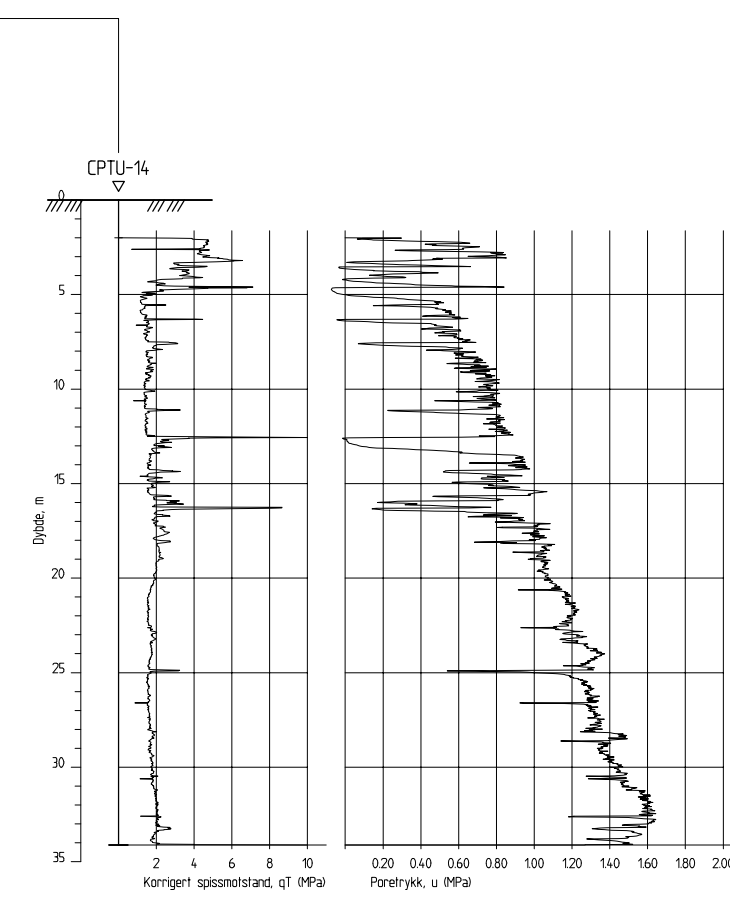
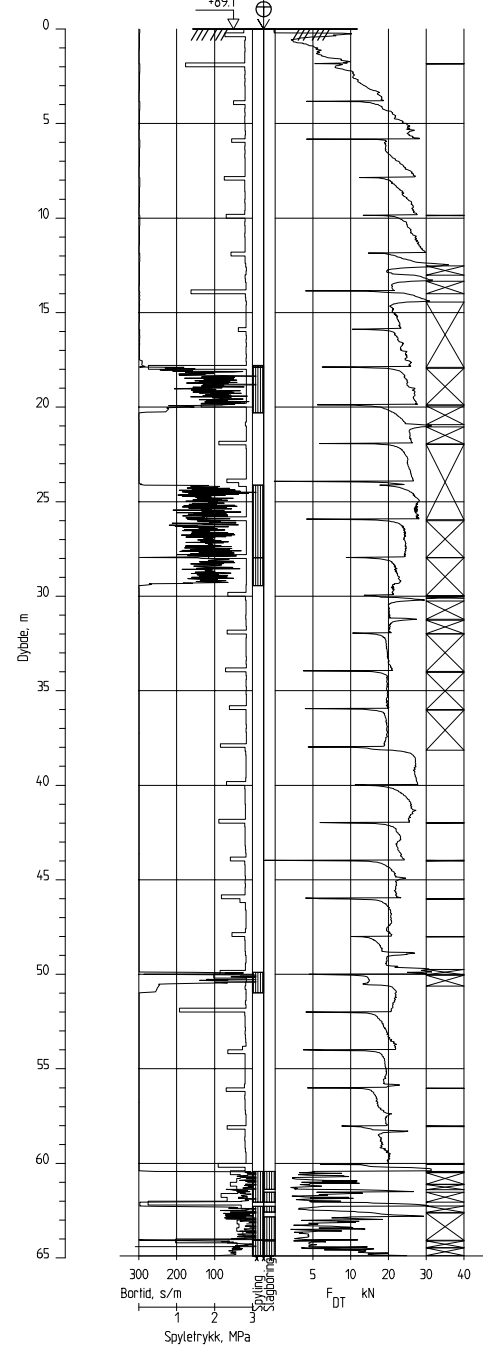
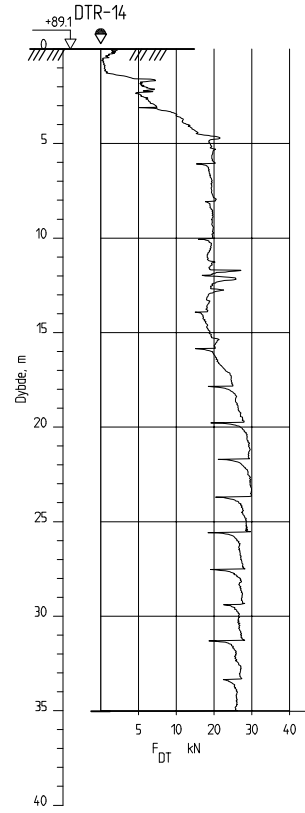
Rev.	Beskrivelse	Dato	Tegn.	Kontr.	Godkj.
	NVE Region midt Kvikkleiresone Leira Grunnundersøkelser	Original format A3	F.o.g	Geoteknikk	
		Tegningens filnavn 415655-RIG-TEG-150_BORUTSKRIFT-LEIRA.dwg			
		Underlagets filnavn Trondheim.dwg			
	BORUTSKRIFT LE-9, CPTU-9, LE-10	Målestokk	1: 400	MULTICONSULT	
		Date 02.05.2013	Konstr./Tegnet JMP	Kontrollert ARV	Godkjent OAA
	MULTICONSULT AS Tlf.: 73 10 62 00 - Fax: 73 10 62 30/70	Oppdragsnr. 415655	Tegningsnr. RIG-TEG-155	Rev.	



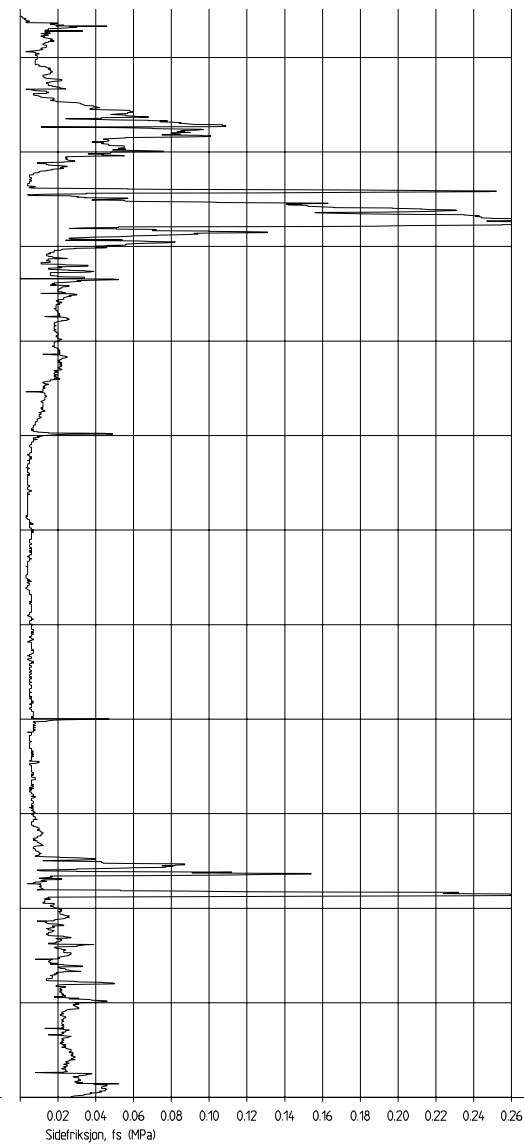
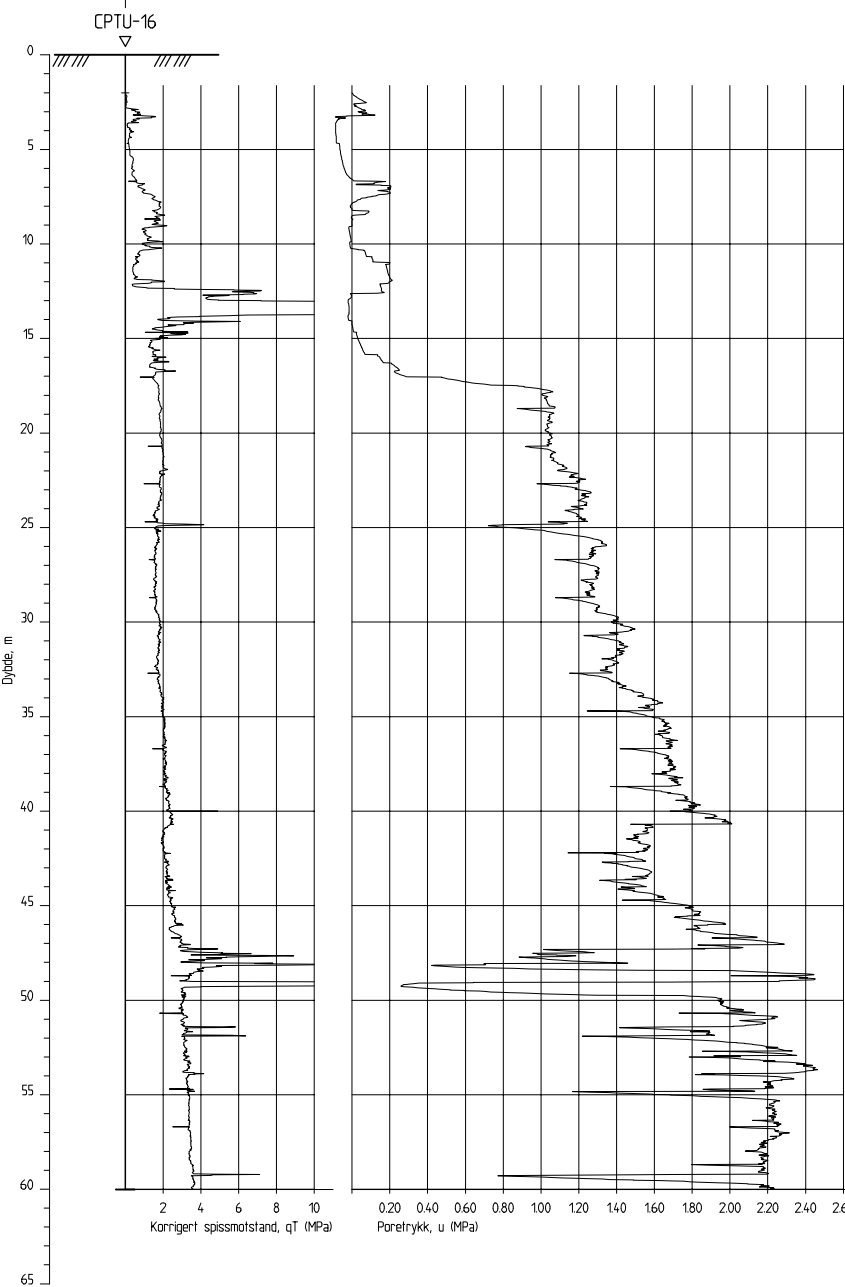
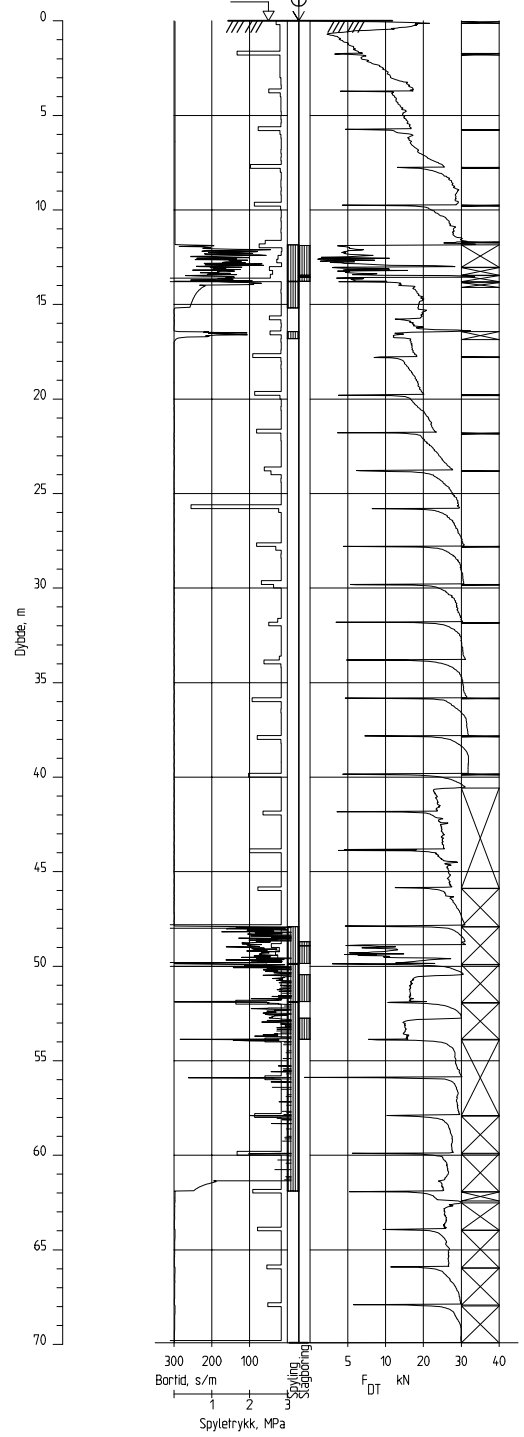
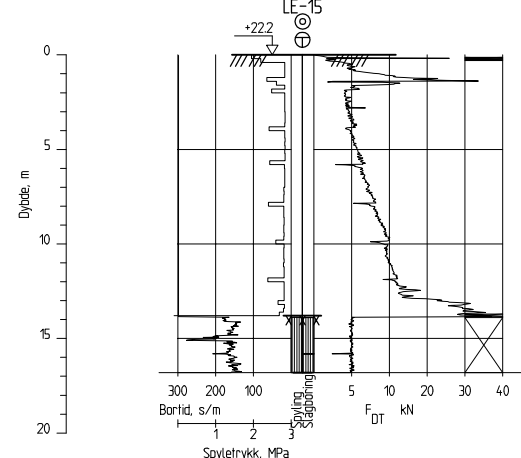
Rev.	Beskrivelse	Dato	Tegn.	Kontr.	Godkj.
	NVE Region midt Kvikkleiresone Leira Grunnundersøkelser	Original format A3	F.o.g Geoteknikk		
		Tegningens filnavn 415655-RIG-TEG-150_BORUTSKRIFT-LEIRA.dwg			
		Underlagets filnavn Trondheim.dwg			
	BORUTSKRIFT LE-11, CPTU-11, LE-12	Målestokk 1: 400			
	<b>MULTICONST AS</b> 7486 TRONDHEIM Tlf.: 73 10 62 00 - Fax: 73 10 62 30 70	Dato 02.05.2013 Oppdragsnr. 415655	Konstr./Tegnet JMP Tegningsnr. RIG-TEG-156	Kontrollert ARV	Godkjent OAA Rev.



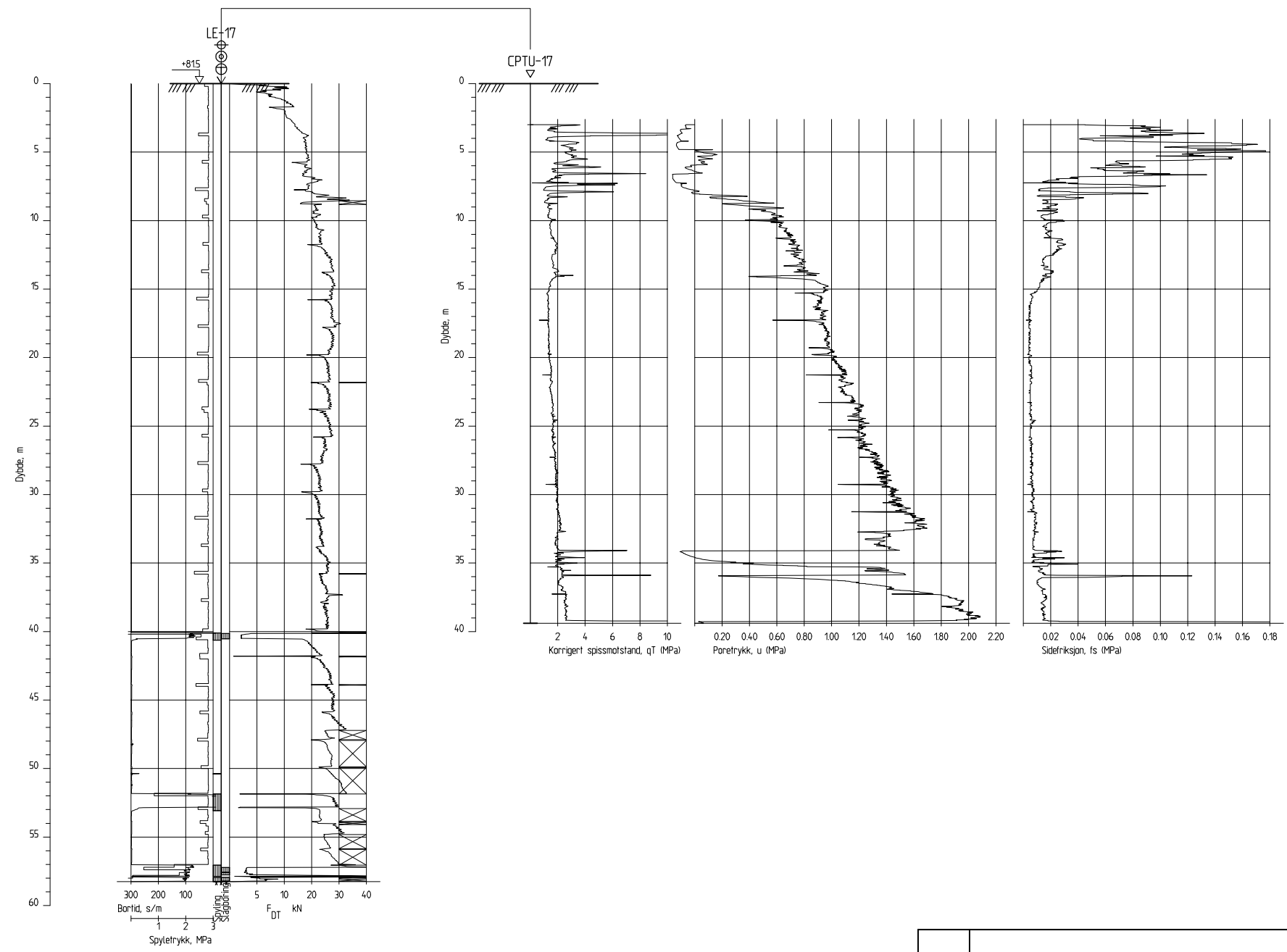
Rev.	Beskrivelse	Dato	Tegn.	Kontr.	Godkj.
	NVE Region midt Kvikkleiresone Leira Grunnundersøkelser	Original format A3	Føg	Geoteknikk	
		Tegningens filnavn 415655-RIG-TEG-150_BORUTSKRIFT-LEIRA.dwg			
		Underlagets filnavn Trondheim.dwg			
	BORUTSKRIFT LE-13, CPTU-13	Målestokk 1: 400			
	<b>MULTICONST AS</b> 7486 TRONDHEIM Tlf.: 73 10 62 00 - Fax: 73 10 62 30/70	Dato 02.05.2013 Oppdragsnr. 415655	Konstr./Tegnet JMP Tegningsnr. RIG-TEG-157	Kontrollert ARV	Godkjent OAA Rev.



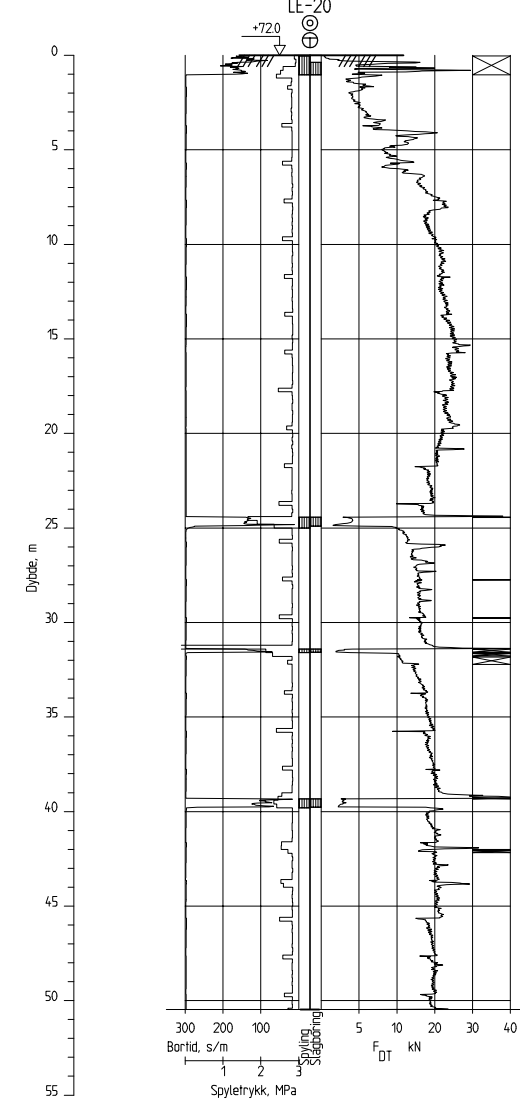
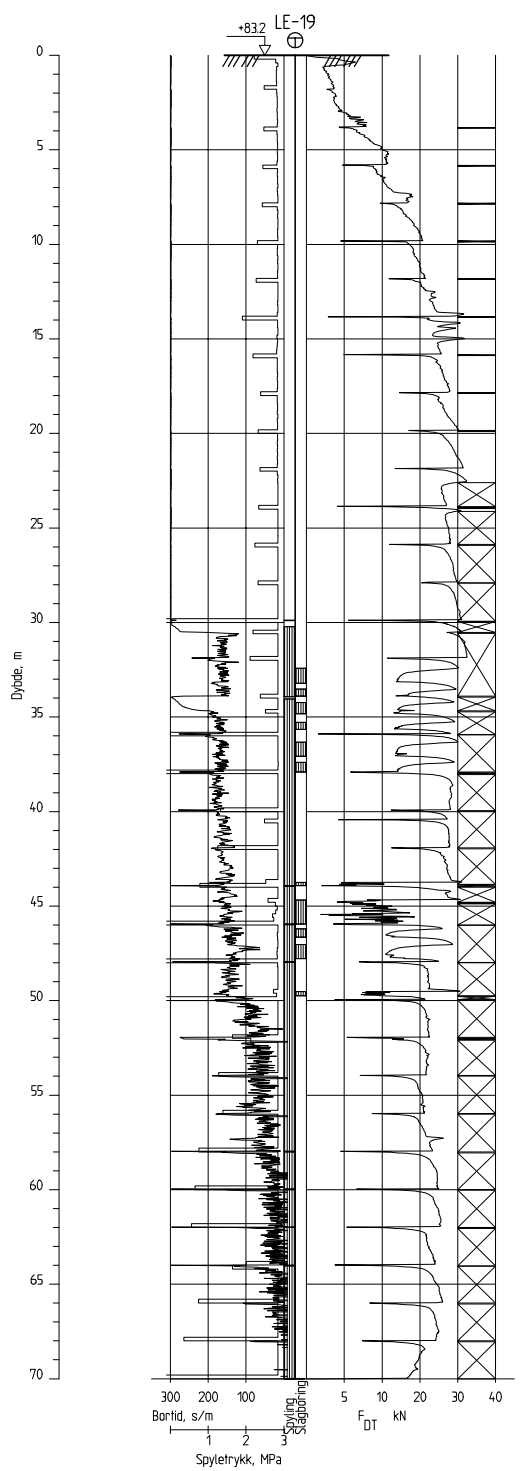
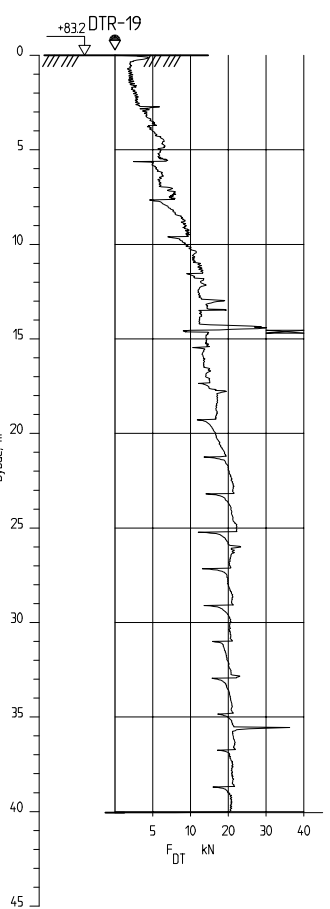
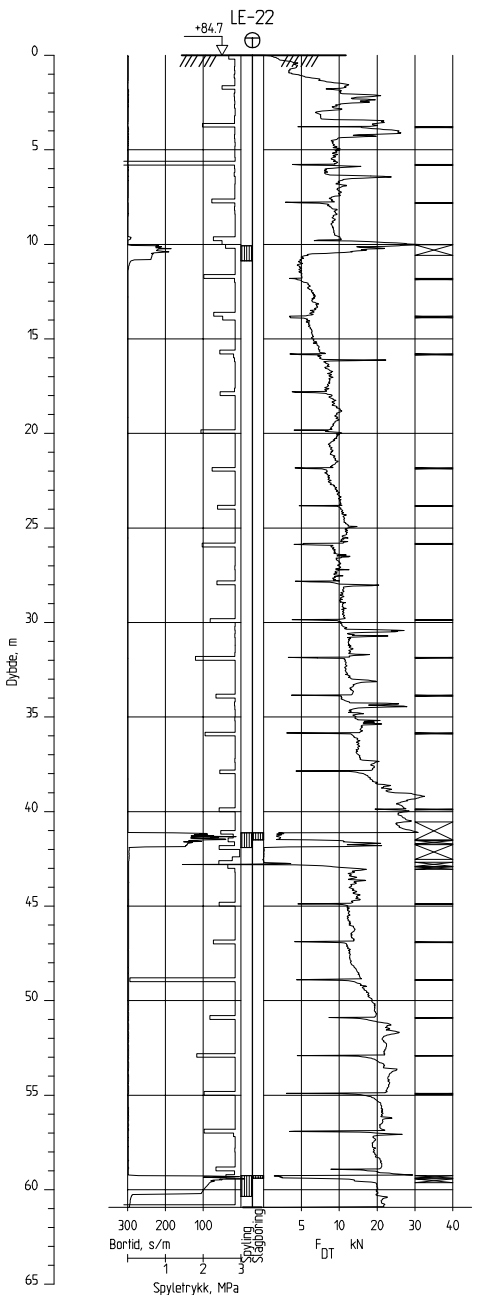
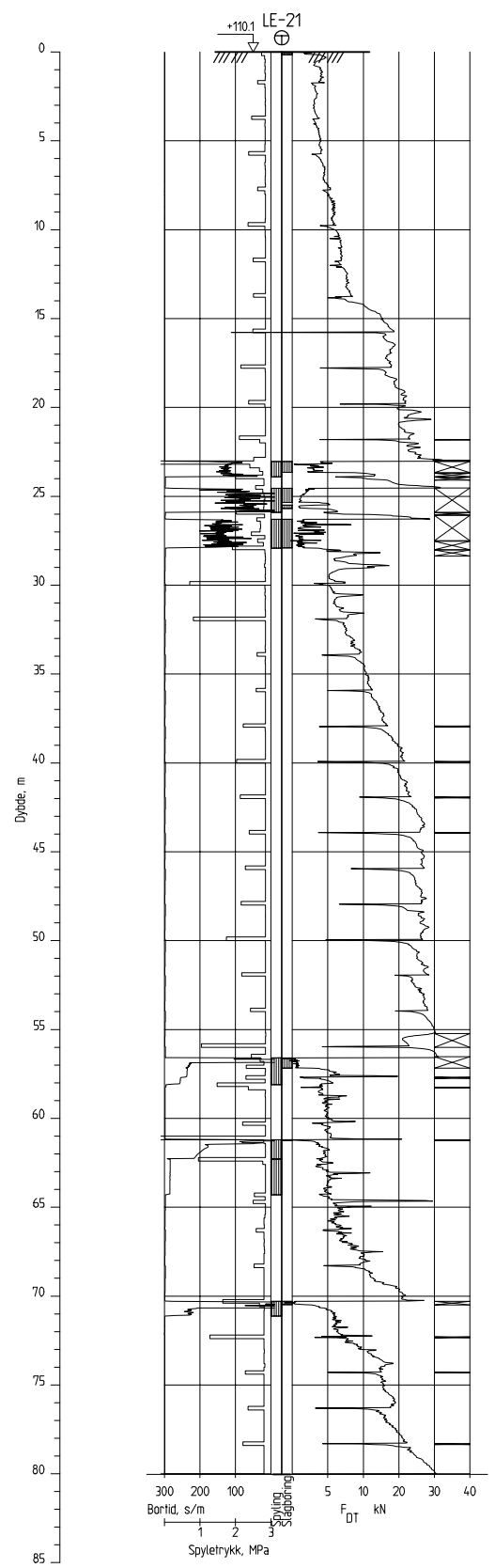
Rev.	Beskrivelse	Date	Tegn.	Kontr.
	NVE Region midt Kvikkleiresone Leira Grunnundersøkelser	Original format A3	F.o.g Geoteknikk	
	BORUTSKRIFT DTR-14, LE-14, CPTU-14	Tegningens filnavn 415655-RIG-TEG-150_BORUTSKRIFT-LEIRA.dwg		
		Underlagets filnavn Trondheim.dwg		
	Målestokk			
	1: 400			
	MULTICONSTANT AS	Dato 02.05.2013	Konstr./Tegnet JMP	Kontrollert ARV
	Tlf.: 73 10 62 00 - Fax: 73 10 62 30/70	Oppdragsnr. 415655	Tegningsnr. RIG-TEG-158	Godkjent OAA
				Rev.



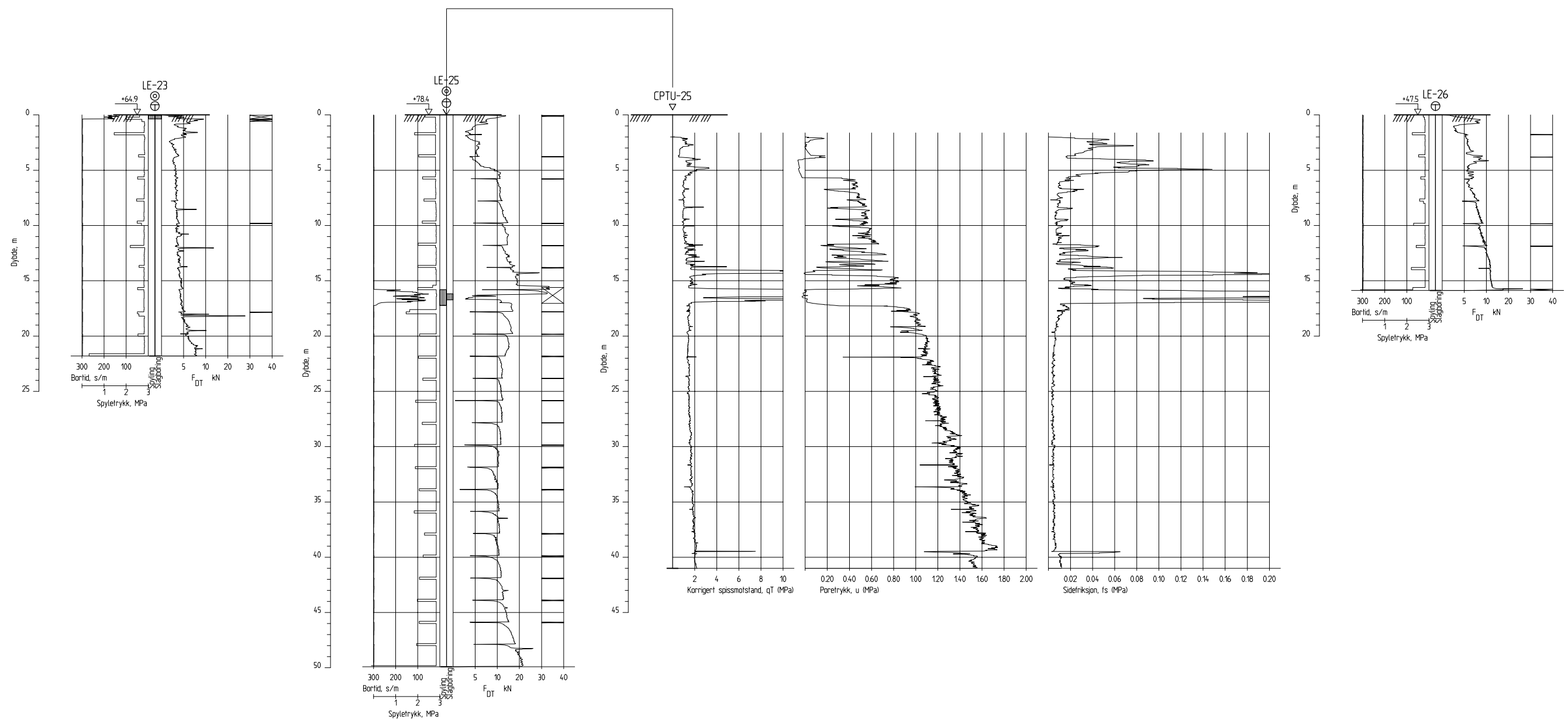
Rev.	Beskrivelse	Date	Tegn.	Kontr.
	NVE Region midt Kvikkleiresone Leira Grunnundersøkelser	Original format A3	F.o.g Geoteknikk	
		Tegningens filnavn 415655-RIG-TEG-150_BORUTSKRIFT-LEIRA.dwg		
		Underlagets filnavn Trondheim.dwg		
	BORUTSKRIFT LE-15, LE-16, CPTU-16	Målestokk 1: 400		
	<b>MULTICONST AS</b> Tlf.: 73 10 62 00 - Fax: 73 10 62 30/70	Dato 02.05.2013 Oppdragsnr. 415655	Konstr./Tegnet JMP Tegningsnr. RIG-TEG-159	Kontrollert ARV Godkjent OAA Rev.



Rev.	Beskrivelse	Dato	Tegn.	Kontr.	Godkj.
	NVE Region midt Kvikkleiresone Leira Grunnundersøkelser	Original format A3	F.o.g	Geoteknikk	
	BORUTSKRIFT LE-17, CPTU-17, LE-18	Tegningens filnavn 415655-RIG-TEG-150_BORUTSKRIFT-LEIRA.dwg			
		Underlagets filnavn Trondheim.dwg			
	Målestokk 1: 400	Målestokk 1: 400			
		Oppdragsnr. 415655	Tegningsnr. RIG-TEG-160	Godkjent OAA	Rev.
	MULTICONST AS 7486 TRONDHEIM Tlf.: 73 10 62 00 - Fax: 73 10 62 30 70	Dato 02.05.2013	Konstr./Tegnet JMP	Kontrollert ARV	



Rev.	Beskrivelse	Dato	Tegn.	Kontr.	Godkj.
	NVE Region midt Kvikkleiresone Leira Grunnundersøkelser	Original format A3	Følg	Geoteknikk	
		Tegningens filnavn 415655-RIG-TEG-150_BORUTSKRIFT-LEIRA.dwg			
		Underlagets filnavn Trondheim.dwg			
	BORUTSKRIFT LE-21, LE-22, DTR-19, LE-19, LE-20	Målestokk 1: 400	MULTICONSULT		OAA
	<b>MULTICONSULT AS</b> Tlf.: 73 10 62 00 - Fax: 73 10 62 30/70	Dato 02.05.2013 Oppdragsnr. 415655	Konstr./Tegnet JMP Tegningsnr. RIG-TEG-161	Kontrollert ARV	Godkjent OAA
					Rev.



Rev.	Beskrivelse	Dato	Tegn.	Kontr.	Godkj.
	NVE Region midt Kvikkleiresone Leira Grunnundersøkelser	Original format A3	F.o.g	Geoteknikk	
		Tegningens filnavn 415655-RIG-TEG-150_BORUTSKRIFT-LEIRA.dwg			
		Underlagets filnavn Trondheim.dwg			
	BORUTSKRIFT LE-23, LE-25, CPTU-25, LE-26	Målestokk 1: 400			
	<b>MULTICONST AS</b> Tlf.: 73 10 62 00 – Fax: 73 10 62 30 70	Dato 02.05.2013 Oppdragsnr. 415655	Konstr./Tegnet JMP Tegningsnr. RIG-TEG-162	Kontrollert ARV	Godkjent OAA Rev.

*Tabell 1: Borpunkt med koordinater og undersøkelsesmetoder.*

<b>Borpunkt</b> (-)	<b>Koordinater</b>			<b>Undersøkelsesmetode</b>				
	Nord (m)	Øst (m)	Terrengkote (m.o.h.)	TOT	DTR	CPTU	PZ	PRØVE / POSE
LE-1	7028529.460	570624.240	119.494	x		x		x
LE-2	7028455.843	570475.915	88.822	x				
LE-3	7028416.900	570188.300	35.420	x		x		
LE-3A	7028451.700	570186.200	37.040	x				x
LE-4	7028594.782	570285.882	115.046	x	x	x		
LE-5	7028688.243	570352.711	113.885	x				
LE-6	7028646.604	570221.123	113.455	x		x	xxxx	x
LE-7	7028613.422	570088.993	75.169	x	x	x	xx	x
LE-8	7028697.301	569920.459	38.363	x				
LE-9	7028739.126	570139.090	112.851	x		x		x
LE-10	7028828.392	570347.260	99.883	x				
LE-11	7028863.799	570387.340	111.189	x		x	xx	x
LE-12	7028832.301	570572.555	113.012	x				
LE-13	7028996.300	569980.402	45.213	x		x	xx	x
LE-14	7029084.967	570097.067	89.090	x	x	x		
LE-15	7029096.191	569847.441	22.161	x				x
LE-16	7029201.410	569991.828	82.503	x		x		
LE-17	7029186.763	570126.368	81.524	x		x	xxxx	x
LE-18	7029336.505	569943.084	57.099	x				x
LE-19	7029246.749	570004.586	83.235	x	x			
LE-20	7029133.311	570292.255	72.028	x				x
LE-21	7029094.915	570484.615	110.081	x				
LE-22	7029208.734	570431.065	84.716	x				
LE-23	7029296.810	570394.765	64.903	x				x
LE-24	7029253.309	570413.758	74.000				xx	
LE-25	7029433.907	570094.715	78.403	x		x		x
LE-26	7029516.114	569999.584	47.550	x				

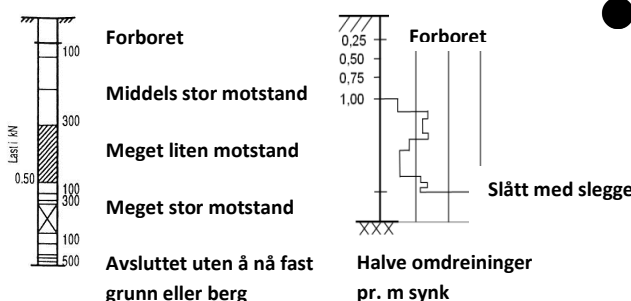
## **BILAG 1**

**Geotekniske bilag - feltundersøkelser**

**(2 sider)**



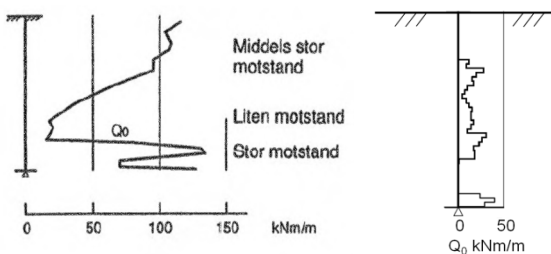
**Sonderinger** utføres for å få en indikasjon på grunnens relative fasthet, lagdeling og dybder til antatt berg eller fast grunn.



### DREIESONDERING (NGF MELDING 3)

Utføres med skjøtbare  $\phi 22$  mm borstenger med 200 mm vrid spiss. Boret dreies manuelt eller maskinelt ned i grunnen med inntil 1 kN (100 kg) vertikalbelastning på stengene. Hvis det ikke synker for denne lasten, dreies boret maskinelt eller manuelt. Antall  $\frac{1}{2}$ -omdreininger pr. 0,2 m synk registreres.

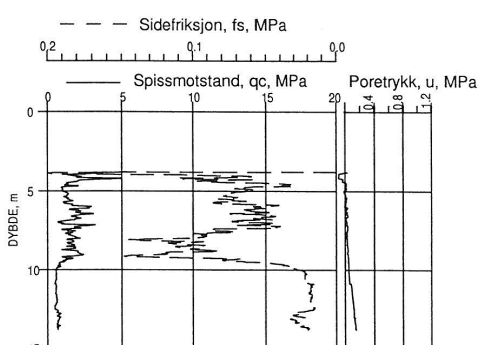
Boremotstanden presenteres i diagram med vertikal dybdeskala og tverrstrek for hver 100  $\frac{1}{2}$ -omdreininger. Skravur angir synk uten dreiling, med påført vertikallast under synk angitt på venstre side. Kryss angir at borstengene er rammet ned i grunnen.



### RAMSONDERING (NS-EN ISO 22476-2)

Boringen utføres med skjøtbare  $\phi 32$  mm borstenger og spiss med normert geometri. Boret rammes med en rammeenergi på 0,38 kNm. Antall slag pr. 0,2 m synk registreres. Boremotstanden illustreres ved angivelse av rammemotstanden  $Q_o$  pr. m nedramming.

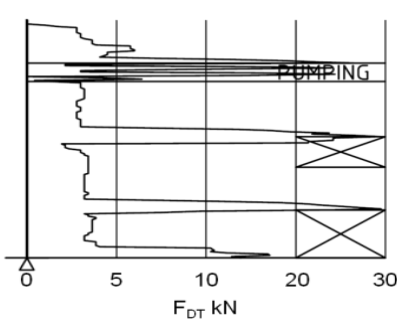
$Q_o = \text{loddets tyngde} * \text{fallhøyde/synk pr. slag (kNm/m)}$



### TRYKKSONDERING (CPT - CPTU) (NGF MELDING 5)

Utføres ved at en sylinderisk, instrumentert sonde med konisk spiss presses ned i grunnen med konstant penetrasjonshastighet 20 mm/s. Under nedpressingen måles kraften mot konisk spiss og friksjonshylse, slik at spissmotstand  $q_c$  og sidefriksjon  $f_s$  kan bestemmes (CPT). I tillegg kan poretrykket  $u$  måles like bak den koniske spissen (CPTU). Målingene utføres kontinuerlig for hver 0,02 m, og metoden gir derfor detaljert informasjon om grunnforholdene.

Resultatene kan benyttes til å bestemme lagdeling, jordart, lagringsbetingelser og mekaniske egenskaper (skjærfasthet, deformasjons- og konsolideringsparametre).

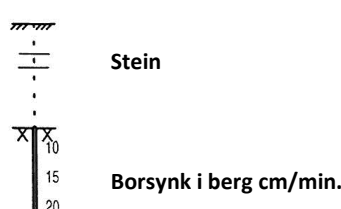


### DREIETRYKKSONDERING (NGF MELDING 7)

Utføres med glatte skjøtbare  $\phi 36$  mm borstenger med en normert spiss med hardmetallsveis. Borstengene presses ned i grunnen med konstant hastighet 3 m/min og konstant rotasjonshastighet 25 omdreininger/min.

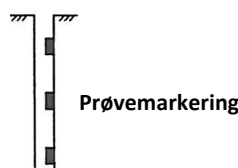
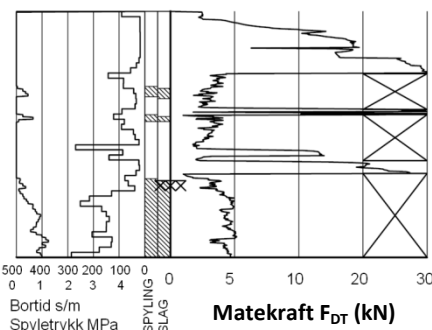
Rotasjonshastigheten kan økes hvis nødvendig. Nedpressingskraften  $F_{DT}$  (kN) registreres automatisk under disse betingelsene, og gir grunnlag for å bedømme grunnforholdene.

Metoden er spesielt hensiktsmessig ved påvisning av kvikkleire i grunnen, men den gir ikke sikker dybde til bergoverflaten.



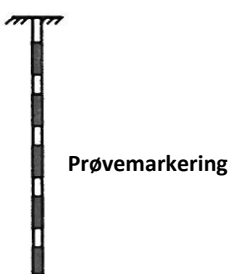
### BERGKONTROLLBORING

Utføres med skjøtbare  $\phi 45$  mm stenger og hardmetall borkrone med tilbakeslagsventil. Det benyttes tung slagborhammer og vannspylelse med høyt trykk. Boring gjennom lag med ulike egenskaper, for eksempel grus og leire, kan registreres, liketan penetrasjon av blokker og større steiner. For verifisering av berginntrengning bores 3 m ned i berget, eventuelt med registrering av borsynk for sikker påvisning.



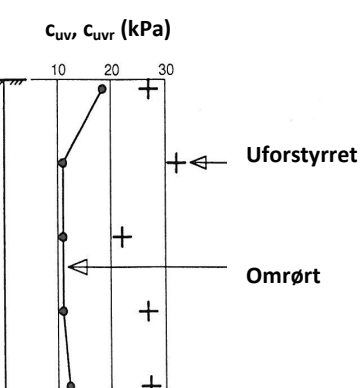
### TOTALSONDERING (NGF MELDING 9)

Kombinerer metodene dreietrykksøndring og bergkontrollboring. Det benyttes  $\phi 45$  mm skjøtbare borstenger og  $\phi 57$  mm stiftborkrone med tilbakeslagsventil. Under nedboring i bløte lag benyttes dreietrykksmodus, og boret presses ned i bakken med konstant hastighet 3 m/min og konstant rotasjonshastighet 25 omdreininger/min. Når faste lag påtreffes økes først rotasjonshastigheten. Gir ikke dette synk av boret benyttes spyling og slag på borkronen. Nedpressingskraften  $F_{DT}$  (kN) registreres kontinuerlig og vises på diagrammets høyre side, mens markering av spyletrykk, slag og bortid vises til venstre.



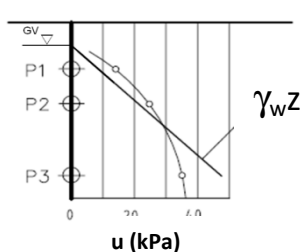
### MASKINELL NAVERBORING

Utføres med hul borstang påsveiset en metallspiral med fast stigehøyde (auger). Med borrigg kan det bores til 5-20 m dybde, avhengig av jordart, lagringsfasthet og beliggenhet av grunnvannstanden. Med denne metoden kan det tas forstyrrede poseprøver ved å samle materialet mellom spiralskivene. Det er også mulig å benytte enklere håndholdt utstyr som for eksempel skovlprøvetaking.



### VINGEBORING (NGF MELDING 4)

Utføres ved at et vingekors med dimensjoner  $b \times h = 55 \times 110$  mm eller  $65 \times 130$  mm presses ned i grunnen til ønsket målenivå. Her blir vingekorset påført et økende dreiemoment til jorden rundt vingen når brudd. Det tilhørende dreiemomentet blir registrert. Dette utføres med jorden i uforstyrret ved første gangs brudd og omrørt tilstand etter 25 gjentatte omdreininger av vingekorset. Udrerert skjærfasthet  $c_{uv}$  og  $c_{ur}$  beregnes ut fra henholdsvis dreiemomentet ved brudd og etter omrøring. Fra dette kan også sensitiviteten  $S_t = c_{uv}/c_{ur}$  bestemmes. Tolkede verdier må vanligvis korrigeres empirisk for oppredende effektivt overlagringstrykk i måledybden, samt for jordartens plastisitet.



### PORETRYKKSÅLING (NGF MELDING 6)

Målingene utføres med et standør med filterspiss eller med hydraulisk (åpent)/elektrisk piezometer (poretrykksmåler). Filteret eller piezometerspissen påmontert piezometerrør presses ned i grunnen til ønsket dybde. Stabilt poretrykk registreres fra vannets stigehøyde i røret, eller ved avlesning av en elektrisk trykkmåler i spissen. Valg av utstyr vurderes på bakgrunn av grunnforhold og hensikten med målingene. Grunnvannstand observeres eller peiles direkte i borhullet.

**MULTICONSULT**

## **BILAG 2**

### **Geotekniske bilag - laboratorieundersøkelser**

**(2 sider)**

### MINERALSKE JORDARTER (NS-EN ISO 14688-1 & 2)

Ved prøveåpning klassifiseres og identifiseres jordarten. Mineralske jordarter klassifiseres vanligvis på grunnlag av korngraderingen. Betegnelse og kornstørrelser for de enkelte fraksjoner er:

Fraksjon	Leire	Silt	Sand	Grus	Stein	Blokk
Kornstørrelse (mm)	<0,002	0,002-0,063	0,063-2	2-63	63-630	>630

En jordart kan inneholde en eller flere av fraksjonene over. Jordarten benevnes i henhold til korngraderingen med substantiv for den fraksjon som har dominerende betydning for jordartens egenskaper og adjektiv for medvirkende fraksjoner (for eksempel siltig sand). Leirinnholdet har størst betydning for benevnelse av jordarten. Morene er en usortert breavsetning som kan inneholde alle fraksjoner fra leire til blokk. Den største fraksjonen angis først i beskrivelsen etter egne benevningsregler, for eksempel grusig morene.

### ORGANISKE JORDARTER (NS-EN ISO 14688-1 & 2)

Organiske jordarter klassifiseres på grunnlag av jordartens opprinnelse og omdanningsgrad. De viktigste typer er:

Benevnelse	Beskrivelse
Torv	Myrplanter, mer eller mindre omdannet.
• Fibrig torv	Fibrig med lett gjenkjennelig plantestruktur. Viser noe styrke.
• Delvis fibrig torv, mellomtorv	Gjenkjennelig plantestruktur, ingen styrke i planterestene.
• Amorf torv, svarttorv	Ingen synlig plantestruktur, svampig konsistens.
Gytje og dy	Nedbrutt struktur av organisk materiale, kan inneholde mineralske bestanddeler.
Humus	Planterester, levende organismer sammen med ikke-organisk innhold.
Mold og matjord	Sterkt omvandlet organisk materiale med løs struktur, utgjør vanligvis det øvre jordlaget.

### SKJÆRFASTHET

Skjærfastheten uttrykkes ved jordens skjærfasthetsparametre  $a$ ,  $c$ ,  $\phi$  ( $\tan\phi$ ) (effektivspenningsanalyse) eller  $c_u$  ( $c_{uA}$ ,  $c_{uD}$ ,  $c_{uP}$ ) (totalspenningsanalyse).

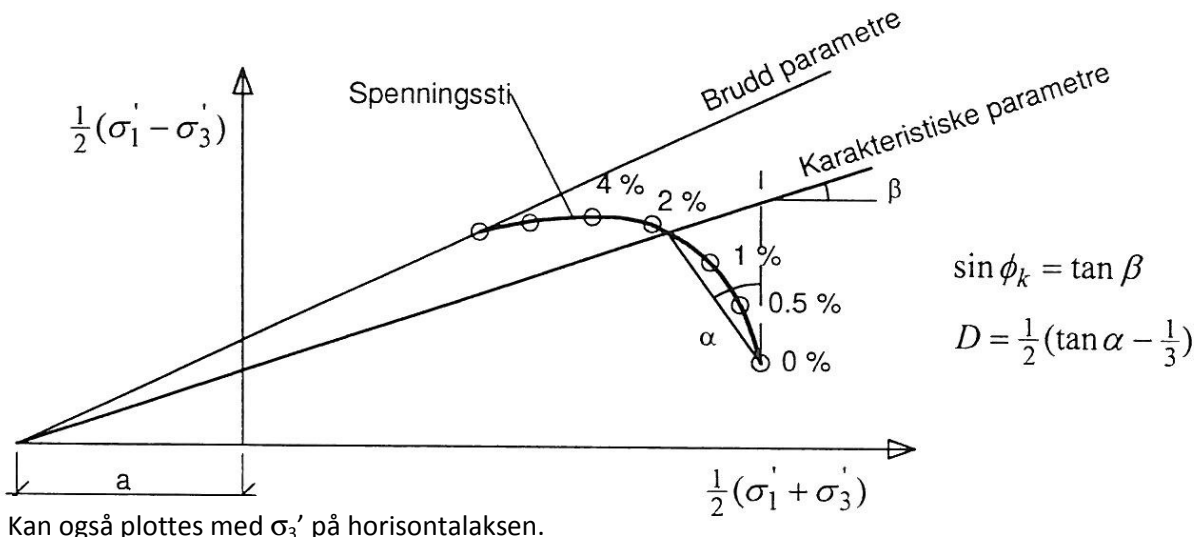
#### Effektivspenningsanalyse: Effektive skjærfasthetsparametre $a$ , $c$ , $\phi$ ( $\tan\phi$ ) (kPa, kPa, °, (-))

Effektive skjærfasthetsparametre  $a$  (attraksjon),  $\tan\phi$  (friksjon) og eventuelt  $c = \text{atan}\phi$  (kohesjon) bestemmes ved treaksiale belastningsforsøk på uforstyrrede (leire) eller innbyggede prøver (sand). Skjærfastheten er avhengig av effektiv normalspenning (totalspenning – poretrykk) på kritisk plan. Forsøksresultatene fremstilles som spenningsstier som viser spenningsutvikling og tilhørende tøyningsutvikling i prøven frem mot brudd. Fra disse, samt fra annen informasjon, bestemmes karakteristiske verdier for skjærfasthetsparametre for det aktuelle problemet.

For korttids effektivspenningsanalyse kan også poretrykksparametrene A, B og D bestemmes fra forsøksresultatene.

#### Totalspenningsanalyse: Udreneret skjærfasthet, $c_u$ (kPa)

Udreneret skjærfasthet bestemmes som den maksimale skjærspenningen et materiale kan påføres før det bryter sammen. Denne skjærfastheten representerer en situasjon med raske spenningsendringer uten drenering av poretrykk. I laboratoriet bestemmes denne egenskapen ved enaksiale trykkforsøk ( $c_{ut}$ ) (NS8016), konusforsøk ( $c_{uk}$ ,  $c_{ukr}$ ) (NS8015), udrenerte treaksialforsøk ( $c_{uA}$ ,  $c_{uP}$ ) og direkte skjærforsøk ( $c_{uD}$ ). Udreneret skjærfasthet kan også bestemmes i felt ved for eksempel trykksondering med poretrykksmåling (CPTU) ( $c_{ucptu}$ ) eller vingebor ( $c_{uv}$ ,  $c_{ur}$ ).



#### SENSITIVITET $S_t$ (-)

Sensitiviteten  $S_t = c_u/c_r$  uttrykker forholdet mellom en leires udrenerte skjærfasthet i uforstyrret og omrørt tilstand. Denne størrelsen kan bestemmes fra konusforsøk i laboratoriet (NS 8015) eller ved vingeborforsøk i felt. Kvikkleire har for eksempel meget lav omrørt skjærfasthet  $c_r$  ( $s_r < 0,5$  kPa), og viser derfor som regel meget høye sensitivitetsverdier.

**VANNINNHOLD (w %) (NS 8013)**

Vanninnholdet angir masse av vann i % av masse tørt (fast) stoff i massen og bestemmes fra tørking av en jordprøve ved 110°C i 24 timer.

**KONSISTENSGRENSE – FLYTEGRENSE (w<sub>f</sub> %) OG PLASTISITETSGRENSE (w<sub>p</sub> %) (NS 8002 & 8003)**

Konsistensgrensene (Atterbergs grenser) for en jordart angir vanninnholdsområdet der materialet er plastisk (formbart). Flytegrensen angir vanninnholdet der materialet går fra plastisk til flytende tilstand. Plastisitetsgrensen (utrullingsgrensen) angir vanninnholdet der materialet ikke lenger kan formas uten at det sprekker opp. Plastisiteten  $I_p = w_f - w_p$  (%) angir det plastiske området for jordarten og benyttes til klassifisering av plastisiteten. Er det naturlige vanninnholdet høyere enn flytegrensen blir materialet flytende ved omrøring (vanlig for kvikkleire).

**DENSITETER (NS 8011 & 8012)**

<b>Densitet (ρ, g/cm<sup>3</sup>)</b>	Massa av prøve pr. volumenhett. Bestemmes for hel sylinder og utskåret del.
<b>Korndensitet (ρ<sub>s</sub>, g/cm<sup>3</sup>)</b>	Massa av fast stoff pr. volumenhett fast stoff
<b>Tørr densitet (ρ<sub>d</sub>, g/cm<sup>3</sup>)</b>	Massa av tørt stoff pr. volumenhett

**TYNGDETETTHETER**

<b>Tyngdetethet (γ, kN/m<sup>3</sup>)</b>	Tyngde av prøve pr. volumenhett ( $\gamma = \rho g = \gamma_s(1+w/100)(1-n/100)$ , der $g = 10 \text{ m/s}^2$ )
<b>Spesifik tyngdetethet (γ<sub>s</sub>, kN/m<sup>3</sup>)</b>	Tyngde av fast stoff pr. volumenhett fast stoff ( $\gamma_s = \rho_s g$ )
<b>Tørr tyngdetethet (γ<sub>d</sub>, kN/m<sup>3</sup>)</b>	Tyngde av tørt stoff pr. volumenhett ( $\gamma_d = \rho_d g = \gamma_s(1-n/100)$ )

**PORETALL OG PORØSITET (NS 8014)**

<b>Poretall e (-)</b>	Volum av porer dividert med volum fast stoff ( $e = n/(100-n)$ ) der n er porositet (%)
<b>Porositet n (%)</b>	Volum av porer i % av totalt volum av prøven

**KORNFORDELINGSANALYSER (NS 8005)**

En kornfordelingsanalyse utføres ved våt eller tørr siktning av fraksjonene med diameter  $d > 0,063 \text{ mm}$ . For mindre partikler bestemmes den ekvivalente korndiameteren ved slemmeanalyse og bruk av hydrometer. I slemmeanalysen slemmes materialet opp i vann og densiteten av suspensjonen måles ved bestemte tidsintervaller. Kornfordelingen kan da bestemmes fra Stokes lov om sedimentering av kuleformede partikler i vann. Det vil ofte være nødvendig med en kombinasjon av metodene.

**DEFORMASJONS- OG KONSOLIDERINGSEGENSKAPER (NS 8017 & 8018)**

Jordartens deformasjons- og konsolideringsegenskaper benyttes ved setningsberegnung og bestemmes ved hjelp av belastningsforsøk i ødometer. Jordprøven bygges inn i en stiv ring som forhindrer sideveis deformasjon og belastes vertikalt med trinnvis eller kontinuerlig økende last. Sammenhørende verdier for last og deformasjon (tøyning  $\epsilon$ ) registreres, og materialets deformasjonsmodul (stivhet) kan beregnes som  $M = \Delta\sigma'/\Delta\epsilon$ . Denne presenteres som funksjon av vertikalspenningen  $\sigma'$ . Deformasjonsmodulen viser en systematisk oppførsel for ulike jordarter og spenningstilstander, og oppførselen kan hensiktsmessig beskrives med modulfunksjoner og inndeles i tre modeller:

Modell	Moduluttrykk	Jordart - spenningsområde
Konstant modul	$M = m_0 \sigma_a$	OC leire, $\sigma' < \sigma_c'$ ( $\sigma_c' = $ prekonsolideringsspenningen)
Lineært økende modul	$M = m(\sigma' \pm \sigma_r)$	Leire, fin silt, $\sigma' > \sigma_c'$
Parabolsk økende modul	$M = mv/(\sigma' \sigma_a)$	Sand, grov silt, $\sigma' > \sigma_c'$

**PERMEABILITET (k cm/sek eller m/år)**

Permeabiliteten defineres som den vannmengden q som under gitte betingelser vil strømme gjennom et jordvolum pr. tidsenhet. Generelt bestemmes permeabiliteten fra følgende sammenheng:  $q = kiA$ , der A er bruttoareal av tverrsnittet normalt på vannets strømningsretning og i = hydraulisk gradient i strømningsretningen (= potensialforskjell pr. lengdeenhet). Permeabiliteten kan bestemmes ved strømningsforsøk i laboratoriet ved konstant eller fallende potensial, eventuelt ved pumpe- eller strømningsforsøk i felt.

**KOMPRIMERINGSEGENSKAPER**

Ved komprimering av en jordart oppnås lettare lagring av mineralkornene. Komprimeringsegenskapene for en jordart bestemmes ved at prøver med forskjellig vanninnhold komprimeres med et bestemt komprimeringsarbeid (Standard eller Modifisert Proctor). Resultatene fremstilles i et diagram som viser tørr densitet  $\rho_r$  som funksjon av innbyggingsvanninnhold  $w_i$ . Den maksimale tørrdensiteten som oppnås ( $\rho_{dmax}$ ) benyttes ved spesifikasjon av krav til utførelsen av komprimeringssarbeider. Det tilhørende vanninnholdet benevnes optimalt vanninnhold ( $w_{opt}$ ).

**TELEFARLIGHET**

En jordarts telefarlighet bestemmes ut fra kornfordelingskurven eller ved å måle den kapillære stigehøyde for materialet. Telefarligheten klassifiseres i gruppene T1 (Ikke telefarlig), T2 (Litt telefarlig), T3 (Middels telefarlig) og T4 (Meget telefarlig).

**HUMUSINNHOLD**

Humusinnholdet bestemmes ved kolorimetri og bruk av natronlut (NaOH-forbindelse). Metoden angir innholdet av humufiserte organiske bestanddeler i en relativ skala. Andre metoder, som glødning av jordprøve i varmeovn og våt-oksydasjon med hydrogenperoksyd, kan også benyttes.

## **BILAG 3**

# **Metodestandarder og retningslinjer - feltundersøkelser**

**(1 side)**

**METODESTANDARDER OG RETNINGSLINJER – FELTUNDERSØKELSER**

Feltundersøkelsesmetoder beskrevet i geotekniske bilag, samt terminologi og klassifisering benyttet i rapportering, baserer seg på følgende norske veileddninger fra NGF (Norsk Geoteknisk Forening), norske standarder (NS) og andre referansedokumenter:

<b>NGF Veiledninger Norske standarder NS</b>	<b>Tema</b>
NGF 1 (1982)	SI Enheter
NGF 2, rev.1 (2012)	Symboler og terminologi
NGF 3, rev. 1 (1989)	Dreiesondring
NGF 4 (1981)	Vingeboring
NGF 5, rev.3 (2010)	Trykksondring med poretrykksmåling (CPTU)
NGF 6 (1989)	Grunnvanns- og poretrykksmåling
NGF 7, rev. 1 (1989)	Dreietrykksondring
NGF 8 (1992)	Kommentarkoder for feltundersøkelser
NGF 9 (1994)	Totalsondering
NGF 10, rev.1 (2009)	Beskrivelsestekster for grunnundersøkelser
NGF 11 rev.1 (2012)	Prøvetaking
NS-EN ISO 22475-1 (2006)	
Statens vegvesen Geoteknisk felthåndbok 280 (2010)	Feltundersøkelser

## **BILAG 4**

# **Metodestandarder og retningslinjer - laboratorieundersøkelser**

**(1 side)**

**METODESTANDARDER OG RETNINGSLINJER – LABORATORIEUNDERSØKELSER**

Laboratorieundersøkelser beskrevet i geotekniske bilag, samt terminologi og klassifisering benyttet i rapportering, baserer seg på følgende norske standarder (NS) og referansedokumenter:

Norske standarder NS	Tema
NS8000 (1982)	Konsistensgrenser – terminologi
NS8001 (1982)	Støtflytegrense
NS8002 (1982)	Konusflytegrense
NS8003 (1982)	Plastisitetsgrense (utrullingsgrense)
NS8004 (1982)	Svinngrense
NS8005 (1990)	Kornfordelingsanalyse
NS8010 (1982)	Jord – bestanddeler og struktur
NS8011 (1982)	Densitet
NS8012 (1982)	Korndensitet
NS8013 (1982)	Vanninnhold
NS8014 (1982)	Poretall, porøsitet og metningsgrad
NS8015 (1987)	Skjærfasthet ved konusforsøk
NS8016 (1987)	Skjærfasthet ved enaksialt trykkforsøk
NS8017 (1991)	Ødometerforsøk, trinnvis belastning
NS8018 (1993)	Ødometerforsøk, kontinuerlig belastning
NS14688-1 og -2 (2009)	Klassifisering og identifisering av jord
NS-EN ISO/TS 17892-8 + -9 (2005)	Treaksialforsøk (UU, CU)
Statens vegvesen Håndbok 015 (2005)	Laboratorieundersøkelser